



Universitetet
i Stavanger

DET TEKNISK-NATURVITENSKAPELIGE FAKULTET

MASTEROPPGAVE

Studieprogram/spesialisering: Konstruksjoner og materialer – Bygg	Vårsemesteret, 2010 Åpen / Konfidensiell
Forfatter: Arnt Egil Rørtvedt	<i>Arnt Egil Rørtvedt</i> (signatur forfatter)
Fagansvarlig: Jasna Bogunovic Jakobsen Veileder(e): Jasna Bogunovic Jakobsen og Torleif Lindefjeld (Statens vegvesen)	
Tittel på masteroppgaven: Vindlast på Fritt Fram Bygg-Bru i byggefasen. Engelsk tittel: Wind loads on Cantilever Bridge during constructing phase.	
Studiepoeng: 30	
Emneord: Fritt fram bygg bru, byggefase, vindlaster, statisk og dynamisk analyse, dimensjonernde lastkombinasjoner i byggefasen, dimensjonering av kritisk snitt.	Sidetall: ...118..... + vedlegg/annet: ...156 sider + 4 tegninger..... Stavanger, 15.06.2010.....

Forord

Arbeidet med vindanalyse av Sandsfjord bru i byggefasen har vært både lærerikt og krevende. Jeg er ansatt i Statens vegvesen og har de 2 siste årene hatt studiepermisjon for å kunne ta masterutdanning. Jeg har dermed utført prosjekteringsarbeid tidligere og har i den sammenheng brukt analyseprogrammet Nova Frame. Det har gjort at jeg lettere har kunnet håndtere et såpass omfattende modelleringsarbeid som jeg har utført i denne oppgaven. Jeg har også gjennom arbeidsgiver hatt tilgang på prosjekteringsmaterial fra tidligere utførte prosjekter av tilsvarende brutype. Det har gjort at jeg har kunnet basere noe av modelleringen i Nova Frame på å endre eksisterende filer. Disse filene har kun fungert som maler, så det har vært nødvendig å endre alt som har med geometri og laster å gjøre, og kontrollere evt. endre alle verdier som har med andre parametere å gjøre. Allikevel har det vært til hjelp å ha de som et utgangspunkt.

Ønsker å takke veilederne Jasna Bogunovic Jakobsen ved Universitetet i Stavanger og Torleif Lindefjeld ved Statens vegvesen for gode innspill underveis i arbeidet. Ønsker også å takke Statens vegvesen som har gitt meg muligheten til å ta masterutdanningen ved å gi meg studiepermisjon.

Stavanger
15.06.10

Arnt Egil Rørtvedt

Vindberegninger for Sandsfjord bru

0. SAMMENDRAG

Der er utført dynamisk og statisk vindanalyse i byggefasen til Sandsfjord bru. Sandsfjord bru er av typen "Fritt Frambygg-bru" med hovedspenn på 290 meter og en tottallengde på 678 meter. Den er planlagt bygget med seksjonsvise utkragerer fra 2 akser (navngitt akse 2 og akse 3). Hver akse består av 2 veggskiver med en innbyrdes avstand på 6m målt fra senter veggskive. Høyden på veggskivene er ca 50m. Utkrageren fra akse 2 har en maks utkraging på 143.75m i den ene retningen (mot akse 3) og 95m i den andre retningen (mot akse 1). Utkrageren fra akse 3 har en maks lengde på 143.75m i den ene retningen og 154m i den andre retningen (mot akse 4) Utkragerene fra akse 2 og 3 bygges mot hverandre og kobles tilslutt sammen med en avsluttende støpetappe på 2.5m og utgjør dermed hovedspennet.

I byggefasen vil vindlasten som virker på utkragerene være dimensjonerende. Særlig høye snittkrefter oppnås ved veggskivene når utkragerene er fullt utbygget (før sammenkobling).

Har i denne oppgaven utført en statisk og dynamisk vindanalyse i analyseprogrammet Nova Frame. Dette er et Windows program for statiske og dynamiske analyser av 3 dimensjonale rammekonstruksjoner som er basert på elementmetoden. Ref/10/

Analysen er utført for 2 byggetilstander som antas å være kritiske.

Den ene som heter byggefase 3 er når utkragerene er bygget helt ut fra akse 2.

Den andre som heter byggefase 4 er når utkragerene er bygget helt ut fra akse 3.

Det er i Nova Frame regnet respons av dynamisk vindlast basert på 10 egenfrekvensanalyser for hver av de 2 byggefasene.

Resultatet av analysene gir snittkrefter som følge av dynamisk og statisk vindlast, i tillegg til egenvekt av konstruksjonen. Har brukt disse snittkreftene til å finne nødvendig armering av det dimensjonerende snittet i veggskivene. Resultatet av dette er et armeringsbehov på $\varnothing 25$ c100 som lengdearmering rundt hele tverrsnittet. I tillegg er det lagt torsjonsarmering som bøylar $\varnothing 20$ c100 + tilsvarende i lengderetning. Har da 50% utnyttelse av lengdearmeringen og 60% utnyttelse av torsjonarmeringen. Det er ikke benyttet lastfaktorer på lastene, men er brukt matrialfaktorer som for bruddtilstand. Det er ikke tatt hensyn til tilleggsmomenter som følge av veggskivens slankhet med annen ordens effekter som følge av utbøyninger.

Analysen gir også verdier for utbøyning som følge av de ulike lasttilfellene.

For byggefase 3 så maksimal forskyvninger som følge av statisk vindlast 386mm, men den dynamiske vindlasten har en maksimalverdi på 138mm. Totalverdien blir dermed 524mm.

For byggefase 4 så er maksimal forskyvninger som følge av statisk vindlast 721mm, men den dynamiske vindlasten har en maksimalverdi på 525mm. Dette gir en totalverdi på 1246mm.

Deformasjoner pga egenlast elimineres ved bruk av spennarmering.

Det er også utført en modal analyse i Mathcad. Den analysen er avgrenset til å gjelde kun 1 egensvingeform i byggefase 4.

Har basert analysen på den svingeformen med lavest frekvens slik den fremkommer i egensvingeanalysen i Nova Frame. Det er denne som gir den største responsen. Ut fra egenfrekvens og valgt funksjon til å beskrive denne formen er det utført en manuell beregning av forskyvning som følge av dynamisk vindlast med frekvens omkring egenfrekvensen til konstruksjonen. Resultatet av denne analysen gir en forskyvning på 349mm. Resultat fra tilsvarende analyse utført i Nova Frame gir 519mm, har dermed et avvik på 170mm.

Vindberegninger for Sandsfjord bru

0. SAMMENDRAG	1-1
1. INNLEDING	1-4
1.1 GENERELT	1-4
1.2 BUFFETING TEORIEN	1-5
1.3 TVERRSNITTSDATA FOR BRUBJELKEN	1-10
1.3.1 Akse 2 til akse 1 (95m).....	1-11
1.3.2 Akse 2 +146.25m i retning mot akse 3.....	1-12
1.3.3 Akse 3 +143,74m i retning mot akse 2.....	1-13
1.3.4 Akse 3 + 154m mot akse 4	1-13
1.4 VEGGSKIVER AKSE 2 OG 3.....	1-14
1.5 HJELPESØYLER MELLOM AKSE 1 OG 2.....	1-16
1.6 MATERIALER	1-17
1.7 STATISK SYSTEM.....	1-17
1.7.1 Globale og lokale aksekoordinater	1-20
1.7.2 Resultat egenverdianalyse FFB fra akse 2	1-21
1.7.3 Resultat egenverdianalyse FFB fra akse 3	1-30
1.8 FORMFAKTORER	1-39
1.8.1 Formfaktorer til brutverrsnittet	1-39
1.8.2 Formfaktorer for veggskiver og hjelpesøyler.....	1-41
1.8.3 Effektivt vindareal for overbygning	1-42
1.8.4 Effektivt vindareal for underbygning	1-46
1.9 VINDMILJØ.....	1-46
1.9.1 Generelt.....	1-46
1.9.2 Vinddata for området.....	1-46
1.9.3 Dimensjonerende vindparametre.....	1-46
1.10 DEMPNING	1-48
2. LASTER	2-48
2.1 EGENLASTER.....	2-48
2.1.1 Kraftpar fra egenlast.....	2-48
2.2 VINDLASTER	2-49
2.2.1 Statiske vindlaster byggtilstand	2-49
2.2.2 Dynamiske vindlaster byggtilstand	2-50
3. LASTTILFELLER I NOVA FRAME	3-51
3.1 EGENLAST.....	3-51
3.2 VIND.....	3-51
3.2.1 Statisk vindlast	3-51
3.2.2 Dynamisk vindlast.....	3-52
4. RESULTATER ANALYSE	4-52
4.1 EGENLAST.....	4-52
4.1.1 Egenlast brubjelke.....	4-53
4.2 VINDLASTER.....	4-54

Vindberegninger for Sandsfjord bru

4.2.1	Statisk vindlast FFB-bru fra akse 2	4-54
4.2.2	Dynamisk vindlast.....	4-71
4.3	LASTKOMBINASJONER	4-78
4.3.1	Samtidig virkende krefter for brubjelke FFB-bru fra hhv akse 2 og akse 3	4-78
4.3.2	Korrelasjon mellom de ulike dynamiske lastvirkningene	4-80
4.4	DIMENSJONERENDE KREFTER.....	4-84
4.4.1	FFB-bru del fra akse 2.....	4-85
4.4.2	FFB-bru del fra akse 3.....	4-86
5.	MODAL ANALYSE AV SVINGEFORM 1 BYGGETRINN 4	5-89
6.	DISKUSJON.....	6-116
7.	REFERANSER	7-118
8.	VEDLEGG.....	8-1
8.1	UTREGNING AV STATISKE VINDKREFTER I EXCEL	8-1
8.2	INPUTFILER TIL NOVA FRAME	8-10
8.2.1	Modell	8-10
8.2.2	Laster	8-131
8.2.3	Inndeling av modellen i 2 byggetilstander.....	8-150
8.2.4	Lastkombinering.....	8-153
8.3	TEGNINGER	8-156

Vindberegninger for Sandsfjord bru

1. INNLEDING

1.1 GENERELT

Denne oppgaven omhandler byggefasen til Sandsfjord bru. I oppgaven er det utført en analyse av vindlastenes virkning på bruen i de 2 antatt mest kritiske byggefaser. Det er tatt med bidrag fra statisk og dynamisk vindlast. Sandsfjord bru er av brutypen "Fritt Frambygg-bru" (FFB-bru). Dette er en brutype som er sårbar for vindlast i byggefasen.

Brutypen er en spennbetongbru som bygges som en utkraget bjelke i begge retninger fra en pilar slik at det blir mometlikevekt om pilaren. Ved ensidig utbygging fra land bruker en ballastkasser for å balansere utbyggingen. Det er for Sandsfjord bru også aktuelt å bruke hjelpesøyler for å stabilisere konstruksjonen under utbygging. Bruk av hjelpesøyle avhenger av hvor tilgjengelig området er mhp den praktiske gjennomføringen av monteringen. Generelt så er denne brutypen aktuell for spenn fra ca 100m til opp mot 400m.

I motsetning til hengebru og skråstagbru som har hovedbærevirkning ved overliggende kabler/stag som fører kreftene til tårna må FFB bruene bære all last ved skjær og moment i brubjelken. Dette gir høye brubjelker. For at brua skal fremstå harmonisk og lett bør den derfor ha en søylehøyde som svarer til spennvidden, blir søylene for lave vil hele brua oppfattes som tung og massiv.

For denne oppgaven så er dynamiske og statiske analyser gjennomført med programmet NovaFrame ver 4.0. Programmet beregner egenverdier med tilhørende egenvektorer for dynamisk respons av vindlast. Vindkrefter bestemmes ihht "Buffetingteorien." Analysene utføres på modal form, hvor responsen bestemmes for hver enkelt svingeform og summeres deretter ut fra gitte betingelser til et lasttilfelle. Beskrivelse av hva dette innebærer fremkommer senere (i Kap 1.2) der det er gitt en mer generell beskrivelse av "Buffetingteorien"

De statiske og dynamiske analysene er utført med urisset stivhet i veggskiver og brubjelke. Det er valgt homogen stivhet for bøyning og torsjon.

I tillegg er det utført en modal analyse av forskyvningen i Mathcad for den mest utslagsgivende svingeformen til utkrageren fra Akse 3 (byggefase 4) for å kunne sammenlikne med resultatene fra NovaFrame og samtidig prøve å få en mer inngående kjennskap til teorien som ligger bak beregningene.

Det er forutsatt i oppgaven at den dimensjonerende vindretningen er horisontal med retning vinkelrett på bruens lengdeakse. Og at bruens lengde i forhold til høyde gjør at den kan betraktes som en "line like" konstruksjon. (Ingen variasjon i de dynamiske vindparametrene i konstruksjonens høyde)

Brustedets beliggenhet er i Suldal kommune. Rogaland Fylke Se kartutsnitt nedenfor som viser hvor bruen krysser Sandsfjorden. Se også ref /16/ som er en oversiktstegning av bruen gitt som vedlegg.

Vindberegninger for Sandsfjord bru



1.2 BUFFETING TEORIEN

Søker i dette kapitlet å gi en generell beskrivelse av teorien som analysen baseres på.

Beskrivelsen er basert på ref /4/ og ref /5/.

Den karakteristiske responsen på vindlasten i et gitt tidsintervall uttrykkes ved middelrespons (μ_R) som kan bestemmes ved vanlige statiske betraktninger, bakgrunnsturbulens (dvs lav frekvente turbulensflukteringer) og resonans turbulens (dvs turbulens i resonans med konstruksjonens egensvingninger).

Den karakteristiske responsen da gitt ved: $R_{maks} = \mu_R + (k_p * \sigma_R)$

Den turbulente vinden er uttrykt standardavviket $\sigma_R = (\sigma_b^2 + \sigma_r^2)^{1/2}$

Hvor σ_b kommer av bakgrunnsturbulensen og σ_r kommer fra resonansturbulensen.

Vindberegninger for Sandsfjord bru

Bakrunnsdelen har lav frekvens og dens bidrag til treghetskrefter kan ses bort fra, kan dermed antas kvasistatisk. Denne delen av responsen er mye mer nøyaktig bestemt med formfunksjoner evt. direkte ut fra statisk likevekt.

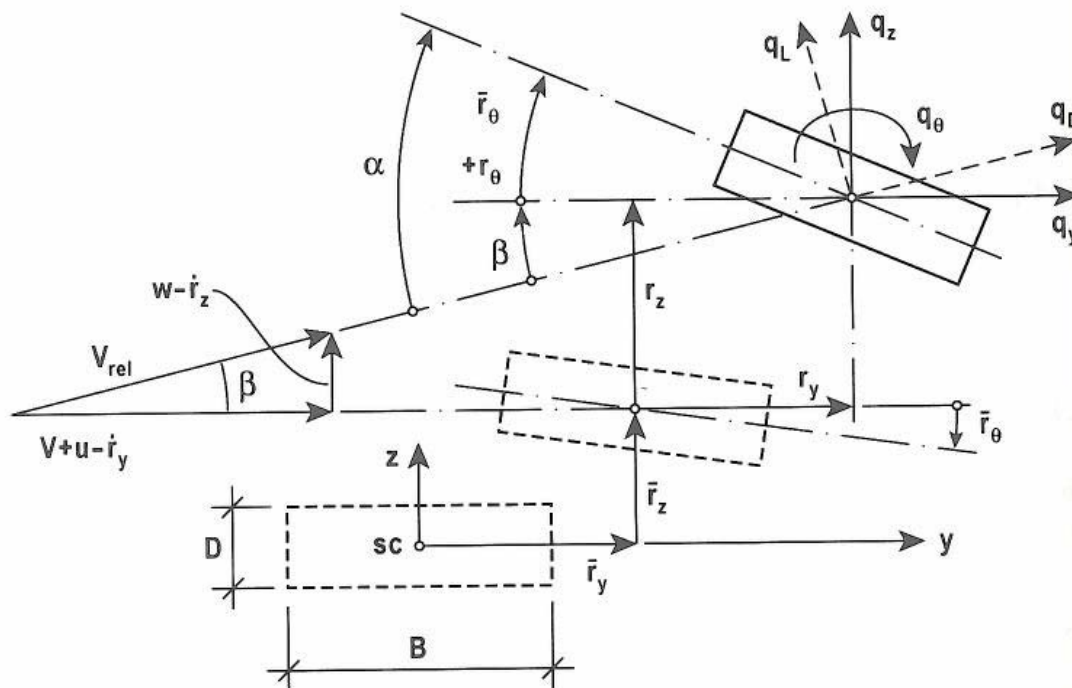
k_p er en toppfaktor og μ_R representerer den statiske responsen på konstruksjonen.

For beskrivelse vind komponentene er det vanlig å anta en middelvindhastighet (U_{middel}) med en gitt sannsynlighet for overskridelse i løpet av 10 år (byggetilstand) 50 år (ferdig konstruksjon) I tillegg vil der være turbulente komponenter (u, w) med en antatt Gaussian sannsynlighetstetthetsfordeling med middelvei 0. Ut fra verdiene til de turbulente vindkomponentene defineres variansen og dermed standardavviket til den antatte sannsynlighetstetthetsfordelingen av den turbulente vinden. Det er vanlig at middelvindhastigheten og de turbulente hastighetskomponenten er konstante midlet over en periode på 10 min.

Når bruene utsettes for vind med hastighetskomponent U (på tvers av bruens lengderetning) vil en ha drag, lift og momentlast. Størrelsen på disse lastene bestemmes vha tverrsnittskonstantene for drag (C_D) lift (C_L) og moment (C_M) og deres deriverte mhp infallsvinkel (α). Tverrsnittskonstantene bestemmes ut fra geometrien til bruene.

Som beskrevet så kan vinden deles opp i en middelvei og en flukterende verdi.

Figuren under viser hvordan de ulike bidragene bidrar til bruens bevegelse. Det er rundt "trinn 2" som blir utsatt for hastighetsvektoren $V+u-\dot{r}_x$ i horisontal retning og $w-\dot{r}_z$ i vertikalretning at konstruksjonen vibrerer, noe som fører til de flukterende tilleggsbevegelsene $r_{y,z,\theta}$



Figur 1 viser vindens og konstruksjonens hastighetskomponenter og forskyvningskomponentene til konstruksjonen. Figuren er hentet fra ref/4/ I oppgaveteksten er X akse bruens tverretning og ikke Y som vist i figuren. I tillegg så tilsvarer V i figuren U i oppgaveteksten.

Vindberegninger for Sandsfjord bru

Med utgangspunkt i følgende definisjon av laster:

$$\begin{pmatrix} q_y(y,t) \\ q_z(y,t) \\ q_\theta(y,t) \end{pmatrix} = \frac{1}{2} \cdot \rho \cdot U_{rel}^2 \cdot \begin{bmatrix} D \cdot C_D(\alpha) \\ B \cdot C_L(\alpha) \\ B^2 \cdot C_M(\alpha) \end{bmatrix}$$

Der U_{rel} er den momentane relative vindhastighet (tilsvarer V_{rel} i figur) og α er innfallsvinkelen til vinden (se figur over)

Dersom en også bruker definisjoner gitt i figuren over og linearisering av tverrsnittskonstantene på formen:

$$\begin{bmatrix} C_D(\alpha) \\ C_L(\alpha) \\ C_M(\alpha) \end{bmatrix} = \begin{bmatrix} C_D(\frac{\dot{\alpha}}{\alpha}) \\ C_L(\frac{\dot{\alpha}}{\alpha}) \\ C_M(\frac{\dot{\alpha}}{\alpha}) \end{bmatrix} + \alpha_f \cdot \begin{bmatrix} C'_D(\frac{\dot{\alpha}}{\alpha}) \\ C'_L(\frac{\dot{\alpha}}{\alpha}) \\ C'_M(\frac{\dot{\alpha}}{\alpha}) \end{bmatrix}$$

der $\frac{\dot{\alpha}}$ og α_f er hhv middelvei og den flukterende del av α

og i tillegg bruker følgende notasjon

$$\begin{bmatrix} C_D(\frac{\dot{\alpha}}{\alpha}) \\ C_L(\frac{\dot{\alpha}}{\alpha}) \\ C_M(\frac{\dot{\alpha}}{\alpha}) \end{bmatrix} = \begin{bmatrix} \frac{\dot{\alpha}}{C_D} \\ \frac{\dot{\alpha}}{C_L} \\ \frac{\dot{\alpha}}{C_M} \end{bmatrix} \quad \begin{bmatrix} C'_D(\frac{\dot{\alpha}}{\alpha}) \\ C'_L(\frac{\dot{\alpha}}{\alpha}) \\ C'_M(\frac{\dot{\alpha}}{\alpha}) \end{bmatrix} = \begin{bmatrix} C'_D \\ C'_L \\ C'_M \end{bmatrix}$$

Kan en utlede sammenhengen

$$\begin{pmatrix} q_D(y,t) \\ q_L(y,t) \\ q_M(y,t) \end{pmatrix} = \rho \cdot U \cdot \left(\frac{U}{2} + u - \frac{d}{dt} r_x \right) \cdot \begin{bmatrix} D \cdot \frac{\dot{\alpha}}{C_D} \\ B \cdot \frac{\dot{\alpha}}{C_L} \\ B^2 \cdot \frac{\dot{\alpha}}{C_M} \end{bmatrix} + \left(r_\theta + \frac{w}{U} - \frac{d}{dt} r_z \right) \cdot \begin{bmatrix} D \cdot (C'_D) \\ B \cdot (C'_L) \\ B^2 \cdot (C'_M) \end{bmatrix} + \frac{w - \frac{d}{dt} r_z}{U} \cdot \begin{bmatrix} B \cdot \frac{\dot{\alpha}}{C_L} \\ D \cdot \frac{\dot{\alpha}}{C_D} \\ 0 \end{bmatrix}$$

Hvor:

q : Last (drag, lift og moment).

U : Middelvindhastighet.

Vindberegninger for Sandsfjord bru

- u : Flukterende vindhastigheten horisontal retning.
 dr_x/dt : Hastigheten til bruens bevegelse horisontalt på tvers av bruens lengderetning.
 w : Flukterende vindhastigheten i vertikal retning.
 dr_z/dt Hastigheten til bruens bevegelse i vertikalretning.
 r_θ : Konstruksjonens rotasjon om lengdeakse.

På vektorform kan dette skrives:

$$q_{\text{tot}} = \begin{pmatrix} q_{y\text{mean}}(y) \\ q_{z\text{mean}}(y) \\ q_{\theta\text{mean}}(y) \end{pmatrix} + \begin{pmatrix} q_y(y,t) \\ q_z(y,t) \\ q_\theta(y,t) \end{pmatrix} = \vec{q} + \vec{B}_q \cdot \vec{v} + \vec{C}_{ae} \cdot \frac{d}{dt} \vec{r} + \vec{K}_{ae} \cdot \vec{r} \quad \text{der} \quad \vec{v} = \begin{pmatrix} u \\ w \end{pmatrix}$$

Og hvor

$$\vec{B}_q = \begin{bmatrix} 2 \cdot \frac{D}{B} \cdot C_D & \left[\left(\frac{D}{B} \right) \cdot C'_D - C_L \right] \\ 2C_L & \left(C'_L + \frac{D}{B} \cdot C_D \right) \\ 2B \cdot C_M & B \cdot C'_M \end{bmatrix} \quad \vec{C}_{ae} = \begin{bmatrix} 2 \cdot \frac{D}{B} \cdot C_D & \left[\left(\frac{D}{B} \right) \cdot C'_D - C_L \right] & 0 \\ 2C_L & \left(C'_L + \frac{D}{B} \cdot C_D \right) & 0 \\ 2B \cdot C_M & B \cdot C'_M & 0 \end{bmatrix} \quad \vec{K}_{ae} = \begin{bmatrix} 0 & 0 & \left(\frac{D}{B} \right) \cdot C'_D \\ 0 & 0 & C'_L \\ 0 & 0 & B \cdot C'_M \end{bmatrix}$$

Den flukterende delen av vindens hastighet er kun i u og w retning derfor er \vec{B}_q en 3×2 matrise.

Har kun hastighetskomponenter for konstruksjonens bevegelse i r_y og r_z retning. Derfor er siste kolonne i matrisen $\vec{C}_{ae} = 0$

Har kun bevegelseskomponenter for konstruksjonens bevegelse i r_θ retning. Derfor er de to første kolonnene i matrisen $\vec{K}_{ae} = 0$

Ser ut fra dette at $\vec{B}_q \cdot \vec{v}$ gir den dynamiske lasten mhp turbulenskomponentene u og w , mens $\vec{C}_{ae} \cdot d\vec{r}/dt$ og $\vec{K}_{ae} \cdot \vec{r}$ er last pga hhv hastigheten og forskyvningen til konstruksjonen.

Disse sammenhengene kan også transformeres slik at de kan uttrykkes i frekvensdomene istedenfor i tidsdomene. Dette gjør at responsen kan regnes ut i frekvensdomene.

Analysen blir utført på modal form. Basis antakelsen bak modal analyse er at konstruksjonens respons $R_i(y,t)$ kan uttrykkes som en sum av produktet mellom egensvingningene og en tidsavhengig funksjon $\eta_i(t)$

Dette gir:

Vindberegninger for Sandsfjord bru

$$R(y, t) = \sum_{i=1}^{N_{\text{mode}}} \begin{pmatrix} \phi_{yi} \\ \phi_{zi} \cdot \eta_i(t) \\ \phi_{\theta i} \end{pmatrix}$$

Summeringen foregår etter spesielle regler som avhenger av hvilken kobling det er mellom egensvingningene.

Som vist i uttrykket for $R(y, t)$ over så kan hvert svingemodus ha tre bevegelseskomponenter (horisontalt, vertikalt, torsjon). Dersom egensvingningsformene er veldig ulike (godt adskilt) vil kovarians bidraget mellom egensvingningene være 0 dvs at den totale kovariansen av snittkreftene vil være summen av kovariansen fra hver egensvingning.

Tilsvarende dersom en svingning kun har en komponent dvs enten horisontalt, vertikalt eller torsjon vil responsen være summen av alle variancebidragene fra hver enkelt egensvingning som inneholder den komponenten.

Den totale lasten for hver svingemodus vil være summen av vind induserte og bevegelses induserte bidrag. (jmf matriselikninger gitt ovenfor)

Dette kan uttrykkes følgende:

$$q_{\text{tot}} := \mathbf{q}(x, t) + q_{\text{ae}} \left[y, t, r_i, \frac{d}{dt}(r_i), \frac{d^2}{dt^2} r_i \right] \quad q(x, t) = \text{Vindstrøm indusert del}$$

$$q_{\text{ae}} \left[y, t, r_i, \frac{d}{dt}(r_i), \frac{d^2}{dt^2} r_i \right] = \text{tilleggslast forårsaket av vekselvirkning mellom konstruksjonens bevegelse og vindstrømmen}$$

$$\text{På matriseform der det tas hensyn til hver enkelt komponent: } \mathbf{q}(x, t) = (q_y \quad q_z \quad q_\theta)^T \quad q_{\text{ae}} \left[x, t, r_i, \frac{d}{dt}(r_i), \frac{d^2}{dt^2} r_i \right] = (q_y \quad q_z \quad q_\theta)_{\text{ae}}^T$$

Den modale likevektslikningen gitt i tidsdomene for mode nr i er da gitt ved:

$$M_{i_modal} \left(\frac{d^2}{dt^2} \eta_i(t) \right) + C_{i_modal} \left(\frac{d}{dt} \eta_i(t) \right) + K_{i_modal} \eta_i(t) = Q_{i_modal}(t) + Q_{\text{ae}j_modal} \left(t, \eta_i(t), \frac{d}{dt} \eta_i(t), \frac{d^2}{dt^2} \eta_i(t) \right)$$

Massematrisen inneholder både forskyvnings og rotasjonsmasse

Vindberegninger for Sandsfjord bru

hvor

$$\left(\begin{array}{c} Q_i(t) \\ Q_{ae} \left(t, \eta_i(t), \frac{d}{dt} \eta_i(t), \frac{d^2}{dt^2} \eta_i(t) \right) \end{array} \right) = \int_0^{L_{exp}} \phi_i \ddot{\left(\begin{array}{c} q \\ q_{ae} \end{array} \right)} dx$$

og

$$\left(\begin{array}{c} M_{i_modal} \\ C_{i_modal} \\ K_{i_modal} \end{array} \right) = \int_0^{L_{exp}} \left(\begin{array}{c} \phi_i^T \cdot M_{ae} \cdot \phi_i \\ \phi_i^T \cdot C_{ae} \cdot \phi_i \\ \phi_i^T \cdot K_{ae} \cdot \phi_i \end{array} \right) dx$$

Disse likningene kan også transformeres fra tidsdomene til frekvensdomene.

1.3 TVERRSNITTSDATA FOR BRUBJELKEN

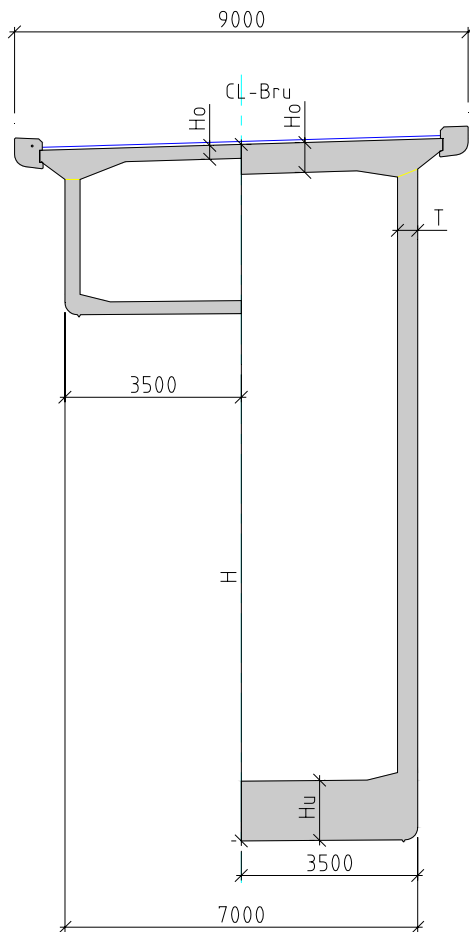
Figuren under til venstre viser et typisk tverrsnitt av en FFB-bru.

Det stilles ulike krav til tverrsnittet ved søylene enn det gjør ved midtspenn. (Pga moment/skjær virkning)

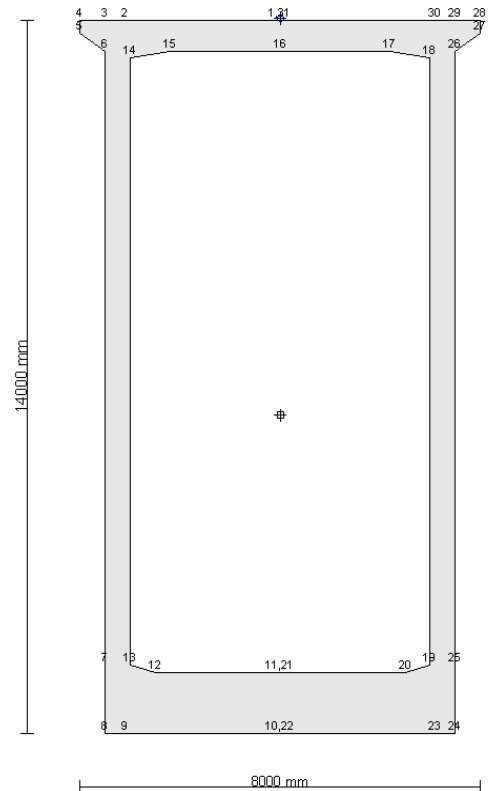
Ved søylen har en ofte som tommelfingerregel at kassehøyden er L_s (L_s = lengde spenn) /20, tykkelse undergurt = $L_s/250$. Tykkelsen av bruplata ved søylen bestemmes av plassbehov til spennarmering og nødvendig tykkelse for å ta opp tverrkrefter.

Ved midtspenn er kassehøyde $L_s/80-90$, men innvendig høyde bør være minimum 2m for å ha godt arbeidsrom i byggefasen og for senere inspeksjons og vedlikeholdsarbeider. Tykkelse undergurt og bruplata bestemmes av nødvendig plassbehov til spennarmering og nødvendig tykkelse for å ta opp tverrkrefter.

Vindberegninger for Sandsfjord bru



Figur 2 viser ytterpunktene til tverrsnittsgeometrien



Figur 3 viser et typisk tverrsnitt slik det er brukt i systemanalysen i Nova Frame. Punktet inni tverrsnittet angir massesenteret.

Som figur 3 over viser er tverrsnittet i Nova Frame bygget opp med linjer trukket mellom referansepunkt som har et unikt nummer. Det er som beskrevet ovenfor nødvendig med variasjon av tykkelser og høyder til tverrsnittet. I det følgende er det vist i tabellform hvordan høyde og tykkelser varierer langs bruens lengdeakse.

1.3.1 Akse 2 til akse 1 (95m)

For akse plassering jf ref /16/ Oversiktstegn. Snittnummereringen i kolonnen helt til venstre (snitt nr.) er ihht støpeskjøtning. Profildata (gitt i kolonnen: Profil øst) er ihht veglinjen og er gitt i meter. De øvrige verdier (tykkelse og høyde) er gitt i mm. Som det fremkommer så varierer høyden (gitt i kolonnen $H(x)$) fra 14.0m ved veggskive til 4.1m ved land og til 3,34m der hvor utkrageren har sin laveste høyde. Det er også store variasjoner i tykkelsen til toppplaten (T(topp-pl)) og bunnplate (T(bunnpl.)), mens steget (T(steg.)). har noe mindre variasjon. Kolonnen X viser avstanden fra akse, gitt i meter, for hvert snitt.

Vindberegninger for Sandsfjord bru

Tabell 1 viser tverrsnittdata for utkrageren bygget fra akse 2 mot vest (akse 1)

TVERRSNITTSDATA FOR BRUBJELKEN I FRITT FRAMBYGG BRUER							
$H(x)=(H_0+C_0)-H_0\sqrt{1-C*((X_0-X)/X)^2}$							
Sandsfjord bru. Fra pilar akse 2 mot vest.							
H0	C0	X0	Xs	H(Xs)	C1	f	C
4100	60000	95	2,5	14000	0,835	0,97368421	0,31936238
Snitt nr.	Profil øst	X	C2	H(x)	T(toppl.)	T(bunnpl.)	T(steg)
1/1	5292,000	0,00	0,680638	14000	600	1200	500
1/2	5289,000	3,00	0,700489	14000	600	1200	500
1/3	5288,000	4,00	0,706965	14000	600	1200	500
1/4	5285,000	7,00	0,725968	12978	600	1200	500
1/5	5282,000	10,00	0,744333	12335	600	1150	500
1/6	5278,250	13,75	0,766394	11574	600	1100	500
1/7	5273,250	18,75	0,794261	10627	600	1050	500
1/8	5268,250	23,75	0,820359	9756	600	1000	500
1/9	5263,250	28,75	0,844687	8956	600	950	500
1/10	5258,250	33,75	0,867246	8224	600	900	500
1/11	5253,250	38,75	0,888035	7559	600	850	500
1/12	5248,250	43,75	0,907055	6956	600	800	500
1/13	5243,250	48,75	0,924306	6415	600	750	500
1/14	5238,250	53,75	0,939788	5934	280	700	400
1/15	5233,250	58,75	0,953500	5512	280	650	400
1/16	5228,250	63,75	0,965443	5146	280	600	400
1/17	5223,250	68,75	0,975617	4836	280	550	400
1/18	5218,250	73,75	0,984021	4581	280	500	400
1/19	5213,250	78,75	0,990656	4381	280	450	400
1/20	5208,250	83,75	0,995521	4235	280	400	400
1/21	5203,250	88,75	0,998618	4141	280	350	400
1/22	5200,125	91,875	0,999654	4110	280	300	400
1/23	5197,000	95	1	4100	280	260	400

1.3.2 Akse 2 +146.25m i retning mot akse 3

For forklaring se kap 1.3.1

Vindberegninger for Sandsfjord bru

Tabell 2 viser tverrsnittdata for utkrageren bygget fra akse 2 mot øst (akse 3)

TVERRSNITTSDATA FOR BRUBJELKEN I FRITT FRAMBYGG BRUER							
$H(x)=(H_0+C_0)-H_0\sqrt{1-C*((X_0-X)/X)^2}$							
H0	C0	X0	Xs	H(Xs)	C1	f	C
3340	60000	146,25	1	14000	0,82233333	0,99316239	0,32824131
Snitt nr.	Profil vest	X	C2	H(x)	T(toppl.)	T(bunnpl.)	T(steg)
3/1	5292,00	0,00	0,671759	14000	600	1200	500
3/2	5295,00	3,00	0,685087	14000	600	1200	500
3/3	5296,00	4,00	0,689468	14000	600	1200	500
3/4	5299,00	7,00	0,702428	13053	600	1200	500
3/5	5302,00	10,00	0,715112	12601	600	1150	500
3/6	5305,75	13,75	0,730578	12056	600	1100	500
3/7	5310,75	18,75	0,750528	11360	600	1050	500
3/8	5315,75	23,75	0,769711	10700	600	1000	500
3/9	5320,75	28,75	0,788126	10074	600	950	500
3/10	5325,75	33,75	0,805774	9481	600	900	500
3/11	5330,75	38,75	0,822655	8920	600	850	500
3/12	5335,75	43,75	0,838769	8389	600	800	500
3/13	5340,75	48,75	0,854115	7889	600	750	500
3/14	5345,75	53,75	0,868694	7418	600	700	400
3/15	5350,75	58,75	0,882505	6975	600	650	400
3/16	5355,75	63,75	0,895550	6560	600	600	400
3/17	5360,75	68,75	0,907827	6172	600	550	400
3/18	5365,75	73,75	0,919336	5811	600	500	400
3/19	5370,75	78,75	0,930079	5476	280	450	400
3/20	5375,75	83,75	0,940054	5166	280	400	400
3/21	5380,75	88,75	0,949262	4882	280	350	400
3/22	5385,75	93,75	0,957702	4623	280	300	400
3/23	5390,75	98,75	0,965375	4388	280	260	400
3/24	5395,75	103,75	0,972281	4177	280	260	300
3/25	5400,75	108,75	0,978419	3991	280	260	300
3/26	5405,75	113,75	0,983791	3828	280	260	300
3/27	5410,75	118,75	0,988394	3689	280	260	300
3/28	5415,75	123,75	0,992231	3574	280	260	300
3/29	5420,75	128,75	0,9953	3481	280	260	300
3/30	5425,75	133,75	0,997602	3412	280	260	300
3/31	5430,75	138,75	0,999137	3366	280	260	300
3/32	5435,75	143,75	0,999904	3343	280	260	300
3/33	5438,25	146,25	1	3340	280	260	300

1.3.3 Akse 3 +143,74m i retning mot akse 2

Denne aksen er speilvendt av den som er gitt i tverrsnittdataene fra akse 2. Eneste forskjell er at antall snitt er 32. Dvs at en må trekke fra siste støpetappe, som er koblingsetappen derfor blir lengden 2.5 meter kortere.

1.3.4 Akse 3 + 154m mot akse 4

For forklaring se kap 1.3.1

Vindberegninger for Sandsfjord bru

Tabell 3 viser tverrsnittdata for utkrageren bygget fra akse 3 mot øst (akse 4)

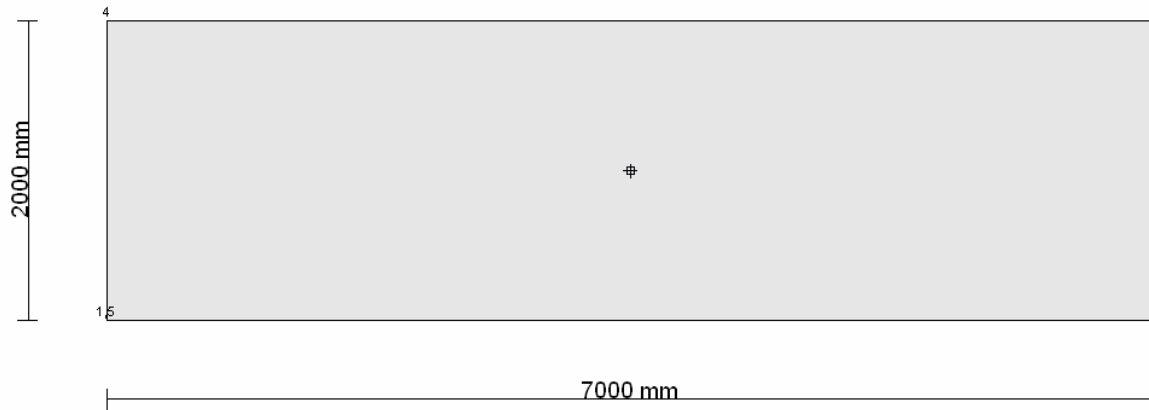
$H(x)=(H_0+C_0)-H_0*\text{SQRT}(1-C*((X_0-X)/X)^2)$							
H0	C0	X0	Xs	H(Xs)	C1	f	C
3340	60000	146,25	1	14000	0,82233333	0,99316239	0,32824131
Snitt nr.	Profil øst	X	C2	H(x)	T(toppl.)	T(bunnpl.)	T(steg)
3/1	5582,00	0,00	0,671759	14000	600	1200	400
3/2	5585,00	3,00	0,685087	14000	600	1200	400
3/3	5586,00	4,00	0,689468	14000	600	1200	400
3/4	5589,00	7,00	0,702428	13053	600	1200	400
3/5	5592,00	10,00	0,715112	12601	600	1150	400
3/6	5595,75	13,75	0,730578	12056	600	1100	400
3/7	5600,75	18,75	0,750528	11360	600	1050	400
3/8	5605,75	23,75	0,769711	10700	600	1000	400
3/9	5610,75	28,75	0,788126	10074	600	950	400
3/10	5615,75	33,75	0,805774	9481	600	900	400
3/11	5620,75	38,75	0,822655	8920	600	850	400
3/12	5625,75	43,75	0,838769	8389	600	800	400
3/13	5630,75	48,75	0,854115	7889	600	750	400
3/14	5635,75	53,75	0,868694	7418	600	700	400
3/15	5640,75	58,75	0,882505	6975	600	650	400
3/16	5645,75	63,75	0,895550	6560	600	600	400
3/17	5650,75	68,75	0,907827	6172	600	550	400
3/18	5655,75	73,75	0,919336	5811	600	500	400
3/19	5660,75	78,75	0,930079	5476	600	450	400
3/20	5665,75	83,75	0,940054	5166	280	400	300
3/21	5670,75	88,75	0,949262	4882	280	350	300
3/22	5675,75	93,75	0,957702	4623	280	300	300
3/23	5680,75	98,75	0,965375	4388	280	260	300
3/24	5685,75	103,75	0,972281	4177	280	260	300
3/25	5690,75	108,75	0,978419	3991	280	260	300
3/26	5695,75	113,75	0,983791	3828	280	260	300
3/27	5700,75	118,75	0,988394	3689	280	260	300
3/28	5705,75	123,75	0,992231	3574	280	260	300
3/29	5710,75	128,75	0,9953	3481	280	260	300
3/30	5715,75	133,75	0,997602	3412	280	260	300
3/31	5720,75	138,75	0,999137	3366	280	260	300
3/32	5725,75	143,75	0,999904	3343	280	260	300
3/33	5730,75	148,75	0,999904	3340	280	260	300
3/34	5733,38	151,375	0,999597	3340	280	260	300
3/35	5736,00	154,00	0,999078	3340	280	260	300

1.4 VEGGSKIVER AKSE 2 OG 3

For underbygning er det modelert veggskiver som søyler. Figuren under viser dimensjonene på veggskiven som er lagt inn i Nova Frame modellen. Veggskivene er modelert inn ved akse 2 og akse 3. Det er 2 stk pr akse med en avstand c/c på 6 m målt langs broens lengderetning. (Se ref 16 Oversiktstegning)

Vindberegninger for Sandsfjord bru

Veggskivene blir utsatt for store belastninger i byggefasen når brubjelken er utkraget, men mindre i ferdigtilstand når brubjelken er sammenkoblet. Det er av betydning å ikke gjøre veggskivene for stive siden de da vil bli påført store påkjenninger i ferdigtilstand pga deformasjonslaster i brubjelken.



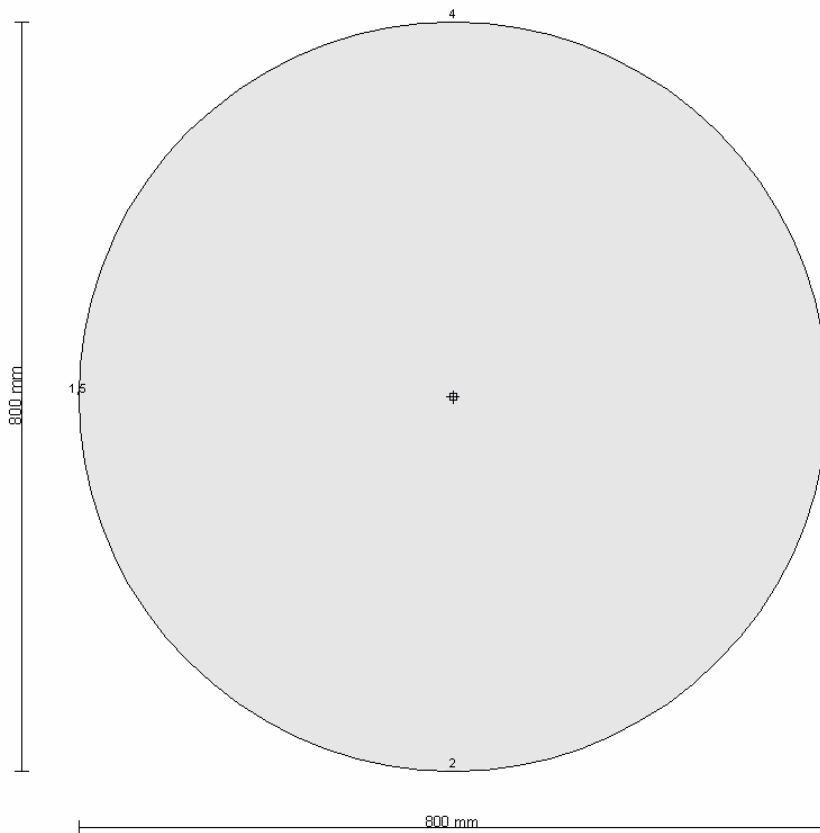
Figur 4 viser et typisk tverrsnitt av veggskivene.

Vindberegninger for Sandsfjord bru

1.5 HJELPESØYLER MELLOM AKSE 1 OG 2

Pga ubalansert utbygging fra søylen ved akse 2 og for å redusere horisontalforskyvningen for utkrageren fra akse 2 mot akse 3 er det lagt opp til å bruke en hjelpesøyle mellom akse 1 og 2. Pga de høye horisontale belastningene er søylene utformet som V med felles innfestningspunkt i toppen

Figuren under viser et typisk tverrsnitt av hjelpesøylene som er brukt i systemanalysen i Nova Frame.



Figur 5 viser tverrsnitt av hjelpesøyle.

Vindberegninger for Sandsfjord bru

1.6 MATERIALER

For FFB fra akse 3 er det forutsatt normalbetong B45 i element 3198-3208 og 3398-3408 og lettbetong LB45 i element 3209-3228 og 3409-3432

For FFB fra akse 3 er det forutsatt normalbetong B45 i element 2297-2308 og 2100-2120 og lettbetong LB45 i element 2309-2329.

For normalbetongen er det benyttet Ecn ihht ref/1/

For lettbetong skal ihht ref /1/ Ecn bestemmes ved prøving av den aktuelle betongtypen.

Velger derfor å benytte samme verdi for lettbetongen som er brukt i ref /12/

Ut fra erfaringstall velger en innledningsvis å øke E modulen for analysemodellem med 25% for å dekke økt stivhet som følge av armering innlagt i tverrsnittet. Nøyaktigere E-modul kan bestemmes på et senere tidspunkt når tverrsnittet er dimensjonert. Ref /17/

Dette gir følgende E-moduler som input i Nova Frame:

Normalbetong: $E_{cn} 28879 \text{ N/mm}^2 * 1,25 = 36099 \text{ N/mm}^2$
Lettbetong: $E_{cn} 21407 \text{ N/mm}^2 * 1,25 = 26759 \text{ N/mm}^2$

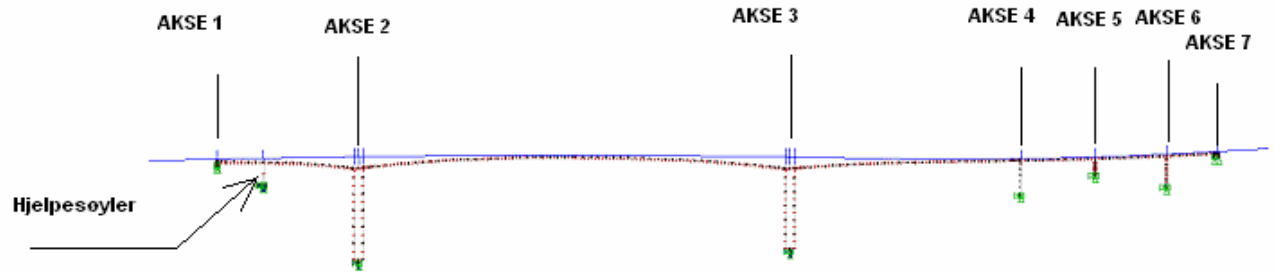
For massetetthet er det gitt følgende verdier:

Normalarmert betong: 2,5 t/m³ (Veggskiver og fundament)
Spennarmert betong: 2,6 t/m³ (Brubjelke)
Spennarmert lettbetong: 2,15 t/m³ (Brubjelke)

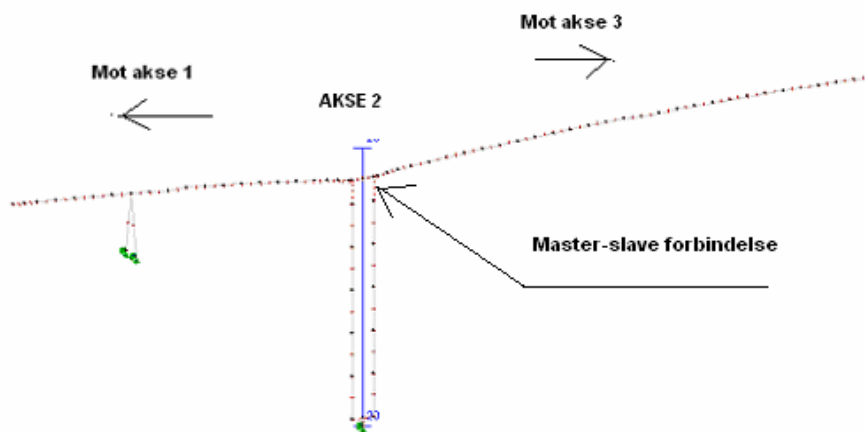
1.7 STATISK SYSTEM

For oversikt over element og nodeinndeling henvises det til vedlagt tegninger (VA-VC). For sammenkoblingen mellom søyle og brubane er det brukt en såkalt "master-slave" forbindelse. Denne forbindelsen går fra overkant søyle til massesenteret til tverrsnittet hvor bjelkeelementene til analysemodellen er plassert.

Vindberegninger for Sandsfjord bru

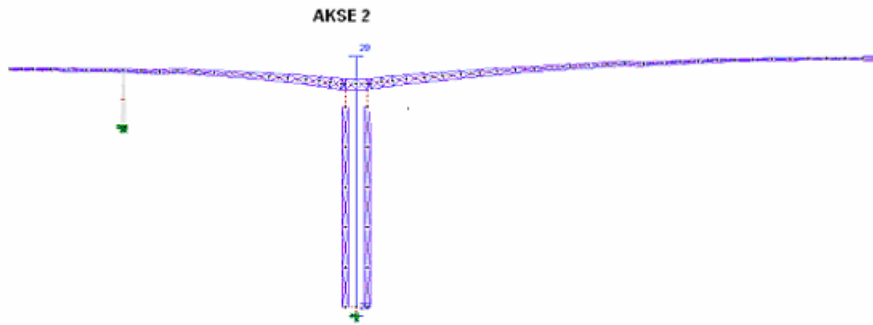


Figur 6 viser hele elementmodellen

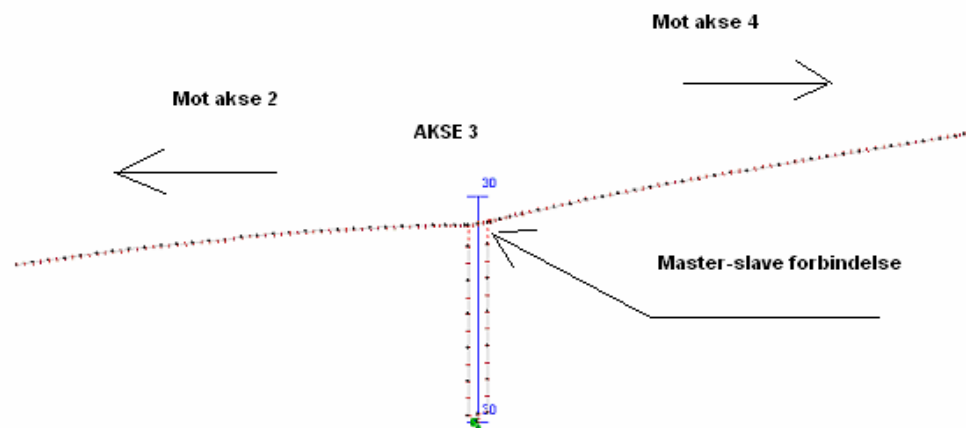


Figur 7 viser elementmodell kritisk byggetilstand med maks utkraging fra akse 2 (Kalt byggetrinn 3) For geometri til brubjelken se tabell 1 og 2.

Vindberegninger for Sandsfjord bru

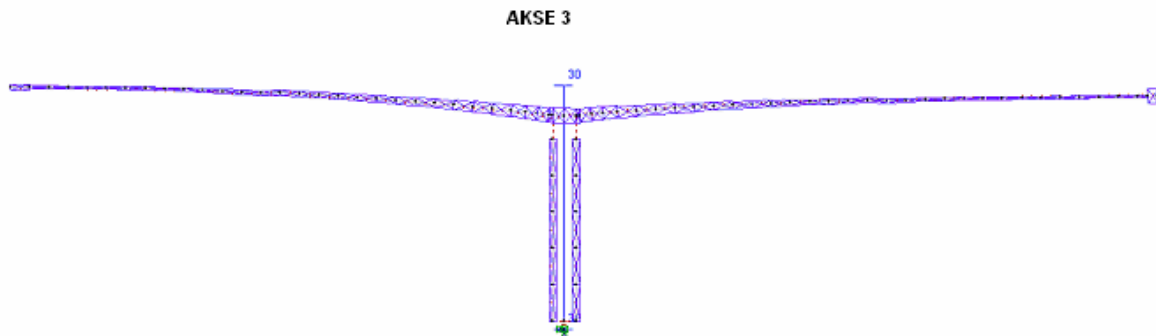


Figur 8 viser vindareal kritisk byggetilstand med maks utkraging fra akse 2. (Verdier for hvert enkelt element er gitt i tabell 4)



Figur 9 viser elementmodell kritisk byggetilstand med maks utkraging fra akse 3 (Kalt byggetrinn 4) For geometri til brubjelken se tabell 2 og 3.

Vindberegninger for Sandsfjord bru



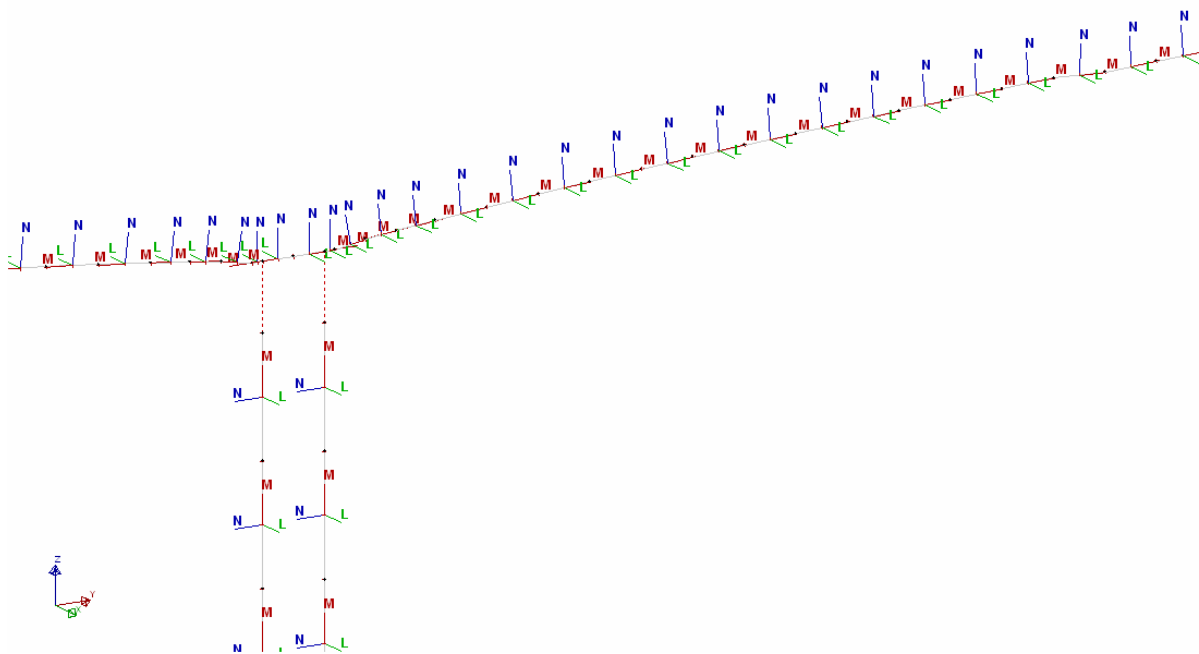
Figur 10 viser vindareal kritisk byggetilstand med maks utkraging fra akse 3 (Verdier for hvert enkelt element er gitt i tabell 4)

1.7.1 Globale og lokale aksekoordinater

Elementmodellen i Nova Frame har lokale og globale aksesystem. De lokale aksene er orientert med M-aksen parallellt med bjelkeelementet. N-aksen er i vertikalretning og L-aksen er i horisontalretning. Alle aksene står vinkelrett på hverandre.

Brua er orientert langs den globale y-aksen. Den globale z-aksen er i vertikalretning, mens den globale x-aksen er i horisontalretning.

Figuren under viser orientering av lokale og globale akser. Figuren viser et utsnitt ved akse 2, akseplasseringen vist her er typisk for hele konstruksjonen.



Figur 11 viser lokale og globale akser for ananalysemodellen

Vindberegninger for Sandsfjord bru

1.7.2 Resultat egenverdianalyse FFB fra akse 2

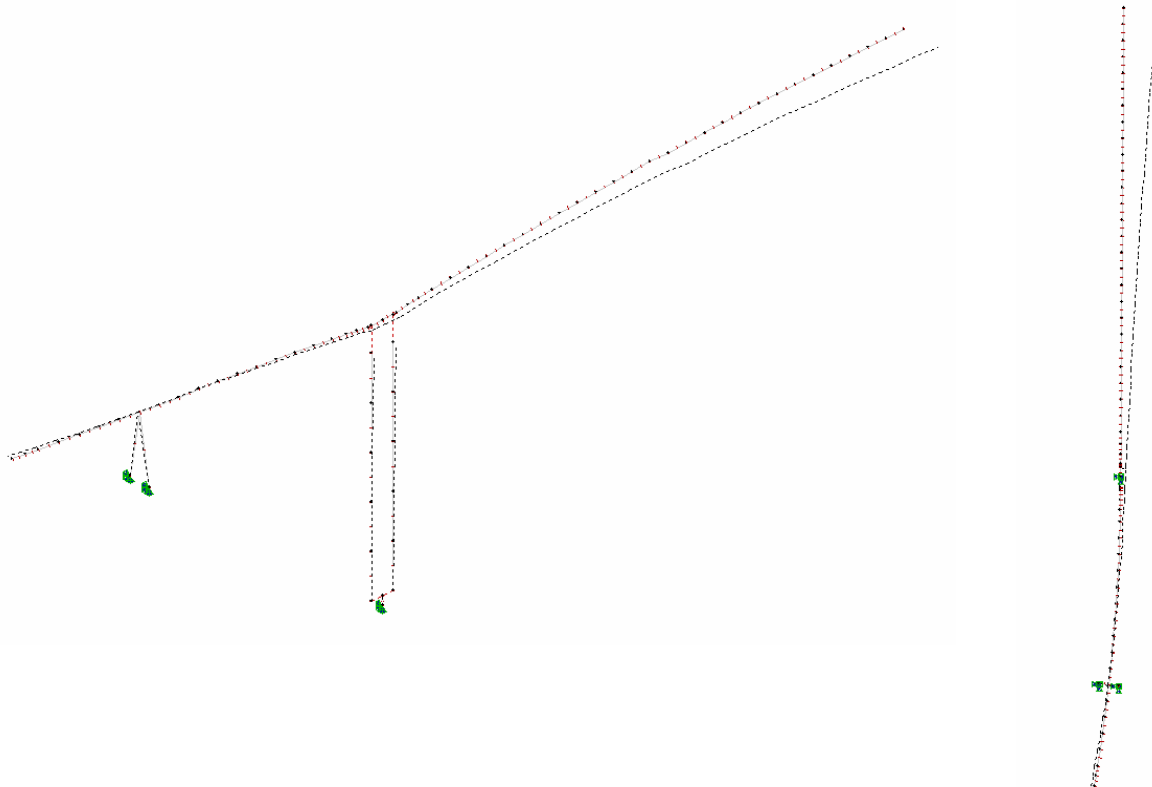
For byggetilstanden i akse 2 med maks lengde på FFB er det beregnet egenfrekvenser og svingformer. De dynamiske analysene er utført med 10 svingformer. Nedenfor er de ulike egenfrekvenssvingningene gjengitt med figurer.

For beskrivelse av svingningene er det i figurene nedenfor henvist til lokale akser.

Egenfrekvenser

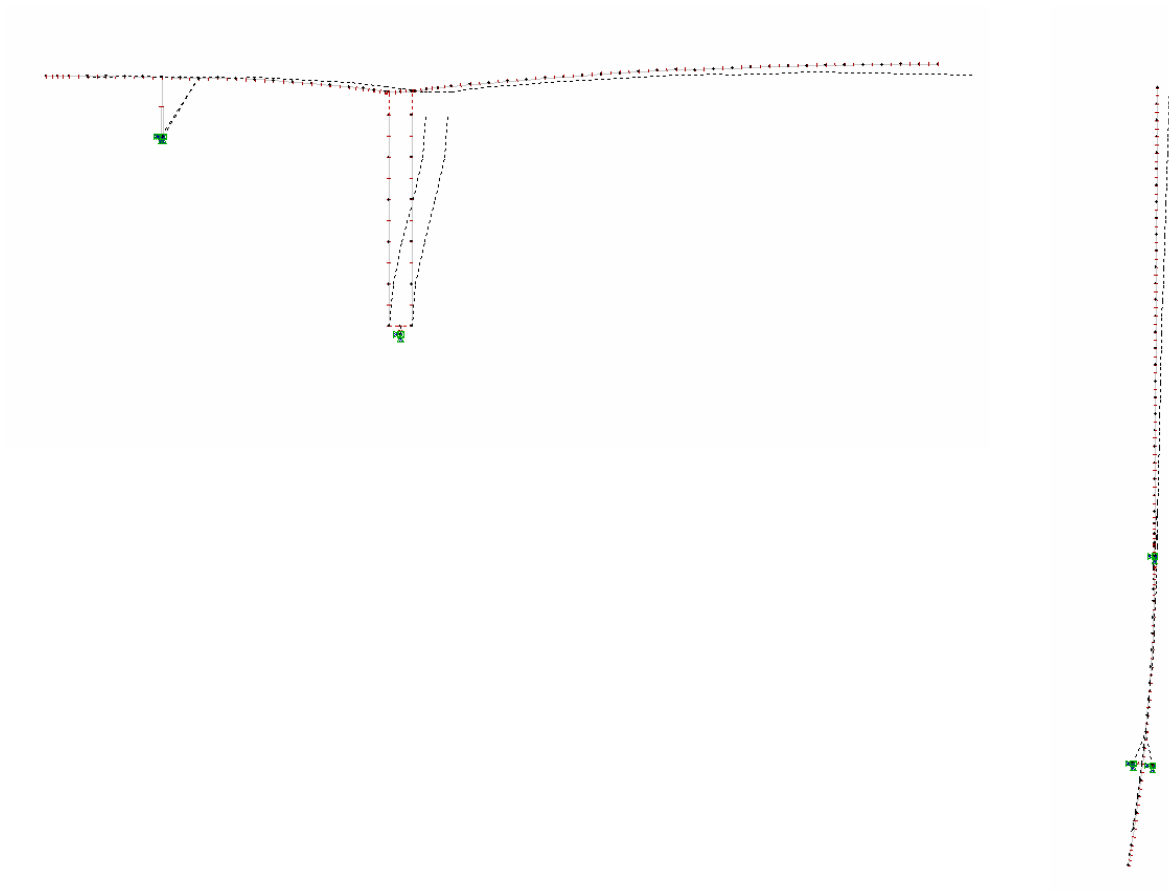
Model no.: 3 Trinn 3

Mode:	Freq. [Hz]	Omega [rad/s]	Period [sec.]
1	0.205	1.288	4.877
2	0.262	1.648	3.812
3	0.444	2.789	2.253
4	0.662	4.157	1.511
5	1.079	6.778	0.927
6	1.417	8.902	0.706
7	1.764	11.085	0.567
8	2.495	15.680	0.401
9	2.513	15.791	0.398
10	2.748	17.267	0.364



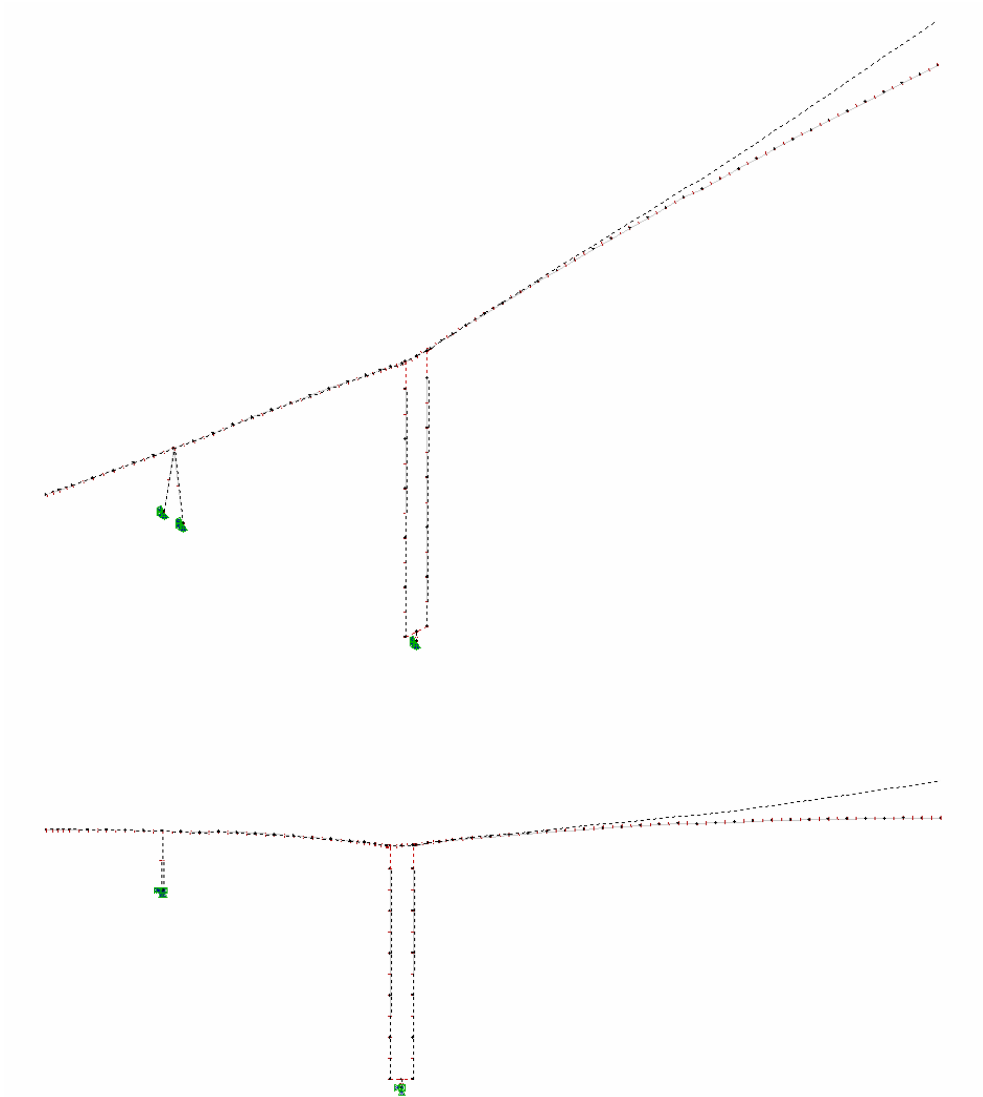
Figur 12 viser svingform 1 Frekvens 0,205 Hz Bevegelse av brubjelken i L-retning. Rotasjon av veggskivene rundt N-aksen Vist i perspektiv og plan.

Vindberegninger for Sandsfjord bru



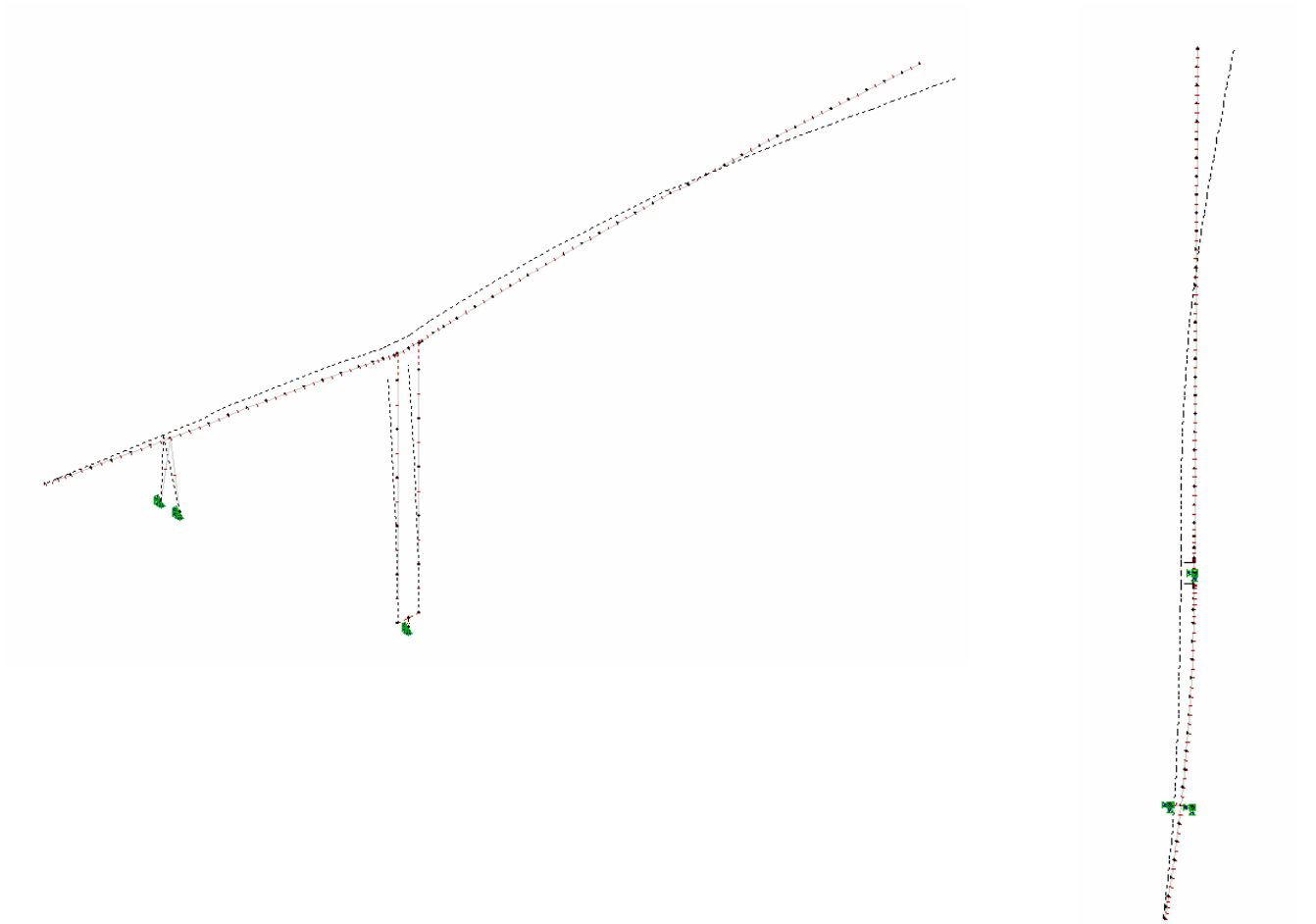
Figur 13 viser svingeform 2. Frekvens 0,262 Hz Bevegelse av brubjelken i L/M-retning. Rotasjon av veggskivene rundt L/N-aksen Vist i oppriss og plan.

Vindberegninger for Sandsfjord bru



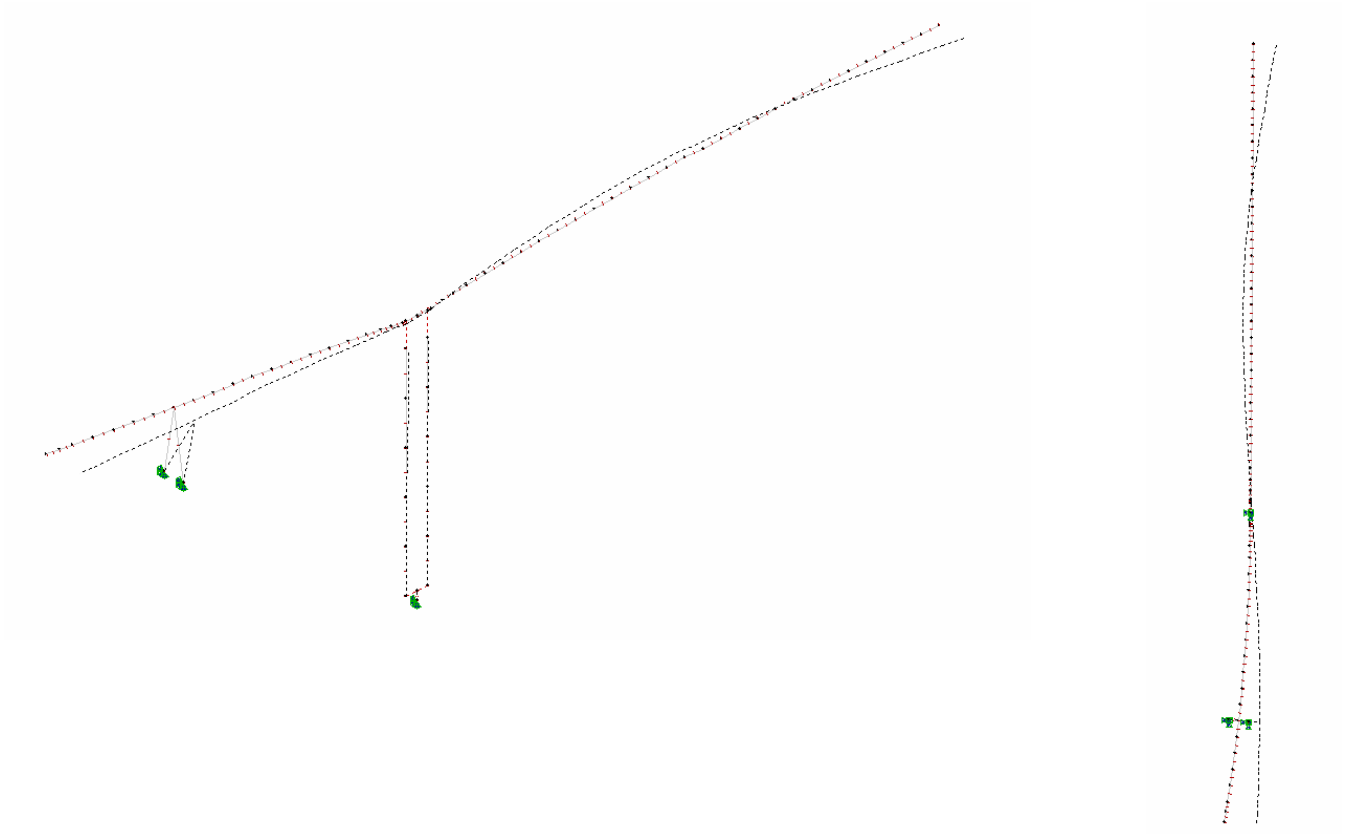
Figur 14 viser svingeform 3. Frekvens 0,444 Hz Rotasjon av brubjelken og veggskiver om L-aksen Vist i perspektiv og oppriss.

Vindberegninger for Sandsfjord bru

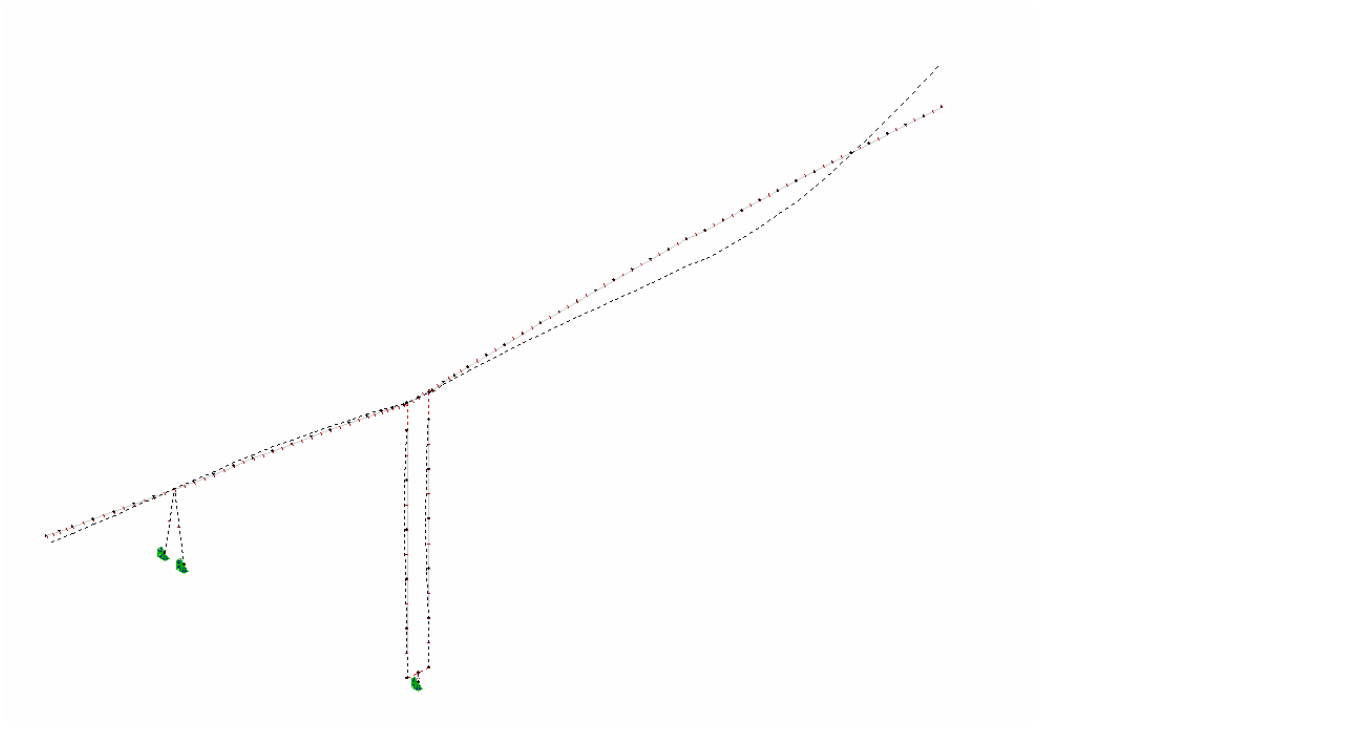


Figur 15 viser svingeform 4. Frekvens 0,662 Hz Rotasjon av brubjelke og veggskive om N-aksen. Vist i perspektiv og plan.

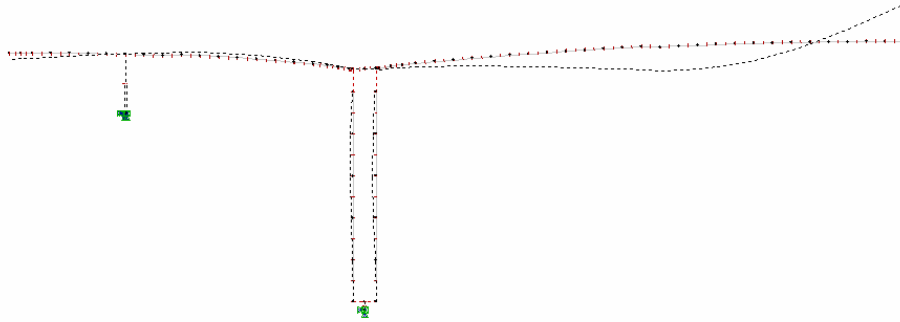
Vindberegninger for Sandsfjord bru



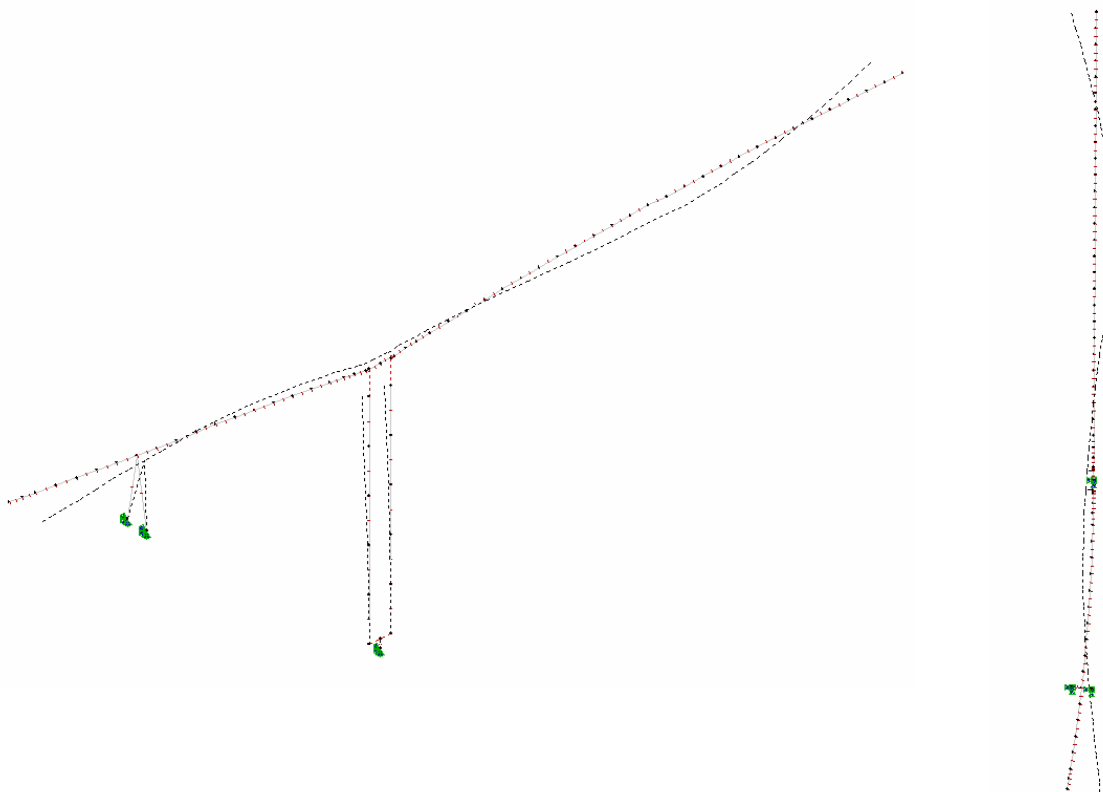
Figur 16 viser svingeform 5. Frekvens 1,079 Hz Rotasjon av brubjelke og veggskive om N-aksen. Vist i perspektiv og plan. .



Vindberegninger for Sandsfjord bru

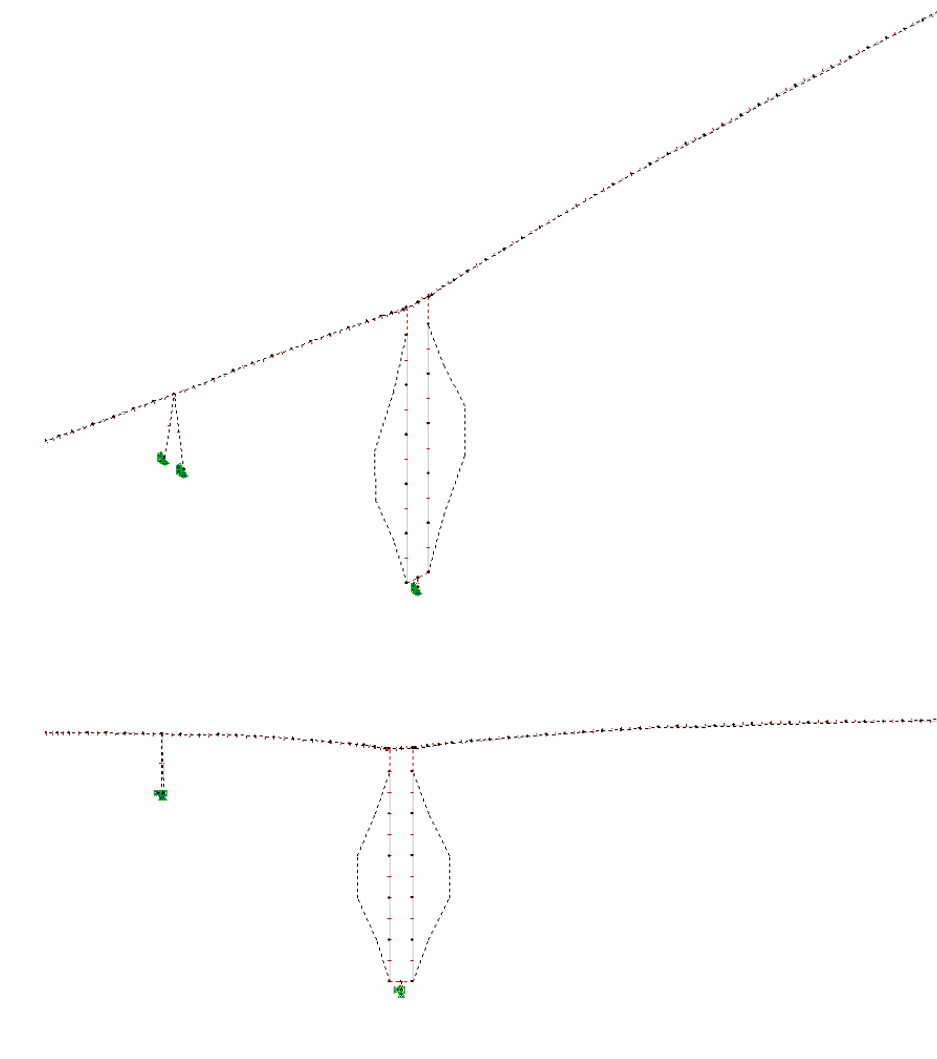


Figur 17 viser svingeform 6. Frekvens 1,417 Hz Rotasjon av brubjelke og veggskive om L-aksen. Vist i perspektiv og oppriss.



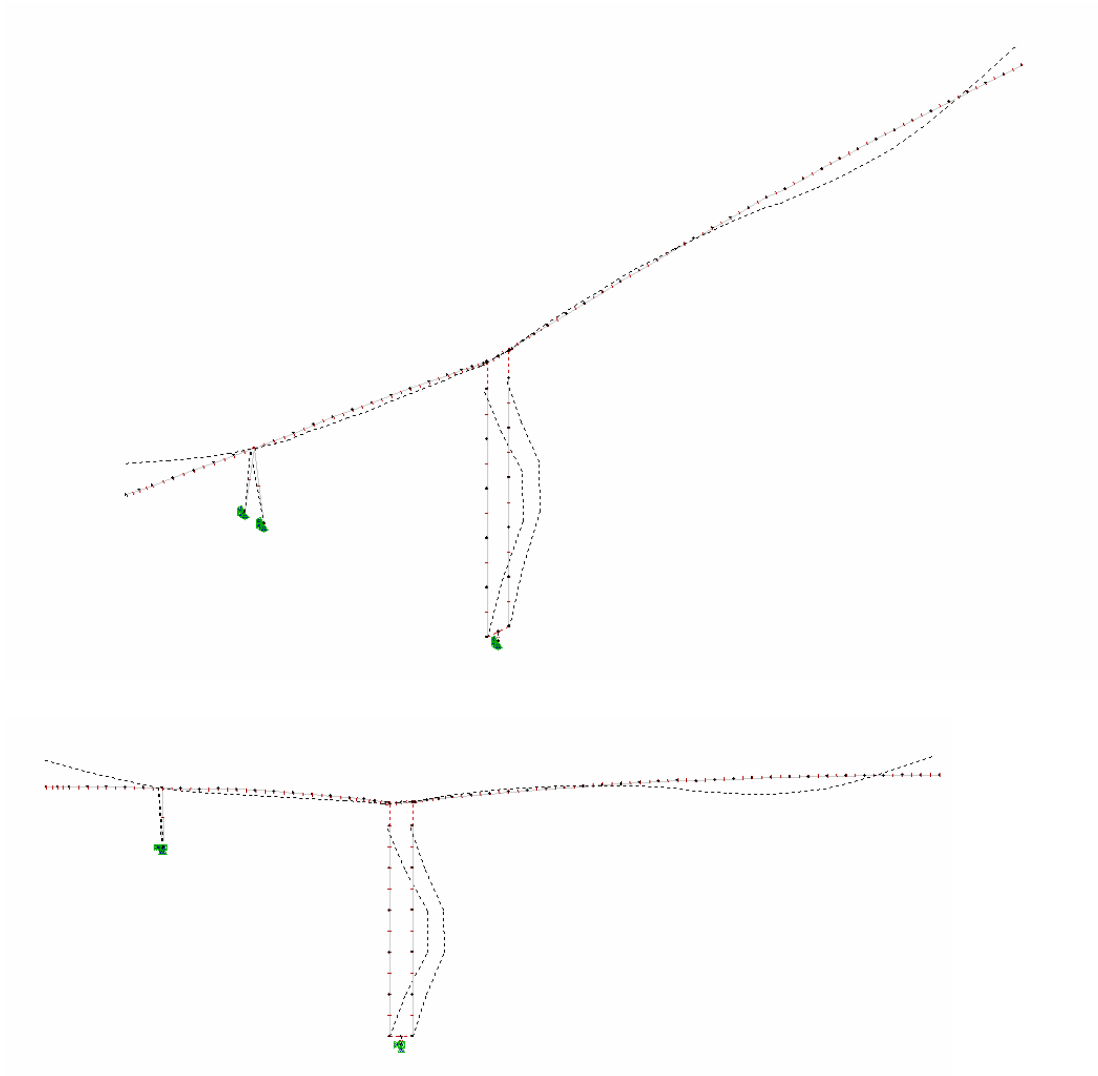
Figur 18 viser svingeform 7. Frekvens 1,764 Hz Rotasjon av brubjelke og veggskive om N-aksen. Vist i perspektiv og plan.

Vindberegninger for Sandsfjord bru



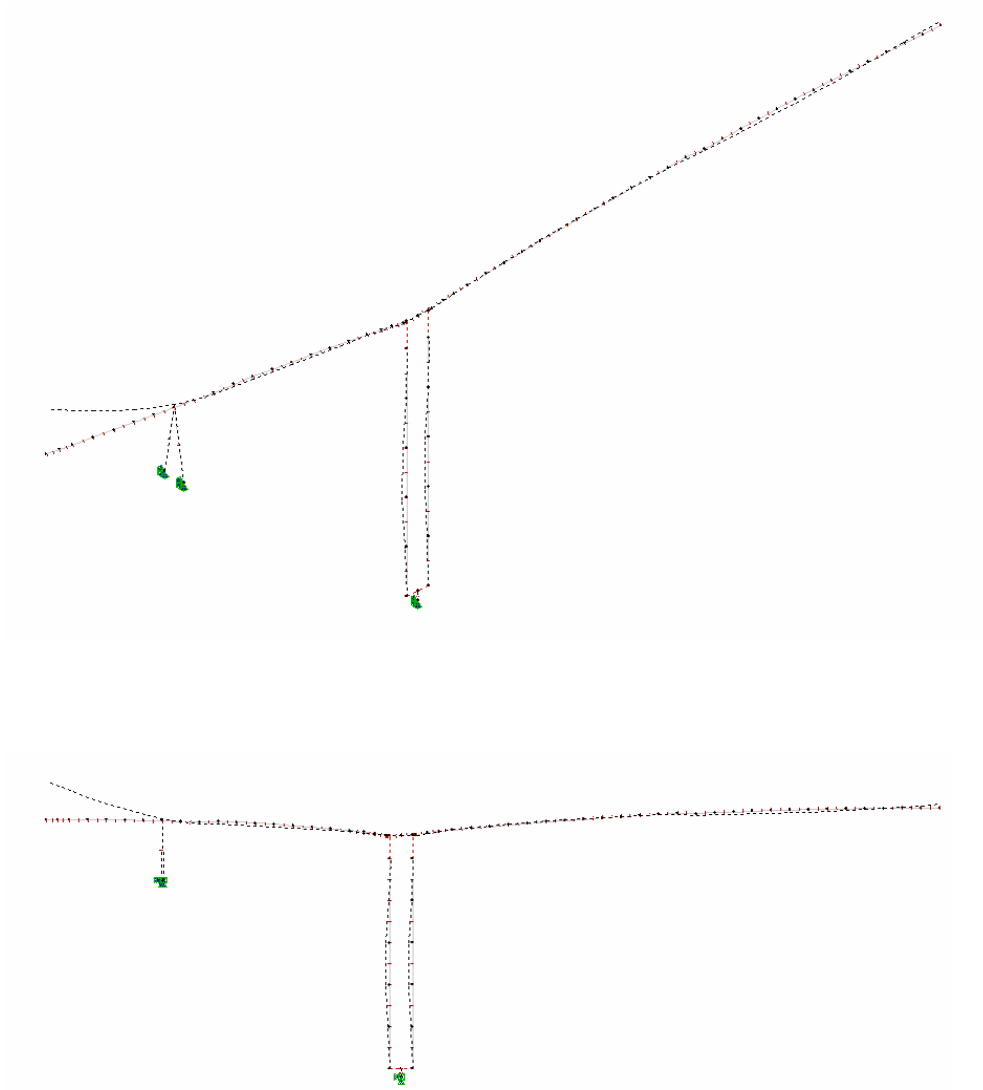
Figur 19 Viser svingform 8. Frekvens 2,495 Hz Rotasjon av veggskive om L-aksen. Vist i perspektiv og oppriss.

Vindberegninger for Sandsfjord bru



Figur 20 viser svingeform 9. Frekvens 2,513 Hz Rotasjon av brubjelke og veggskive om L-aksen. Vist i perspektiv og oppriss.

Vindberegninger for Sandsfjord bru



Figur 21 viser svingeform 10 Frekvens 2,748 Hz Rotasjon av brubjelke og veggskive om L-aksen. Vist i perspektiv og oppriss.

Vindberegninger for Sandsfjord bru

1.7.3 Resultat egenverdianalyse FFB fra akse 3

For byggetilstanden i akse 3 med maks lengde på FFB er det beregnet egenfrekvenser og svingeformer. De dynamiske analysene er utført med 10 svingeformer. Nedenfor er de ulike egenfrekvenssvingningene gjengitt med figurer.

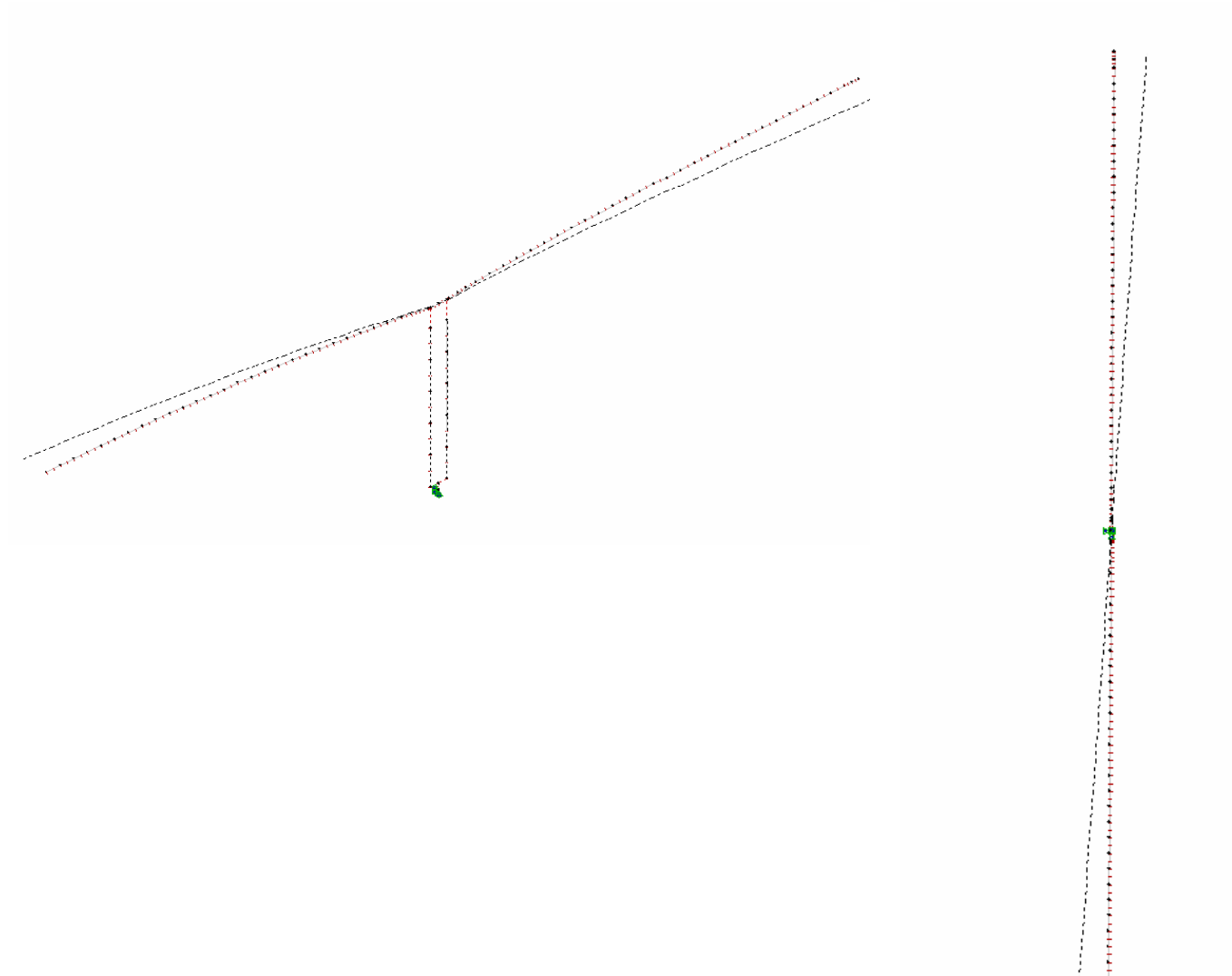
For beskrivelse av svingningene er det i figurene nedenfor henvist til lokale akser.

Egenfrekvenser

Model no.:	4	Trinn	4

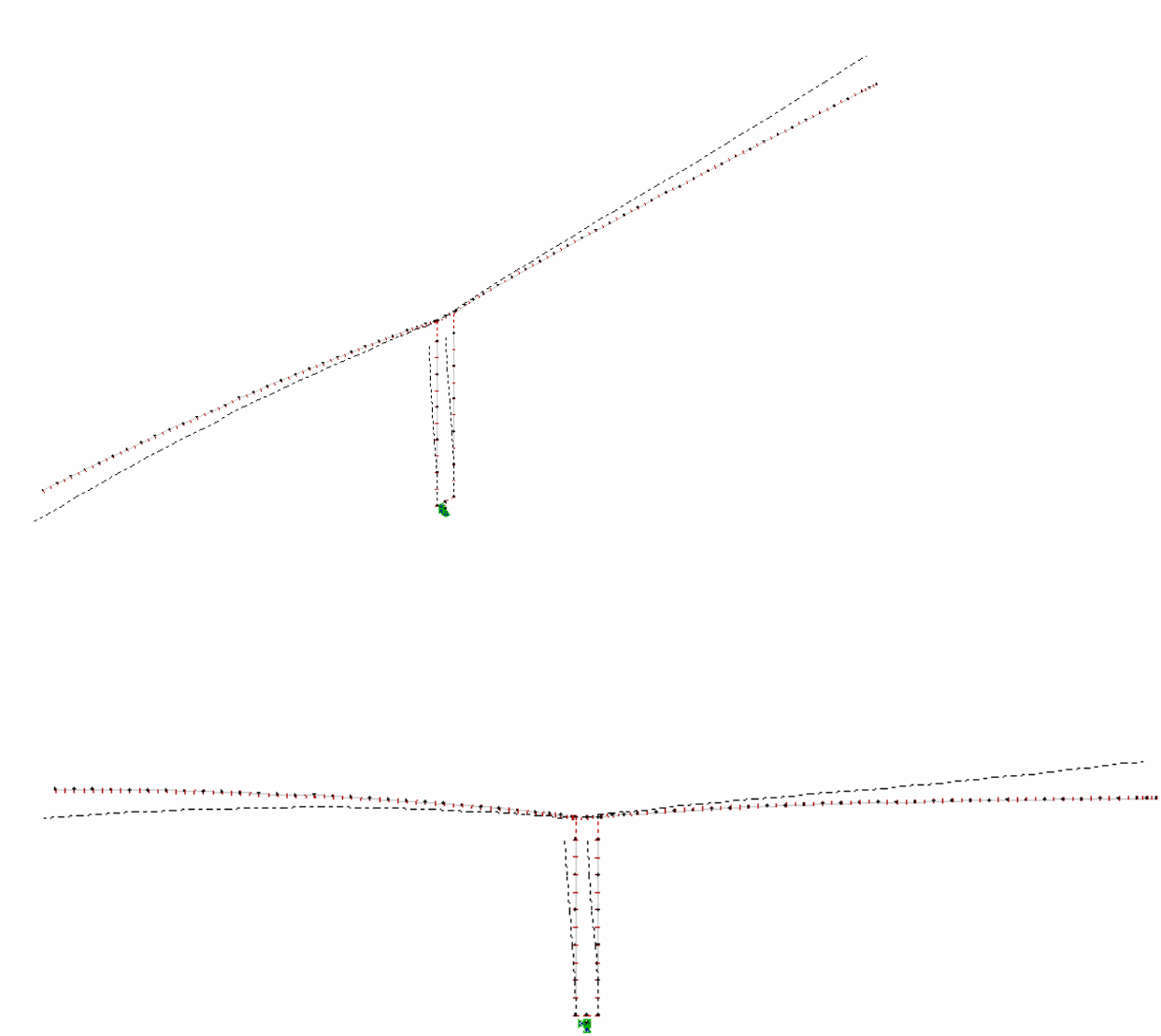
Mode:	Freq.	Omega	Period
	[Hz]	[rad/s]	[sec.]
1	0.088	0.553	11.358
2	0.240	1.509	4.163
3	0.310	1.947	3.228
4	0.336	2.110	2.978
5	0.447	2.810	2.236
6	0.636	3.994	1.573
7	1.009	6.340	0.991
8	1.044	6.559	0.958
9	1.633	10.263	0.612
10	2.035	12.789	0.491

Vindberegninger for Sandsfjord bru



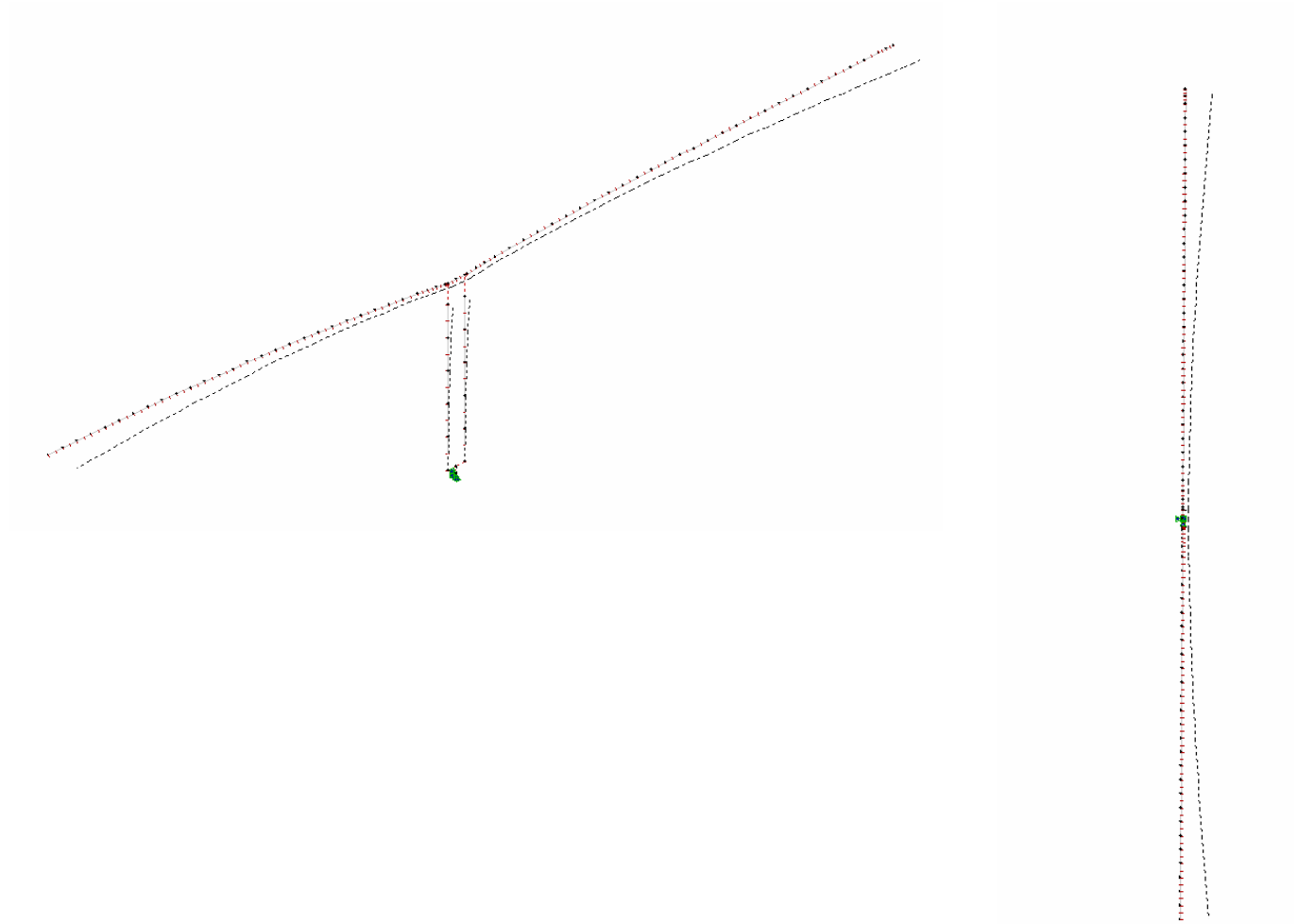
Figur 22 viser svingeform 1. Frekvens 0,088 Hz Bevegelse av brubjelken i L –retning. Rotasjon av veggskivene rundt M-aksen. Vist i perspektiv og plan.

Vindberegninger for Sandsfjord bru



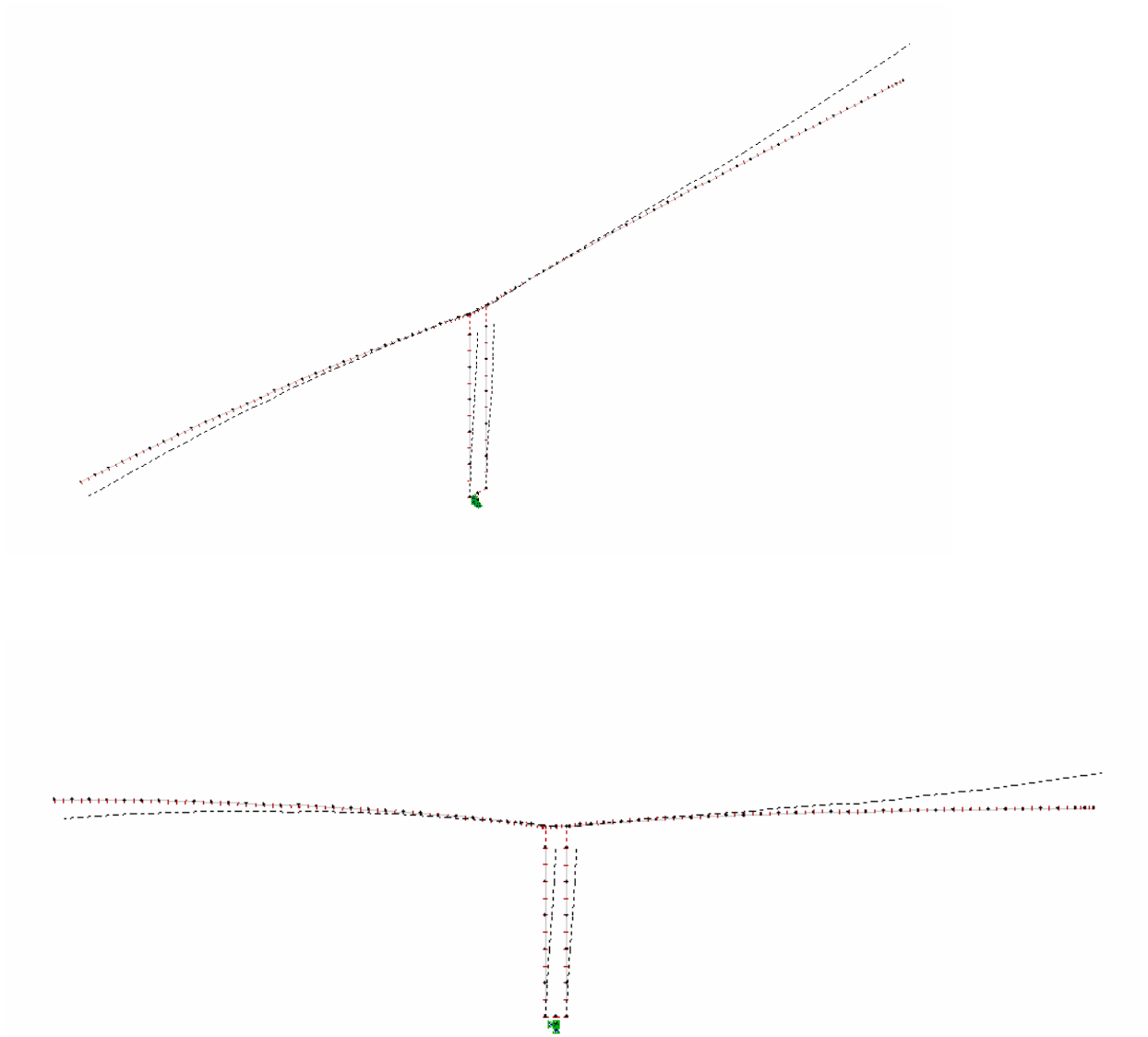
Figur 23 Viser svingform 2. Frekvens 0,240 Hz Bevegelse av brubanene i M-retning. Rotasjon av veggskivene om L-aksen. Vist i perspektiv og oppriss.

Vindberegninger for Sandsfjord bru



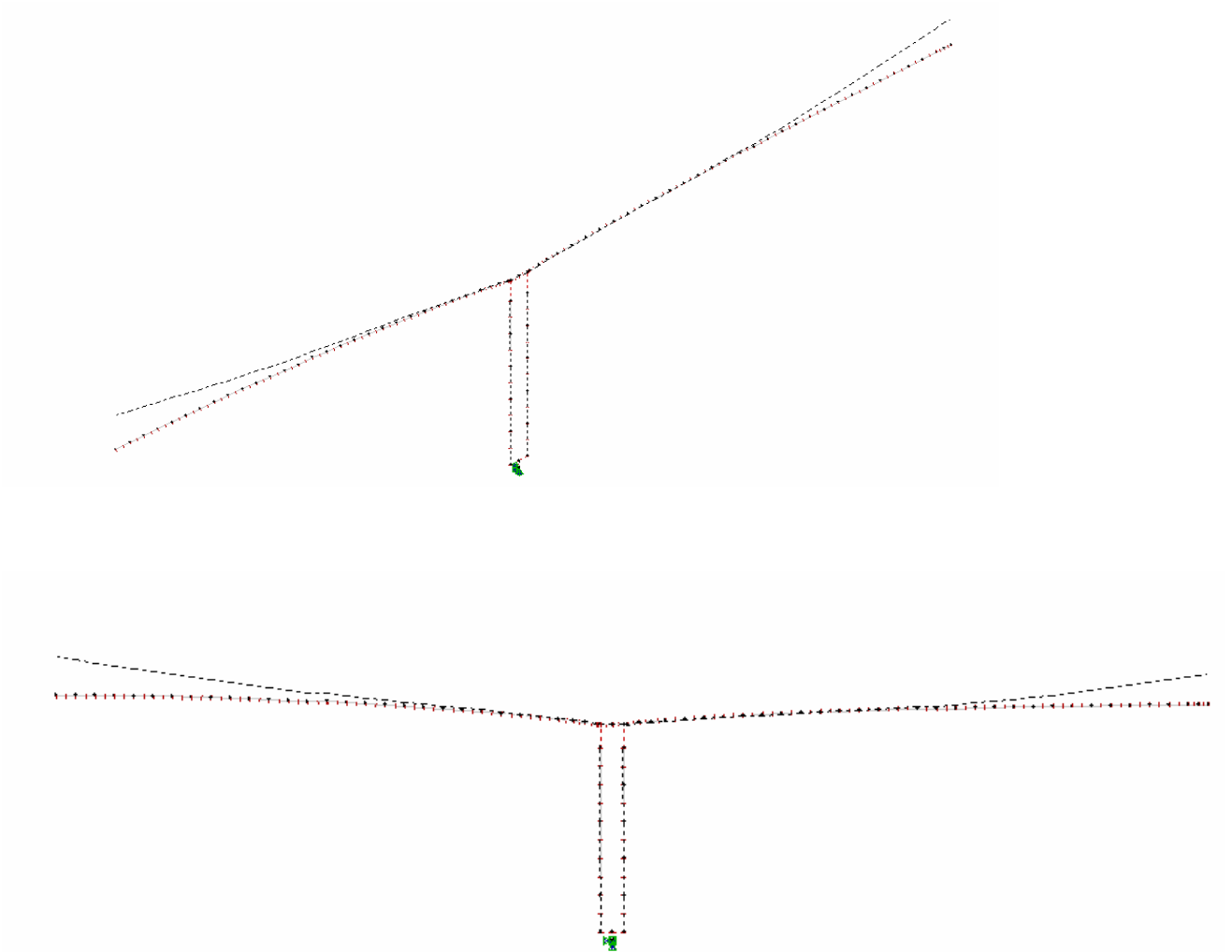
Figur 24 Viser svingform 3. Frekvens 0,310 Hz Bevegelse av brubanen i L-retning. Rotasjon av veggskivene om N-akse Vist i perspektiv og plan

Vindberegninger for Sandsfjord bru



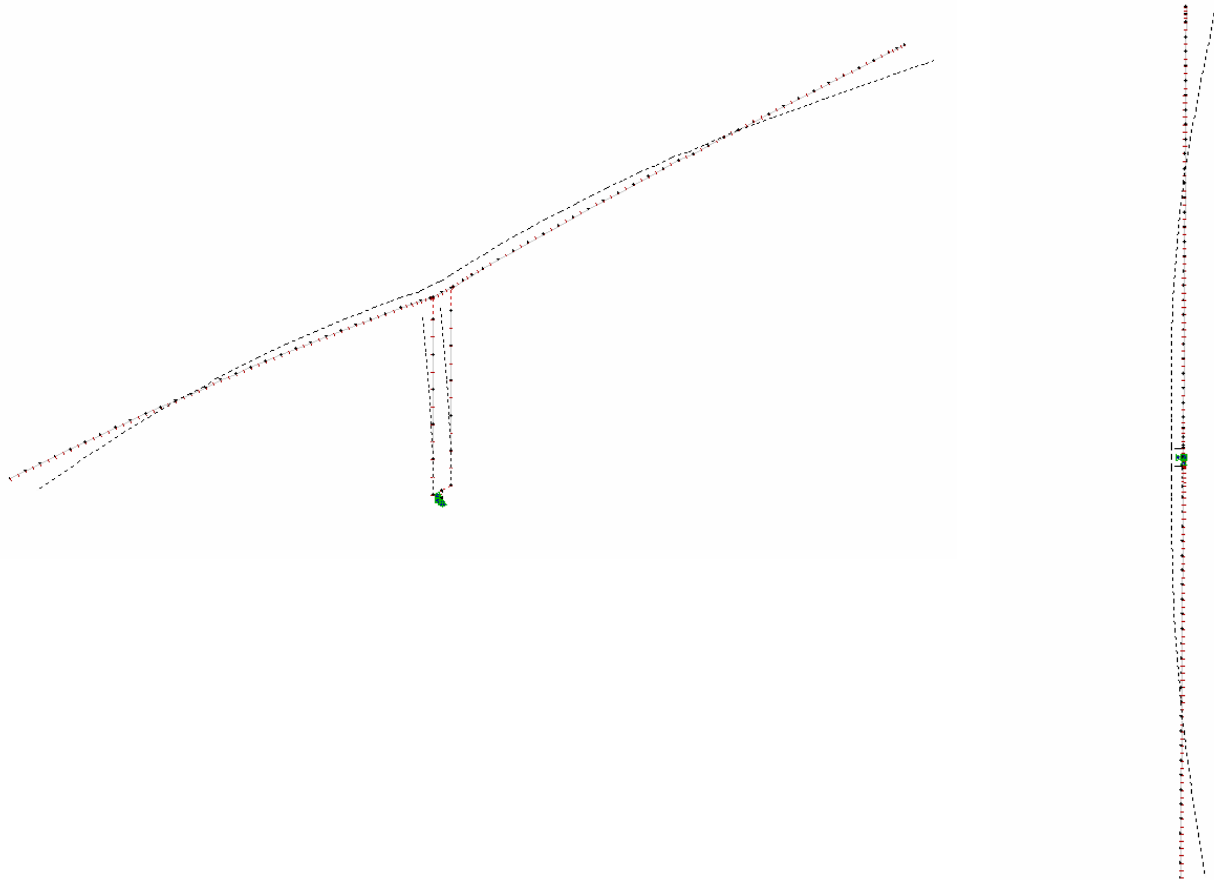
Figur 25 Viser svingeform 4 Frekvens 0,336 Hz Rotasjon av brubjelken og veggskivene om L-aksen. Vist i perspektiv og oppriss.

Vindberegninger for Sandsfjord bru

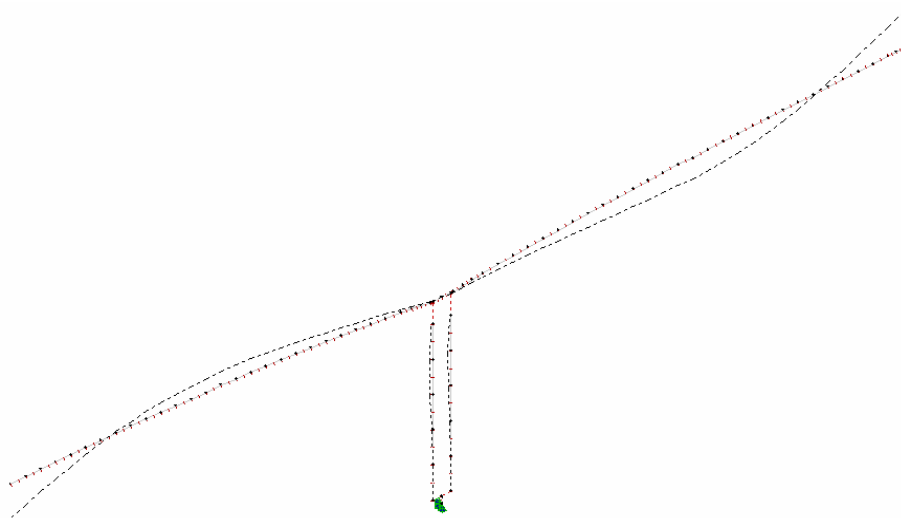


Figur 26 viser svingeform 5 Frekvens 0,447 Hz Rotasjon av brubjelken og veggskivene om L-aksen. Vist i perspektiv og oppriss

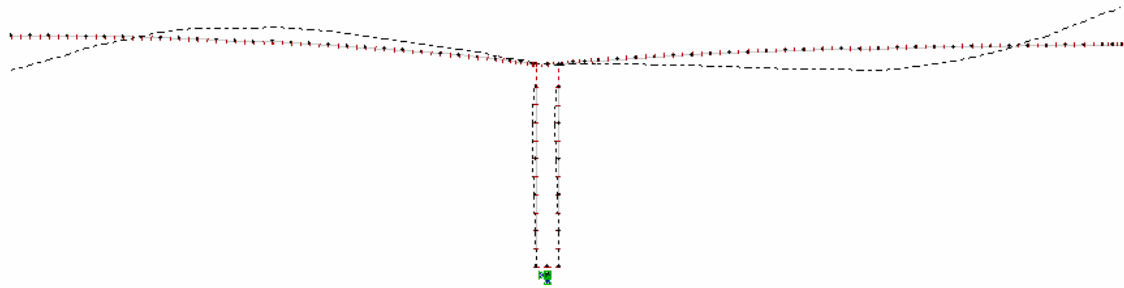
Vindberegninger for Sandsfjord bru



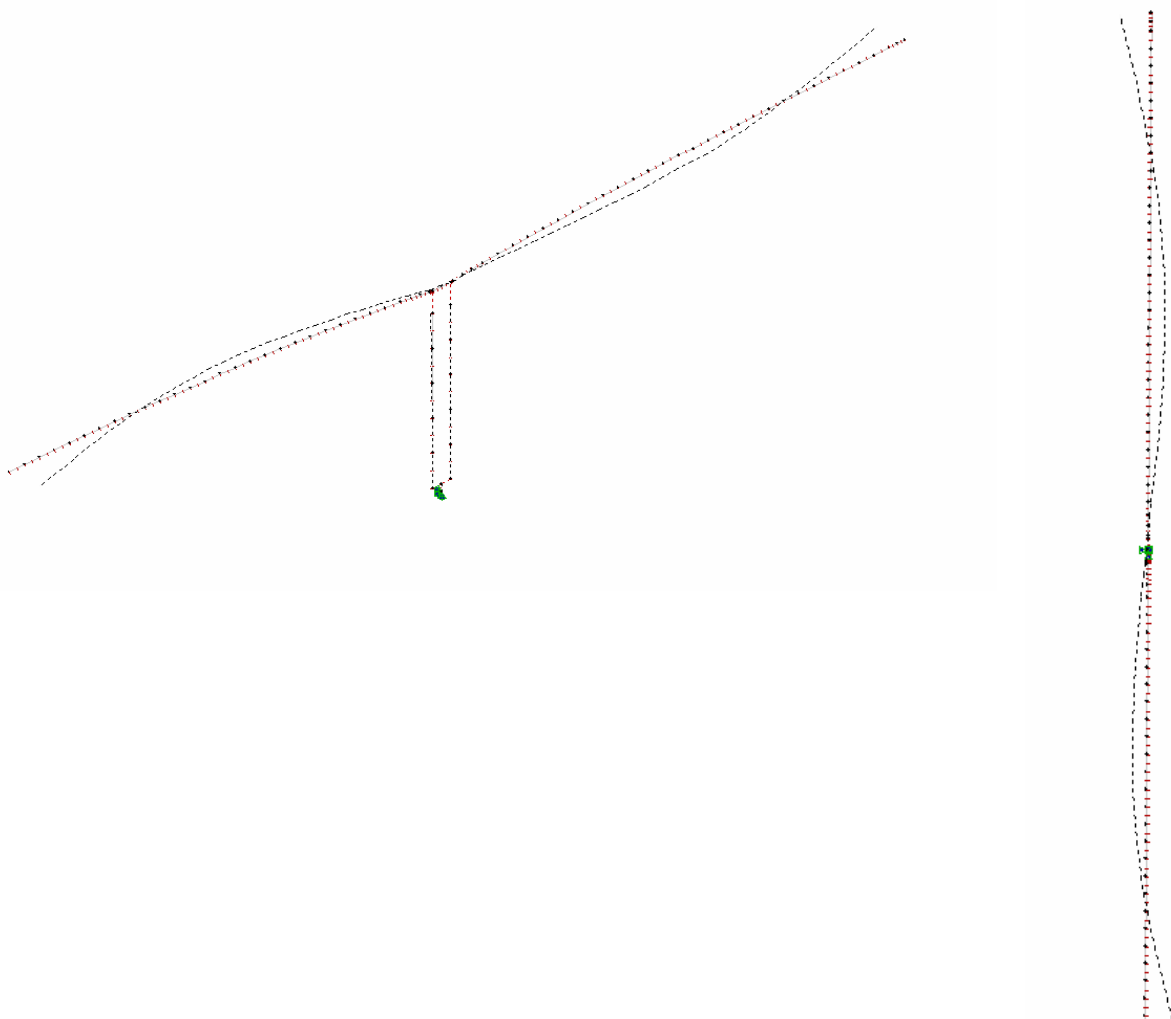
Figur 27 viser svingeform 6. Frekvens 0,636 Hz Rotasjon av brubjelken og veggskivene om N-akse. Vist i perspektiv og plan



Vindberegninger for Sandsfjord bru

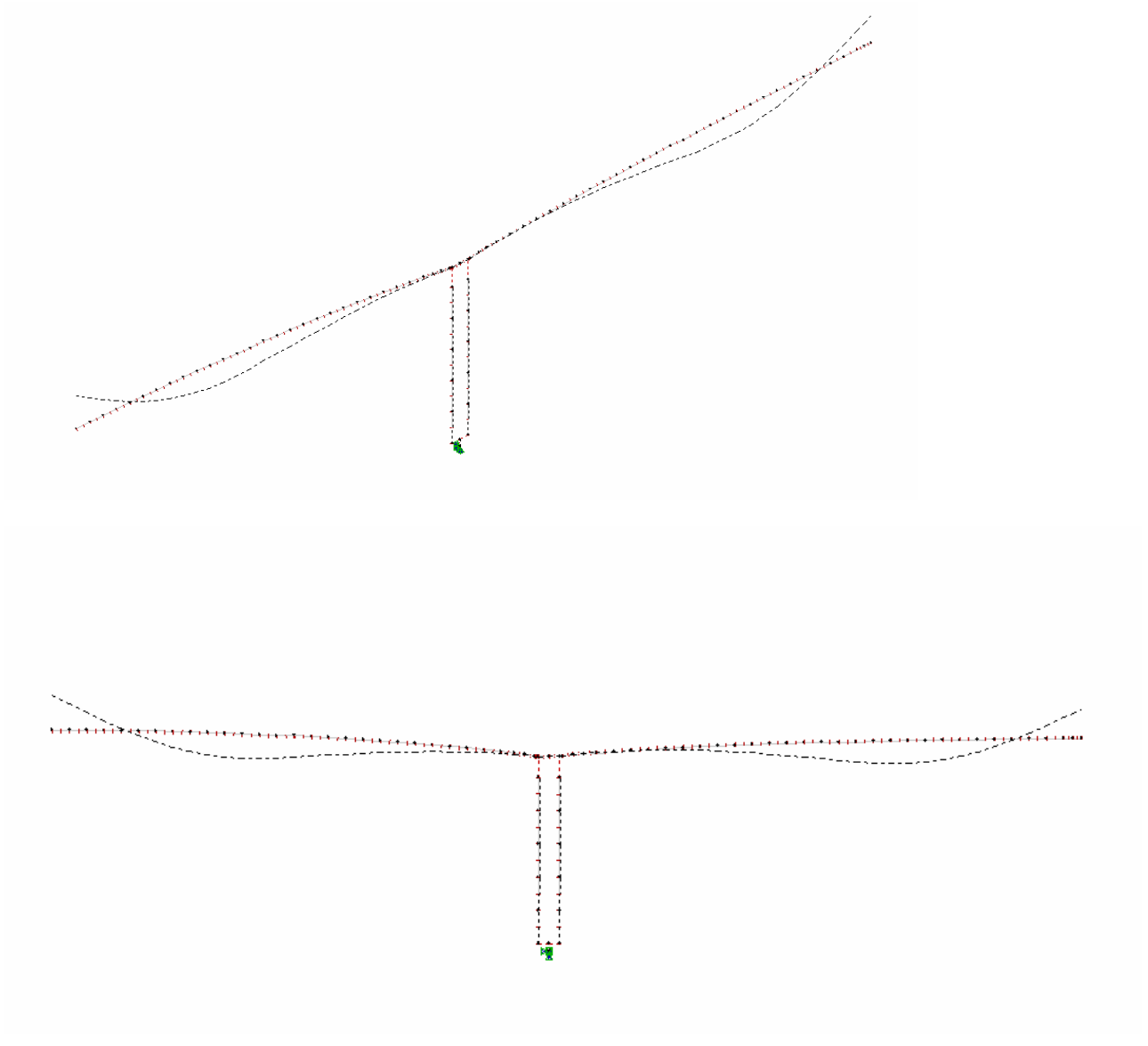


Figur 28 viser Svingform 7. frekvens 1,009 Hz Rotasjon av brubjelken og veggskivene om L-akse. Vist i perspektiv og oppriss.



Figur 29 Svingform 8. Frekvens 1,009 Hz Rotasjon av brubjelken om N-akse. Rotasjon av veggskivene om M-aksen. Vist i perspektiv og plan.

Vindberegninger for Sandsfjord bru



Figur 30 viser svingeform 9 1,633 Hz Rotasjon av brubjelken og veggskivene om L-akse. Vist i perspektiv og oppriss.

Vindberegninger for Sandsfjord bru



Figur 31 viser svingform 10. Frekvens 2,035 Hz Rotasjon av brubjelken og veggskivene om N-akse. Vist i perspektiv og plan.

1.8 FORMFAKTORER

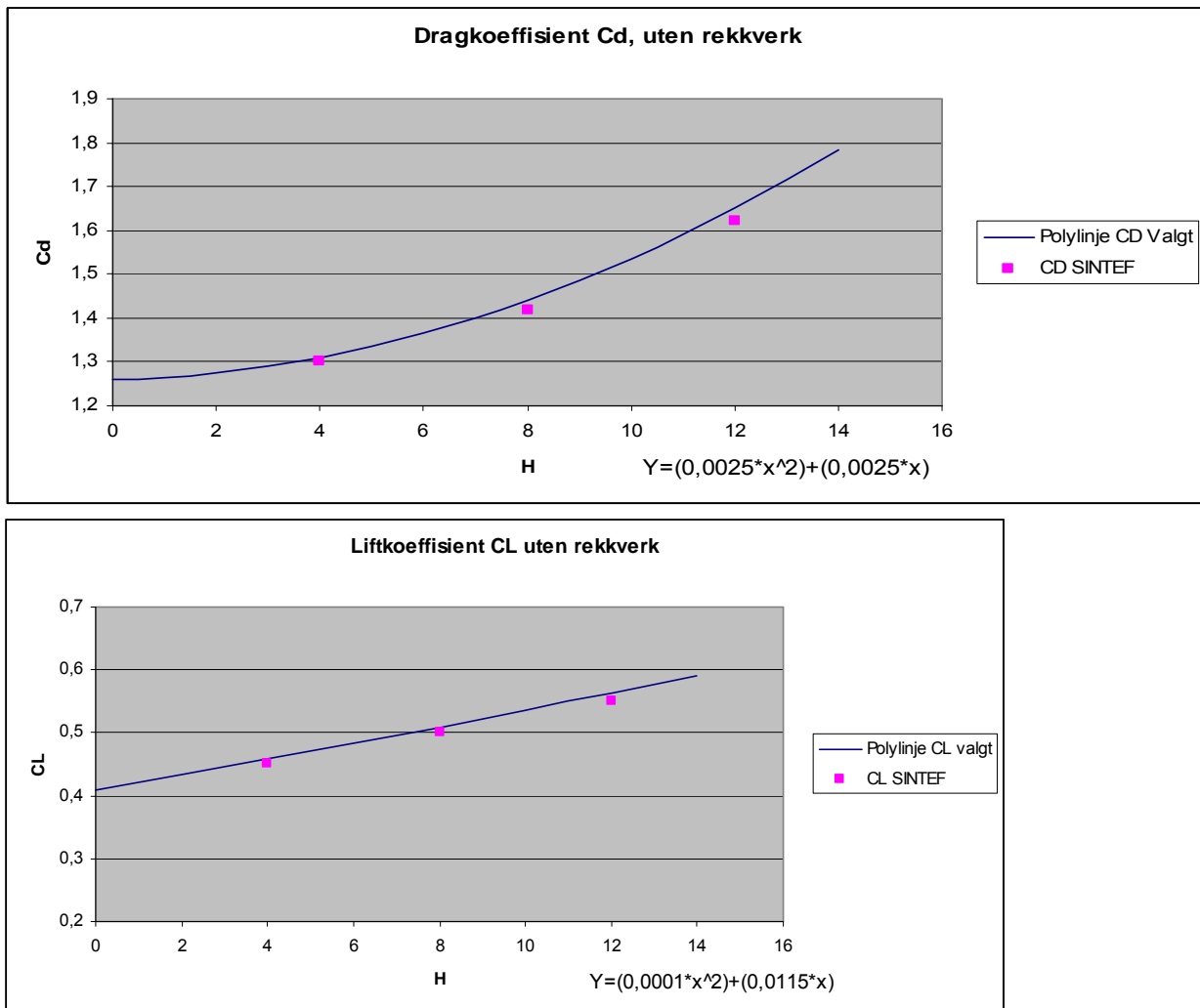
1.8.1 Formfaktorer til brutverrsnittet

Formfaktorene brukt til å bestemme vindlaster er valg ut fra vindtunnelforsøk som utført av SINTEF på Raftsundet bru.jf rapport ref /3/
Raftsundet bru er samme brutype som Sandsfjord bru.

Rapporten gir statiske formfaktorer for tre forskjellige tverrsnittshøyder (4, 8 ,12 meter) med og uten rekkverk. Tverrsnitt uten rekkverk tilsvarer byggetilstanden og er de verdiene som er brukt her.

Vindberegninger for Sandsfjord bru

Nedenfor er formfaktorene fra rapporten gjengitt som punktverdier. I tillegg er polylinjen som beskriver verdiene mellom punktverdiene vist. Polylinjen viser dragkoeffisienten (C_D) og liftkoeffisienten (C_L) som funksjon av høyde. Funksjonen beskriver polylinjen for valgt C_D og C_L er vist under figurene. ($C_D = \overline{C_D}$ og $C_L = \overline{C_L}$ i oppgaveteksten som følger under)



Figur 32 viser formfaktorer.

For den liftderiverte ($dC_L/d\alpha$, hvor α er innfallsvinkelen til vinden jf fig 1) så er verdiene valgt ihht målingen fra ref /3/.

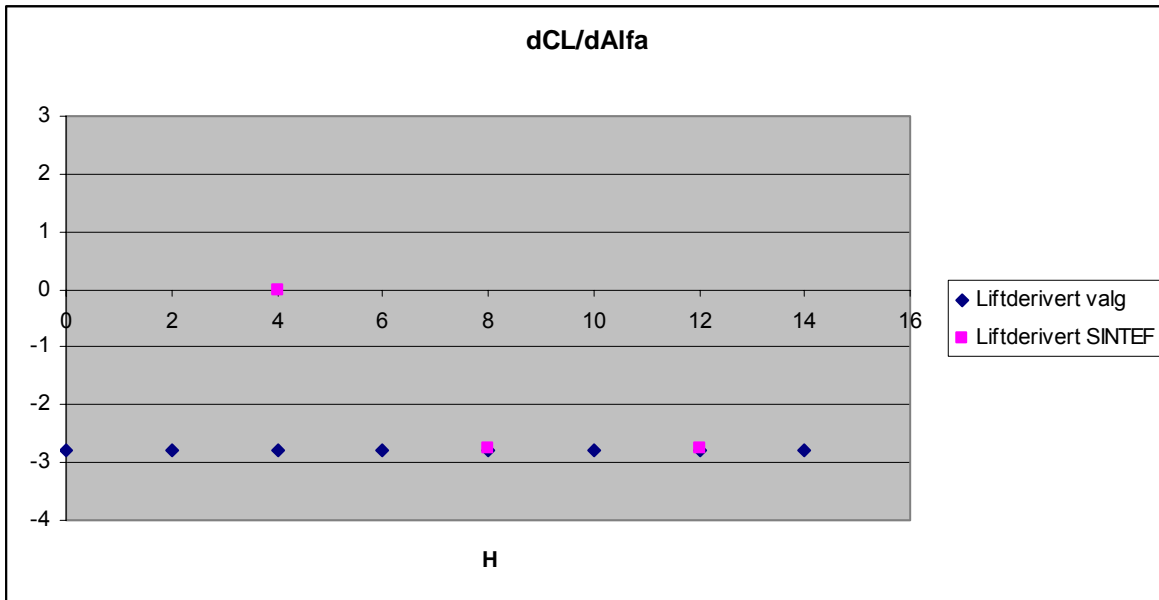
Som figur 31 under viser så har den liftderiverte for en høyde av tverrsnittet lik 4 meter verdi 0.

Men basert på tidligere målinger og testkjøring av forskjellige verdier er det valgt å bruke en verdi på -2,80 for alle tverrsnitthøyder. Ref /12/

Generelt så er formfaktorene for dette brutverrsnittet noe annerledes enn det som bruker å være tilfelle for ordinære brutverrsnitt. Ofte er 1: $dC_L/d\alpha$ mye større enn C_D multiplisert med forholdet mellom høyde dividert på bredden til bruene og 2: C_L lik 0. Ref /4/ At tilfelle 1 ikke gjelder kan forklares med bruens relativt store høyde sett i forhold til bredden. Som gir høy drag effekt og høy verdi for H/B . I tillegg er $dC_L/d\alpha$ relativt lav sammenliknet med brutverrsnitt som har en annen ratio mellom H/B ref/4/

Vindberegninger for Sandsfjord bru

Tilfelle 2 tyder på at siden C_L representerer formfaktoren når bruene er utsatt for U_{middel} (tilsvarer V i fig 1 kap 1.2) så er det rimelig å anta at en får C_L verdier som er såpass høye at de ikke kan neglisjeres fordi den relativt store høyde gir en del rotasjon også ved U_{middel} . Det harmonerer også med at verdien for C_L øker ved økende tverrsnitthøyde.



Figur 33 viser den derivert liftkoeffisienten som funksjon av høyde

1.8.2 Formfaktorer for veggskiver og hjelpesøyler

Veggskiver

Vind på tvers av brubanen.

Drag: Tykkelse/bredde = $7/2 = 3.5$. Høyde/bredde $55/7 = 7.8$ dette gir ihht tabell $C_d=0.9$. Ref/6/

For lifteffekt så angir ref /1/ at for platelignende tverrsnitt ($D/B < 0.2$) så kan løftekrefter ved bestemte vindangrepsvinkler forårsake inntil 25% høyere verdier av formfaktoren. (Drag kraften i dette tilfellet). D/B for veggskivene er $2m/7m = 3,5$. Bruker derfor $C_L = 0$ og $d/d\alpha C_L = 0$

Hjelpesøyler

Vindberegninger for Sandsfjord bru

Formfaktorer for sirkulært tverrsnitt (Drag effekt)

Verdiene er utregnet ihht ref /1/

Middelverdi for vindhastighet : $v_m := 24 \frac{\text{m}}{\text{s}}$ Suldal kommune

Tallverdier ihht pkt 7.9.2 Kraftfaktorer (Formfaktorer)

$$q_p := c_e(z) \cdot q_b \quad c_e(z) := 4.1 \quad q_b := \frac{1}{2} \cdot \rho \cdot v_m^2 \quad \rho := 1.25 \frac{\text{kg}}{\text{m}^3}$$

$$v(z_0) := \sqrt{\left(2 \cdot \frac{q_p}{\rho}\right)} \quad b := 0.8 \text{ m} \quad v := 1.5 \cdot 10^{-6} \cdot \frac{\text{m}^2}{\text{s}} \quad k := 0.2 \cdot 10^{-3} \cdot \text{m}$$

$$Re := \frac{b \cdot v(z_0)}{v} \quad Re = 2.592 \times 10^7 \quad \psi_a := 1$$

Henter c_{f_0} fra figur 7.28

$$c_{f_0} := 0.8 \quad \frac{k}{b} = 2.5 \times 10^{-4}$$

Verdiene gitt for c_{f_0} er basert på målinger av konstruksjoner uten fri omstrømning ved endene bruker derfor $\psi_a = 1$ siden bruene ikke har fri omsvøpning ved endene. Dette gir følgende dragkoeffisient for hjelpesøylen:

$$C_D := c_{f_0} \cdot \psi_a \quad C_D = 0.8$$

1.8.3 Effektivt vindareal for overbygning

Alle formfaktorene er lagt inn mhp vind i horisontalretning på tvers av bruens lengderetning.

For å bestemme de dynamiske vindlastene må ”vind areal verdiene” legges inn i Nova Frame.

Dette er gjort med kommandoen ”WINDFACT” Verdiene som legges inn er formfaktorene multiplisert med sitt referanseareal.

Formfaktoren C_D og C_L refererer til brubanens høyde, mens formfaktoren $\delta CL/\delta \alpha$ refererer til brubanens bredde.

Høyden varierer jf kap 1.3 Det er også lagt inn tilleggsareal for å ta hensyn til forskalingsvognene. Jf fig 8 og 10. Brubredde er konstant lik 9 meter.

Vindberegninger for Sandsfjord bru

Tabell 4 viser produktet av formfaktorene multiplisert med sitt referanseareal for alle elementene (i analysemodellen) til brubjelken som inngår i byggefase 3 og 4.

327	Element	høyde	Byggetilstand		
328	nr	brubjelke	Effektivt vindareal		
329			(CA)D	(CA)-L0	(CA)-L1
330		m	m ² /m	m ² /m	m ² /m
331	2120	4,440	5,420	1,901	-25,200
332	2119	4,461	5,449	1,911	-25,200
333	2118	4,523	5,539	1,944	-25,200
334	2117	4,644	5,711	2,006	-25,200
335	2116	4,817	5,961	2,096	-25,200
336	2115	5,045	6,294	2,216	-25,200
337	2114	5,328	6,713	2,367	-25,200
338	2113	5,667	7,222	2,551	-25,200
339	2112	6,062	7,829	2,768	-25,200
340	2111	6,514	8,542	3,023	-25,200
341	2110	7,026	9,374	3,317	-25,200
342	2109	7,599	10,339	3,655	-25,200
343	2108	8,234	11,453	4,040	-25,200
344	2107	8,933	12,740	4,477	-25,200
345	2106	9,700	14,229	4,972	-25,200
346	2105	10,536	15,952	5,532	-25,200
347	2104	11,446	17,956	6,163	-25,200
348	2103	12,296	19,958	6,776	-25,200
349	2102	12,996	21,709	7,297	-25,200
350	2101	13,834	23,933	7,940	-25,200
351	2100	14,335	25,334	8,336	-25,200
352	2297	14,335	25,334	8,336	-25,200
353	2298	14,335	25,334	8,336	-25,200
354	2299	14,335	25,334	8,336	-25,200
355	2300	13,870	24,032	7,968	-25,200
356	2301	13,164	22,145	7,424	-25,200
357	2302	12,667	20,874	7,050	-25,200
358	2303	12,180	19,678	6,691	-25,200
359	2304	11,510	18,102	6,209	-25,200
360	2305	10,727	16,361	5,662	-25,200
361	2306	10,117	15,076	5,249	-25,200
362	2307	9,540	13,912	4,868	-25,200
363	2308	8,994	12,855	4,516	-25,200
364	2309	8,478	11,896	4,191	-25,200
365	2310	7,992	11,024	3,892	-25,200
366	2311	7,535	10,229	3,617	-25,200
367	2312	7,106	9,506	3,363	-25,200
368	2313	6,704	8,847	3,131	-25,200
369	2314	6,329	8,248	2,918	-25,200
370	2315	5,981	7,703	2,723	-25,200

(CA)D = Effektivt vindareal (H) multiplisert med formfaktor for drag
 (CA)-L0 Effektivt vindareal (H) multiplisert med formfaktor for lift.
 (CA)-L1 Effektivt vindareal (B) multiplisert med førstederiverte av lift komponenten mhp alfa. Alfa er vinkelen mellom retningsvektoren til vinden og tverrsnittes helning om lengdeaksen.

Vindberegninger for Sandsfjord bru

371	2316	5,658	7,209	2,546	-25,200
372	2317	5,361	6,761	2,385	-25,200
373	2318	5,089	6,359	2,240	-25,200
374	2319	4,842	5,998	2,109	-25,200
375	2320	4,619	5,676	1,993	-25,200
376	2321	4,420	5,392	1,891	-25,200
377	2322	4,245	5,145	1,801	-25,200
378	2323	4,094	4,933	1,725	-25,200
379	2324	3,967	4,755	1,661	-25,200
380	2325	3,863	4,611	1,608	-25,200
381	2326	3,782	4,499	1,568	-25,200
382	2327	3,724	4,419	1,539	-25,200
383	2328	3,690	4,372	1,522	-25,200
384	2329	3,677	4,354	1,516	-25,200

387	3228	3,688	9,370	1,522	-25,200
388	3227	3,724	4,419	1,539	-25,200
389	3226	3,782	4,499	1,568	-25,200
390	3225	3,863	4,611	1,608	-25,200
391	3224	3,967	4,755	1,661	-25,200
392	3223	4,094	4,933	1,725	-25,200
393	3222	4,245	5,145	1,801	-25,200
394	3221	4,420	5,392	1,891	-25,200
395	3220	4,619	5,676	1,993	-25,200
396	3219	4,842	5,998	2,109	-25,200
397	3218	5,089	6,359	2,240	-25,200
398	3217	5,361	6,761	2,385	-25,200
399	3216	5,658	7,209	2,546	-25,200
400	3215	5,981	7,703	2,723	-25,200
401	3214	6,329	8,248	2,918	-25,200
402	3213	6,704	8,847	3,131	-25,200
403	3212	7,106	9,506	3,363	-25,200
404	3211	7,535	10,229	3,617	-25,200
405	3210	7,992	11,024	3,892	-25,200
406	3209	8,478	11,896	4,191	-25,200
407	3208	8,994	12,855	4,516	-25,200
408	3207	9,540	13,912	4,868	-25,200
409	3206	10,117	15,076	5,249	-25,200
410	3205	10,727	16,361	5,662	-25,200
411	3204	11,370	17,784	6,110	-25,200
412	3203	12,048	19,362	6,595	-25,200
413	3202	12,667	20,874	7,050	-25,200
414	3201	13,164	22,145	7,424	-25,200
415	3200	13,870	24,032	7,968	-25,200

Vindberegninger for Sandsfjord bru

416	3199	14,335	25,334	8,336	-25,200
417	3198	14,335	25,334	8,336	-25,200
418	3398	14,335	25,334	8,336	-25,200
419	3399	14,335	25,334	8,336	-25,200
420	3400	13,870	24,032	7,968	-25,200
421	3401	13,164	22,145	7,424	-25,200
422	3402	12,667	20,874	7,050	-25,200
423	3403	12,048	19,362	6,595	-25,200
424	3404	11,370	17,784	6,110	-25,200
425	3405	10,727	16,361	5,662	-25,200
426	3406	10,117	15,076	5,249	-25,200
427	3407	9,540	13,912	4,868	-25,200
428	3408	8,994	12,855	4,516	-25,200
429	3409	8,478	11,896	4,191	-25,200
430	3410	7,992	11,024	3,892	-25,200
431	3411	7,535	10,229	3,617	-25,200
432	3412	7,106	9,506	3,363	-25,200
433	3413	6,704	8,847	3,131	-25,200
434	3414	6,329	8,248	2,918	-25,200
435	3415	5,981	7,703	2,723	-25,200
436	3416	5,658	7,209	2,546	-25,200
437	3417	5,361	6,761	2,385	-25,200
438	3418	5,089	6,359	2,240	-25,200
439	3419	4,842	5,998	2,109	-25,200
440	3420	4,619	5,676	1,993	-25,200
441	3421	4,420	5,392	1,891	-25,200
442	3422	4,245	5,145	1,801	-25,200
443	3423	4,094	4,933	1,725	-25,200
444	3424	3,967	4,755	1,661	-25,200
445	3425	3,863	4,611	1,608	-25,200
446	3426	3,782	4,499	1,568	-25,200
447	3427	3,724	4,419	1,539	-25,200
448	3428	3,690	4,372	1,522	-25,200
449	3429	3,677	4,354	1,516	-25,200
450	3430	3,675	4,352	1,515	-25,200
451	3431	3,675	23,399	1,515	-25,200
452	3432	3,675	4,352	1,515	-25,200

Vindberegninger for Sandsfjord bru

1.8.4 Effektivt vindareal for underbygning

Tabell 5 viser produktet av formfaktorene multiplisert med sitt referanseareal for alle elementene (i analysemodellen) til veggskivene som inngår i byggefase 3 og 4.

Underbygning				
Element	høyde	Byggetilstand		
nr	brubjelke	Effektivt vindareal		
		(CA)D	(CA)-L0	(CA)-L1
	m	m ² /m	m ² /m	m ² /m
310-314	2,000	1,800	0,000	0,000
320-324	2,000	1,800	0,000	0,000
410-414	2,000	1,800	0,000	0,000
420-424	2,000	1,800	0,000	0,000

(CA)D = Effektivt vindareal
multiplisert med formfaktor for drag.

1.9 VINDMILJØ

1.9.1 Generelt

Det er i beregningene for statisk og dynamisk vindlast i hovedsak tatt utgangspunkt i ref /1/ og /2/
I tillegg er det tatt med informasjon fra ref /6/ for drageffekt veggskiver og ref /11/ for eksentrisitet av drageffekten på brubanen.

1.9.2 Vinddata for området

Det er foreløpig ikke foretatt noen vurderinger av vindmiljøet med tanke på hastigheter eller returperioder.

Det er heller ikke foretatt noen egne vurderinger av de topografiske forhold på brustedet.

Brustedet er antatt å ligge ved terrengkategori I.

Det er derfor brukt referansevind som oppgitt i det nasjonale tillegget til NS-EN 1991-1-

4:2005+NA2009. Her er referansevind for Suldal kommune oppgitt på grunnlag av statistiske data.

For ekstremverdier U_{3sek} for 10 års returperiode (tilsvarer byggetilstand) er det brukt verdier fra Det Norske Meteorologiske Institutt (DNMI) basert på mer kystnære område (ref /9/). Denne verdien er såpass høy at det antas konservativt å bruke samme verdi her.

1.9.3 Dimensjonerende vindparametre

Vindhastigheten er beskrevet ved middelhastigheten U_{middel} pluss de tre turbulens komponentene u, v og w . De tre turbulenskomponentene er beskrevet som standardavvik med en middelvei lik 0. For å kunne regne ut den dynamiske vindlasten må en i Nova Frame definere turbulensintensiteten og de integrale lengdeskalaene. I tillegg må en definere "power spectral density function" som definerer

Vindberegninger for Sandsfjord bru

frekvensfordelingen til den turbulente vinden og det ”normaliserte rotkoherensspekteret” som viser den romlige korrelasjonen til den turbulente vinden.

Verdier for turbulensintensiteten og de integrale lengdeskalaene er regnet ut fra formler gitt i ref /2/.

For koherens er det valgt å bruke rotkoherensspekteret $\sqrt{\text{coh}(f, U, L_{ab})} = e^{-C \cdot f \cdot \frac{L_{ab}}{U_{10\text{min}}}}$ hentet fra ref/5/ med tilhørende C (”decay faktor”) hentet fra ref /8/ i analysen i Nova Frame. f er den turbulente vindfrekvensen (oppgitt i Hz)

Til ”power spectral density function” for analysen i Nova Frame er det valgt å bruke von Karman gitt i

$$S_N(z, f) = \frac{4 \cdot f_L}{\left(1 + 70.8 f_L^2\right)^{\frac{5}{6}}}$$

ref /5/ den er gitt ved: hvor den dimensjonsløse frekvensen f_L er definert ved

$$f_L = f \cdot \frac{L_{n_x}}{U_{10\text{min}}}$$

der L_{n_x} er den integrale lengdeskalaen for vindretning x og $n = u, v, w$ angir de tre retningskomponentene til den turbulente vinden.

Vindhastigheten er definert ut fra en returperiode på 10 år. For utregning er hastigheten basert på 10 minutters middelvindhastighet.

Vindhastighetene er utregnet i hht ref /1/

Verdier for inputparametre til Nova Frame for dynamisk vindanalyse er gjengitt i tabell nedenfor: Som input i Nova Frame gis vindhastigheten i en referansehøyde på 10m så regner programmet ut vindhastigheten for den aktuelle høyden til konstruksjonen.

Vindberegninger for Sandsfjord bru

Tabell 6 viser parametre gitt som input i Nova Frame. Verdiene som er gitt i input til Nova Frame er for kolonne $z=10\text{m}$. De andre er tatt med for å vise utviklingen basert på høyden. Bruens høyde er mellom 70 og 75 meter.

Parametre	Byggetilstand (returperiode 10 år)						
	z=10 m	z=50 m	z=55 m	z=60 m	z=65 m	z=70 m	z=75 m
$U_{10\text{min}}$	28,143	34,700	35,089	35,443	35,769	36,071	36,352
Turb. Intensitet I_U	0,145	0,117	0,116	0,115	0,114	0,113	0,112
Turb. Intensitet I_V	0,109	0,088	0,087	0,086	0,085	0,085	0,084
Turb. Intensitet I_W	0,072	0,059	0,058	0,057	0,057	0,056	0,056
Lengdeskala $L_{U,x}$	100,000	500,000	550,000	600,000	650,000	700,000	750,000
Lengdeskala $L_{V,x}$	25,000	125,000	137,500	150,000	162,500	175,000	187,500
Lengdeskala $L_{W,x}$	5,556	27,778	30,556	33,333	36,111	38,889	41,667

1.10 DEMPNING

Det antas relativ konstruksjonsdemping lik 0,8% av kritisk demping for urisett betongtverrsnitt i bruddgrensetilstand. Ref /2/. Dette er gitt som input i Nova Frame.

2. LASTER

2.1 EGENLASTER

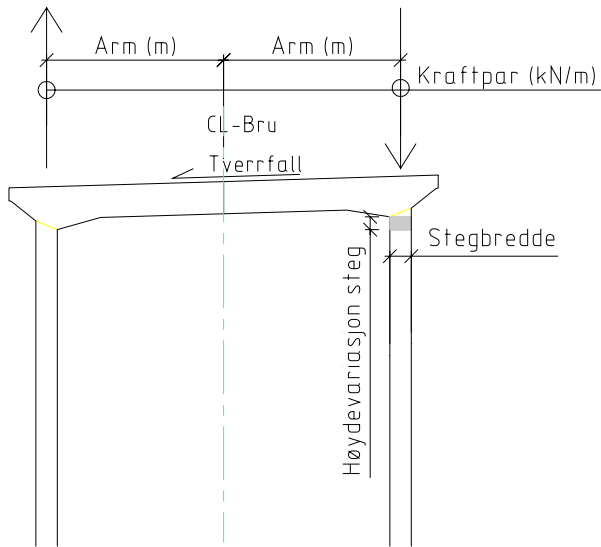
Egenlast definert som et lasttilfelle for hvert element. Egenlasten har da samme navn som elementet den gjelder for. Dette er gjort for å kunne varieres massetettheten og dermed kunne ta hensyn til bruken av lettbetong på deler av brubjelken. I tillegg vil en ha god kontroll på egenlasten når modeller som representerer de ulike byggefasene til bruene defineres i Nova Frame. Basert på den massetettheten som blir gitt for elementene regner Nova Frame egenlasten pr m ute fra størrelsen på tverrsnittet.

For inndeling av element og egenlast henvises det til tegninger gitt i vedlegg VA-VC Kap 8.3.

2.1.1 Kraftpar fra egenlast

Siden det er helning på overkant kasse og undersiden er horisontal vil det oppstå et kraftpar. (Se figur 32).

Vindberegninger for Sandsfjord bru



Figur 34 viser kraftpar som følge av tverrfall

Lasten settes på hele bjelken som vist i tabell under.

Tabell 7 viser last som følge av kraftpar

	A	B	C	D	E	F	G	H	I
4	Kraftpar fra egenlast								
5	Fra Element	2297	2111	2298	2315	3198	3216	3398	3416
6	Til Element	2110	2220	2314	2329	3215	3228	3415	3432
7									
8	Bredde av kasse	7000	7000	7000	7000	7000	7000	7000	7000
9	Stegbredde	400	300	400	300	400	300	400	300
10	Tverrfall	3,0 %	3,0 %	3,0 %	3,0 %	3,0 %	3,0 %	3,0 %	3,0 %
11	Høydevariasjon steg	105	105	105	105	105	105	105	105
12									
13	Arm m	3,300	3,350	3,300	3,350	3,300	3,350	3,300	3,350
14	Last KN/m	1,092	0,819	1,092	0,819	1,092	0,819	1,092	0,819

2.2 VINDLASTER

2.2.1 Statisk vindlaster byggetilstand

Dragkoeffisient uten rekkverk $C_d = 0.0025x^2 + 0.0025x + 1.26$ (Polynom hentet fra ref /3/ jmf kap 1.7)

Liftkoeffisient uten rekkverk $C_l = 0.0001x^2 + 0.0115x + 0.41$ (Polynom hentet fra ref /3/ jmf kap 1.7)

Vindlast fra ekstremverdier U_{3sek} 10 år returperiode (Byggetilstand) ref/9/ $U_{3sek}(z) = 41$ m/s

$q_{kast}(z) = 0.5 * \rho * v_{kast}^2(z)$ $\rho = 1,25$ kg/m³

Dimensjonerende vindlast byggetilstand $q_{kast}(z) = 1,051$ kN/m²

Vindberegninger for Sandsfjord bru

Løftekraftens eksentrisitet kan settes til $e=B/4$

25% av vindlast i x-retning (vinkelrett bru) påsatt i y retning (langs bru (Ref/1/))

Pga broens høyde vil dragkraften også ha en eksentrisitet.

Uten trafikk er denne oppgitt til å være $e = 0.5 \cdot h$ eller $0.6 \cdot b$ Jmf ref /11/

Utregnede statiske vindkrefter eksentrisiteter basert på varierende tverrsnitt langs bruens lengderetning er utført i Excel, utskrift av disse utregningene er gitt som vedlegg i kap 8.1.

Tabell 8 viser tverrsnittskonstanter for ulike høyder ihht polynom.

Høyde	uten rekkverk		
	C_d^{ur}	C_l^{ur}	C_l^{ur-1}
2	1,275	0,433	-2,800
3	1,290	0,445	-2,800
4	1,310	0,458	-2,800
5	1,335	0,470	-2,800
6	1,365	0,483	-2,800
7	1,400	0,495	-2,800
8	1,440	0,508	-2,800
9	1,485	0,522	-2,800
10	1,535	0,535	-2,800
11	1,590	0,549	-2,800
12	1,650	0,562	-2,800

Tabell 9 viser statisk vindlast på veggskiver

VEGGSKIVE Byggetilstand						
Fra EL	Til EL	dEL	Drag	D	q_{kast}	Q
			C_d	m	kN/m^2	kN/m
210	214	1	0,9	2,000	1,051	1,891
220	224	1	0,9	2,000	1,051	1,891
310	314	1	0,9	2,000	1,051	1,891
320	324	1	0,9	2,000	1,051	1,891

2.2.2 Dynamiske vindlaster byggtilstand

For den dynamiske lasten så beregnes egenverdier med tilhørende egenvektorer samt dynamisk respons for vindlast. Vindkrefter bestemmes ihht "buffetingteorien" Analysene utføres på modal form, hvor responsen bestemmes for hver enkelt svingeform og summeres deretter etter RMS (root mean square) metode til et lasttilfelle. Dvs. at bidraget av vindlasten for frekvenser nær egensvingning for hver svingeform, for en gitt respons, summeres sammen til hhv lasttilfelle 100 for utbygging fra akse 2 og lasttilfelle 200 for utbygging fra akse 3. I tillegg må disse lastene kombineres etter spesielle regler som vist i Kap 4.3.

Vindberegninger for Sandsfjord bru

Vindspektra definert i NovaFrame for Sandsfjord bru

WIND SPECTRA NO. : 30
Wind spectra name : Von Karman
Spectra type : Von Karman
Spectra values : Reference height : 75.000
Turbulens intensitet Iu : 0.112
Turbulens intensitet Iv : 0.084
Turbulens intensitet Iw : 0.056
Lengde skala xLu : 750.000
Lengde skala xLv : 187.500
Lengde skala xLw : 42.000
Koherens faktor : 8.000
Inkludere aerodynamisk demping : Ja
Inkludere mellomliggende resultat.: Ja

3. LASTTILFELLER I NOVA FRAME

3.1 EGENLAST

Jf beskrivelse gitt i kap 2.1

3.2 VIND

Vindlastene er delt inn i en statisk og en dynamisk del.

3.2.1 Statisk vindlast

Jf kap 2.2.1

I tillegg er det tatt med en statisk vindlast langs bruene som er basert på 25 % verdi av draglasten (Ref/1/)

Vindberegninger for Sandsfjord bru

Tabell 10 viser lasttilfeller for statisk vindlast gitt som input i Nova Frame

Lasttilfeller	Beskrivelse last
901	Vindlast drag trinn 3
902	Vindlast drag trinn 3
903	Vindlast drag trinn 3
904	Vindlast drag trinn 4
911	Vindlast lift trinn 3
912	Vindlast lift trinn 3
913	Vindlast lift trinn 3
914	Vindlast lift trinn 4
921	Vindlast langs bru trinn 3
922	Vindlast langs bru trinn 3
923	Vindlast langs bru trinn 3
924	Vindlast langs bru trinn 4

3.2.2 Dynamisk vindlast

Jf beskrivelse gitt i kap 2.2.2

Tabell 11 viser dynamisk lasttilfeller gitt som input i Nova Frame

Lasttilfelle.	Beskrivelse last	Lasttilfelle	Beskrivelse last
100	Vindlast mode 1-10 rms etappe	200	Vindlast mode 1-10 rms etappe
101	Vindlast mode 1 etappe 3	201	Vindlast mode 1 etappe 4
102	Vindlast mode 2 etappe 3	202	Vindlast mode 2 etappe 4
103	Vindlast mode 3 etappe 3	203	Vindlast mode 3 etappe 4
104	Vindlast mode 4 etappe 3	204	Vindlast mode 4 etappe 4
105	Vindlast mode 5 etappe 3	205	Vindlast mode 5 etappe 4
106	Vindlast mode 6 etappe 3	206	Vindlast mode 6 etappe 4
107	Vindlast mode 7 etappe 3	207	Vindlast mode 7 etappe 4
108	Vindlast mode 8 etappe 3	208	Vindlast mode 8 etappe 4
109	Vindlast mode 9 etappe 3	209	Vindlast mode 9 etappe 4
110	Vindlast mode 10 etappe 3	210	Vindlast mode 10 etappe 4

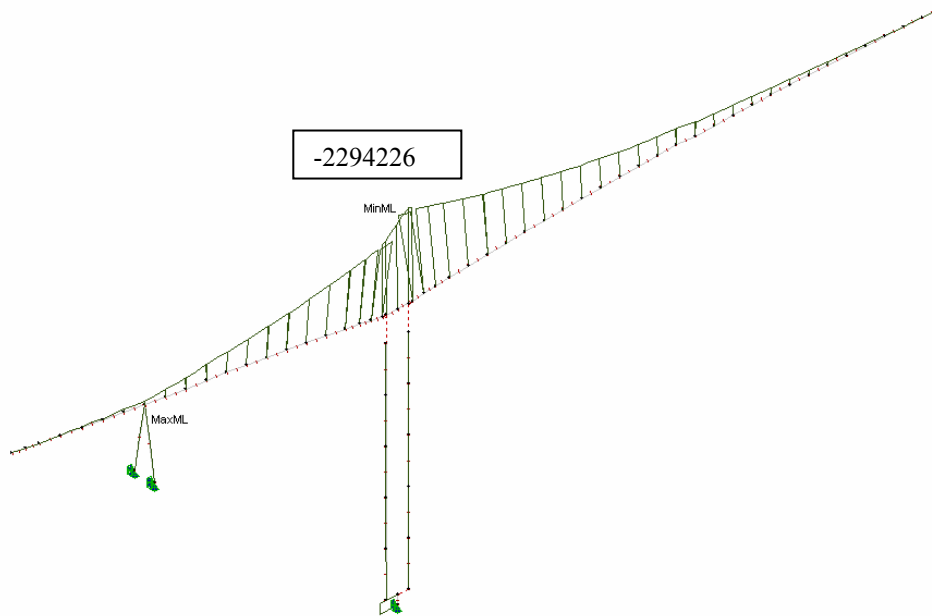
4. RESULTATER ANALYSE

De ulike snittkreftene henviser til lokale akser. For akse orientering se Kap 1.7.1
Presenterer de antatt mest kritiske lastene

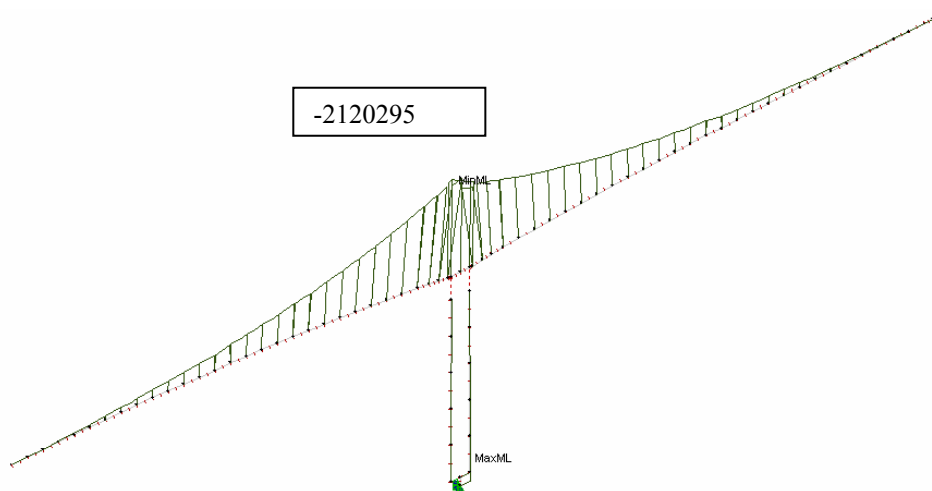
4.1 EGENLAST

Vindberegninger for Sandsfjord bru

4.1.1 Egenlast brubjelke



Figur 35 viser egenlast fra FFB fra akse 2. Verdien er oppgitt ML moment for element 2299
(For elementnummerering jf egen tegning gitt i vedlegg VA)



Figur 36 viser egenlast FFB fra akse 3. Verdien er oppgitt ML moment for element 3399
(For elementnummerering jf egen tegning gitt i vedlegg VB)

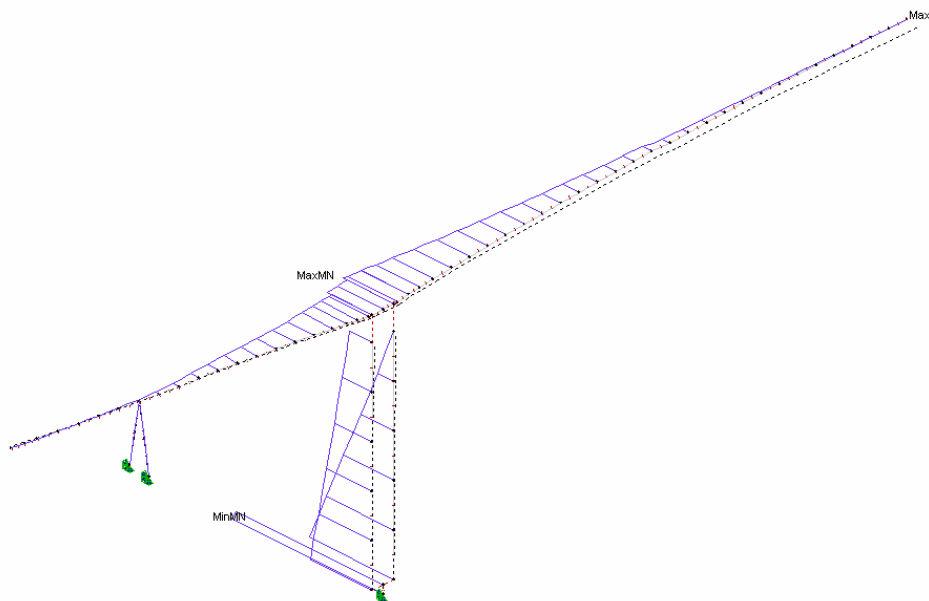
Vindberegninger for Sandsfjord bru

4.2 VINDLASTER

4.2.1 Statisk vindlast FFB-bru fra akse 2

Viser diagrammene for de ulike momentene. Under hver figur er det gitt tabell med maks momentvirkning for brubjelke, veggskive og fundamentet til veggskivene. I tillegg er maks forskyvning av brubjelken gitt.

4.2.1.1 Vindlast drageffekt. FFB fra akse 2

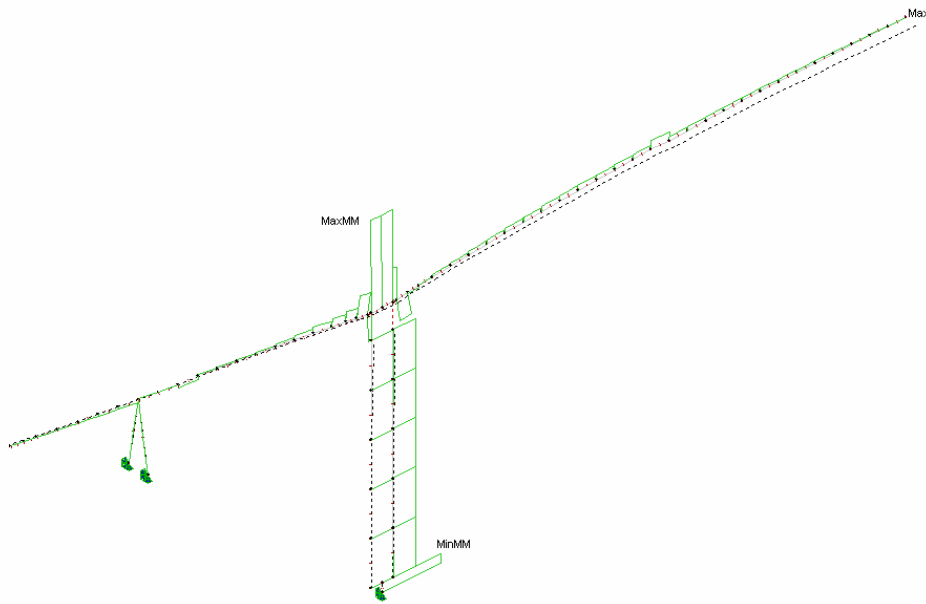


Figur 37 viser momentdiagram om lokale N akser. For verdier se tabell under.

Tabell 12 viser dimensjonerende verdier for momentdiagram i figur 37

Element	Bøying om N akse [kNm]
230 (Fundament)	-226868,49
220 (Bunn veggskive)	-126846,17
210 (Bunn veggskive)	-92622,54
2299 Brubjelke inn ved akse 2	-77367,07
810 (Hjelpesøyle)	-137,00

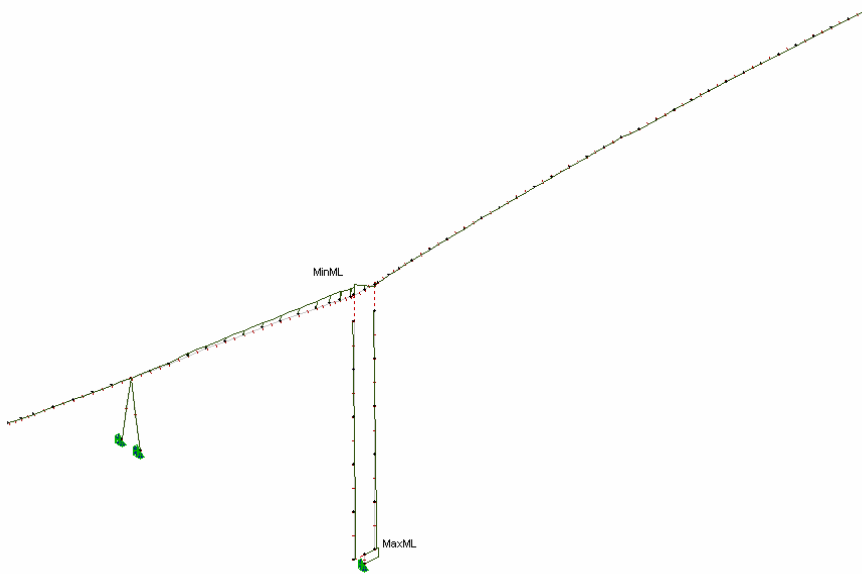
Vindberegninger for Sandsfjord bru



Figur 38 viser momentdiagram om lokale M akser.

Tabell 13 viser dimensjonerende verdier for momentdiagram i figur 38

Element	Torsjon [kNm]
230 (Fundament)	-16230,30
220 (Bunn veggskive)	-6438,59
210 (Bunn veggskive)	-6193,92
2297 (Brubjelke inne ved akse 2)	21063,10
811 (Hjelpesøyle)	-43,00



Figur 39 viser momentdiagram om lokale L akser.

Vindberegninger for Sandsfjord bru

Tabell 14 viser dimensjonerende verdier for momentdiagram i figur 39

Element	Bøying om L akse [kNm]
2297 (Brubjelke inne ved akse 2)	-8352,78
210 (Bunn veggskive)	1754,50
220 (Bunn veggskive)	1793,80
230 (Fundament)	13809,59
810 (Hjelpesøyle)	382,00

4.2.1.2 Forskyvninger statisk vindlast fra drag last. FFB fra akse 2



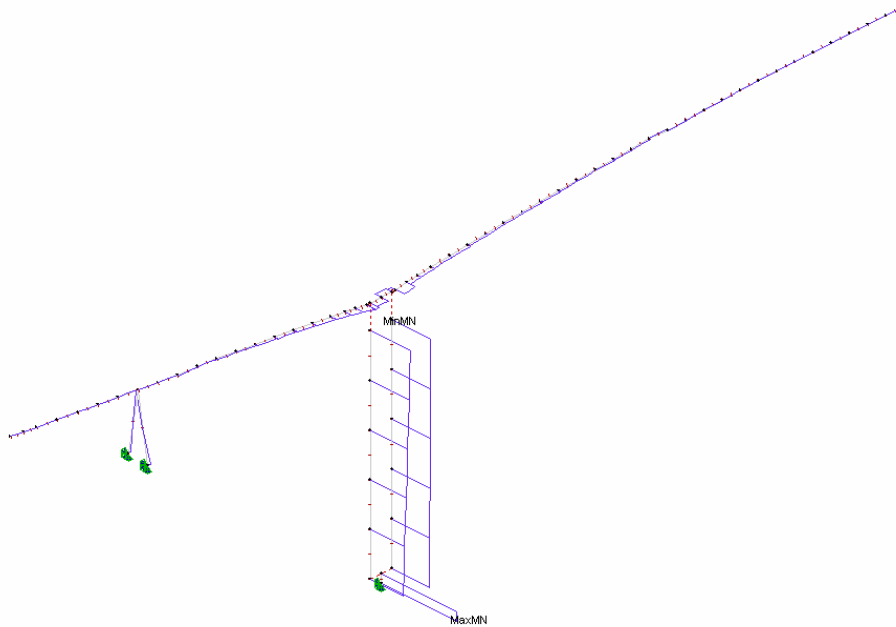
Tabell 15 viser verdiene til forskyvningen vist i figur 40

Element	Forskyvning [mm]
2328 (Siste element før sammenføring av kragarmene)	385,00

Figur 40 viser forskyvning som følge av draglast

Vindberegninger for Sandsfjord bru

4.2.1.3 Vindlast lifteffekt. FFB fra akse 2

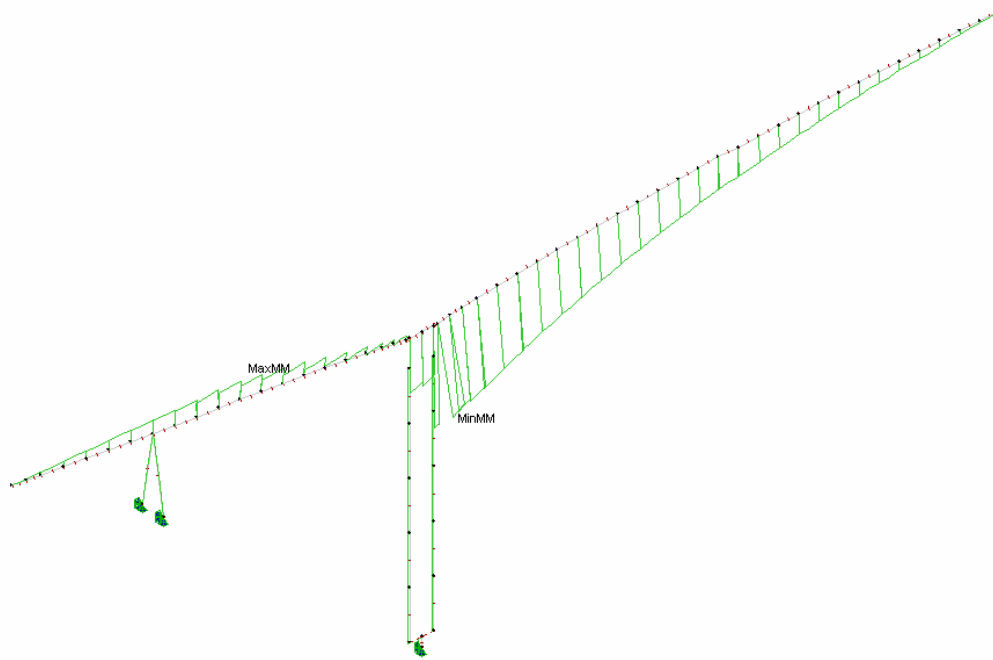


Figur 41 viser momentdiagram om lokale N akser. For verdier se tabell under.

Tabell 16 viser dimensjonerende verdier for momentdiagram i figur 41

Element	Bøying om N akse [kNm]
230 (Fundament)	1063,96
214 (Topp veggskive)	564,47
224 (Topp veggskive)	544,30
2100 (Brubjelke inn ved akse 2)	-126,03
811 (Hjelpesøyle)	34,30

Vindberegninger for Sandsfjord bru

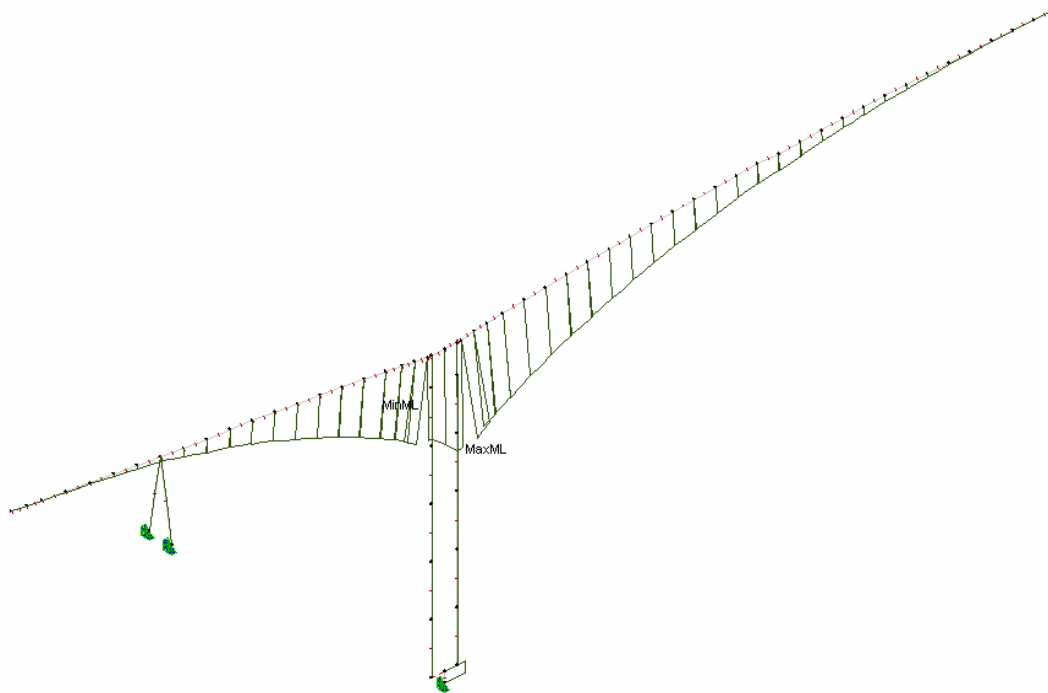


Figur 42 viser momentdiagram om lokale M akser.

Tabell 17 viser dimensjonerende verdier for momentdiagram i figur 42

Element	Torsjon [kNm]
230 (Fundament)	46,07
214 (Topp veggskive)	20,97
224 (Topp veggskive)	20,56
2300 (Brubjelke inn ved akse 2)	-1110,69
810 (Hjelpesøyle)	0,47

Vindberegninger for Sandsfjord bru

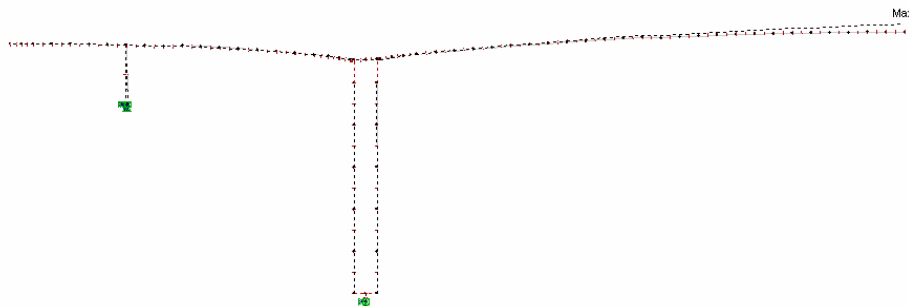


Figur 43 viser momentdiagram om lokale L akser.

Tabell 18 viser dimensjonerende verdier for momentdiagram i figur 43

Element	Bøying om L akse [kNm]
2299 (Brubjelke inn ved akse 2)	27184,45
230 (Fundament)	6390,50
210 (Bunn veggskive)	210,41
220 (Bunn veggskive)	164,27
811 (Hjelpesøyle)	3,05

4.2.1.4 Forskyvninger statisk vindlast fra lift effekt. FFB fra akse 2



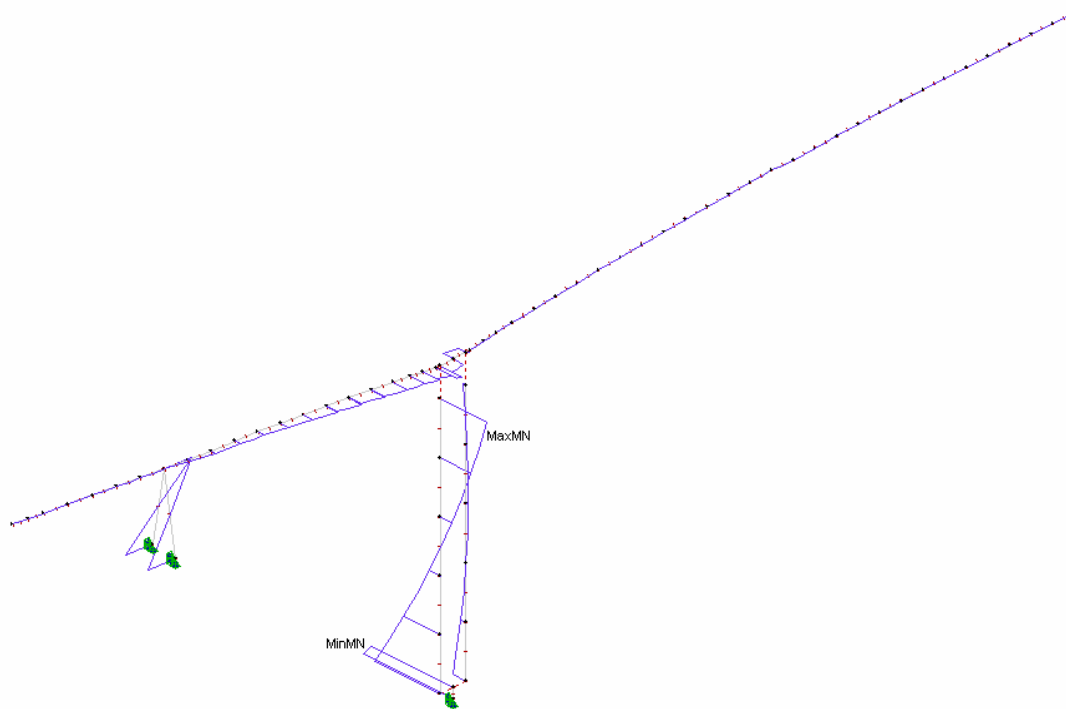
Figur 44 viser forskyvning som følge av liftlast

Vindberegninger for Sandsfjord bru

Tabell 19 viser verdiene til forskyvningen vist i figur 44

Element	Forskyvning [mm]
2328 (Siste element før sammenføring av kragarmene)	26,00

4.2.1.5 Vindlast effekt langsgående retning. FFB fra akse 2

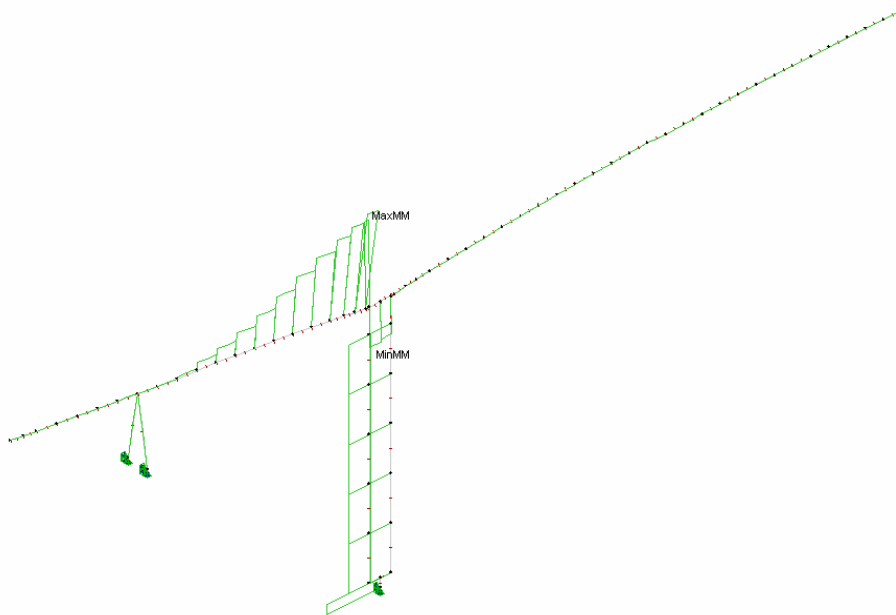


Figur 45 viser momentdiagram om lokale N akser.

Tabell 20 viser dimensjonerende verdier for momentdiagram i figur 45

Element	Bøying om N akse [kNm]
220 (Bunn veggskive)	-253,11
2100 (Brubjelke inn ved akse 2)	-406,88
210 (Bunn veggskive)	-1204,06
230 (Fundament)	-1660,83
810 (Hjelpesøyle)	459,00

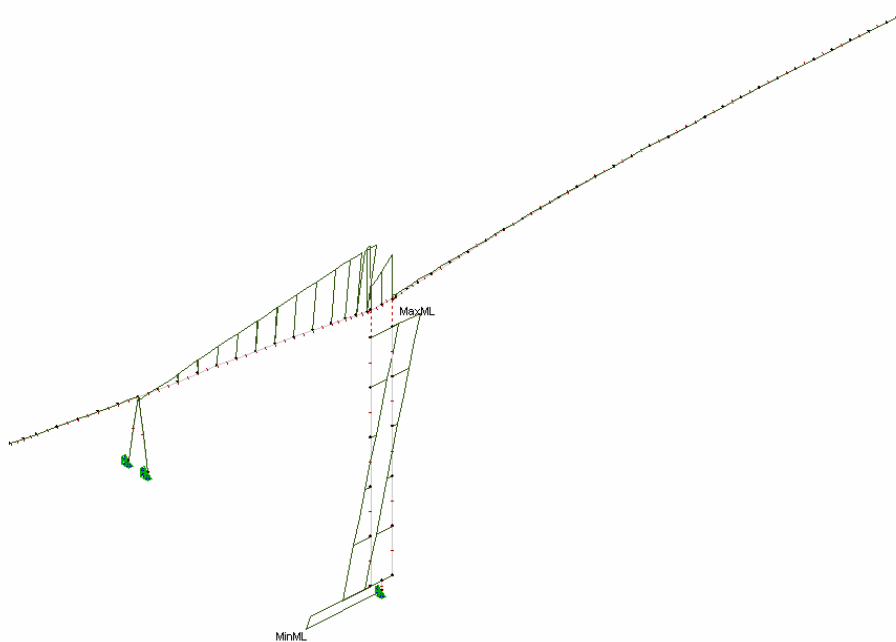
Vindberegninger for Sandsfjord bru



Figur 46 viser momentdiagram om lokale M akser.

Tabell 21 viser dimensjonerende verdier for momentdiagram i figur 46

Element	Torsjon [kNm]
2101 (Brubjelke inn ved akse 2)	620,00
230 (Fundament)	438,59
214 (Topp veggskive)	170,07
222 (Ved senter veggskive)	169,10
811 (Hjelpesøyle)	1,78



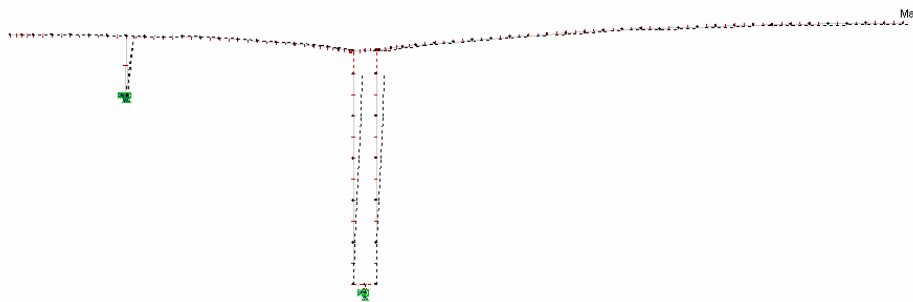
Figur 47 viser momentdiagram om lokale L akser.

Vindberegninger for Sandsfjord bru

Tabell 22 viser dimensjonerende verdier for momentdiagram i figur 47

Element	Bøying om L akse [kNm]
214 (Topp veggskive)	8162,28
224 (Topp veggskive)	8112,96
2100 (Brubjelke inn ved akse 2)	-15353,03
230 (Fundament)	-22265,77
811 (Hjelpesøyle)	-1,17

4.2.1.6 Forskyvninger pga statisk vindlast i bruens lengderetning. FFB fra akse 2



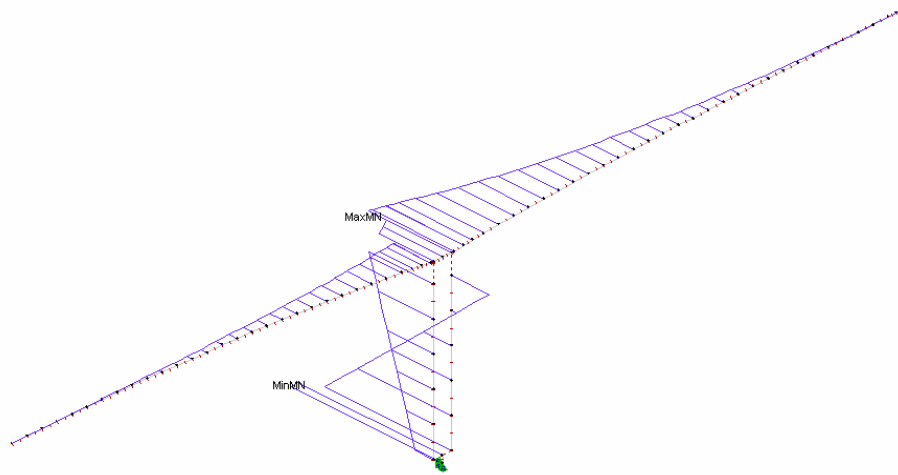
Figur 48 viser forskyvning som følge av vindlast i bruens lengderetning

Tabell 23 viser verdiene til forskyvningen vist i figur 48

Element	Forskyvning [mm]
2328 (Siste element før sammenføring av kragarmene)	28,00

Vindberegninger for Sandsfjord bru

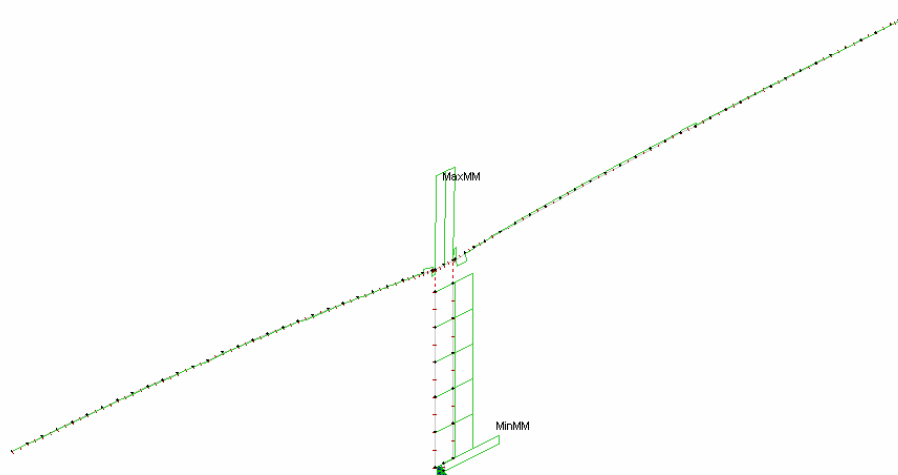
4.2.1.7 Vindlast drageffekt. FFB fra akse 3



Figur 49 viser momentdiagram om lokale N akser.

Tabell 24 viser dimensjonerende verdier for momentdiagram i figur 49

Element	Bøying om N akse [kNm]
314 (Topp veggskive)	-65197,21
3399 (Brubjelke inn ved akse 3)	-84585,62
320 (Bunn veggskive)	-128172,85
330 (Fundament)	-152469,36

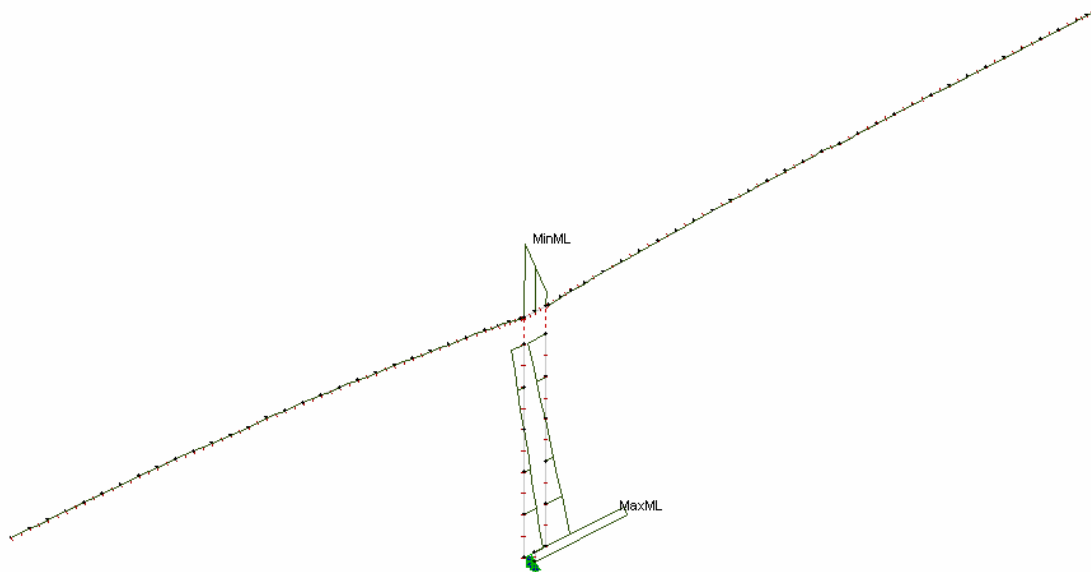


Figur 50 viser momentdiagram om lokale M akser.

Vindberegninger for Sandsfjord bru

Tabell 25 viser dimensjonerende verdier for momentdiagram i figur 50

Element	Torsjon [kNm]
3198 (Brubjelke inne ved akse 3)	67562,79
310 (Bunn veggskive)	-17496,92
320 (Bunn veggskive)	-17830,66
330 (Fundament)	-48647,02



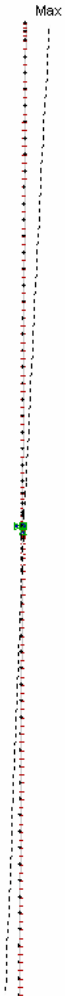
Figur 51 viser momentdiagram om lokale L akser.

Tabell 26 viser dimensjonerende verdier for momentdiagram i figur 51

Element	Bøying om L akse [kNm]
330 (Fundament)	992,52
320 (Bunn veggskive)	257,19
310 (Bunn veggskive)	197,52
3198 (Brubjelke inne ved akse 3)	-639,00

Vindberegninger for Sandsfjord bru

4.2.1.8 Forskyvninger statisk vindlast fra drag last. FFB fra akse 3



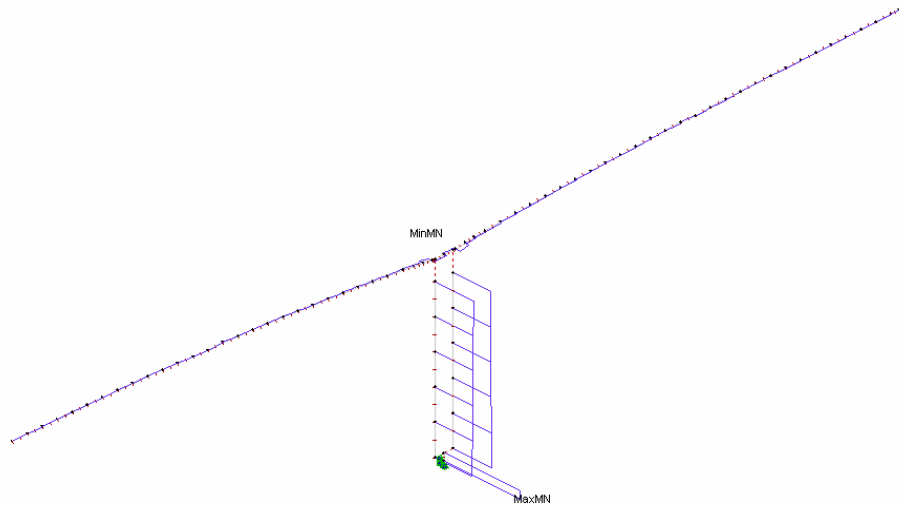
Tabell 27 viser verdiene til forskyvningen vist i figur 52

Element	Forskyvning [mm]
3431 (Siste element før sammenføyning med landkar)	719,00

Figur 52 viser forskyvning som følge av draglast

Vindberegninger for Sandsfjord bru

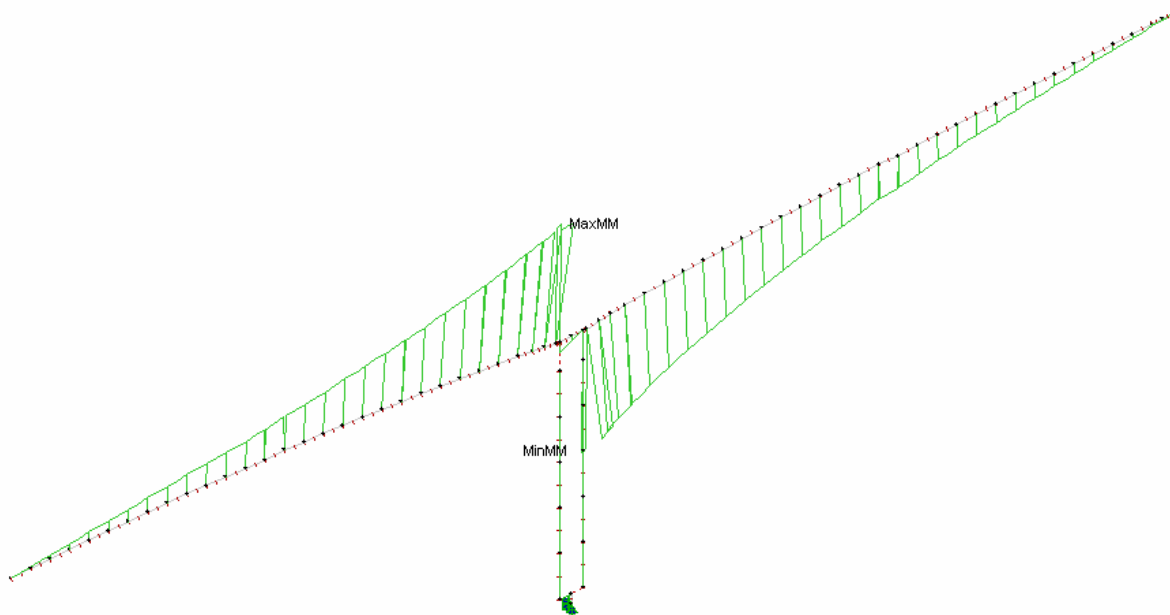
4.2.1.9 Vindlast lifteffekt. FFB fra akse 3



Figur 53 viser momentdiagram om lokale N akser.

Tabell 28 viser dimensjonerende verdier for momentdiagram i figur 53

Element	Bøying om N akse [kNm]
330 (Fundament)	2592,17
320 (Bunn veggskive)	1317,91
314 (Topp veggskive)	1313,21
3200 (Brubjelke inn ved akse 3)	133,30

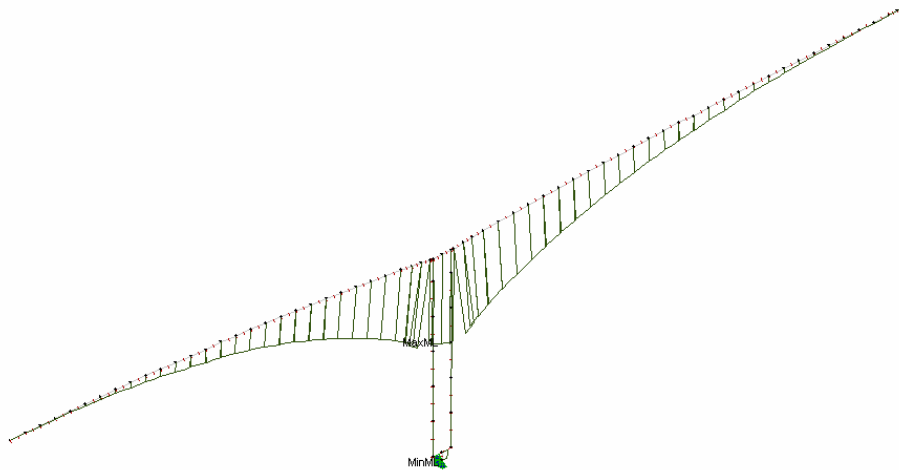


Figur 54 viser momentdiagram om lokale M akser.

Vindberegninger for Sandsfjord bru

Tabell 29 viser dimensjonerende verdier for momentdiagram i figur 54

Element	Torsjon [kNm]
330 (Fundament)	28,68
314 (Topp veggskive)	11,28
320 (Bunn veggskive)	10,95
3399 (Brubjelke inn ved akse 3)	-1248,46

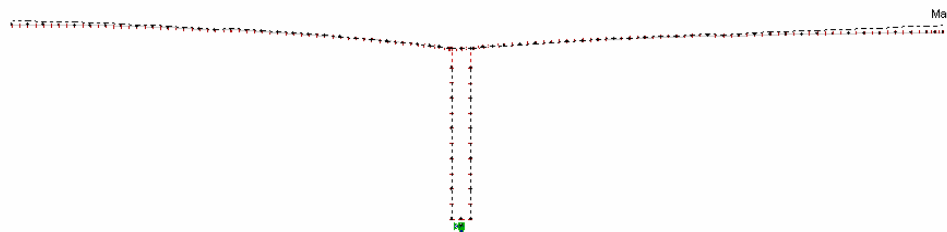


Figur 55 viser momentdiagram om lokale L akser.

Tabell 30 viser dimensjonerende verdier for momentdiagram i figur 55

Element	Bøying om L akse [kNm]
3399 (Brubjelke inne ved akse 3)	29732,23
320 (Bunn veggskive)	1907,09
324 (Topp veggskive)	251,16
314 (Topp veggskive)	131,51

4.2.1.10 Forskyvninger statisk vindlast fra lift effekt. FFB fra akse 3



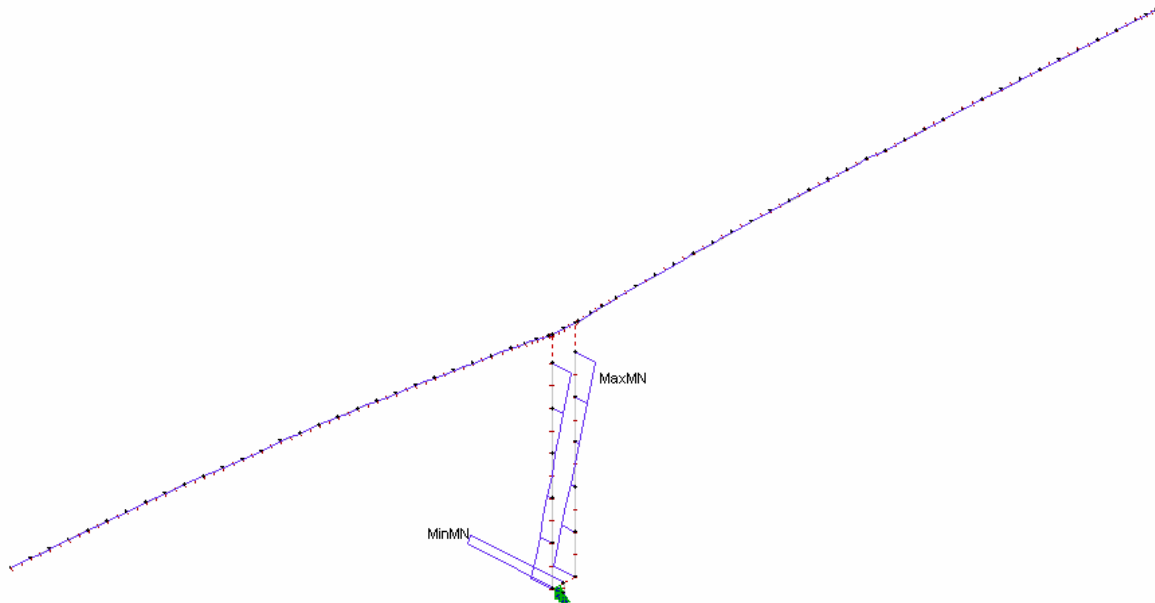
Figur 56 viser forskyvning som følge av liftlast

Vindberegninger for Sandsfjord bru

Tabell 31 viser verdiene til forskyvningen vist i figur 56

Element	Forskyvning [mm]
3431 (Siste element før sammenføring med landkar)	32,00

4.2.1.11 Vindlast effekt langsgående retning. FFB fra akse 3

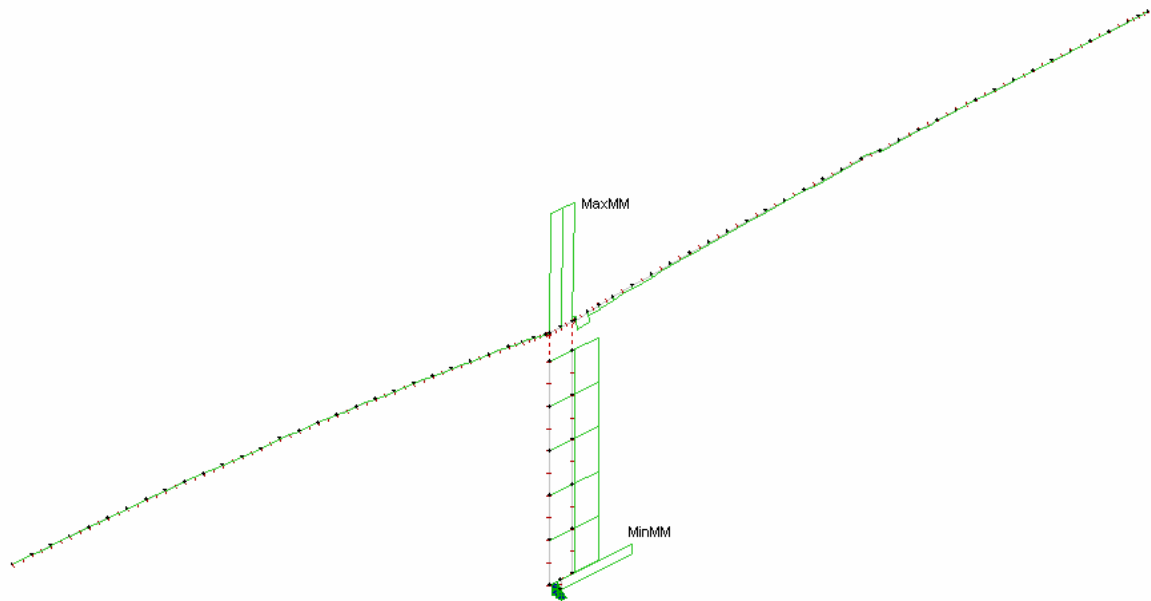


Figur 57 viser momentdiagram om lokale N akser.

Tabell 32 viser dimensjonerende verdier for momentdiagram i figur 57

Element	Bøying om N akse [kNm]
3399 (Brubjelke inn ved akse 3)	-0,77
310 (Bunn veggskive)	-66,59
320 (Bunn veggskive)	-68,59
330 (Fundament)	-309,86

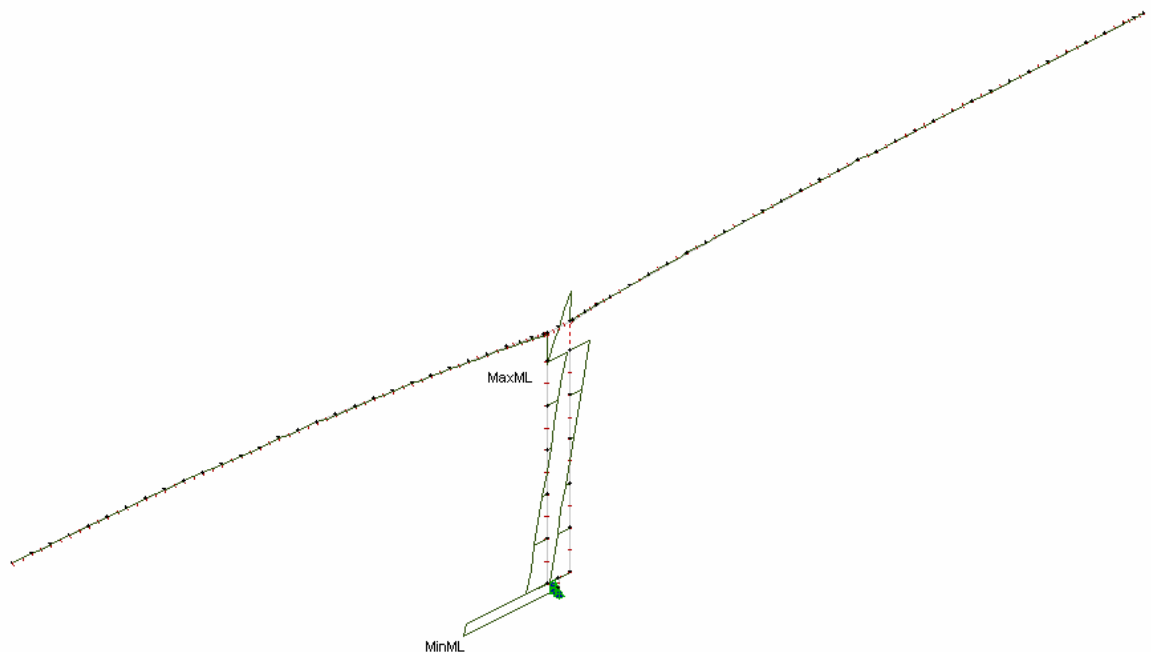
Vindberegninger for Sandsfjord bru



Figur 58 viser momentdiagram om lokale M akser.

Tabell 33 viser dimensjonerende verdier for momentdiagram i figur 58

Element	Torsjon [kNm]
3198 (Brubjelke inne ved akse 3)	1,08
310 (Bunn veggskive)	-0,29
320 (Bunn veggskive)	-0,29
330 (Fundament)	-0,79



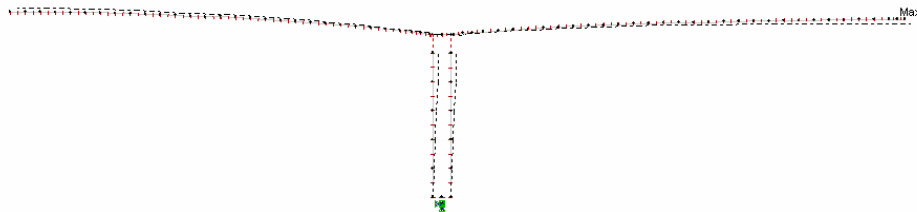
Figur 59 viser momentdiagram om lokale L akser.

Vindberegninger for Sandsfjord bru

Tabell 34 viser dimensjonerende verdier for momentdiagram i figur 59

Element	Bøying om L akse [kNm]
3198 (Brubjelke inne ved akse 3)	12659,13
310 (Bunn veggskive)	-10355,39
320 (Bunn veggskive)	-10391,44
330 (Fundament)	-47616,50

4.2.1.12 Forskyvninger pga statisk vindlast i bruens lengderetning. FFB fra akse 3



Figur 60 viser forskyvning som følge av vindlast i bruens lengderetning.

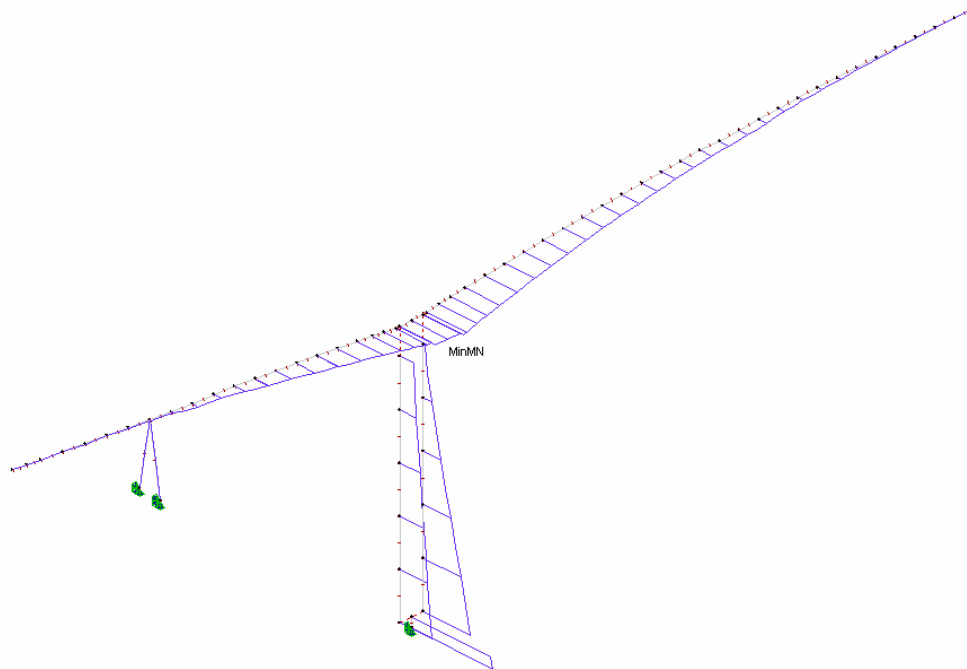
Tabell 35 viser verdiene til forskyvningen vist i figur 60

Element	Forskyvning [mm]
3431 (Siste element før sammenføring med landkar)	35,00

Vindberegninger for Sandsfjord bru

4.2.2 Dynamisk vindlast

4.2.2.1 FFB fra akse 2

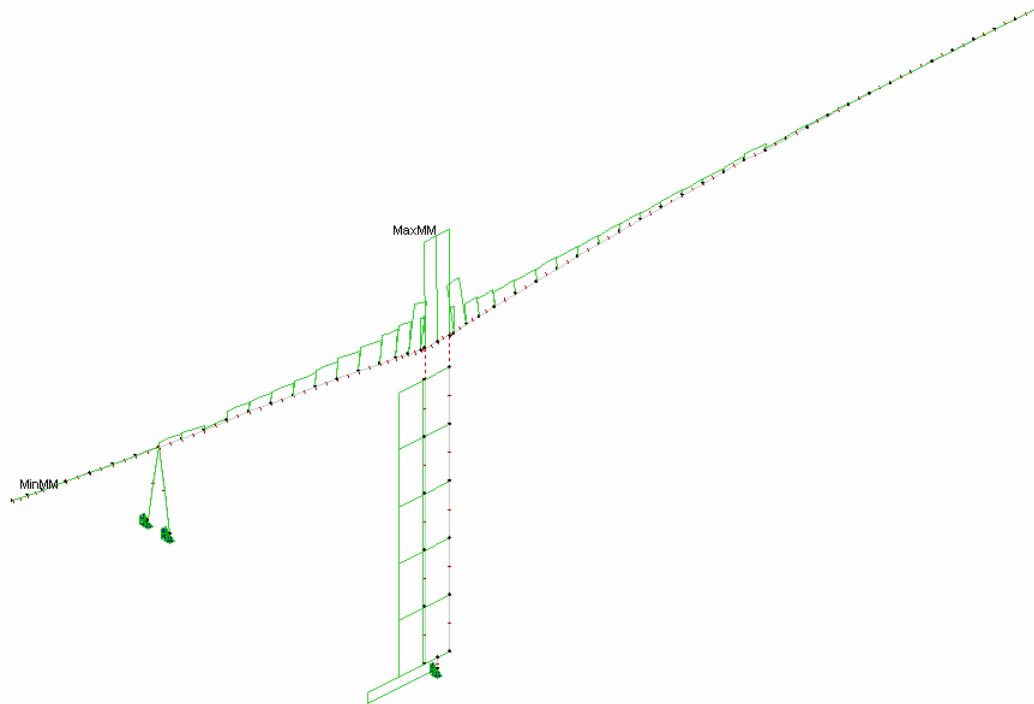


Figur 61 viser momentdiagram om lokale N akser.

Tabell 36 viser dimensjonerende verdier for momentdiagram i figur 61

Element	Bøying om N akse [kNm]
230 (Fundament)	56779,28
220 (Bunn veggskive)	32806,34
2299 (Brubjelke inn ved akse 2)	28081,69
210 (Bunn veggskive)	22166,33
810 (Hjelpesøyle)	130,00

Vindberegninger for Sandsfjord bru

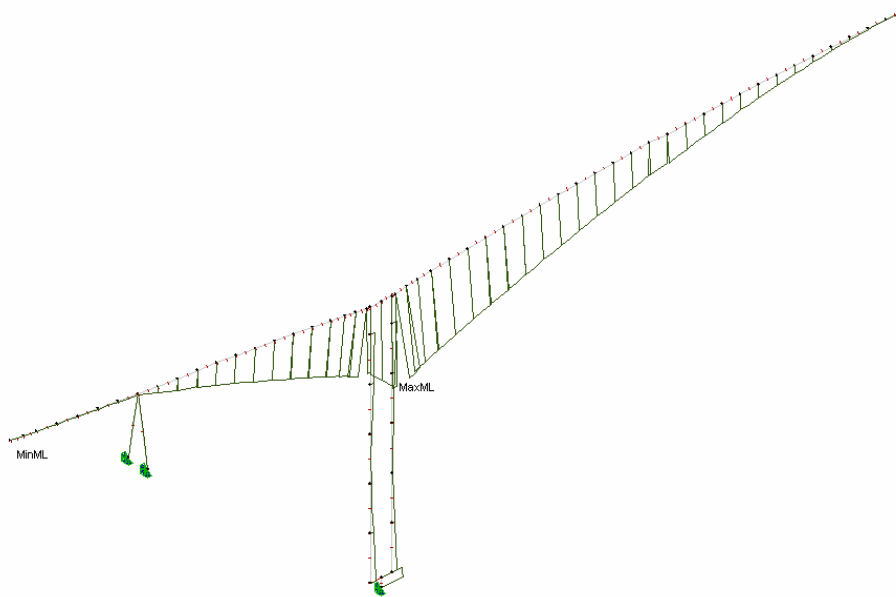


Figur 62 viser momentdiagram om lokale M akser.

Tabell 37 viser dimensjonerende verdier for momentdiagram i figur 62

Element	Torsjon [kNm]
2298 (Brubjelke inn ved akse 2)	6315,99
230 (Fundament)	5059,63
220 (Bunn veggskive)	2012,13
210 (Bunn veggskive)	1921,86
811 (Hjelpesøyle)	12,31

Vindberegninger for Sandsfjord bru



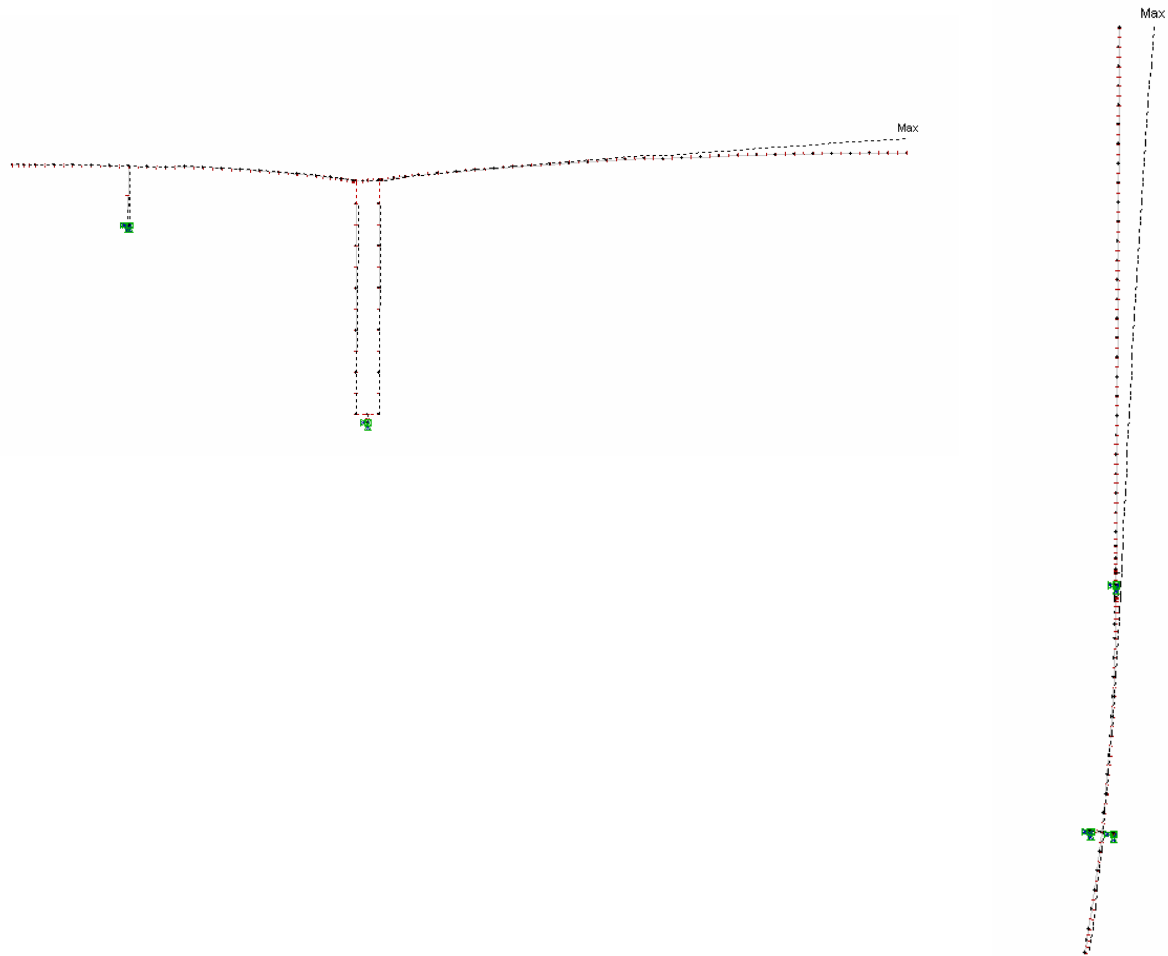
Figur 63 viser momentdiagram om lokale L akser.

Tabell 38 viser dimensjonerende verdier for momentdiagram i figur 63

Element	Bøying om L akse [kNm]
2299 (Brubjelke inn ved akse 2)	36436,51
230 (Fundament)	10477,72
220 (Bunn veggskive)	2394,50
210 (Bunn veggskive)	2375,63
810 (Hjelpesøyle)	151,00

Vindberegninger for Sandsfjord bru

4.2.2.2 Forskyvninger dynamisk vindlast. FFB fra akse 2.



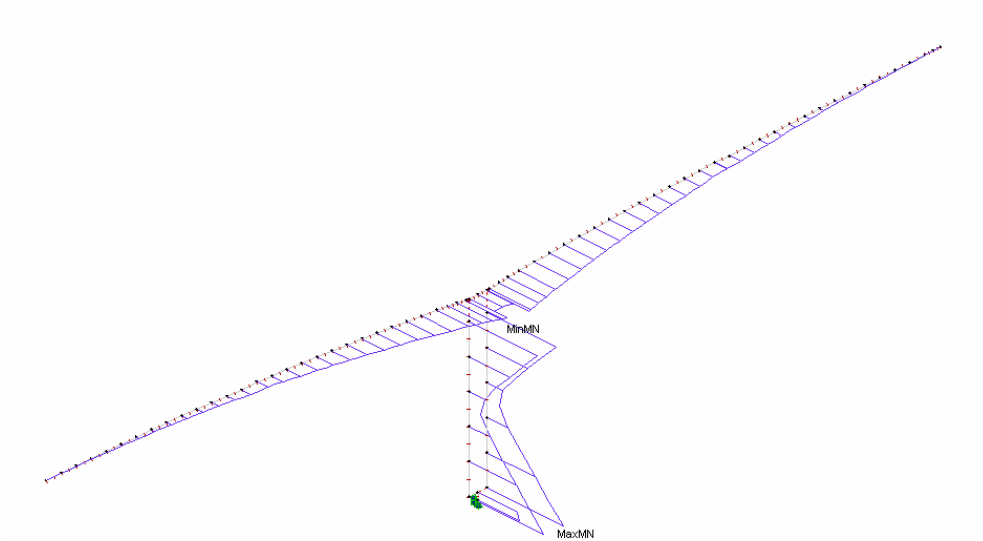
Figur 64 viser forskyvning som følge av dynamisk vindlast. Vist i plan og oppriss.

Tabell 39 viser verdiene til forskyvningen vist i figur 64

Element	Forskyvning [mm]
2328 (Siste element før sammenføring av kragarmene)	138,00

Vindberegninger for Sandsfjord bru

4.2.2.3 FFB fra akse 3

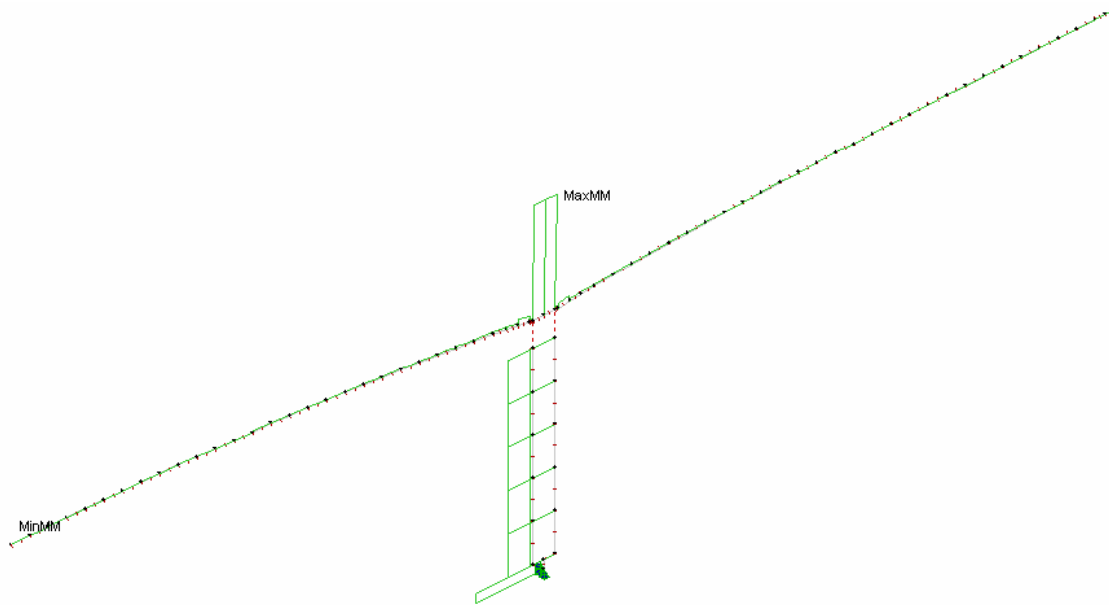


Figur 65 viser momentdiagram om lokale N akser.

Tabell 40 viser dimensjonerende verdier for momentdiagram i figur 65

Element	Bøying om N akse [kNm]
320 (Bunn veggskive)	49177,00
310 (Bunn veggskive)	48351,00
3399 (Brubjelke inn ved akse 3)	26863,00
330 (Fundament)	27260,00

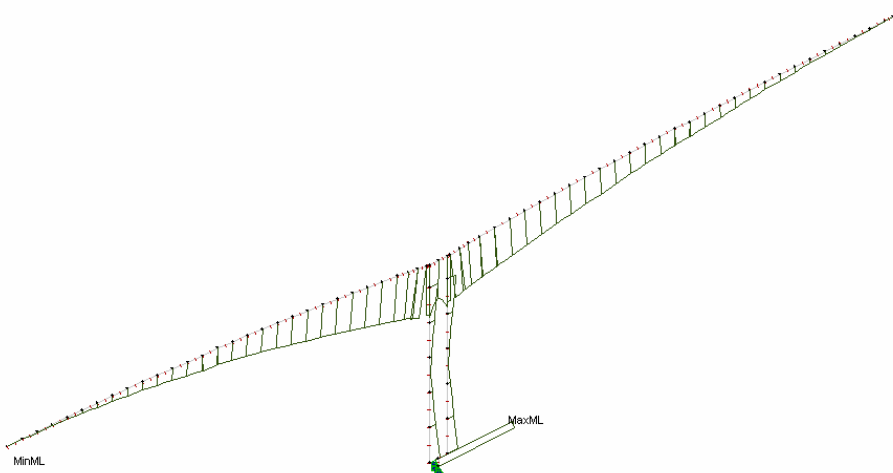
Vindberegninger for Sandsfjord bru



Figur 66 viser momentdiagram om lokale M akser.

Tabell 41 viser dimensjonerende verdier for momentdiagram i figur 66

Element	Torsjon [kNm]
3398 (Brubjelke inn ved akse 3)	57162,00
330 (Fundament)	41762,00
320 (Bunn veggskive)	15178,00
310 (Bunn veggskive)	15141,00



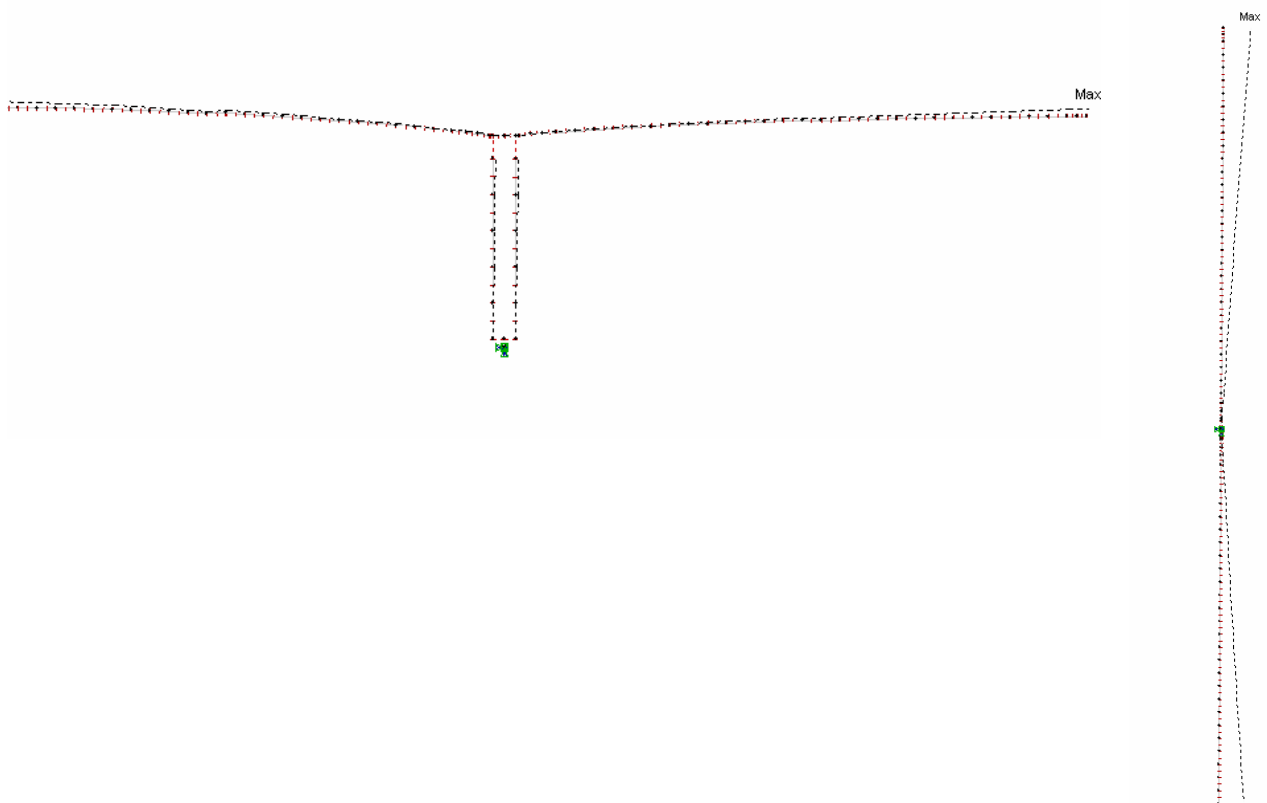
Figur 67 viser momentdiagram om lokale L akser.

Vindberegninger for Sandsfjord bru

Tabell 42 viser dimensjonerende verdier for momentdiagram i figur 67

Element	Bøying om L akse [kNm]
330 (Fundament)	52620,00
3198 (Brubjelke inne ved akse 3)	29355,00
320 (Bunn veggskive)	7019,00
310 (Bunn veggskive)	7003,00

4.2.2.4 Forskyvninger dynamisk vindlast. FFB fra akse 3



Figur 68 viser forskyvning som følge av dynamisk vindlast

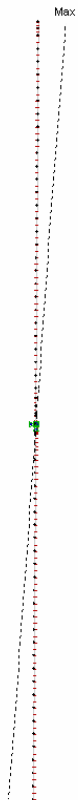
Tabell 43 viser verdiene til forskyvningen vist i figur 68

Element	Forskyvning [mm]
3431 (Siste element før sammenføring med landkar)	525,00

4.2.2.5 Forskyvninger dynamisk vindlast. FFB fra akse 3. Lasttilfelle 201

Har tatt med Nova Frame sine resultat av Lasttilfelle 201 som også er regnet manuelt i Mathcad.

Vindberegninger for Sandsfjord bru



Tabell 44 viser verdiene til forskyvningen vist i figur 69

Element	Forskyvning [mm]
3431 (Siste element før sammenføring med landkar)	519,00

Figur 69 viser forskyvning dynamisk vindlast lasttilfelle 201

4.3 LASTKOMBINASJONER

Tabell 45 viser de lastkombinasjoner som er brukt

Lastkombinasjoner	
Nummer	Navn
3	Egenvekt trinn 3
4	Egenvekt trinn 4
15	Vindlast drag trinn 3
16	Vindlast lift trinn 3
17	Vindlast langs bru trinn 3
18	Vindlast drag trinn 4
19	Vindlast lift trinn 4
20	Vindlast langst bru trinn 4
100	Dynamisk vindlast på FFB-bru del fra akse 2
200	Dynamisk vindlast på FFB-bru del fra akse 3

4.3.1 Samtidig virkende krefter for brubjelke FFB-bru fra hhv akse 2 og akse 3

- Statisk vind

Vindberegninger for Sandsfjord bru

- Dynamisk vind (10 svingeformer.)
- Egenlast

Ved kombineringen er det tatt hensyn til hvilke kombinasjoner som gir de største snittkrefter. Dette er gjort ved hjelp av sorteringskombinasjoner. (SORTCOMB) Disse er vist i tabell 46. Forklaring av tabellen er gitt under. Jf tabell 45 for lastkombinasjoner brukt i Nova Frame.

Tabell 46 viser de sorteringskombinasjonene som er brukt som input i Nova Frame.

FFB-bru del fra akse 2											
	Nr.sortcomb			Komando	Nr. lastkomb *	Nr. lastkomb *	Nr. lastkomb *				
SORTCOMB	24	NA	OC	ADD	100	1	15	-1	"Vindlast drag trinn 3 + dynamisk vind "		
SORTCOMB	25	NA	OC	ADD	100	1	15	1	"Vindlast drag trinn 3 + dynamisk vind "		
SORTCOMB	26	NA	SC	WORST	25	1	24	1	"Vindlast drag trinn 3 + dynamisk vind "		
SORTCOMB	27	NA	OC	ADD	100	1	16	-1	"Vindlast lift 3 + dynamisk vind "		
SORTCOMB	28	NA	OC	ADD	100	1	16	1	"Vindlast lift 3 + dynamisk vind "		
SORTCOMB	29	NA	SC	WORST	27	1	28	1	"Vindlast lift 3 + dynamisk vind "		
SORTCOMB	30	NA	OC	ADD	100	1	17	-1	"Vindlast langs bru trinn 3 + dynamisk vind "		
SORTCOMB	31	NA	OC	ADD	100	1	17	1	"Vindlast langs bru trinn 3 + dynamisk vind "		
SORTCOMB	32	NA	SC	WORST	30	1	31	1	"Vindlast langs bru trinn 3 + dynamisk vind "		
SORTCOMB	33	NA	SC	ADD	26	1	29	1	32	1	"Drag + lift + langs bru trinn 3 + dynamisk vind "
%											
SORTCOMB	34	NA	SC	WORST	26	1	29	1	32	1	"Dim vind BYGGETILSTAND TRINN 3 A2-A3 "
SORTCOMB	34	NA	SC	WORST	33	1					"Dim vind BYGGETILSTAND TRINN 3 A2-A3 "
FFB-bru del fra akse 3											
%											
SORTCOMB	35	NA	OC	ADD	100	1	18	-1	"Vindlast drag trinn 4 + dynamisk vind "		
SORTCOMB	36	NA	OC	ADD	100	1	18	1	"Vindlast drag trinn 4 + dynamisk vind "		
SORTCOMB	37	NA	SC	WORST	35	1	34	1	"Vindlast drag trinn 4 + dynamisk vind "		
SORTCOMB	38	NA	OC	ADD	100	1	19	-1	"Vindlast lift 4 + dynamisk vind "		
SORTCOMB	39	NA	OC	ADD	100	1	19	1	"Vindlast lift 4 + dynamisk vind "		
SORTCOMB	40	NA	SC	WORST	37	1	38	1	"Vindlast lift 4 + dynamisk vind "		
SORTCOMB	41	NA	OC	ADD	100	1	20	-1	"Vindlast langs bru trinn 4 + dynamisk vind "		
SORTCOMB	42	NA	OC	ADD	100	1	20	1	"Vindlast langs bru trinn 4 + dynamisk vind "		
SORTCOMB	43	NA	SC	WORST	40	1	41	1	"Vindlast langs bru trinn 4 + dynamisk vind "		
SORTCOMB	44	NA	SC	ADD	36	1	39	1	42	1	"Drag + lift + langs bru trinn 4 + dynamisk vind "
%											
SORTCOMB	45	NA	SC	WORST	37	1	40	1	43	1	"Dim vind BYGGETILSTAND TRINN 4 A3-A2/A4"
SORTCOMB	45	NA	SC	WORST	44	1					"Dim vind BYGGETILSTAND TRINN 4 A3-A2/A4"
%											
FFB-bru del fra akse 2 + egenvekt											
SORTCOMB	46	NA	SC	ADD	34	1				"EGENLAST + VIND TRINN 3 "	
SORTCOMB	46	NA	OC	ADD	3	1				"EGENLAST + VIND TRINN 3 "	
FFB-bru del fra akse 3 + egenvekt											
SORTCOMB	47	NA	SC	ADD	45	1				"EGENLAST + VIND TRINN 4 "	
SORTCOMB	47	NA	OC	ADD	4	1				"EGENLAST + VIND TRINN 4 "	

* Multiplikasjonskoeffisient for å variere retningen på responsen

Fra FFB-bru del fra akse 2 er fremgangsmåten da at SORTCOMB nr 24 (gitt i kolonnen ”nr sortcomb”) legger sammen lastkombinasjon 100 og lastkombinasjon 15 med negativt fortegn, SORTCOMB nr 25 legger sammen lastkombinasjon 100 og lastkombinasjon 15 med positivt fortegn SORTCOMB nr 26 gir da den verste av disse. Tilsvarende så representerer SORTCOMB nr 29 og 32 den samme fremgangsmåten for hhv lift effekt og effekt av vind langs bruene. SORTCOMB nr 33 legger sammen alle disse effektene (nr 26, 29, 32) SORTCOMB nr 34 plukker deretter ut den verst av SORTCOMB nr 26, 29, 32 og 33. Dette vil da være den dimensjonerende verdien. SORTCOMB nr 46 legger egenlasten til SORTCOMB nr 34.

Samme fremgangsmåte er brukt for FFB-bru del fra akse 3, denne er også vist i tabellen over.

Vindberegninger for Sandsfjord bru

4.3.2 Korrelasjon mellom de ulike dynamiske lastvirkningene

De verdier som kommer frem her er med utgangspunkt i at dynamisk vind, gitt ved lasttilfelle 100 og 200, og baserer seg på modal analyse av hver egensvingefrekvens. Verdiene summeres etter RMS metode som ikke tar hensyn til ulike korrelasjoner mellom egenfrekvensene. RMS verdiene som fremkommer i Nova Frame analysen må derfor justeres for å ta hensyn til korrelasjonene mellom egenfrekvensene

Dersom en kjenner korrelasjonskoeffisienten mellom de ulike svingeformene og kreftene for et gitt element, kan en benytte metoden gitt i ref /12/ for å justere lastvirkningen innenfor de valgte lastkombinasjonene ut fra korrelasjonskoeffisienter. Nova Frame gir korrelasjonskoeffisientene. Har nedenfor utført disse korreksjonene av verdiene til lasttilfelle 100 og 200

Velger å sjekke bunn veggskive som er det kritiske området for kapasitet under byggetilstanden.

Korrelasjonskoeffisientene for de ulike svingeformene og kreftene for element 210 og 220 (bunn veggskiver ved akse 2) samt element 310 og 320 (bunn veggskiver ved akse 3) er utregnet i Nova Frame og gitt i tabell under. Korrelasjonskoeffisientene brukes til å regne ut korrelasjonsfaktorer ihht ref /12/

Utgangspunktet for metoden er de beregnede maksverdier for de dynamiske lastvirkningene (lasttilfelle 100 og 200) gitt ved de 6 snittkreftene.

PL: Skjær langs lokal L akse
PM: Normalkraft.
PN: Skjær langs lokal N akse
ML: Moment om lokal L akse.
MM: Torsjonsmoment
MN: Moment om lokal N akse

Disse kombineres ved bruk av α_{ij} verdier ($i=1-6, j=1-5$) som 6 mulige lastvirkningsgrupper som tilhører samme lastkombinasjon.

Tabell 47 viser samtidig virkende snittkrefter med tilhørende korrelasjonsfaktorer

" +/- PL	α_{11} " +/- PM	α_{12} " +/- PN	α_{13} " +/- ML	α_{14} " +/- MM	α_{15} " +/- MN
" +/- PM	α_{21} " +/- PL	α_{22} " +/- PN	α_{23} " +/- ML	α_{24} " +/- MM	α_{25} " +/- MN
" +/- PN	α_{31} " +/- PL	α_{32} " +/- PM	α_{33} " +/- ML	α_{34} " +/- MM	α_{35} " +/- MN
" +/- ML	α_{41} " +/- PL	α_{42} " +/- PM	α_{43} " +/- PN	α_{44} " +/- MM	α_{45} " +/- MN
" +/- MM	α_{51} " +/- PL	α_{52} " +/- PM	α_{53} " +/- PN	α_{54} " +/- ML	α_{55} " +/- MN
" +/- MN	α_{61} " +/- PL	α_{62} " +/- PM	α_{63} " +/- PN	α_{64} " +/- ML	α_{65} " +/- MM

Regner da med at kraften i kolonnen helt til venstre har sin fulle verdi og at det bestemmes α_{ij} for de 5 andre komponentene. (Dvs. $\alpha_{ij} = 1-5$)

Dersom komponenten "i" er ukorrelert med komponenten j settes $\alpha_{ij} = 0,5$.

Dersom komponenten "i" er korrelert med komponenten j beregnes effekten av korrelasjonen ved å interpolere lineært mellom 0,5 og 1. For en korrelasjon ρ_{ij} er α_i er gitt ved formelen:

$$\alpha_{ij} = 0.5 \cdot (1 + |\rho_{ij}|) \quad \text{Ref /12/}$$

Vindberegninger for Sandsfjord bru

4.3.2.1 Korrelasjoner mellom de ulike dynamiske lastvirkninger. FFB-bru del fra akse 2.

Tabell 48 viser korrelasjoner mellom egensvingningene til konstruksjonen (FFB-bru del fra akse 2)

Modes	1	2	3	4	5	6	7	8	9	10
1	1,000	0,006	0,000	0,000	0,000	0,000	0,000	0,000	0,000	0,000
2	0,006	1,000	0,001	0,000	0,000	0,000	0,000	0,000	0,000	0,000
3	0,000	0,001	1,000	0,001	0,000	0,000	0,000	0,000	0,000	0,000
4	0,000	0,000	0,001	1,000	0,001	0,000	0,000	0,000	0,000	0,000
5	0,000	0,000	0,000	0,001	1,000	0,003	0,001	0,000	0,000	0,000
6	0,000	0,000	0,000	0,000	0,003	1,000	0,005	0,001	0,001	0,001
7	0,000	0,000	0,000	0,000	0,001	0,005	1,000	0,002	0,002	0,001
8	0,000	0,000	0,000	0,000	0,000	0,001	0,002	1,000	0,837	0,026
9	0,000	0,000	0,000	0,000	0,000	0,001	0,002	0,837	1,000	0,031
10	0,000	0,000	0,000	0,000	0,000	0,001	0,001	0,026	0,031	1,000

Tabell 49 nedenfor viser korrelasjonskoeffisienter mellom krefter for element 210 som er bunnen av den første veggskive (retning øst) ved akse 2.

Forces	PL	PM	PN	ML	MM	MN
PL	1,000	-0,426	0,629	0,672	-0,979	-0,995
PM	-0,426	1,000	0,015	-0,074	0,450	0,464
PN	0,629	0,015	1,000	0,992	-0,657	-0,633
ML	0,672	-0,074	0,992	1,000	-0,703	-0,679
MM	-0,979	0,450	-0,657	-0,703	1,000	0,994
MN	-0,995	0,464	-0,633	-0,679	0,994	1,000

Ved bruk av disse korrelasjonene i formel for kombinasjonsfaktor α_{ij} fås følgende tabell for korrelasjonsfaktorene:

Tabell 50 viser korrelasjonsfaktorene mellom samtidig virkende snittkreftene

	PL	PM	PN	ML	MM	MN
PL	1,000	0,713	0,815	0,836	0,990	0,998
PM	0,713	1,000	0,508	0,537	0,725	0,732
PN	0,815	0,508	1,000	0,996	0,829	0,817
ML	0,836	0,537	0,996	1,000	0,852	0,840
MM	0,990	0,725	0,829	0,852	1,000	0,997
MN	0,998	0,732	0,817	0,840	0,997	1,000

Tabell 51 viser "RMS snittkrefter." for lasttilfelle 100 hentet fra Nova Frame

Type	PL	PM	PN	ML	MM	MN
RMS	237,49	1179,5	88,56	2375,63	1921,86	22166,33

Samtidig virkende snittkrefter er da gitt ved å multiplisere RMS snittkreftene ved korrelasjonsfaktorene. Dette gir følgende tabell:

Vindberegninger for Sandsfjord bru

Tabell 52 viser samtidig virkende snittkrefter hvor det er tatt hensyn til korrelasjonene mellom egenfrekvensene.

	PL	PM	PN	ML	MM	MN
PL	237,490	840,984	72,132	1986,027	1901,680	22110,914
PM	169,330	1179,500	44,944	1275,713	1393,349	16225,754
PN	193,436	598,596	88,560	2366,127	1592,261	18098,808
ML	198,542	633,392	88,206	2375,630	1636,464	18608,634
MM	234,996	855,138	73,372	2022,849	1921,860	22099,831
MN	236,896	863,394	72,309	1994,341	1916,094	22166,330

Samme fremgangsmåte for den andre veggskiven ved akse 2 gir følgende tabeller:

Tabell 53 viser korrelasjonsfaktorene mellom samtidig virkende snittkreftene

	PL	PM	PN	ML	MM	MN
PL	1,000	0,644	0,822	0,846	0,999	1,000
PM	0,644	1,000	0,591	0,543	0,646	0,652
PN	0,822	0,591	1,000	0,996	0,826	0,818
ML	0,846	0,543	0,996	1,000	0,850	0,842
MM	0,999	0,646	0,826	0,850	1,000	0,999
MN	1,000	0,652	0,818	0,842	0,999	1,000

Tabell 54 viser "RMS snittkrefter." for lasttilfelle 100 hentet fra Nova Frame

Type	PL	PM	PN	ML	MM	MN
RMS	609,750	1918,870	89,430	2394,500	2012,130	32806,340

Tabell 55 viser samtidig virkende snittkrefter hvor det er tatt hensyn til korrelasjonene mellom egenfrekvensene.

	PL	PM	PN	ML	MM	MN
PL	609,750	1235,752	73,467	2024,550	2009,112	32806,340
PM	392,679	1918,870	52,808	1300,214	1298,830	21389,734
PN	500,910	1133,093	89,430	2384,922	1662,019	26835,586
ML	515,544	1041,946	89,072	2394,500	1710,311	27622,938
MM	608,835	1238,631	73,869	2035,325	2012,130	32757,130
MN	609,750	1251,103	73,154	2016,169	2009,112	32806,340

4.3.2.2 Korrelasjoner mellom de ulike dynamiske lastvirkninger. FFB-bru del fra akse 3.

Bruker samme fremgangsmåte som vist i kapittelet over. Det gir følgende tabeller:

Vindberegninger for Sandsfjord bru

Tabell 56 viser korrelasjoner mellom egensvingningene til konstruksjonen (FFB-bru del fra akse 3)

Modes	1	2	3	4	5	6	7	8	9	10
1	1,000	0,000	0,000	0,000	0,000	0,000	0,000	0,000	0,000	0,000
2	0,000	1,000	0,004	0,002	0,000	0,000	0,000	0,000	0,000	0,000
3	0,000	0,004	1,000	0,040	0,002	0,001	0,000	0,000	0,000	0,000
4	0,000	0,002	0,040	1,000	0,002	0,001	0,000	0,000	0,000	0,000
5	0,000	0,000	0,002	0,002	1,000	0,002	0,000	0,000	0,000	0,000
6	0,000	0,000	0,001	0,001	0,002	1,000	0,001	0,001	0,001	0,000
7	0,000	0,000	0,000	0,000	0,000	0,001	1,000	0,181	0,001	0,000
8	0,000	0,000	0,000	0,000	0,000	0,001	0,181	1,000	0,001	0,001
9	0,000	0,000	0,000	0,000	0,000	0,000	0,001	0,001	1,000	0,005
10	0,000	0,000	0,000	0,000	0,000	0,000	0,000	0,001	0,005	1,000

Tabell 57 nedenfor viser korrelasjoner mellom krefter for element 310 som er bunnen av den første veggskive (retning øst) ved akse 2.

Forces	PL	PM	PN	ML	MM	MN
PL	1,000	-0,001	0,002	0,002	0,993	-0,988
PM	-0,001	1,000	-0,621	-0,689	0,000	0,003
PN	0,002	-0,621	1,000	0,996	0,003	0,000
ML	0,002	-0,689	0,996	1,000	0,003	-0,001
MM	0,993	0,000	0,003	0,003	1,000	-0,963
MN	-0,988	0,003	0,000	-0,001	-0,963	1,000

Tabell 58 viser korrelasjonsfaktorene mellom samtidig virkende snittkreftene

	PL	PM	PN	ML	MM	MN
PL	1,000	0,501	0,501	0,501	0,997	0,994
PM	0,501	1,000	0,811	0,845	0,500	0,502
PN	0,501	0,811	1,000	0,998	0,502	0,500
ML	0,501	0,845	0,998	1,000	0,502	0,501
MM	0,997	0,500	0,502	0,502	1,000	0,982
MN	0,994	0,502	0,500	0,501	0,982	1,000

Tabell 59 viser "RMS snittkrefter." for lasttilfelle 200 hentet fra Nova Frame

Type	PL	PM	PN	ML	MM	MN
RMS	1910,3	6839,1	276,9	7003,1	15140,6	48350,8

Samtidig virkende snittkrefter er da gitt ved å multiplisere RMS snittkreftene ved korrelasjonsfaktorene. Dette gir følgende tabell:

Vindberegninger for Sandsfjord bru

Tabell 60 viser samtidig virkende snittkrefter hvor det er tatt hensyn til korrelasjonene mellom egenfrekvensene.

	PL	PM	PN	ML	MM	MN
PL	1910,290	3422,945	138,712	3508,558	15087,578	48060,695
PM	956,100	6839,050	224,403	5914,126	7570,285	24247,926
PN	957,055	5543,050	276,870	6989,104	7592,996	24175,400
ML	957,055	5775,578	276,316	7003,110	7592,996	24199,575
MM	1903,604	3419,525	138,850	3512,060	15140,570	47456,310
MN	1898,828	3429,784	138,435	3505,057	14860,469	48350,800

Samme fremgangsmåte for den andre veggskiven ved akse 3 gir følgende tabeller:

Tabell 61 viser korrelasjonsfaktorene mellom samtidig virkende snittkreftene

	PL	PM	PN	ML	MM	MN
PL	1,000	0,501	0,502	0,502	0,997	0,995
PM	0,501	1,000	0,815	0,848	0,500	0,502
PN	0,502	0,815	1,000	0,998	0,502	0,501
ML	0,502	0,848	0,998	1,000	0,502	0,501
MM	0,997	0,500	0,502	0,502	1,000	0,982
MN	0,995	0,502	0,501	0,501	0,982	1,000

Tabell 62 viser "RMS snittkrefter." for lasttilfelle 200 hentet fra Nova Frame

Type	PL	PM	PN	ML	MM	MN
RMS	1932,300	6823,800	277,880	7019,030	15177,720	49176,510

Tabell 63 viser samtidig virkende snittkrefter hvor det er tatt hensyn til korrelasjonene mellom egenfrekvensene.

	PL	PM	PN	ML	MM	MN
PL	1932,300	3418,724	139,357	3520,044	15124,598	48906,039
PM	968,082	6823,800	226,472	5952,137	7588,860	24686,608
PN	969,048	5561,397	277,880	7004,992	7619,215	24637,432
ML	969,048	5786,582	277,324	7019,030	7619,215	24637,432
MM	1925,537	3411,900	139,496	3523,553	15177,720	48291,333
MN	1921,672	3425,548	139,218	3516,534	14904,521	49176,510

4.4 DIMENSJONERENDE KREFTER

For hente ut dimensjonerende krefter fra Nova Frame er det gitt kommandoen "SORTLINE"
SORTLINE regner snittkraft komponentene (maksimum og minimum) for den verste "SORTCOMB"
(For beskrivelse av SORTCOMB se over)

Nedenfor er verdiene for SORTLINE kommandoen gitt for de dimensjonerende elementene til veggskivene.

Vindberegninger for Sandsfjord bru

For den SORTLINEN som er tatt ut er all vind og egenvekt med. For tabellene med reduserte verdier er det tatt med reduksjon pga redusert korrelasjon mellom ulike svingefrekvenser som beskrevet i Kap 4.3.2

4.4.1 FFB-bru del fra akse 2

For snittkreftene er det referert til de lokale aksene.

Tabell 64 viser snittkrefter i bunn veggskive for element 210. Akse 2

SORTLINE nr 1 Element 210	Skjær i L-retn	Aksial	Skjær i N-retn	Bøying om L-aksen	Torsjon	Bøying om N-aksen
Maks aksial	82,11	25961,65	74,54	-7441,44	15276,28	186717,09
Maks skjær i L-retn	2309,55	21629,00	189,75	-3511,63	2930,39	2398,67
Maks skjær i N-retn	2208,81	20428,14	780,15	13126,69	2590,25	4806,78
Maks bøying om L-aksen	2208,81	20428,14	780,15	13126,69	2590,25	4806,78
Maks bøying om N-aksen	-15,01	23865,80	672,67	9617,69	14978,09	190051,86
Maks Torsjon	85,73	25066,66	82,27	-7020,63	15318,23	187643,74
Min aksial	1782,40	19117,07	303,96	-154,13	-1104,38	-41193,27
Min skjær i L-retn	-441,42	22554,72	196,48	-3663,13	11283,47	144051,81
Min skjær i N-retn	720,86	21436,33	-44,98	-10227,79	5259,61	50225,21
Min bøying om L-aksen	720,86	21436,33	-44,98	-10227,79	5259,61	50225,21
Min bøying om N-aksen	1782,40	19117,07	303,96	-154,13	-1104,38	-41193,27
Min Torsjon	1782,40	19117,07	303,96	-154,13	-1104,38	-41193,27

Tabell 65 viser snittkrefter i bunn veggskive for element 210. Akse 2 redusert ihht beskrivelse over.

SORTLINE nr 1 Element 210 Reduserte verdier	Skjær i L-retn	Aksial	Skjær i N-retn	Bøying om L-aksen	Torsjon	Bøying om N-aksen
Maks aksial	82,11	25623,13	58,11	-7051,84	15256,10	186661,67
Maks skjær i L-retn	2241,39	21629,00	146,13	-2411,71	2401,88	-3541,91
Maks skjær i N-retn	2164,76	19847,24	780,15	13117,19	2260,65	739,26
Maks bøying om L-aksen	2169,86	19882,03	779,80	13126,69	2304,85	1249,08
Maks bøying om N-aksen	-17,50	23541,44	657,48	9264,91	14978,09	189985,36
Maks Torsjon	85,14	24750,55	66,02	-6639,34	15312,46	187643,74
Min aksial	1782,40	18778,55	287,53	235,47	-1084,20	-41248,69
Min skjær i L-retn	-373,26	22554,72	152,86	-4763,05	10754,96	138111,23
Min skjær i N-retn	676,81	20855,43	-44,98	-10218,29	4930,01	46157,69
Min bøying om L-aksen	681,91	20890,22	-44,63	-10227,79	4974,21	46667,51
Min bøying om N-aksen	1779,91	18792,71	288,77	-506,91	-1104,38	-41126,77
Min Torsjon	1781,81	18800,96	287,71	-535,42	-1098,61	-41193,27

Vindberegninger for Sandsfjord bru

Tabell 66 viser snittkrefter i bunn veggskive for element 220. Akse 2

SORTLINE nr 1 Element 220						
	Skjær i L-retn	Aksial	Skjær i N-retn	Bøying om L-aksen	Torsjon	Bøying om N-aksen
Maks aksial	3798,26	-140439,43	967,18	16944,04	2597,16	21955,92
Maks skjær i L-retn	3831,44	-142152,85	380,78	381,90	2935,36	21449,71
Maks skjær i N-retn	3798,26	-140439,43	967,18	16944,04	2597,16	21955,92
Maks bøying om L-aksen	3798,26	-140439,43	967,18	16944,04	2597,16	21955,92
Maks bøying om N-aksen	-824,40	-143683,52	856,90	13356,43	15474,33	275648,25
Maks Torsjon	-791,22	-145396,94	270,50	-3205,70	15812,53	275142,04
Min aksial	-2027,65	-149931,90	383,24	122,10	11598,62	209256,88
Min skjær i L-retn	-2027,65	-149931,90	383,24	122,10	11598,62	209256,88
Min skjær i N-retn	300,27	-149166,56	145,18	-6365,16	5329,13	82157,61
Min bøying om L-aksen	300,27	-149166,56	145,18	-6365,16	5329,13	82157,61
Min bøying om N-aksen	2595,01	-146687,81	493,52	3709,70	-1278,55	-44435,45
Min Torsjon	2595,01	-146687,81	493,52	3709,70	-1278,55	-44435,45

Tabell 67 viser snittkrefter i bunn veggskive for element 220. Akse 2. Reduserte verdier.

SORTLINE nr 1 Element 220 Reduserte verdier						
	Skjær i L-retn	Aksial	Skjær i N-retn	Bøying om L-aksen	Torsjon	Bøying om N-aksen
Maks aksial	3798,26	-140100,91	950,75	16554,44	2576,98	21900,50
Maks skjær i L-retn	3763,28	-142152,85	337,16	-718,02	2406,85	15509,13
Maks skjær i N-retn	3754,21	-139858,53	967,18	16934,54	2267,56	17888,40
Maks bøying om L-aksen	3759,31	-139893,32	966,83	16944,04	2311,76	18398,22
Maks bøying om N-aksen	-821,91	-143359,16	841,71	13003,65	15474,33	275581,75
Maks Torsjon	-790,63	-145080,83	254,25	-3586,99	15806,76	275142,04
Min aksial	-2027,65	-149593,38	366,81	-267,50	11578,44	209201,46
Min skjær i L-retn	-1959,49	-149931,90	339,62	-977,82	11070,11	203316,30
Min skjær i N-retn	256,22	-148585,66	145,18	-6355,66	4999,53	78090,09
Min bøying om L-aksen	261,32	-148620,45	144,83	-6365,16	5043,73	78599,91
Min bøying om N-aksen	2592,52	-146363,45	478,33	3356,92	-1278,55	-44368,95
Min Torsjon	2594,42	-146371,70	477,27	3328,41	-1272,78	-44435,45

4.4.2 FFB-bru del fra akse 3

For snittkreftene er det referert til de lokale aksene.

Tabell 68 viser snittkrefter i bunn veggskive for element 310. Akse 3

SORTLINE nr 2 Element 310						
	Skjær i L-retn	Aksial	Skjær i N-retn	Bøying om L-aksen	Torsjon	Bøying om N-aksen
Maks aksial	-954,98	-48952,59	-555,36	-13494,54	-17512,70	-17755,74
Maks skjær i L-retn	978,48	-53172,98	-151,92	-3455,57	17470,14	18638,25
Maks skjær i N-retn	7,23	-57426,78	267,88	7097,34	-26,49	-89,06
Maks bøying om L-aksen	7,23	-57426,78	267,88	7097,34	-26,49	-89,06
Maks bøying om N-aksen	978,48	-53172,98	-151,92	-3455,57	17470,14	18638,25
Maks Torsjon	978,48	-53172,98	-151,92	-3455,57	17470,14	18638,25
Min aksial	7,23	-57426,78	267,88	7097,34	-89,06	-26,49
Min skjær i L-retn	-954,98	-48952,59	-555,36	-13494,54	-17755,74	-17512,70
Min skjær i N-retn	-954,98	-48952,59	-555,36	-13494,54	-17755,74	-17512,70
Min bøying om L-aksen	-954,98	-48952,59	-555,36	-13494,54	-17755,74	-17512,70
Min bøying om N-aksen	-954,98	-48952,59	-555,36	-13494,54	-17755,74	-17512,70
Min Torsjon	-954,98	-48952,59	-555,36	-13494,54	-17755,74	-17512,70

Vindberegninger for Sandsfjord bru

Tabell 69 viser snittkrefter i bunn veggskive for element 310. Akse 3. Reduserte verdier.

SORTLINE nr 2 Element 310 Reduserte verdier							
	Skjær i L-retn	Aksial	Skjær i N-retn	Bøying om L-aksen	Torsjon	Bøying om N-aksen	
Maks aksial	-954,98	-49291,11	-571,79	-13104,94	-17532,88	-17811,16	
Maks skjær i L-retn	910,32	-53172,98	-195,54	-4555,49	16941,63	12697,67	
Maks skjær i N-retn	-36,82	-58007,68	267,88	7087,84	-356,09	-4156,58	
Maks bøying om L-aksen	-31,72	-57972,89	267,53	7097,34	-311,89	-3646,76	
Maks bøying om N-aksen	975,99	-53497,34	-167,11	-3808,35	17470,14	18571,75	
Maks Torsjon	977,89	-53489,09	-168,17	-3836,86	17464,37	18638,25	
Min aksial	7,23	-57088,26	251,45	6707,74	-68,88	28,93	
Min skjær i L-retn	-886,82	-48952,59	-511,74	-12394,62	-17227,23	-11572,12	
Min skjær i N-retn	-910,93	-48371,69	-555,36	-13485,04	-17426,14	-13445,18	
Min bøying om L-aksen	-916,03	-48406,48	-555,01	-13494,54	-17470,34	-13955,00	
Min bøying om N-aksen	-952,49	-48628,23	-540,17	-13141,76	-17755,74	-17446,20	
Min Torsjon	-954,39	-48636,48	-539,11	-13113,25	-17749,97	-17512,70	

Tabell 70 viser snittkrefter i bunn veggskive for element 320. Akse 3

SORTLINE nr 2 Element 320						
	Skjær i L-retn	Aksial	Skjær i N-retn	Bøying om L-aksen	Torsjon	Bøying om N-aksen
Maks aksial	-12,61	-61786,21	560,15	12232,59	-26,54	212,74
Maks skjær i L-retn	3463,12	-69132,36	-269,13	-8441,39	-17846,83	-126779,38
Maks skjær i N-retn	-12,61	-61786,21	560,15	12232,59	-26,54	212,74
Maks bøying om L-aksen	-12,61	-61786,21	560,15	12232,59	-26,54	212,74
Maks bøying om N-aksen	-3481,16	-66049,25	135,63	1583,97	17803,84	128316,99
Maks Torsjon	-3481,16	-66049,25	135,63	1583,97	17803,84	128316,99
Min aksial	3463,12	-69132,36	-269,13	-8441,39	-17846,83	-126779,38
Min skjær i L-retn	-3481,16	-66049,25	135,63	1583,97	17803,84	128316,99
Min skjær i N-retn	3463,12	-69132,36	-269,13	-8441,39	-17846,83	-126779,38
Min bøying om L-aksen	3463,12	-69132,36	-269,13	-8441,39	-17846,83	-126779,38
Min bøying om N-aksen	3463,12	-69132,36	-269,13	-8441,39	-17846,83	-126779,38
Min Torsjon	3463,12	-69132,36	-269,13	-8441,39	-17846,83	-126779,38

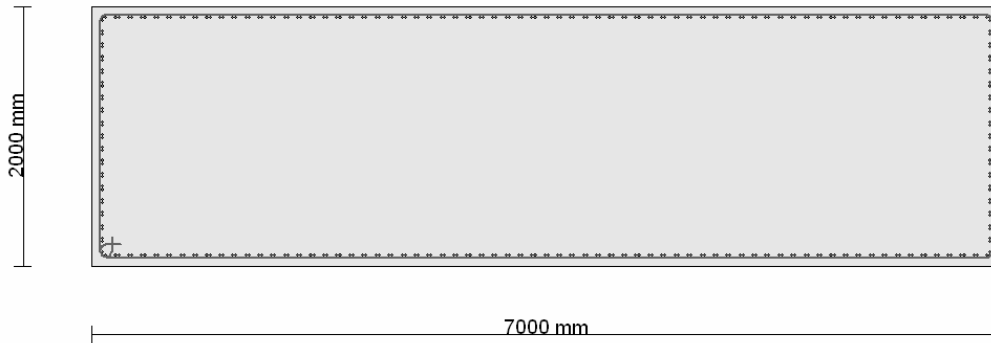
Tabell 71 viser snittkrefter i bunn veggskive for element 320. Akse 3 Reduserte verdier

SORTLINE nr 2 Element 320 Reduserte verdier						
	Skjær i L-retn	Aksial	Skjær i N-retn	Bøying om L-aksen	Torsjon	Bøying om N-aksen
Maks aksial	-12,61	-61447,69	543,72	11842,99	-6,36	157,32
Maks skjær i L-retn	3394,96	-69132,36	-312,75	-9541,31	-17318,32	-120838,80
Maks skjær i N-retn	-56,66	-61205,31	560,15	12223,09	-356,14	-3854,78
Maks bøying om L-aksen	-51,56	-61240,10	559,80	12232,59	258,86	3770,44
Maks bøying om N-aksen	-3478,67	-65724,89	120,44	1231,19	17803,84	128250,49
Maks Torsjon	-3480,57	-65733,14	119,38	1202,68	17798,07	128316,99
Min aksial	3463,12	-68793,84	-252,70	-8051,79	-17826,65	-126723,96
Min skjær i L-retn	-3413,00	-66049,25	92,01	484,05	17275,33	122376,41
Min skjær i N-retn	3419,07	-68551,46	-269,13	-8431,89	-17517,23	-122711,86
Min bøying om L-aksen	3424,17	-68586,25	-268,78	-8441,39	-17561,43	-123221,68
Min bøying om N-aksen	3460,63	-68808,00	-253,94	-8088,61	-17846,83	-126712,88
Min Torsjon	3462,53	-68816,25	-252,88	-8060,10	-17841,06	-126779,38

Disse verdier brukes videre for å bestemme nødvendig armering i veggskiver.

Nedenfor er det gitt typisk armering i bunn veggskive som er nødvendig for å dimensjonere for reduserte verdier for element 220 med maks moment om lokal N-akse gitt i tabell over. Analysen er utført i Nova Design

Vindberegninger for Sandsfjord bru



Figur 70 viser nødvendig tverrsnittarmering for element 220 (bunn veggskive) med maks moment om lokal N-akse.

Det er da benyttet Ø25 c100 som lengdearmering rundt hele tverrsnittet i tillegg er det lagt torsjonsarmering som bøyer ø20 c100 + tilsvarende i lengderetning. Har da 50 % utnyttelse av lengdearmeringen og 60 % utnyttelse av torsjonarmeringen. Det er ikke benyttet lastfaktorer på lastene. Det er brukt matrialfaktorer som for bruddtilstand. Det er ikke tatt hensyn til tilleggsmomenter som følge av veggskivens slankhet med annen ordens effekter som følge av utbøyninger.

Vindberegninger for Sandsfjord bru

5. MODAL ANALYSE AV SVINGEFORM 1 BYGGETRINN 4

Nedenfor følger en modal analyse utført i Mathcad der hensikten er å finne den dynamiske forskyvningen basert på svingeform 1 slik den fremkommer i Nova Frame analysen for FFB-bru fra akse 3. Se figur 22. Det er antatt denne svingeformen kan beskrives som en lineær funksjon med skiftende fortegn.

Utregning av forskyvning svingeform 1 av FFB-bru fra akse 3

Joint acceptance function (JAF)

$$U_{10\min} \text{ er gitt ved } : \quad U := 36 \frac{\text{m}}{\text{s}}$$

$$\text{Frekvensen til den valgte svingeformen} \quad : \quad f_n := \frac{0.553 \frac{\text{rad}}{\text{s}}}{2\pi} \quad f_n = 0.088 \cdot \text{Hz}$$

$$\text{Decay faktor} \quad C := 8 \quad \text{Valgt ihht ref /8} \quad /$$

$$\text{Antall inndelinger av utkragerene} \quad : \quad N := \frac{150 \text{ m} + 150 \text{ m}}{10 \text{ m}} \quad N = 30$$

Dette gir følgende inndeling langs y-aksen: $y := 0 \text{ m}, 10 \text{ m} \dots 300 \text{ m}$

Generell definisjon på normalisert form :

$$\text{JAF} = \int_0^1 \int_0^1 \frac{\phi(y_a) \cdot \phi(y_b)}{(|\phi_{\text{maks}}|)^2} \cdot \sqrt{\text{Coh}(\Delta y, f)} \, dy_a \, dy_b$$

JAF beskriver dermed den romlige gjensidige påvirkningen av den aktuelle egensvingningen og vindfluktasjonene.

Nedenfor følger numerisk beregning av JAF for svingeform 1. Den er ikke utført på normalisert form og følger fremgangsmåte beskrevet i ref /14/. Beregningen generelt er basert på ref /13/ og /14/, innholdet her finnes også igjen i ref /4/ og /5/.

Generelt så er noen matriser og vektorer av en slik størrelse at de kun er vist i tabellform (med "skrollemulighet") det gjør at kun et utdrag av matrisene vises i utskriften, men hele er tilgjengelig i Mathcad.

Rotkoherensen ($\sqrt{\text{Coh}(\Delta y, f)}$ overfor) gir den romvise fordelingen av vindspekteret som funksjon av Δy og f hvor y er akse parallell med broens lengderetning og f er den turbulente vindens frekvens. Bruker samme rotkoherensspekter som er gitt i likn 3.5.25 i ref/5/ det er også dette som er brukt i beregningene i Nova Frame.

Vindberegninger for Sandsfjord bru

Definerer en matrise for rotkoherensen hvor $\psi_u = \sqrt{\text{Coh}(\Delta y, f)}$

Dette gir: $\psi_u = e^{\left(\frac{-C \cdot \Delta r \cdot f}{U}\right)}$

Har følgende frekvensinndeling: $f := 0\text{Hz}, \frac{0.03}{2\pi}\text{Hz}.. \frac{0.9}{2\pi}\text{Hz}$

Seperasjonsmatrise for avstand (Δy) mellom indelingene langs y akse er definert ved :

$$\Delta r := r - r^T$$

Vindberegninger for Sandsfjord bru

$\Delta r =$

	0	1	2	3	4	5	6	7	8	9
0	0	-10	-20	-30	-40	-50	-60	-70	-80	-90
1	10	0	-10	-20	-30	-40	-50	-60	-70	-80
2	20	10	0	-10	-20	-30	-40	-50	-60	-70
3	30	20	10	0	-10	-20	-30	-40	-50	-60
4	40	30	20	10	0	-10	-20	-30	-40	-50
5	50	40	30	20	10	0	-10	-20	-30	-40
6	60	50	40	30	20	10	0	-10	-20	-30
7	70	60	50	40	30	20	10	0	-10	-20
8	80	70	60	50	40	30	20	10	0	-10
9	90	80	70	60	50	40	30	20	10	0
10	100	90	80	70	60	50	40	30	20	10
11	110	100	90	80	70	60	50	40	30	20
12	120	110	100	90	80	70	60	50	40	30
13	130	120	110	100	90	80	70	60	50	40
14	140	130	120	110	100	90	80	70	60	50
15	150	140	130	120	110	100	90	80	70	...

(Matrisen fortsetter opp til 300m avstand mellom punktene, utskriften viser kun et utdrag av matrisen)

Definerer ny matrise som gir absoluttverdiene av Δr

$$\Delta r_{abs} := \begin{array}{l} g \leftarrow \Delta r \\ \text{for } i \in 0..30 \\ \quad \text{for } j \in 0..30 \\ \qquad g_{i,j} \leftarrow (-\Delta r)_{i,j} \text{ if } g_{i,j} < 0 \\ g \end{array}$$

Vindberegninger for Sandsfjord bru

$\Delta r_{abs} =$

	0	1	2	3	4	5	6	7	8	9
0	0	10	20	30	40	50	60	70	80	90
1	10	0	10	20	30	40	50	60	70	80
2	20	10	0	10	20	30	40	50	60	70
3	30	20	10	0	10	20	30	40	50	60
4	40	30	20	10	0	10	20	30	40	50
5	50	40	30	20	10	0	10	20	30	40
6	60	50	40	30	20	10	0	10	20	30
7	70	60	50	40	30	20	10	0	10	20
8	80	70	60	50	40	30	20	10	0	10
9	90	80	70	60	50	40	30	20	10	0
10	100	90	80	70	60	50	40	30	20	10
11	110	100	90	80	70	60	50	40	30	20
12	120	110	100	90	80	70	60	50	40	30
13	130	120	110	100	90	80	70	60	50	40
14	140	130	120	110	100	90	80	70	60	50
15	150	140	130	120	110	100	90	80	70	...

m

Vindberegninger for Sandsfjord bru

Lager en x matrise som gir verdiene som skal eksponeres i uttrykket for rotkoherensen

$$i := 0..30 \quad j := 0..30 \quad U = 36 \frac{\text{m}}{\text{s}} \quad C = 8$$

$$x(f) := \left[\frac{-[C \cdot (f \cdot \Delta r_{\text{abs}})]}{U} \right]$$

Frekvensinndeling
:

f =	·Hz
0	
0.0048	
0.0095	
0.0143	
0.0191	
0.0239	
0.0286	
0.0334	
0.0382	
0.043	
0.0477	
0.0525	
0.0573	
0.0621	
0.0668	
0.0716	
0.0764	
0.0812	
0.0859	
0.0907	
0.0955	
0.1003	
0.105	
0.1098	
0.1146	
0.1194	
0.1241	
0.1289	
0.1337	
0.1385	
0.1432	

Dette gir en 31x31 matrise for hver frekvens:

x(f) =

[31, 31]
[31, 31]
[31, 31]
[31, 31]
[31, 31]
[31, 31]
[31, 31]
[31, 31]
[31, 31]
[31, 31]
[31, 31]
[31, 31]
[31, 31]
[31, 31]
[31, 31]
[31, 31]
[31, 31]
...

Vindberegninger for Sandsfjord bru

Rotkoherensen avhenger både av vindens frekvens og avstand mellom punkt som er nære nok til at vindens virkning på et punkt påvirker det andre.

For hver frekvens må koherensmatrisen (som da kun avhenger av Δr) sin vektor for $\Delta r = S_i$ multipliseres med verdien for integrasjonen til $\gamma(y) \cdot \gamma(y+S_i)$ (Ref /14/)

Definerer derfor under en koherensmatrise for hver frekvensindeling. Har da 31 matriser av typen som er vist under.

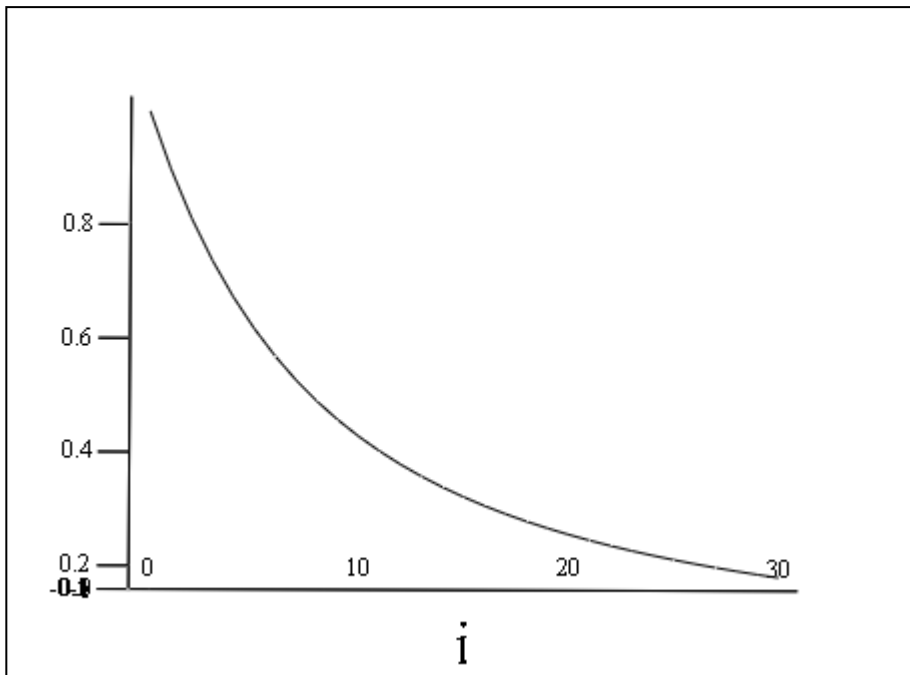
$$M0_{i,j} := \left(e^{x(0.000 \cdot \text{Hz})_{i,j}} \right) \quad (\text{Tilsvarende rad 1 i frekvensinndelingen vist over})$$

$$M1_{i,j} := \left(e^{x(0.0048 \cdot \text{Hz})_{i,j}} \right) \quad (\text{Tilsvarende rad 2 i frekvensinndelingen vist over})$$

$$M2_{i,j} := \left(e^{x(2 \cdot 0.0048 \cdot \text{Hz})_{i,j}} \right) \quad (\text{Tilsvarende rad 3 i frekvensinndelingen vist over})$$

osv

Verdien til disse matrisene gir en fordeling av koherens langs frekvensaksen som vist i figur under:



coh

Hvor frekvensen er gitt ved $\omega = i \cdot 0.0048$

Figur 71 viser rotkoherensen som funksjon av frekvens (Hz).

Ut fra ref/14/ så kan volumintegralet som fremkommer ved multiplikasjonene av

Vindberegninger for Sandsfjord bru

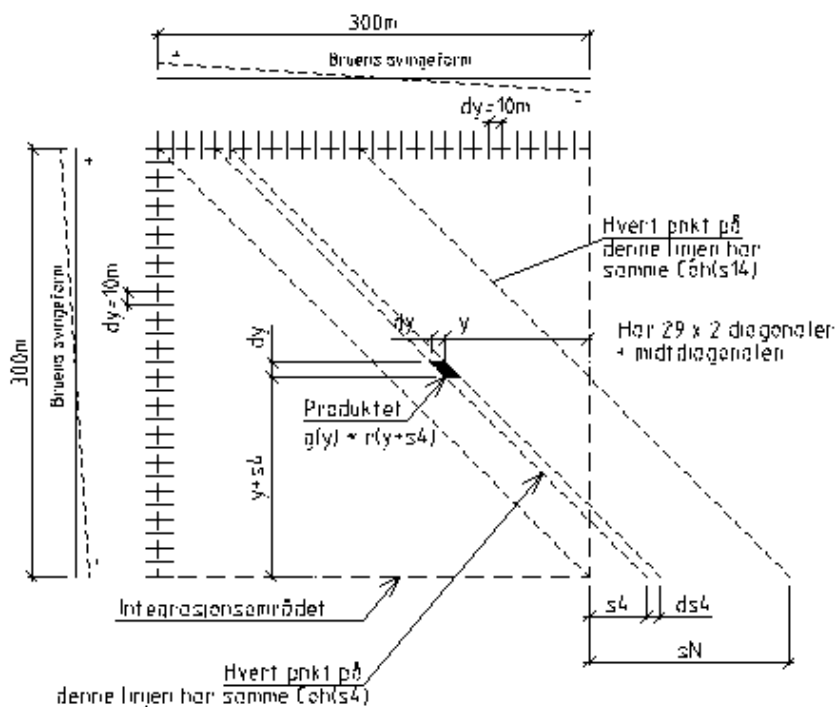
funksjonene som beskriver svingformene gitt i ulike punkt beskrives som et arealintegral. Forskjellen er at en bruker koherens (avhenger av vindfrekvensen) istedenfor kovarianse (avhenger ikke av vindfrekvensen) Dette gir:

$$J^2 = \int_0^L \text{Coh}(S_N, f) \cdot 2 \int_0^{L-S_N} \gamma(y) \cdot \gamma(y + S_N) dy ds$$

J^2 tilsvarer Q_{ij} i likning 9.2 i ref/13/

Søker nå å finne numerisk løsningen av integralet $\int_0^{L-S_N} \gamma(y) \cdot \gamma(y + S_N) dy$

$N=29$ Integrerer langs 29 diagonaler x 2 diagonaler + den midterste. For den første diagonalen er S lik 10 meter. Se figur under hvor det vises eksempel med s_4 .



Figur 72 viser integrasjonsområdet og fremgangsmåte for integrasjon langs diagonalene til arealintegralet. Figuren er basert på ref /14/

Vindberegninger for Sandsfjord bru

Numerisk integrasjon av første diagonal S1=10m

Bruker midpunktene ved den numeriske integrasjonen. ("midtpunkt regelen" ref /15/)

dy := 10m

$$g = \gamma(y) \quad r = \gamma(y + S_N)$$

$$y := 5m, 15m.. 285m \quad k := 15m, 25m.. 295m$$

$$g := 2 \frac{y}{L} - 1 \quad r := 2 \frac{k}{L} - 1$$

Matrisen for multiplikasjonen av de 2 matrisene

$$\gamma_1 := dy \cdot (g \cdot r) \quad \gamma_1 = 89.9 \text{ m} \quad (\text{Alle multiplikasjonene for diagonalen er da summert opp, det gjelder for hver diagonal vist under})$$

S2=20m

$$y := 5m, 15m.. 275m \quad k := 25m, 35m.. 295m$$

$$g := 2 \frac{y}{L} - 1 \quad r := 2 \frac{k}{L} - 1$$

$$\gamma_2 := dy \cdot (g \cdot r) \quad \gamma_2 = 79.96 \text{ m}$$

S3=30m

$$y := 5m, 15m.. 265m \quad k := 35m, 45m.. 295m$$

$$g := 2 \frac{y}{L} - 1 \quad r := 2 \frac{k}{L} - 1$$

$$\gamma_3 := dy \cdot (g \cdot r) \quad \gamma_3 = 70.1 \text{ m}$$

S4=40m

$$y := 5m, 15m.. 255m \quad k := 45m, 55m.. 295m$$

$$g := 2 \frac{y}{L} - 1 \quad r := 2 \frac{k}{L} - 1$$

$$\gamma_4 := dy \cdot (g \cdot r) \quad \gamma_4 = 60.38 \text{ m}$$

Vindberegninger for Sandsfjord bru

S5=50m

y := 5m, 15m.. 245 m

k := 55m, 65m.. 295 m

$$g := 2 \frac{y}{L} - 1$$

$$r := 2 \frac{k}{L} - 1$$

$$\gamma_5 := dy \cdot (g \cdot r)$$

$$\gamma_5 = 50.83 \text{ m}$$

S6=60m

y := 5m, 15m.. 235 m

k := 65m, 75m.. 295 m

$$g := 2 \frac{y}{L} - 1$$

$$r := 2 \frac{k}{L} - 1$$

$$\gamma_6 := dy \cdot (g \cdot r)$$

$$\gamma_6 = 41.51 \text{ m}$$

S7=70m

y := 5m, 15m.. 225 m

k := 75m, 85m.. 295 m

$$g := 2 \frac{y}{L} - 1$$

$$r := 2 \frac{k}{L} - 1$$

$$\gamma_7 := dy \cdot (g \cdot r)$$

$$\gamma_7 = 32.46 \text{ m}$$

S8=80m

y := 5m, 15m.. 215 m

k := 85m, 95m.. 295 m

$$g := 2 \frac{y}{L} - 1$$

$$r := 2 \frac{k}{L} - 1$$

$$\gamma_8 := dy \cdot (g \cdot r)$$

$$\gamma_8 = 23.71 \text{ m}$$

S9=90m

y := 5m, 15m.. 205 m

k := 95m, 105m.. 295 m

$$g := 2 \frac{y}{L} - 1$$

$$r := 2 \frac{k}{L} - 1$$

$$\gamma_9 := dy \cdot (g \cdot r)$$

$$\gamma_9 = 15.32 \text{ m}$$

Vindberegninger for Sandsfjord bru

S10=100m

y := 5m, 15m.. 195m

k := 105m, 115m.. 295m

$$g := 2 \frac{y}{L} - 1$$

$$r := 2 \frac{k}{L} - 1$$

$$\gamma_{10} := dy \cdot (g \cdot r)$$

$$\gamma_{10} = 7.33 \text{ m}$$

S11=110m

y := 5m, 15m.. 185m

k := 115m, 125m.. 295m

$$g := 2 \frac{y}{L} - 1$$

$$r := 2 \frac{k}{L} - 1$$

$$\gamma_{11} := dy \cdot (g \cdot r)$$

$$\gamma_{11} = -0.21 \text{ m}$$

S12=120m

y := 5m, 15m.. 175m

k := 125m, 135m.. 295m

$$g := 2 \frac{y}{L} - 1$$

$$r := 2 \frac{k}{L} - 1$$

$$\gamma_{12} := dy \cdot (g \cdot r)$$

$$\gamma_{12} = -7.27 \text{ m}$$

S13=130m

y := 5m, 15m.. 165m

k := 135m, 145m.. 295m

$$g := 2 \frac{y}{L} - 1$$

$$r := 2 \frac{k}{L} - 1$$

$$\gamma_{13} := dy \cdot (g \cdot r)$$

$$\gamma_{13} = -13.79 \text{ m}$$

Vindberegninger for Sandsfjord bru

S14=140m

y := 5m, 15m.. 155m

k := 145m, 155m.. 295m

$$g := 2 \frac{y}{L} - 1$$

$$r := 2 \frac{k}{L} - 1$$

$$\gamma_{14} := dy \cdot (g \cdot r)$$

$$\gamma_{14} = -19.73 \text{ m}$$

S15=150m

y := 5m, 15m.. 145m

k := 155m, 165m.. 295m

$$g := 2 \frac{y}{L} - 1$$

$$r := 2 \frac{k}{L} - 1$$

$$\gamma_{15} := dy \cdot (g \cdot r)$$

$$\gamma_{15} = -25.06 \text{ m}$$

S16=160m

y := 5m, 15m.. 135m

k := 165m, 175m.. 295m

$$g := 2 \frac{y}{L} - 1$$

$$r := 2 \frac{k}{L} - 1$$

$$\gamma_{16} := dy \cdot (g \cdot r)$$

$$\gamma_{16} = -29.71 \text{ m}$$

S17=170m

y := 5m, 15m.. 125m

k := 175m, 185m.. 295m

$$g := 2 \frac{y}{L} - 1$$

$$r := 2 \frac{k}{L} - 1$$

$$\gamma_{17} := dy \cdot (g \cdot r)$$

$$\gamma_{17} = -33.66 \text{ m}$$

Vindberegninger for Sandsfjord bru

S18=180m

y := 5m, 15m.. 115m

k := 185m, 195m.. 295m

$$g := 2 \frac{y}{L} - 1$$

$$r := 2 \frac{k}{L} - 1$$

$$\gamma_{18} := dy \cdot (g \cdot r)$$

$$\gamma_{18} = -36.84 \text{ m}$$

S19=190m

y := 5m, 15m.. 105m

k := 195m, 205m.. 295m

$$g := 2 \frac{y}{L} - 1$$

$$r := 2 \frac{k}{L} - 1$$

$$\gamma_{19} := dy \cdot (g \cdot r)$$

$$\gamma_{19} = -39.23 \text{ m}$$

S20=200m

y := 5m, 15m.. 95m

k := 205m, 215m.. 295m

$$g := 2 \frac{y}{L} - 1$$

$$r := 2 \frac{k}{L} - 1$$

$$\gamma_{20} := dy \cdot (g \cdot r)$$

$$\gamma_{20} = -40.78 \text{ m}$$

S21=210m

y := 5m, 15m.. 85m

k := 215m, 225m.. 295m

$$g := 2 \frac{y}{L} - 1$$

$$r := 2 \frac{k}{L} - 1$$

$$\gamma_{21} := dy \cdot (g \cdot r)$$

$$\gamma_{21} = -41.43 \text{ m}$$

Vindberegninger for Sandsfjord bru

S22=220m

y := 5m, 15m.. 75m

k := 225 m, 235 m.. 295 m

$$g := 2 \frac{y}{L} - 1$$

$$r := 2 \frac{k}{L} - 1$$

$$\gamma_{22} := dy \cdot (g \cdot r)$$

$$\gamma_{22} = -41.16 \text{ m}$$

S23=230m

y := 5m, 15m.. 65m

k := 235 m, 245 m.. 295 m

$$g := 2 \frac{y}{L} - 1$$

$$r := 2 \frac{k}{L} - 1$$

$$\gamma_{23} := dy \cdot (g \cdot r)$$

$$\gamma_{23} = -39.9 \text{ m}$$

S24=240m

y := 5m, 15m.. 55m

k := 245 m, 255 m.. 295 m

$$g := 2 \frac{y}{L} - 1$$

$$r := 2 \frac{k}{L} - 1$$

$$\gamma_{24} := dy \cdot (g \cdot r)$$

$$\gamma_{24} = -37.62 \text{ m}$$

S25=250m

y := 5m, 15m.. 45m

k := 255 m, 265 m.. 295 m

$$g := 2 \frac{y}{L} - 1$$

$$r := 2 \frac{k}{L} - 1$$

$$\gamma_{25} := dy \cdot (g \cdot r)$$

$$\gamma_{25} = -34.28 \text{ m}$$

Vindberegninger for Sandsfjord bru

S26=260m

y := 5m, 15m.. 35m

k := 265m, 275m.. 295m

$$g := 2 \frac{y}{L} - 1$$

$$r := 2 \frac{k}{L} - 1$$

$$\gamma_{26} := dy \cdot (g \cdot r)$$

$$\gamma_{26} = -29.82 \text{ m}$$

S27=270m

y := 5m, 15m.. 25m

k := 275m, 285m.. 295m

$$g := 2 \frac{y}{L} - 1$$

$$r := 2 \frac{k}{L} - 1$$

$$\gamma_{27} := dy \cdot (g \cdot r)$$

$$\gamma_{27} = -24.21 \text{ m}$$

S28=280m

y := 5m, 15m.. 15m

k := 285m, 295m.. 295m

$$g := 2 \frac{y}{L} - 1$$

$$r := 2 \frac{k}{L} - 1$$

$$\gamma_{28} := dy \cdot (g \cdot r)$$

$$\gamma_{28} = -17.4 \text{ m}$$

S29=290m

y := 5m

k := 295m

$$g := 2 \frac{y}{L} - 1$$

$$r := 2 \frac{k}{L} - 1$$

$$\gamma_{29} := dy \cdot (g \cdot r)$$

$$\gamma_{29} = -9.34 \text{ m}$$

Vindberegninger for Sandsfjord bru

Midtdiagonalen

$$y := 5\text{m}, 15\text{m}.. 295\text{m} \quad k := 5\text{m}, 15\text{m}.. 295\text{m}$$

$$g := 2 \frac{y}{L} - 1 \quad r := 2 \frac{k}{L} - 1$$

$$\gamma_{30} := dy \cdot (g \cdot r) \quad \gamma_{30} = 99.89 \text{ m}$$

Definerer en vektor med verdiene for integrasjonen av de 29 diagonalene:

Multipliserer denne vektoren med verdiene for tilhørende koherensen (gitt ut fra avstanden mellom punktene) Multipliserer denne verdien med ds som er avstand mellom diagonalene får dermed regnet ut verdiene for hovedintegralet til J^2 (Uttrykket for J^2 er vist lenger oppe). Multipliserer med 2 for å få med verdiene av diagonalene på andre siden (se ref /14/.) Midtdiagonal har koherensverdi 1, denne multipliseres med 2x ds for å ta hensyn til begge sidene av diagonalen.

Definerer en vektor $M\gamma_i$ som inneholder verdiene til alle integrasjonene ovenfor.

$$M\gamma_i := \gamma_i \quad i := 1.. 29$$

$$ds := 10\text{m}$$

$$Q0_i := 2 M\gamma_i \cdot M0_{i,0} \quad S_0 := \sum Q0 \cdot ds + (\gamma_{30} \cdot ds \cdot 2) \quad S_0 = 999 \text{ m}^2$$

$$Q1_i := 2 M\gamma_i \cdot M1_{i,0} \quad S_1 := \sum Q1 \cdot ds + (\gamma_{30} \cdot ds \cdot 2) \quad S_1 = 2683 \text{ m}^2$$

$$Q2_i := 2 M\gamma_i \cdot M2_{i,0} \quad S_2 := \sum Q2 \cdot ds + (\gamma_{30} \cdot ds \cdot 2) \quad S_2 = 3966 \text{ m}^2$$

$$Q3_i := 2 M\gamma_i \cdot M3_{i,0} \quad S_3 := \sum Q3 \cdot ds + (\gamma_{30} \cdot ds \cdot 2) \quad S_3 = 4935 \text{ m}^2$$

$$Q4_i := 2 M\gamma_i \cdot M4_{i,0} \quad S_4 := \sum Q4 \cdot ds + (\gamma_{30} \cdot ds \cdot 2) \quad S_4 = 5659 \text{ m}^2$$

$$Q5_i := 2 M\gamma_i \cdot M5_{i,0} \quad S_5 := \sum Q5 \cdot ds + (\gamma_{30} \cdot ds \cdot 2) \quad S_5 = 6191 \text{ m}^2$$

Utdrag av vektorene $M\gamma$, den laveste frekvens (M1) og nest laveste frekvens (M2), og produktet Q1 og Q2 når vektorene ikke er summert opp er vist under:

Vindberegninger for Sandsfjord bru

$M\gamma_i =$	$M1_{i,0} =$	$Q1_i =$	$M2_{i,0} =$	$Q2_i =$
89.9	0.99	178	0.98	176
79.96	0.98	157	0.96	153
70.1	0.97	136	0.94	132
60.38	0.96	116	0.92	111
50.83	0.95	96	0.9	91
41.51	0.94	78	0.88	73
32.46	0.93	60	0.86	56
23.71	0.92	44	0.84	40
15.32	0.91	28	0.83	25
7.33	0.9	13	0.81	12
-0.21	0.89	-0	0.79	-0
-7.27	0.88	-13	0.77	-11
-13.79	0.87	-24	0.76	-21
-19.73	0.86	-34	0.74	-29
-25.06	0.85	-43	0.73	-36
...

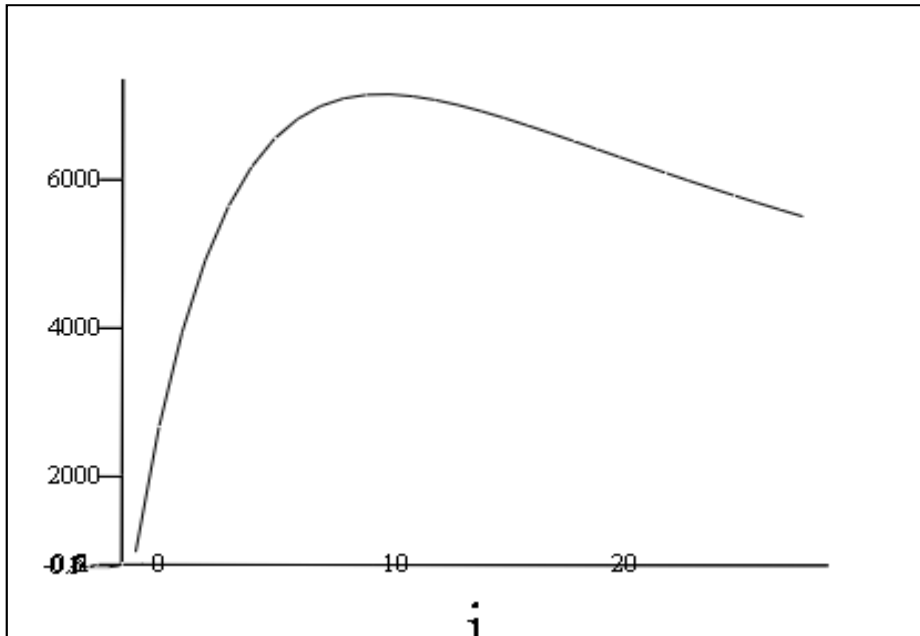
$Q6_i := 2 M\gamma_i \cdot M6_{i,0}$	$S_6 := \sum Q6 \cdot ds + (\gamma_{30} \cdot ds \cdot 2)$	$S_6 = 6573 \text{ m}^2$
$Q7_i := 2 M\gamma_i \cdot M7_{i,0}$	$S_7 := \sum Q7 \cdot ds + (\gamma_{30} \cdot ds \cdot 2)$	$S_7 = 6839 \text{ m}^2$
$Q8_i := 2 M\gamma_i \cdot M8_{i,0}$	$S_8 := \sum Q8 \cdot ds + (\gamma_{30} \cdot ds \cdot 2)$	$S_8 = 7013 \text{ m}^2$
$Q9_i := 2 M\gamma_i \cdot M9_{i,0}$	$S_9 := \sum Q9 \cdot ds + (\gamma_{30} \cdot ds \cdot 2)$	$S_9 = 7117 \text{ m}^2$
$Q10_i := 2 M\gamma_i \cdot M10_{i,0}$	$S_{10} := \sum Q10 \cdot ds + (\gamma_{30} \cdot ds \cdot 2)$	$S_{10} = 7166 \text{ m}^2$
$Q11_i := 2 M\gamma_i \cdot M11_{i,0}$	$S_{11} := \sum Q11 \cdot ds + (\gamma_{30} \cdot ds \cdot 2)$	$S_{11} = 7172 \text{ m}^2$
$Q12_i := 2 M\gamma_i \cdot M12_{i,0}$	$S_{12} := \sum Q12 \cdot ds + (\gamma_{30} \cdot ds \cdot 2)$	$S_{12} = 7147 \text{ m}^2$
$Q13_i := 2 M\gamma_i \cdot M13_{i,0}$	$S_{13} := \sum Q13 \cdot ds + (\gamma_{30} \cdot ds \cdot 2)$	$S_{13} = 7097 \text{ m}^2$
$Q14_i := 2 M\gamma_i \cdot M14_{i,0}$	$S_{14} := \sum Q14 \cdot ds + (\gamma_{30} \cdot ds \cdot 2)$	$S_{14} = 7028 \text{ m}^2$
$Q15_i := 2 M\gamma_i \cdot M15_{i,0}$	$S_{15} := \sum Q15 \cdot ds + (\gamma_{30} \cdot ds \cdot 2)$	$S_{15} = 6946 \text{ m}^2$

Vindberegninger for Sandsfjord bru

$Q16_i := 2 M \gamma_i \cdot M16_{i,0}$	$S_{16} := \sum Q16 \cdot ds + (\gamma_{30} \cdot ds \cdot 2)$	$S_{16} = 6854 \text{ m}^2$
$Q17_i := 2 M \gamma_i \cdot M17_{i,0}$	$S_{17} := \sum Q17 \cdot ds + (\gamma_{30} \cdot ds \cdot 2)$	$S_{17} = 6756 \text{ m}^2$
$Q18_i := 2 M \gamma_i \cdot M18_{i,0}$	$S_{18} := \sum Q18 \cdot ds + (\gamma_{30} \cdot ds \cdot 2)$	$S_{18} = 6652 \text{ m}^2$
$Q19_i := 2 M \gamma_i \cdot M19_{i,0}$	$S_{19} := \sum Q19 \cdot ds + (\gamma_{30} \cdot ds \cdot 2)$	$S_{19} = 6546 \text{ m}^2$
$Q20_i := 2 M \gamma_i \cdot M20_{i,0}$	$S_{20} := \sum Q20 \cdot ds + (\gamma_{30} \cdot ds \cdot 2)$	$S_{20} = 6439 \text{ m}^2$
$Q21_i := 2 M \gamma_i \cdot M21_{i,0}$	$S_{21} := \sum Q21 \cdot ds + (\gamma_{30} \cdot ds \cdot 2)$	$S_{21} = 6332 \text{ m}^2$
$Q22_i := 2 M \gamma_i \cdot M22_{i,0}$	$S_{22} := \sum Q22 \cdot ds + (\gamma_{30} \cdot ds \cdot 2)$	$S_{22} = 6225 \text{ m}^2$
$Q23_i := 2 M \gamma_i \cdot M23_{i,0}$	$S_{23} := \sum Q23 \cdot ds + (\gamma_{30} \cdot ds \cdot 2)$	$S_{23} = 6120 \text{ m}^2$
$Q24_i := 2 M \gamma_i \cdot M24_{i,0}$	$S_{24} := \sum Q24 \cdot ds + (\gamma_{30} \cdot ds \cdot 2)$	$S_{24} = 6016 \text{ m}^2$
$Q25_i := 2 M \gamma_i \cdot M25_{i,0}$	$S_{25} := \sum Q25 \cdot ds + (\gamma_{30} \cdot ds \cdot 2)$	$S_{25} = 5914 \text{ m}^2$
$Q26_i := 2 M \gamma_i \cdot M26_{i,0}$	$S_{26} := \sum Q26 \cdot ds + (\gamma_{30} \cdot ds \cdot 2)$	$S_{26} = 5815 \text{ m}^2$
$Q27_i := 2 M \gamma_i \cdot M27_{i,0}$	$S_{27} := \sum Q27 \cdot ds + (\gamma_{30} \cdot ds \cdot 2)$	$S_{27} = 5718 \text{ m}^2$
$Q28_i := 2 M \gamma_i \cdot M28_{i,0}$	$S_{28} := \sum Q28 \cdot ds + (\gamma_{30} \cdot ds \cdot 2)$	$S_{28} = 5624 \text{ m}^2$
$Q29_i := 2 M \gamma_i \cdot M29_{i,0}$	$S_{29} := \sum Q29 \cdot ds + (\gamma_{30} \cdot ds \cdot 2)$	$S_{29} = 5533 \text{ m}^2$

Vindberegninger for Sandsfjord bru

Figuren under viser fordelingen av S vektoren definert over (tilsvarer JAF som ikke er normalisert) langs frekvensaksen.



S

$$f = i \cdot 0.0048$$

Figur 73 Viser J^2 som funksjon av frekvens (Hz)

$$J_{\text{kvadrert}} := \frac{0.143 \cdot \text{Hz}}{30} \cdot \sum S \quad J_{\text{kvadrert}} = 863.13 \frac{\text{m}^2}{\text{s}}$$

Modal masse

Rekner ut den modale massen til svingeformen .

Økning av tverrsnittsareal pr meter: 2,885m²/m (hentet fra Excel)

Midlet massetetthet til betongen (Hvor det er tatt hensyn til andel lettbetong) :

y := 5m, 15m.. 295 m

$$\gamma_{\text{bet}} = 2282.4 \frac{\text{kg}}{\text{m}^3}$$

Dette gir vektøkning pr meter:

Vindberegninger for Sandsfjord bru

$$w := 2282.4 \frac{\text{kg}}{\text{m}^3} \cdot \frac{2.885 \text{ m}^2}{\text{m}} \cdot \text{m}$$

$$w = 6585 \frac{\text{kg}}{\text{m}}$$

$$\text{Maks tyngde er gitt ved} \quad : \quad w_{\text{maks}} := \frac{\left[2 \cdot \left(6.28 \text{ m}^2 \cdot \gamma_{\text{bet}} \cdot \text{m} \right) \right]}{10 \text{ m}} + \frac{300 \text{ m} \cdot w}{10 \text{ m}}$$

$$\text{Det gir:} \quad w_{\text{maks}} = 200408 \frac{\text{kg}}{\text{m}}$$

Definerer massematrisen:

$$\psi(y) := \left(6.28 \text{ m}^2 \cdot \gamma_{\text{bet}} \cdot \text{m} \right) + w \cdot y \quad q(y) := \begin{cases} b \leftarrow \psi(y) \\ b \cdot \frac{1}{10 \text{ m}} & \text{if } (y < 150 \text{ m}) \\ \left[w_{\text{maks}} - \left(b \cdot \frac{1}{10 \text{ m}} \right) \right] & \text{otherwise} \end{cases}$$

Vindberegninger for Sandsfjord bru

Dette gir følgende massematrise for hele bruens lengde
inndelt i 30 intervaller :

$$q := \begin{pmatrix} 4725.68 \\ 11310.404 \\ 17895.128 \\ 24479.852 \\ 31064.576 \\ 37649.3 \\ 44234.024 \\ 50818.748 \\ 57403.472 \\ 63988.196 \\ 70572.92 \\ 77157.644 \\ 83742.368 \\ 90327.092 \\ 96911.816 \\ 96911.816 \\ 90327.092 \\ 83742.368 \\ 77157.644 \\ 70572.92 \\ 63988.196 \\ 57403.472 \\ 50818.748 \\ 44234.024 \\ 37649.3 \\ 31064.576 \\ 24479.852 \\ 17895.128 \\ 11310.404 \\ 4725.68 \end{pmatrix} \cdot \frac{\text{kg}}{\text{m}}$$

Vindberegninger for Sandsfjord bru

Definisjon modal masse Defenisjon ekvivalent modal masse

$$M_{y_modal} = \int_0^L m_x \cdot \phi_x^2 dy$$

$$M_{y_modal} = \frac{\int_0^L m_x \cdot \phi_x^2 dy}{\int_0^L \phi_x^2 dy}$$

Her er x tverretning og y lengderetning til bruene. De modale forskyvningene er retning. Svingeformen gjør at massene ytterst ved utkrageren får størst betydning

Verdiene for likningen til svingeformen

i kvadrert er gitt ved vektoren

$\phi_i =$

$$\phi_i := \left(2 \frac{y_i}{L} - 1 \right)^2$$

L := 300m

0.934
0.81
0.694
0.588
0.49
0.401
0.321
0.25
0.188
0.134
0.09
0.054
0.028
0.01
1.111 · 10 ⁻³
1.111 · 10 ⁻³
0.01
0.028
0.054
0.09
0.134
0.188
0.25
0.321
0.401
0.49
0.588
0.694
0.81

Vindberegninger for Sandsfjord bru

$$m_{\text{mod}} := \left[\left[\overrightarrow{(\phi \cdot q)} \right] \right]$$

4413.785)
9161.427	
12419.219	
14394.153	
15221.642	
15097.369	
14199.122	
12704.687	
10791.853	
8574.418	
6351.563	
4166.513	
2344.786	
903.271	
96.912	$\frac{\text{kg}}{\text{m}}$
96.912	
903.271	
2344.786	
4166.513	
6351.563	
8574.418	
10791.853	
12704.687	
14199.122	
15097.369	
15221.642	
14394.153	
12419.219	
9161.427	
4413.785)

Vindberegninger for Sandsfjord bru

Finner nå ekvivalent modal masse ut fra defenisjonen over ved bruk av numerisk integrasjon:

$$\varphi := \sum \phi$$

Dette gir modal ekvivalent masse:

$$m_{\text{modal}} := \frac{\sum m_{\text{mod}} \cdot ds}{\varphi \cdot ds} \quad m_{\text{modal}} = 26205 \frac{\text{kg}}{\text{m}}$$

Den dynamiske amplitudeforsterkningen (DAF)

DAF viser ved hvilke frekvenser den flukterende vindlasten gir betydelige utslag på konstruksjonen, (Dette er ved konstruksjonens egenfrekvens se figur 74)

Verdier som inngår i DAF:

$$f_1 := \frac{0.55}{2\pi} \text{Hz} \quad f_1 = 0.088 \cdot \text{Hz} \quad f := 0, \frac{0.03}{2\pi} \text{Hz} .. \frac{0.9}{2\pi} \text{Hz}$$

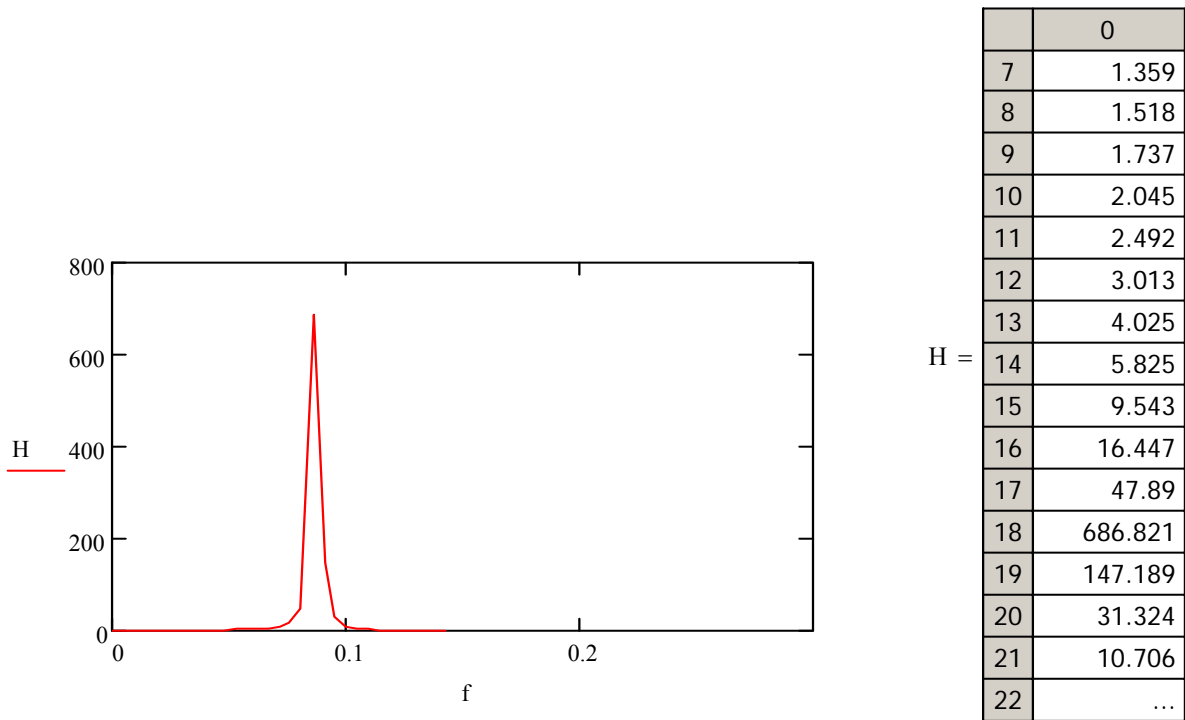
Aerodynamisk dempning: $\zeta_1 := 0.8\%$ lhht ref /2/

Den dynamiske amplitudeforsterkeren er gitt ved:

$$H_1(\omega)^2 = \frac{1}{\left(\omega_1^2 - \omega^2\right)^2 + 4 \cdot \zeta_1^2 \cdot \omega_1^2 \cdot \omega^2} \quad \text{Definerer:} \quad H_1(\omega)^2 = H$$

$$\Omega := \frac{f}{f_1} \quad H := \frac{1}{\left(1 - \Omega^2\right)^2 + 4 \cdot \zeta_1^2 \cdot \Omega^2}$$

Vindberegninger for Sandsfjord bru



Figur 74 viser verdier til DAF som funksjon av frekvens (Hz)

Søker nå å finne "Power spectral density function" for vinden. bruker Von Karman vindspekter som er det samme som er brukt i Nova Frame se ref/5/ likn 3.5.11.
"Power spectral density function" viser frekvensfordelingen til den turbulente vinden som kommer med hastighetkomponent U (retningen på tvers av bruens lengderetning.)

$$R_N = \frac{f \cdot S_i(f)}{\sigma^2} = \frac{4f_L}{\left(1 + 70.8 \cdot f_L^2\right)^{\frac{5}{6}}}$$

$$f_L := \frac{f \cdot L_{u_x}}{U} \quad L_{u_x} := 750 \text{ m}$$

$$R_N := \frac{4f_L}{\left(1 + 70.8 \cdot f_L^2\right)^{\frac{5}{6}}}$$

	0
0	0
1	0.259
2	0.259
3	0.23
4	0.198
5	0.174
6	0.156
7	0.144
8	0.132
9	0.122
10	0.114
11	0.107
12	0.102
13	0.096
14	0.091
15	...

Vindberegninger for Sandsfjord bru

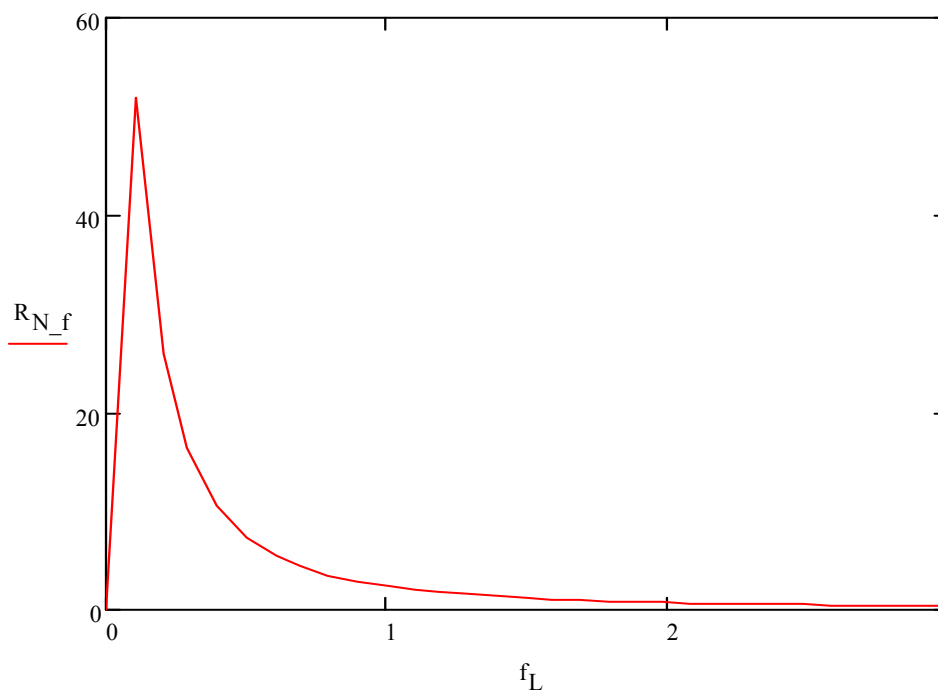
I uttrykket for F i ref/13/ så er uttrykket oppgitt med $\frac{S_1(\omega)}{\sigma^2}$ hvor $S_1(\omega)$ er "power spectrum" for den langsgående turbulens komponenten (u) og σ^2 er variansen for den langsgående turbulens komponenten (u) (Ref /5/) Multipliserer derfor verdiene for R_N med $1/f$ (se definisjon av R_N vist over) dette gir følgende verdier:

Vindberegninger for Sandsfjord bru

$$R_{N_f_i} := R_{N_i} \cdot \frac{1}{f_i}$$

$R_{N_f_i} =$

51.82	s
25.86	
16.42	
10.44	
7.26	
5.37	
4.36	
3.47	
2.83	
2.37	
2.01	
1.78	
1.55	
1.36	
1.21	
...	



Figur 75 R_N/f som funksjon av f_L

Som figuren 73 viser så er største delen av energien til den turbulente vinden konsentrert ved de lavere frekvensene.

Vindberegninger for Sandsfjord bru

Multipliserer nå sammen verdiene som inngår i F (se ref/13/) og integrerer numerisk over frekvensområdet.

$$F_i := \overrightarrow{(H_i \cdot R_{N_f_i} \cdot S_i)}$$

$$F_i =$$

139968.051	$m^2 \cdot s$
105279.73	
85351.09	
65067.486	
52552.632	
44553.655	
40531.107	
36932.446	
35037.777	
34665.239	
35927.535	
38395.148	
44321.663	
55880.421	
80311.651	
...	

$$F := \left(\frac{0.143 \text{ Hz}}{30} \cdot \sum_{i=0}^{29} F_i \right)^{\frac{1}{2}}$$

$$F = 176 \text{ m}$$

Søker nå å finne maksimum forskyvning ut fra formel 8.1 i ref/13/

For Sandsfjord bru så varierer C_{D_mean} ut fra høyden til tverrsnittet ved polynom beskrevet tidligere i ref/3/ Variasjonen er fra 1.3 til 1.8. Høyden til tverrsnittet varierer også ihht en parabelform beskrevet i kap 1.2

Resultatet for standardaviket som er brukt i ref/13/ er gitt som forholdet r_x/H dvs at svaret som kommer ut skal multipliseres med H for å finne responsen (forskyvning) i x retning.

Parablene som beskriver høyden har symmetrisk form ut fra veggskivene ved akse 3. Den eneste ulikheten er at utkrageren mot øst har 2 mer støpetapper med en samlet lengde på 5.25m enn kragarm på motsatt side. Høyden for disse to siste støpetappene varierer ikke. Ut fra valgt likning til å beskrive høyden til bruene er reduksjonen av høyden størst der tverrsnittshøyden er størst. Ved å integrere uttrykket for høyden numerisk over utkragerens lengde og dividere på lengden gis gjennomsnittshøyden. (Se kapittel 1.3.4 verdier fra snitt 3/3 til snitt 3/35.)

Velger også dragkoeffisient ut fra denne høyden til tverrsnittet. Får da resultatene som vist under.

Vindberegninger for Sandsfjord bru

$$B := 9\text{ m} \quad C_{D_mean} := 1.38 \quad \rho := 1.25 \frac{\text{kg}}{\text{m}^3} \quad I_u := 0.112 \quad U = 36 \frac{\text{m}}{\text{s}}$$

Standardavviket er som nevnt gitt relativt til høyden og er gitt ved følgende uttrykk:
Se ref /13/

$$\sigma_{rx_H} := \frac{C_{D_mean}}{4 \cdot \pi^2} \cdot \frac{\rho \cdot B^2}{m_{modal}} \cdot \frac{1}{\phi \cdot dy} \cdot I_u \cdot \left(\frac{U}{f_1 \cdot B} \right)^2 \cdot F \quad \sigma_{rx_H} = 0.056$$

$H := 6.26\text{ m}$ Dette gir forskyvning ytterst ved utkrageren til bruene i x-retning

$$f_x := H \cdot \sigma_{rx_H} \quad f_x = 0.349\text{ m}$$

Avvik i forhold til resultat fra Nova Frame:

$$\text{Forskyvning ihht Nova Frame (se kap 4.2.2.5)} \quad : \quad f_{x_NF} := 0.519\text{ m}$$

$$\Delta f_x := f_{x_NF} - f_x \quad \Delta f_x = 0.17\text{ m}$$

6. DISKUSJON

Resultatene av analysen utført i Nova Frame virker rimelige og innenfor det som var forventet. Det var i forkant av denne oppgaven ikke utført noen vindmålinger på brustedet. Vindmålinger ville normalt gitt en mer nøyaktig beskrivelse av 3-sek vindkast, 10-min middelvind og turbulensintensiteten for den horisontale vindretningen på tvers av bruens lengderetning. I stedet er vindparametrene basert på nasjonalt regelverk og målinger utført på et antatt mer vindutsatt område. I tillegg er det rimelig å anta at formfaktorene representerer geometrien til bruene på en god måte, disse er hentet fra forsøk på en brutype med tilsvarende geometri som Sandsfjord bru. Det vil derfor sannsynligvis ikke komme betydelig større vindlaste som følge av vindmålinger på brustedet i ettertid.

For prosjekter med denne brutypen kan det tas hensyn til virvel vibrasjoner ("vortex shedding"). Dette kan gjøres ved å inkludere lastspektrumet for virvelvibrasjoner (gitt i frekvensplanet) for lift og torsjons effekt.

For "line like" (mye større lengde enn høyde) konstruksjoner så er virvel frekvensen avhengig av "Strouhal number", vindhastigheten på tvers av bruene og bruens høyde. Ref /4/ Dersom vindhastigheten øker slik at virvelfrekvensen kommer i resonans med den laveste egenfrekvensen mhp vibrasjoner på tvers av vindretningen eller torsjon fås virvelvibrasjoner. Ved økende vindhastighet vil samme effekt kunne oppnås med neste egenfrekvens. (Ref /4/) Derfor vil denne effekten kunne gjøre seg gjeldende for noen egensvingninger slik som de fremkommer fra egensvingeanalysen i Nova Frame og derfor kunne bidra til totalt sett en større lift og torsjonseffekt. En klargjøring av denne effekten må inngå i videre prosjektering.

Vindberegninger for Sandsfjord bru

Veggskivene er valgt relativt slanke, en endring av dette vil selvfølgelig endre de bevegelser som vindlasten gir.

Ut fra resultatene av analysen skulle det ikke være nødvendig å endre geometrien på veggskivene verken ut fra totale forskyvninger eller mhp dimensjonering av det mest kritiske snitt. For dimensjoneringen vil der kunne være andre kombinasjoner av krefter enn den som er valgt som kan gjøre seg gjeldende. Men ingen av disse er av en slik størrelse at de får noen avgjørende betydning for dimensjonene på tverrsnittet. I tillegg må det jo som nevnt i Kap 4.4 tas hensyn til annen ordens effekter ved dimensjonering av veggskivene.

For beregningene i Mathcad er resultatet delvis som forventet. En differanse på 170mm tilsvarer 32 % lavere enn det som var forventet ut fra analysen i Nova Frame.

Årsakene til dette kan være flere. I utgangspunktet så kan det diskuteres i hvor stor grad resultatene er sammenlignbare. Den valgte egensvingeformen uttrykt som en lineær funksjon med skiftende fortegn virker rimelig ut fra resultatet fra egensvingeanalysen i Nova Frame. En slik lineær svingeform vil kun oppstå dersom veggskivene er myke nok til at den horisontale bevegelsen til utkrageren skjer som følge av torsjon i veggskivene. Torsjonsstivheten til veggskivene vil dermed ha avgjørende betydning for hvor stor den horisontale forskyvningen av utkrageren blir. Det er noe usikkert om dette blir rett ivaretatt i de uttrykkene som definerer standardaviket til den horisontale dynamiske forskyvningen i Mathcad analysen.

Stivheten kommer i analysen indirekte til uttrykk gjennom sammenhengen mellom den modale massen og stivheten til konstruksjonen. Allikevel ligger det her en usikkerhet siden samme svingeform kunne opptre med forskjellige stivheter i veggskivene.

Uttrykkene som definerer standardaviket til den horisontale forskyvningen er utledet med bakgrunn følgende antagelse for formfaktorene.

$$C_D \cdot \frac{H}{B}, C'_L > \dots > C_L$$

$$C'_M > \dots > C_M$$

Disse antagelsene er ikke helt representative for formfaktorene til Sandsfjord bru. Dette gjør at uttrykkene for drag, lift og moment lastene blir noe annerledes. Jf matriser \mathbf{B}_q , \mathbf{C}_{ae} og \mathbf{K}_{ae} vist i Kap 1.2 I disse uttrykkene vil ikke de samme tverrsnittkonstanten bli nullet ut slik det er antatt at de blir i ref /13/. Dette representerer en feil hovedsakelig for liftlast og i tillegg vil bidraget fra den turbulente vindkomponenten w (vertikal retning) ikke blir tatt hensyn til ved utregning av den dynamiske lasten i x retning.

Dette indikerer at resultatet i Mathcad beregningene skulle gi noe lavere verdier det som Nova Frame gir.

Det er også gjort noen forenklinger i Mathcad mhp geometri. I Nova Frame modellen er den lengste utkrageren 154m og den andre er 143,75m. I Mathcad beregningene er begge utkragerene satt symmetrisk med 150m til hver side. Det er rimelig å anta noe større dynamisk forskyvning av den lengste kragarmen på 154m enn det en får med en kragarm på 150m. Dette bidrar også til at en får et lavere resultat mhp dynamisk forskyvning i Mathcad beregningene.

Tilleggsareal og masse som følge av forskalingsvognene utgjør ikke veldig mye totalt sett, men siden de er plassert ytterst på kragarmen hvor svingeformen gir størst bidrag til den modale massen vil dette også kunne bidra til at Mathcad analysen gir lavere resultat enn Nova Frame analysen.

Vindberegninger for Sandsfjord bru

I tillegg vil de generelle unøyaktighetene som følge av numerisk integrasjon med såpass grov inndeling kunne redusere verdiene. Formen på de ulike grafene presentert i Mathcad analysen er som forventet, allikevel vil unøyaktigheten i de numeriske integrasjonene gjøre at en kan få lavere verdier for integralet enn det som en ville fått med tettere inndeling eller eventuelt eksakt integrasjon av funksjonene.

7. REFERANSER

- /1/ Norsk Standard NS-EN 1991-1-4 : 2005 + NA2009 "Laster på konstruksjoner. Allmenne laster. Vindlaster"
- /2/ Statens vegvesen "Håndbok 185 Bruprosjektering" okt 2009
- /3/ SINTEF STF 70 94065. Raftsundet bru. Vindtunnelundersøkelser av statiske krefter og trykkbelastning.
- /4/ Strømmen E. "Theory of Bridge Aerodynamics" Springer-Verlag Berlin Heidelberg 2006
- /5/ Dyrbye C og Hansen S.O "Wind Loads on Structures" John Wiley & Sons, Chichester, England 1999
- /6/ BS 5400: Part 2 1978 "Steel, concrete and composite bridges. Specifications of loads"
- /7/ Aas-Jakobsen rapport 7212 "Kombinering av vindkrefter" Veiledning til vegdirektoratet.
- /8/ Norsk Standard NS-3473 : 6 utg. sept 2003 "Prosjektering av betongkonstruksjoner."
- /9/ Brev fra Det Norske Meteorologiske Institutt (DNMI) til Statens vegvesen Hordaland datert 29.6.1999 med tittel: "Rv 546 Huftarøy-Hundvåkøy i Austevoll kommune- Vurdering av vind, bølger og strøm"
- /10/ Nova Frame brukerveiledning. Versjon 4.0 Utgitt mai 2002
- /11/ Dansk Standard DS 410
- /12/ Dok.nr 7944-02 "Storholmen bru. Vindanalyse" Datert 30.08.2004
- /13/ SINTEF STF 70 F94055. The Øresund link cable-stayed bridge. Date 1994-06-09
- /14/ Erik Hjort-Hansen "Fluctating drag loading by wind" Lecture note no 1. Universitetet i Trondheim. Institutt for konstruksjonsteknikk
- /15/ Sven-Åke Gustavson. "Lecture Notes Numerical Mathematics First Course Autumn 2007"
- /16/ Bruseksjonen Region Vest v/ Torleif Lindefjeld. Sandsfjord Bru Oversiktstegning tegn. nr K01. Datert 6.11.2007. Utarbeidet av Torleif Lindefjeld (Denne tegningen er vedlagt oppgaven i A3 format)
- /17/ Bjørn P. Myhr, Vegdirektoratet. Fritt frambygg bru (FFB-bru). Datert 31.03.2004.

8. VEDLEGG

8.1 UTREGNING AV STATISKE VINDKREFTER I EXCEL

Element nr	Pr. nr.	høyde i pr.nr	avstand tp	avstand fra uk	gj høyde element	tverrfall 3 %	kantbjelke 0,2	høyde brubjelke
	5197,000	-4100	1854	2,246				
2120					4,105	0,135	0,200	4,440
	5200,125	-4110	1930	2,180				
2119					4,126	0,135	0,200	4,461
	5203,250	-4141	2026	2,115				
2118					4,188	0,135	0,200	4,523
	5208,250	-4235	2146	2,089				
2117					4,309	0,135	0,200	4,644
	5213,250	-4381	2288	2,093				
2116					4,482	0,135	0,200	4,817
	5218,250	-4581	2456	2,125				
2115					4,710	0,135	0,200	5,045
	5223,250	-4836	2653	2,183				
2114					4,993	0,135	0,200	5,328
	5228,250	-5146	2880	2,266				
2113					5,332	0,135	0,200	5,667
	5233,250	-5512	3140	2,372				
2112					5,727	0,135	0,200	6,062
	5238,250	-5934	3433	2,501				
2111					6,179	0,135	0,200	6,514
	5243,250	-6415	3280	3,135				
2110					6,691	0,135	0,200	7,026
	5248,250	-6956	3611	3,345				
2109					7,264	0,135	0,200	7,599
	5253,250	-7559	3980	3,579				
2108					7,899	0,135	0,200	8,234
	5258,250	-8224	4385	3,839				
2107					8,598	0,135	0,200	8,933
	5263,250	-8956	4829	4,127				
2106					9,365	0,135	0,200	9,700
	5268,250	-9756	5414	4,342				
2105					10,201	0,135	0,200	10,536
	5273,250	-10627	5841	4,786				
2104					11,111	0,135	0,200	11,446
	5278,250	-11574	6413	5,161				
2103					11,961	0,135	0,200	12,296
	5282,000	-12335	6887	5,448				
2102					12,661	0,135	0,200	12,996
	5285,000	-12978	7299	5,679				
2101					13,499	0,135	0,200	13,834
	5288,000	-14000	7854	6,146				
2100					14,000	0,135	0,200	14,335
	5289,000	-14000	7854	6,146				
2297					14,000	0,135	0,200	14,335
	5292,000	-14000	7854	6,146				
2298					14,000	0,135	0,200	14,335
	5295,000	-14000	7854	6,146				
2299					14,000	0,135	0,200	14,335
	5296,000	-14000	7854	6,146				
2300					13,535	0,135	0,200	13,870
	5299,000	-13053	7340	5,713				
2301					12,829	0,135	0,200	13,164
	5302,000	-12601	7031	5,570				
2302					12,332	0,135	0,200	12,667
	5305,750	-12056	6673	5,383				
2303					11,845	0,135	0,200	12,180
	5310,750	-11630	6235	5,395				
2304					11,175	0,135	0,200	11,510

2304					11,175	0,135	0,200	11,510
	5315,750	-10700	5819	4,881				
2305					10,392	0,135	0,200	10,727
	5320,750	-10074	5424	4,650				
2306					9,782	0,135	0,200	10,117
	5325,750	-9481	5048	4,433				
2307					9,205	0,135	0,200	9,540
	5330,750	-8920	4692	4,228				
2308					8,659	0,135	0,200	8,994
	5335,750	-8389	4354	4,035				
2309					8,143	0,135	0,200	8,478
	5340,750	-7889	4034	3,855				
2310					7,657	0,135	0,200	7,992
	5345,750	-7418	3732	3,686				
2311					7,200	0,135	0,200	7,535
	5350,750	-6975	3447	3,528				
2312					6,771	0,135	0,200	7,106
	5355,750	-6560	3178	3,382				
2313					6,369	0,135	0,200	6,704
	5360,750	-6172	2925	3,247				
2314					5,994	0,135	0,200	6,329
	5365,750	-5811	2687	3,124				
2315					5,646	0,135	0,200	5,981
	5370,750	-5476	2858	2,618				
2316					5,323	0,135	0,200	5,658
	5375,750	-5166	2618	2,548				
2317					5,026	0,135	0,200	5,361
	5380,750	-4882	2391	2,491				
2318					4,754	0,135	0,200	5,089
	5385,750	-4623	2174	2,449				
2319					4,507	0,135	0,200	4,842
	5390,750	-4388	1987	2,401				
2320					4,284	0,135	0,200	4,619
	5395,750	-4177	1889	2,288				
2321					4,085	0,135	0,200	4,420
	5400,750	-3991	1803	2,188				
2322					3,910	0,135	0,200	4,245
	5405,750	-3828	1728	2,100				
2323					3,759	0,135	0,200	4,094
	5410,750	-3689	1664	2,025				
2324					3,632	0,135	0,200	3,967
	5415,750	-3574	1611	1,963				
2325					3,528	0,135	0,200	3,863
	5420,750	-3481	1569	1,912				
2326					3,447	0,135	0,200	3,782
	5425,750	-3412	1538	1,874				
2327					3,389	0,135	0,200	3,724
	5430,750	-3366	1517	1,849				
2328					3,355	0,135	0,200	3,690
	5435,750	-3343	1506	1,837				
2329					3,342	0,135	0,200	3,677
	5438,250	-3340	1505	1,835				
3228					3,353	0,135	0,200	3,688
	5443,250	-3366	1517	1,849				
3227					3,389	0,135	0,200	3,724
	5448,250	-3412	1538	1,874				

3226					3,447	0,135	0,200	3,782
	5453,250	-3481	1569	1,912				
3225					3,528	0,135	0,200	3,863
	5458,250	-3574	1612	1,962				
3224					3,632	0,135	0,200	3,967
	5463,250	-3689	1664	2,025				
3223					3,759	0,135	0,200	4,094
	5468,250	-3828	1728	2,100				
3222					3,910	0,135	0,200	4,245
	5473,250	-3991	1803	2,188				
3221					4,085	0,135	0,200	4,420
	5478,250	-4177	1889	2,288				
3220					4,284	0,135	0,200	4,619
	5483,250	-4388	1987	2,401				
3219					4,507	0,135	0,200	4,842
	5488,250	-4623	2175	2,448				
3218					4,754	0,135	0,200	5,089
	5493,250	-4882	2391	2,491				
3217					5,026	0,135	0,200	5,361
	5498,250	-5166	2618	2,548				
3216					5,323	0,135	0,200	5,658
	5503,250	-5476	2858	2,618				
3215					5,646	0,135	0,200	5,981
	5508,250	-5811	2687	3,124				
3214					5,994	0,135	0,200	6,329
	5513,250	-6172	2925	3,247				
3213					6,369	0,135	0,200	6,704
	5518,250	-6560	3178	3,382				
3212					6,771	0,135	0,200	7,106
	5523,250	-6975	3447	3,528				
3211					7,200	0,135	0,200	7,535
	5528,250	-7418	3732	3,686				
3210					7,657	0,135	0,200	7,992
	5533,250	-7889	4034	3,855				
3209					8,143	0,135	0,200	8,478
	5538,250	-8389	4354	4,035				
3208					8,659	0,135	0,200	8,994
	5543,250	-8920	4692	4,228				
3207					9,205	0,135	0,200	9,540
	5548,250	-9481	5048	4,433				
3206					9,782	0,135	0,200	10,117
	5553,250	-10074	5424	4,650				
3205					10,392	0,135	0,200	10,727
	5558,250	-10700	5819	4,881				
3204					11,035	0,135	0,200	11,370
	5563,250	-11360	6235	5,125				
3203					11,713	0,135	0,200	12,048
	5568,250	-12056	6673	5,383				
3202					12,332	0,135	0,200	12,667
	5572,000	-12601	7031	5,570				
3201					12,829	0,135	0,200	13,164
	5575,000	-13053	7339	5,714				
3200					13,535	0,135	0,200	13,870
	5578,000	-14000	7853	6,147				

3199					14,000	0,135	0,200	14,335
	5579,000	-14000	7853	6,147				
3198					14,000	0,135	0,200	14,335
	5582,000	-14000	7853	6,147				
3398					14,000	0,135	0,200	14,335
	5585,000	-14000	7853	6,147				
3399					14,000	0,135	0,200	14,335
	5586,000	-14000	7853	6,147				
3400					13,535	0,135	0,200	13,870
	5589,000	-13053	7339	5,714				
3401					12,829	0,135	0,200	13,164
	5592,000	-12601	7031	5,570				
3402					12,332	0,135	0,200	12,667
	5595,750	-12056	6673	5,383				
3403					11,713	0,135	0,200	12,048
	5600,750	-11360	6235	5,125				
3404					11,035	0,135	0,200	11,370
	5605,750	-10700	5819	4,881				
3405					10,392	0,135	0,200	10,727
	5610,750	-10074	5424	4,650				
3406					9,782	0,135	0,200	10,117
	5615,750	-9481	5048	4,433				
3407					9,205	0,135	0,200	9,540
	5620,750	-8920	4692	4,228				
3408					8,659	0,135	0,200	8,994
	5625,750	-8389	4354	4,035				
3409					8,143	0,135	0,200	8,478
	5630,750	-7889	4034	3,855				
3410					7,657	0,135	0,200	7,992
	5635,750	-7418	3732	3,686				
3411					7,200	0,135	0,200	7,535
	5640,750	-6975	3447	3,528				
3412					6,771	0,135	0,200	7,106
	5645,750	-6560	3178	3,382				
3413					6,369	0,135	0,200	6,704
	5650,750	-6172	2925	3,247				
3414					5,994	0,135	0,200	6,329
	5655,750	-5811	2687	3,124				
3415					5,646	0,135	0,200	5,981
	5660,750	-5476	2464	3,012				
3416					5,323	0,135	0,200	5,658
	5665,750	-5166	2618	2,548				
3417					5,026	0,135	0,200	5,361
	5670,750	-4882	2391	2,491				
3418					4,754	0,135	0,200	5,089
	5675,750	-4623	2175	2,448				
3419					4,507	0,135	0,200	4,842
	5680,750	-4388	1987	2,401				
3420					4,284	0,135	0,200	4,619
	5685,750	-4177	1889	2,288				
3421					4,085	0,135	0,200	4,420
	5690,750	-3991	1803	2,188				
3422					3,910	0,135	0,200	4,245
	5695,750	-3828	1728	2,100				
3423					3,759	0,135	0,200	4,094
	5700,750	-3689	1665	2,024				
3424					3,632	0,135	0,200	3,967
	5705,750	-3574	1612	1,962				
3425					3,528	0,135	0,200	3,863

3425					3,528	0,135	0,200	3,863
	5710,750	-3481	1569	1,912				
3426					3,447	0,135	0,200	3,782
	5715,750	-3412	1538	1,874				
3427					3,389	0,135	0,200	3,724
	5720,750	-3366	1516	1,850				
3428					3,355	0,135	0,200	3,690
	5725,750	-3343	1506	1,837				
3429					3,342	0,135	0,200	3,677
	5730,750	-3340	1505	1,835				
3430					3,340	0,135	0,200	3,675
	5733,375	-3340	1505	1,835				
3431					3,340	0,135	0,200	3,675
	5736,000	-3340	1505	1,835				
3432					3,340	0,135	0,200	3,675
	5737,000	-3340	1505	1,835				

Element	Byggetilstand										Byggetilstand						
	Drag	H	H	q _{kast}	Q	e MIN	e MIN	e	e ^m	M=Q*e ^m	Lift	H	H	q _{kast}	Q	e	M=Q*e
	nr	Cd ^{Dr}	for Cd	for A _{ref}	kN/m ²	kN/m	0.5*h	0.6*b	uk		kNm/m	Cl ^{Dr}	for Cl	for A _{ref}	kN/m ²	kN/m	B/4
2120	1,320	4,440	4,440	1,051	6,2	2,220	5,400	2,213	3,187	19,630	0,463	4,440	4,440	1,051	2,160	2,250	4,860
2119	1,321	4,461	4,461	1,051	6,2	2,230	5,400	2,148	3,253	20,133	0,463	4,461	4,461	1,051	2,171	2,250	4,885
2118	1,322	4,523	4,523	1,051	6,3	2,262	5,400	2,102	3,298	20,727	0,464	4,523	4,523	1,051	2,205	2,250	4,962
2117	1,326	4,644	4,644	1,051	6,5	2,322	5,400	2,091	3,309	21,399	0,466	4,644	4,644	1,051	2,271	2,250	5,110
2116	1,330	4,817	4,817	1,051	6,7	2,409	5,400	2,109	3,291	22,153	0,468	4,817	4,817	1,051	2,367	2,250	5,326
2115	1,336	5,045	5,045	1,051	7,1	2,523	5,400	2,154	3,246	22,991	0,471	5,045	5,045	1,051	2,494	2,250	5,612
2114	1,344	5,328	5,328	1,051	7,5	2,664	5,400	2,225	3,176	23,898	0,474	5,328	5,328	1,051	2,654	2,250	5,972
2113	1,354	5,667	5,667	1,051	8,1	2,834	5,400	2,319	3,081	24,847	0,478	5,667	5,667	1,051	2,848	2,250	6,409
2112	1,367	6,062	6,062	1,051	8,7	3,031	5,400	2,437	2,964	25,801	0,483	6,062	6,062	1,051	3,079	2,250	6,927
2111	1,382	6,514	6,514	1,051	9,5	3,257	5,400	2,818	2,582	24,428	0,489	6,514	6,514	1,051	3,348	2,250	7,532
2110	1,401	7,026	7,026	1,051	10,3	3,513	5,400	3,240	2,160	22,338	0,496	7,026	7,026	1,051	3,659	2,250	8,234
2109	1,423	7,599	7,599	1,051	11,4	3,799	5,400	3,462	1,938	22,022	0,503	7,599	7,599	1,051	4,017	2,250	9,038
2108	1,450	8,234	8,234	1,051	12,5	4,117	5,400	3,709	1,691	21,211	0,511	8,234	8,234	1,051	4,424	2,250	9,955
2107	1,482	8,933	8,933	1,051	13,9	4,466	5,400	3,983	1,417	19,706	0,521	8,933	8,933	1,051	4,887	2,250	10,995
2106	1,519	9,700	9,700	1,051	15,5	4,850	5,400	4,235	1,166	18,047	0,531	9,700	9,700	1,051	5,411	2,250	12,174
2105	1,564	10,536	10,536	1,051	17,3	5,268	5,400	4,564	0,836	14,472	0,542	10,536	10,536	1,051	6,002	2,250	13,505
2104	1,616	11,446	11,446	1,051	19,4	5,723	5,400	4,974	0,749	14,562	0,555	11,446	11,446	1,051	6,671	2,250	15,009
2103	1,669	12,296	12,296	1,051	21,6	6,148	5,400	5,305	0,843	18,178	0,567	12,296	12,296	1,051	7,318	2,250	16,466
2102	1,715	12,996	12,996	1,051	23,4	6,498	5,400	5,564	0,934	21,873	0,576	12,996	12,996	1,051	7,869	2,250	17,705
2101	1,773	13,834	13,834	1,051	25,8	6,917	5,400	5,913	1,004	25,881	0,588	13,834	13,834	1,051	8,549	2,250	19,236
2100	1,810	14,335	14,335	1,051	27,3	7,168	5,400	6,146	1,022	27,839	0,595	14,335	14,335	1,051	8,967	2,250	20,176
2297	1,810	14,335	14,335	1,051	27,3	7,168	5,400	6,146	1,022	27,839	0,595	14,335	14,335	1,051	8,967	2,250	20,176
2298	1,810	14,335	14,335	1,051	27,3	7,168	5,400	5,913	1,255	34,203	0,595	14,335	14,335	1,051	8,967	2,250	20,176
2299	1,810	14,335	14,335	1,051	27,3	7,168	5,400	6,146	1,022	27,839	0,595	14,335	14,335	1,051	8,967	2,250	20,176
2300	1,776	13,870	13,870	1,051	25,9	6,935	5,400	5,930	1,005	26,013	0,589	13,870	13,870	1,051	8,579	2,250	19,303
2301	1,726	13,164	13,164	1,051	23,9	6,582	5,400	5,642	0,940	22,453	0,579	13,164	13,164	1,051	8,004	2,250	18,009
2302	1,693	12,667	12,667	1,051	22,5	6,333	5,400	5,477	0,857	19,300	0,572	12,667	12,667	1,051	7,608	2,250	17,118
2303	1,661	12,180	12,180	1,051	21,3	6,090	5,400	5,389	0,701	14,902	0,565	12,180	12,180	1,051	7,229	2,250	16,265

2304	1,620	11,510	11,510	1,051	19,6	5,755	5,400	5,138	0,617	12,083	0,556	11,510	11,510	1,051	6,719	2,250	15,117
2305	1,574	10,727	10,727	1,051	17,7	5,363	5,400	4,766	0,634	11,259	0,545	10,727	10,727	1,051	6,140	2,250	13,816
2306	1,541	10,117	10,117	1,051	16,4	5,058	5,400	4,542	0,858	14,063	0,537	10,117	10,117	1,051	5,703	2,250	12,833
2307	1,511	9,540	9,540	1,051	15,1	4,770	5,400	4,331	1,070	16,201	0,529	9,540	9,540	1,051	5,300	2,250	11,925
2308	1,485	8,994	8,994	1,051	14,0	4,497	5,400	4,132	1,269	17,795	0,522	8,994	8,994	1,051	4,928	2,250	11,087
2309	1,461	8,478	8,478	1,051	13,0	4,239	5,400	3,945	1,455	18,933	0,515	8,478	8,478	1,051	4,584	2,250	10,315
2310	1,440	7,992	7,992	1,051	12,1	3,996	5,400	3,771	1,630	19,698	0,508	7,992	7,992	1,051	4,268	2,250	9,603
2311	1,421	7,535	7,535	1,051	11,2	3,767	5,400	3,607	1,793	20,167	0,502	7,535	7,535	1,051	3,977	2,250	8,947
2312	1,404	7,106	7,106	1,051	10,5	3,553	5,400	3,455	1,945	20,386	0,497	7,106	7,106	1,051	3,709	2,250	8,344
2313	1,389	6,704	6,704	1,051	9,8	3,352	5,400	3,315	2,086	20,405	0,492	6,704	6,704	1,051	3,462	2,250	7,790
2314	1,376	6,329	6,329	1,051	9,1	3,165	5,400	3,186	2,215	20,262	0,487	6,329	6,329	1,051	3,237	2,250	7,283
2315	1,364	5,981	5,981	1,051	8,6	2,990	5,400	2,871	2,529	21,682	0,482	5,981	5,981	1,051	3,031	2,250	6,820
2316	1,354	5,658	5,658	1,051	8,1	2,829	5,400	2,583	2,817	22,678	0,478	5,658	5,658	1,051	2,843	2,250	6,397
2317	1,345	5,361	5,361	1,051	7,6	2,681	5,400	2,520	2,881	21,826	0,475	5,361	5,361	1,051	2,673	2,250	6,014
2318	1,337	5,089	5,089	1,051	7,2	2,545	5,400	2,470	2,930	20,953	0,471	5,089	5,089	1,051	2,519	2,250	5,668
2319	1,331	4,842	4,842	1,051	6,8	2,421	5,400	2,425	2,975	20,139	0,468	4,842	4,842	1,051	2,381	2,250	5,357
2320	1,325	4,619	4,619	1,051	6,4	2,309	5,400	2,345	3,056	19,644	0,465	4,619	4,619	1,051	2,258	2,250	5,080
2321	1,320	4,420	4,420	1,051	6,1	2,210	5,400	2,238	3,162	19,381	0,463	4,420	4,420	1,051	2,149	2,250	4,835
2322	1,316	4,245	4,245	1,051	5,9	2,123	5,400	2,144	3,256	19,107	0,461	4,245	4,245	1,051	2,055	2,250	4,623
2323	1,312	4,094	4,094	1,051	5,6	2,047	5,400	2,063	3,338	18,837	0,459	4,094	4,094	1,051	1,973	2,250	4,440
2324	1,309	3,967	3,967	1,051	5,5	1,983	5,400	1,994	3,406	18,586	0,457	3,967	3,967	1,051	1,905	2,250	4,287
2325	1,307	3,863	3,863	1,051	5,3	1,931	5,400	1,938	3,463	18,366	0,456	3,863	3,863	1,051	1,850	2,250	4,163
2326	1,305	3,782	3,782	1,051	5,2	1,891	5,400	1,893	3,507	18,186	0,455	3,782	3,782	1,051	1,807	2,250	4,067
2327	1,304	3,724	3,724	1,051	5,1	1,862	5,400	1,862	3,539	18,053	0,454	3,724	3,724	1,051	1,777	2,250	3,999
2328	1,303	3,690	3,690	1,051	5,1	1,845	5,400	1,843	3,557	17,969	0,454	3,690	3,690	1,051	1,759	2,250	3,958
2329	1,303	3,677	3,677	1,051	5,0	1,838	5,400	1,836	3,564	17,937	0,454	3,677	3,677	1,051	1,752	2,250	3,942
3228	1,303	3,688	3,688	1,051	5,0	1,844	5,400	2,234	3,167	15,990	0,454	3,688	3,688	1,051	1,758	2,250	3,956
3227	1,304	3,724	3,724	1,051	5,1	1,862	5,400	1,862	3,539	18,053	0,454	3,724	3,724	1,051	1,777	2,250	3,999
3226	1,305	3,782	3,782	1,051	5,2	1,891	5,400	1,893	3,507	18,186	0,455	3,782	3,782	1,051	1,807	2,250	4,067
3225	1,307	3,863	3,863	1,051	5,3	1,931	5,400	1,937	3,463	18,368	0,456	3,863	3,863	1,051	1,850	2,250	4,163
3224	1,309	3,967	3,967	1,051	5,5	1,983	5,400	1,994	3,407	18,588	0,457	3,967	3,967	1,051	1,905	2,250	4,287

3223	1,312	4,094	4,094	1,051	5,6	2,047	5,400	2,063	3,338	18,837	0,459	4,094	4,094	1,051	1,973	2,250	4,440
3222	1,316	4,245	4,245	1,051	5,9	2,123	5,400	2,144	3,256	19,107	0,461	4,245	4,245	1,051	2,055	2,250	4,623
3221	1,320	4,420	4,420	1,051	6,1	2,210	5,400	2,238	3,162	19,381	0,463	4,420	4,420	1,051	2,149	2,250	4,835
3220	1,325	4,619	4,619	1,051	6,4	2,309	5,400	2,345	3,056	19,644	0,465	4,619	4,619	1,051	2,258	2,250	5,080
3219	1,331	4,842	4,842	1,051	6,8	2,421	5,400	2,425	2,976	20,143	0,468	4,842	4,842	1,051	2,381	2,250	5,357
3218	1,337	5,089	5,089	1,051	7,2	2,545	5,400	2,470	2,931	20,957	0,471	5,089	5,089	1,051	2,519	2,250	5,668
3217	1,345	5,361	5,361	1,051	7,6	2,681	5,400	2,520	2,881	21,826	0,475	5,361	5,361	1,051	2,673	2,250	6,014
3216	1,354	5,658	5,658	1,051	8,1	2,829	5,400	2,583	2,817	22,678	0,478	5,658	5,658	1,051	2,843	2,250	6,397
3215	1,364	5,981	5,981	1,051	8,6	2,990	5,400	2,871	2,529	21,682	0,482	5,981	5,981	1,051	3,031	2,250	6,820
3214	1,376	6,329	6,329	1,051	9,1	3,165	5,400	3,186	2,215	20,262	0,487	6,329	6,329	1,051	3,237	2,250	7,283
3213	1,389	6,704	6,704	1,051	9,8	3,352	5,400	3,315	2,086	20,405	0,492	6,704	6,704	1,051	3,462	2,250	7,790
3212	1,404	7,106	7,106	1,051	10,5	3,553	5,400	3,455	1,945	20,386	0,497	7,106	7,106	1,051	3,709	2,250	8,344
3211	1,421	7,535	7,535	1,051	11,2	3,767	5,400	3,607	1,793	20,167	0,502	7,535	7,535	1,051	3,977	2,250	8,947
3210	1,440	7,992	7,992	1,051	12,1	3,996	5,400	3,771	1,630	19,698	0,508	7,992	7,992	1,051	4,268	2,250	9,603
3209	1,461	8,478	8,478	1,051	13,0	4,239	5,400	3,945	1,455	18,933	0,515	8,478	8,478	1,051	4,584	2,250	10,315
3208	1,485	8,994	8,994	1,051	14,0	4,497	5,400	4,132	1,269	17,795	0,522	8,994	8,994	1,051	4,928	2,250	11,087
3207	1,511	9,540	9,540	1,051	15,1	4,770	5,400	4,331	1,070	16,201	0,529	9,540	9,540	1,051	5,300	2,250	11,925
3206	1,541	10,117	10,117	1,051	16,4	5,058	5,400	4,542	0,858	14,063	0,537	10,117	10,117	1,051	5,703	2,250	12,833
3205	1,574	10,727	10,727	1,051	17,7	5,363	5,400	4,766	0,634	11,259	0,545	10,727	10,727	1,051	6,140	2,250	13,816
3204	1,612	11,370	11,370	1,051	19,3	5,685	5,400	5,003	0,682	13,129	0,554	11,370	11,370	1,051	6,614	2,250	14,882
3203	1,653	12,048	12,048	1,051	20,9	6,024	5,400	5,254	0,770	16,113	0,563	12,048	12,048	1,051	7,127	2,250	16,037
3202	1,693	12,667	12,667	1,051	22,5	6,333	5,400	5,477	0,857	19,300	0,572	12,667	12,667	1,051	7,608	2,250	17,118
3201	1,726	13,164	13,164	1,051	23,9	6,582	5,400	5,642	0,940	22,441	0,579	13,164	13,164	1,051	8,004	2,250	18,009
3200	1,776	13,870	13,870	1,051	25,9	6,935	5,400	5,931	1,004	25,988	0,589	13,870	13,870	1,051	8,579	2,250	19,303
3199	1,810	14,335	14,335	1,051	27,3	7,168	5,400	6,147	1,021	27,812	0,595	14,335	14,335	1,051	8,967	2,250	20,176
3198	1,810	14,335	14,335	1,051	27,3	7,168	5,400	6,147	1,021	27,812	0,595	14,335	14,335	1,051	8,967	2,250	20,176
3398	1,810	14,335	14,335	1,051	27,3	7,168	5,400	6,147	1,021	27,812	0,595	14,335	14,335	1,051	8,967	2,250	20,176
3399	1,810	14,335	14,335	1,051	27,3	7,168	5,400	6,147	1,021	27,812	0,595	14,335	14,335	1,051	8,967	2,250	20,176
3400	1,776	13,870	13,870	1,051	25,9	6,935	5,400	5,931	1,004	25,988	0,589	13,870	13,870	1,051	8,579	2,250	19,303
3401	1,726	13,164	13,164	1,051	23,9	6,582	5,400	5,642	0,940	22,441	0,579	13,164	13,164	1,051	8,004	2,250	18,009
3402	1,693	12,667	12,667	1,051	22,5	6,333	5,400	5,477	0,857	19,300	0,572	12,667	12,667	1,051	7,608	2,250	17,118

3403	1,653	12,048	12,048	1,051	20,9	6,024	5,400	5,254	0,770	16,113	0,563	12,048	12,048	1,051	7,127	2,250	16,037
3404	1,612	11,370	11,370	1,051	19,3	5,685	5,400	5,003	0,682	13,129	0,554	11,370	11,370	1,051	6,614	2,250	14,882
3405	1,574	10,727	10,727	1,051	17,7	5,363	5,400	4,766	0,634	11,259	0,545	10,727	10,727	1,051	6,140	2,250	13,816
3406	1,541	10,117	10,117	1,051	16,4	5,058	5,400	4,542	0,858	14,063	0,537	10,117	10,117	1,051	5,703	2,250	12,833
3407	1,511	9,540	9,540	1,051	15,1	4,770	5,400	4,331	1,070	16,201	0,529	9,540	9,540	1,051	5,300	2,250	11,925
3408	1,485	8,994	8,994	1,051	14,0	4,497	5,400	4,132	1,269	17,795	0,522	8,994	8,994	1,051	4,928	2,250	11,087
3409	1,461	8,478	8,478	1,051	13,0	4,239	5,400	3,945	1,455	18,933	0,515	8,478	8,478	1,051	4,584	2,250	10,315
3410	1,440	7,992	7,992	1,051	12,1	3,996	5,400	3,771	1,630	19,698	0,508	7,992	7,992	1,051	4,268	2,250	9,603
3411	1,421	7,535	7,535	1,051	11,2	3,767	5,400	3,607	1,793	20,167	0,502	7,535	7,535	1,051	3,977	2,250	8,947
3412	1,404	7,106	7,106	1,051	10,5	3,553	5,400	3,455	1,945	20,386	0,497	7,106	7,106	1,051	3,709	2,250	8,344
3413	1,389	6,704	6,704	1,051	9,8	3,352	5,400	3,315	2,086	20,405	0,492	6,704	6,704	1,051	3,462	2,250	7,790
3414	1,376	6,329	6,329	1,051	9,1	3,165	5,400	3,186	2,215	20,262	0,487	6,329	6,329	1,051	3,237	2,250	7,283
3415	1,364	5,981	5,981	1,051	8,6	2,990	5,400	3,068	2,332	19,993	0,482	5,981	5,981	1,051	3,031	2,250	6,820
3416	1,354	5,658	5,658	1,051	8,1	2,829	5,400	2,780	2,620	21,092	0,478	5,658	5,658	1,051	2,843	2,250	6,397
3417	1,345	5,361	5,361	1,051	7,6	2,681	5,400	2,520	2,881	21,826	0,475	5,361	5,361	1,051	2,673	2,250	6,014
3418	1,337	5,089	5,089	1,051	7,2	2,545	5,400	2,470	2,931	20,957	0,471	5,089	5,089	1,051	2,519	2,250	5,668
3419	1,331	4,842	4,842	1,051	6,8	2,421	5,400	2,425	2,976	20,143	0,468	4,842	4,842	1,051	2,381	2,250	5,357
3420	1,325	4,619	4,619	1,051	6,4	2,309	5,400	2,345	3,056	19,644	0,465	4,619	4,619	1,051	2,258	2,250	5,080
3421	1,320	4,420	4,420	1,051	6,1	2,210	5,400	2,238	3,162	19,381	0,463	4,420	4,420	1,051	2,149	2,250	4,835
3422	1,316	4,245	4,245	1,051	5,9	2,123	5,400	2,144	3,256	19,107	0,461	4,245	4,245	1,051	2,055	2,250	4,623
3423	1,312	4,094	4,094	1,051	5,6	2,047	5,400	2,062	3,338	18,840	0,459	4,094	4,094	1,051	1,973	2,250	4,440
3424	1,309	3,967	3,967	1,051	5,5	1,983	5,400	1,993	3,407	18,591	0,457	3,967	3,967	1,051	1,905	2,250	4,287
3425	1,307	3,863	3,863	1,051	5,3	1,931	5,400	1,937	3,463	18,368	0,456	3,863	3,863	1,051	1,850	2,250	4,163
3426	1,305	3,782	3,782	1,051	5,2	1,891	5,400	1,893	3,507	18,186	0,455	3,782	3,782	1,051	1,807	2,250	4,067
3427	1,304	3,724	3,724	1,051	5,1	1,862	5,400	1,862	3,538	18,051	0,454	3,724	3,724	1,051	1,777	2,250	3,999
3428	1,303	3,690	3,690	1,051	5,1	1,845	5,400	1,844	3,557	17,967	0,454	3,690	3,690	1,051	1,759	2,250	3,958
3429	1,303	3,677	3,677	1,051	5,0	1,838	5,400	1,836	3,564	17,937	0,454	3,677	3,677	1,051	1,752	2,250	3,942
3430	1,303	3,675	3,675	1,051	5,0	1,838	5,400	1,835	3,565	17,935	0,454	3,675	3,675	1,051	1,751	2,250	3,941
3431	1,303	3,675	3,675	1,051	5,0	1,838	5,400	1,835	3,565	17,935	0,454	3,675	3,675	1,051	1,751	2,250	3,941
3432	1,303	3,675	3,675	1,051	5,0	1,838	5,400	1,835	3,565	17,935	0,454	3,675	3,675	1,051	1,751	2,250	3,941

8.2 INPUTFILER TIL NOVA FRAME

8.2.1 Modell

```
%%%%%%%%%%%%%%%%%%%%%%%%%%%%%%%%%%%%%%%%%%%%%%%%%%%%%%%%%%%%%%%%%%%%%%%%
% Project name : Sandsfjord bru
% Database name : C:\Documents and Settings\arnror\Skrivebord\Database3.GDD
% Date : 10/6-2010 - 13:10
%%%%%%%%%%%%%%%%%%%%%%%%%%%%%%%%%%%%%%%%%%%%%%%%%%%%%%%%%%%%%%%%%%%%%%%%
```

```
%%% PROJECT IDENTIFICATION %%%
PROJECT, 1, NS3473_5, NS3472_3, "Sandsfjord bru"
```

```
%%% REFERENCE LINES %%%
REFLINE, 0, 0, "Cross sections"
REFLINE, 1, 1, "CL-veg"
REFLINE, 10, 2, "Akse 1 senter"
REFLINE, 11, 2, "Akse 1 høyre"
REFLINE, 12, 2, "Akse 1 venstre"
REFLINE, 20, 2, "Akse 2 senter"
REFLINE, 21, 2, "Akse 2 senter første veggskive"
REFLINE, 22, 2, "Akse 2 høyre første veggskive "
REFLINE, 23, 2, "Akse 2 venstre første veggskive"
REFLINE, 24, 2, "Akse 2 senter andre veggskive"
REFLINE, 25, 2, "Akse 2 høyre andre veggskive"
REFLINE, 26, 2, "Akse 2 venstre andre veggskive"
REFLINE, 30, 2, "Akse 3 senter"
REFLINE, 31, 2, "Akse 3 senter første veggskive"
REFLINE, 32, 2, "Akse 3 høyre første veggskive"
REFLINE, 33, 2, "Akse 3 venstre første veggskive"
REFLINE, 34, 2, "Akse 3 senter andre veggskive"
REFLINE, 35, 2, "Akse 3 høyre andre veggskive"
REFLINE, 36, 2, "Akse 3 venstre andre veggskive"
REFLINE, 40, 2, "Akse 4 senter"
REFLINE, 41, 2, "Akse 4 høyre"
REFLINE, 42, 2, "Akse 4 venstre"
REFLINE, 50, 2, "Akse 5 senter"
REFLINE, 51, 2, "Akse 5 høyre"
REFLINE, 52, 2, "Akse 5 venstre"
REFLINE, 60, 2, "Akse 6 senter"
REFLINE, 61, 2, "Akse 6 høyre"
REFLINE, 62, 2, "Akse 6 venstre"
REFLINE, 70, 2, "Akse 7 senter"
REFLINE, 71, 2, "Akse 7 høyre"
REFLINE, 72, 2, "Akse 7 venstre"
REFLINE, 80, 2, "Hjelpesøyle pr 5228.250 senter"
REFLINE, 81, 2, "Hjelpesøyle pr 5228.250 høyre"
REFLINE, 82, 2, "Hjelpesøyle pr 5228.250 venstre"
```

```
%%% REFERENCE LINE AXIS %%%
RFLAXIS, 1, 1, 5197.000, "Akse1"
RFLAXIS, 2, 1, 5292.000, "Akse2"
RFLAXIS, 21,1, 5289.000, "Akse2 Første veggskive"
RFLAXIS, 23,1, 5295.000, "Akse2 Andre veggskive"
RFLAXIS, 3, 1, 5582.000, "Akse3"
RFLAXIS, 32,1, 5579.000, "Akse3 Første veggskive"
RFLAXIS, 34,1, 5585.000, "Akse3 Andre veggskive"
RFLAXIS, 4, 1, 5737.000, "Akse4"
RFLAXIS, 5, 1, 5787.000, "Akse5"
RFLAXIS, 6, 1, 5837.000, "Akse6"
RFLAXIS, 7, 1, 5875.000, "Akse7"
RFLAXIS, 8, 1, 5228.250, "Hjelpesøyle pr 5228.250"
```

```
%%% REFERENCE LINE HORIZONTAL SEGMENTS %%%
```

% R2	HorSeg A	RflNo	Type	StationNo	Stat1	X1	Y1	Stat2	X2	Y2	R1
RFLHORI	1	1	2	5150.000	0.000	-434.995	5261.340	16.937	-325.030	550.000	
0.000	0.000										
RFLHORI	2	1	13	0.000	0.000	0.000	5310.84	0.000	0.000	550.000	
0.000	165.000										
RFLHORI	3	1	11	0.000	0.000	0.000	5582.000	0.000	0.000	0.000	
0.000	0.000										
RFLHORI	4	1	11	0.000	0.000	0.000	5729.280	0.000	0.000	0.000	
0.000	0.000										
RFLHORI	5	1	13	0.000	0.000	0.000	5789.780	0.000	0.000	0.000	-
200.000	110.000										
RFLHORI	6	1	12	0.000	0.000	0.000	5920.000	0.000	0.000	-200.000	-
200.000	0.000										

%%% REFERENCE LINE VERTICAL SEGMENTS %%%

%	VerSegNo	RflNo	Type	Stat1	Z1	Stat2	Z2	R
RFLVERT	1	1	1	5150.000	3.000	5229.768	4.595	0.000
RFLVERT	2	1	2	5229.768	4.595	5629.688	4.595	-10000.000
RFLVERT	3	1	1	5629.688	4.595	5632.620	4.537	0.000
RFLVERT	4	1	2	5632.620	4.537	5827.471	6.970	3000.000
RFLVERT	5	1	1	5827.471	6.970	5920.000	11.134	0.000

%%% REFERENCE LINE COORDINATES %%%

%	CoordNo	RflNo	Type	Stat	X	Y	Z
---	---------	-------	------	------	---	---	---

%%% REFERENCE LINE COLUMN %%%

%	ColrflNo	RflNo	Type	St/Ax	Offs	Angle	Top	Bot	Name
RFLCOLUM	10	1	2	1	0.000	0.000	0.000	-0.570	%Topp lager konsoll
RFLCOLUM	11	1	2	1	3.000	0.000	0.000	-0.570	
RFLCOLUM	12	1	2	1	-3.000	0.000	0.000	-0.570	
RFLCOLUM	20	1	2	2	0.000	0.000	0.000	-66.487	%Bunn fundament
RFLCOLUM	21	1	2	21	0.000	0.000	0.000	-64.287	%Bunn veggskive
RFLCOLUM	22	1	2	21	3.000	0.000	0.000	-64.287	%Bunn veggskive
RFLCOLUM	23	1	2	21	-3.000	0.000	0.000	-64.287	%Bunn veggskive
RFLCOLUM	24	1	2	23	0.000	0.000	0.000	-64.287	%Bunn veggskive
RFLCOLUM	25	1	2	23	3.000	0.000	0.000	-64.287	%Bunn veggskive
RFLCOLUM	26	1	2	23	-3.000	0.000	0.000	-64.287	%Bunn veggskive
RFLCOLUM	30	1	2	3	0.000	0.000	0.000	-58.687	%Bunn fundament
RFLCOLUM	31	1	2	32	0.000	0.000	0.000	-56.487	%Bunn veggskive
RFLCOLUM	32	1	2	32	3.000	0.000	0.000	-56.487	%Bunn veggskive
RFLCOLUM	33	1	2	32	-3.000	0.000	0.000	-56.487	%Bunn veggskive
RFLCOLUM	34	1	2	34	0.000	0.000	0.000	-56.487	%Bunn veggskive
RFLCOLUM	35	1	2	34	3.000	0.000	0.000	-56.487	%Bunn veggskive
RFLCOLUM	36	1	2	34	-3.000	0.000	0.000	-56.487	%Bunn veggskive
RFLCOLUM	40	1	2	4	0.000	0.000	0.000	-20.805	%Bunn fundament
RFLCOLUM	41	1	2	4	3.000	0.000	0.000	-20.805	%Bunn fundament
RFLCOLUM	42	1	2	4	-3.000	0.000	0.000	-20.805	%Bunn fundament
RFLCOLUM	50	1	2	5	0.000	0.000	0.000	-7.287	%Bunn fundament
RFLCOLUM	51	1	2	5	3.000	0.000	0.000	-7.287	%Bunn fundament
RFLCOLUM	52	1	2	5	-3.000	0.000	0.000	-7.287	%Bunn fundament
RFLCOLUM	60	1	2	6	0.000	0.000	0.000	-14.957	%Bunn fundament
RFLCOLUM	61	1	2	6	3.000	0.000	0.000	-14.957	%Bunn fundament
RFLCOLUM	62	1	2	6	-3.000	0.000	0.000	-14.957	%Bunn fundament
RFLCOLUM	70	1	2	7	0.000	0.000	0.000	5.415	%Topp lager konsoll
RFLCOLUM	71	1	2	7	3.000	0.000	0.000	5.415	
RFLCOLUM	72	1	2	7	-3.000	0.000	0.000	5.415	
RFLCOLUM	80	1	2	8	0.000	0.000	0.000	-14.00	%Antatt bunn hjelpesøyle
RFLCOLUM	81	1	2	8	3.000	0.000	0.000	-14.00	%Antatt bunn hjelpesøyle
RFLCOLUM	82	1	2	8	-3.000	0.000	0.000	-14.00	%Antatt bunn hjelpesøyle

%%% CONCRETE MATERIAL INPUT %%%

```

%      No  Fck   Rho1  Eck   Fcck  Fcn   Ecn   Ftn   Epc0  Epcu  Poison  Eframe  Alfa   RH      "Name"
MCONCR, 1, 55.00, 2200, 29564, 45.00, 34.30, 28879, 2.30, 2.00, 3.50, 0.20, 36099, 1.0e-5, 70.00 "B45"
MCONCR, 2, 50.00, 1900, 22051, 45.00, 34.30, 21407, 2.30, 2.00, 3.36, 0.20, 26759, 1.00e-005, 70.00 "LB45"

```

```

%%% STEEL MATERIAL INPUT %%%

```

```

%      No  Fy     Es     Rho  Fu      Epsu  alpha  Poison  Eframe  Eflyt  "Name"
MSTEEL, 1, 235.0, 210000, 7850, 370.0, 12.00, 1.2e-5, 0.30, 210000, 0.0 "S235"

```

```

%%% REINFORCEMENT STEEL MATERIAL INPUT %%%

```

```

MREINF, 1, 500.0, 200000, 10.00, "B500C"

```

```

%%% TENDON STEEL MATERIAL INPUT %%%

```

```

MTEND, 1, 1670.0, 195000, 15.00, "1670"

```

```

%%% CONCRETE DESIGN PARAMETER INPUT %%%

```

```

DPCONCR, 1, 1.40, 1.20, 1.00, 3.484, 3.484, 3.484, "Default values"

```

```

%%% STEEL DESIGN PARAMETER INPUT %%%

```

```

DPSTEEL, 1, 1.10, 1.00, 12.000, 12.000, "Default values"

```

```

%%% REINFORCEMENT DESIGN PARAMETER INPUT %%%

```

```

DPREINF, 1, 0.75, 1.50, 0.30, 55.0, 0, 1.25, 1.10, 1.00, 5.00, 5.00, 5.00, "Default values"

```

```

%%% TENDON DESIGN PARAMETER INPUT %%%

```

```

DPTEND, 1, 1.15, 2.00, 0.20, 65.0, 0, 1.25, 1.10, 1.00, 10.00, 10.00, 10.00, "Default values"

```

```

%%% SECTION DESIGN PARAMETER INPUT %%%

```

```

DPSECT, 1, CONCR, 0.000, 0.000, 10.00, 45.00, 0.666, 2.50, 0.5, 1.00, 0, "Default - concr"
DPSECT, 2, CONCR, 0.000, 0.000, 10.00, 45.00, 0.666, 2.50, 0.5, 0.73, 0, "Brubane Redusert It"

```

```

%      No  M.Type  S.Class  Met  Lex  Ley  Cex  Cey  Lvx  Lvy  fMviox  fMvioy  Cv  "Name"
DPSECT, 3, STEEL, 1, ROLLED, 0.00, 0.00, CALC, CALC, 0.00, 0.00, 0.00, 0.00, CALC, "Default - steel"

```

```

%%% DESIGN SETUP INPUT %%%

```

```

%DCSETUP, 1, 1, 1, "Reference line 0"
%DCSETUP, 2, 0, 1, "All frame elements"

```

```

%%% DESIGN SETUP OPTION INPUT %%%

```

```

%DCCOPT, 1, CONCR, 1, 0, 0, 1, 1, 0, 0, 0, 1, 0, 0, 1, 1, 1
%DCCOPT, 2, CONCR, 1, 0, 0, 1, 1, 0, 0, 0, 1, 0, 0, 1, 1, 1

```

```

%%% DESIGN SETUP SECTION INPUT %%%

```

```

%DCSECT, 1, 0, 0, -1.000, -1.000
%DCSECT, 2, -1, -1, -1.000, -1.000

```

```

%%% DESIGN SETUP COMBINATION INPUT %%%

```

```

%DCCOMB, 1, ULS, -1, -1
%DCCOMB, 1, PLS, -1, -1
%DCCOMB, 1, SLS, -1, -1
%DCCOMB, 2, ULS, -1, -1
%DCCOMB, 2, PLS, -1, -1
%DCCOMB, 2, SLS, -1, -1

```

```

%%% DESIGN CONVERGENCE SETTINGS INPUT %%%

```

```

%DCCONV, 50, 0.001000, 0.001000, 0.001000, 0

```

```

%%% SECTION INPUT %%%

```



```

XSECT , 1, 5777.000, MASSIVE , CONCR , 1, 1, 1 "BRU-BJELKE felt"
XSECT , 1, 5782.000, MASSIVE , CONCR , 1, 1, 1 "BRU-BJELKE felt"
XSECT , 1, 5787.000, MASSIVE , CONCR , 1, 1, 1 "BRU-BJELKE felt"

```

%%% FRA AKSE 5 +50 METER %%

```

XSECT , 1, 5792.000, MASSIVE , CONCR , 1, 1, 1 "BRU-BJELKE felt"
XSECT , 1, 5797.000, MASSIVE , CONCR , 1, 1, 1 "BRU-BJELKE felt"
XSECT , 1, 5802.000, MASSIVE , CONCR , 1, 1, 1 "BRU-BJELKE felt"
XSECT , 1, 5807.000, MASSIVE , CONCR , 1, 1, 1 "BRU-BJELKE felt"
XSECT , 1, 5812.000, MASSIVE , CONCR , 1, 1, 1 "BRU-BJELKE felt"
XSECT , 1, 5817.000, MASSIVE , CONCR , 1, 1, 1 "BRU-BJELKE felt"
XSECT , 1, 5822.000, MASSIVE , CONCR , 1, 1, 1 "BRU-BJELKE felt"
XSECT , 1, 5827.000, MASSIVE , CONCR , 1, 1, 1 "BRU-BJELKE felt"
XSECT , 1, 5832.000, MASSIVE , CONCR , 1, 1, 1 "BRU-BJELKE felt"
XSECT , 1, 5837.000, MASSIVE , CONCR , 1, 1, 1 "BRU-BJELKE felt"

```

%%% FRA AKSE 6 +38 METER %%

```

XSECT , 1, 5842.000, MASSIVE , CONCR , 1, 1, 1 "BRU-BJELKE felt"
XSECT , 1, 5847.000, MASSIVE , CONCR , 1, 1, 1 "BRU-BJELKE felt"
XSECT , 1, 5852.000, MASSIVE , CONCR , 1, 1, 1 "BRU-BJELKE felt"
XSECT , 1, 5857.000, MASSIVE , CONCR , 1, 1, 1 "BRU-BJELKE felt"
XSECT , 1, 5862.000, MASSIVE , CONCR , 1, 1, 1 "BRU-BJELKE felt"
XSECT , 1, 5867.000, MASSIVE , CONCR , 1, 1, 1 "BRU-BJELKE felt"
XSECT , 1, 5872.000, MASSIVE , CONCR , 1, 1, 1 "BRU-BJELKE felt"
XSECT , 1, 5875.000, MASSIVE , CONCR , 1, 1, 1 "BRU-BJELKE felt"
XSECT , 0, 2.0, RECT, CONCR, 1, 1, 1 "Veggskive akse 2 og 3"
XSECT , 0, 3.0, RECT, CONCR, 1, 1, 1 "Fundament akse 2 og 3"
XSECT , 0, 4.0, RECT, CONCR, 1, 1, 1 "Veggskive akse 4 5 og 6"
XSECT , 0, 5.0, RECT, CONCR, 1, 1, 1 "Fundament akse 4 5 og 6"
XSECT , 0, 1.000, MSTIFF, 30000.0, 0.20 "Lager akse 1 & 7"
XSECT , 0, 10.000, RECT, CONCR, 1, 1, 1 "Lager pinner akse 2 og 3"
XSECT , 0, 20.000, CIRC, CONCR, 1, 1, 1 "Hjelpesøylar ved pr 5228.250"

```

%%% SECTION MEASURE INPUT %%%

```

% B H T.L.W T.R.W T.U.F T.L.F
DIM, 0, 2.0, 7000.0, 2000.0, 0.0, 0.0, 0.0, 0.0, 0.0, 0.0
DIM, 0, 3.0, 9000, 10000.0, 0.0, 0.0, 0.0, 0.0, 0.0, 0.0
DIM, 0, 4.0, 7000.0, 2000.0, 0.0, 0.0, 0.0, 0.0, 0.0, 0.0
DIM, 0, 5.0, 9000.0, 4000.0, 0.0, 0.0, 0.0, 0.0, 0.0, 0.0
DIM, 0, 10.000, 3000.0, 3000.0, 0.0, 0.0, 0.0, 0.0, 0.0, 0.0
DIM, 0, 1.000, 1.0, 1.0, 1.0, 1.0
DIM, 0, 20.0, 400.0, 0.0, 0.0, 0.0, 0.0, 0.0, 0.0, 0.0

```

%%% SECTION POINT INPUT %%%

```

% Rfl StNo ID Type X-c Y-c
%
% Rfl StNo ID Type X-c Y-c
%

```

%%% FRA AKSE 1 + 91 METER %%

```

PT, 1, 5197.000, 1, ABS , 0, 0
PT, 1, 5197.000, 2, ABS , -3200, 0
PT, 1, 5197.000, 3, ABS , -3500, 0
PT, 1, 5197.000, 4, ABS , -4000, 0
PT, 1, 5197.000, 5, ABS , -4000, -240
PT, 1, 5197.000, 6, ABS , -3500, -600
PT, 1, 5197.000, 7, ABS , -3500, -3690
PT, 1, 5197.000, 8, ABS , -3500, -4100
PT, 1, 5197.000, 9, ABS , -3200, -4100
PT, 1, 5197.000, 10, ABS , 0, -4100
PT, 1, 5197.000, 11, ABS , 0, -3840
PT, 1, 5197.000, 12, ABS , -2600, -3840
PT, 1, 5197.000, 13, ABS , -3100, -3690
PT, 1, 5197.000, 14, ABS , -3100, -600
PT, 1, 5197.000, 15, ABS , -2300, -280

```

PT,	1,	5197.000,	16,	ABS,	0,	-280
PT,	1,	5197.000,	17,	ABS,	2300,	-280
PT,	1,	5197.000,	18,	ABS,	3100,	-600
PT,	1,	5197.000,	19,	ABS,	3100,	-3690
PT,	1,	5197.000,	20,	ABS,	2600,	-3840
PT,	1,	5197.000,	21,	ABS,	0,	-3840
PT,	1,	5197.000,	22,	ABS,	0,	-4100
PT,	1,	5197.000,	23,	ABS,	3200,	-4100
PT,	1,	5197.000,	24,	ABS,	3500,	-4100
PT,	1,	5197.000,	25,	ABS,	3500,	-3690
PT,	1,	5197.000,	26,	ABS,	3500,	-600
PT,	1,	5197.000,	27,	ABS,	4000,	-240
PT,	1,	5197.000,	28,	ABS,	4000,	0
PT,	1,	5197.000,	29,	ABS,	3500,	0
PT,	1,	5197.000,	30,	ABS,	3200,	0
PT,	1,	5197.000,	31,	ABS,	0,	0
PT,	1,	5200.125,	1,	ABS,	0,	0
PT,	1,	5200.125,	2,	ABS,	-3200,	0
PT,	1,	5200.125,	3,	ABS,	-3500,	0
PT,	1,	5200.125,	4,	ABS,	-4000,	0
PT,	1,	5200.125,	5,	ABS,	-4000,	-240
PT,	1,	5200.125,	6,	ABS,	-3500,	-600
PT,	1,	5200.125,	7,	ABS,	-3500,	-3660
PT,	1,	5200.125,	8,	ABS,	-3500,	-4110
PT,	1,	5200.125,	9,	ABS,	-3200,	-4110
PT,	1,	5200.125,	10,	ABS,	0,	-4110
PT,	1,	5200.125,	11,	ABS,	0,	-3810
PT,	1,	5200.125,	12,	ABS,	-2600,	-3810
PT,	1,	5200.125,	13,	ABS,	-3100,	-3660
PT,	1,	5200.125,	14,	ABS,	-3100,	-600
PT,	1,	5200.125,	15,	ABS,	-2300,	-280
PT,	1,	5200.125,	16,	ABS,	0,	-280
PT,	1,	5200.125,	17,	ABS,	2300,	-280
PT,	1,	5200.125,	18,	ABS,	3100,	-600
PT,	1,	5200.125,	19,	ABS,	3100,	-3660
PT,	1,	5200.125,	20,	ABS,	2600,	-3810
PT,	1,	5200.125,	21,	ABS,	0,	-3810
PT,	1,	5200.125,	22,	ABS,	0,	-4110
PT,	1,	5200.125,	23,	ABS,	3200,	-4110
PT,	1,	5200.125,	24,	ABS,	3500,	-4110
PT,	1,	5200.125,	25,	ABS,	3500,	-3660
PT,	1,	5200.125,	26,	ABS,	3500,	-600
PT,	1,	5200.125,	27,	ABS,	4000,	-240
PT,	1,	5200.125,	28,	ABS,	4000,	0
PT,	1,	5200.125,	29,	ABS,	3500,	0
PT,	1,	5200.125,	30,	ABS,	3200,	0
PT,	1,	5200.125,	31,	ABS,	0,	0
PT,	1,	5203.250,	1,	ABS,	0,	0
PT,	1,	5203.250,	2,	ABS,	-3200,	0
PT,	1,	5203.250,	3,	ABS,	-3500,	0
PT,	1,	5203.250,	4,	ABS,	-4000,	0
PT,	1,	5203.250,	5,	ABS,	-4000,	-240
PT,	1,	5203.250,	6,	ABS,	-3500,	-600
PT,	1,	5203.250,	7,	ABS,	-3500,	-3641
PT,	1,	5203.250,	8,	ABS,	-3500,	-4141
PT,	1,	5203.250,	9,	ABS,	-3200,	-4141
PT,	1,	5203.250,	10,	ABS,	0,	-4141
PT,	1,	5203.250,	11,	ABS,	0,	-3791
PT,	1,	5203.250,	12,	ABS,	-2600,	-3791
PT,	1,	5203.250,	13,	ABS,	-3100,	-3641
PT,	1,	5203.250,	14,	ABS,	-3100,	-600
PT,	1,	5203.250,	15,	ABS,	-2300,	-280
PT,	1,	5203.250,	16,	ABS,	0,	-280
PT,	1,	5203.250,	17,	ABS,	2300,	-280
PT,	1,	5203.250,	18,	ABS,	3100,	-600
PT,	1,	5203.250,	19,	ABS,	3100,	-3641
PT,	1,	5203.250,	20,	ABS,	2600,	-3791
PT,	1,	5203.250,	21,	ABS,	0,	-3791
PT,	1,	5203.250,	22,	ABS,	0,	-4141
PT,	1,	5203.250,	23,	ABS,	3200,	-4141
PT,	1,	5203.250,	24,	ABS,	3500,	-4141
PT,	1,	5203.250,	25,	ABS,	3500,	-3641

PT,	1,	5203.250,	26, ABS ,	3500,	-600
PT,	1,	5203.250,	27, ABS ,	4000,	-240
PT,	1,	5203.250,	28, ABS ,	4000,	0
PT,	1,	5203.250,	29, ABS ,	3500,	0
PT,	1,	5203.250,	30, ABS ,	3200,	0
PT,	1,	5203.250,	31, ABS ,	0,	0
PT,	1,	5208.250,	1, ABS ,	0,	0
PT,	1,	5208.250,	2, ABS ,	-3200,	0
PT,	1,	5208.250,	3, ABS ,	-3500,	0
PT,	1,	5208.250,	4, ABS ,	-4000,	0
PT,	1,	5208.250,	5, ABS ,	-4000,	-240
PT,	1,	5208.250,	6, ABS ,	-3500,	-600
PT,	1,	5208.250,	7, ABS ,	-3500,	-3685
PT,	1,	5208.250,	8, ABS ,	-3500,	-4235
PT,	1,	5208.250,	9, ABS ,	-3200,	-4235
PT,	1,	5208.250,	10, ABS ,	0,	-4235
PT,	1,	5208.250,	11, ABS ,	0,	-3835
PT,	1,	5208.250,	12, ABS ,	-2600,	-3835
PT,	1,	5208.250,	13, ABS ,	-3100,	-3685
PT,	1,	5208.250,	14, ABS ,	-3100,	-600
PT,	1,	5208.250,	15, ABS ,	-2300,	-280
PT,	1,	5208.250,	16, ABS ,	0,	-280
PT,	1,	5208.250,	17, ABS ,	2300,	-280
PT,	1,	5208.250,	18, ABS ,	3100,	-600
PT,	1,	5208.250,	19, ABS ,	3100,	-3685
PT,	1,	5208.250,	20, ABS ,	2600,	-3835
PT,	1,	5208.250,	21, ABS ,	0,	-3835
PT,	1,	5208.250,	22, ABS ,	0,	-4235
PT,	1,	5208.250,	23, ABS ,	3200,	-4235
PT,	1,	5208.250,	24, ABS ,	3500,	-4235
PT,	1,	5208.250,	25, ABS ,	3500,	-3685
PT,	1,	5208.250,	26, ABS ,	3500,	-600
PT,	1,	5208.250,	27, ABS ,	4000,	-240
PT,	1,	5208.250,	28, ABS ,	4000,	0
PT,	1,	5208.250,	29, ABS ,	3500,	0
PT,	1,	5208.250,	30, ABS ,	3200,	0
PT,	1,	5208.250,	31, ABS ,	0,	0
PT,	1,	5213.250,	1, ABS ,	0,	0
PT,	1,	5213.250,	2, ABS ,	-3200,	0
PT,	1,	5213.250,	3, ABS ,	-3500,	0
PT,	1,	5213.250,	4, ABS ,	-4000,	0
PT,	1,	5213.250,	5, ABS ,	-4000,	-240
PT,	1,	5213.250,	6, ABS ,	-3500,	-600
PT,	1,	5213.250,	7, ABS ,	-3500,	-3781
PT,	1,	5213.250,	8, ABS ,	-3500,	-4381
PT,	1,	5213.250,	9, ABS ,	-3200,	-4381
PT,	1,	5213.250,	10, ABS ,	0,	-4381
PT,	1,	5213.250,	11, ABS ,	0,	-3931
PT,	1,	5213.250,	12, ABS ,	-2600,	-3931
PT,	1,	5213.250,	13, ABS ,	-3100,	-3781
PT,	1,	5213.250,	14, ABS ,	-3100,	-600
PT,	1,	5213.250,	15, ABS ,	-2300,	-280
PT,	1,	5213.250,	16, ABS ,	0,	-280
PT,	1,	5213.250,	17, ABS ,	2300,	-280
PT,	1,	5213.250,	18, ABS ,	3100,	-600
PT,	1,	5213.250,	19, ABS ,	3100,	-3781
PT,	1,	5213.250,	20, ABS ,	2600,	-3931
PT,	1,	5213.250,	21, ABS ,	0,	-3931
PT,	1,	5213.250,	22, ABS ,	0,	-4381
PT,	1,	5213.250,	23, ABS ,	3200,	-4381
PT,	1,	5213.250,	24, ABS ,	3500,	-4381
PT,	1,	5213.250,	25, ABS ,	3500,	-3781
PT,	1,	5213.250,	26, ABS ,	3500,	-600
PT,	1,	5213.250,	27, ABS ,	4000,	-240
PT,	1,	5213.250,	28, ABS ,	4000,	0
PT,	1,	5213.250,	29, ABS ,	3500,	0
PT,	1,	5213.250,	30, ABS ,	3200,	0
PT,	1,	5213.250,	31, ABS ,	0,	0
PT,	1,	5218.250,	1, ABS ,	0,	0
PT,	1,	5218.250,	2, ABS ,	-3200,	0
PT,	1,	5218.250,	3, ABS ,	-3500,	0

PT,	1,	5218.250,	4, ABS ,	-4000,	0
PT,	1,	5218.250,	5, ABS ,	-4000,	-240
PT,	1,	5218.250,	6, ABS ,	-3500,	-600
PT,	1,	5218.250,	7, ABS ,	-3500,	-3931
PT,	1,	5218.250,	8, ABS ,	-3500,	-4581
PT,	1,	5218.250,	9, ABS ,	-3200,	-4581
PT,	1,	5218.250,	10, ABS ,	0,	-4581
PT,	1,	5218.250,	11, ABS ,	0,	-4081
PT,	1,	5218.250,	12, ABS ,	-2600,	-4081
PT,	1,	5218.250,	13, ABS ,	-3100,	-3931
PT,	1,	5218.250,	14, ABS ,	-3100,	-600
PT,	1,	5218.250,	15, ABS ,	-2300,	-280
PT,	1,	5218.250,	16, ABS ,	0,	-280
PT,	1,	5218.250,	17, ABS ,	2300,	-280
PT,	1,	5218.250,	18, ABS ,	3100,	-600
PT,	1,	5218.250,	19, ABS ,	3100,	-3931
PT,	1,	5218.250,	20, ABS ,	2600,	-4081
PT,	1,	5218.250,	21, ABS ,	0,	-4081
PT,	1,	5218.250,	22, ABS ,	0,	-4581
PT,	1,	5218.250,	23, ABS ,	3200,	-4581
PT,	1,	5218.250,	24, ABS ,	3500,	-4581
PT,	1,	5218.250,	25, ABS ,	3500,	-3931
PT,	1,	5218.250,	26, ABS ,	3500,	-600
PT,	1,	5218.250,	27, ABS ,	4000,	-240
PT,	1,	5218.250,	28, ABS ,	4000,	0
PT,	1,	5218.250,	29, ABS ,	3500,	0
PT,	1,	5218.250,	30, ABS ,	3200,	0
PT,	1,	5218.250,	31, ABS ,	0,	0
PT,	1,	5223.250,	1, ABS ,	0,	0
PT,	1,	5223.250,	2, ABS ,	-3200,	0
PT,	1,	5223.250,	3, ABS ,	-3500,	0
PT,	1,	5223.250,	4, ABS ,	-4000,	0
PT,	1,	5223.250,	5, ABS ,	-4000,	-240
PT,	1,	5223.250,	6, ABS ,	-3500,	-600
PT,	1,	5223.250,	7, ABS ,	-3500,	-4136
PT,	1,	5223.250,	8, ABS ,	-3500,	-4836
PT,	1,	5223.250,	9, ABS ,	-3200,	-4836
PT,	1,	5223.250,	10, ABS ,	0,	-4836
PT,	1,	5223.250,	11, ABS ,	0,	-4286
PT,	1,	5223.250,	12, ABS ,	-2600,	-4286
PT,	1,	5223.250,	13, ABS ,	-3100,	-4136
PT,	1,	5223.250,	14, ABS ,	-3100,	-600
PT,	1,	5223.250,	15, ABS ,	-2300,	-280
PT,	1,	5223.250,	16, ABS ,	0,	-280
PT,	1,	5223.250,	17, ABS ,	2300,	-280
PT,	1,	5223.250,	18, ABS ,	3100,	-600
PT,	1,	5223.250,	19, ABS ,	3100,	-4136
PT,	1,	5223.250,	20, ABS ,	2600,	-4286
PT,	1,	5223.250,	21, ABS ,	0,	-4286
PT,	1,	5223.250,	22, ABS ,	0,	-4836
PT,	1,	5223.250,	23, ABS ,	3200,	-4836
PT,	1,	5223.250,	24, ABS ,	3500,	-4836
PT,	1,	5223.250,	25, ABS ,	3500,	-4136
PT,	1,	5223.250,	26, ABS ,	3500,	-600
PT,	1,	5223.250,	27, ABS ,	4000,	-240
PT,	1,	5223.250,	28, ABS ,	4000,	0
PT,	1,	5223.250,	29, ABS ,	3500,	0
PT,	1,	5223.250,	30, ABS ,	3200,	0
PT,	1,	5223.250,	31, ABS ,	0,	0
PT,	1,	5228.250,	1, ABS ,	0,	0
PT,	1,	5228.250,	2, ABS ,	-3200,	0
PT,	1,	5228.250,	3, ABS ,	-3500,	0
PT,	1,	5228.250,	4, ABS ,	-4000,	0
PT,	1,	5228.250,	5, ABS ,	-4000,	-240
PT,	1,	5228.250,	6, ABS ,	-3500,	-600
PT,	1,	5228.250,	7, ABS ,	-3500,	-4396
PT,	1,	5228.250,	8, ABS ,	-3500,	-5146
PT,	1,	5228.250,	9, ABS ,	-3200,	-5146
PT,	1,	5228.250,	10, ABS ,	0,	-5146
PT,	1,	5228.250,	11, ABS ,	0,	-4546
PT,	1,	5228.250,	12, ABS ,	-2600,	-4546
PT,	1,	5228.250,	13, ABS ,	-3100,	-4396

PT,	1,	5228.250,	14,	ABS ,	-3100,	-600
PT,	1,	5228.250,	15,	ABS ,	-2300,	-280
PT,	1,	5228.250,	16,	ABS ,	0,	-280
PT,	1,	5228.250,	17,	ABS ,	2300,	-280
PT,	1,	5228.250,	18,	ABS ,	3100,	-600
PT,	1,	5228.250,	19,	ABS ,	3100,	-4396
PT,	1,	5228.250,	20,	ABS ,	2600,	-4546
PT,	1,	5228.250,	21,	ABS ,	0,	-4546
PT,	1,	5228.250,	22,	ABS ,	0,	-5146
PT,	1,	5228.250,	23,	ABS ,	3200,	-5146
PT,	1,	5228.250,	24,	ABS ,	3500,	-5146
PT,	1,	5228.250,	25,	ABS ,	3500,	-4396
PT,	1,	5228.250,	26,	ABS ,	3500,	-600
PT,	1,	5228.250,	27,	ABS ,	4000,	-240
PT,	1,	5228.250,	28,	ABS ,	4000,	0
PT,	1,	5228.250,	29,	ABS ,	3500,	0
PT,	1,	5228.250,	30,	ABS ,	3200,	0
PT,	1,	5228.250,	31,	ABS ,	0,	0
PT,	1,	5233.250,	1,	ABS ,	0,	0
PT,	1,	5233.250,	2,	ABS ,	-3200,	0
PT,	1,	5233.250,	3,	ABS ,	-3500,	0
PT,	1,	5233.250,	4,	ABS ,	-4000,	0
PT,	1,	5233.250,	5,	ABS ,	-4000,	-240
PT,	1,	5233.250,	6,	ABS ,	-3500,	-600
PT,	1,	5233.250,	7,	ABS ,	-3500,	-4712
PT,	1,	5233.250,	8,	ABS ,	-3500,	-5512
PT,	1,	5233.250,	9,	ABS ,	-3200,	-5512
PT,	1,	5233.250,	10,	ABS ,	0,	-5512
PT,	1,	5233.250,	11,	ABS ,	0,	-4862
PT,	1,	5233.250,	12,	ABS ,	-2600,	-4862
PT,	1,	5233.250,	13,	ABS ,	-3100,	-4712
PT,	1,	5233.250,	14,	ABS ,	-3100,	-600
PT,	1,	5233.250,	15,	ABS ,	-2300,	-280
PT,	1,	5233.250,	16,	ABS ,	0,	-280
PT,	1,	5233.250,	17,	ABS ,	2300,	-280
PT,	1,	5233.250,	18,	ABS ,	3100,	-600
PT,	1,	5233.250,	19,	ABS ,	3100,	-4712
PT,	1,	5233.250,	20,	ABS ,	2600,	-4862
PT,	1,	5233.250,	21,	ABS ,	0,	-4862
PT,	1,	5233.250,	22,	ABS ,	0,	-5512
PT,	1,	5233.250,	23,	ABS ,	3200,	-5512
PT,	1,	5233.250,	24,	ABS ,	3500,	-5512
PT,	1,	5233.250,	25,	ABS ,	3500,	-4712
PT,	1,	5233.250,	26,	ABS ,	3500,	-600
PT,	1,	5233.250,	27,	ABS ,	4000,	-240
PT,	1,	5233.250,	28,	ABS ,	4000,	0
PT,	1,	5233.250,	29,	ABS ,	3500,	0
PT,	1,	5233.250,	30,	ABS ,	3200,	0
PT,	1,	5233.250,	31,	ABS ,	0,	0
PT,	1,	5238.250,	1,	ABS ,	0,	0
PT,	1,	5238.250,	2,	ABS ,	-3200,	0
PT,	1,	5238.250,	3,	ABS ,	-3500,	0
PT,	1,	5238.250,	4,	ABS ,	-4000,	0
PT,	1,	5238.250,	5,	ABS ,	-4000,	-240
PT,	1,	5238.250,	6,	ABS ,	-3500,	-600
PT,	1,	5238.250,	7,	ABS ,	-3500,	-5084
PT,	1,	5238.250,	8,	ABS ,	-3500,	-5934
PT,	1,	5238.250,	9,	ABS ,	-3200,	-5934
PT,	1,	5238.250,	10,	ABS ,	0,	-5934
PT,	1,	5238.250,	11,	ABS ,	0,	-5234
PT,	1,	5238.250,	12,	ABS ,	-2600,	-5234
PT,	1,	5238.250,	13,	ABS ,	-3100,	-5084
PT,	1,	5238.250,	14,	ABS ,	-3100,	-600
PT,	1,	5238.250,	15,	ABS ,	-2300,	-280
PT,	1,	5238.250,	16,	ABS ,	0,	-280
PT,	1,	5238.250,	17,	ABS ,	2300,	-280
PT,	1,	5238.250,	18,	ABS ,	3100,	-600
PT,	1,	5238.250,	19,	ABS ,	3100,	-5084
PT,	1,	5238.250,	20,	ABS ,	2600,	-5234
PT,	1,	5238.250,	21,	ABS ,	0,	-5234
PT,	1,	5238.250,	22,	ABS ,	0,	-5934
PT,	1,	5238.250,	23,	ABS ,	3200,	-5934

PT,	1,	5238.250,	24,	ABS ,	3500,	-5934
PT,	1,	5238.250,	25,	ABS ,	3500,	-5084
PT,	1,	5238.250,	26,	ABS ,	3500,	-600
PT,	1,	5238.250,	27,	ABS ,	4000,	-240
PT,	1,	5238.250,	28,	ABS ,	4000,	0
PT,	1,	5238.250,	29,	ABS ,	3500,	0
PT,	1,	5238.250,	30,	ABS ,	3200,	0
PT,	1,	5238.250,	31,	ABS ,	0,	0
PT,	1,	5243.250,	1,	ABS ,	0,	0
PT,	1,	5243.250,	2,	ABS ,	-3100,	0
PT,	1,	5243.250,	3,	ABS ,	-3500,	0
PT,	1,	5243.250,	4,	ABS ,	-4000,	0
PT,	1,	5243.250,	5,	ABS ,	-4000,	-240
PT,	1,	5243.250,	6,	ABS ,	-3500,	-600
PT,	1,	5243.250,	7,	ABS ,	-3500,	-5515
PT,	1,	5243.250,	8,	ABS ,	-3500,	-6415
PT,	1,	5243.250,	9,	ABS ,	-3100,	-6415
PT,	1,	5243.250,	10,	ABS ,	0,	-6415
PT,	1,	5243.250,	11,	ABS ,	0,	-5665
PT,	1,	5243.250,	12,	ABS ,	-2500,	-5665
PT,	1,	5243.250,	13,	ABS ,	-3000,	-5515
PT,	1,	5243.250,	14,	ABS ,	-3000,	-730
PT,	1,	5243.250,	15,	ABS ,	-2200,	-600
PT,	1,	5243.250,	16,	ABS ,	0,	-600
PT,	1,	5243.250,	17,	ABS ,	2200,	-600
PT,	1,	5243.250,	18,	ABS ,	3000,	-730
PT,	1,	5243.250,	19,	ABS ,	3000,	-5515
PT,	1,	5243.250,	20,	ABS ,	2500,	-5665
PT,	1,	5243.250,	21,	ABS ,	0,	-5665
PT,	1,	5243.250,	22,	ABS ,	0,	-6415
PT,	1,	5243.250,	23,	ABS ,	3100,	-6415
PT,	1,	5243.250,	24,	ABS ,	3500,	-6415
PT,	1,	5243.250,	25,	ABS ,	3500,	-5515
PT,	1,	5243.250,	26,	ABS ,	3500,	-600
PT,	1,	5243.250,	27,	ABS ,	4000,	-240
PT,	1,	5243.250,	28,	ABS ,	4000,	0
PT,	1,	5243.250,	29,	ABS ,	3500,	0
PT,	1,	5243.250,	30,	ABS ,	3100,	0
PT,	1,	5243.250,	31,	ABS ,	0,	0
PT,	1,	5248.250,	1,	ABS ,	0,	0
PT,	1,	5248.250,	2,	ABS ,	-3100,	0
PT,	1,	5248.250,	3,	ABS ,	-3500,	0
PT,	1,	5248.250,	4,	ABS ,	-4000,	0
PT,	1,	5248.250,	5,	ABS ,	-4000,	-240
PT,	1,	5248.250,	6,	ABS ,	-3500,	-600
PT,	1,	5248.250,	7,	ABS ,	-3500,	-6006
PT,	1,	5248.250,	8,	ABS ,	-3500,	-6956
PT,	1,	5248.250,	9,	ABS ,	-3100,	-6956
PT,	1,	5248.250,	10,	ABS ,	0,	-6956
PT,	1,	5248.250,	11,	ABS ,	0,	-6156
PT,	1,	5248.250,	12,	ABS ,	-2500,	-6156
PT,	1,	5248.250,	13,	ABS ,	-3000,	-6006
PT,	1,	5248.250,	14,	ABS ,	-3000,	-730
PT,	1,	5248.250,	15,	ABS ,	-2200,	-600
PT,	1,	5248.250,	16,	ABS ,	0,	-600
PT,	1,	5248.250,	17,	ABS ,	2200,	-600
PT,	1,	5248.250,	18,	ABS ,	3000,	-730
PT,	1,	5248.250,	19,	ABS ,	3000,	-6006
PT,	1,	5248.250,	20,	ABS ,	2500,	-6156
PT,	1,	5248.250,	21,	ABS ,	0,	-6156
PT,	1,	5248.250,	22,	ABS ,	0,	-6956
PT,	1,	5248.250,	23,	ABS ,	3100,	-6956
PT,	1,	5248.250,	24,	ABS ,	3500,	-6956
PT,	1,	5248.250,	25,	ABS ,	3500,	-6006
PT,	1,	5248.250,	26,	ABS ,	3500,	-600
PT,	1,	5248.250,	27,	ABS ,	4000,	-240
PT,	1,	5248.250,	28,	ABS ,	4000,	0
PT,	1,	5248.250,	29,	ABS ,	3500,	0
PT,	1,	5248.250,	30,	ABS ,	3100,	0
PT,	1,	5248.250,	31,	ABS ,	0,	0
PT,	1,	5253.250,	1,	ABS ,	0,	0

PT,	1,	5253.250,	2, ABS ,	-3100,	0
PT,	1,	5253.250,	3, ABS ,	-3500,	0
PT,	1,	5253.250,	4, ABS ,	-4000,	0
PT,	1,	5253.250,	5, ABS ,	-4000,	-240
PT,	1,	5253.250,	6, ABS ,	-3500,	-600
PT,	1,	5253.250,	7, ABS ,	-3500,	-6559
PT,	1,	5253.250,	8, ABS ,	-3500,	-7559
PT,	1,	5253.250,	9, ABS ,	-3100,	-7559
PT,	1,	5253.250,	10, ABS ,	0,	-7559
PT,	1,	5253.250,	11, ABS ,	0,	-6709
PT,	1,	5253.250,	12, ABS ,	-2500,	-6709
PT,	1,	5253.250,	13, ABS ,	-3000,	-6559
PT,	1,	5253.250,	14, ABS ,	-3000,	-730
PT,	1,	5253.250,	15, ABS ,	-2200,	-600
PT,	1,	5253.250,	16, ABS ,	0,	-600
PT,	1,	5253.250,	17, ABS ,	2200,	-600
PT,	1,	5253.250,	18, ABS ,	3000,	-730
PT,	1,	5253.250,	19, ABS ,	3000,	-6559
PT,	1,	5253.250,	20, ABS ,	2500,	-6709
PT,	1,	5253.250,	21, ABS ,	0,	-6709
PT,	1,	5253.250,	22, ABS ,	0,	-7559
PT,	1,	5253.250,	23, ABS ,	3100,	-7559
PT,	1,	5253.250,	24, ABS ,	3500,	-7559
PT,	1,	5253.250,	25, ABS ,	3500,	-6559
PT,	1,	5253.250,	26, ABS ,	3500,	-600
PT,	1,	5253.250,	27, ABS ,	4000,	-240
PT,	1,	5253.250,	28, ABS ,	4000,	0
PT,	1,	5253.250,	29, ABS ,	3500,	0
PT,	1,	5253.250,	30, ABS ,	3100,	0
PT,	1,	5253.250,	31, ABS ,	0,	0
PT,	1,	5258.250,	1, ABS ,	0,	0
PT,	1,	5258.250,	2, ABS ,	-3100,	0
PT,	1,	5258.250,	3, ABS ,	-3500,	0
PT,	1,	5258.250,	4, ABS ,	-4000,	0
PT,	1,	5258.250,	5, ABS ,	-4000,	-240
PT,	1,	5258.250,	6, ABS ,	-3500,	-600
PT,	1,	5258.250,	7, ABS ,	-3500,	-7174
PT,	1,	5258.250,	8, ABS ,	-3500,	-8224
PT,	1,	5258.250,	9, ABS ,	-3100,	-8224
PT,	1,	5258.250,	10, ABS ,	0,	-8224
PT,	1,	5258.250,	11, ABS ,	0,	-7324
PT,	1,	5258.250,	12, ABS ,	-2500,	-7324
PT,	1,	5258.250,	13, ABS ,	-3000,	-7174
PT,	1,	5258.250,	14, ABS ,	-3000,	-730
PT,	1,	5258.250,	15, ABS ,	-2200,	-600
PT,	1,	5258.250,	16, ABS ,	0,	-600
PT,	1,	5258.250,	17, ABS ,	2200,	-600
PT,	1,	5258.250,	18, ABS ,	3000,	-730
PT,	1,	5258.250,	19, ABS ,	3000,	-7174
PT,	1,	5258.250,	20, ABS ,	2500,	-7324
PT,	1,	5258.250,	21, ABS ,	0,	-7324
PT,	1,	5258.250,	22, ABS ,	0,	-8224
PT,	1,	5258.250,	23, ABS ,	3100,	-8224
PT,	1,	5258.250,	24, ABS ,	3500,	-8224
PT,	1,	5258.250,	25, ABS ,	3500,	-7174
PT,	1,	5258.250,	26, ABS ,	3500,	-600
PT,	1,	5258.250,	27, ABS ,	4000,	-240
PT,	1,	5258.250,	28, ABS ,	4000,	0
PT,	1,	5258.250,	29, ABS ,	3500,	0
PT,	1,	5258.250,	30, ABS ,	3100,	0
PT,	1,	5258.250,	31, ABS ,	0,	0
PT,	1,	5263.250,	1, ABS ,	0,	0
PT,	1,	5263.250,	2, ABS ,	-3100,	0
PT,	1,	5263.250,	3, ABS ,	-3500,	0
PT,	1,	5263.250,	4, ABS ,	-4000,	0
PT,	1,	5263.250,	5, ABS ,	-4000,	-240
PT,	1,	5263.250,	6, ABS ,	-3500,	-600
PT,	1,	5263.250,	7, ABS ,	-3500,	-7856
PT,	1,	5263.250,	8, ABS ,	-3500,	-8956
PT,	1,	5263.250,	9, ABS ,	-3100,	-8956
PT,	1,	5263.250,	10, ABS ,	0,	-8956
PT,	1,	5263.250,	11, ABS ,	0,	-8006

PT,	1,	5263.250,	12,	ABS,	-2500,	-8006
PT,	1,	5263.250,	13,	ABS,	-3000,	-7856
PT,	1,	5263.250,	14,	ABS,	-3000,	-730
PT,	1,	5263.250,	15,	ABS,	-2200,	-600
PT,	1,	5263.250,	16,	ABS,	0,	-600
PT,	1,	5263.250,	17,	ABS,	2200,	-600
PT,	1,	5263.250,	18,	ABS,	3000,	-730
PT,	1,	5263.250,	19,	ABS,	3000,	-7856
PT,	1,	5263.250,	20,	ABS,	2500,	-8006
PT,	1,	5263.250,	21,	ABS,	0,	-8006
PT,	1,	5263.250,	22,	ABS,	0,	-8956
PT,	1,	5263.250,	23,	ABS,	3100,	-8956
PT,	1,	5263.250,	24,	ABS,	3500,	-8956
PT,	1,	5263.250,	25,	ABS,	3500,	-7856
PT,	1,	5263.250,	26,	ABS,	3500,	-600
PT,	1,	5263.250,	27,	ABS,	4000,	-240
PT,	1,	5263.250,	28,	ABS,	4000,	0
PT,	1,	5263.250,	29,	ABS,	3500,	0
PT,	1,	5263.250,	30,	ABS,	3100,	0
PT,	1,	5263.250,	31,	ABS,	0,	0
PT,	1,	5268.250,	1,	ABS,	0,	0
PT,	1,	5268.250,	2,	ABS,	-3100,	0
PT,	1,	5268.250,	3,	ABS,	-3500,	0
PT,	1,	5268.250,	4,	ABS,	-4000,	0
PT,	1,	5268.250,	5,	ABS,	-4000,	-240
PT,	1,	5268.250,	6,	ABS,	-3500,	-600
PT,	1,	5268.250,	7,	ABS,	-3500,	-8606
PT,	1,	5268.250,	8,	ABS,	-3500,	-9756
PT,	1,	5268.250,	9,	ABS,	-3100,	-9756
PT,	1,	5268.250,	10,	ABS,	0,	-9756
PT,	1,	5268.250,	11,	ABS,	0,	-8756
PT,	1,	5268.250,	12,	ABS,	-2500,	-8756
PT,	1,	5268.250,	13,	ABS,	-3000,	-8606
PT,	1,	5268.250,	14,	ABS,	-3000,	-730
PT,	1,	5268.250,	15,	ABS,	-2200,	-600
PT,	1,	5268.250,	16,	ABS,	0,	-600
PT,	1,	5268.250,	17,	ABS,	2200,	-600
PT,	1,	5268.250,	18,	ABS,	3000,	-730
PT,	1,	5268.250,	19,	ABS,	3000,	-8606
PT,	1,	5268.250,	20,	ABS,	2500,	-8756
PT,	1,	5268.250,	21,	ABS,	0,	-8756
PT,	1,	5268.250,	22,	ABS,	0,	-9756
PT,	1,	5268.250,	23,	ABS,	3100,	-9756
PT,	1,	5268.250,	24,	ABS,	3500,	-9756
PT,	1,	5268.250,	25,	ABS,	3500,	-8606
PT,	1,	5268.250,	26,	ABS,	3500,	-600
PT,	1,	5268.250,	27,	ABS,	4000,	-240
PT,	1,	5268.250,	28,	ABS,	4000,	0
PT,	1,	5268.250,	29,	ABS,	3500,	0
PT,	1,	5268.250,	30,	ABS,	3100,	0
PT,	1,	5268.250,	31,	ABS,	0,	0
PT,	1,	5273.250,	1,	ABS,	0,	0
PT,	1,	5273.250,	2,	ABS,	-3100,	0
PT,	1,	5273.250,	3,	ABS,	-3500,	0
PT,	1,	5273.250,	4,	ABS,	-4000,	0
PT,	1,	5273.250,	5,	ABS,	-4000,	-240
PT,	1,	5273.250,	6,	ABS,	-3500,	-600
PT,	1,	5273.250,	7,	ABS,	-3500,	-9427
PT,	1,	5273.250,	8,	ABS,	-3500,	-10627
PT,	1,	5273.250,	9,	ABS,	-3100,	-10627
PT,	1,	5273.250,	10,	ABS,	0,	-10627
PT,	1,	5273.250,	11,	ABS,	0,	-9577
PT,	1,	5273.250,	12,	ABS,	-2500,	-9577
PT,	1,	5273.250,	13,	ABS,	-3000,	-9427
PT,	1,	5273.250,	14,	ABS,	-3000,	-730
PT,	1,	5273.250,	15,	ABS,	-2200,	-600
PT,	1,	5273.250,	16,	ABS,	0,	-600
PT,	1,	5273.250,	17,	ABS,	2200,	-600
PT,	1,	5273.250,	18,	ABS,	3000,	-730
PT,	1,	5273.250,	19,	ABS,	3000,	-9427
PT,	1,	5273.250,	20,	ABS,	2500,	-9577
PT,	1,	5273.250,	21,	ABS,	0,	-9577

PT,	1,	5273.250,	22, ABS ,	0,	-10627
PT,	1,	5273.250,	23, ABS ,	3100,	-10627
PT,	1,	5273.250,	24, ABS ,	3500,	-10627
PT,	1,	5273.250,	25, ABS ,	3500,	-9427
PT,	1,	5273.250,	26, ABS ,	3500,	-600
PT,	1,	5273.250,	27, ABS ,	4000,	-240
PT,	1,	5273.250,	28, ABS ,	4000,	0
PT,	1,	5273.250,	29, ABS ,	3500,	0
PT,	1,	5273.250,	30, ABS ,	3100,	0
PT,	1,	5273.250,	31, ABS ,	0,	0
PT,	1,	5278.250,	1, ABS ,	0,	0
PT,	1,	5278.250,	2, ABS ,	-3100,	0
PT,	1,	5278.250,	3, ABS ,	-3500,	0
PT,	1,	5278.250,	4, ABS ,	-4000,	0
PT,	1,	5278.250,	5, ABS ,	-4000,	-240
PT,	1,	5278.250,	6, ABS ,	-3500,	-600
PT,	1,	5278.250,	7, ABS ,	-3500,	-10324
PT,	1,	5278.250,	8, ABS ,	-3500,	-11574
PT,	1,	5278.250,	9, ABS ,	-3100,	-11574
PT,	1,	5278.250,	10, ABS ,	0,	-11574
PT,	1,	5278.250,	11, ABS ,	0,	-10474
PT,	1,	5278.250,	12, ABS ,	-2500,	-10474
PT,	1,	5278.250,	13, ABS ,	-3000,	-10324
PT,	1,	5278.250,	14, ABS ,	-3000,	-730
PT,	1,	5278.250,	15, ABS ,	-2200,	-600
PT,	1,	5278.250,	16, ABS ,	0,	-600
PT,	1,	5278.250,	17, ABS ,	2200,	-600
PT,	1,	5278.250,	18, ABS ,	3000,	-730
PT,	1,	5278.250,	19, ABS ,	3000,	-10324
PT,	1,	5278.250,	20, ABS ,	2500,	-10474
PT,	1,	5278.250,	21, ABS ,	0,	-10474
PT,	1,	5278.250,	22, ABS ,	0,	-11574
PT,	1,	5278.250,	23, ABS ,	3100,	-11574
PT,	1,	5278.250,	24, ABS ,	3500,	-11574
PT,	1,	5278.250,	25, ABS ,	3500,	-10324
PT,	1,	5278.250,	26, ABS ,	3500,	-600
PT,	1,	5278.250,	27, ABS ,	4000,	-240
PT,	1,	5278.250,	28, ABS ,	4000,	0
PT,	1,	5278.250,	29, ABS ,	3500,	0
PT,	1,	5278.250,	30, ABS ,	3100,	0
PT,	1,	5278.250,	31, ABS ,	0,	0
PT,	1,	5282.000,	1, ABS ,	0,	0
PT,	1,	5282.000,	2, ABS ,	-3100,	0
PT,	1,	5282.000,	3, ABS ,	-3500,	0
PT,	1,	5282.000,	4, ABS ,	-4000,	0
PT,	1,	5282.000,	5, ABS ,	-4000,	-240
PT,	1,	5282.000,	6, ABS ,	-3500,	-600
PT,	1,	5282.000,	7, ABS ,	-3500,	-11035
PT,	1,	5282.000,	8, ABS ,	-3500,	-12335
PT,	1,	5282.000,	9, ABS ,	-3100,	-12335
PT,	1,	5282.000,	10, ABS ,	0,	-12335
PT,	1,	5282.000,	11, ABS ,	0,	-11185
PT,	1,	5282.000,	12, ABS ,	-2500,	-11185
PT,	1,	5282.000,	13, ABS ,	-3000,	-11035
PT,	1,	5282.000,	14, ABS ,	-3000,	-730
PT,	1,	5282.000,	15, ABS ,	-2200,	-600
PT,	1,	5282.000,	16, ABS ,	0,	-600
PT,	1,	5282.000,	17, ABS ,	2200,	-600
PT,	1,	5282.000,	18, ABS ,	3000,	-730
PT,	1,	5282.000,	19, ABS ,	3000,	-11035
PT,	1,	5282.000,	20, ABS ,	2500,	-11185
PT,	1,	5282.000,	21, ABS ,	0,	-11185
PT,	1,	5282.000,	22, ABS ,	0,	-12335
PT,	1,	5282.000,	23, ABS ,	3100,	-12335
PT,	1,	5282.000,	24, ABS ,	3500,	-12335
PT,	1,	5282.000,	25, ABS ,	3500,	-11035
PT,	1,	5282.000,	26, ABS ,	3500,	-600
PT,	1,	5282.000,	27, ABS ,	4000,	-240
PT,	1,	5282.000,	28, ABS ,	4000,	0
PT,	1,	5282.000,	29, ABS ,	3500,	0
PT,	1,	5282.000,	30, ABS ,	3100,	0
PT,	1,	5282.000,	31, ABS ,	0,	0

PT,	1,	5285.000,	1, ABS ,	0,	0
PT,	1,	5285.000,	2, ABS ,	-3100,	0
PT,	1,	5285.000,	3, ABS ,	-3500,	0
PT,	1,	5285.000,	4, ABS ,	-4000,	0
PT,	1,	5285.000,	5, ABS ,	-4000,	-240
PT,	1,	5285.000,	6, ABS ,	-3500,	-600
PT,	1,	5285.000,	7, ABS ,	-3500,	-11628
PT,	1,	5285.000,	8, ABS ,	-3500,	-12978
PT,	1,	5285.000,	9, ABS ,	-3100,	-12978
PT,	1,	5285.000,	10, ABS ,	0,	-12978
PT,	1,	5285.000,	11, ABS ,	0,	-11778
PT,	1,	5285.000,	12, ABS ,	-2500,	-11778
PT,	1,	5285.000,	13, ABS ,	-3000,	-11628
PT,	1,	5285.000,	14, ABS ,	-3000,	-730
PT,	1,	5285.000,	15, ABS ,	-2200,	-600
PT,	1,	5285.000,	16, ABS ,	0,	-600
PT,	1,	5285.000,	17, ABS ,	2200,	-600
PT,	1,	5285.000,	18, ABS ,	3000,	-730
PT,	1,	5285.000,	19, ABS ,	3000,	-11628
PT,	1,	5285.000,	20, ABS ,	2500,	-11778
PT,	1,	5285.000,	21, ABS ,	0,	-11778
PT,	1,	5285.000,	22, ABS ,	0,	-12978
PT,	1,	5285.000,	23, ABS ,	3100,	-12978
PT,	1,	5285.000,	24, ABS ,	3500,	-12978
PT,	1,	5285.000,	25, ABS ,	3500,	-11628
PT,	1,	5285.000,	26, ABS ,	3500,	-600
PT,	1,	5285.000,	27, ABS ,	4000,	-240
PT,	1,	5285.000,	28, ABS ,	4000,	0
PT,	1,	5285.000,	29, ABS ,	3500,	0
PT,	1,	5285.000,	30, ABS ,	3100,	0
PT,	1,	5285.000,	31, ABS ,	0,	0
PT,	1,	5288.000,	1, ABS ,	0,	0
PT,	1,	5288.000,	2, ABS ,	-3100,	0
PT,	1,	5288.000,	3, ABS ,	-3500,	0
PT,	1,	5288.000,	4, ABS ,	-4000,	0
PT,	1,	5288.000,	5, ABS ,	-4000,	-240
PT,	1,	5288.000,	6, ABS ,	-3500,	-600
PT,	1,	5288.000,	7, ABS ,	-3500,	-12650
PT,	1,	5288.000,	8, ABS ,	-3500,	-14000
PT,	1,	5288.000,	9, ABS ,	-3100,	-14000
PT,	1,	5288.000,	10, ABS ,	0,	-14000
PT,	1,	5288.000,	11, ABS ,	0,	-12800
PT,	1,	5288.000,	12, ABS ,	-2500,	-12800
PT,	1,	5288.000,	13, ABS ,	-3000,	-12650
PT,	1,	5288.000,	14, ABS ,	-3000,	-730
PT,	1,	5288.000,	15, ABS ,	-2200,	-600
PT,	1,	5288.000,	16, ABS ,	0,	-600
PT,	1,	5288.000,	17, ABS ,	2200,	-600
PT,	1,	5288.000,	18, ABS ,	3000,	-730
PT,	1,	5288.000,	19, ABS ,	3000,	-12650
PT,	1,	5288.000,	20, ABS ,	2500,	-12800
PT,	1,	5288.000,	21, ABS ,	0,	-12800
PT,	1,	5288.000,	22, ABS ,	0,	-14000
PT,	1,	5288.000,	23, ABS ,	3100,	-14000
PT,	1,	5288.000,	24, ABS ,	3500,	-14000
PT,	1,	5288.000,	25, ABS ,	3500,	-12650
PT,	1,	5288.000,	26, ABS ,	3500,	-600
PT,	1,	5288.000,	27, ABS ,	4000,	-240
PT,	1,	5288.000,	28, ABS ,	4000,	0
PT,	1,	5288.000,	29, ABS ,	3500,	0
PT,	1,	5288.000,	30, ABS ,	3100,	0
PT,	1,	5288.000,	31, ABS ,	0,	0
PT,	1,	5289.000,	1, ABS ,	0,	0
PT,	1,	5289.000,	2, ABS ,	-3100,	0
PT,	1,	5289.000,	3, ABS ,	-3500,	0
PT,	1,	5289.000,	4, ABS ,	-4000,	0
PT,	1,	5289.000,	5, ABS ,	-4000,	-240
PT,	1,	5289.000,	6, ABS ,	-3500,	-600
PT,	1,	5289.000,	7, ABS ,	-3500,	-12650
PT,	1,	5289.000,	8, ABS ,	-3500,	-14000
PT,	1,	5289.000,	9, ABS ,	-3100,	-14000

PT,	1,	5289.000,	10,	ABS ,	0,	-14000
PT,	1,	5289.000,	11,	ABS ,	0,	-12800
PT,	1,	5289.000,	12,	ABS ,	-2500,	-12800
PT,	1,	5289.000,	13,	ABS ,	-3000,	-12650
PT,	1,	5289.000,	14,	ABS ,	-3000,	-730
PT,	1,	5289.000,	15,	ABS ,	-2200,	-600
PT,	1,	5289.000,	16,	ABS ,	0,	-600
PT,	1,	5289.000,	17,	ABS ,	2200,	-600
PT,	1,	5289.000,	18,	ABS ,	3000,	-730
PT,	1,	5289.000,	19,	ABS ,	3000,	-12650
PT,	1,	5289.000,	20,	ABS ,	2500,	-12800
PT,	1,	5289.000,	21,	ABS ,	0,	-12800
PT,	1,	5289.000,	22,	ABS ,	0,	-14000
PT,	1,	5289.000,	23,	ABS ,	3100,	-14000
PT,	1,	5289.000,	24,	ABS ,	3500,	-14000
PT,	1,	5289.000,	25,	ABS ,	3500,	-12650
PT,	1,	5289.000,	26,	ABS ,	3500,	-600
PT,	1,	5289.000,	27,	ABS ,	4000,	-240
PT,	1,	5289.000,	28,	ABS ,	4000,	0
PT,	1,	5289.000,	29,	ABS ,	3500,	0
PT,	1,	5289.000,	30,	ABS ,	3100,	0
PT,	1,	5289.000,	31,	ABS ,	0,	0

PT,	1,	5292.000,	1,	ABS ,	0,	0
PT,	1,	5292.000,	2,	ABS ,	-3100,	0
PT,	1,	5292.000,	3,	ABS ,	-3500,	0
PT,	1,	5292.000,	4,	ABS ,	-4000,	0
PT,	1,	5292.000,	5,	ABS ,	-4000,	-240
PT,	1,	5292.000,	6,	ABS ,	-3500,	-600
PT,	1,	5292.000,	7,	ABS ,	-3500,	-12650
PT,	1,	5292.000,	8,	ABS ,	-3500,	-14000
PT,	1,	5292.000,	9,	ABS ,	-3100,	-14000
PT,	1,	5292.000,	10,	ABS ,	0,	-14000
PT,	1,	5292.000,	11,	ABS ,	0,	-12800
PT,	1,	5292.000,	12,	ABS ,	-2500,	-12800
PT,	1,	5292.000,	13,	ABS ,	-3000,	-12650
PT,	1,	5292.000,	14,	ABS ,	-3000,	-730
PT,	1,	5292.000,	15,	ABS ,	-2200,	-600
PT,	1,	5292.000,	16,	ABS ,	0,	-600
PT,	1,	5292.000,	17,	ABS ,	2200,	-600
PT,	1,	5292.000,	18,	ABS ,	3000,	-730
PT,	1,	5292.000,	19,	ABS ,	3000,	-12650
PT,	1,	5292.000,	20,	ABS ,	2500,	-12800
PT,	1,	5292.000,	21,	ABS ,	0,	-12800
PT,	1,	5292.000,	22,	ABS ,	0,	-14000
PT,	1,	5292.000,	23,	ABS ,	3100,	-14000
PT,	1,	5292.000,	24,	ABS ,	3500,	-14000
PT,	1,	5292.000,	25,	ABS ,	3500,	-12650
PT,	1,	5292.000,	26,	ABS ,	3500,	-600
PT,	1,	5292.000,	27,	ABS ,	4000,	-240
PT,	1,	5292.000,	28,	ABS ,	4000,	0
PT,	1,	5292.000,	29,	ABS ,	3500,	0
PT,	1,	5292.000,	30,	ABS ,	3100,	0
PT,	1,	5292.000,	31,	ABS ,	0,	0

%%% FRA AKSE 2 + 3 METER + 1 METER +142,5 METER %%

PT,	1,	5295.000,	1,	ABS ,	0,	0
PT,	1,	5295.000,	2,	ABS ,	-3100,	0
PT,	1,	5295.000,	3,	ABS ,	-3500,	0
PT,	1,	5295.000,	4,	ABS ,	-4000,	0
PT,	1,	5295.000,	5,	ABS ,	-4000,	-240
PT,	1,	5295.000,	6,	ABS ,	-3500,	-600
PT,	1,	5295.000,	7,	ABS ,	-3500,	-12650
PT,	1,	5295.000,	8,	ABS ,	-3500,	-14000
PT,	1,	5295.000,	9,	ABS ,	-3100,	-14000
PT,	1,	5295.000,	10,	ABS ,	0,	-14000
PT,	1,	5295.000,	11,	ABS ,	0,	-12800
PT,	1,	5295.000,	12,	ABS ,	-2500,	-12800
PT,	1,	5295.000,	13,	ABS ,	-3000,	-12650
PT,	1,	5295.000,	14,	ABS ,	-3000,	-730
PT,	1,	5295.000,	15,	ABS ,	-2200,	-600
PT,	1,	5295.000,	16,	ABS ,	0,	-600

PT,	1,	5295.000,	17, ABS ,	2200,	-600
PT,	1,	5295.000,	18, ABS ,	3000,	-730
PT,	1,	5295.000,	19, ABS ,	3000,	-12650
PT,	1,	5295.000,	20, ABS ,	2500,	-12800
PT,	1,	5295.000,	21, ABS ,	0,	-12800
PT,	1,	5295.000,	22, ABS ,	0,	-14000
PT,	1,	5295.000,	23, ABS ,	3100,	-14000
PT,	1,	5295.000,	24, ABS ,	3500,	-14000
PT,	1,	5295.000,	25, ABS ,	3500,	-12650
PT,	1,	5295.000,	26, ABS ,	3500,	-600
PT,	1,	5295.000,	27, ABS ,	4000,	-240
PT,	1,	5295.000,	28, ABS ,	4000,	0
PT,	1,	5295.000,	29, ABS ,	3500,	0
PT,	1,	5295.000,	30, ABS ,	3100,	0
PT,	1,	5295.000,	31, ABS ,	0,	0
PT,	1,	5296.000,	1, ABS ,	0,	0
PT,	1,	5296.000,	2, ABS ,	-3100,	0
PT,	1,	5296.000,	3, ABS ,	-3500,	0
PT,	1,	5296.000,	4, ABS ,	-4000,	0
PT,	1,	5296.000,	5, ABS ,	-4000,	-240
PT,	1,	5296.000,	6, ABS ,	-3500,	-600
PT,	1,	5296.000,	7, ABS ,	-3500,	-12650
PT,	1,	5296.000,	8, ABS ,	-3500,	-14000
PT,	1,	5296.000,	9, ABS ,	-3100,	-14000
PT,	1,	5296.000,	10, ABS ,	0,	-14000
PT,	1,	5296.000,	11, ABS ,	0,	-12800
PT,	1,	5296.000,	12, ABS ,	-2500,	-12800
PT,	1,	5296.000,	13, ABS ,	-3000,	-12650
PT,	1,	5296.000,	14, ABS ,	-3000,	-730
PT,	1,	5296.000,	15, ABS ,	-2200,	-600
PT,	1,	5296.000,	16, ABS ,	0,	-600
PT,	1,	5296.000,	17, ABS ,	2200,	-600
PT,	1,	5296.000,	18, ABS ,	3000,	-730
PT,	1,	5296.000,	19, ABS ,	3000,	-12650
PT,	1,	5296.000,	20, ABS ,	2500,	-12800
PT,	1,	5296.000,	21, ABS ,	0,	-12800
PT,	1,	5296.000,	22, ABS ,	0,	-14000
PT,	1,	5296.000,	23, ABS ,	3100,	-14000
PT,	1,	5296.000,	24, ABS ,	3500,	-14000
PT,	1,	5296.000,	25, ABS ,	3500,	-12650
PT,	1,	5296.000,	26, ABS ,	3500,	-600
PT,	1,	5296.000,	27, ABS ,	4000,	-240
PT,	1,	5296.000,	28, ABS ,	4000,	0
PT,	1,	5296.000,	29, ABS ,	3500,	0
PT,	1,	5296.000,	30, ABS ,	3100,	0
PT,	1,	5296.000,	31, ABS ,	0,	0
PT,	1,	5299.000,	1, ABS ,	0,	0
PT,	1,	5299.000,	2, ABS ,	-3100,	0
PT,	1,	5299.000,	3, ABS ,	-3500,	0
PT,	1,	5299.000,	4, ABS ,	-4000,	0
PT,	1,	5299.000,	5, ABS ,	-4000,	-240
PT,	1,	5299.000,	6, ABS ,	-3500,	-600
PT,	1,	5299.000,	7, ABS ,	-3500,	-11703
PT,	1,	5299.000,	8, ABS ,	-3500,	-13053
PT,	1,	5299.000,	9, ABS ,	-3100,	-13053
PT,	1,	5299.000,	10, ABS ,	0,	-13053
PT,	1,	5299.000,	11, ABS ,	0,	-11853
PT,	1,	5299.000,	12, ABS ,	-2500,	-11853
PT,	1,	5299.000,	13, ABS ,	-3000,	-11703
PT,	1,	5299.000,	14, ABS ,	-3000,	-730
PT,	1,	5299.000,	15, ABS ,	-2200,	-600
PT,	1,	5299.000,	16, ABS ,	0,	-600
PT,	1,	5299.000,	17, ABS ,	2200,	-600
PT,	1,	5299.000,	18, ABS ,	3000,	-730
PT,	1,	5299.000,	19, ABS ,	3000,	-11703
PT,	1,	5299.000,	20, ABS ,	2500,	-11853
PT,	1,	5299.000,	21, ABS ,	0,	-11853
PT,	1,	5299.000,	22, ABS ,	0,	-13053
PT,	1,	5299.000,	23, ABS ,	3100,	-13053
PT,	1,	5299.000,	24, ABS ,	3500,	-13053
PT,	1,	5299.000,	25, ABS ,	3500,	-11703
PT,	1,	5299.000,	26, ABS ,	3500,	-600

PT,	1,	5299.000,	27,	ABS,	4000,	-240
PT,	1,	5299.000,	28,	ABS,	4000,	0
PT,	1,	5299.000,	29,	ABS,	3500,	0
PT,	1,	5299.000,	30,	ABS,	3100,	0
PT,	1,	5299.000,	31,	ABS,	0,	0
PT,	1,	5302.000,	1,	ABS,	0,	0
PT,	1,	5302.000,	2,	ABS,	-3100,	0
PT,	1,	5302.000,	3,	ABS,	-3500,	0
PT,	1,	5302.000,	4,	ABS,	-4000,	0
PT,	1,	5302.000,	5,	ABS,	-4000,	-240
PT,	1,	5302.000,	6,	ABS,	-3500,	-600
PT,	1,	5302.000,	7,	ABS,	-3500,	-11301
PT,	1,	5302.000,	8,	ABS,	-3500,	-12601
PT,	1,	5302.000,	9,	ABS,	-3100,	-12601
PT,	1,	5302.000,	10,	ABS,	0,	-12601
PT,	1,	5302.000,	11,	ABS,	0,	-11451
PT,	1,	5302.000,	12,	ABS,	-2500,	-11451
PT,	1,	5302.000,	13,	ABS,	-3000,	-11301
PT,	1,	5302.000,	14,	ABS,	-3000,	-730
PT,	1,	5302.000,	15,	ABS,	-2200,	-600
PT,	1,	5302.000,	16,	ABS,	0,	-600
PT,	1,	5302.000,	17,	ABS,	2200,	-600
PT,	1,	5302.000,	18,	ABS,	3000,	-730
PT,	1,	5302.000,	19,	ABS,	3000,	-11301
PT,	1,	5302.000,	20,	ABS,	2500,	-11451
PT,	1,	5302.000,	21,	ABS,	0,	-11451
PT,	1,	5302.000,	22,	ABS,	0,	-12601
PT,	1,	5302.000,	23,	ABS,	3100,	-12601
PT,	1,	5302.000,	24,	ABS,	3500,	-12601
PT,	1,	5302.000,	25,	ABS,	3500,	-11301
PT,	1,	5302.000,	26,	ABS,	3500,	-600
PT,	1,	5302.000,	27,	ABS,	4000,	-240
PT,	1,	5302.000,	28,	ABS,	4000,	0
PT,	1,	5302.000,	29,	ABS,	3500,	0
PT,	1,	5302.000,	30,	ABS,	3100,	0
PT,	1,	5302.000,	31,	ABS,	0,	0
PT,	1,	5305.750,	1,	ABS,	0,	0
PT,	1,	5305.750,	2,	ABS,	-3100,	0
PT,	1,	5305.750,	3,	ABS,	-3500,	0
PT,	1,	5305.750,	4,	ABS,	-4000,	0
PT,	1,	5305.750,	5,	ABS,	-4000,	-240
PT,	1,	5305.750,	6,	ABS,	-3500,	-600
PT,	1,	5305.750,	7,	ABS,	-3500,	-10806
PT,	1,	5305.750,	8,	ABS,	-3500,	-12056
PT,	1,	5305.750,	9,	ABS,	-3100,	-12056
PT,	1,	5305.750,	10,	ABS,	0,	-12056
PT,	1,	5305.750,	11,	ABS,	0,	-10956
PT,	1,	5305.750,	12,	ABS,	-2500,	-10956
PT,	1,	5305.750,	13,	ABS,	-3000,	-10806
PT,	1,	5305.750,	14,	ABS,	-3000,	-730
PT,	1,	5305.750,	15,	ABS,	-2200,	-600
PT,	1,	5305.750,	16,	ABS,	0,	-600
PT,	1,	5305.750,	17,	ABS,	2200,	-600
PT,	1,	5305.750,	18,	ABS,	3000,	-730
PT,	1,	5305.750,	19,	ABS,	3000,	-10806
PT,	1,	5305.750,	20,	ABS,	2500,	-10956
PT,	1,	5305.750,	21,	ABS,	0,	-10956
PT,	1,	5305.750,	22,	ABS,	0,	-12056
PT,	1,	5305.750,	23,	ABS,	3100,	-12056
PT,	1,	5305.750,	24,	ABS,	3500,	-12056
PT,	1,	5305.750,	25,	ABS,	3500,	-10806
PT,	1,	5305.750,	26,	ABS,	3500,	-600
PT,	1,	5305.750,	27,	ABS,	4000,	-240
PT,	1,	5305.750,	28,	ABS,	4000,	0
PT,	1,	5305.750,	29,	ABS,	3500,	0
PT,	1,	5305.750,	30,	ABS,	3100,	0
PT,	1,	5305.750,	31,	ABS,	0,	0
PT,	1,	5310.750,	1,	ABS,	0,	0
PT,	1,	5310.750,	2,	ABS,	-3100,	0
PT,	1,	5310.750,	3,	ABS,	-3500,	0
PT,	1,	5310.750,	4,	ABS,	-4000,	0

PT,	1,	5310.750,	5,	ABS,	-4000,	-240
PT,	1,	5310.750,	6,	ABS,	-3500,	-600
PT,	1,	5310.750,	7,	ABS,	-3500,	-10160
PT,	1,	5310.750,	8,	ABS,	-3500,	-11360
PT,	1,	5310.750,	9,	ABS,	-3100,	-11360
PT,	1,	5310.750,	10,	ABS,	0,	-11360
PT,	1,	5310.750,	11,	ABS,	0,	-10310
PT,	1,	5310.750,	12,	ABS,	-2500,	-10310
PT,	1,	5310.750,	13,	ABS,	-3000,	-10160
PT,	1,	5310.750,	14,	ABS,	-3000,	-730
PT,	1,	5310.750,	15,	ABS,	-2200,	-600
PT,	1,	5310.750,	16,	ABS,	0,	-600
PT,	1,	5310.750,	17,	ABS,	2200,	-600
PT,	1,	5310.750,	18,	ABS,	3000,	-730
PT,	1,	5310.750,	19,	ABS,	3000,	-10160
PT,	1,	5310.750,	20,	ABS,	2500,	-10310
PT,	1,	5310.750,	21,	ABS,	0,	-10310
PT,	1,	5310.750,	22,	ABS,	0,	-11360
PT,	1,	5310.750,	23,	ABS,	3100,	-11360
PT,	1,	5310.750,	24,	ABS,	3500,	-11360
PT,	1,	5310.750,	25,	ABS,	3500,	-10160
PT,	1,	5310.750,	26,	ABS,	3500,	-600
PT,	1,	5310.750,	27,	ABS,	4000,	-240
PT,	1,	5310.750,	28,	ABS,	4000,	0
PT,	1,	5310.750,	29,	ABS,	3500,	0
PT,	1,	5310.750,	30,	ABS,	3100,	0
PT,	1,	5310.750,	31,	ABS,	0,	0
PT,	1,	5315.750,	1,	ABS,	0,	0
PT,	1,	5315.750,	2,	ABS,	-3100,	0
PT,	1,	5315.750,	3,	ABS,	-3500,	0
PT,	1,	5315.750,	4,	ABS,	-4000,	0
PT,	1,	5315.750,	5,	ABS,	-4000,	-240
PT,	1,	5315.750,	6,	ABS,	-3500,	-600
PT,	1,	5315.750,	7,	ABS,	-3500,	-9550
PT,	1,	5315.750,	8,	ABS,	-3500,	-10700
PT,	1,	5315.750,	9,	ABS,	-3100,	-10700
PT,	1,	5315.750,	10,	ABS,	0,	-10700
PT,	1,	5315.750,	11,	ABS,	0,	-9700
PT,	1,	5315.750,	12,	ABS,	-2500,	-9700
PT,	1,	5315.750,	13,	ABS,	-3000,	-9550
PT,	1,	5315.750,	14,	ABS,	-3000,	-730
PT,	1,	5315.750,	15,	ABS,	-2200,	-600
PT,	1,	5315.750,	16,	ABS,	0,	-600
PT,	1,	5315.750,	17,	ABS,	2200,	-600
PT,	1,	5315.750,	18,	ABS,	3000,	-730
PT,	1,	5315.750,	19,	ABS,	3000,	-9550
PT,	1,	5315.750,	20,	ABS,	2500,	-9700
PT,	1,	5315.750,	21,	ABS,	0,	-9700
PT,	1,	5315.750,	22,	ABS,	0,	-10700
PT,	1,	5315.750,	23,	ABS,	3100,	-10700
PT,	1,	5315.750,	24,	ABS,	3500,	-10700
PT,	1,	5315.750,	25,	ABS,	3500,	-9550
PT,	1,	5315.750,	26,	ABS,	3500,	-600
PT,	1,	5315.750,	27,	ABS,	4000,	-240
PT,	1,	5315.750,	28,	ABS,	4000,	0
PT,	1,	5315.750,	29,	ABS,	3500,	0
PT,	1,	5315.750,	30,	ABS,	3100,	0
PT,	1,	5315.750,	31,	ABS,	0,	0
PT,	1,	5320.750,	1,	ABS,	0,	0
PT,	1,	5320.750,	2,	ABS,	-3100,	0
PT,	1,	5320.750,	3,	ABS,	-3500,	0
PT,	1,	5320.750,	4,	ABS,	-4000,	0
PT,	1,	5320.750,	5,	ABS,	-4000,	-240
PT,	1,	5320.750,	6,	ABS,	-3500,	-600
PT,	1,	5320.750,	7,	ABS,	-3500,	-8974
PT,	1,	5320.750,	8,	ABS,	-3500,	-10074
PT,	1,	5320.750,	9,	ABS,	-3100,	-10074
PT,	1,	5320.750,	10,	ABS,	0,	-10074
PT,	1,	5320.750,	11,	ABS,	0,	-9124
PT,	1,	5320.750,	12,	ABS,	-2500,	-9124
PT,	1,	5320.750,	13,	ABS,	-3000,	-8974
PT,	1,	5320.750,	14,	ABS,	-3000,	-730

PT,	1,	5320.750,	15,	ABS ,	-2200,	-600
PT,	1,	5320.750,	16,	ABS ,	0,	-600
PT,	1,	5320.750,	17,	ABS ,	2200,	-600
PT,	1,	5320.750,	18,	ABS ,	3000,	-730
PT,	1,	5320.750,	19,	ABS ,	3000,	-8974
PT,	1,	5320.750,	20,	ABS ,	2500,	-9124
PT,	1,	5320.750,	21,	ABS ,	0,	-9124
PT,	1,	5320.750,	22,	ABS ,	0,	-10074
PT,	1,	5320.750,	23,	ABS ,	3100,	-10074
PT,	1,	5320.750,	24,	ABS ,	3500,	-10074
PT,	1,	5320.750,	25,	ABS ,	3500,	-8974
PT,	1,	5320.750,	26,	ABS ,	3500,	-600
PT,	1,	5320.750,	27,	ABS ,	4000,	-240
PT,	1,	5320.750,	28,	ABS ,	4000,	0
PT,	1,	5320.750,	29,	ABS ,	3500,	0
PT,	1,	5320.750,	30,	ABS ,	3100,	0
PT,	1,	5320.750,	31,	ABS ,	0,	0
PT,	1,	5325.750,	1,	ABS ,	0,	0
PT,	1,	5325.750,	2,	ABS ,	-3100,	0
PT,	1,	5325.750,	3,	ABS ,	-3500,	0
PT,	1,	5325.750,	4,	ABS ,	-4000,	0
PT,	1,	5325.750,	5,	ABS ,	-4000,	-240
PT,	1,	5325.750,	6,	ABS ,	-3500,	-600
PT,	1,	5325.750,	7,	ABS ,	-3500,	-8431
PT,	1,	5325.750,	8,	ABS ,	-3500,	-9481
PT,	1,	5325.750,	9,	ABS ,	-3100,	-9481
PT,	1,	5325.750,	10,	ABS ,	0,	-9481
PT,	1,	5325.750,	11,	ABS ,	0,	-8581
PT,	1,	5325.750,	12,	ABS ,	-2500,	-8581
PT,	1,	5325.750,	13,	ABS ,	-3000,	-8431
PT,	1,	5325.750,	14,	ABS ,	-3000,	-730
PT,	1,	5325.750,	15,	ABS ,	-2200,	-600
PT,	1,	5325.750,	16,	ABS ,	0,	-600
PT,	1,	5325.750,	17,	ABS ,	2200,	-600
PT,	1,	5325.750,	18,	ABS ,	3000,	-730
PT,	1,	5325.750,	19,	ABS ,	3000,	-8431
PT,	1,	5325.750,	20,	ABS ,	2500,	-8581
PT,	1,	5325.750,	21,	ABS ,	0,	-8581
PT,	1,	5325.750,	22,	ABS ,	0,	-9481
PT,	1,	5325.750,	23,	ABS ,	3100,	-9481
PT,	1,	5325.750,	24,	ABS ,	3500,	-9481
PT,	1,	5325.750,	25,	ABS ,	3500,	-8431
PT,	1,	5325.750,	26,	ABS ,	3500,	-600
PT,	1,	5325.750,	27,	ABS ,	4000,	-240
PT,	1,	5325.750,	28,	ABS ,	4000,	0
PT,	1,	5325.750,	29,	ABS ,	3500,	0
PT,	1,	5325.750,	30,	ABS ,	3100,	0
PT,	1,	5325.750,	31,	ABS ,	0,	0
PT,	1,	5330.750,	1,	ABS ,	0,	0
PT,	1,	5330.750,	2,	ABS ,	-3100,	0
PT,	1,	5330.750,	3,	ABS ,	-3500,	0
PT,	1,	5330.750,	4,	ABS ,	-4000,	0
PT,	1,	5330.750,	5,	ABS ,	-4000,	-240
PT,	1,	5330.750,	6,	ABS ,	-3500,	-600
PT,	1,	5330.750,	7,	ABS ,	-3500,	-7920
PT,	1,	5330.750,	8,	ABS ,	-3500,	-8920
PT,	1,	5330.750,	9,	ABS ,	-3100,	-8920
PT,	1,	5330.750,	10,	ABS ,	0,	-8920
PT,	1,	5330.750,	11,	ABS ,	0,	-8070
PT,	1,	5330.750,	12,	ABS ,	-2500,	-8070
PT,	1,	5330.750,	13,	ABS ,	-3000,	-7920
PT,	1,	5330.750,	14,	ABS ,	-3000,	-730
PT,	1,	5330.750,	15,	ABS ,	-2200,	-600
PT,	1,	5330.750,	16,	ABS ,	0,	-600
PT,	1,	5330.750,	17,	ABS ,	2200,	-600
PT,	1,	5330.750,	18,	ABS ,	3000,	-730
PT,	1,	5330.750,	19,	ABS ,	3000,	-7920
PT,	1,	5330.750,	20,	ABS ,	2500,	-8070
PT,	1,	5330.750,	21,	ABS ,	0,	-8070
PT,	1,	5330.750,	22,	ABS ,	0,	-8920
PT,	1,	5330.750,	23,	ABS ,	3100,	-8920
PT,	1,	5330.750,	24,	ABS ,	3500,	-8920

PT,	1,	5330.750,	25,	ABS ,	3500,	-7920
PT,	1,	5330.750,	26,	ABS ,	3500,	-600
PT,	1,	5330.750,	27,	ABS ,	4000,	-240
PT,	1,	5330.750,	28,	ABS ,	4000,	0
PT,	1,	5330.750,	29,	ABS ,	3500,	0
PT,	1,	5330.750,	30,	ABS ,	3100,	0
PT,	1,	5330.750,	31,	ABS ,	0,	0
PT,	1,	5335.750,	1,	ABS ,	0,	0
PT,	1,	5335.750,	2,	ABS ,	-3100,	0
PT,	1,	5335.750,	3,	ABS ,	-3500,	0
PT,	1,	5335.750,	4,	ABS ,	-4000,	0
PT,	1,	5335.750,	5,	ABS ,	-4000,	-240
PT,	1,	5335.750,	6,	ABS ,	-3500,	-600
PT,	1,	5335.750,	7,	ABS ,	-3500,	-7439
PT,	1,	5335.750,	8,	ABS ,	-3500,	-8389
PT,	1,	5335.750,	9,	ABS ,	-3100,	-8389
PT,	1,	5335.750,	10,	ABS ,	0,	-8389
PT,	1,	5335.750,	11,	ABS ,	0,	-7589
PT,	1,	5335.750,	12,	ABS ,	-2500,	-7589
PT,	1,	5335.750,	13,	ABS ,	-3000,	-7439
PT,	1,	5335.750,	14,	ABS ,	-3000,	-730
PT,	1,	5335.750,	15,	ABS ,	-2200,	-600
PT,	1,	5335.750,	16,	ABS ,	0,	-600
PT,	1,	5335.750,	17,	ABS ,	2200,	-600
PT,	1,	5335.750,	18,	ABS ,	3000,	-730
PT,	1,	5335.750,	19,	ABS ,	3000,	-7439
PT,	1,	5335.750,	20,	ABS ,	2500,	-7589
PT,	1,	5335.750,	21,	ABS ,	0,	-7589
PT,	1,	5335.750,	22,	ABS ,	0,	-8389
PT,	1,	5335.750,	23,	ABS ,	3100,	-8389
PT,	1,	5335.750,	24,	ABS ,	3500,	-8389
PT,	1,	5335.750,	25,	ABS ,	3500,	-7439
PT,	1,	5335.750,	26,	ABS ,	3500,	-600
PT,	1,	5335.750,	27,	ABS ,	4000,	-240
PT,	1,	5335.750,	28,	ABS ,	4000,	0
PT,	1,	5335.750,	29,	ABS ,	3500,	0
PT,	1,	5335.750,	30,	ABS ,	3100,	0
PT,	1,	5335.750,	31,	ABS ,	0,	0
PT,	1,	5340.750,	1,	ABS ,	0,	0
PT,	1,	5340.750,	2,	ABS ,	-3100,	0
PT,	1,	5340.750,	3,	ABS ,	-3500,	0
PT,	1,	5340.750,	4,	ABS ,	-4000,	0
PT,	1,	5340.750,	5,	ABS ,	-4000,	-240
PT,	1,	5340.750,	6,	ABS ,	-3500,	-600
PT,	1,	5340.750,	7,	ABS ,	-3500,	-6989
PT,	1,	5340.750,	8,	ABS ,	-3500,	-7889
PT,	1,	5340.750,	9,	ABS ,	-3100,	-7889
PT,	1,	5340.750,	10,	ABS ,	0,	-7889
PT,	1,	5340.750,	11,	ABS ,	0,	-7139
PT,	1,	5340.750,	12,	ABS ,	-2500,	-7139
PT,	1,	5340.750,	13,	ABS ,	-3000,	-6989
PT,	1,	5340.750,	14,	ABS ,	-3000,	-730
PT,	1,	5340.750,	15,	ABS ,	-2200,	-600
PT,	1,	5340.750,	16,	ABS ,	0,	-600
PT,	1,	5340.750,	17,	ABS ,	2200,	-600
PT,	1,	5340.750,	18,	ABS ,	3000,	-730
PT,	1,	5340.750,	19,	ABS ,	3000,	-6989
PT,	1,	5340.750,	20,	ABS ,	2500,	-7139
PT,	1,	5340.750,	21,	ABS ,	0,	-7139
PT,	1,	5340.750,	22,	ABS ,	0,	-7889
PT,	1,	5340.750,	23,	ABS ,	3100,	-7889
PT,	1,	5340.750,	24,	ABS ,	3500,	-7889
PT,	1,	5340.750,	25,	ABS ,	3500,	-6989
PT,	1,	5340.750,	26,	ABS ,	3500,	-600
PT,	1,	5340.750,	27,	ABS ,	4000,	-240
PT,	1,	5340.750,	28,	ABS ,	4000,	0
PT,	1,	5340.750,	29,	ABS ,	3500,	0
PT,	1,	5340.750,	30,	ABS ,	3100,	0
PT,	1,	5340.750,	31,	ABS ,	0,	0
PT,	1,	5345.750,	1,	ABS ,	0,	0
PT,	1,	5345.750,	2,	ABS ,	-3100,	0

PT,	1,	5345.750,	3, ABS ,	-3500,	0
PT,	1,	5345.750,	4, ABS ,	-4000,	0
PT,	1,	5345.750,	5, ABS ,	-4000,	-240
PT,	1,	5345.750,	6, ABS ,	-3500,	-600
PT,	1,	5345.750,	7, ABS ,	-3500,	-6568
PT,	1,	5345.750,	8, ABS ,	-3500,	-7418
PT,	1,	5345.750,	9, ABS ,	-3100,	-7418
PT,	1,	5345.750,	10, ABS ,	0,	-7418
PT,	1,	5345.750,	11, ABS ,	0,	-6718
PT,	1,	5345.750,	12, ABS ,	-2500,	-6718
PT,	1,	5345.750,	13, ABS ,	-3100,	-6568
PT,	1,	5345.750,	14, ABS ,	-3100,	-730
PT,	1,	5345.750,	15, ABS ,	-2200,	-600
PT,	1,	5345.750,	16, ABS ,	0,	-600
PT,	1,	5345.750,	17, ABS ,	2200,	-600
PT,	1,	5345.750,	18, ABS ,	3100,	-730
PT,	1,	5345.750,	19, ABS ,	3100,	-6568
PT,	1,	5345.750,	20, ABS ,	2500,	-6718
PT,	1,	5345.750,	21, ABS ,	0,	-6718
PT,	1,	5345.750,	22, ABS ,	0,	-7418
PT,	1,	5345.750,	23, ABS ,	3100,	-7418
PT,	1,	5345.750,	24, ABS ,	3500,	-7418
PT,	1,	5345.750,	25, ABS ,	3500,	-6568
PT,	1,	5345.750,	26, ABS ,	3500,	-600
PT,	1,	5345.750,	27, ABS ,	4000,	-240
PT,	1,	5345.750,	28, ABS ,	4000,	0
PT,	1,	5345.750,	29, ABS ,	3500,	0
PT,	1,	5345.750,	30, ABS ,	3100,	0
PT,	1,	5345.750,	31, ABS ,	0,	0
PT,	1,	5350.750,	1, ABS ,	0,	0
PT,	1,	5350.750,	2, ABS ,	-3100,	0
PT,	1,	5350.750,	3, ABS ,	-3500,	0
PT,	1,	5350.750,	4, ABS ,	-4000,	0
PT,	1,	5350.750,	5, ABS ,	-4000,	-240
PT,	1,	5350.750,	6, ABS ,	-3500,	-600
PT,	1,	5350.750,	7, ABS ,	-3500,	-6175
PT,	1,	5350.750,	8, ABS ,	-3500,	-6975
PT,	1,	5350.750,	9, ABS ,	-3100,	-6975
PT,	1,	5350.750,	10, ABS ,	0,	-6975
PT,	1,	5350.750,	11, ABS ,	0,	-6325
PT,	1,	5350.750,	12, ABS ,	-2500,	-6325
PT,	1,	5350.750,	13, ABS ,	-3100,	-6175
PT,	1,	5350.750,	14, ABS ,	-3100,	-730
PT,	1,	5350.750,	15, ABS ,	-2200,	-600
PT,	1,	5350.750,	16, ABS ,	0,	-600
PT,	1,	5350.750,	17, ABS ,	2200,	-600
PT,	1,	5350.750,	18, ABS ,	3100,	-730
PT,	1,	5350.750,	19, ABS ,	3100,	-6175
PT,	1,	5350.750,	20, ABS ,	2500,	-6325
PT,	1,	5350.750,	21, ABS ,	0,	-6325
PT,	1,	5350.750,	22, ABS ,	0,	-6975
PT,	1,	5350.750,	23, ABS ,	3100,	-6975
PT,	1,	5350.750,	24, ABS ,	3500,	-6975
PT,	1,	5350.750,	25, ABS ,	3500,	-6175
PT,	1,	5350.750,	26, ABS ,	3500,	-600
PT,	1,	5350.750,	27, ABS ,	4000,	-240
PT,	1,	5350.750,	28, ABS ,	4000,	0
PT,	1,	5350.750,	29, ABS ,	3500,	0
PT,	1,	5350.750,	30, ABS ,	3100,	0
PT,	1,	5350.750,	31, ABS ,	0,	0
PT,	1,	5355.750,	1, ABS ,	0,	0
PT,	1,	5355.750,	2, ABS ,	-3100,	0
PT,	1,	5355.750,	3, ABS ,	-3500,	0
PT,	1,	5355.750,	4, ABS ,	-4000,	0
PT,	1,	5355.750,	5, ABS ,	-4000,	-240
PT,	1,	5355.750,	6, ABS ,	-3500,	-600
PT,	1,	5355.750,	7, ABS ,	-3500,	-5810
PT,	1,	5355.750,	8, ABS ,	-3500,	-6560
PT,	1,	5355.750,	9, ABS ,	-3100,	-6560
PT,	1,	5355.750,	10, ABS ,	0,	-6560
PT,	1,	5355.750,	11, ABS ,	0,	-5960
PT,	1,	5355.750,	12, ABS ,	-2500,	-5960

PT,	1,	5355.750,	13,	ABS,	-3100,	-5810
PT,	1,	5355.750,	14,	ABS,	-3100,	-730
PT,	1,	5355.750,	15,	ABS,	-2200,	-600
PT,	1,	5355.750,	16,	ABS,	0,	-600
PT,	1,	5355.750,	17,	ABS,	2200,	-600
PT,	1,	5355.750,	18,	ABS,	3100,	-730
PT,	1,	5355.750,	19,	ABS,	3100,	-5810
PT,	1,	5355.750,	20,	ABS,	2500,	-5960
PT,	1,	5355.750,	21,	ABS,	0,	-5960
PT,	1,	5355.750,	22,	ABS,	0,	-6560
PT,	1,	5355.750,	23,	ABS,	3100,	-6560
PT,	1,	5355.750,	24,	ABS,	3500,	-6560
PT,	1,	5355.750,	25,	ABS,	3500,	-5810
PT,	1,	5355.750,	26,	ABS,	3500,	-600
PT,	1,	5355.750,	27,	ABS,	4000,	-240
PT,	1,	5355.750,	28,	ABS,	4000,	0
PT,	1,	5355.750,	29,	ABS,	3500,	0
PT,	1,	5355.750,	30,	ABS,	3100,	0
PT,	1,	5355.750,	31,	ABS,	0,	0
PT,	1,	5360.750,	1,	ABS,	0,	0
PT,	1,	5360.750,	2,	ABS,	-3100,	0
PT,	1,	5360.750,	3,	ABS,	-3500,	0
PT,	1,	5360.750,	4,	ABS,	-4000,	0
PT,	1,	5360.750,	5,	ABS,	-4000,	-240
PT,	1,	5360.750,	6,	ABS,	-3500,	-600
PT,	1,	5360.750,	7,	ABS,	-3500,	-5472
PT,	1,	5360.750,	8,	ABS,	-3500,	-6172
PT,	1,	5360.750,	9,	ABS,	-3100,	-6172
PT,	1,	5360.750,	10,	ABS,	0,	-6172
PT,	1,	5360.750,	11,	ABS,	0,	-5622
PT,	1,	5360.750,	12,	ABS,	-2500,	-5622
PT,	1,	5360.750,	13,	ABS,	-3100,	-5472
PT,	1,	5360.750,	14,	ABS,	-3100,	-730
PT,	1,	5360.750,	15,	ABS,	-2200,	-600
PT,	1,	5360.750,	16,	ABS,	0,	-600
PT,	1,	5360.750,	17,	ABS,	2200,	-600
PT,	1,	5360.750,	18,	ABS,	3100,	-730
PT,	1,	5360.750,	19,	ABS,	3100,	-5472
PT,	1,	5360.750,	20,	ABS,	2500,	-5622
PT,	1,	5360.750,	21,	ABS,	0,	-5622
PT,	1,	5360.750,	22,	ABS,	0,	-6172
PT,	1,	5360.750,	23,	ABS,	3100,	-6172
PT,	1,	5360.750,	24,	ABS,	3500,	-6172
PT,	1,	5360.750,	25,	ABS,	3500,	-5472
PT,	1,	5360.750,	26,	ABS,	3500,	-600
PT,	1,	5360.750,	27,	ABS,	4000,	-240
PT,	1,	5360.750,	28,	ABS,	4000,	0
PT,	1,	5360.750,	29,	ABS,	3500,	0
PT,	1,	5360.750,	30,	ABS,	3100,	0
PT,	1,	5360.750,	31,	ABS,	0,	0
PT,	1,	5365.750,	1,	ABS,	0,	0
PT,	1,	5365.750,	2,	ABS,	-3100,	0
PT,	1,	5365.750,	3,	ABS,	-3500,	0
PT,	1,	5365.750,	4,	ABS,	-4000,	0
PT,	1,	5365.750,	5,	ABS,	-4000,	-240
PT,	1,	5365.750,	6,	ABS,	-3500,	-600
PT,	1,	5365.750,	7,	ABS,	-3500,	-5161
PT,	1,	5365.750,	8,	ABS,	-3500,	-5811
PT,	1,	5365.750,	9,	ABS,	-3100,	-5811
PT,	1,	5365.750,	10,	ABS,	0,	-5811
PT,	1,	5365.750,	11,	ABS,	0,	-5311
PT,	1,	5365.750,	12,	ABS,	-2500,	-5311
PT,	1,	5365.750,	13,	ABS,	-3100,	-5161
PT,	1,	5365.750,	14,	ABS,	-3100,	-730
PT,	1,	5365.750,	15,	ABS,	-2200,	-600
PT,	1,	5365.750,	16,	ABS,	0,	-600
PT,	1,	5365.750,	17,	ABS,	2200,	-600
PT,	1,	5365.750,	18,	ABS,	3100,	-730
PT,	1,	5365.750,	19,	ABS,	3100,	-5161
PT,	1,	5365.750,	20,	ABS,	2500,	-5311
PT,	1,	5365.750,	21,	ABS,	0,	-5311
PT,	1,	5365.750,	22,	ABS,	0,	-5811

PT,	1,	5365.750,	23, ABS ,	3100,	-5811
PT,	1,	5365.750,	24, ABS ,	3500,	-5811
PT,	1,	5365.750,	25, ABS ,	3500,	-5161
PT,	1,	5365.750,	26, ABS ,	3500,	-600
PT,	1,	5365.750,	27, ABS ,	4000,	-240
PT,	1,	5365.750,	28, ABS ,	4000,	0
PT,	1,	5365.750,	29, ABS ,	3500,	0
PT,	1,	5365.750,	30, ABS ,	3100,	0
PT,	1,	5365.750,	31, ABS ,	0,	0
PT,	1,	5370.750,	1, ABS ,	0,	0
PT,	1,	5370.750,	2, ABS ,	-3200,	0
PT,	1,	5370.750,	3, ABS ,	-3500,	0
PT,	1,	5370.750,	4, ABS ,	-4000,	0
PT,	1,	5370.750,	5, ABS ,	-4000,	-240
PT,	1,	5370.750,	6, ABS ,	-3500,	-600
PT,	1,	5370.750,	7, ABS ,	-3500,	-4876
PT,	1,	5370.750,	8, ABS ,	-3500,	-5476
PT,	1,	5370.750,	9, ABS ,	-3200,	-5476
PT,	1,	5370.750,	10, ABS ,	0,	-5476
PT,	1,	5370.750,	11, ABS ,	0,	-5026
PT,	1,	5370.750,	12, ABS ,	-2600,	-5026
PT,	1,	5370.750,	13, ABS ,	-3200,	-4876
PT,	1,	5370.750,	14, ABS ,	-3200,	-600
PT,	1,	5370.750,	15, ABS ,	-2300,	-280
PT,	1,	5370.750,	16, ABS ,	0,	-280
PT,	1,	5370.750,	17, ABS ,	2300,	-280
PT,	1,	5370.750,	18, ABS ,	3200,	-600
PT,	1,	5370.750,	19, ABS ,	3200,	-4876
PT,	1,	5370.750,	20, ABS ,	2600,	-5026
PT,	1,	5370.750,	21, ABS ,	0,	-5026
PT,	1,	5370.750,	22, ABS ,	0,	-5476
PT,	1,	5370.750,	23, ABS ,	3200,	-5476
PT,	1,	5370.750,	24, ABS ,	3500,	-5476
PT,	1,	5370.750,	25, ABS ,	3500,	-4876
PT,	1,	5370.750,	26, ABS ,	3500,	-600
PT,	1,	5370.750,	27, ABS ,	4000,	-240
PT,	1,	5370.750,	28, ABS ,	4000,	0
PT,	1,	5370.750,	29, ABS ,	3500,	0
PT,	1,	5370.750,	30, ABS ,	3200,	0
PT,	1,	5370.750,	31, ABS ,	0,	0
PT,	1,	5375.750,	1, ABS ,	0,	0
PT,	1,	5375.750,	2, ABS ,	-3200,	0
PT,	1,	5375.750,	3, ABS ,	-3500,	0
PT,	1,	5375.750,	4, ABS ,	-4000,	0
PT,	1,	5375.750,	5, ABS ,	-4000,	-240
PT,	1,	5375.750,	6, ABS ,	-3500,	-600
PT,	1,	5375.750,	7, ABS ,	-3500,	-4616
PT,	1,	5375.750,	8, ABS ,	-3500,	-5166
PT,	1,	5375.750,	9, ABS ,	-3200,	-5166
PT,	1,	5375.750,	10, ABS ,	0,	-5166
PT,	1,	5375.750,	11, ABS ,	0,	-4766
PT,	1,	5375.750,	12, ABS ,	-2600,	-4766
PT,	1,	5375.750,	13, ABS ,	-3200,	-4616
PT,	1,	5375.750,	14, ABS ,	-3200,	-600
PT,	1,	5375.750,	15, ABS ,	-2300,	-280
PT,	1,	5375.750,	16, ABS ,	0,	-280
PT,	1,	5375.750,	17, ABS ,	2300,	-280
PT,	1,	5375.750,	18, ABS ,	3200,	-600
PT,	1,	5375.750,	19, ABS ,	3200,	-4616
PT,	1,	5375.750,	20, ABS ,	2600,	-4766
PT,	1,	5375.750,	21, ABS ,	0,	-4766
PT,	1,	5375.750,	22, ABS ,	0,	-5166
PT,	1,	5375.750,	23, ABS ,	3200,	-5166
PT,	1,	5375.750,	24, ABS ,	3500,	-5166
PT,	1,	5375.750,	25, ABS ,	3500,	-4616
PT,	1,	5375.750,	26, ABS ,	3500,	-600
PT,	1,	5375.750,	27, ABS ,	4000,	-240
PT,	1,	5375.750,	28, ABS ,	4000,	0
PT,	1,	5375.750,	29, ABS ,	3500,	0
PT,	1,	5375.750,	30, ABS ,	3200,	0
PT,	1,	5375.750,	31, ABS ,	0,	0

PT,	1,	5380.750,	1, ABS ,	0,	0
PT,	1,	5380.750,	2, ABS ,	-3200,	0
PT,	1,	5380.750,	3, ABS ,	-3500,	0
PT,	1,	5380.750,	4, ABS ,	-4000,	0
PT,	1,	5380.750,	5, ABS ,	-4000,	-240
PT,	1,	5380.750,	6, ABS ,	-3500,	-600
PT,	1,	5380.750,	7, ABS ,	-3500,	-4382
PT,	1,	5380.750,	8, ABS ,	-3500,	-4882
PT,	1,	5380.750,	9, ABS ,	-3200,	-4882
PT,	1,	5380.750,	10, ABS ,	0,	-4882
PT,	1,	5380.750,	11, ABS ,	0,	-4532
PT,	1,	5380.750,	12, ABS ,	-2600,	-4532
PT,	1,	5380.750,	13, ABS ,	-3200,	-4382
PT,	1,	5380.750,	14, ABS ,	-3200,	-600
PT,	1,	5380.750,	15, ABS ,	-2300,	-280
PT,	1,	5380.750,	16, ABS ,	0,	-280
PT,	1,	5380.750,	17, ABS ,	2300,	-280
PT,	1,	5380.750,	18, ABS ,	3200,	-600
PT,	1,	5380.750,	19, ABS ,	3200,	-4382
PT,	1,	5380.750,	20, ABS ,	2600,	-4532
PT,	1,	5380.750,	21, ABS ,	0,	-4532
PT,	1,	5380.750,	22, ABS ,	0,	-4882
PT,	1,	5380.750,	23, ABS ,	3200,	-4882
PT,	1,	5380.750,	24, ABS ,	3500,	-4882
PT,	1,	5380.750,	25, ABS ,	3500,	-4382
PT,	1,	5380.750,	26, ABS ,	3500,	-600
PT,	1,	5380.750,	27, ABS ,	4000,	-240
PT,	1,	5380.750,	28, ABS ,	4000,	0
PT,	1,	5380.750,	29, ABS ,	3500,	0
PT,	1,	5380.750,	30, ABS ,	3200,	0
PT,	1,	5380.750,	31, ABS ,	0,	0
PT,	1,	5385.750,	1, ABS ,	0,	0
PT,	1,	5385.750,	2, ABS ,	-3200,	0
PT,	1,	5385.750,	3, ABS ,	-3500,	0
PT,	1,	5385.750,	4, ABS ,	-4000,	0
PT,	1,	5385.750,	5, ABS ,	-4000,	-240
PT,	1,	5385.750,	6, ABS ,	-3500,	-600
PT,	1,	5385.750,	7, ABS ,	-3500,	-4173
PT,	1,	5385.750,	8, ABS ,	-3500,	-4623
PT,	1,	5385.750,	9, ABS ,	-3200,	-4623
PT,	1,	5385.750,	10, ABS ,	0,	-4623
PT,	1,	5385.750,	11, ABS ,	0,	-4323
PT,	1,	5385.750,	12, ABS ,	-2600,	-4323
PT,	1,	5385.750,	13, ABS ,	-3200,	-4173
PT,	1,	5385.750,	14, ABS ,	-3200,	-600
PT,	1,	5385.750,	15, ABS ,	-2300,	-280
PT,	1,	5385.750,	16, ABS ,	0,	-280
PT,	1,	5385.750,	17, ABS ,	2300,	-280
PT,	1,	5385.750,	18, ABS ,	3200,	-600
PT,	1,	5385.750,	19, ABS ,	3200,	-4173
PT,	1,	5385.750,	20, ABS ,	2600,	-4323
PT,	1,	5385.750,	21, ABS ,	0,	-4323
PT,	1,	5385.750,	22, ABS ,	0,	-4623
PT,	1,	5385.750,	23, ABS ,	3200,	-4623
PT,	1,	5385.750,	24, ABS ,	3500,	-4623
PT,	1,	5385.750,	25, ABS ,	3500,	-4173
PT,	1,	5385.750,	26, ABS ,	3500,	-600
PT,	1,	5385.750,	27, ABS ,	4000,	-240
PT,	1,	5385.750,	28, ABS ,	4000,	0
PT,	1,	5385.750,	29, ABS ,	3500,	0
PT,	1,	5385.750,	30, ABS ,	3200,	0
PT,	1,	5385.750,	31, ABS ,	0,	0
PT,	1,	5390.750,	1, ABS ,	0,	0
PT,	1,	5390.750,	2, ABS ,	-3200,	0
PT,	1,	5390.750,	3, ABS ,	-3500,	0
PT,	1,	5390.750,	4, ABS ,	-4000,	0
PT,	1,	5390.750,	5, ABS ,	-4000,	-240
PT,	1,	5390.750,	6, ABS ,	-3500,	-600
PT,	1,	5390.750,	7, ABS ,	-3500,	-3978
PT,	1,	5390.750,	8, ABS ,	-3500,	-4388
PT,	1,	5390.750,	9, ABS ,	-3200,	-4388
PT,	1,	5390.750,	10, ABS ,	0,	-4388

PT,	1,	5390.750,	11,	ABS ,	0,	-4128
PT,	1,	5390.750,	12,	ABS ,	-2600,	-4128
PT,	1,	5390.750,	13,	ABS ,	-3200,	-3978
PT,	1,	5390.750,	14,	ABS ,	-3200,	-600
PT,	1,	5390.750,	15,	ABS ,	-2300,	-280
PT,	1,	5390.750,	16,	ABS ,	0,	-280
PT,	1,	5390.750,	17,	ABS ,	2300,	-280
PT,	1,	5390.750,	18,	ABS ,	3200,	-600
PT,	1,	5390.750,	19,	ABS ,	3200,	-3978
PT,	1,	5390.750,	20,	ABS ,	2600,	-4128
PT,	1,	5390.750,	21,	ABS ,	0,	-4128
PT,	1,	5390.750,	22,	ABS ,	0,	-4388
PT,	1,	5390.750,	23,	ABS ,	3200,	-4388
PT,	1,	5390.750,	24,	ABS ,	3500,	-4388
PT,	1,	5390.750,	25,	ABS ,	3500,	-3978
PT,	1,	5390.750,	26,	ABS ,	3500,	-600
PT,	1,	5390.750,	27,	ABS ,	4000,	-240
PT,	1,	5390.750,	28,	ABS ,	4000,	0
PT,	1,	5390.750,	29,	ABS ,	3500,	0
PT,	1,	5390.750,	30,	ABS ,	3200,	0
PT,	1,	5390.750,	31,	ABS ,	0,	0
PT,	1,	5395.750,	1,	ABS ,	0,	0
PT,	1,	5395.750,	2,	ABS ,	-3200,	0
PT,	1,	5395.750,	3,	ABS ,	-3500,	0
PT,	1,	5395.750,	4,	ABS ,	-4000,	0
PT,	1,	5395.750,	5,	ABS ,	-4000,	-240
PT,	1,	5395.750,	6,	ABS ,	-3500,	-600
PT,	1,	5395.750,	7,	ABS ,	-3500,	-3767
PT,	1,	5395.750,	8,	ABS ,	-3500,	-4177
PT,	1,	5395.750,	9,	ABS ,	-3200,	-4177
PT,	1,	5395.750,	10,	ABS ,	0,	-4177
PT,	1,	5395.750,	11,	ABS ,	0,	-3917
PT,	1,	5395.750,	12,	ABS ,	-2600,	-3917
PT,	1,	5395.750,	13,	ABS ,	-3200,	-3767
PT,	1,	5395.750,	14,	ABS ,	-3200,	-600
PT,	1,	5395.750,	15,	ABS ,	-2300,	-280
PT,	1,	5395.750,	16,	ABS ,	0,	-280
PT,	1,	5395.750,	17,	ABS ,	2300,	-280
PT,	1,	5395.750,	18,	ABS ,	3200,	-600
PT,	1,	5395.750,	19,	ABS ,	3200,	-3767
PT,	1,	5395.750,	20,	ABS ,	2600,	-3917
PT,	1,	5395.750,	21,	ABS ,	0,	-3917
PT,	1,	5395.750,	22,	ABS ,	0,	-4177
PT,	1,	5395.750,	23,	ABS ,	3200,	-4177
PT,	1,	5395.750,	24,	ABS ,	3500,	-4177
PT,	1,	5395.750,	25,	ABS ,	3500,	-3767
PT,	1,	5395.750,	26,	ABS ,	3500,	-600
PT,	1,	5395.750,	27,	ABS ,	4000,	-240
PT,	1,	5395.750,	28,	ABS ,	4000,	0
PT,	1,	5395.750,	29,	ABS ,	3500,	0
PT,	1,	5395.750,	30,	ABS ,	3200,	0
PT,	1,	5395.750,	31,	ABS ,	0,	0
PT,	1,	5400.750,	1,	ABS ,	0,	0
PT,	1,	5400.750,	2,	ABS ,	-3200,	0
PT,	1,	5400.750,	3,	ABS ,	-3500,	0
PT,	1,	5400.750,	4,	ABS ,	-4000,	0
PT,	1,	5400.750,	5,	ABS ,	-4000,	-240
PT,	1,	5400.750,	6,	ABS ,	-3500,	-600
PT,	1,	5400.750,	7,	ABS ,	-3500,	-3581
PT,	1,	5400.750,	8,	ABS ,	-3500,	-3991
PT,	1,	5400.750,	9,	ABS ,	-3200,	-3991
PT,	1,	5400.750,	10,	ABS ,	0,	-3991
PT,	1,	5400.750,	11,	ABS ,	0,	-3731
PT,	1,	5400.750,	12,	ABS ,	-2600,	-3731
PT,	1,	5400.750,	13,	ABS ,	-3200,	-3581
PT,	1,	5400.750,	14,	ABS ,	-3200,	-600
PT,	1,	5400.750,	15,	ABS ,	-2300,	-280
PT,	1,	5400.750,	16,	ABS ,	0,	-280
PT,	1,	5400.750,	17,	ABS ,	2300,	-280
PT,	1,	5400.750,	18,	ABS ,	3200,	-600
PT,	1,	5400.750,	19,	ABS ,	3200,	-3581
PT,	1,	5400.750,	20,	ABS ,	2600,	-3731

PT,	1,	5400.750,	21, ABS ,	0,	-3731
PT,	1,	5400.750,	22, ABS ,	0,	-3991
PT,	1,	5400.750,	23, ABS ,	3200,	-3991
PT,	1,	5400.750,	24, ABS ,	3500,	-3991
PT,	1,	5400.750,	25, ABS ,	3500,	-3581
PT,	1,	5400.750,	26, ABS ,	3500,	-600
PT,	1,	5400.750,	27, ABS ,	4000,	-240
PT,	1,	5400.750,	28, ABS ,	4000,	0
PT,	1,	5400.750,	29, ABS ,	3500,	0
PT,	1,	5400.750,	30, ABS ,	3200,	0
PT,	1,	5400.750,	31, ABS ,	0,	0
PT,	1,	5405.750,	1, ABS ,	0,	0
PT,	1,	5405.750,	2, ABS ,	-3200,	0
PT,	1,	5405.750,	3, ABS ,	-3500,	0
PT,	1,	5405.750,	4, ABS ,	-4000,	0
PT,	1,	5405.750,	5, ABS ,	-4000,	-240
PT,	1,	5405.750,	6, ABS ,	-3500,	-600
PT,	1,	5405.750,	7, ABS ,	-3500,	-3418
PT,	1,	5405.750,	8, ABS ,	-3500,	-3828
PT,	1,	5405.750,	9, ABS ,	-3200,	-3828
PT,	1,	5405.750,	10, ABS ,	0,	-3828
PT,	1,	5405.750,	11, ABS ,	0,	-3568
PT,	1,	5405.750,	12, ABS ,	-2600,	-3568
PT,	1,	5405.750,	13, ABS ,	-3200,	-3418
PT,	1,	5405.750,	14, ABS ,	-3200,	-600
PT,	1,	5405.750,	15, ABS ,	-2300,	-280
PT,	1,	5405.750,	16, ABS ,	0,	-280
PT,	1,	5405.750,	17, ABS ,	2300,	-280
PT,	1,	5405.750,	18, ABS ,	3200,	-600
PT,	1,	5405.750,	19, ABS ,	3200,	-3418
PT,	1,	5405.750,	20, ABS ,	2600,	-3568
PT,	1,	5405.750,	21, ABS ,	0,	-3568
PT,	1,	5405.750,	22, ABS ,	0,	-3828
PT,	1,	5405.750,	23, ABS ,	3200,	-3828
PT,	1,	5405.750,	24, ABS ,	3500,	-3828
PT,	1,	5405.750,	25, ABS ,	3500,	-3418
PT,	1,	5405.750,	26, ABS ,	3500,	-600
PT,	1,	5405.750,	27, ABS ,	4000,	-240
PT,	1,	5405.750,	28, ABS ,	4000,	0
PT,	1,	5405.750,	29, ABS ,	3500,	0
PT,	1,	5405.750,	30, ABS ,	3200,	0
PT,	1,	5405.750,	31, ABS ,	0,	0
PT,	1,	5410.750,	1, ABS ,	0,	0
PT,	1,	5410.750,	2, ABS ,	-3200,	0
PT,	1,	5410.750,	3, ABS ,	-3500,	0
PT,	1,	5410.750,	4, ABS ,	-4000,	0
PT,	1,	5410.750,	5, ABS ,	-4000,	-240
PT,	1,	5410.750,	6, ABS ,	-3500,	-600
PT,	1,	5410.750,	7, ABS ,	-3500,	-3279
PT,	1,	5410.750,	8, ABS ,	-3500,	-3689
PT,	1,	5410.750,	9, ABS ,	-3200,	-3689
PT,	1,	5410.750,	10, ABS ,	0,	-3689
PT,	1,	5410.750,	11, ABS ,	0,	-3429
PT,	1,	5410.750,	12, ABS ,	-2600,	-3429
PT,	1,	5410.750,	13, ABS ,	-3200,	-3279
PT,	1,	5410.750,	14, ABS ,	-3200,	-600
PT,	1,	5410.750,	15, ABS ,	-2300,	-280
PT,	1,	5410.750,	16, ABS ,	0,	-280
PT,	1,	5410.750,	17, ABS ,	2300,	-280
PT,	1,	5410.750,	18, ABS ,	3200,	-600
PT,	1,	5410.750,	19, ABS ,	3200,	-3279
PT,	1,	5410.750,	20, ABS ,	2600,	-3429
PT,	1,	5410.750,	21, ABS ,	0,	-3429
PT,	1,	5410.750,	22, ABS ,	0,	-3689
PT,	1,	5410.750,	23, ABS ,	3200,	-3689
PT,	1,	5410.750,	24, ABS ,	3500,	-3689
PT,	1,	5410.750,	25, ABS ,	3500,	-3279
PT,	1,	5410.750,	26, ABS ,	3500,	-600
PT,	1,	5410.750,	27, ABS ,	4000,	-240
PT,	1,	5410.750,	28, ABS ,	4000,	0
PT,	1,	5410.750,	29, ABS ,	3500,	0
PT,	1,	5410.750,	30, ABS ,	3200,	0

PT,	1,	5410.750,	31, ABS ,	0,	0
PT,	1,	5415.750,	1, ABS ,	0,	0
PT,	1,	5415.750,	2, ABS ,	-3200,	0
PT,	1,	5415.750,	3, ABS ,	-3500,	0
PT,	1,	5415.750,	4, ABS ,	-4000,	0
PT,	1,	5415.750,	5, ABS ,	-4000,	-240
PT,	1,	5415.750,	6, ABS ,	-3500,	-600
PT,	1,	5415.750,	7, ABS ,	-3500,	-3164
PT,	1,	5415.750,	8, ABS ,	-3500,	-3574
PT,	1,	5415.750,	9, ABS ,	-3200,	-3574
PT,	1,	5415.750,	10, ABS ,	0,	-3574
PT,	1,	5415.750,	11, ABS ,	0,	-3314
PT,	1,	5415.750,	12, ABS ,	-2600,	-3314
PT,	1,	5415.750,	13, ABS ,	-3200,	-3164
PT,	1,	5415.750,	14, ABS ,	-3200,	-600
PT,	1,	5415.750,	15, ABS ,	-2300,	-280
PT,	1,	5415.750,	16, ABS ,	0,	-280
PT,	1,	5415.750,	17, ABS ,	2300,	-280
PT,	1,	5415.750,	18, ABS ,	3200,	-600
PT,	1,	5415.750,	19, ABS ,	3200,	-3164
PT,	1,	5415.750,	20, ABS ,	2600,	-3314
PT,	1,	5415.750,	21, ABS ,	0,	-3314
PT,	1,	5415.750,	22, ABS ,	0,	-3574
PT,	1,	5415.750,	23, ABS ,	3200,	-3574
PT,	1,	5415.750,	24, ABS ,	3500,	-3574
PT,	1,	5415.750,	25, ABS ,	3500,	-3164
PT,	1,	5415.750,	26, ABS ,	3500,	-600
PT,	1,	5415.750,	27, ABS ,	4000,	-240
PT,	1,	5415.750,	28, ABS ,	4000,	0
PT,	1,	5415.750,	29, ABS ,	3500,	0
PT,	1,	5415.750,	30, ABS ,	3200,	0
PT,	1,	5415.750,	31, ABS ,	0,	0
PT,	1,	5420.750,	1, ABS ,	0,	0
PT,	1,	5420.750,	2, ABS ,	-3200,	0
PT,	1,	5420.750,	3, ABS ,	-3500,	0
PT,	1,	5420.750,	4, ABS ,	-4000,	0
PT,	1,	5420.750,	5, ABS ,	-4000,	-240
PT,	1,	5420.750,	6, ABS ,	-3500,	-600
PT,	1,	5420.750,	7, ABS ,	-3500,	-3071
PT,	1,	5420.750,	8, ABS ,	-3500,	-3481
PT,	1,	5420.750,	9, ABS ,	-3200,	-3481
PT,	1,	5420.750,	10, ABS ,	0,	-3481
PT,	1,	5420.750,	11, ABS ,	0,	-3221
PT,	1,	5420.750,	12, ABS ,	-2600,	-3221
PT,	1,	5420.750,	13, ABS ,	-3200,	-3071
PT,	1,	5420.750,	14, ABS ,	-3200,	-600
PT,	1,	5420.750,	15, ABS ,	-2300,	-280
PT,	1,	5420.750,	16, ABS ,	0,	-280
PT,	1,	5420.750,	17, ABS ,	2300,	-280
PT,	1,	5420.750,	18, ABS ,	3200,	-600
PT,	1,	5420.750,	19, ABS ,	3200,	-3071
PT,	1,	5420.750,	20, ABS ,	2600,	-3221
PT,	1,	5420.750,	21, ABS ,	0,	-3221
PT,	1,	5420.750,	22, ABS ,	0,	-3481
PT,	1,	5420.750,	23, ABS ,	3200,	-3481
PT,	1,	5420.750,	24, ABS ,	3500,	-3481
PT,	1,	5420.750,	25, ABS ,	3500,	-3071
PT,	1,	5420.750,	26, ABS ,	3500,	-600
PT,	1,	5420.750,	27, ABS ,	4000,	-240
PT,	1,	5420.750,	28, ABS ,	4000,	0
PT,	1,	5420.750,	29, ABS ,	3500,	0
PT,	1,	5420.750,	30, ABS ,	3200,	0
PT,	1,	5420.750,	31, ABS ,	0,	0
PT,	1,	5425.750,	1, ABS ,	0,	0
PT,	1,	5425.750,	2, ABS ,	-3200,	0
PT,	1,	5425.750,	3, ABS ,	-3500,	0
PT,	1,	5425.750,	4, ABS ,	-4000,	0
PT,	1,	5425.750,	5, ABS ,	-4000,	-240
PT,	1,	5425.750,	6, ABS ,	-3500,	-600
PT,	1,	5425.750,	7, ABS ,	-3500,	-3002
PT,	1,	5425.750,	8, ABS ,	-3500,	-3412

PT,	1,	5425.750,	9,	ABS,	-3200,	-3412
PT,	1,	5425.750,	10,	ABS,	0,	-3412
PT,	1,	5425.750,	11,	ABS,	0,	-3152
PT,	1,	5425.750,	12,	ABS,	-2600,	-3152
PT,	1,	5425.750,	13,	ABS,	-3200,	-3002
PT,	1,	5425.750,	14,	ABS,	-3200,	-600
PT,	1,	5425.750,	15,	ABS,	-2300,	-280
PT,	1,	5425.750,	16,	ABS,	0,	-280
PT,	1,	5425.750,	17,	ABS,	2300,	-280
PT,	1,	5425.750,	18,	ABS,	3200,	-600
PT,	1,	5425.750,	19,	ABS,	3200,	-3002
PT,	1,	5425.750,	20,	ABS,	2600,	-3152
PT,	1,	5425.750,	21,	ABS,	0,	-3152
PT,	1,	5425.750,	22,	ABS,	0,	-3412
PT,	1,	5425.750,	23,	ABS,	3200,	-3412
PT,	1,	5425.750,	24,	ABS,	3500,	-3412
PT,	1,	5425.750,	25,	ABS,	3500,	-3002
PT,	1,	5425.750,	26,	ABS,	3500,	-600
PT,	1,	5425.750,	27,	ABS,	4000,	-240
PT,	1,	5425.750,	28,	ABS,	4000,	0
PT,	1,	5425.750,	29,	ABS,	3500,	0
PT,	1,	5425.750,	30,	ABS,	3200,	0
PT,	1,	5425.750,	31,	ABS,	0,	0
PT,	1,	5430.750,	1,	ABS,	0,	0
PT,	1,	5430.750,	2,	ABS,	-3200,	0
PT,	1,	5430.750,	3,	ABS,	-3500,	0
PT,	1,	5430.750,	4,	ABS,	-4000,	0
PT,	1,	5430.750,	5,	ABS,	-4000,	-240
PT,	1,	5430.750,	6,	ABS,	-3500,	-600
PT,	1,	5430.750,	7,	ABS,	-3500,	-2956
PT,	1,	5430.750,	8,	ABS,	-3500,	-3366
PT,	1,	5430.750,	9,	ABS,	-3200,	-3366
PT,	1,	5430.750,	10,	ABS,	0,	-3366
PT,	1,	5430.750,	11,	ABS,	0,	-3106
PT,	1,	5430.750,	12,	ABS,	-2600,	-3106
PT,	1,	5430.750,	13,	ABS,	-3200,	-2956
PT,	1,	5430.750,	14,	ABS,	-3200,	-600
PT,	1,	5430.750,	15,	ABS,	-2300,	-280
PT,	1,	5430.750,	16,	ABS,	0,	-280
PT,	1,	5430.750,	17,	ABS,	2300,	-280
PT,	1,	5430.750,	18,	ABS,	3200,	-600
PT,	1,	5430.750,	19,	ABS,	3200,	-2956
PT,	1,	5430.750,	20,	ABS,	2600,	-3106
PT,	1,	5430.750,	21,	ABS,	0,	-3106
PT,	1,	5430.750,	22,	ABS,	0,	-3366
PT,	1,	5430.750,	23,	ABS,	3200,	-3366
PT,	1,	5430.750,	24,	ABS,	3500,	-3366
PT,	1,	5430.750,	25,	ABS,	3500,	-2956
PT,	1,	5430.750,	26,	ABS,	3500,	-600
PT,	1,	5430.750,	27,	ABS,	4000,	-240
PT,	1,	5430.750,	28,	ABS,	4000,	0
PT,	1,	5430.750,	29,	ABS,	3500,	0
PT,	1,	5430.750,	30,	ABS,	3200,	0
PT,	1,	5430.750,	31,	ABS,	0,	0
PT,	1,	5435.750,	1,	ABS,	0,	0
PT,	1,	5435.750,	2,	ABS,	-3200,	0
PT,	1,	5435.750,	3,	ABS,	-3500,	0
PT,	1,	5435.750,	4,	ABS,	-4000,	0
PT,	1,	5435.750,	5,	ABS,	-4000,	-240
PT,	1,	5435.750,	6,	ABS,	-3500,	-600
PT,	1,	5435.750,	7,	ABS,	-3500,	-2933
PT,	1,	5435.750,	8,	ABS,	-3500,	-3343
PT,	1,	5435.750,	9,	ABS,	-3200,	-3343
PT,	1,	5435.750,	10,	ABS,	0,	-3343
PT,	1,	5435.750,	11,	ABS,	0,	-3083
PT,	1,	5435.750,	12,	ABS,	-2600,	-3083
PT,	1,	5435.750,	13,	ABS,	-3200,	-2933
PT,	1,	5435.750,	14,	ABS,	-3200,	-600
PT,	1,	5435.750,	15,	ABS,	-2300,	-280
PT,	1,	5435.750,	16,	ABS,	0,	-280
PT,	1,	5435.750,	17,	ABS,	2300,	-280
PT,	1,	5435.750,	18,	ABS,	3200,	-600

PT,	1,	5435.750,	19,	ABS ,	3200,	-2933
PT,	1,	5435.750,	20,	ABS ,	2600,	-3083
PT,	1,	5435.750,	21,	ABS ,	0,	-3083
PT,	1,	5435.750,	22,	ABS ,	0,	-3343
PT,	1,	5435.750,	23,	ABS ,	3200,	-3343
PT,	1,	5435.750,	24,	ABS ,	3500,	-3343
PT,	1,	5435.750,	25,	ABS ,	3500,	-2933
PT,	1,	5435.750,	26,	ABS ,	3500,	-600
PT,	1,	5435.750,	27,	ABS ,	4000,	-240
PT,	1,	5435.750,	28,	ABS ,	4000,	0
PT,	1,	5435.750,	29,	ABS ,	3500,	0
PT,	1,	5435.750,	30,	ABS ,	3200,	0
PT,	1,	5435.750,	31,	ABS ,	0,	0

PT,	1,	5438.250,	1,	ABS ,	0,	0
PT,	1,	5438.250,	2,	ABS ,	-3200,	0
PT,	1,	5438.250,	3,	ABS ,	-3500,	0
PT,	1,	5438.250,	4,	ABS ,	-4000,	0
PT,	1,	5438.250,	5,	ABS ,	-4000,	-240
PT,	1,	5438.250,	6,	ABS ,	-3500,	-600
PT,	1,	5438.250,	7,	ABS ,	-3500,	-2930
PT,	1,	5438.250,	8,	ABS ,	-3500,	-3340
PT,	1,	5438.250,	9,	ABS ,	-3200,	-3340
PT,	1,	5438.250,	10,	ABS ,	0,	-3340
PT,	1,	5438.250,	11,	ABS ,	0,	-3080
PT,	1,	5438.250,	12,	ABS ,	-2600,	-3080
PT,	1,	5438.250,	13,	ABS ,	-3200,	-2930
PT,	1,	5438.250,	14,	ABS ,	-3200,	-600
PT,	1,	5438.250,	15,	ABS ,	-2300,	-280
PT,	1,	5438.250,	16,	ABS ,	0,	-280
PT,	1,	5438.250,	17,	ABS ,	2300,	-280
PT,	1,	5438.250,	18,	ABS ,	3200,	-600
PT,	1,	5438.250,	19,	ABS ,	3200,	-2930
PT,	1,	5438.250,	20,	ABS ,	2600,	-3080
PT,	1,	5438.250,	21,	ABS ,	0,	-3080
PT,	1,	5438.250,	22,	ABS ,	0,	-3340
PT,	1,	5438.250,	23,	ABS ,	3200,	-3340
PT,	1,	5438.250,	24,	ABS ,	3500,	-3340
PT,	1,	5438.250,	25,	ABS ,	3500,	-2930
PT,	1,	5438.250,	26,	ABS ,	3500,	-600
PT,	1,	5438.250,	27,	ABS ,	4000,	-240
PT,	1,	5438.250,	28,	ABS ,	4000,	0
PT,	1,	5438.250,	29,	ABS ,	3500,	0
PT,	1,	5438.250,	30,	ABS ,	3200,	0
PT,	1,	5438.250,	31,	ABS ,	0,	0

% Fra akse 3 -4 -139,75

PT,	1,	5443.250,	1,	ABS ,	0,	0
PT,	1,	5443.250,	2,	ABS ,	-3200,	0
PT,	1,	5443.250,	3,	ABS ,	-3500,	0
PT,	1,	5443.250,	4,	ABS ,	-4000,	0
PT,	1,	5443.250,	5,	ABS ,	-4000,	-240
PT,	1,	5443.250,	6,	ABS ,	-3500,	-600
PT,	1,	5443.250,	7,	ABS ,	-3500,	-2956
PT,	1,	5443.250,	8,	ABS ,	-3500,	-3366
PT,	1,	5443.250,	9,	ABS ,	-3200,	-3366
PT,	1,	5443.250,	10,	ABS ,	0,	-3366
PT,	1,	5443.250,	11,	ABS ,	0,	-3106
PT,	1,	5443.250,	12,	ABS ,	-2600,	-3106
PT,	1,	5443.250,	13,	ABS ,	-3200,	-2956
PT,	1,	5443.250,	14,	ABS ,	-3200,	-600
PT,	1,	5443.250,	15,	ABS ,	-2300,	-280
PT,	1,	5443.250,	16,	ABS ,	0,	-280
PT,	1,	5443.250,	17,	ABS ,	2300,	-280
PT,	1,	5443.250,	18,	ABS ,	3200,	-600
PT,	1,	5443.250,	19,	ABS ,	3200,	-2956
PT,	1,	5443.250,	20,	ABS ,	2600,	-3106
PT,	1,	5443.250,	21,	ABS ,	0,	-3106
PT,	1,	5443.250,	22,	ABS ,	0,	-3366
PT,	1,	5443.250,	23,	ABS ,	3200,	-3366
PT,	1,	5443.250,	24,	ABS ,	3500,	-3366
PT,	1,	5443.250,	25,	ABS ,	3500,	-2956

PT,	1,	5443.250,	26,	ABS ,	3500,	-600
PT,	1,	5443.250,	27,	ABS ,	4000,	-240
PT,	1,	5443.250,	28,	ABS ,	4000,	0
PT,	1,	5443.250,	29,	ABS ,	3500,	0
PT,	1,	5443.250,	30,	ABS ,	3200,	0
PT,	1,	5443.250,	31,	ABS ,	0,	0
PT,	1,	5448.250,	1,	ABS ,	0,	0
PT,	1,	5448.250,	2,	ABS ,	-3200,	0
PT,	1,	5448.250,	3,	ABS ,	-3500,	0
PT,	1,	5448.250,	4,	ABS ,	-4000,	0
PT,	1,	5448.250,	5,	ABS ,	-4000,	-240
PT,	1,	5448.250,	6,	ABS ,	-3500,	-600
PT,	1,	5448.250,	7,	ABS ,	-3500,	-3002
PT,	1,	5448.250,	8,	ABS ,	-3500,	-3412
PT,	1,	5448.250,	9,	ABS ,	-3200,	-3412
PT,	1,	5448.250,	10,	ABS ,	0,	-3412
PT,	1,	5448.250,	11,	ABS ,	0,	-3152
PT,	1,	5448.250,	12,	ABS ,	-2600,	-3152
PT,	1,	5448.250,	13,	ABS ,	-3200,	-3002
PT,	1,	5448.250,	14,	ABS ,	-3200,	-600
PT,	1,	5448.250,	15,	ABS ,	-2300,	-280
PT,	1,	5448.250,	16,	ABS ,	0,	-280
PT,	1,	5448.250,	17,	ABS ,	2300,	-280
PT,	1,	5448.250,	18,	ABS ,	3200,	-600
PT,	1,	5448.250,	19,	ABS ,	3200,	-3002
PT,	1,	5448.250,	20,	ABS ,	2600,	-3152
PT,	1,	5448.250,	21,	ABS ,	0,	-3152
PT,	1,	5448.250,	22,	ABS ,	0,	-3412
PT,	1,	5448.250,	23,	ABS ,	3200,	-3412
PT,	1,	5448.250,	24,	ABS ,	3500,	-3412
PT,	1,	5448.250,	25,	ABS ,	3500,	-3002
PT,	1,	5448.250,	26,	ABS ,	3500,	-600
PT,	1,	5448.250,	27,	ABS ,	4000,	-240
PT,	1,	5448.250,	28,	ABS ,	4000,	0
PT,	1,	5448.250,	29,	ABS ,	3500,	0
PT,	1,	5448.250,	30,	ABS ,	3200,	0
PT,	1,	5448.250,	31,	ABS ,	0,	0
PT,	1,	5453.250,	1,	ABS ,	0,	0
PT,	1,	5453.250,	2,	ABS ,	-3200,	0
PT,	1,	5453.250,	3,	ABS ,	-3500,	0
PT,	1,	5453.250,	4,	ABS ,	-4000,	0
PT,	1,	5453.250,	5,	ABS ,	-4000,	-240
PT,	1,	5453.250,	6,	ABS ,	-3500,	-600
PT,	1,	5453.250,	7,	ABS ,	-3500,	-3071
PT,	1,	5453.250,	8,	ABS ,	-3500,	-3481
PT,	1,	5453.250,	9,	ABS ,	-3200,	-3481
PT,	1,	5453.250,	10,	ABS ,	0,	-3481
PT,	1,	5453.250,	11,	ABS ,	0,	-3221
PT,	1,	5453.250,	12,	ABS ,	-2600,	-3221
PT,	1,	5453.250,	13,	ABS ,	-3200,	-3071
PT,	1,	5453.250,	14,	ABS ,	-3200,	-600
PT,	1,	5453.250,	15,	ABS ,	-2300,	-280
PT,	1,	5453.250,	16,	ABS ,	0,	-280
PT,	1,	5453.250,	17,	ABS ,	2300,	-280
PT,	1,	5453.250,	18,	ABS ,	3200,	-600
PT,	1,	5453.250,	19,	ABS ,	3200,	-3071
PT,	1,	5453.250,	20,	ABS ,	2600,	-3221
PT,	1,	5453.250,	21,	ABS ,	0,	-3221
PT,	1,	5453.250,	22,	ABS ,	0,	-3481
PT,	1,	5453.250,	23,	ABS ,	3200,	-3481
PT,	1,	5453.250,	24,	ABS ,	3500,	-3481
PT,	1,	5453.250,	25,	ABS ,	3500,	-3071
PT,	1,	5453.250,	26,	ABS ,	3500,	-600
PT,	1,	5453.250,	27,	ABS ,	4000,	-240
PT,	1,	5453.250,	28,	ABS ,	4000,	0
PT,	1,	5453.250,	29,	ABS ,	3500,	0
PT,	1,	5453.250,	30,	ABS ,	3200,	0
PT,	1,	5453.250,	31,	ABS ,	0,	0
PT,	1,	5458.250,	1,	ABS ,	0,	0
PT,	1,	5458.250,	2,	ABS ,	-3200,	0
PT,	1,	5458.250,	3,	ABS ,	-3500,	0

PT,	1,	5458.250,	4,	ABS,	-4000,	0
PT,	1,	5458.250,	5,	ABS,	-4000,	-240
PT,	1,	5458.250,	6,	ABS,	-3500,	-600
PT,	1,	5458.250,	7,	ABS,	-3500,	-3164
PT,	1,	5458.250,	8,	ABS,	-3500,	-3574
PT,	1,	5458.250,	9,	ABS,	-3200,	-3574
PT,	1,	5458.250,	10,	ABS,	0,	-3574
PT,	1,	5458.250,	11,	ABS,	0,	-3314
PT,	1,	5458.250,	12,	ABS,	-2600,	-3314
PT,	1,	5458.250,	13,	ABS,	-3200,	-3164
PT,	1,	5458.250,	14,	ABS,	-3200,	-600
PT,	1,	5458.250,	15,	ABS,	-2300,	-280
PT,	1,	5458.250,	16,	ABS,	0,	-280
PT,	1,	5458.250,	17,	ABS,	2300,	-280
PT,	1,	5458.250,	18,	ABS,	3200,	-600
PT,	1,	5458.250,	19,	ABS,	3200,	-3164
PT,	1,	5458.250,	20,	ABS,	2600,	-3314
PT,	1,	5458.250,	21,	ABS,	0,	-3314
PT,	1,	5458.250,	22,	ABS,	0,	-3574
PT,	1,	5458.250,	23,	ABS,	3200,	-3574
PT,	1,	5458.250,	24,	ABS,	3500,	-3574
PT,	1,	5458.250,	25,	ABS,	3500,	-3164
PT,	1,	5458.250,	26,	ABS,	3500,	-600
PT,	1,	5458.250,	27,	ABS,	4000,	-240
PT,	1,	5458.250,	28,	ABS,	4000,	0
PT,	1,	5458.250,	29,	ABS,	3500,	0
PT,	1,	5458.250,	30,	ABS,	3200,	0
PT,	1,	5458.250,	31,	ABS,	0,	0
PT,	1,	5463.250,	1,	ABS,	0,	0
PT,	1,	5463.250,	2,	ABS,	-3200,	0
PT,	1,	5463.250,	3,	ABS,	-3500,	0
PT,	1,	5463.250,	4,	ABS,	-4000,	0
PT,	1,	5463.250,	5,	ABS,	-4000,	-240
PT,	1,	5463.250,	6,	ABS,	-3500,	-600
PT,	1,	5463.250,	7,	ABS,	-3500,	-3279
PT,	1,	5463.250,	8,	ABS,	-3500,	-3689
PT,	1,	5463.250,	9,	ABS,	-3200,	-3689
PT,	1,	5463.250,	10,	ABS,	0,	-3689
PT,	1,	5463.250,	11,	ABS,	0,	-3429
PT,	1,	5463.250,	12,	ABS,	-2600,	-3429
PT,	1,	5463.250,	13,	ABS,	-3200,	-3279
PT,	1,	5463.250,	14,	ABS,	-3200,	-600
PT,	1,	5463.250,	15,	ABS,	-2300,	-280
PT,	1,	5463.250,	16,	ABS,	0,	-280
PT,	1,	5463.250,	17,	ABS,	2300,	-280
PT,	1,	5463.250,	18,	ABS,	3200,	-600
PT,	1,	5463.250,	19,	ABS,	3200,	-3279
PT,	1,	5463.250,	20,	ABS,	2600,	-3429
PT,	1,	5463.250,	21,	ABS,	0,	-3429
PT,	1,	5463.250,	22,	ABS,	0,	-3689
PT,	1,	5463.250,	23,	ABS,	3200,	-3689
PT,	1,	5463.250,	24,	ABS,	3500,	-3689
PT,	1,	5463.250,	25,	ABS,	3500,	-3279
PT,	1,	5463.250,	26,	ABS,	3500,	-600
PT,	1,	5463.250,	27,	ABS,	4000,	-240
PT,	1,	5463.250,	28,	ABS,	4000,	0
PT,	1,	5463.250,	29,	ABS,	3500,	0
PT,	1,	5463.250,	30,	ABS,	3200,	0
PT,	1,	5463.250,	31,	ABS,	0,	0
PT,	1,	5468.250,	1,	ABS,	0,	0
PT,	1,	5468.250,	2,	ABS,	-3200,	0
PT,	1,	5468.250,	3,	ABS,	-3500,	0
PT,	1,	5468.250,	4,	ABS,	-4000,	0
PT,	1,	5468.250,	5,	ABS,	-4000,	-240
PT,	1,	5468.250,	6,	ABS,	-3500,	-600
PT,	1,	5468.250,	7,	ABS,	-3500,	-3418
PT,	1,	5468.250,	8,	ABS,	-3500,	-3828
PT,	1,	5468.250,	9,	ABS,	-3200,	-3828
PT,	1,	5468.250,	10,	ABS,	0,	-3828
PT,	1,	5468.250,	11,	ABS,	0,	-3568
PT,	1,	5468.250,	12,	ABS,	-2600,	-3568
PT,	1,	5468.250,	13,	ABS,	-3200,	-3418

PT,	1,	5468.250,	14,	ABS ,	-3200,	-600
PT,	1,	5468.250,	15,	ABS ,	-2300,	-280
PT,	1,	5468.250,	16,	ABS ,	0,	-280
PT,	1,	5468.250,	17,	ABS ,	2300,	-280
PT,	1,	5468.250,	18,	ABS ,	3200,	-600
PT,	1,	5468.250,	19,	ABS ,	3200,	-3418
PT,	1,	5468.250,	20,	ABS ,	2600,	-3568
PT,	1,	5468.250,	21,	ABS ,	0,	-3568
PT,	1,	5468.250,	22,	ABS ,	0,	-3828
PT,	1,	5468.250,	23,	ABS ,	3200,	-3828
PT,	1,	5468.250,	24,	ABS ,	3500,	-3828
PT,	1,	5468.250,	25,	ABS ,	3500,	-3418
PT,	1,	5468.250,	26,	ABS ,	3500,	-600
PT,	1,	5468.250,	27,	ABS ,	4000,	-240
PT,	1,	5468.250,	28,	ABS ,	4000,	0
PT,	1,	5468.250,	29,	ABS ,	3500,	0
PT,	1,	5468.250,	30,	ABS ,	3200,	0
PT,	1,	5468.250,	31,	ABS ,	0,	0
PT,	1,	5473.250,	1,	ABS ,	0,	0
PT,	1,	5473.250,	2,	ABS ,	-3200,	0
PT,	1,	5473.250,	3,	ABS ,	-3500,	0
PT,	1,	5473.250,	4,	ABS ,	-4000,	0
PT,	1,	5473.250,	5,	ABS ,	-4000,	-240
PT,	1,	5473.250,	6,	ABS ,	-3500,	-600
PT,	1,	5473.250,	7,	ABS ,	-3500,	-3581
PT,	1,	5473.250,	8,	ABS ,	-3500,	-3991
PT,	1,	5473.250,	9,	ABS ,	-3200,	-3991
PT,	1,	5473.250,	10,	ABS ,	0,	-3991
PT,	1,	5473.250,	11,	ABS ,	0,	-3731
PT,	1,	5473.250,	12,	ABS ,	-2600,	-3731
PT,	1,	5473.250,	13,	ABS ,	-3200,	-3581
PT,	1,	5473.250,	14,	ABS ,	-3200,	-600
PT,	1,	5473.250,	15,	ABS ,	-2300,	-280
PT,	1,	5473.250,	16,	ABS ,	0,	-280
PT,	1,	5473.250,	17,	ABS ,	2300,	-280
PT,	1,	5473.250,	18,	ABS ,	3200,	-600
PT,	1,	5473.250,	19,	ABS ,	3200,	-3581
PT,	1,	5473.250,	20,	ABS ,	2600,	-3731
PT,	1,	5473.250,	21,	ABS ,	0,	-3731
PT,	1,	5473.250,	22,	ABS ,	0,	-3991
PT,	1,	5473.250,	23,	ABS ,	3200,	-3991
PT,	1,	5473.250,	24,	ABS ,	3500,	-3991
PT,	1,	5473.250,	25,	ABS ,	3500,	-3581
PT,	1,	5473.250,	26,	ABS ,	3500,	-600
PT,	1,	5473.250,	27,	ABS ,	4000,	-240
PT,	1,	5473.250,	28,	ABS ,	4000,	0
PT,	1,	5473.250,	29,	ABS ,	3500,	0
PT,	1,	5473.250,	30,	ABS ,	3200,	0
PT,	1,	5473.250,	31,	ABS ,	0,	0
PT,	1,	5478.250,	1,	ABS ,	0,	0
PT,	1,	5478.250,	2,	ABS ,	-3200,	0
PT,	1,	5478.250,	3,	ABS ,	-3500,	0
PT,	1,	5478.250,	4,	ABS ,	-4000,	0
PT,	1,	5478.250,	5,	ABS ,	-4000,	-240
PT,	1,	5478.250,	6,	ABS ,	-3500,	-600
PT,	1,	5478.250,	7,	ABS ,	-3500,	-3767
PT,	1,	5478.250,	8,	ABS ,	-3500,	-4177
PT,	1,	5478.250,	9,	ABS ,	-3200,	-4177
PT,	1,	5478.250,	10,	ABS ,	0,	-4177
PT,	1,	5478.250,	11,	ABS ,	0,	-3917
PT,	1,	5478.250,	12,	ABS ,	-2600,	-3917
PT,	1,	5478.250,	13,	ABS ,	-3200,	-3767
PT,	1,	5478.250,	14,	ABS ,	-3200,	-600
PT,	1,	5478.250,	15,	ABS ,	-2300,	-280
PT,	1,	5478.250,	16,	ABS ,	0,	-280
PT,	1,	5478.250,	17,	ABS ,	2300,	-280
PT,	1,	5478.250,	18,	ABS ,	3200,	-600
PT,	1,	5478.250,	19,	ABS ,	3200,	-3767
PT,	1,	5478.250,	20,	ABS ,	2600,	-3917
PT,	1,	5478.250,	21,	ABS ,	0,	-3917
PT,	1,	5478.250,	22,	ABS ,	0,	-4177
PT,	1,	5478.250,	23,	ABS ,	3200,	-4177

PT,	1,	5478.250,	24,	ABS ,	3500,	-4177
PT,	1,	5478.250,	25,	ABS ,	3500,	-3767
PT,	1,	5478.250,	26,	ABS ,	3500,	-600
PT,	1,	5478.250,	27,	ABS ,	4000,	-240
PT,	1,	5478.250,	28,	ABS ,	4000,	0
PT,	1,	5478.250,	29,	ABS ,	3500,	0
PT,	1,	5478.250,	30,	ABS ,	3200,	0
PT,	1,	5478.250,	31,	ABS ,	0,	0
PT,	1,	5483.250,	1,	ABS ,	0,	0
PT,	1,	5483.250,	2,	ABS ,	-3200,	0
PT,	1,	5483.250,	3,	ABS ,	-3500,	0
PT,	1,	5483.250,	4,	ABS ,	-4000,	0
PT,	1,	5483.250,	5,	ABS ,	-4000,	-240
PT,	1,	5483.250,	6,	ABS ,	-3500,	-600
PT,	1,	5483.250,	7,	ABS ,	-3500,	-3978
PT,	1,	5483.250,	8,	ABS ,	-3500,	-4388
PT,	1,	5483.250,	9,	ABS ,	-3200,	-4388
PT,	1,	5483.250,	10,	ABS ,	0,	-4388
PT,	1,	5483.250,	11,	ABS ,	0,	-4128
PT,	1,	5483.250,	12,	ABS ,	-2600,	-4128
PT,	1,	5483.250,	13,	ABS ,	-3200,	-3978
PT,	1,	5483.250,	14,	ABS ,	-3200,	-600
PT,	1,	5483.250,	15,	ABS ,	-2300,	-280
PT,	1,	5483.250,	16,	ABS ,	0,	-280
PT,	1,	5483.250,	17,	ABS ,	2300,	-280
PT,	1,	5483.250,	18,	ABS ,	3200,	-600
PT,	1,	5483.250,	19,	ABS ,	3200,	-3978
PT,	1,	5483.250,	20,	ABS ,	2600,	-4128
PT,	1,	5483.250,	21,	ABS ,	0,	-4128
PT,	1,	5483.250,	22,	ABS ,	0,	-4388
PT,	1,	5483.250,	23,	ABS ,	3200,	-4388
PT,	1,	5483.250,	24,	ABS ,	3500,	-4388
PT,	1,	5483.250,	25,	ABS ,	3500,	-3978
PT,	1,	5483.250,	26,	ABS ,	3500,	-600
PT,	1,	5483.250,	27,	ABS ,	4000,	-240
PT,	1,	5483.250,	28,	ABS ,	4000,	0
PT,	1,	5483.250,	29,	ABS ,	3500,	0
PT,	1,	5483.250,	30,	ABS ,	3200,	0
PT,	1,	5483.250,	31,	ABS ,	0,	0
PT,	1,	5488.250,	1,	ABS ,	0,	0
PT,	1,	5488.250,	2,	ABS ,	-3200,	0
PT,	1,	5488.250,	3,	ABS ,	-3500,	0
PT,	1,	5488.250,	4,	ABS ,	-4000,	0
PT,	1,	5488.250,	5,	ABS ,	-4000,	-240
PT,	1,	5488.250,	6,	ABS ,	-3500,	-600
PT,	1,	5488.250,	7,	ABS ,	-3500,	-4173
PT,	1,	5488.250,	8,	ABS ,	-3500,	-4623
PT,	1,	5488.250,	9,	ABS ,	-3200,	-4623
PT,	1,	5488.250,	10,	ABS ,	0,	-4623
PT,	1,	5488.250,	11,	ABS ,	0,	-4323
PT,	1,	5488.250,	12,	ABS ,	-2600,	-4323
PT,	1,	5488.250,	13,	ABS ,	-3200,	-4173
PT,	1,	5488.250,	14,	ABS ,	-3200,	-600
PT,	1,	5488.250,	15,	ABS ,	-2300,	-280
PT,	1,	5488.250,	16,	ABS ,	0,	-280
PT,	1,	5488.250,	17,	ABS ,	2300,	-280
PT,	1,	5488.250,	18,	ABS ,	3200,	-600
PT,	1,	5488.250,	19,	ABS ,	3200,	-4173
PT,	1,	5488.250,	20,	ABS ,	2600,	-4323
PT,	1,	5488.250,	21,	ABS ,	0,	-4323
PT,	1,	5488.250,	22,	ABS ,	0,	-4623
PT,	1,	5488.250,	23,	ABS ,	3200,	-4623
PT,	1,	5488.250,	24,	ABS ,	3500,	-4623
PT,	1,	5488.250,	25,	ABS ,	3500,	-4173
PT,	1,	5488.250,	26,	ABS ,	3500,	-600
PT,	1,	5488.250,	27,	ABS ,	4000,	-240
PT,	1,	5488.250,	28,	ABS ,	4000,	0
PT,	1,	5488.250,	29,	ABS ,	3500,	0
PT,	1,	5488.250,	30,	ABS ,	3200,	0
PT,	1,	5488.250,	31,	ABS ,	0,	0
PT,	1,	5493.250,	1,	ABS ,	0,	0

PT,	1,	5493.250,	2, ABS ,	-3200,	0
PT,	1,	5493.250,	3, ABS ,	-3500,	0
PT,	1,	5493.250,	4, ABS ,	-4000,	0
PT,	1,	5493.250,	5, ABS ,	-4000,	-240
PT,	1,	5493.250,	6, ABS ,	-3500,	-600
PT,	1,	5493.250,	7, ABS ,	-3500,	-4382
PT,	1,	5493.250,	8, ABS ,	-3500,	-4882
PT,	1,	5493.250,	9, ABS ,	-3200,	-4882
PT,	1,	5493.250,	10, ABS ,	0,	-4882
PT,	1,	5493.250,	11, ABS ,	0,	-4532
PT,	1,	5493.250,	12, ABS ,	-2600,	-4532
PT,	1,	5493.250,	13, ABS ,	-3200,	-4382
PT,	1,	5493.250,	14, ABS ,	-3200,	-600
PT,	1,	5493.250,	15, ABS ,	-2300,	-280
PT,	1,	5493.250,	16, ABS ,	0,	-280
PT,	1,	5493.250,	17, ABS ,	2300,	-280
PT,	1,	5493.250,	18, ABS ,	3200,	-600
PT,	1,	5493.250,	19, ABS ,	3200,	-4382
PT,	1,	5493.250,	20, ABS ,	2600,	-4532
PT,	1,	5493.250,	21, ABS ,	0,	-4532
PT,	1,	5493.250,	22, ABS ,	0,	-4882
PT,	1,	5493.250,	23, ABS ,	3200,	-4882
PT,	1,	5493.250,	24, ABS ,	3500,	-4882
PT,	1,	5493.250,	25, ABS ,	3500,	-4382
PT,	1,	5493.250,	26, ABS ,	3500,	-600
PT,	1,	5493.250,	27, ABS ,	4000,	-240
PT,	1,	5493.250,	28, ABS ,	4000,	0
PT,	1,	5493.250,	29, ABS ,	3500,	0
PT,	1,	5493.250,	30, ABS ,	3200,	0
PT,	1,	5493.250,	31, ABS ,	0,	0
PT,	1,	5498.250,	1, ABS ,	0,	0
PT,	1,	5498.250,	2, ABS ,	-3200,	0
PT,	1,	5498.250,	3, ABS ,	-3500,	0
PT,	1,	5498.250,	4, ABS ,	-4000,	0
PT,	1,	5498.250,	5, ABS ,	-4000,	-240
PT,	1,	5498.250,	6, ABS ,	-3500,	-600
PT,	1,	5498.250,	7, ABS ,	-3500,	-4616
PT,	1,	5498.250,	8, ABS ,	-3500,	-5166
PT,	1,	5498.250,	9, ABS ,	-3200,	-5166
PT,	1,	5498.250,	10, ABS ,	0,	-5166
PT,	1,	5498.250,	11, ABS ,	0,	-4766
PT,	1,	5498.250,	12, ABS ,	-2600,	-4766
PT,	1,	5498.250,	13, ABS ,	-3200,	-4616
PT,	1,	5498.250,	14, ABS ,	-3200,	-600
PT,	1,	5498.250,	15, ABS ,	-2300,	-280
PT,	1,	5498.250,	16, ABS ,	0,	-280
PT,	1,	5498.250,	17, ABS ,	2300,	-280
PT,	1,	5498.250,	18, ABS ,	3200,	-600
PT,	1,	5498.250,	19, ABS ,	3200,	-4616
PT,	1,	5498.250,	20, ABS ,	2600,	-4766
PT,	1,	5498.250,	21, ABS ,	0,	-4766
PT,	1,	5498.250,	22, ABS ,	0,	-5166
PT,	1,	5498.250,	23, ABS ,	3200,	-5166
PT,	1,	5498.250,	24, ABS ,	3500,	-5166
PT,	1,	5498.250,	25, ABS ,	3500,	-4616
PT,	1,	5498.250,	26, ABS ,	3500,	-600
PT,	1,	5498.250,	27, ABS ,	4000,	-240
PT,	1,	5498.250,	28, ABS ,	4000,	0
PT,	1,	5498.250,	29, ABS ,	3500,	0
PT,	1,	5498.250,	30, ABS ,	3200,	0
PT,	1,	5498.250,	31, ABS ,	0,	0
PT,	1,	5503.250,	1, ABS ,	0,	0
PT,	1,	5503.250,	2, ABS ,	-3200,	0
PT,	1,	5503.250,	3, ABS ,	-3500,	0
PT,	1,	5503.250,	4, ABS ,	-4000,	0
PT,	1,	5503.250,	5, ABS ,	-4000,	-240
PT,	1,	5503.250,	6, ABS ,	-3500,	-600
PT,	1,	5503.250,	7, ABS ,	-3500,	-4876
PT,	1,	5503.250,	8, ABS ,	-3500,	-5476
PT,	1,	5503.250,	9, ABS ,	-3200,	-5476
PT,	1,	5503.250,	10, ABS ,	0,	-5476
PT,	1,	5503.250,	11, ABS ,	0,	-5026

PT,	1,	5503.250,	12,	ABS,	-2600,	-5026
PT,	1,	5503.250,	13,	ABS,	-3200,	-4876
PT,	1,	5503.250,	14,	ABS,	-3200,	-600
PT,	1,	5503.250,	15,	ABS,	-2300,	-280
PT,	1,	5503.250,	16,	ABS,	0,	-280
PT,	1,	5503.250,	17,	ABS,	2300,	-280
PT,	1,	5503.250,	18,	ABS,	3200,	-600
PT,	1,	5503.250,	19,	ABS,	3200,	-4876
PT,	1,	5503.250,	20,	ABS,	2600,	-5026
PT,	1,	5503.250,	21,	ABS,	0,	-5026
PT,	1,	5503.250,	22,	ABS,	0,	-5476
PT,	1,	5503.250,	23,	ABS,	3200,	-5476
PT,	1,	5503.250,	24,	ABS,	3500,	-5476
PT,	1,	5503.250,	25,	ABS,	3500,	-4876
PT,	1,	5503.250,	26,	ABS,	3500,	-600
PT,	1,	5503.250,	27,	ABS,	4000,	-240
PT,	1,	5503.250,	28,	ABS,	4000,	0
PT,	1,	5503.250,	29,	ABS,	3500,	0
PT,	1,	5503.250,	30,	ABS,	3200,	0
PT,	1,	5503.250,	31,	ABS,	0,	0
PT,	1,	5508.250,	1,	ABS,	0,	0
PT,	1,	5508.250,	2,	ABS,	-3100,	0
PT,	1,	5508.250,	3,	ABS,	-3500,	0
PT,	1,	5508.250,	4,	ABS,	-4000,	0
PT,	1,	5508.250,	5,	ABS,	-4000,	-240
PT,	1,	5508.250,	6,	ABS,	-3500,	-600
PT,	1,	5508.250,	7,	ABS,	-3500,	-5161
PT,	1,	5508.250,	8,	ABS,	-3500,	-5811
PT,	1,	5508.250,	9,	ABS,	-3100,	-5811
PT,	1,	5508.250,	10,	ABS,	0,	-5811
PT,	1,	5508.250,	11,	ABS,	0,	-5311
PT,	1,	5508.250,	12,	ABS,	-2500,	-5311
PT,	1,	5508.250,	13,	ABS,	-3100,	-5161
PT,	1,	5508.250,	14,	ABS,	-3100,	-730
PT,	1,	5508.250,	15,	ABS,	-2200,	-600
PT,	1,	5508.250,	16,	ABS,	0,	-600
PT,	1,	5508.250,	17,	ABS,	2200,	-600
PT,	1,	5508.250,	18,	ABS,	3100,	-730
PT,	1,	5508.250,	19,	ABS,	3100,	-5161
PT,	1,	5508.250,	20,	ABS,	2500,	-5311
PT,	1,	5508.250,	21,	ABS,	0,	-5311
PT,	1,	5508.250,	22,	ABS,	0,	-5811
PT,	1,	5508.250,	23,	ABS,	3100,	-5811
PT,	1,	5508.250,	24,	ABS,	3500,	-5811
PT,	1,	5508.250,	25,	ABS,	3500,	-5161
PT,	1,	5508.250,	26,	ABS,	3500,	-600
PT,	1,	5508.250,	27,	ABS,	4000,	-240
PT,	1,	5508.250,	28,	ABS,	4000,	0
PT,	1,	5508.250,	29,	ABS,	3500,	0
PT,	1,	5508.250,	30,	ABS,	3100,	0
PT,	1,	5508.250,	31,	ABS,	0,	0
PT,	1,	5513.250,	1,	ABS,	0,	0
PT,	1,	5513.250,	2,	ABS,	-3100,	0
PT,	1,	5513.250,	3,	ABS,	-3500,	0
PT,	1,	5513.250,	4,	ABS,	-4000,	0
PT,	1,	5513.250,	5,	ABS,	-4000,	-240
PT,	1,	5513.250,	6,	ABS,	-3500,	-600
PT,	1,	5513.250,	7,	ABS,	-3500,	-5472
PT,	1,	5513.250,	8,	ABS,	-3500,	-6172
PT,	1,	5513.250,	9,	ABS,	-3100,	-6172
PT,	1,	5513.250,	10,	ABS,	0,	-6172
PT,	1,	5513.250,	11,	ABS,	0,	-5622
PT,	1,	5513.250,	12,	ABS,	-2500,	-5622
PT,	1,	5513.250,	13,	ABS,	-3100,	-5472
PT,	1,	5513.250,	14,	ABS,	-3100,	-730
PT,	1,	5513.250,	15,	ABS,	-2200,	-600
PT,	1,	5513.250,	16,	ABS,	0,	-600
PT,	1,	5513.250,	17,	ABS,	2200,	-600
PT,	1,	5513.250,	18,	ABS,	3100,	-730
PT,	1,	5513.250,	19,	ABS,	3100,	-5472
PT,	1,	5513.250,	20,	ABS,	2500,	-5622
PT,	1,	5513.250,	21,	ABS,	0,	-5622

PT,	1,	5513.250,	22, ABS ,	0,	-6172
PT,	1,	5513.250,	23, ABS ,	3100,	-6172
PT,	1,	5513.250,	24, ABS ,	3500,	-6172
PT,	1,	5513.250,	25, ABS ,	3500,	-5472
PT,	1,	5513.250,	26, ABS ,	3500,	-600
PT,	1,	5513.250,	27, ABS ,	4000,	-240
PT,	1,	5513.250,	28, ABS ,	4000,	0
PT,	1,	5513.250,	29, ABS ,	3500,	0
PT,	1,	5513.250,	30, ABS ,	3100,	0
PT,	1,	5513.250,	31, ABS ,	0,	0
PT,	1,	5518.250,	1, ABS ,	0,	0
PT,	1,	5518.250,	2, ABS ,	-3100,	0
PT,	1,	5518.250,	3, ABS ,	-3500,	0
PT,	1,	5518.250,	4, ABS ,	-4000,	0
PT,	1,	5518.250,	5, ABS ,	-4000,	-240
PT,	1,	5518.250,	6, ABS ,	-3500,	-600
PT,	1,	5518.250,	7, ABS ,	-3500,	-5810
PT,	1,	5518.250,	8, ABS ,	-3500,	-6560
PT,	1,	5518.250,	9, ABS ,	-3100,	-6560
PT,	1,	5518.250,	10, ABS ,	0,	-6560
PT,	1,	5518.250,	11, ABS ,	0,	-5960
PT,	1,	5518.250,	12, ABS ,	-2500,	-5960
PT,	1,	5518.250,	13, ABS ,	-3100,	-5810
PT,	1,	5518.250,	14, ABS ,	-3100,	-730
PT,	1,	5518.250,	15, ABS ,	-2200,	-600
PT,	1,	5518.250,	16, ABS ,	0,	-600
PT,	1,	5518.250,	17, ABS ,	2200,	-600
PT,	1,	5518.250,	18, ABS ,	3100,	-730
PT,	1,	5518.250,	19, ABS ,	3100,	-5810
PT,	1,	5518.250,	20, ABS ,	2500,	-5960
PT,	1,	5518.250,	21, ABS ,	0,	-5960
PT,	1,	5518.250,	22, ABS ,	0,	-6560
PT,	1,	5518.250,	23, ABS ,	3100,	-6560
PT,	1,	5518.250,	24, ABS ,	3500,	-6560
PT,	1,	5518.250,	25, ABS ,	3500,	-5810
PT,	1,	5518.250,	26, ABS ,	3500,	-600
PT,	1,	5518.250,	27, ABS ,	4000,	-240
PT,	1,	5518.250,	28, ABS ,	4000,	0
PT,	1,	5518.250,	29, ABS ,	3500,	0
PT,	1,	5518.250,	30, ABS ,	3100,	0
PT,	1,	5518.250,	31, ABS ,	0,	0
PT,	1,	5523.250,	1, ABS ,	0,	0
PT,	1,	5523.250,	2, ABS ,	-3100,	0
PT,	1,	5523.250,	3, ABS ,	-3500,	0
PT,	1,	5523.250,	4, ABS ,	-4000,	0
PT,	1,	5523.250,	5, ABS ,	-4000,	-240
PT,	1,	5523.250,	6, ABS ,	-3500,	-600
PT,	1,	5523.250,	7, ABS ,	-3500,	-6175
PT,	1,	5523.250,	8, ABS ,	-3500,	-6975
PT,	1,	5523.250,	9, ABS ,	-3100,	-6975
PT,	1,	5523.250,	10, ABS ,	0,	-6975
PT,	1,	5523.250,	11, ABS ,	0,	-6325
PT,	1,	5523.250,	12, ABS ,	-2500,	-6325
PT,	1,	5523.250,	13, ABS ,	-3100,	-6175
PT,	1,	5523.250,	14, ABS ,	-3100,	-730
PT,	1,	5523.250,	15, ABS ,	-2200,	-600
PT,	1,	5523.250,	16, ABS ,	0,	-600
PT,	1,	5523.250,	17, ABS ,	2200,	-600
PT,	1,	5523.250,	18, ABS ,	3100,	-730
PT,	1,	5523.250,	19, ABS ,	3100,	-6175
PT,	1,	5523.250,	20, ABS ,	2500,	-6325
PT,	1,	5523.250,	21, ABS ,	0,	-6325
PT,	1,	5523.250,	22, ABS ,	0,	-6975
PT,	1,	5523.250,	23, ABS ,	3100,	-6975
PT,	1,	5523.250,	24, ABS ,	3500,	-6975
PT,	1,	5523.250,	25, ABS ,	3500,	-6175
PT,	1,	5523.250,	26, ABS ,	3500,	-600
PT,	1,	5523.250,	27, ABS ,	4000,	-240
PT,	1,	5523.250,	28, ABS ,	4000,	0
PT,	1,	5523.250,	29, ABS ,	3500,	0
PT,	1,	5523.250,	30, ABS ,	3100,	0
PT,	1,	5523.250,	31, ABS ,	0,	0

PT,	1,	5528.250,	1, ABS ,	0,	0
PT,	1,	5528.250,	2, ABS ,	-3100,	0
PT,	1,	5528.250,	3, ABS ,	-3500,	0
PT,	1,	5528.250,	4, ABS ,	-4000,	0
PT,	1,	5528.250,	5, ABS ,	-4000,	-240
PT,	1,	5528.250,	6, ABS ,	-3500,	-600
PT,	1,	5528.250,	7, ABS ,	-3500,	-6568
PT,	1,	5528.250,	8, ABS ,	-3500,	-7418
PT,	1,	5528.250,	9, ABS ,	-3100,	-7418
PT,	1,	5528.250,	10, ABS ,	0,	-7418
PT,	1,	5528.250,	11, ABS ,	0,	-6718
PT,	1,	5528.250,	12, ABS ,	-2500,	-6718
PT,	1,	5528.250,	13, ABS ,	-3100,	-6568
PT,	1,	5528.250,	14, ABS ,	-3100,	-730
PT,	1,	5528.250,	15, ABS ,	-2200,	-600
PT,	1,	5528.250,	16, ABS ,	0,	-600
PT,	1,	5528.250,	17, ABS ,	2200,	-600
PT,	1,	5528.250,	18, ABS ,	3100,	-730
PT,	1,	5528.250,	19, ABS ,	3100,	-6568
PT,	1,	5528.250,	20, ABS ,	2500,	-6718
PT,	1,	5528.250,	21, ABS ,	0,	-6718
PT,	1,	5528.250,	22, ABS ,	0,	-7418
PT,	1,	5528.250,	23, ABS ,	3100,	-7418
PT,	1,	5528.250,	24, ABS ,	3500,	-7418
PT,	1,	5528.250,	25, ABS ,	3500,	-6568
PT,	1,	5528.250,	26, ABS ,	3500,	-600
PT,	1,	5528.250,	27, ABS ,	4000,	-240
PT,	1,	5528.250,	28, ABS ,	4000,	0
PT,	1,	5528.250,	29, ABS ,	3500,	0
PT,	1,	5528.250,	30, ABS ,	3100,	0
PT,	1,	5528.250,	31, ABS ,	0,	0
PT,	1,	5533.250,	1, ABS ,	0,	0
PT,	1,	5533.250,	2, ABS ,	-3100,	0
PT,	1,	5533.250,	3, ABS ,	-3500,	0
PT,	1,	5533.250,	4, ABS ,	-4000,	0
PT,	1,	5533.250,	5, ABS ,	-4000,	-240
PT,	1,	5533.250,	6, ABS ,	-3500,	-600
PT,	1,	5533.250,	7, ABS ,	-3500,	-6989
PT,	1,	5533.250,	8, ABS ,	-3500,	-7889
PT,	1,	5533.250,	9, ABS ,	-3100,	-7889
PT,	1,	5533.250,	10, ABS ,	0,	-7889
PT,	1,	5533.250,	11, ABS ,	0,	-7139
PT,	1,	5533.250,	12, ABS ,	-2500,	-7139
PT,	1,	5533.250,	13, ABS ,	-3100,	-6989
PT,	1,	5533.250,	14, ABS ,	-3100,	-730
PT,	1,	5533.250,	15, ABS ,	-2200,	-600
PT,	1,	5533.250,	16, ABS ,	0,	-600
PT,	1,	5533.250,	17, ABS ,	2200,	-600
PT,	1,	5533.250,	18, ABS ,	3100,	-730
PT,	1,	5533.250,	19, ABS ,	3100,	-6989
PT,	1,	5533.250,	20, ABS ,	2500,	-7139
PT,	1,	5533.250,	21, ABS ,	0,	-7139
PT,	1,	5533.250,	22, ABS ,	0,	-7889
PT,	1,	5533.250,	23, ABS ,	3100,	-7889
PT,	1,	5533.250,	24, ABS ,	3500,	-7889
PT,	1,	5533.250,	25, ABS ,	3500,	-6989
PT,	1,	5533.250,	26, ABS ,	3500,	-600
PT,	1,	5533.250,	27, ABS ,	4000,	-240
PT,	1,	5533.250,	28, ABS ,	4000,	0
PT,	1,	5533.250,	29, ABS ,	3500,	0
PT,	1,	5533.250,	30, ABS ,	3100,	0
PT,	1,	5533.250,	31, ABS ,	0,	0
PT,	1,	5538.250,	1, ABS ,	0,	0
PT,	1,	5538.250,	2, ABS ,	-3100,	0
PT,	1,	5538.250,	3, ABS ,	-3500,	0
PT,	1,	5538.250,	4, ABS ,	-4000,	0
PT,	1,	5538.250,	5, ABS ,	-4000,	-240
PT,	1,	5538.250,	6, ABS ,	-3500,	-600
PT,	1,	5538.250,	7, ABS ,	-3500,	-7439
PT,	1,	5538.250,	8, ABS ,	-3500,	-8389
PT,	1,	5538.250,	9, ABS ,	-3100,	-8389

PT, 1, 5538.250, 10, ABS, 0, -8389						
PT, 1, 5538.250, 11, ABS, 0, -7589						
PT, 1, 5538.250, 12, ABS, -2500, -7589						
PT, 1, 5538.250, 13, ABS, -3100, -7439						
PT, 1, 5538.250, 14, ABS, -3100, -730						
PT, 1, 5538.250, 15, ABS, -2200, -600						
PT, 1, 5538.250, 16, ABS, 0, -600						
PT, 1, 5538.250, 17, ABS, 2200, -600						
PT, 1, 5538.250, 18, ABS, 3100, -730						
PT, 1, 5538.250, 19, ABS, 3100, -7439						
PT, 1, 5538.250, 20, ABS, 2500, -7589						
PT, 1, 5538.250, 21, ABS, 0, -7589						
PT, 1, 5538.250, 22, ABS, 0, -8389						
PT, 1, 5538.250, 23, ABS, 3100, -8389						
PT, 1, 5538.250, 24, ABS, 3500, -8389						
PT, 1, 5538.250, 25, ABS, 3500, -7439						
PT, 1, 5538.250, 26, ABS, 3500, -600						
PT, 1, 5538.250, 27, ABS, 4000, -240						
PT, 1, 5538.250, 28, ABS, 4000, 0						
PT, 1, 5538.250, 29, ABS, 3500, 0						
PT, 1, 5538.250, 30, ABS, 3100, 0						
PT, 1, 5538.250, 31, ABS, 0, 0						
PT, 1, 5543.250, 1, ABS, 0, 0						
PT, 1, 5543.250, 2, ABS, -3100, 0						
PT, 1, 5543.250, 3, ABS, -3500, 0						
PT, 1, 5543.250, 4, ABS, -4000, 0						
PT, 1, 5543.250, 5, ABS, -4000, -240						
PT, 1, 5543.250, 6, ABS, -3500, -600						
PT, 1, 5543.250, 7, ABS, -3500, -7920						
PT, 1, 5543.250, 8, ABS, -3500, -8920						
PT, 1, 5543.250, 9, ABS, -3100, -8920						
PT, 1, 5543.250, 10, ABS, 0, -8920						
PT, 1, 5543.250, 11, ABS, 0, -8070						
PT, 1, 5543.250, 12, ABS, -2500, -8070						
PT, 1, 5543.250, 13, ABS, -3100, -7920						
PT, 1, 5543.250, 14, ABS, -3100, -730						
PT, 1, 5543.250, 15, ABS, -2200, -600						
PT, 1, 5543.250, 16, ABS, 0, -600						
PT, 1, 5543.250, 17, ABS, 2200, -600						
PT, 1, 5543.250, 18, ABS, 3100, -730						
PT, 1, 5543.250, 19, ABS, 3100, -7920						
PT, 1, 5543.250, 20, ABS, 2500, -8070						
PT, 1, 5543.250, 21, ABS, 0, -8070						
PT, 1, 5543.250, 22, ABS, 0, -8920						
PT, 1, 5543.250, 23, ABS, 3100, -8920						
PT, 1, 5543.250, 24, ABS, 3500, -8920						
PT, 1, 5543.250, 25, ABS, 3500, -7920						
PT, 1, 5543.250, 26, ABS, 3500, -600						
PT, 1, 5543.250, 27, ABS, 4000, -240						
PT, 1, 5543.250, 28, ABS, 4000, 0						
PT, 1, 5543.250, 29, ABS, 3500, 0						
PT, 1, 5543.250, 30, ABS, 3100, 0						
PT, 1, 5543.250, 31, ABS, 0, 0						
PT, 1, 5548.250, 1, ABS, 0, 0						
PT, 1, 5548.250, 2, ABS, -3100, 0						
PT, 1, 5548.250, 3, ABS, -3500, 0						
PT, 1, 5548.250, 4, ABS, -4000, 0						
PT, 1, 5548.250, 5, ABS, -4000, -240						
PT, 1, 5548.250, 6, ABS, -3500, -600						
PT, 1, 5548.250, 7, ABS, -3500, -8431						
PT, 1, 5548.250, 8, ABS, -3500, -9481						
PT, 1, 5548.250, 9, ABS, -3100, -9481						
PT, 1, 5548.250, 10, ABS, 0, -9481						
PT, 1, 5548.250, 11, ABS, 0, -8581						
PT, 1, 5548.250, 12, ABS, -2500, -8581						
PT, 1, 5548.250, 13, ABS, -3100, -8431						
PT, 1, 5548.250, 14, ABS, -3100, -730						
PT, 1, 5548.250, 15, ABS, -2200, -600						
PT, 1, 5548.250, 16, ABS, 0, -600						
PT, 1, 5548.250, 17, ABS, 2200, -600						
PT, 1, 5548.250, 18, ABS, 3100, -730						
PT, 1, 5548.250, 19, ABS, 3100, -8431						

PT,	1,	5548.250,	20,	ABS ,	2500,	-8581
PT,	1,	5548.250,	21,	ABS ,	0,	-8581
PT,	1,	5548.250,	22,	ABS ,	0,	-9481
PT,	1,	5548.250,	23,	ABS ,	3100,	-9481
PT,	1,	5548.250,	24,	ABS ,	3500,	-9481
PT,	1,	5548.250,	25,	ABS ,	3500,	-8431
PT,	1,	5548.250,	26,	ABS ,	3500,	-600
PT,	1,	5548.250,	27,	ABS ,	4000,	-240
PT,	1,	5548.250,	28,	ABS ,	4000,	0
PT,	1,	5548.250,	29,	ABS ,	3500,	0
PT,	1,	5548.250,	30,	ABS ,	3100,	0
PT,	1,	5548.250,	31,	ABS ,	0,	0
PT,	1,	5553.250,	1,	ABS ,	0,	0
PT,	1,	5553.250,	2,	ABS ,	-3100,	0
PT,	1,	5553.250,	3,	ABS ,	-3500,	0
PT,	1,	5553.250,	4,	ABS ,	-4000,	0
PT,	1,	5553.250,	5,	ABS ,	-4000,	-240
PT,	1,	5553.250,	6,	ABS ,	-3500,	-600
PT,	1,	5553.250,	7,	ABS ,	-3500,	-8974
PT,	1,	5553.250,	8,	ABS ,	-3500,	-10074
PT,	1,	5553.250,	9,	ABS ,	-3100,	-10074
PT,	1,	5553.250,	10,	ABS ,	0,	-10074
PT,	1,	5553.250,	11,	ABS ,	0,	-9124
PT,	1,	5553.250,	12,	ABS ,	-2500,	-9124
PT,	1,	5553.250,	13,	ABS ,	-3100,	-8974
PT,	1,	5553.250,	14,	ABS ,	-3100,	-730
PT,	1,	5553.250,	15,	ABS ,	-2200,	-600
PT,	1,	5553.250,	16,	ABS ,	0,	-600
PT,	1,	5553.250,	17,	ABS ,	2200,	-600
PT,	1,	5553.250,	18,	ABS ,	3100,	-730
PT,	1,	5553.250,	19,	ABS ,	3100,	-8974
PT,	1,	5553.250,	20,	ABS ,	2500,	-9124
PT,	1,	5553.250,	21,	ABS ,	0,	-9124
PT,	1,	5553.250,	22,	ABS ,	0,	-10074
PT,	1,	5553.250,	23,	ABS ,	3100,	-10074
PT,	1,	5553.250,	24,	ABS ,	3500,	-10074
PT,	1,	5553.250,	25,	ABS ,	3500,	-8974
PT,	1,	5553.250,	26,	ABS ,	3500,	-600
PT,	1,	5553.250,	27,	ABS ,	4000,	-240
PT,	1,	5553.250,	28,	ABS ,	4000,	0
PT,	1,	5553.250,	29,	ABS ,	3500,	0
PT,	1,	5553.250,	30,	ABS ,	3100,	0
PT,	1,	5553.250,	31,	ABS ,	0,	0
PT,	1,	5558.250,	1,	ABS ,	0,	0
PT,	1,	5558.250,	2,	ABS ,	-3100,	0
PT,	1,	5558.250,	3,	ABS ,	-3500,	0
PT,	1,	5558.250,	4,	ABS ,	-4000,	0
PT,	1,	5558.250,	5,	ABS ,	-4000,	-240
PT,	1,	5558.250,	6,	ABS ,	-3500,	-600
PT,	1,	5558.250,	7,	ABS ,	-3500,	-9550
PT,	1,	5558.250,	8,	ABS ,	-3500,	-10700
PT,	1,	5558.250,	9,	ABS ,	-3100,	-10700
PT,	1,	5558.250,	10,	ABS ,	0,	-10700
PT,	1,	5558.250,	11,	ABS ,	0,	-9700
PT,	1,	5558.250,	12,	ABS ,	-2500,	-9700
PT,	1,	5558.250,	13,	ABS ,	-3100,	-9550
PT,	1,	5558.250,	14,	ABS ,	-3100,	-730
PT,	1,	5558.250,	15,	ABS ,	-2200,	-600
PT,	1,	5558.250,	16,	ABS ,	0,	-600
PT,	1,	5558.250,	17,	ABS ,	2200,	-600
PT,	1,	5558.250,	18,	ABS ,	3100,	-730
PT,	1,	5558.250,	19,	ABS ,	3100,	-9550
PT,	1,	5558.250,	20,	ABS ,	2500,	-9700
PT,	1,	5558.250,	21,	ABS ,	0,	-9700
PT,	1,	5558.250,	22,	ABS ,	0,	-10700
PT,	1,	5558.250,	23,	ABS ,	3100,	-10700
PT,	1,	5558.250,	24,	ABS ,	3500,	-10700
PT,	1,	5558.250,	25,	ABS ,	3500,	-9550
PT,	1,	5558.250,	26,	ABS ,	3500,	-600
PT,	1,	5558.250,	27,	ABS ,	4000,	-240
PT,	1,	5558.250,	28,	ABS ,	4000,	0
PT,	1,	5558.250,	29,	ABS ,	3500,	0

PT,	1,	5558.250,	30,	ABS ,	3100,	0
PT,	1,	5558.250,	31,	ABS ,	0,	0
PT,	1,	5563.250,	1,	ABS ,	0,	0
PT,	1,	5563.250,	2,	ABS ,	-3100,	0
PT,	1,	5563.250,	3,	ABS ,	-3500,	0
PT,	1,	5563.250,	4,	ABS ,	-4000,	0
PT,	1,	5563.250,	5,	ABS ,	-4000,	-240
PT,	1,	5563.250,	6,	ABS ,	-3500,	-600
PT,	1,	5563.250,	7,	ABS ,	-3500,	-10160
PT,	1,	5563.250,	8,	ABS ,	-3500,	-11360
PT,	1,	5563.250,	9,	ABS ,	-3100,	-11360
PT,	1,	5563.250,	10,	ABS ,	0,	-11360
PT,	1,	5563.250,	11,	ABS ,	0,	-10310
PT,	1,	5563.250,	12,	ABS ,	-2500,	-10310
PT,	1,	5563.250,	13,	ABS ,	-3100,	-10160
PT,	1,	5563.250,	14,	ABS ,	-3100,	-730
PT,	1,	5563.250,	15,	ABS ,	-2200,	-600
PT,	1,	5563.250,	16,	ABS ,	0,	-600
PT,	1,	5563.250,	17,	ABS ,	2200,	-600
PT,	1,	5563.250,	18,	ABS ,	3100,	-730
PT,	1,	5563.250,	19,	ABS ,	3100,	-10160
PT,	1,	5563.250,	20,	ABS ,	2500,	-10310
PT,	1,	5563.250,	21,	ABS ,	0,	-10310
PT,	1,	5563.250,	22,	ABS ,	0,	-11360
PT,	1,	5563.250,	23,	ABS ,	3100,	-11360
PT,	1,	5563.250,	24,	ABS ,	3500,	-11360
PT,	1,	5563.250,	25,	ABS ,	3500,	-10160
PT,	1,	5563.250,	26,	ABS ,	3500,	-600
PT,	1,	5563.250,	27,	ABS ,	4000,	-240
PT,	1,	5563.250,	28,	ABS ,	4000,	0
PT,	1,	5563.250,	29,	ABS ,	3500,	0
PT,	1,	5563.250,	30,	ABS ,	3100,	0
PT,	1,	5563.250,	31,	ABS ,	0,	0
PT,	1,	5568.250,	1,	ABS ,	0,	0
PT,	1,	5568.250,	2,	ABS ,	-3100,	0
PT,	1,	5568.250,	3,	ABS ,	-3500,	0
PT,	1,	5568.250,	4,	ABS ,	-4000,	0
PT,	1,	5568.250,	5,	ABS ,	-4000,	-240
PT,	1,	5568.250,	6,	ABS ,	-3500,	-600
PT,	1,	5568.250,	7,	ABS ,	-3500,	-10806
PT,	1,	5568.250,	8,	ABS ,	-3500,	-12056
PT,	1,	5568.250,	9,	ABS ,	-3100,	-12056
PT,	1,	5568.250,	10,	ABS ,	0,	-12056
PT,	1,	5568.250,	11,	ABS ,	0,	-10956
PT,	1,	5568.250,	12,	ABS ,	-2500,	-10956
PT,	1,	5568.250,	13,	ABS ,	-3100,	-10806
PT,	1,	5568.250,	14,	ABS ,	-3100,	-730
PT,	1,	5568.250,	15,	ABS ,	-2200,	-600
PT,	1,	5568.250,	16,	ABS ,	0,	-600
PT,	1,	5568.250,	17,	ABS ,	2200,	-600
PT,	1,	5568.250,	18,	ABS ,	3100,	-730
PT,	1,	5568.250,	19,	ABS ,	3100,	-10806
PT,	1,	5568.250,	20,	ABS ,	2500,	-10956
PT,	1,	5568.250,	21,	ABS ,	0,	-10956
PT,	1,	5568.250,	22,	ABS ,	0,	-12056
PT,	1,	5568.250,	23,	ABS ,	3100,	-12056
PT,	1,	5568.250,	24,	ABS ,	3500,	-12056
PT,	1,	5568.250,	25,	ABS ,	3500,	-10806
PT,	1,	5568.250,	26,	ABS ,	3500,	-600
PT,	1,	5568.250,	27,	ABS ,	4000,	-240
PT,	1,	5568.250,	28,	ABS ,	4000,	0
PT,	1,	5568.250,	29,	ABS ,	3500,	0
PT,	1,	5568.250,	30,	ABS ,	3100,	0
PT,	1,	5568.250,	31,	ABS ,	0,	0
PT,	1,	5572.000,	1,	ABS ,	0,	0
PT,	1,	5572.000,	2,	ABS ,	-3100,	0
PT,	1,	5572.000,	3,	ABS ,	-3500,	0
PT,	1,	5572.000,	4,	ABS ,	-4000,	0
PT,	1,	5572.000,	5,	ABS ,	-4000,	-240
PT,	1,	5572.000,	6,	ABS ,	-3500,	-600
PT,	1,	5572.000,	7,	ABS ,	-3500,	-11301

PT,	1,	5572.000,	8,	ABS,	-3500,	-12601
PT,	1,	5572.000,	9,	ABS,	-3100,	-12601
PT,	1,	5572.000,	10,	ABS,	0,	-12601
PT,	1,	5572.000,	11,	ABS,	0,	-11451
PT,	1,	5572.000,	12,	ABS,	-2500,	-11451
PT,	1,	5572.000,	13,	ABS,	-3100,	-11301
PT,	1,	5572.000,	14,	ABS,	-3100,	-730
PT,	1,	5572.000,	15,	ABS,	-2200,	-600
PT,	1,	5572.000,	16,	ABS,	0,	-600
PT,	1,	5572.000,	17,	ABS,	2200,	-600
PT,	1,	5572.000,	18,	ABS,	3100,	-730
PT,	1,	5572.000,	19,	ABS,	3100,	-11301
PT,	1,	5572.000,	20,	ABS,	2500,	-11451
PT,	1,	5572.000,	21,	ABS,	0,	-11451
PT,	1,	5572.000,	22,	ABS,	0,	-12601
PT,	1,	5572.000,	23,	ABS,	3100,	-12601
PT,	1,	5572.000,	24,	ABS,	3500,	-12601
PT,	1,	5572.000,	25,	ABS,	3500,	-11301
PT,	1,	5572.000,	26,	ABS,	3500,	-600
PT,	1,	5572.000,	27,	ABS,	4000,	-240
PT,	1,	5572.000,	28,	ABS,	4000,	0
PT,	1,	5572.000,	29,	ABS,	3500,	0
PT,	1,	5572.000,	30,	ABS,	3100,	0
PT,	1,	5572.000,	31,	ABS,	0,	0
PT,	1,	5575.000,	1,	ABS,	0,	0
PT,	1,	5575.000,	2,	ABS,	-3100,	0
PT,	1,	5575.000,	3,	ABS,	-3500,	0
PT,	1,	5575.000,	4,	ABS,	-4000,	0
PT,	1,	5575.000,	5,	ABS,	-4000,	-240
PT,	1,	5575.000,	6,	ABS,	-3500,	-600
PT,	1,	5575.000,	7,	ABS,	-3500,	-11703
PT,	1,	5575.000,	8,	ABS,	-3500,	-13053
PT,	1,	5575.000,	9,	ABS,	-3100,	-13053
PT,	1,	5575.000,	10,	ABS,	0,	-13053
PT,	1,	5575.000,	11,	ABS,	0,	-11853
PT,	1,	5575.000,	12,	ABS,	-2500,	-11853
PT,	1,	5575.000,	13,	ABS,	-3100,	-11703
PT,	1,	5575.000,	14,	ABS,	-3100,	-730
PT,	1,	5575.000,	15,	ABS,	-2200,	-600
PT,	1,	5575.000,	16,	ABS,	0,	-600
PT,	1,	5575.000,	17,	ABS,	2200,	-600
PT,	1,	5575.000,	18,	ABS,	3100,	-730
PT,	1,	5575.000,	19,	ABS,	3100,	-11703
PT,	1,	5575.000,	20,	ABS,	2500,	-11853
PT,	1,	5575.000,	21,	ABS,	0,	-11853
PT,	1,	5575.000,	22,	ABS,	0,	-13053
PT,	1,	5575.000,	23,	ABS,	3100,	-13053
PT,	1,	5575.000,	24,	ABS,	3500,	-13053
PT,	1,	5575.000,	25,	ABS,	3500,	-11703
PT,	1,	5575.000,	26,	ABS,	3500,	-600
PT,	1,	5575.000,	27,	ABS,	4000,	-240
PT,	1,	5575.000,	28,	ABS,	4000,	0
PT,	1,	5575.000,	29,	ABS,	3500,	0
PT,	1,	5575.000,	30,	ABS,	3100,	0
PT,	1,	5575.000,	31,	ABS,	0,	0
PT,	1,	5578.000,	1,	ABS,	0,	0
PT,	1,	5578.000,	2,	ABS,	-3100,	0
PT,	1,	5578.000,	3,	ABS,	-3500,	0
PT,	1,	5578.000,	4,	ABS,	-4000,	0
PT,	1,	5578.000,	5,	ABS,	-4000,	-240
PT,	1,	5578.000,	6,	ABS,	-3500,	-600
PT,	1,	5578.000,	7,	ABS,	-3500,	-12650
PT,	1,	5578.000,	8,	ABS,	-3500,	-14000
PT,	1,	5578.000,	9,	ABS,	-3100,	-14000
PT,	1,	5578.000,	10,	ABS,	0,	-14000
PT,	1,	5578.000,	11,	ABS,	0,	-12800
PT,	1,	5578.000,	12,	ABS,	-2500,	-12800
PT,	1,	5578.000,	13,	ABS,	-3100,	-12650
PT,	1,	5578.000,	14,	ABS,	-3100,	-730
PT,	1,	5578.000,	15,	ABS,	-2200,	-600
PT,	1,	5578.000,	16,	ABS,	0,	-600
PT,	1,	5578.000,	17,	ABS,	2200,	-600

PT,	1,	5578.000,	18,	ABS ,	3100,	-730
PT,	1,	5578.000,	19,	ABS ,	3100,	-12650
PT,	1,	5578.000,	20,	ABS ,	2500,	-12800
PT,	1,	5578.000,	21,	ABS ,	0,	-12800
PT,	1,	5578.000,	22,	ABS ,	0,	-14000
PT,	1,	5578.000,	23,	ABS ,	3100,	-14000
PT,	1,	5578.000,	24,	ABS ,	3500,	-14000
PT,	1,	5578.000,	25,	ABS ,	3500,	-12650
PT,	1,	5578.000,	26,	ABS ,	3500,	-600
PT,	1,	5578.000,	27,	ABS ,	4000,	-240
PT,	1,	5578.000,	28,	ABS ,	4000,	0
PT,	1,	5578.000,	29,	ABS ,	3500,	0
PT,	1,	5578.000,	30,	ABS ,	3100,	0
PT,	1,	5578.000,	31,	ABS ,	0,	0
PT,	1,	5579.000,	1,	ABS ,	0,	0
PT,	1,	5579.000,	2,	ABS ,	-3100,	0
PT,	1,	5579.000,	3,	ABS ,	-3500,	0
PT,	1,	5579.000,	4,	ABS ,	-4000,	0
PT,	1,	5579.000,	5,	ABS ,	-4000,	-240
PT,	1,	5579.000,	6,	ABS ,	-3500,	-600
PT,	1,	5579.000,	7,	ABS ,	-3500,	-12650
PT,	1,	5579.000,	8,	ABS ,	-3500,	-14000
PT,	1,	5579.000,	9,	ABS ,	-3100,	-14000
PT,	1,	5579.000,	10,	ABS ,	0,	-14000
PT,	1,	5579.000,	11,	ABS ,	0,	-12800
PT,	1,	5579.000,	12,	ABS ,	-2500,	-12800
PT,	1,	5579.000,	13,	ABS ,	-3100,	-12650
PT,	1,	5579.000,	14,	ABS ,	-3100,	-730
PT,	1,	5579.000,	15,	ABS ,	-2200,	-600
PT,	1,	5579.000,	16,	ABS ,	0,	-600
PT,	1,	5579.000,	17,	ABS ,	2200,	-600
PT,	1,	5579.000,	18,	ABS ,	3100,	-730
PT,	1,	5579.000,	19,	ABS ,	3100,	-12650
PT,	1,	5579.000,	20,	ABS ,	2500,	-12800
PT,	1,	5579.000,	21,	ABS ,	0,	-12800
PT,	1,	5579.000,	22,	ABS ,	0,	-14000
PT,	1,	5579.000,	23,	ABS ,	3100,	-14000
PT,	1,	5579.000,	24,	ABS ,	3500,	-14000
PT,	1,	5579.000,	25,	ABS ,	3500,	-12650
PT,	1,	5579.000,	26,	ABS ,	3500,	-600
PT,	1,	5579.000,	27,	ABS ,	4000,	-240
PT,	1,	5579.000,	28,	ABS ,	4000,	0
PT,	1,	5579.000,	29,	ABS ,	3500,	0
PT,	1,	5579.000,	30,	ABS ,	3100,	0
PT,	1,	5579.000,	31,	ABS ,	0,	0
PT,	1,	5582.000,	1,	ABS ,	0,	0
PT,	1,	5582.000,	2,	ABS ,	-3100,	0
PT,	1,	5582.000,	3,	ABS ,	-3500,	0
PT,	1,	5582.000,	4,	ABS ,	-4000,	0
PT,	1,	5582.000,	5,	ABS ,	-4000,	-240
PT,	1,	5582.000,	6,	ABS ,	-3500,	-600
PT,	1,	5582.000,	7,	ABS ,	-3500,	-12650
PT,	1,	5582.000,	8,	ABS ,	-3500,	-14000
PT,	1,	5582.000,	9,	ABS ,	-3100,	-14000
PT,	1,	5582.000,	10,	ABS ,	0,	-14000
PT,	1,	5582.000,	11,	ABS ,	0,	-12800
PT,	1,	5582.000,	12,	ABS ,	-2500,	-12800
PT,	1,	5582.000,	13,	ABS ,	-3100,	-12650
PT,	1,	5582.000,	14,	ABS ,	-3100,	-730
PT,	1,	5582.000,	15,	ABS ,	-2200,	-600
PT,	1,	5582.000,	16,	ABS ,	0,	-600
PT,	1,	5582.000,	17,	ABS ,	2200,	-600
PT,	1,	5582.000,	18,	ABS ,	3100,	-730
PT,	1,	5582.000,	19,	ABS ,	3100,	-12650
PT,	1,	5582.000,	20,	ABS ,	2500,	-12800
PT,	1,	5582.000,	21,	ABS ,	0,	-12800
PT,	1,	5582.000,	22,	ABS ,	0,	-14000
PT,	1,	5582.000,	23,	ABS ,	3100,	-14000
PT,	1,	5582.000,	24,	ABS ,	3500,	-14000
PT,	1,	5582.000,	25,	ABS ,	3500,	-12650
PT,	1,	5582.000,	26,	ABS ,	3500,	-600
PT,	1,	5582.000,	27,	ABS ,	4000,	-240

PT,	1,	5582.000,	28, ABS ,	4000,	0
PT,	1,	5582.000,	29, ABS ,	3500,	0
PT,	1,	5582.000,	30, ABS ,	3100,	0
PT,	1,	5582.000,	31, ABS ,	0,	0

% Fra akse 3 + 3 METER + 1 METER + 150 METER %

PT	1	5585.000	1 ABS	0	0
PT	1	5585.000	2 ABS	-3100	0
PT	1	5585.000	3 ABS	-3500	0
PT	1	5585.000	4 ABS	-4000	0
PT	1	5585.000	5 ABS	-4000	-240
PT	1	5585.000	6 ABS	-3500	-600
PT	1	5585.000	7 ABS	-3500	-12650
PT	1	5585.000	8 ABS	-3500	-14000
PT	1	5585.000	9 ABS	-3100	-14000
PT	1	5585.000	10 ABS	0	-14000
PT	1	5585.000	11 ABS	0	-12800
PT	1	5585.000	12 ABS	-2500	-12800
PT	1	5585.000	13 ABS	-3100	-12650
PT	1	5585.000	14 ABS	-3100	-730
PT	1	5585.000	15 ABS	-2200	-600
PT	1	5585.000	16 ABS	0	-600
PT	1	5585.000	17 ABS	2200	-600
PT	1	5585.000	18 ABS	3100	-730
PT	1	5585.000	19 ABS	3100	-12650
PT	1	5585.000	20 ABS	2500	-12800
PT	1	5585.000	21 ABS	0	-12800
PT	1	5585.000	22 ABS	0	-14000
PT	1	5585.000	23 ABS	3100	-14000
PT	1	5585.000	24 ABS	3500	-14000
PT	1	5585.000	25 ABS	3500	-12650
PT	1	5585.000	26 ABS	3500	-600
PT	1	5585.000	27 ABS	4000	-240
PT	1	5585.000	28 ABS	4000	0
PT	1	5585.000	29 ABS	3500	0
PT	1	5585.000	30 ABS	3100	0
PT	1	5585.000	31 ABS	0	0

PT	1	5586.000	1 ABS	0	0
PT	1	5586.000	2 ABS	-3100	0
PT	1	5586.000	3 ABS	-3500	0
PT	1	5586.000	4 ABS	-4000	0
PT	1	5586.000	5 ABS	-4000	-240
PT	1	5586.000	6 ABS	-3500	-600
PT	1	5586.000	7 ABS	-3500	-12650
PT	1	5586.000	8 ABS	-3500	-14000
PT	1	5586.000	9 ABS	-3100	-14000
PT	1	5586.000	10 ABS	0	-14000
PT	1	5586.000	11 ABS	0	-12800
PT	1	5586.000	12 ABS	-2500	-12800
PT	1	5586.000	13 ABS	-3100	-12650
PT	1	5586.000	14 ABS	-3100	-730
PT	1	5586.000	15 ABS	-2200	-600
PT	1	5586.000	16 ABS	0	-600
PT	1	5586.000	17 ABS	2200	-600
PT	1	5586.000	18 ABS	3100	-730
PT	1	5586.000	19 ABS	3100	-12650
PT	1	5586.000	20 ABS	2500	-12800
PT	1	5586.000	21 ABS	0	-12800
PT	1	5586.000	22 ABS	0	-14000
PT	1	5586.000	23 ABS	3100	-14000
PT	1	5586.000	24 ABS	3500	-14000
PT	1	5586.000	25 ABS	3500	-12650
PT	1	5586.000	26 ABS	3500	-600
PT	1	5586.000	27 ABS	4000	-240
PT	1	5586.000	28 ABS	4000	0
PT	1	5586.000	29 ABS	3500	0
PT	1	5586.000	30 ABS	3100	0
PT	1	5586.000	31 ABS	0	0

PT	1	5589.000	1 ABS	0	0
PT	1	5589.000	2 ABS	-3100	0

PT	1	5589.000	3	ABS	-3500	0
PT	1	5589.000	4	ABS	-4000	0
PT	1	5589.000	5	ABS	-4000	-240
PT	1	5589.000	6	ABS	-3500	-600
PT	1	5589.000	7	ABS	-3500	-11703
PT	1	5589.000	8	ABS	-3500	-13053
PT	1	5589.000	9	ABS	-3100	-13053
PT	1	5589.000	10	ABS	0	-13053
PT	1	5589.000	11	ABS	0	-11853
PT	1	5589.000	12	ABS	-2500	-11853
PT	1	5589.000	13	ABS	-3100	-11703
PT	1	5589.000	14	ABS	-3100	-730
PT	1	5589.000	15	ABS	-2200	-600
PT	1	5589.000	16	ABS	0	-600
PT	1	5589.000	17	ABS	2200	-600
PT	1	5589.000	18	ABS	3100	-730
PT	1	5589.000	19	ABS	3100	-11703
PT	1	5589.000	20	ABS	2500	-11853
PT	1	5589.000	21	ABS	0	-11853
PT	1	5589.000	22	ABS	0	-13053
PT	1	5589.000	23	ABS	3100	-13053
PT	1	5589.000	24	ABS	3500	-13053
PT	1	5589.000	25	ABS	3500	-11703
PT	1	5589.000	26	ABS	3500	-600
PT	1	5589.000	27	ABS	4000	-240
PT	1	5589.000	28	ABS	4000	0
PT	1	5589.000	29	ABS	3500	0
PT	1	5589.000	30	ABS	3100	0
PT	1	5589.000	31	ABS	0	0
PT	1	5592.000	1	ABS	0	0
PT	1	5592.000	2	ABS	-3100	0
PT	1	5592.000	3	ABS	-3500	0
PT	1	5592.000	4	ABS	-4000	0
PT	1	5592.000	5	ABS	-4000	-240
PT	1	5592.000	6	ABS	-3500	-600
PT	1	5592.000	7	ABS	-3500	-11301
PT	1	5592.000	8	ABS	-3500	-12601
PT	1	5592.000	9	ABS	-3100	-12601
PT	1	5592.000	10	ABS	0	-12601
PT	1	5592.000	11	ABS	0	-11451
PT	1	5592.000	12	ABS	-2500	-11451
PT	1	5592.000	13	ABS	-3100	-11301
PT	1	5592.000	14	ABS	-3100	-730
PT	1	5592.000	15	ABS	-2200	-600
PT	1	5592.000	16	ABS	0	-600
PT	1	5592.000	17	ABS	2200	-600
PT	1	5592.000	18	ABS	3100	-730
PT	1	5592.000	19	ABS	3100	-11301
PT	1	5592.000	20	ABS	2500	-11451
PT	1	5592.000	21	ABS	0	-11451
PT	1	5592.000	22	ABS	0	-12601
PT	1	5592.000	23	ABS	3100	-12601
PT	1	5592.000	24	ABS	3500	-12601
PT	1	5592.000	25	ABS	3500	-11301
PT	1	5592.000	26	ABS	3500	-600
PT	1	5592.000	27	ABS	4000	-240
PT	1	5592.000	28	ABS	4000	0
PT	1	5592.000	29	ABS	3500	0
PT	1	5592.000	30	ABS	3100	0
PT	1	5592.000	31	ABS	0	0
PT	1	5595.750	1	ABS	0	0
PT	1	5595.750	2	ABS	-3100	0
PT	1	5595.750	3	ABS	-3500	0
PT	1	5595.750	4	ABS	-4000	0
PT	1	5595.750	5	ABS	-4000	-240
PT	1	5595.750	6	ABS	-3500	-600
PT	1	5595.750	7	ABS	-3500	-10806
PT	1	5595.750	8	ABS	-3500	-12056
PT	1	5595.750	9	ABS	-3100	-12056
PT	1	5595.750	10	ABS	0	-12056
PT	1	5595.750	11	ABS	0	-10956
PT	1	5595.750	12	ABS	-2500	-10956

PT	1	5595.750	13	ABS	-3100	-10806
PT	1	5595.750	14	ABS	-3100	-730
PT	1	5595.750	15	ABS	-2200	-600
PT	1	5595.750	16	ABS	0	-600
PT	1	5595.750	17	ABS	2200	-600
PT	1	5595.750	18	ABS	3100	-730
PT	1	5595.750	19	ABS	3100	-10806
PT	1	5595.750	20	ABS	2500	-10956
PT	1	5595.750	21	ABS	0	-10956
PT	1	5595.750	22	ABS	0	-12056
PT	1	5595.750	23	ABS	3100	-12056
PT	1	5595.750	24	ABS	3500	-12056
PT	1	5595.750	25	ABS	3500	-10806
PT	1	5595.750	26	ABS	3500	-600
PT	1	5595.750	27	ABS	4000	-240
PT	1	5595.750	28	ABS	4000	0
PT	1	5595.750	29	ABS	3500	0
PT	1	5595.750	30	ABS	3100	0
PT	1	5595.750	31	ABS	0	0
PT	1	5600.750	1	ABS	0	0
PT	1	5600.750	2	ABS	-3100	0
PT	1	5600.750	3	ABS	-3500	0
PT	1	5600.750	4	ABS	-4000	0
PT	1	5600.750	5	ABS	-4000	-240
PT	1	5600.750	6	ABS	-3500	-600
PT	1	5600.750	7	ABS	-3500	-10160
PT	1	5600.750	8	ABS	-3500	-11360
PT	1	5600.750	9	ABS	-3100	-11360
PT	1	5600.750	10	ABS	0	-11360
PT	1	5600.750	11	ABS	0	-10310
PT	1	5600.750	12	ABS	-2500	-10310
PT	1	5600.750	13	ABS	-3100	-10160
PT	1	5600.750	14	ABS	-3100	-730
PT	1	5600.750	15	ABS	-2200	-600
PT	1	5600.750	16	ABS	0	-600
PT	1	5600.750	17	ABS	2200	-600
PT	1	5600.750	18	ABS	3100	-730
PT	1	5600.750	19	ABS	3100	-10160
PT	1	5600.750	20	ABS	2500	-10310
PT	1	5600.750	21	ABS	0	-10310
PT	1	5600.750	22	ABS	0	-11360
PT	1	5600.750	23	ABS	3100	-11360
PT	1	5600.750	24	ABS	3500	-11360
PT	1	5600.750	25	ABS	3500	-10160
PT	1	5600.750	26	ABS	3500	-600
PT	1	5600.750	27	ABS	4000	-240
PT	1	5600.750	28	ABS	4000	0
PT	1	5600.750	29	ABS	3500	0
PT	1	5600.750	30	ABS	3100	0
PT	1	5600.750	31	ABS	0	0
PT	1	5605.750	1	ABS	0	0
PT	1	5605.750	2	ABS	-3100	0
PT	1	5605.750	3	ABS	-3500	0
PT	1	5605.750	4	ABS	-4000	0
PT	1	5605.750	5	ABS	-4000	-240
PT	1	5605.750	6	ABS	-3500	-600
PT	1	5605.750	7	ABS	-3500	-9550
PT	1	5605.750	8	ABS	-3500	-10700
PT	1	5605.750	9	ABS	-3100	-10700
PT	1	5605.750	10	ABS	0	-10700
PT	1	5605.750	11	ABS	0	-9700
PT	1	5605.750	12	ABS	-2500	-9700
PT	1	5605.750	13	ABS	-3100	-9550
PT	1	5605.750	14	ABS	-3100	-730
PT	1	5605.750	15	ABS	-2200	-600
PT	1	5605.750	16	ABS	0	-600
PT	1	5605.750	17	ABS	2200	-600
PT	1	5605.750	18	ABS	3100	-730
PT	1	5605.750	19	ABS	3100	-9550
PT	1	5605.750	20	ABS	2500	-9700
PT	1	5605.750	21	ABS	0	-9700
PT	1	5605.750	22	ABS	0	-10700

PT	1	5605.750	23	ABS	3100	-10700
PT	1	5605.750	24	ABS	3500	-10700
PT	1	5605.750	25	ABS	3500	-9550
PT	1	5605.750	26	ABS	3500	-600
PT	1	5605.750	27	ABS	4000	-240
PT	1	5605.750	28	ABS	4000	0
PT	1	5605.750	29	ABS	3500	0
PT	1	5605.750	30	ABS	3100	0
PT	1	5605.750	31	ABS	0	0
PT	1	5610.750	1	ABS	0	0
PT	1	5610.750	2	ABS	-3100	0
PT	1	5610.750	3	ABS	-3500	0
PT	1	5610.750	4	ABS	-4000	0
PT	1	5610.750	5	ABS	-4000	-240
PT	1	5610.750	6	ABS	-3500	-600
PT	1	5610.750	7	ABS	-3500	-8974
PT	1	5610.750	8	ABS	-3500	-10074
PT	1	5610.750	9	ABS	-3100	-10074
PT	1	5610.750	10	ABS	0	-10074
PT	1	5610.750	11	ABS	0	-9124
PT	1	5610.750	12	ABS	-2500	-9124
PT	1	5610.750	13	ABS	-3100	-8974
PT	1	5610.750	14	ABS	-3100	-730
PT	1	5610.750	15	ABS	-2200	-600
PT	1	5610.750	16	ABS	0	-600
PT	1	5610.750	17	ABS	2200	-600
PT	1	5610.750	18	ABS	3100	-730
PT	1	5610.750	19	ABS	3100	-8974
PT	1	5610.750	20	ABS	2500	-9124
PT	1	5610.750	21	ABS	0	-9124
PT	1	5610.750	22	ABS	0	-10074
PT	1	5610.750	23	ABS	3100	-10074
PT	1	5610.750	24	ABS	3500	-10074
PT	1	5610.750	25	ABS	3500	-8974
PT	1	5610.750	26	ABS	3500	-600
PT	1	5610.750	27	ABS	4000	-240
PT	1	5610.750	28	ABS	4000	0
PT	1	5610.750	29	ABS	3500	0
PT	1	5610.750	30	ABS	3100	0
PT	1	5610.750	31	ABS	0	0
PT	1	5615.750	1	ABS	0	0
PT	1	5615.750	2	ABS	-3100	0
PT	1	5615.750	3	ABS	-3500	0
PT	1	5615.750	4	ABS	-4000	0
PT	1	5615.750	5	ABS	-4000	-240
PT	1	5615.750	6	ABS	-3500	-600
PT	1	5615.750	7	ABS	-3500	-8431
PT	1	5615.750	8	ABS	-3500	-9481
PT	1	5615.750	9	ABS	-3100	-9481
PT	1	5615.750	10	ABS	0	-9481
PT	1	5615.750	11	ABS	0	-8581
PT	1	5615.750	12	ABS	-2500	-8581
PT	1	5615.750	13	ABS	-3100	-8431
PT	1	5615.750	14	ABS	-3100	-730
PT	1	5615.750	15	ABS	-2200	-600
PT	1	5615.750	16	ABS	0	-600
PT	1	5615.750	17	ABS	2200	-600
PT	1	5615.750	18	ABS	3100	-730
PT	1	5615.750	19	ABS	3100	-8431
PT	1	5615.750	20	ABS	2500	-8581
PT	1	5615.750	21	ABS	0	-8581
PT	1	5615.750	22	ABS	0	-9481
PT	1	5615.750	23	ABS	3100	-9481
PT	1	5615.750	24	ABS	3500	-9481
PT	1	5615.750	25	ABS	3500	-8431
PT	1	5615.750	26	ABS	3500	-600
PT	1	5615.750	27	ABS	4000	-240
PT	1	5615.750	28	ABS	4000	0
PT	1	5615.750	29	ABS	3500	0
PT	1	5615.750	30	ABS	3100	0
PT	1	5615.750	31	ABS	0	0

PT	1	5620.750	1	ABS	0	0
PT	1	5620.750	2	ABS	-3100	0
PT	1	5620.750	3	ABS	-3500	0
PT	1	5620.750	4	ABS	-4000	0
PT	1	5620.750	5	ABS	-4000	-240
PT	1	5620.750	6	ABS	-3500	-600
PT	1	5620.750	7	ABS	-3500	-7920
PT	1	5620.750	8	ABS	-3500	-8920
PT	1	5620.750	9	ABS	-3100	-8920
PT	1	5620.750	10	ABS	0	-8920
PT	1	5620.750	11	ABS	0	-8070
PT	1	5620.750	12	ABS	-2500	-8070
PT	1	5620.750	13	ABS	-3100	-7920
PT	1	5620.750	14	ABS	-3100	-730
PT	1	5620.750	15	ABS	-2200	-600
PT	1	5620.750	16	ABS	0	-600
PT	1	5620.750	17	ABS	2200	-600
PT	1	5620.750	18	ABS	3100	-730
PT	1	5620.750	19	ABS	3100	-7920
PT	1	5620.750	20	ABS	2500	-8070
PT	1	5620.750	21	ABS	0	-8070
PT	1	5620.750	22	ABS	0	-8920
PT	1	5620.750	23	ABS	3100	-8920
PT	1	5620.750	24	ABS	3500	-8920
PT	1	5620.750	25	ABS	3500	-7920
PT	1	5620.750	26	ABS	3500	-600
PT	1	5620.750	27	ABS	4000	-240
PT	1	5620.750	28	ABS	4000	0
PT	1	5620.750	29	ABS	3500	0
PT	1	5620.750	30	ABS	3100	0
PT	1	5620.750	31	ABS	0	0
PT	1	5625.750	1	ABS	0	0
PT	1	5625.750	2	ABS	-3100	0
PT	1	5625.750	3	ABS	-3500	0
PT	1	5625.750	4	ABS	-4000	0
PT	1	5625.750	5	ABS	-4000	-240
PT	1	5625.750	6	ABS	-3500	-600
PT	1	5625.750	7	ABS	-3500	-7439
PT	1	5625.750	8	ABS	-3500	-8389
PT	1	5625.750	9	ABS	-3100	-8389
PT	1	5625.750	10	ABS	0	-8389
PT	1	5625.750	11	ABS	0	-7589
PT	1	5625.750	12	ABS	-2500	-7589
PT	1	5625.750	13	ABS	-3100	-7439
PT	1	5625.750	14	ABS	-3100	-730
PT	1	5625.750	15	ABS	-2200	-600
PT	1	5625.750	16	ABS	0	-600
PT	1	5625.750	17	ABS	2200	-600
PT	1	5625.750	18	ABS	3100	-730
PT	1	5625.750	19	ABS	3100	-7439
PT	1	5625.750	20	ABS	2500	-7589
PT	1	5625.750	21	ABS	0	-7589
PT	1	5625.750	22	ABS	0	-8389
PT	1	5625.750	23	ABS	3100	-8389
PT	1	5625.750	24	ABS	3500	-8389
PT	1	5625.750	25	ABS	3500	-7439
PT	1	5625.750	26	ABS	3500	-600
PT	1	5625.750	27	ABS	4000	-240
PT	1	5625.750	28	ABS	4000	0
PT	1	5625.750	29	ABS	3500	0
PT	1	5625.750	30	ABS	3100	0
PT	1	5625.750	31	ABS	0	0
PT	1	5630.750	1	ABS	0	0
PT	1	5630.750	2	ABS	-3100	0
PT	1	5630.750	3	ABS	-3500	0
PT	1	5630.750	4	ABS	-4000	0
PT	1	5630.750	5	ABS	-4000	-240
PT	1	5630.750	6	ABS	-3500	-600
PT	1	5630.750	7	ABS	-3500	-6989
PT	1	5630.750	8	ABS	-3500	-7889
PT	1	5630.750	9	ABS	-3100	-7889
PT	1	5630.750	10	ABS	0	-7889

PT	1	5630.750	11	ABS	0	-7139
PT	1	5630.750	12	ABS	-2500	-7139
PT	1	5630.750	13	ABS	-3100	-6989
PT	1	5630.750	14	ABS	-3100	-730
PT	1	5630.750	15	ABS	-2200	-600
PT	1	5630.750	16	ABS	0	-600
PT	1	5630.750	17	ABS	2200	-600
PT	1	5630.750	18	ABS	3100	-730
PT	1	5630.750	19	ABS	3100	-6989
PT	1	5630.750	20	ABS	2500	-7139
PT	1	5630.750	21	ABS	0	-7139
PT	1	5630.750	22	ABS	0	-7889
PT	1	5630.750	23	ABS	3100	-7889
PT	1	5630.750	24	ABS	3500	-7889
PT	1	5630.750	25	ABS	3500	-6989
PT	1	5630.750	26	ABS	3500	-600
PT	1	5630.750	27	ABS	4000	-240
PT	1	5630.750	28	ABS	4000	0
PT	1	5630.750	29	ABS	3500	0
PT	1	5630.750	30	ABS	3100	0
PT	1	5630.750	31	ABS	0	0
PT	1	5635.750	1	ABS	0	0
PT	1	5635.750	2	ABS	-3100	0
PT	1	5635.750	3	ABS	-3500	0
PT	1	5635.750	4	ABS	-4000	0
PT	1	5635.750	5	ABS	-4000	-240
PT	1	5635.750	6	ABS	-3500	-600
PT	1	5635.750	7	ABS	-3500	-6568
PT	1	5635.750	8	ABS	-3500	-7418
PT	1	5635.750	9	ABS	-3100	-7418
PT	1	5635.750	10	ABS	0	-7418
PT	1	5635.750	11	ABS	0	-6718
PT	1	5635.750	12	ABS	-2500	-6718
PT	1	5635.750	13	ABS	-3100	-6568
PT	1	5635.750	14	ABS	-3100	-730
PT	1	5635.750	15	ABS	-2200	-600
PT	1	5635.750	16	ABS	0	-600
PT	1	5635.750	17	ABS	2200	-600
PT	1	5635.750	18	ABS	3100	-730
PT	1	5635.750	19	ABS	3100	-6568
PT	1	5635.750	20	ABS	2500	-6718
PT	1	5635.750	21	ABS	0	-6718
PT	1	5635.750	22	ABS	0	-7418
PT	1	5635.750	23	ABS	3100	-7418
PT	1	5635.750	24	ABS	3500	-7418
PT	1	5635.750	25	ABS	3500	-6568
PT	1	5635.750	26	ABS	3500	-600
PT	1	5635.750	27	ABS	4000	-240
PT	1	5635.750	28	ABS	4000	0
PT	1	5635.750	29	ABS	3500	0
PT	1	5635.750	30	ABS	3100	0
PT	1	5635.750	31	ABS	0	0
PT	1	5640.750	1	ABS	0	0
PT	1	5640.750	2	ABS	-3100	0
PT	1	5640.750	3	ABS	-3500	0
PT	1	5640.750	4	ABS	-4000	0
PT	1	5640.750	5	ABS	-4000	-240
PT	1	5640.750	6	ABS	-3500	-600
PT	1	5640.750	7	ABS	-3500	-6175
PT	1	5640.750	8	ABS	-3500	-6975
PT	1	5640.750	9	ABS	-3100	-6975
PT	1	5640.750	10	ABS	0	-6975
PT	1	5640.750	11	ABS	0	-6325
PT	1	5640.750	12	ABS	-2500	-6325
PT	1	5640.750	13	ABS	-3100	-6175
PT	1	5640.750	14	ABS	-3100	-730
PT	1	5640.750	15	ABS	-2200	-600
PT	1	5640.750	16	ABS	0	-600
PT	1	5640.750	17	ABS	2200	-600
PT	1	5640.750	18	ABS	3100	-730
PT	1	5640.750	19	ABS	3100	-6175
PT	1	5640.750	20	ABS	2500	-6325

PT	1	5640.750	21	ABS	0	-6325
PT	1	5640.750	22	ABS	0	-6975
PT	1	5640.750	23	ABS	3100	-6975
PT	1	5640.750	24	ABS	3500	-6975
PT	1	5640.750	25	ABS	3500	-6175
PT	1	5640.750	26	ABS	3500	-600
PT	1	5640.750	27	ABS	4000	-240
PT	1	5640.750	28	ABS	4000	0
PT	1	5640.750	29	ABS	3500	0
PT	1	5640.750	30	ABS	3100	0
PT	1	5640.750	31	ABS	0	0
PT	1	5645.750	1	ABS	0	0
PT	1	5645.750	2	ABS	-3100	0
PT	1	5645.750	3	ABS	-3500	0
PT	1	5645.750	4	ABS	-4000	0
PT	1	5645.750	5	ABS	-4000	-240
PT	1	5645.750	6	ABS	-3500	-600
PT	1	5645.750	7	ABS	-3500	-5810
PT	1	5645.750	8	ABS	-3500	-6560
PT	1	5645.750	9	ABS	-3100	-6560
PT	1	5645.750	10	ABS	0	-6560
PT	1	5645.750	11	ABS	0	-5960
PT	1	5645.750	12	ABS	-2500	-5960
PT	1	5645.750	13	ABS	-3100	-5810
PT	1	5645.750	14	ABS	-3100	-730
PT	1	5645.750	15	ABS	-2200	-600
PT	1	5645.750	16	ABS	0	-600
PT	1	5645.750	17	ABS	2200	-600
PT	1	5645.750	18	ABS	3100	-730
PT	1	5645.750	19	ABS	3100	-5810
PT	1	5645.750	20	ABS	2500	-5960
PT	1	5645.750	21	ABS	0	-5960
PT	1	5645.750	22	ABS	0	-6560
PT	1	5645.750	23	ABS	3100	-6560
PT	1	5645.750	24	ABS	3500	-6560
PT	1	5645.750	25	ABS	3500	-5810
PT	1	5645.750	26	ABS	3500	-600
PT	1	5645.750	27	ABS	4000	-240
PT	1	5645.750	28	ABS	4000	0
PT	1	5645.750	29	ABS	3500	0
PT	1	5645.750	30	ABS	3100	0
PT	1	5645.750	31	ABS	0	0
PT	1	5650.750	1	ABS	0	0
PT	1	5650.750	2	ABS	-3100	0
PT	1	5650.750	3	ABS	-3500	0
PT	1	5650.750	4	ABS	-4000	0
PT	1	5650.750	5	ABS	-4000	-240
PT	1	5650.750	6	ABS	-3500	-600
PT	1	5650.750	7	ABS	-3500	-5472
PT	1	5650.750	8	ABS	-3500	-6172
PT	1	5650.750	9	ABS	-3100	-6172
PT	1	5650.750	10	ABS	0	-6172
PT	1	5650.750	11	ABS	0	-5622
PT	1	5650.750	12	ABS	-2500	-5622
PT	1	5650.750	13	ABS	-3100	-5472
PT	1	5650.750	14	ABS	-3100	-730
PT	1	5650.750	15	ABS	-2200	-600
PT	1	5650.750	16	ABS	0	-600
PT	1	5650.750	17	ABS	2200	-600
PT	1	5650.750	18	ABS	3100	-730
PT	1	5650.750	19	ABS	3100	-5472
PT	1	5650.750	20	ABS	2500	-5622
PT	1	5650.750	21	ABS	0	-5622
PT	1	5650.750	22	ABS	0	-6172
PT	1	5650.750	23	ABS	3100	-6172
PT	1	5650.750	24	ABS	3500	-6172
PT	1	5650.750	25	ABS	3500	-5472
PT	1	5650.750	26	ABS	3500	-600
PT	1	5650.750	27	ABS	4000	-240
PT	1	5650.750	28	ABS	4000	0
PT	1	5650.750	29	ABS	3500	0
PT	1	5650.750	30	ABS	3100	0

PT	1	5650.750	31	ABS	0	0
PT	1	5655.750	1	ABS	0	0
PT	1	5655.750	2	ABS	-3100	0
PT	1	5655.750	3	ABS	-3500	0
PT	1	5655.750	4	ABS	-4000	0
PT	1	5655.750	5	ABS	-4000	-240
PT	1	5655.750	6	ABS	-3500	-600
PT	1	5655.750	7	ABS	-3500	-5161
PT	1	5655.750	8	ABS	-3500	-5811
PT	1	5655.750	9	ABS	-3100	-5811
PT	1	5655.750	10	ABS	0	-5811
PT	1	5655.750	11	ABS	0	-5311
PT	1	5655.750	12	ABS	-2500	-5311
PT	1	5655.750	13	ABS	-3100	-5161
PT	1	5655.750	14	ABS	-3100	-730
PT	1	5655.750	15	ABS	-2200	-600
PT	1	5655.750	16	ABS	0	-600
PT	1	5655.750	17	ABS	2200	-600
PT	1	5655.750	18	ABS	3100	-730
PT	1	5655.750	19	ABS	3100	-5161
PT	1	5655.750	20	ABS	2500	-5311
PT	1	5655.750	21	ABS	0	-5311
PT	1	5655.750	22	ABS	0	-5811
PT	1	5655.750	23	ABS	3100	-5811
PT	1	5655.750	24	ABS	3500	-5811
PT	1	5655.750	25	ABS	3500	-5161
PT	1	5655.750	26	ABS	3500	-600
PT	1	5655.750	27	ABS	4000	-240
PT	1	5655.750	28	ABS	4000	0
PT	1	5655.750	29	ABS	3500	0
PT	1	5655.750	30	ABS	3100	0
PT	1	5655.750	31	ABS	0	0
PT	1	5660.750	1	ABS	0	0
PT	1	5660.750	2	ABS	-3100	0
PT	1	5660.750	3	ABS	-3500	0
PT	1	5660.750	4	ABS	-4000	0
PT	1	5660.750	5	ABS	-4000	-240
PT	1	5660.750	6	ABS	-3500	-600
PT	1	5660.750	7	ABS	-3500	-4876
PT	1	5660.750	8	ABS	-3500	-5476
PT	1	5660.750	9	ABS	-3100	-5476
PT	1	5660.750	10	ABS	0	-5476
PT	1	5660.750	11	ABS	0	-5026
PT	1	5660.750	12	ABS	-2500	-5026
PT	1	5660.750	13	ABS	-3100	-4876
PT	1	5660.750	14	ABS	-3100	-730
PT	1	5660.750	15	ABS	-2200	-600
PT	1	5660.750	16	ABS	0	-600
PT	1	5660.750	17	ABS	2200	-600
PT	1	5660.750	18	ABS	3100	-730
PT	1	5660.750	19	ABS	3100	-4876
PT	1	5660.750	20	ABS	2500	-5026
PT	1	5660.750	21	ABS	0	-5026
PT	1	5660.750	22	ABS	0	-5476
PT	1	5660.750	23	ABS	3100	-5476
PT	1	5660.750	24	ABS	3500	-5476
PT	1	5660.750	25	ABS	3500	-4876
PT	1	5660.750	26	ABS	3500	-600
PT	1	5660.750	27	ABS	4000	-240
PT	1	5660.750	28	ABS	4000	0
PT	1	5660.750	29	ABS	3500	0
PT	1	5660.750	30	ABS	3100	0
PT	1	5660.750	31	ABS	0	0
PT	1	5665.750	1	ABS	0	0
PT	1	5665.750	2	ABS	-3200	0
PT	1	5665.750	3	ABS	-3500	0
PT	1	5665.750	4	ABS	-4000	0
PT	1	5665.750	5	ABS	-4000	-240
PT	1	5665.750	6	ABS	-3500	-600
PT	1	5665.750	7	ABS	-3500	-4616
PT	1	5665.750	8	ABS	-3500	-5166

PT	1	5665.750	9	ABS	-3200	-5166
PT	1	5665.750	10	ABS	0	-5166
PT	1	5665.750	11	ABS	0	-4766
PT	1	5665.750	12	ABS	-2600	-4766
PT	1	5665.750	13	ABS	-3200	-4616
PT	1	5665.750	14	ABS	-3200	-600
PT	1	5665.750	15	ABS	-2300	-280
PT	1	5665.750	16	ABS	0	-280
PT	1	5665.750	17	ABS	2300	-280
PT	1	5665.750	18	ABS	3200	-600
PT	1	5665.750	19	ABS	3200	-4616
PT	1	5665.750	20	ABS	2600	-4766
PT	1	5665.750	21	ABS	0	-4766
PT	1	5665.750	22	ABS	0	-5166
PT	1	5665.750	23	ABS	3200	-5166
PT	1	5665.750	24	ABS	3500	-5166
PT	1	5665.750	25	ABS	3500	-4616
PT	1	5665.750	26	ABS	3500	-600
PT	1	5665.750	27	ABS	4000	-240
PT	1	5665.750	28	ABS	4000	0
PT	1	5665.750	29	ABS	3500	0
PT	1	5665.750	30	ABS	3200	0
PT	1	5665.750	31	ABS	0	0
PT	1	5670.750	1	ABS	0	0
PT	1	5670.750	2	ABS	-3200	0
PT	1	5670.750	3	ABS	-3500	0
PT	1	5670.750	4	ABS	-4000	0
PT	1	5670.750	5	ABS	-4000	-240
PT	1	5670.750	6	ABS	-3500	-600
PT	1	5670.750	7	ABS	-3500	-4382
PT	1	5670.750	8	ABS	-3500	-4882
PT	1	5670.750	9	ABS	-3200	-4882
PT	1	5670.750	10	ABS	0	-4882
PT	1	5670.750	11	ABS	0	-4532
PT	1	5670.750	12	ABS	-2600	-4532
PT	1	5670.750	13	ABS	-3200	-4382
PT	1	5670.750	14	ABS	-3200	-600
PT	1	5670.750	15	ABS	-2300	-280
PT	1	5670.750	16	ABS	0	-280
PT	1	5670.750	17	ABS	2300	-280
PT	1	5670.750	18	ABS	3200	-600
PT	1	5670.750	19	ABS	3200	-4382
PT	1	5670.750	20	ABS	2600	-4532
PT	1	5670.750	21	ABS	0	-4532
PT	1	5670.750	22	ABS	0	-4882
PT	1	5670.750	23	ABS	3200	-4882
PT	1	5670.750	24	ABS	3500	-4882
PT	1	5670.750	25	ABS	3500	-4382
PT	1	5670.750	26	ABS	3500	-600
PT	1	5670.750	27	ABS	4000	-240
PT	1	5670.750	28	ABS	4000	0
PT	1	5670.750	29	ABS	3500	0
PT	1	5670.750	30	ABS	3200	0
PT	1	5670.750	31	ABS	0	0
PT	1	5675.750	1	ABS	0	0
PT	1	5675.750	2	ABS	-3200	0
PT	1	5675.750	3	ABS	-3500	0
PT	1	5675.750	4	ABS	-4000	0
PT	1	5675.750	5	ABS	-4000	-240
PT	1	5675.750	6	ABS	-3500	-600
PT	1	5675.750	7	ABS	-3500	-4173
PT	1	5675.750	8	ABS	-3500	-4623
PT	1	5675.750	9	ABS	-3200	-4623
PT	1	5675.750	10	ABS	0	-4623
PT	1	5675.750	11	ABS	0	-4323
PT	1	5675.750	12	ABS	-2600	-4323
PT	1	5675.750	13	ABS	-3200	-4173
PT	1	5675.750	14	ABS	-3200	-600
PT	1	5675.750	15	ABS	-2300	-280
PT	1	5675.750	16	ABS	0	-280
PT	1	5675.750	17	ABS	2300	-280
PT	1	5675.750	18	ABS	3200	-600

PT	1	5675.750	19	ABS	3200	-4173
PT	1	5675.750	20	ABS	2600	-4323
PT	1	5675.750	21	ABS	0	-4323
PT	1	5675.750	22	ABS	0	-4623
PT	1	5675.750	23	ABS	3200	-4623
PT	1	5675.750	24	ABS	3500	-4623
PT	1	5675.750	25	ABS	3500	-4173
PT	1	5675.750	26	ABS	3500	-600
PT	1	5675.750	27	ABS	4000	-240
PT	1	5675.750	28	ABS	4000	0
PT	1	5675.750	29	ABS	3500	0
PT	1	5675.750	30	ABS	3200	0
PT	1	5675.750	31	ABS	0	0
PT	1	5680.750	1	ABS	0	0
PT	1	5680.750	2	ABS	-3200	0
PT	1	5680.750	3	ABS	-3500	0
PT	1	5680.750	4	ABS	-4000	0
PT	1	5680.750	5	ABS	-4000	-240
PT	1	5680.750	6	ABS	-3500	-600
PT	1	5680.750	7	ABS	-3500	-3978
PT	1	5680.750	8	ABS	-3500	-4388
PT	1	5680.750	9	ABS	-3200	-4388
PT	1	5680.750	10	ABS	0	-4388
PT	1	5680.750	11	ABS	0	-4128
PT	1	5680.750	12	ABS	-2600	-4128
PT	1	5680.750	13	ABS	-3200	-3978
PT	1	5680.750	14	ABS	-3200	-600
PT	1	5680.750	15	ABS	-2300	-280
PT	1	5680.750	16	ABS	0	-280
PT	1	5680.750	17	ABS	2300	-280
PT	1	5680.750	18	ABS	3200	-600
PT	1	5680.750	19	ABS	3200	-3978
PT	1	5680.750	20	ABS	2600	-4128
PT	1	5680.750	21	ABS	0	-4128
PT	1	5680.750	22	ABS	0	-4388
PT	1	5680.750	23	ABS	3200	-4388
PT	1	5680.750	24	ABS	3500	-4388
PT	1	5680.750	25	ABS	3500	-3978
PT	1	5680.750	26	ABS	3500	-600
PT	1	5680.750	27	ABS	4000	-240
PT	1	5680.750	28	ABS	4000	0
PT	1	5680.750	29	ABS	3500	0
PT	1	5680.750	30	ABS	3200	0
PT	1	5680.750	31	ABS	0	0
PT	1	5685.750	1	ABS	0	0
PT	1	5685.750	2	ABS	-3200	0
PT	1	5685.750	3	ABS	-3500	0
PT	1	5685.750	4	ABS	-4000	0
PT	1	5685.750	5	ABS	-4000	-240
PT	1	5685.750	6	ABS	-3500	-600
PT	1	5685.750	7	ABS	-3500	-3767
PT	1	5685.750	8	ABS	-3500	-4177
PT	1	5685.750	9	ABS	-3200	-4177
PT	1	5685.750	10	ABS	0	-4177
PT	1	5685.750	11	ABS	0	-3917
PT	1	5685.750	12	ABS	-2600	-3917
PT	1	5685.750	13	ABS	-3200	-3767
PT	1	5685.750	14	ABS	-3200	-600
PT	1	5685.750	15	ABS	-2300	-280
PT	1	5685.750	16	ABS	0	-280
PT	1	5685.750	17	ABS	2300	-280
PT	1	5685.750	18	ABS	3200	-600
PT	1	5685.750	19	ABS	3200	-3767
PT	1	5685.750	20	ABS	2600	-3917
PT	1	5685.750	21	ABS	0	-3917
PT	1	5685.750	22	ABS	0	-4177
PT	1	5685.750	23	ABS	3200	-4177
PT	1	5685.750	24	ABS	3500	-4177
PT	1	5685.750	25	ABS	3500	-3767
PT	1	5685.750	26	ABS	3500	-600
PT	1	5685.750	27	ABS	4000	-240
PT	1	5685.750	28	ABS	4000	0

PT	1	5685.750	29	ABS	3500	0
PT	1	5685.750	30	ABS	3200	0
PT	1	5685.750	31	ABS	0	0
PT	1	5690.750	1	ABS	0	0
PT	1	5690.750	2	ABS	-3200	0
PT	1	5690.750	3	ABS	-3500	0
PT	1	5690.750	4	ABS	-4000	0
PT	1	5690.750	5	ABS	-4000	-240
PT	1	5690.750	6	ABS	-3500	-600
PT	1	5690.750	7	ABS	-3500	-3581
PT	1	5690.750	8	ABS	-3500	-3991
PT	1	5690.750	9	ABS	-3200	-3991
PT	1	5690.750	10	ABS	0	-3991
PT	1	5690.750	11	ABS	0	-3731
PT	1	5690.750	12	ABS	-2600	-3731
PT	1	5690.750	13	ABS	-3200	-3581
PT	1	5690.750	14	ABS	-3200	-600
PT	1	5690.750	15	ABS	-2300	-280
PT	1	5690.750	16	ABS	0	-280
PT	1	5690.750	17	ABS	2300	-280
PT	1	5690.750	18	ABS	3200	-600
PT	1	5690.750	19	ABS	3200	-3581
PT	1	5690.750	20	ABS	2600	-3731
PT	1	5690.750	21	ABS	0	-3731
PT	1	5690.750	22	ABS	0	-3991
PT	1	5690.750	23	ABS	3200	-3991
PT	1	5690.750	24	ABS	3500	-3991
PT	1	5690.750	25	ABS	3500	-3581
PT	1	5690.750	26	ABS	3500	-600
PT	1	5690.750	27	ABS	4000	-240
PT	1	5690.750	28	ABS	4000	0
PT	1	5690.750	29	ABS	3500	0
PT	1	5690.750	30	ABS	3200	0
PT	1	5690.750	31	ABS	0	0
PT	1	5695.750	1	ABS	0	0
PT	1	5695.750	2	ABS	-3200	0
PT	1	5695.750	3	ABS	-3500	0
PT	1	5695.750	4	ABS	-4000	0
PT	1	5695.750	5	ABS	-4000	-240
PT	1	5695.750	6	ABS	-3500	-600
PT	1	5695.750	7	ABS	-3500	-3418
PT	1	5695.750	8	ABS	-3500	-3828
PT	1	5695.750	9	ABS	-3200	-3828
PT	1	5695.750	10	ABS	0	-3828
PT	1	5695.750	11	ABS	0	-3568
PT	1	5695.750	12	ABS	-2600	-3568
PT	1	5695.750	13	ABS	-3200	-3418
PT	1	5695.750	14	ABS	-3200	-600
PT	1	5695.750	15	ABS	-2300	-280
PT	1	5695.750	16	ABS	0	-280
PT	1	5695.750	17	ABS	2300	-280
PT	1	5695.750	18	ABS	3200	-600
PT	1	5695.750	19	ABS	3200	-3418
PT	1	5695.750	20	ABS	2600	-3568
PT	1	5695.750	21	ABS	0	-3568
PT	1	5695.750	22	ABS	0	-3828
PT	1	5695.750	23	ABS	3200	-3828
PT	1	5695.750	24	ABS	3500	-3828
PT	1	5695.750	25	ABS	3500	-3418
PT	1	5695.750	26	ABS	3500	-600
PT	1	5695.750	27	ABS	4000	-240
PT	1	5695.750	28	ABS	4000	0
PT	1	5695.750	29	ABS	3500	0
PT	1	5695.750	30	ABS	3200	0
PT	1	5695.750	31	ABS	0	0
PT	1	5700.750	1	ABS	0	0
PT	1	5700.750	2	ABS	-3200	0
PT	1	5700.750	3	ABS	-3500	0
PT	1	5700.750	4	ABS	-4000	0
PT	1	5700.750	5	ABS	-4000	-240
PT	1	5700.750	6	ABS	-3500	-600

PT	1	5700.750	7	ABS	-3500	-3279
PT	1	5700.750	8	ABS	-3500	-3689
PT	1	5700.750	9	ABS	-3200	-3689
PT	1	5700.750	10	ABS	0	-3689
PT	1	5700.750	11	ABS	0	-3429
PT	1	5700.750	12	ABS	-2600	-3429
PT	1	5700.750	13	ABS	-3200	-3279
PT	1	5700.750	14	ABS	-3200	-600
PT	1	5700.750	15	ABS	-2300	-280
PT	1	5700.750	16	ABS	0	-280
PT	1	5700.750	17	ABS	2300	-280
PT	1	5700.750	18	ABS	3200	-600
PT	1	5700.750	19	ABS	3200	-3279
PT	1	5700.750	20	ABS	2600	-3429
PT	1	5700.750	21	ABS	0	-3429
PT	1	5700.750	22	ABS	0	-3689
PT	1	5700.750	23	ABS	3200	-3689
PT	1	5700.750	24	ABS	3500	-3689
PT	1	5700.750	25	ABS	3500	-3279
PT	1	5700.750	26	ABS	3500	-600
PT	1	5700.750	27	ABS	4000	-240
PT	1	5700.750	28	ABS	4000	0
PT	1	5700.750	29	ABS	3500	0
PT	1	5700.750	30	ABS	3200	0
PT	1	5700.750	31	ABS	0	0
PT	1	5705.750	1	ABS	0	0
PT	1	5705.750	2	ABS	-3200	0
PT	1	5705.750	3	ABS	-3500	0
PT	1	5705.750	4	ABS	-4000	0
PT	1	5705.750	5	ABS	-4000	-240
PT	1	5705.750	6	ABS	-3500	-600
PT	1	5705.750	7	ABS	-3500	-3164
PT	1	5705.750	8	ABS	-3500	-3574
PT	1	5705.750	9	ABS	-3200	-3574
PT	1	5705.750	10	ABS	0	-3574
PT	1	5705.750	11	ABS	0	-3314
PT	1	5705.750	12	ABS	-2600	-3314
PT	1	5705.750	13	ABS	-3200	-3164
PT	1	5705.750	14	ABS	-3200	-600
PT	1	5705.750	15	ABS	-2300	-280
PT	1	5705.750	16	ABS	0	-280
PT	1	5705.750	17	ABS	2300	-280
PT	1	5705.750	18	ABS	3200	-600
PT	1	5705.750	19	ABS	3200	-3164
PT	1	5705.750	20	ABS	2600	-3314
PT	1	5705.750	21	ABS	0	-3314
PT	1	5705.750	22	ABS	0	-3574
PT	1	5705.750	23	ABS	3200	-3574
PT	1	5705.750	24	ABS	3500	-3574
PT	1	5705.750	25	ABS	3500	-3164
PT	1	5705.750	26	ABS	3500	-600
PT	1	5705.750	27	ABS	4000	-240
PT	1	5705.750	28	ABS	4000	0
PT	1	5705.750	29	ABS	3500	0
PT	1	5705.750	30	ABS	3200	0
PT	1	5705.750	31	ABS	0	0
PT	1	5710.750	1	ABS	0	0
PT	1	5710.750	2	ABS	-3200	0
PT	1	5710.750	3	ABS	-3500	0
PT	1	5710.750	4	ABS	-4000	0
PT	1	5710.750	5	ABS	-4000	-240
PT	1	5710.750	6	ABS	-3500	-600
PT	1	5710.750	7	ABS	-3500	-3071
PT	1	5710.750	8	ABS	-3500	-3481
PT	1	5710.750	9	ABS	-3200	-3481
PT	1	5710.750	10	ABS	0	-3481
PT	1	5710.750	11	ABS	0	-3221
PT	1	5710.750	12	ABS	-2600	-3221
PT	1	5710.750	13	ABS	-3200	-3071
PT	1	5710.750	14	ABS	-3200	-600
PT	1	5710.750	15	ABS	-2300	-280
PT	1	5710.750	16	ABS	0	-280

PT	1	5710.750	17	ABS	2300	-280
PT	1	5710.750	18	ABS	3200	-600
PT	1	5710.750	19	ABS	3200	-3071
PT	1	5710.750	20	ABS	2600	-3221
PT	1	5710.750	21	ABS	0	-3221
PT	1	5710.750	22	ABS	0	-3481
PT	1	5710.750	23	ABS	3200	-3481
PT	1	5710.750	24	ABS	3500	-3481
PT	1	5710.750	25	ABS	3500	-3071
PT	1	5710.750	26	ABS	3500	-600
PT	1	5710.750	27	ABS	4000	-240
PT	1	5710.750	28	ABS	4000	0
PT	1	5710.750	29	ABS	3500	0
PT	1	5710.750	30	ABS	3200	0
PT	1	5710.750	31	ABS	0	0
PT	1	5715.750	1	ABS	0	0
PT	1	5715.750	2	ABS	-3200	0
PT	1	5715.750	3	ABS	-3500	0
PT	1	5715.750	4	ABS	-4000	0
PT	1	5715.750	5	ABS	-4000	-240
PT	1	5715.750	6	ABS	-3500	-600
PT	1	5715.750	7	ABS	-3500	-3002
PT	1	5715.750	8	ABS	-3500	-3412
PT	1	5715.750	9	ABS	-3200	-3412
PT	1	5715.750	10	ABS	0	-3412
PT	1	5715.750	11	ABS	0	-3152
PT	1	5715.750	12	ABS	-2600	-3152
PT	1	5715.750	13	ABS	-3200	-3002
PT	1	5715.750	14	ABS	-3200	-600
PT	1	5715.750	15	ABS	-2300	-280
PT	1	5715.750	16	ABS	0	-280
PT	1	5715.750	17	ABS	2300	-280
PT	1	5715.750	18	ABS	3200	-600
PT	1	5715.750	19	ABS	3200	-3002
PT	1	5715.750	20	ABS	2600	-3152
PT	1	5715.750	21	ABS	0	-3152
PT	1	5715.750	22	ABS	0	-3412
PT	1	5715.750	23	ABS	3200	-3412
PT	1	5715.750	24	ABS	3500	-3412
PT	1	5715.750	25	ABS	3500	-3002
PT	1	5715.750	26	ABS	3500	-600
PT	1	5715.750	27	ABS	4000	-240
PT	1	5715.750	28	ABS	4000	0
PT	1	5715.750	29	ABS	3500	0
PT	1	5715.750	30	ABS	3200	0
PT	1	5715.750	31	ABS	0	0
PT	1	5720.750	1	ABS	0	0
PT	1	5720.750	2	ABS	-3200	0
PT	1	5720.750	3	ABS	-3500	0
PT	1	5720.750	4	ABS	-4000	0
PT	1	5720.750	5	ABS	-4000	-240
PT	1	5720.750	6	ABS	-3500	-600
PT	1	5720.750	7	ABS	-3500	-2956
PT	1	5720.750	8	ABS	-3500	-3366
PT	1	5720.750	9	ABS	-3200	-3366
PT	1	5720.750	10	ABS	0	-3366
PT	1	5720.750	11	ABS	0	-3106
PT	1	5720.750	12	ABS	-2600	-3106
PT	1	5720.750	13	ABS	-3200	-2956
PT	1	5720.750	14	ABS	-3200	-600
PT	1	5720.750	15	ABS	-2300	-280
PT	1	5720.750	16	ABS	0	-280
PT	1	5720.750	17	ABS	2300	-280
PT	1	5720.750	18	ABS	3200	-600
PT	1	5720.750	19	ABS	3200	-2956
PT	1	5720.750	20	ABS	2600	-3106
PT	1	5720.750	21	ABS	0	-3106
PT	1	5720.750	22	ABS	0	-3366
PT	1	5720.750	23	ABS	3200	-3366
PT	1	5720.750	24	ABS	3500	-3366
PT	1	5720.750	25	ABS	3500	-2956
PT	1	5720.750	26	ABS	3500	-600

PT	1	5720.750	27	ABS	4000	-240
PT	1	5720.750	28	ABS	4000	0
PT	1	5720.750	29	ABS	3500	0
PT	1	5720.750	30	ABS	3200	0
PT	1	5720.750	31	ABS	0	0
PT	1	5725.750	1	ABS	0	0
PT	1	5725.750	2	ABS	-3200	0
PT	1	5725.750	3	ABS	-3500	0
PT	1	5725.750	4	ABS	-4000	0
PT	1	5725.750	5	ABS	-4000	-240
PT	1	5725.750	6	ABS	-3500	-600
PT	1	5725.750	7	ABS	-3500	-2933
PT	1	5725.750	8	ABS	-3500	-3343
PT	1	5725.750	9	ABS	-3200	-3343
PT	1	5725.750	10	ABS	0	-3343
PT	1	5725.750	11	ABS	0	-3083
PT	1	5725.750	12	ABS	-2600	-3083
PT	1	5725.750	13	ABS	-3200	-2933
PT	1	5725.750	14	ABS	-3200	-600
PT	1	5725.750	15	ABS	-2300	-280
PT	1	5725.750	16	ABS	0	-280
PT	1	5725.750	17	ABS	2300	-280
PT	1	5725.750	18	ABS	3200	-600
PT	1	5725.750	19	ABS	3200	-2933
PT	1	5725.750	20	ABS	2600	-3083
PT	1	5725.750	21	ABS	0	-3083
PT	1	5725.750	22	ABS	0	-3343
PT	1	5725.750	23	ABS	3200	-3343
PT	1	5725.750	24	ABS	3500	-3343
PT	1	5725.750	25	ABS	3500	-2933
PT	1	5725.750	26	ABS	3500	-600
PT	1	5725.750	27	ABS	4000	-240
PT	1	5725.750	28	ABS	4000	0
PT	1	5725.750	29	ABS	3500	0
PT	1	5725.750	30	ABS	3200	0
PT	1	5725.750	31	ABS	0	0
PT	1	5730.750	1	ABS	0	0
PT	1	5730.750	2	ABS	-3200	0
PT	1	5730.750	3	ABS	-3500	0
PT	1	5730.750	4	ABS	-4000	0
PT	1	5730.750	5	ABS	-4000	-240
PT	1	5730.750	6	ABS	-3500	-600
PT	1	5730.750	7	ABS	-3500	-2930
PT	1	5730.750	8	ABS	-3500	-3340
PT	1	5730.750	9	ABS	-3200	-3340
PT	1	5730.750	10	ABS	0	-3340
PT	1	5730.750	11	ABS	0	-3080
PT	1	5730.750	12	ABS	-2600	-3080
PT	1	5730.750	13	ABS	-3200	-2930
PT	1	5730.750	14	ABS	-3200	-600
PT	1	5730.750	15	ABS	-2300	-280
PT	1	5730.750	16	ABS	0	-280
PT	1	5730.750	17	ABS	2300	-280
PT	1	5730.750	18	ABS	3200	-600
PT	1	5730.750	19	ABS	3200	-2930
PT	1	5730.750	20	ABS	2600	-3080
PT	1	5730.750	21	ABS	0	-3080
PT	1	5730.750	22	ABS	0	-3340
PT	1	5730.750	23	ABS	3200	-3340
PT	1	5730.750	24	ABS	3500	-3340
PT	1	5730.750	25	ABS	3500	-2930
PT	1	5730.750	26	ABS	3500	-600
PT	1	5730.750	27	ABS	4000	-240
PT	1	5730.750	28	ABS	4000	0
PT	1	5730.750	29	ABS	3500	0
PT	1	5730.750	30	ABS	3200	0
PT	1	5730.750	31	ABS	0	0
PT	1	5733.375	1	ABS	0	0
PT	1	5733.375	2	ABS	-3200	0
PT	1	5733.375	3	ABS	-3500	0
PT	1	5733.375	4	ABS	-4000	0

PT	1	5733.375	5	ABS	-4000	-240
PT	1	5733.375	6	ABS	-3500	-600
PT	1	5733.375	7	ABS	-3500	-2930
PT	1	5733.375	8	ABS	-3500	-3340
PT	1	5733.375	9	ABS	-3200	-3340
PT	1	5733.375	10	ABS	0	-3340
PT	1	5733.375	11	ABS	0	-3080
PT	1	5733.375	12	ABS	-2600	-3080
PT	1	5733.375	13	ABS	-3200	-2930
PT	1	5733.375	14	ABS	-3200	-600
PT	1	5733.375	15	ABS	-2300	-280
PT	1	5733.375	16	ABS	0	-280
PT	1	5733.375	17	ABS	2300	-280
PT	1	5733.375	18	ABS	3200	-600
PT	1	5733.375	19	ABS	3200	-2930
PT	1	5733.375	20	ABS	2600	-3080
PT	1	5733.375	21	ABS	0	-3080
PT	1	5733.375	22	ABS	0	-3340
PT	1	5733.375	23	ABS	3200	-3340
PT	1	5733.375	24	ABS	3500	-3340
PT	1	5733.375	25	ABS	3500	-2930
PT	1	5733.375	26	ABS	3500	-600
PT	1	5733.375	27	ABS	4000	-240
PT	1	5733.375	28	ABS	4000	0
PT	1	5733.375	29	ABS	3500	0
PT	1	5733.375	30	ABS	3200	0
PT	1	5733.375	31	ABS	0	0
PT	1	5736.000	1	ABS	0	0
PT	1	5736.000	2	ABS	-3200	0
PT	1	5736.000	3	ABS	-3500	0
PT	1	5736.000	4	ABS	-4000	0
PT	1	5736.000	5	ABS	-4000	-240
PT	1	5736.000	6	ABS	-3500	-600
PT	1	5736.000	7	ABS	-3500	-2930
PT	1	5736.000	8	ABS	-3500	-3340
PT	1	5736.000	9	ABS	-3200	-3340
PT	1	5736.000	10	ABS	0	-3340
PT	1	5736.000	11	ABS	0	-3080
PT	1	5736.000	12	ABS	-2600	-3080
PT	1	5736.000	13	ABS	-3200	-2930
PT	1	5736.000	14	ABS	-3200	-600
PT	1	5736.000	15	ABS	-2300	-280
PT	1	5736.000	16	ABS	0	-280
PT	1	5736.000	17	ABS	2300	-280
PT	1	5736.000	18	ABS	3200	-600
PT	1	5736.000	19	ABS	3200	-2930
PT	1	5736.000	20	ABS	2600	-3080
PT	1	5736.000	21	ABS	0	-3080
PT	1	5736.000	22	ABS	0	-3340
PT	1	5736.000	23	ABS	3200	-3340
PT	1	5736.000	24	ABS	3500	-3340
PT	1	5736.000	25	ABS	3500	-2930
PT	1	5736.000	26	ABS	3500	-600
PT	1	5736.000	27	ABS	4000	-240
PT	1	5736.000	28	ABS	4000	0
PT	1	5736.000	29	ABS	3500	0
PT	1	5736.000	30	ABS	3200	0
PT	1	5736.000	31	ABS	0	0

% Fra akse 4 +50 %

PT,	1,	5737.000,	1,	ABS ,	0,	0
PT,	1,	5737.000,	2,	ABS ,	-3200,	0
PT,	1,	5737.000,	3,	ABS ,	-3500,	0
PT,	1,	5737.000,	4,	ABS ,	-4000,	0
PT,	1,	5737.000,	5,	ABS ,	-4000,	-240
PT,	1,	5737.000,	6,	ABS ,	-3500,	-600
PT,	1,	5737.000,	7,	ABS ,	-3500,	-2930
PT,	1,	5737.000,	8,	ABS ,	-3500,	-3340
PT,	1,	5737.000,	9,	ABS ,	-3200,	-3340
PT,	1,	5737.000,	10,	ABS ,	0,	-3340

PT,	1,	5737.000,	11,	ABS ,	0,	-3080
PT,	1,	5737.000,	12,	ABS ,	-2600,	-3080
PT,	1,	5737.000,	13,	ABS ,	-3200,	-2930
PT,	1,	5737.000,	14,	ABS ,	-3200,	-600
PT,	1,	5737.000,	15,	ABS ,	-2300,	-280
PT,	1,	5737.000,	16,	ABS ,	0,	-280
PT,	1,	5737.000,	17,	ABS ,	2300,	-280
PT,	1,	5737.000,	18,	ABS ,	3200,	-600
PT,	1,	5737.000,	19,	ABS ,	3200,	-2930
PT,	1,	5737.000,	20,	ABS ,	2600,	-3080
PT,	1,	5737.000,	21,	ABS ,	0,	-3080
PT,	1,	5737.000,	22,	ABS ,	0,	-3340
PT,	1,	5737.000,	23,	ABS ,	3200,	-3340
PT,	1,	5737.000,	24,	ABS ,	3500,	-3340
PT,	1,	5737.000,	25,	ABS ,	3500,	-2930
PT,	1,	5737.000,	26,	ABS ,	3500,	-600
PT,	1,	5737.000,	27,	ABS ,	4000,	-240
PT,	1,	5737.000,	28,	ABS ,	4000,	0
PT,	1,	5737.000,	29,	ABS ,	3500,	0
PT,	1,	5737.000,	30,	ABS ,	3200,	0
PT,	1,	5737.000,	31,	ABS ,	0,	0
PT,	1,	5742.000,	1,	ABS ,	0,	0
PT,	1,	5742.000,	2,	ABS ,	-3200,	0
PT,	1,	5742.000,	3,	ABS ,	-3500,	0
PT,	1,	5742.000,	4,	ABS ,	-4000,	0
PT,	1,	5742.000,	5,	ABS ,	-4000,	-240
PT,	1,	5742.000,	6,	ABS ,	-3500,	-600
PT,	1,	5742.000,	7,	ABS ,	-3500,	-2930
PT,	1,	5742.000,	8,	ABS ,	-3500,	-3340
PT,	1,	5742.000,	9,	ABS ,	-3200,	-3340
PT,	1,	5742.000,	10,	ABS ,	0,	-3340
PT,	1,	5742.000,	11,	ABS ,	0,	-3080
PT,	1,	5742.000,	12,	ABS ,	-2600,	-3080
PT,	1,	5742.000,	13,	ABS ,	-3200,	-2930
PT,	1,	5742.000,	14,	ABS ,	-3200,	-600
PT,	1,	5742.000,	15,	ABS ,	-2300,	-280
PT,	1,	5742.000,	16,	ABS ,	0,	-280
PT,	1,	5742.000,	17,	ABS ,	2300,	-280
PT,	1,	5742.000,	18,	ABS ,	3200,	-600
PT,	1,	5742.000,	19,	ABS ,	3200,	-2930
PT,	1,	5742.000,	20,	ABS ,	2600,	-3080
PT,	1,	5742.000,	21,	ABS ,	0,	-3080
PT,	1,	5742.000,	22,	ABS ,	0,	-3340
PT,	1,	5742.000,	23,	ABS ,	3200,	-3340
PT,	1,	5742.000,	24,	ABS ,	3500,	-3340
PT,	1,	5742.000,	25,	ABS ,	3500,	-2930
PT,	1,	5742.000,	26,	ABS ,	3500,	-600
PT,	1,	5742.000,	27,	ABS ,	4000,	-240
PT,	1,	5742.000,	28,	ABS ,	4000,	0
PT,	1,	5742.000,	29,	ABS ,	3500,	0
PT,	1,	5742.000,	30,	ABS ,	3200,	0
PT,	1,	5742.000,	31,	ABS ,	0,	0
PT,	1,	5747.000,	1,	ABS ,	0,	0
PT,	1,	5747.000,	2,	ABS ,	-3200,	0
PT,	1,	5747.000,	3,	ABS ,	-3500,	0
PT,	1,	5747.000,	4,	ABS ,	-4000,	0
PT,	1,	5747.000,	5,	ABS ,	-4000,	-240
PT,	1,	5747.000,	6,	ABS ,	-3500,	-600
PT,	1,	5747.000,	7,	ABS ,	-3500,	-2930
PT,	1,	5747.000,	8,	ABS ,	-3500,	-3340
PT,	1,	5747.000,	9,	ABS ,	-3200,	-3340
PT,	1,	5747.000,	10,	ABS ,	0,	-3340
PT,	1,	5747.000,	11,	ABS ,	0,	-3080
PT,	1,	5747.000,	12,	ABS ,	-2600,	-3080
PT,	1,	5747.000,	13,	ABS ,	-3200,	-2930
PT,	1,	5747.000,	14,	ABS ,	-3200,	-600
PT,	1,	5747.000,	15,	ABS ,	-2300,	-280
PT,	1,	5747.000,	16,	ABS ,	0,	-280
PT,	1,	5747.000,	17,	ABS ,	2300,	-280
PT,	1,	5747.000,	18,	ABS ,	3200,	-600
PT,	1,	5747.000,	19,	ABS ,	3200,	-2930
PT,	1,	5747.000,	20,	ABS ,	2600,	-3080

PT,	1,	5747.000,	21, ABS ,	0,	-3080
PT,	1,	5747.000,	22, ABS ,	0,	-3340
PT,	1,	5747.000,	23, ABS ,	3200,	-3340
PT,	1,	5747.000,	24, ABS ,	3500,	-3340
PT,	1,	5747.000,	25, ABS ,	3500,	-2930
PT,	1,	5747.000,	26, ABS ,	3500,	-600
PT,	1,	5747.000,	27, ABS ,	4000,	-240
PT,	1,	5747.000,	28, ABS ,	4000,	0
PT,	1,	5747.000,	29, ABS ,	3500,	0
PT,	1,	5747.000,	30, ABS ,	3200,	0
PT,	1,	5747.000,	31, ABS ,	0,	0
PT,	1,	5752.000,	1, ABS ,	0,	0
PT,	1,	5752.000,	2, ABS ,	-3200,	0
PT,	1,	5752.000,	3, ABS ,	-3500,	0
PT,	1,	5752.000,	4, ABS ,	-4000,	0
PT,	1,	5752.000,	5, ABS ,	-4000,	-240
PT,	1,	5752.000,	6, ABS ,	-3500,	-600
PT,	1,	5752.000,	7, ABS ,	-3500,	-2930
PT,	1,	5752.000,	8, ABS ,	-3500,	-3340
PT,	1,	5752.000,	9, ABS ,	-3200,	-3340
PT,	1,	5752.000,	10, ABS ,	0,	-3340
PT,	1,	5752.000,	11, ABS ,	0,	-3080
PT,	1,	5752.000,	12, ABS ,	-2600,	-3080
PT,	1,	5752.000,	13, ABS ,	-3200,	-2930
PT,	1,	5752.000,	14, ABS ,	-3200,	-600
PT,	1,	5752.000,	15, ABS ,	-2300,	-280
PT,	1,	5752.000,	16, ABS ,	0,	-280
PT,	1,	5752.000,	17, ABS ,	2300,	-280
PT,	1,	5752.000,	18, ABS ,	3200,	-600
PT,	1,	5752.000,	19, ABS ,	3200,	-2930
PT,	1,	5752.000,	20, ABS ,	2600,	-3080
PT,	1,	5752.000,	21, ABS ,	0,	-3080
PT,	1,	5752.000,	22, ABS ,	0,	-3340
PT,	1,	5752.000,	23, ABS ,	3200,	-3340
PT,	1,	5752.000,	24, ABS ,	3500,	-3340
PT,	1,	5752.000,	25, ABS ,	3500,	-2930
PT,	1,	5752.000,	26, ABS ,	3500,	-600
PT,	1,	5752.000,	27, ABS ,	4000,	-240
PT,	1,	5752.000,	28, ABS ,	4000,	0
PT,	1,	5752.000,	29, ABS ,	3500,	0
PT,	1,	5752.000,	30, ABS ,	3200,	0
PT,	1,	5752.000,	31, ABS ,	0,	0
PT,	1,	5757.000,	1, ABS ,	0,	0
PT,	1,	5757.000,	2, ABS ,	-3200,	0
PT,	1,	5757.000,	3, ABS ,	-3500,	0
PT,	1,	5757.000,	4, ABS ,	-4000,	0
PT,	1,	5757.000,	5, ABS ,	-4000,	-240
PT,	1,	5757.000,	6, ABS ,	-3500,	-600
PT,	1,	5757.000,	7, ABS ,	-3500,	-2930
PT,	1,	5757.000,	8, ABS ,	-3500,	-3340
PT,	1,	5757.000,	9, ABS ,	-3200,	-3340
PT,	1,	5757.000,	10, ABS ,	0,	-3340
PT,	1,	5757.000,	11, ABS ,	0,	-3080
PT,	1,	5757.000,	12, ABS ,	-2600,	-3080
PT,	1,	5757.000,	13, ABS ,	-3200,	-2930
PT,	1,	5757.000,	14, ABS ,	-3200,	-600
PT,	1,	5757.000,	15, ABS ,	-2300,	-280
PT,	1,	5757.000,	16, ABS ,	0,	-280
PT,	1,	5757.000,	17, ABS ,	2300,	-280
PT,	1,	5757.000,	18, ABS ,	3200,	-600
PT,	1,	5757.000,	19, ABS ,	3200,	-2930
PT,	1,	5757.000,	20, ABS ,	2600,	-3080
PT,	1,	5757.000,	21, ABS ,	0,	-3080
PT,	1,	5757.000,	22, ABS ,	0,	-3340
PT,	1,	5757.000,	23, ABS ,	3200,	-3340
PT,	1,	5757.000,	24, ABS ,	3500,	-3340
PT,	1,	5757.000,	25, ABS ,	3500,	-2930
PT,	1,	5757.000,	26, ABS ,	3500,	-600
PT,	1,	5757.000,	27, ABS ,	4000,	-240
PT,	1,	5757.000,	28, ABS ,	4000,	0
PT,	1,	5757.000,	29, ABS ,	3500,	0
PT,	1,	5757.000,	30, ABS ,	3200,	0

PT,	1,	5757.000,	31, ABS ,	0,	0
PT,	1,	5762.000,	1, ABS ,	0,	0
PT,	1,	5762.000,	2, ABS ,	-3200,	0
PT,	1,	5762.000,	3, ABS ,	-3500,	0
PT,	1,	5762.000,	4, ABS ,	-4000,	0
PT,	1,	5762.000,	5, ABS ,	-4000,	-240
PT,	1,	5762.000,	6, ABS ,	-3500,	-600
PT,	1,	5762.000,	7, ABS ,	-3500,	-2930
PT,	1,	5762.000,	8, ABS ,	-3500,	-3340
PT,	1,	5762.000,	9, ABS ,	-3200,	-3340
PT,	1,	5762.000,	10, ABS ,	0,	-3340
PT,	1,	5762.000,	11, ABS ,	0,	-3080
PT,	1,	5762.000,	12, ABS ,	-2600,	-3080
PT,	1,	5762.000,	13, ABS ,	-3200,	-2930
PT,	1,	5762.000,	14, ABS ,	-3200,	-600
PT,	1,	5762.000,	15, ABS ,	-2300,	-280
PT,	1,	5762.000,	16, ABS ,	0,	-280
PT,	1,	5762.000,	17, ABS ,	2300,	-280
PT,	1,	5762.000,	18, ABS ,	3200,	-600
PT,	1,	5762.000,	19, ABS ,	3200,	-2930
PT,	1,	5762.000,	20, ABS ,	2600,	-3080
PT,	1,	5762.000,	21, ABS ,	0,	-3080
PT,	1,	5762.000,	22, ABS ,	0,	-3340
PT,	1,	5762.000,	23, ABS ,	3200,	-3340
PT,	1,	5762.000,	24, ABS ,	3500,	-3340
PT,	1,	5762.000,	25, ABS ,	3500,	-2930
PT,	1,	5762.000,	26, ABS ,	3500,	-600
PT,	1,	5762.000,	27, ABS ,	4000,	-240
PT,	1,	5762.000,	28, ABS ,	4000,	0
PT,	1,	5762.000,	29, ABS ,	3500,	0
PT,	1,	5762.000,	30, ABS ,	3200,	0
PT,	1,	5762.000,	31, ABS ,	0,	0
PT,	1,	5767.000,	1, ABS ,	0,	0
PT,	1,	5767.000,	2, ABS ,	-3200,	0
PT,	1,	5767.000,	3, ABS ,	-3500,	0
PT,	1,	5767.000,	4, ABS ,	-4000,	0
PT,	1,	5767.000,	5, ABS ,	-4000,	-240
PT,	1,	5767.000,	6, ABS ,	-3500,	-600
PT,	1,	5767.000,	7, ABS ,	-3500,	-2930
PT,	1,	5767.000,	8, ABS ,	-3500,	-3340
PT,	1,	5767.000,	9, ABS ,	-3200,	-3340
PT,	1,	5767.000,	10, ABS ,	0,	-3340
PT,	1,	5767.000,	11, ABS ,	0,	-3080
PT,	1,	5767.000,	12, ABS ,	-2600,	-3080
PT,	1,	5767.000,	13, ABS ,	-3200,	-2930
PT,	1,	5767.000,	14, ABS ,	-3200,	-600
PT,	1,	5767.000,	15, ABS ,	-2300,	-280
PT,	1,	5767.000,	16, ABS ,	0,	-280
PT,	1,	5767.000,	17, ABS ,	2300,	-280
PT,	1,	5767.000,	18, ABS ,	3200,	-600
PT,	1,	5767.000,	19, ABS ,	3200,	-2930
PT,	1,	5767.000,	20, ABS ,	2600,	-3080
PT,	1,	5767.000,	21, ABS ,	0,	-3080
PT,	1,	5767.000,	22, ABS ,	0,	-3340
PT,	1,	5767.000,	23, ABS ,	3200,	-3340
PT,	1,	5767.000,	24, ABS ,	3500,	-3340
PT,	1,	5767.000,	25, ABS ,	3500,	-2930
PT,	1,	5767.000,	26, ABS ,	3500,	-600
PT,	1,	5767.000,	27, ABS ,	4000,	-240
PT,	1,	5767.000,	28, ABS ,	4000,	0
PT,	1,	5767.000,	29, ABS ,	3500,	0
PT,	1,	5767.000,	30, ABS ,	3200,	0
PT,	1,	5767.000,	31, ABS ,	0,	0
PT,	1,	5772.000,	1, ABS ,	0,	0
PT,	1,	5772.000,	2, ABS ,	-3200,	0
PT,	1,	5772.000,	3, ABS ,	-3500,	0
PT,	1,	5772.000,	4, ABS ,	-4000,	0
PT,	1,	5772.000,	5, ABS ,	-4000,	-240
PT,	1,	5772.000,	6, ABS ,	-3500,	-600
PT,	1,	5772.000,	7, ABS ,	-3500,	-2930
PT,	1,	5772.000,	8, ABS ,	-3500,	-3340

PT,	1,	5772.000,	9, ABS ,	-3200,	-3340
PT,	1,	5772.000,	10, ABS ,	0,	-3340
PT,	1,	5772.000,	11, ABS ,	0,	-3080
PT,	1,	5772.000,	12, ABS ,	-2600,	-3080
PT,	1,	5772.000,	13, ABS ,	-3200,	-2930
PT,	1,	5772.000,	14, ABS ,	-3200,	-600
PT,	1,	5772.000,	15, ABS ,	-2300,	-280
PT,	1,	5772.000,	16, ABS ,	0,	-280
PT,	1,	5772.000,	17, ABS ,	2300,	-280
PT,	1,	5772.000,	18, ABS ,	3200,	-600
PT,	1,	5772.000,	19, ABS ,	3200,	-2930
PT,	1,	5772.000,	20, ABS ,	2600,	-3080
PT,	1,	5772.000,	21, ABS ,	0,	-3080
PT,	1,	5772.000,	22, ABS ,	0,	-3340
PT,	1,	5772.000,	23, ABS ,	3200,	-3340
PT,	1,	5772.000,	24, ABS ,	3500,	-3340
PT,	1,	5772.000,	25, ABS ,	3500,	-2930
PT,	1,	5772.000,	26, ABS ,	3500,	-600
PT,	1,	5772.000,	27, ABS ,	4000,	-240
PT,	1,	5772.000,	28, ABS ,	4000,	0
PT,	1,	5772.000,	29, ABS ,	3500,	0
PT,	1,	5772.000,	30, ABS ,	3200,	0
PT,	1,	5772.000,	31, ABS ,	0,	0
PT,	1,	5777.000,	1, ABS ,	0,	0
PT,	1,	5777.000,	2, ABS ,	-3200,	0
PT,	1,	5777.000,	3, ABS ,	-3500,	0
PT,	1,	5777.000,	4, ABS ,	-4000,	0
PT,	1,	5777.000,	5, ABS ,	-4000,	-240
PT,	1,	5777.000,	6, ABS ,	-3500,	-600
PT,	1,	5777.000,	7, ABS ,	-3500,	-2930
PT,	1,	5777.000,	8, ABS ,	-3500,	-3340
PT,	1,	5777.000,	9, ABS ,	-3200,	-3340
PT,	1,	5777.000,	10, ABS ,	0,	-3340
PT,	1,	5777.000,	11, ABS ,	0,	-3080
PT,	1,	5777.000,	12, ABS ,	-2600,	-3080
PT,	1,	5777.000,	13, ABS ,	-3200,	-2930
PT,	1,	5777.000,	14, ABS ,	-3200,	-600
PT,	1,	5777.000,	15, ABS ,	-2300,	-280
PT,	1,	5777.000,	16, ABS ,	0,	-280
PT,	1,	5777.000,	17, ABS ,	2300,	-280
PT,	1,	5777.000,	18, ABS ,	3200,	-600
PT,	1,	5777.000,	19, ABS ,	3200,	-2930
PT,	1,	5777.000,	20, ABS ,	2600,	-3080
PT,	1,	5777.000,	21, ABS ,	0,	-3080
PT,	1,	5777.000,	22, ABS ,	0,	-3340
PT,	1,	5777.000,	23, ABS ,	3200,	-3340
PT,	1,	5777.000,	24, ABS ,	3500,	-3340
PT,	1,	5777.000,	25, ABS ,	3500,	-2930
PT,	1,	5777.000,	26, ABS ,	3500,	-600
PT,	1,	5777.000,	27, ABS ,	4000,	-240
PT,	1,	5777.000,	28, ABS ,	4000,	0
PT,	1,	5777.000,	29, ABS ,	3500,	0
PT,	1,	5777.000,	30, ABS ,	3200,	0
PT,	1,	5777.000,	31, ABS ,	0,	0
PT,	1,	5782.000,	1, ABS ,	0,	0
PT,	1,	5782.000,	2, ABS ,	-3200,	0
PT,	1,	5782.000,	3, ABS ,	-3500,	0
PT,	1,	5782.000,	4, ABS ,	-4000,	0
PT,	1,	5782.000,	5, ABS ,	-4000,	-240
PT,	1,	5782.000,	6, ABS ,	-3500,	-600
PT,	1,	5782.000,	7, ABS ,	-3500,	-2930
PT,	1,	5782.000,	8, ABS ,	-3500,	-3340
PT,	1,	5782.000,	9, ABS ,	-3200,	-3340
PT,	1,	5782.000,	10, ABS ,	0,	-3340
PT,	1,	5782.000,	11, ABS ,	0,	-3080
PT,	1,	5782.000,	12, ABS ,	-2600,	-3080
PT,	1,	5782.000,	13, ABS ,	-3200,	-2930
PT,	1,	5782.000,	14, ABS ,	-3200,	-600
PT,	1,	5782.000,	15, ABS ,	-2300,	-280
PT,	1,	5782.000,	16, ABS ,	0,	-280
PT,	1,	5782.000,	17, ABS ,	2300,	-280
PT,	1,	5782.000,	18, ABS ,	3200,	-600

PT,	1,	5782.000,	19,	ABS ,	3200,	-2930
PT,	1,	5782.000,	20,	ABS ,	2600,	-3080
PT,	1,	5782.000,	21,	ABS ,	0,	-3080
PT,	1,	5782.000,	22,	ABS ,	0,	-3340
PT,	1,	5782.000,	23,	ABS ,	3200,	-3340
PT,	1,	5782.000,	24,	ABS ,	3500,	-3340
PT,	1,	5782.000,	25,	ABS ,	3500,	-2930
PT,	1,	5782.000,	26,	ABS ,	3500,	-600
PT,	1,	5782.000,	27,	ABS ,	4000,	-240
PT,	1,	5782.000,	28,	ABS ,	4000,	0
PT,	1,	5782.000,	29,	ABS ,	3500,	0
PT,	1,	5782.000,	30,	ABS ,	3200,	0
PT,	1,	5782.000,	31,	ABS ,	0,	0

PT,	1,	5787.000,	1,	ABS ,	0,	0
PT,	1,	5787.000,	2,	ABS ,	-3200,	0
PT,	1,	5787.000,	3,	ABS ,	-3500,	0
PT,	1,	5787.000,	4,	ABS ,	-4000,	0
PT,	1,	5787.000,	5,	ABS ,	-4000,	-240
PT,	1,	5787.000,	6,	ABS ,	-3500,	-600
PT,	1,	5787.000,	7,	ABS ,	-3500,	-2930
PT,	1,	5787.000,	8,	ABS ,	-3500,	-3340
PT,	1,	5787.000,	9,	ABS ,	-3200,	-3340
PT,	1,	5787.000,	10,	ABS ,	0,	-3340
PT,	1,	5787.000,	11,	ABS ,	0,	-3080
PT,	1,	5787.000,	12,	ABS ,	-2600,	-3080
PT,	1,	5787.000,	13,	ABS ,	-3200,	-2930
PT,	1,	5787.000,	14,	ABS ,	-3200,	-600
PT,	1,	5787.000,	15,	ABS ,	-2300,	-280
PT,	1,	5787.000,	16,	ABS ,	0,	-280
PT,	1,	5787.000,	17,	ABS ,	2300,	-280
PT,	1,	5787.000,	18,	ABS ,	3200,	-600
PT,	1,	5787.000,	19,	ABS ,	3200,	-2930
PT,	1,	5787.000,	20,	ABS ,	2600,	-3080
PT,	1,	5787.000,	21,	ABS ,	0,	-3080
PT,	1,	5787.000,	22,	ABS ,	0,	-3340
PT,	1,	5787.000,	23,	ABS ,	3200,	-3340
PT,	1,	5787.000,	24,	ABS ,	3500,	-3340
PT,	1,	5787.000,	25,	ABS ,	3500,	-2930
PT,	1,	5787.000,	26,	ABS ,	3500,	-600
PT,	1,	5787.000,	27,	ABS ,	4000,	-240
PT,	1,	5787.000,	28,	ABS ,	4000,	0
PT,	1,	5787.000,	29,	ABS ,	3500,	0
PT,	1,	5787.000,	30,	ABS ,	3200,	0
PT,	1,	5787.000,	31,	ABS ,	0,	0

% Fra akse 5 +5METER + 45 METER %

PT,	1,	5792.000,	1,	ABS ,	0,	0
PT,	1,	5792.000,	2,	ABS ,	-3200,	0
PT,	1,	5792.000,	3,	ABS ,	-3500,	0
PT,	1,	5792.000,	4,	ABS ,	-4000,	0
PT,	1,	5792.000,	5,	ABS ,	-4000,	-240
PT,	1,	5792.000,	6,	ABS ,	-3500,	-600
PT,	1,	5792.000,	7,	ABS ,	-3500,	-2930
PT,	1,	5792.000,	8,	ABS ,	-3500,	-3340
PT,	1,	5792.000,	9,	ABS ,	-3200,	-3340
PT,	1,	5792.000,	10,	ABS ,	0,	-3340
PT,	1,	5792.000,	11,	ABS ,	0,	-3080
PT,	1,	5792.000,	12,	ABS ,	-2600,	-3080
PT,	1,	5792.000,	13,	ABS ,	-3200,	-2930
PT,	1,	5792.000,	14,	ABS ,	-3200,	-600
PT,	1,	5792.000,	15,	ABS ,	-2300,	-280
PT,	1,	5792.000,	16,	ABS ,	0,	-280
PT,	1,	5792.000,	17,	ABS ,	2300,	-280
PT,	1,	5792.000,	18,	ABS ,	3200,	-600
PT,	1,	5792.000,	19,	ABS ,	3200,	-2930
PT,	1,	5792.000,	20,	ABS ,	2600,	-3080
PT,	1,	5792.000,	21,	ABS ,	0,	-3080
PT,	1,	5792.000,	22,	ABS ,	0,	-3340
PT,	1,	5792.000,	23,	ABS ,	3200,	-3340
PT,	1,	5792.000,	24,	ABS ,	3500,	-3340
PT,	1,	5792.000,	25,	ABS ,	3500,	-2930

PT,	1,	5792.000,	26,	ABS,	3500,	-600
PT,	1,	5792.000,	27,	ABS,	4000,	-240
PT,	1,	5792.000,	28,	ABS,	4000,	0
PT,	1,	5792.000,	29,	ABS,	3500,	0
PT,	1,	5792.000,	30,	ABS,	3200,	0
PT,	1,	5792.000,	31,	ABS,	0,	0
PT,	1,	5797.000,	1,	ABS,	0,	0
PT,	1,	5797.000,	2,	ABS,	-3200,	0
PT,	1,	5797.000,	3,	ABS,	-3500,	0
PT,	1,	5797.000,	4,	ABS,	-4000,	0
PT,	1,	5797.000,	5,	ABS,	-4000,	-240
PT,	1,	5797.000,	6,	ABS,	-3500,	-600
PT,	1,	5797.000,	7,	ABS,	-3500,	-2930
PT,	1,	5797.000,	8,	ABS,	-3500,	-3340
PT,	1,	5797.000,	9,	ABS,	-3200,	-3340
PT,	1,	5797.000,	10,	ABS,	0,	-3340
PT,	1,	5797.000,	11,	ABS,	0,	-3080
PT,	1,	5797.000,	12,	ABS,	-2600,	-3080
PT,	1,	5797.000,	13,	ABS,	-3200,	-2930
PT,	1,	5797.000,	14,	ABS,	-3200,	-600
PT,	1,	5797.000,	15,	ABS,	-2300,	-280
PT,	1,	5797.000,	16,	ABS,	0,	-280
PT,	1,	5797.000,	17,	ABS,	2300,	-280
PT,	1,	5797.000,	18,	ABS,	3200,	-600
PT,	1,	5797.000,	19,	ABS,	3200,	-2930
PT,	1,	5797.000,	20,	ABS,	2600,	-3080
PT,	1,	5797.000,	21,	ABS,	0,	-3080
PT,	1,	5797.000,	22,	ABS,	0,	-3340
PT,	1,	5797.000,	23,	ABS,	3200,	-3340
PT,	1,	5797.000,	24,	ABS,	3500,	-3340
PT,	1,	5797.000,	25,	ABS,	3500,	-2930
PT,	1,	5797.000,	26,	ABS,	3500,	-600
PT,	1,	5797.000,	27,	ABS,	4000,	-240
PT,	1,	5797.000,	28,	ABS,	4000,	0
PT,	1,	5797.000,	29,	ABS,	3500,	0
PT,	1,	5797.000,	30,	ABS,	3200,	0
PT,	1,	5797.000,	31,	ABS,	0,	0
PT,	1,	5802.000,	1,	ABS,	0,	0
PT,	1,	5802.000,	2,	ABS,	-3200,	0
PT,	1,	5802.000,	3,	ABS,	-3500,	0
PT,	1,	5802.000,	4,	ABS,	-4000,	0
PT,	1,	5802.000,	5,	ABS,	-4000,	-240
PT,	1,	5802.000,	6,	ABS,	-3500,	-600
PT,	1,	5802.000,	7,	ABS,	-3500,	-2930
PT,	1,	5802.000,	8,	ABS,	-3500,	-3340
PT,	1,	5802.000,	9,	ABS,	-3200,	-3340
PT,	1,	5802.000,	10,	ABS,	0,	-3340
PT,	1,	5802.000,	11,	ABS,	0,	-3080
PT,	1,	5802.000,	12,	ABS,	-2600,	-3080
PT,	1,	5802.000,	13,	ABS,	-3200,	-2930
PT,	1,	5802.000,	14,	ABS,	-3200,	-600
PT,	1,	5802.000,	15,	ABS,	-2300,	-280
PT,	1,	5802.000,	16,	ABS,	0,	-280
PT,	1,	5802.000,	17,	ABS,	2300,	-280
PT,	1,	5802.000,	18,	ABS,	3200,	-600
PT,	1,	5802.000,	19,	ABS,	3200,	-2930
PT,	1,	5802.000,	20,	ABS,	2600,	-3080
PT,	1,	5802.000,	21,	ABS,	0,	-3080
PT,	1,	5802.000,	22,	ABS,	0,	-3340
PT,	1,	5802.000,	23,	ABS,	3200,	-3340
PT,	1,	5802.000,	24,	ABS,	3500,	-3340
PT,	1,	5802.000,	25,	ABS,	3500,	-2930
PT,	1,	5802.000,	26,	ABS,	3500,	-600
PT,	1,	5802.000,	27,	ABS,	4000,	-240
PT,	1,	5802.000,	28,	ABS,	4000,	0
PT,	1,	5802.000,	29,	ABS,	3500,	0
PT,	1,	5802.000,	30,	ABS,	3200,	0
PT,	1,	5802.000,	31,	ABS,	0,	0
PT,	1,	5807.000,	1,	ABS,	0,	0
PT,	1,	5807.000,	2,	ABS,	-3200,	0
PT,	1,	5807.000,	3,	ABS,	-3500,	0

PT,	1,	5807.000,	4, ABS ,	-4000,	0
PT,	1,	5807.000,	5, ABS ,	-4000,	-240
PT,	1,	5807.000,	6, ABS ,	-3500,	-600
PT,	1,	5807.000,	7, ABS ,	-3500,	-2930
PT,	1,	5807.000,	8, ABS ,	-3500,	-3340
PT,	1,	5807.000,	9, ABS ,	-3200,	-3340
PT,	1,	5807.000,	10, ABS ,	0,	-3340
PT,	1,	5807.000,	11, ABS ,	0,	-3080
PT,	1,	5807.000,	12, ABS ,	-2600,	-3080
PT,	1,	5807.000,	13, ABS ,	-3200,	-2930
PT,	1,	5807.000,	14, ABS ,	-3200,	-600
PT,	1,	5807.000,	15, ABS ,	-2300,	-280
PT,	1,	5807.000,	16, ABS ,	0,	-280
PT,	1,	5807.000,	17, ABS ,	2300,	-280
PT,	1,	5807.000,	18, ABS ,	3200,	-600
PT,	1,	5807.000,	19, ABS ,	3200,	-2930
PT,	1,	5807.000,	20, ABS ,	2600,	-3080
PT,	1,	5807.000,	21, ABS ,	0,	-3080
PT,	1,	5807.000,	22, ABS ,	0,	-3340
PT,	1,	5807.000,	23, ABS ,	3200,	-3340
PT,	1,	5807.000,	24, ABS ,	3500,	-3340
PT,	1,	5807.000,	25, ABS ,	3500,	-2930
PT,	1,	5807.000,	26, ABS ,	3500,	-600
PT,	1,	5807.000,	27, ABS ,	4000,	-240
PT,	1,	5807.000,	28, ABS ,	4000,	0
PT,	1,	5807.000,	29, ABS ,	3500,	0
PT,	1,	5807.000,	30, ABS ,	3200,	0
PT,	1,	5807.000,	31, ABS ,	0,	0
PT,	1,	5812.000,	1, ABS ,	0,	0
PT,	1,	5812.000,	2, ABS ,	-3200,	0
PT,	1,	5812.000,	3, ABS ,	-3500,	0
PT,	1,	5812.000,	4, ABS ,	-4000,	0
PT,	1,	5812.000,	5, ABS ,	-4000,	-240
PT,	1,	5812.000,	6, ABS ,	-3500,	-600
PT,	1,	5812.000,	7, ABS ,	-3500,	-2930
PT,	1,	5812.000,	8, ABS ,	-3500,	-3340
PT,	1,	5812.000,	9, ABS ,	-3200,	-3340
PT,	1,	5812.000,	10, ABS ,	0,	-3340
PT,	1,	5812.000,	11, ABS ,	0,	-3080
PT,	1,	5812.000,	12, ABS ,	-2600,	-3080
PT,	1,	5812.000,	13, ABS ,	-3200,	-2930
PT,	1,	5812.000,	14, ABS ,	-3200,	-600
PT,	1,	5812.000,	15, ABS ,	-2300,	-280
PT,	1,	5812.000,	16, ABS ,	0,	-280
PT,	1,	5812.000,	17, ABS ,	2300,	-280
PT,	1,	5812.000,	18, ABS ,	3200,	-600
PT,	1,	5812.000,	19, ABS ,	3200,	-2930
PT,	1,	5812.000,	20, ABS ,	2600,	-3080
PT,	1,	5812.000,	21, ABS ,	0,	-3080
PT,	1,	5812.000,	22, ABS ,	0,	-3340
PT,	1,	5812.000,	23, ABS ,	3200,	-3340
PT,	1,	5812.000,	24, ABS ,	3500,	-3340
PT,	1,	5812.000,	25, ABS ,	3500,	-2930
PT,	1,	5812.000,	26, ABS ,	3500,	-600
PT,	1,	5812.000,	27, ABS ,	4000,	-240
PT,	1,	5812.000,	28, ABS ,	4000,	0
PT,	1,	5812.000,	29, ABS ,	3500,	0
PT,	1,	5812.000,	30, ABS ,	3200,	0
PT,	1,	5812.000,	31, ABS ,	0,	0
PT,	1,	5817.000,	1, ABS ,	0,	0
PT,	1,	5817.000,	2, ABS ,	-3200,	0
PT,	1,	5817.000,	3, ABS ,	-3500,	0
PT,	1,	5817.000,	4, ABS ,	-4000,	0
PT,	1,	5817.000,	5, ABS ,	-4000,	-240
PT,	1,	5817.000,	6, ABS ,	-3500,	-600
PT,	1,	5817.000,	7, ABS ,	-3500,	-2930
PT,	1,	5817.000,	8, ABS ,	-3500,	-3340
PT,	1,	5817.000,	9, ABS ,	-3200,	-3340
PT,	1,	5817.000,	10, ABS ,	0,	-3340
PT,	1,	5817.000,	11, ABS ,	0,	-3080
PT,	1,	5817.000,	12, ABS ,	-2600,	-3080
PT,	1,	5817.000,	13, ABS ,	-3200,	-2930

PT,	1,	5817.000,	14,	ABS,	-3200,	-600
PT,	1,	5817.000,	15,	ABS,	-2300,	-280
PT,	1,	5817.000,	16,	ABS,	0,	-280
PT,	1,	5817.000,	17,	ABS,	2300,	-280
PT,	1,	5817.000,	18,	ABS,	3200,	-600
PT,	1,	5817.000,	19,	ABS,	3200,	-2930
PT,	1,	5817.000,	20,	ABS,	2600,	-3080
PT,	1,	5817.000,	21,	ABS,	0,	-3080
PT,	1,	5817.000,	22,	ABS,	0,	-3340
PT,	1,	5817.000,	23,	ABS,	3200,	-3340
PT,	1,	5817.000,	24,	ABS,	3500,	-3340
PT,	1,	5817.000,	25,	ABS,	3500,	-2930
PT,	1,	5817.000,	26,	ABS,	3500,	-600
PT,	1,	5817.000,	27,	ABS,	4000,	-240
PT,	1,	5817.000,	28,	ABS,	4000,	0
PT,	1,	5817.000,	29,	ABS,	3500,	0
PT,	1,	5817.000,	30,	ABS,	3200,	0
PT,	1,	5817.000,	31,	ABS,	0,	0
PT,	1,	5822.000,	1,	ABS,	0,	0
PT,	1,	5822.000,	2,	ABS,	-3200,	0
PT,	1,	5822.000,	3,	ABS,	-3500,	0
PT,	1,	5822.000,	4,	ABS,	-4000,	0
PT,	1,	5822.000,	5,	ABS,	-4000,	-240
PT,	1,	5822.000,	6,	ABS,	-3500,	-600
PT,	1,	5822.000,	7,	ABS,	-3500,	-2930
PT,	1,	5822.000,	8,	ABS,	-3500,	-3340
PT,	1,	5822.000,	9,	ABS,	-3200,	-3340
PT,	1,	5822.000,	10,	ABS,	0,	-3340
PT,	1,	5822.000,	11,	ABS,	0,	-3080
PT,	1,	5822.000,	12,	ABS,	-2600,	-3080
PT,	1,	5822.000,	13,	ABS,	-3200,	-2930
PT,	1,	5822.000,	14,	ABS,	-3200,	-600
PT,	1,	5822.000,	15,	ABS,	-2300,	-280
PT,	1,	5822.000,	16,	ABS,	0,	-280
PT,	1,	5822.000,	17,	ABS,	2300,	-280
PT,	1,	5822.000,	18,	ABS,	3200,	-600
PT,	1,	5822.000,	19,	ABS,	3200,	-2930
PT,	1,	5822.000,	20,	ABS,	2600,	-3080
PT,	1,	5822.000,	21,	ABS,	0,	-3080
PT,	1,	5822.000,	22,	ABS,	0,	-3340
PT,	1,	5822.000,	23,	ABS,	3200,	-3340
PT,	1,	5822.000,	24,	ABS,	3500,	-3340
PT,	1,	5822.000,	25,	ABS,	3500,	-2930
PT,	1,	5822.000,	26,	ABS,	3500,	-600
PT,	1,	5822.000,	27,	ABS,	4000,	-240
PT,	1,	5822.000,	28,	ABS,	4000,	0
PT,	1,	5822.000,	29,	ABS,	3500,	0
PT,	1,	5822.000,	30,	ABS,	3200,	0
PT,	1,	5822.000,	31,	ABS,	0,	0
PT,	1,	5827.000,	1,	ABS,	0,	0
PT,	1,	5827.000,	2,	ABS,	-3200,	0
PT,	1,	5827.000,	3,	ABS,	-3500,	0
PT,	1,	5827.000,	4,	ABS,	-4000,	0
PT,	1,	5827.000,	5,	ABS,	-4000,	-240
PT,	1,	5827.000,	6,	ABS,	-3500,	-600
PT,	1,	5827.000,	7,	ABS,	-3500,	-2930
PT,	1,	5827.000,	8,	ABS,	-3500,	-3340
PT,	1,	5827.000,	9,	ABS,	-3200,	-3340
PT,	1,	5827.000,	10,	ABS,	0,	-3340
PT,	1,	5827.000,	11,	ABS,	0,	-3080
PT,	1,	5827.000,	12,	ABS,	-2600,	-3080
PT,	1,	5827.000,	13,	ABS,	-3200,	-2930
PT,	1,	5827.000,	14,	ABS,	-3200,	-600
PT,	1,	5827.000,	15,	ABS,	-2300,	-280
PT,	1,	5827.000,	16,	ABS,	0,	-280
PT,	1,	5827.000,	17,	ABS,	2300,	-280
PT,	1,	5827.000,	18,	ABS,	3200,	-600
PT,	1,	5827.000,	19,	ABS,	3200,	-2930
PT,	1,	5827.000,	20,	ABS,	2600,	-3080
PT,	1,	5827.000,	21,	ABS,	0,	-3080
PT,	1,	5827.000,	22,	ABS,	0,	-3340
PT,	1,	5827.000,	23,	ABS,	3200,	-3340

PT,	1,	5827.000,	24,	ABS ,	3500,	-3340
PT,	1,	5827.000,	25,	ABS ,	3500,	-2930
PT,	1,	5827.000,	26,	ABS ,	3500,	-600
PT,	1,	5827.000,	27,	ABS ,	4000,	-240
PT,	1,	5827.000,	28,	ABS ,	4000,	0
PT,	1,	5827.000,	29,	ABS ,	3500,	0
PT,	1,	5827.000,	30,	ABS ,	3200,	0
PT,	1,	5827.000,	31,	ABS ,	0,	0
PT,	1,	5832.000,	1,	ABS ,	0,	0
PT,	1,	5832.000,	2,	ABS ,	-3200,	0
PT,	1,	5832.000,	3,	ABS ,	-3500,	0
PT,	1,	5832.000,	4,	ABS ,	-4000,	0
PT,	1,	5832.000,	5,	ABS ,	-4000,	-240
PT,	1,	5832.000,	6,	ABS ,	-3500,	-600
PT,	1,	5832.000,	7,	ABS ,	-3500,	-2930
PT,	1,	5832.000,	8,	ABS ,	-3500,	-3340
PT,	1,	5832.000,	9,	ABS ,	-3200,	-3340
PT,	1,	5832.000,	10,	ABS ,	0,	-3340
PT,	1,	5832.000,	11,	ABS ,	0,	-3080
PT,	1,	5832.000,	12,	ABS ,	-2600,	-3080
PT,	1,	5832.000,	13,	ABS ,	-3200,	-2930
PT,	1,	5832.000,	14,	ABS ,	-3200,	-600
PT,	1,	5832.000,	15,	ABS ,	-2300,	-280
PT,	1,	5832.000,	16,	ABS ,	0,	-280
PT,	1,	5832.000,	17,	ABS ,	2300,	-280
PT,	1,	5832.000,	18,	ABS ,	3200,	-600
PT,	1,	5832.000,	19,	ABS ,	3200,	-2930
PT,	1,	5832.000,	20,	ABS ,	2600,	-3080
PT,	1,	5832.000,	21,	ABS ,	0,	-3080
PT,	1,	5832.000,	22,	ABS ,	0,	-3340
PT,	1,	5832.000,	23,	ABS ,	3200,	-3340
PT,	1,	5832.000,	24,	ABS ,	3500,	-3340
PT,	1,	5832.000,	25,	ABS ,	3500,	-2930
PT,	1,	5832.000,	26,	ABS ,	3500,	-600
PT,	1,	5832.000,	27,	ABS ,	4000,	-240
PT,	1,	5832.000,	28,	ABS ,	4000,	0
PT,	1,	5832.000,	29,	ABS ,	3500,	0
PT,	1,	5832.000,	30,	ABS ,	3200,	0
PT,	1,	5832.000,	31,	ABS ,	0,	0
PT,	1,	5837.000,	1,	ABS ,	0,	0
PT,	1,	5837.000,	2,	ABS ,	-3200,	0
PT,	1,	5837.000,	3,	ABS ,	-3500,	0
PT,	1,	5837.000,	4,	ABS ,	-4000,	0
PT,	1,	5837.000,	5,	ABS ,	-4000,	-240
PT,	1,	5837.000,	6,	ABS ,	-3500,	-600
PT,	1,	5837.000,	7,	ABS ,	-3500,	-2930
PT,	1,	5837.000,	8,	ABS ,	-3500,	-3340
PT,	1,	5837.000,	9,	ABS ,	-3200,	-3340
PT,	1,	5837.000,	10,	ABS ,	0,	-3340
PT,	1,	5837.000,	11,	ABS ,	0,	-3080
PT,	1,	5837.000,	12,	ABS ,	-2600,	-3080
PT,	1,	5837.000,	13,	ABS ,	-3200,	-2930
PT,	1,	5837.000,	14,	ABS ,	-3200,	-600
PT,	1,	5837.000,	15,	ABS ,	-2300,	-280
PT,	1,	5837.000,	16,	ABS ,	0,	-280
PT,	1,	5837.000,	17,	ABS ,	2300,	-280
PT,	1,	5837.000,	18,	ABS ,	3200,	-600
PT,	1,	5837.000,	19,	ABS ,	3200,	-2930
PT,	1,	5837.000,	20,	ABS ,	2600,	-3080
PT,	1,	5837.000,	21,	ABS ,	0,	-3080
PT,	1,	5837.000,	22,	ABS ,	0,	-3340
PT,	1,	5837.000,	23,	ABS ,	3200,	-3340
PT,	1,	5837.000,	24,	ABS ,	3500,	-3340
PT,	1,	5837.000,	25,	ABS ,	3500,	-2930
PT,	1,	5837.000,	26,	ABS ,	3500,	-600
PT,	1,	5837.000,	27,	ABS ,	4000,	-240
PT,	1,	5837.000,	28,	ABS ,	4000,	0
PT,	1,	5837.000,	29,	ABS ,	3500,	0
PT,	1,	5837.000,	30,	ABS ,	3200,	0
PT,	1,	5837.000,	31,	ABS ,	0,	0

% Fra akse 6 +5 METER +32 METER %

PT,	1,	5842.000,	1, ABS ,	0,	0
PT,	1,	5842.000,	2, ABS ,	-3200,	0
PT,	1,	5842.000,	3, ABS ,	-3500,	0
PT,	1,	5842.000,	4, ABS ,	-4000,	0
PT,	1,	5842.000,	5, ABS ,	-4000,	-240
PT,	1,	5842.000,	6, ABS ,	-3500,	-600
PT,	1,	5842.000,	7, ABS ,	-3500,	-2930
PT,	1,	5842.000,	8, ABS ,	-3500,	-3340
PT,	1,	5842.000,	9, ABS ,	-3200,	-3340
PT,	1,	5842.000,	10, ABS ,	0,	-3340
PT,	1,	5842.000,	11, ABS ,	0,	-3080
PT,	1,	5842.000,	12, ABS ,	-2600,	-3080
PT,	1,	5842.000,	13, ABS ,	-3200,	-2930
PT,	1,	5842.000,	14, ABS ,	-3200,	-600
PT,	1,	5842.000,	15, ABS ,	-2300,	-280
PT,	1,	5842.000,	16, ABS ,	0,	-280
PT,	1,	5842.000,	17, ABS ,	2300,	-280
PT,	1,	5842.000,	18, ABS ,	3200,	-600
PT,	1,	5842.000,	19, ABS ,	3200,	-2930
PT,	1,	5842.000,	20, ABS ,	2600,	-3080
PT,	1,	5842.000,	21, ABS ,	0,	-3080
PT,	1,	5842.000,	22, ABS ,	0,	-3340
PT,	1,	5842.000,	23, ABS ,	3200,	-3340
PT,	1,	5842.000,	24, ABS ,	3500,	-3340
PT,	1,	5842.000,	25, ABS ,	3500,	-2930
PT,	1,	5842.000,	26, ABS ,	3500,	-600
PT,	1,	5842.000,	27, ABS ,	4000,	-240
PT,	1,	5842.000,	28, ABS ,	4000,	0
PT,	1,	5842.000,	29, ABS ,	3500,	0
PT,	1,	5842.000,	30, ABS ,	3200,	0
PT,	1,	5842.000,	31, ABS ,	0,	0
PT,	1,	5847.000,	1, ABS ,	0,	0
PT,	1,	5847.000,	2, ABS ,	-3200,	0
PT,	1,	5847.000,	3, ABS ,	-3500,	0
PT,	1,	5847.000,	4, ABS ,	-4000,	0
PT,	1,	5847.000,	5, ABS ,	-4000,	-240
PT,	1,	5847.000,	6, ABS ,	-3500,	-600
PT,	1,	5847.000,	7, ABS ,	-3500,	-2930
PT,	1,	5847.000,	8, ABS ,	-3500,	-3340
PT,	1,	5847.000,	9, ABS ,	-3200,	-3340
PT,	1,	5847.000,	10, ABS ,	0,	-3340
PT,	1,	5847.000,	11, ABS ,	0,	-3080
PT,	1,	5847.000,	12, ABS ,	-2600,	-3080
PT,	1,	5847.000,	13, ABS ,	-3200,	-2930
PT,	1,	5847.000,	14, ABS ,	-3200,	-600
PT,	1,	5847.000,	15, ABS ,	-2300,	-280
PT,	1,	5847.000,	16, ABS ,	0,	-280
PT,	1,	5847.000,	17, ABS ,	2300,	-280
PT,	1,	5847.000,	18, ABS ,	3200,	-600
PT,	1,	5847.000,	19, ABS ,	3200,	-2930
PT,	1,	5847.000,	20, ABS ,	2600,	-3080
PT,	1,	5847.000,	21, ABS ,	0,	-3080
PT,	1,	5847.000,	22, ABS ,	0,	-3340
PT,	1,	5847.000,	23, ABS ,	3200,	-3340
PT,	1,	5847.000,	24, ABS ,	3500,	-3340
PT,	1,	5847.000,	25, ABS ,	3500,	-2930
PT,	1,	5847.000,	26, ABS ,	3500,	-600
PT,	1,	5847.000,	27, ABS ,	4000,	-240
PT,	1,	5847.000,	28, ABS ,	4000,	0
PT,	1,	5847.000,	29, ABS ,	3500,	0
PT,	1,	5847.000,	30, ABS ,	3200,	0
PT,	1,	5847.000,	31, ABS ,	0,	0
PT,	1,	5852.000,	1, ABS ,	0,	0
PT,	1,	5852.000,	2, ABS ,	-3200,	0
PT,	1,	5852.000,	3, ABS ,	-3500,	0
PT,	1,	5852.000,	4, ABS ,	-4000,	0
PT,	1,	5852.000,	5, ABS ,	-4000,	-240
PT,	1,	5852.000,	6, ABS ,	-3500,	-600
PT,	1,	5852.000,	7, ABS ,	-3500,	-2930
PT,	1,	5852.000,	8, ABS ,	-3500,	-3340

PT,	1,	5852.000,	9, ABS ,	-3200,	-3340
PT,	1,	5852.000,	10, ABS ,	0,	-3340
PT,	1,	5852.000,	11, ABS ,	0,	-3080
PT,	1,	5852.000,	12, ABS ,	-2600,	-3080
PT,	1,	5852.000,	13, ABS ,	-3200,	-2930
PT,	1,	5852.000,	14, ABS ,	-3200,	-600
PT,	1,	5852.000,	15, ABS ,	-2300,	-280
PT,	1,	5852.000,	16, ABS ,	0,	-280
PT,	1,	5852.000,	17, ABS ,	2300,	-280
PT,	1,	5852.000,	18, ABS ,	3200,	-600
PT,	1,	5852.000,	19, ABS ,	3200,	-2930
PT,	1,	5852.000,	20, ABS ,	2600,	-3080
PT,	1,	5852.000,	21, ABS ,	0,	-3080
PT,	1,	5852.000,	22, ABS ,	0,	-3340
PT,	1,	5852.000,	23, ABS ,	3200,	-3340
PT,	1,	5852.000,	24, ABS ,	3500,	-3340
PT,	1,	5852.000,	25, ABS ,	3500,	-2930
PT,	1,	5852.000,	26, ABS ,	3500,	-600
PT,	1,	5852.000,	27, ABS ,	4000,	-240
PT,	1,	5852.000,	28, ABS ,	4000,	0
PT,	1,	5852.000,	29, ABS ,	3500,	0
PT,	1,	5852.000,	30, ABS ,	3200,	0
PT,	1,	5852.000,	31, ABS ,	0,	0
PT,	1,	5857.000,	1, ABS ,	0,	0
PT,	1,	5857.000,	2, ABS ,	-3200,	0
PT,	1,	5857.000,	3, ABS ,	-3500,	0
PT,	1,	5857.000,	4, ABS ,	-4000,	0
PT,	1,	5857.000,	5, ABS ,	-4000,	-240
PT,	1,	5857.000,	6, ABS ,	-3500,	-600
PT,	1,	5857.000,	7, ABS ,	-3500,	-2930
PT,	1,	5857.000,	8, ABS ,	-3500,	-3340
PT,	1,	5857.000,	9, ABS ,	-3200,	-3340
PT,	1,	5857.000,	10, ABS ,	0,	-3340
PT,	1,	5857.000,	11, ABS ,	0,	-3080
PT,	1,	5857.000,	12, ABS ,	-2600,	-3080
PT,	1,	5857.000,	13, ABS ,	-3200,	-2930
PT,	1,	5857.000,	14, ABS ,	-3200,	-600
PT,	1,	5857.000,	15, ABS ,	-2300,	-280
PT,	1,	5857.000,	16, ABS ,	0,	-280
PT,	1,	5857.000,	17, ABS ,	2300,	-280
PT,	1,	5857.000,	18, ABS ,	3200,	-600
PT,	1,	5857.000,	19, ABS ,	3200,	-2930
PT,	1,	5857.000,	20, ABS ,	2600,	-3080
PT,	1,	5857.000,	21, ABS ,	0,	-3080
PT,	1,	5857.000,	22, ABS ,	0,	-3340
PT,	1,	5857.000,	23, ABS ,	3200,	-3340
PT,	1,	5857.000,	24, ABS ,	3500,	-3340
PT,	1,	5857.000,	25, ABS ,	3500,	-2930
PT,	1,	5857.000,	26, ABS ,	3500,	-600
PT,	1,	5857.000,	27, ABS ,	4000,	-240
PT,	1,	5857.000,	28, ABS ,	4000,	0
PT,	1,	5857.000,	29, ABS ,	3500,	0
PT,	1,	5857.000,	30, ABS ,	3200,	0
PT,	1,	5857.000,	31, ABS ,	0,	0
PT,	1,	5862.000,	1, ABS ,	0,	0
PT,	1,	5862.000,	2, ABS ,	-3200,	0
PT,	1,	5862.000,	3, ABS ,	-3500,	0
PT,	1,	5862.000,	4, ABS ,	-4000,	0
PT,	1,	5862.000,	5, ABS ,	-4000,	-240
PT,	1,	5862.000,	6, ABS ,	-3500,	-600
PT,	1,	5862.000,	7, ABS ,	-3500,	-2930
PT,	1,	5862.000,	8, ABS ,	-3500,	-3340
PT,	1,	5862.000,	9, ABS ,	-3200,	-3340
PT,	1,	5862.000,	10, ABS ,	0,	-3340
PT,	1,	5862.000,	11, ABS ,	0,	-3080
PT,	1,	5862.000,	12, ABS ,	-2600,	-3080
PT,	1,	5862.000,	13, ABS ,	-3200,	-2930
PT,	1,	5862.000,	14, ABS ,	-3200,	-600
PT,	1,	5862.000,	15, ABS ,	-2300,	-280
PT,	1,	5862.000,	16, ABS ,	0,	-280
PT,	1,	5862.000,	17, ABS ,	2300,	-280
PT,	1,	5862.000,	18, ABS ,	3200,	-600

PT,	1,	5862.000,	19,	ABS,	3200,	-2930
PT,	1,	5862.000,	20,	ABS,	2600,	-3080
PT,	1,	5862.000,	21,	ABS,	0,	-3080
PT,	1,	5862.000,	22,	ABS,	0,	-3340
PT,	1,	5862.000,	23,	ABS,	3200,	-3340
PT,	1,	5862.000,	24,	ABS,	3500,	-3340
PT,	1,	5862.000,	25,	ABS,	3500,	-2930
PT,	1,	5862.000,	26,	ABS,	3500,	-600
PT,	1,	5862.000,	27,	ABS,	4000,	-240
PT,	1,	5862.000,	28,	ABS,	4000,	0
PT,	1,	5862.000,	29,	ABS,	3500,	0
PT,	1,	5862.000,	30,	ABS,	3200,	0
PT,	1,	5862.000,	31,	ABS,	0,	0
PT,	1,	5867.000,	1,	ABS,	0,	0
PT,	1,	5867.000,	2,	ABS,	-3200,	0
PT,	1,	5867.000,	3,	ABS,	-3500,	0
PT,	1,	5867.000,	4,	ABS,	-4000,	0
PT,	1,	5867.000,	5,	ABS,	-4000,	-240
PT,	1,	5867.000,	6,	ABS,	-3500,	-600
PT,	1,	5867.000,	7,	ABS,	-3500,	-2930
PT,	1,	5867.000,	8,	ABS,	-3500,	-3340
PT,	1,	5867.000,	9,	ABS,	-3200,	-3340
PT,	1,	5867.000,	10,	ABS,	0,	-3340
PT,	1,	5867.000,	11,	ABS,	0,	-3080
PT,	1,	5867.000,	12,	ABS,	-2600,	-3080
PT,	1,	5867.000,	13,	ABS,	-3200,	-2930
PT,	1,	5867.000,	14,	ABS,	-3200,	-600
PT,	1,	5867.000,	15,	ABS,	-2300,	-280
PT,	1,	5867.000,	16,	ABS,	0,	-280
PT,	1,	5867.000,	17,	ABS,	2300,	-280
PT,	1,	5867.000,	18,	ABS,	3200,	-600
PT,	1,	5867.000,	19,	ABS,	3200,	-2930
PT,	1,	5867.000,	20,	ABS,	2600,	-3080
PT,	1,	5867.000,	21,	ABS,	0,	-3080
PT,	1,	5867.000,	22,	ABS,	0,	-3340
PT,	1,	5867.000,	23,	ABS,	3200,	-3340
PT,	1,	5867.000,	24,	ABS,	3500,	-3340
PT,	1,	5867.000,	25,	ABS,	3500,	-2930
PT,	1,	5867.000,	26,	ABS,	3500,	-600
PT,	1,	5867.000,	27,	ABS,	4000,	-240
PT,	1,	5867.000,	28,	ABS,	4000,	0
PT,	1,	5867.000,	29,	ABS,	3500,	0
PT,	1,	5867.000,	30,	ABS,	3200,	0
PT,	1,	5867.000,	31,	ABS,	0,	0
PT,	1,	5872.000,	1,	ABS,	0,	0
PT,	1,	5872.000,	2,	ABS,	-3200,	0
PT,	1,	5872.000,	3,	ABS,	-3500,	0
PT,	1,	5872.000,	4,	ABS,	-4000,	0
PT,	1,	5872.000,	5,	ABS,	-4000,	-240
PT,	1,	5872.000,	6,	ABS,	-3500,	-600
PT,	1,	5872.000,	7,	ABS,	-3500,	-2930
PT,	1,	5872.000,	8,	ABS,	-3500,	-3340
PT,	1,	5872.000,	9,	ABS,	-3200,	-3340
PT,	1,	5872.000,	10,	ABS,	0,	-3340
PT,	1,	5872.000,	11,	ABS,	0,	-3080
PT,	1,	5872.000,	12,	ABS,	-2600,	-3080
PT,	1,	5872.000,	13,	ABS,	-3200,	-2930
PT,	1,	5872.000,	14,	ABS,	-3200,	-600
PT,	1,	5872.000,	15,	ABS,	-2300,	-280
PT,	1,	5872.000,	16,	ABS,	0,	-280
PT,	1,	5872.000,	17,	ABS,	2300,	-280
PT,	1,	5872.000,	18,	ABS,	3200,	-600
PT,	1,	5872.000,	19,	ABS,	3200,	-2930
PT,	1,	5872.000,	20,	ABS,	2600,	-3080
PT,	1,	5872.000,	21,	ABS,	0,	-3080
PT,	1,	5872.000,	22,	ABS,	0,	-3340
PT,	1,	5872.000,	23,	ABS,	3200,	-3340
PT,	1,	5872.000,	24,	ABS,	3500,	-3340
PT,	1,	5872.000,	25,	ABS,	3500,	-2930
PT,	1,	5872.000,	26,	ABS,	3500,	-600
PT,	1,	5872.000,	27,	ABS,	4000,	-240
PT,	1,	5872.000,	28,	ABS,	4000,	0

PT,	1,	5872.000,	29,	ABS,	3500,	0
PT,	1,	5872.000,	30,	ABS,	3200,	0
PT,	1,	5872.000,	31,	ABS,	0,	0
PT,	1,	5875.000,	1,	ABS,	0,	0
PT,	1,	5875.000,	2,	ABS,	-3200,	0
PT,	1,	5875.000,	3,	ABS,	-3500,	0
PT,	1,	5875.000,	4,	ABS,	-4000,	0
PT,	1,	5875.000,	5,	ABS,	-4000,	-240
PT,	1,	5875.000,	6,	ABS,	-3500,	-600
PT,	1,	5875.000,	7,	ABS,	-3500,	-2930
PT,	1,	5875.000,	8,	ABS,	-3500,	-3340
PT,	1,	5875.000,	9,	ABS,	-3200,	-3340
PT,	1,	5875.000,	10,	ABS,	0,	-3340
PT,	1,	5875.000,	11,	ABS,	0,	-3080
PT,	1,	5875.000,	12,	ABS,	-2600,	-3080
PT,	1,	5875.000,	13,	ABS,	-3200,	-2930
PT,	1,	5875.000,	14,	ABS,	-3200,	-600
PT,	1,	5875.000,	15,	ABS,	-2300,	-280
PT,	1,	5875.000,	16,	ABS,	0,	-280
PT,	1,	5875.000,	17,	ABS,	2300,	-280
PT,	1,	5875.000,	18,	ABS,	3200,	-600
PT,	1,	5875.000,	19,	ABS,	3200,	-2930
PT,	1,	5875.000,	20,	ABS,	2600,	-3080
PT,	1,	5875.000,	21,	ABS,	0,	-3080
PT,	1,	5875.000,	22,	ABS,	0,	-3340
PT,	1,	5875.000,	23,	ABS,	3200,	-3340
PT,	1,	5875.000,	24,	ABS,	3500,	-3340
PT,	1,	5875.000,	25,	ABS,	3500,	-2930
PT,	1,	5875.000,	26,	ABS,	3500,	-600
PT,	1,	5875.000,	27,	ABS,	4000,	-240
PT,	1,	5875.000,	28,	ABS,	4000,	0
PT,	1,	5875.000,	29,	ABS,	3500,	0
PT,	1,	5875.000,	30,	ABS,	3200,	0
PT,	1,	5875.000,	31,	ABS,	0,	0

%%% SECTION-REFERENCE LINE CONNECTION INPUT %%%
 % Rfl St.No Contyp conpt Dx Dy

%%% FRA AKSE 1 + 91 METER %%

CONN	1	5197.000,	2,	1,0,	-0.060	
CONN	1	5200.125,	2,	1,0,	-0.060	
CONN	1	5203.250,	2,	1,0,	-0.060	
CONN	1	5208.250,	2,	1,0,	-0.060	
CONN	1	5213.250,	2,	1,0,	-0.060	
CONN	1	5218.250,	2,	1,0,	-0.060	
CONN	1	5223.250,	2,	1,0,	-0.060	
CONN	1	5228.250,	2,	1,0,	-0.060	
CONN	1	5233.250,	2,	1,0,	-0.060	
CONN	1	5238.250,	2,	1,0,	-0.060	
CONN	1	5243.250,	2,	1,0,	-0.060	
CONN	1	5248.250,	2,	1,0,	-0.060	
CONN	1	5253.250,	2,	1,0,	-0.060	
CONN	1	5258.250,	2,	1,0,	-0.060	
CONN	1	5263.250,	2,	1,0,	-0.060	
CONN	1	5268.250,	2,	1,0,	-0.060	
CONN	1	5273.250,	2,	1,0,	-0.060	
CONN	1	5278.250,	2,	1,0,	-0.060	
CONN	1	5282.000,	2,	1,0,	-0.060	
CONN	1	5285.000,	2,	1,0,	-0.060	
CONN	1	5288.000,	2,	1,0,	-0.060	
CONN	1	5289.000,	2,	1,0,	-0.060	
CONN	1	5292.000,	2,	1,0,	-0.060	

%

%%% FRA AKSE 2 +4 +142,25 METER %%

CONN	1	5295.000,	2,	1,0,	-0.060	
CONN	1	5296.000,	2,	1,0,	-0.060	

CONN	1	5299.000,	2,	1,0,	-0.060
CONN	1	5302.000,	2,	1,0,	-0.060
CONN	1	5305.750,	2,	1,0,	-0.060
CONN	1	5310.750,	2,	1,0,	-0.060
CONN	1	5315.750,	2,	1,0,	-0.060
CONN	1	5320.750,	2,	1,0,	-0.060
CONN	1	5325.750,	2,	1,0,	-0.060
CONN	1	5330.750,	2,	1,0,	-0.060
CONN	1	5335.750,	2,	1,0,	-0.060
CONN	1	5340.750,	2,	1,0,	-0.060
CONN	1	5345.750,	2,	1,0,	-0.060
CONN	1	5350.750,	2,	1,0,	-0.060
CONN	1	5355.750,	2,	1,0,	-0.060
CONN	1	5360.750,	2,	1,0,	-0.060
CONN	1	5365.750,	2,	1,0,	-0.060
CONN	1	5370.750,	2,	1,0,	-0.060
CONN	1	5375.750,	2,	1,0,	-0.060
CONN	1	5380.750,	2,	1,0,	-0.060
CONN	1	5385.750,	2,	1,0,	-0.060
CONN	1	5390.750,	2,	1,0,	-0.060
CONN	1	5395.750,	2,	1,0,	-0.060
CONN	1	5400.750,	2,	1,0,	-0.060
CONN	1	5405.750,	2,	1,0,	-0.060
CONN	1	5410.750,	2,	1,0,	-0.060
CONN	1	5415.750,	2,	1,0,	-0.060
CONN	1	5420.750,	2,	1,0,	-0.060
CONN	1	5425.750,	2,	1,0,	-0.060
CONN	1	5430.750,	2,	1,0,	-0.060
CONN	1	5435.750,	2,	1,0,	-0.060
CONN	1	5438.250,	2,	1,0,	-0.060

%

%%% FRA AKSE 3 -4 -139,75 METER %%

CONN	1	5443.250,	2,	1,0,	-0.060
CONN	1	5448.250,	2,	1,0,	-0.060
CONN	1	5453.250,	2,	1,0,	-0.060
CONN	1	5458.250,	2,	1,0,	-0.060
CONN	1	5463.250,	2,	1,0,	-0.060
CONN	1	5468.250,	2,	1,0,	-0.060
CONN	1	5473.250,	2,	1,0,	-0.060
CONN	1	5478.250,	2,	1,0,	-0.060
CONN	1	5483.250,	2,	1,0,	-0.060
CONN	1	5488.250,	2,	1,0,	-0.060
CONN	1	5493.250,	2,	1,0,	-0.060
CONN	1	5498.250,	2,	1,0,	-0.060
CONN	1	5503.250,	2,	1,0,	-0.060
CONN	1	5508.250,	2,	1,0,	-0.060
CONN	1	5513.250,	2,	1,0,	-0.060
CONN	1	5518.250,	2,	1,0,	-0.060
CONN	1	5523.250,	2,	1,0,	-0.060
CONN	1	5528.250,	2,	1,0,	-0.060
CONN	1	5533.250,	2,	1,0,	-0.060
CONN	1	5538.250,	2,	1,0,	-0.060
CONN	1	5543.250,	2,	1,0,	-0.060
CONN	1	5548.250,	2,	1,0,	-0.060
CONN	1	5553.250,	2,	1,0,	-0.060
CONN	1	5558.250,	2,	1,0,	-0.060
CONN	1	5563.250,	2,	1,0,	-0.060
CONN	1	5568.250,	2,	1,0,	-0.060
CONN	1	5572.000,	2,	1,0,	-0.060
CONN	1	5575.000,	2,	1,0,	-0.060
CONN	1	5578.000,	2,	1,0,	-0.060
CONN	1	5579.000,	2,	1,0,	-0.060
CONN	1	5582.000,	2,	1,0,	-0.060

%%% FRA AKSE 3 +4 +150 METER %%

CONN	1	5585.000,	2,	1,0,	-0.060
CONN	1	5586.000,	2,	1,0,	-0.060
CONN	1	5589.000,	2,	1,0,	-0.060
CONN	1	5592.000,	2,	1,0,	-0.060
CONN	1	5595.750,	2,	1,0,	-0.060

CONN	1	5600.750,	2,	1,0,	-0.060
CONN	1	5605.750,	2,	1,0,	-0.060
CONN	1	5610.750,	2,	1,0,	-0.060
CONN	1	5615.750,	2,	1,0,	-0.060
CONN	1	5620.750,	2,	1,0,	-0.060
CONN	1	5625.750,	2,	1,0,	-0.060
CONN	1	5630.750,	2,	1,0,	-0.060
CONN	1	5635.750,	2,	1,0,	-0.060
CONN	1	5640.750,	2,	1,0,	-0.060
CONN	1	5645.750,	2,	1,0,	-0.060
CONN	1	5650.750,	2,	1,0,	-0.060
CONN	1	5655.750,	2,	1,0,	-0.060
CONN	1	5660.750,	2,	1,0,	-0.060
CONN	1	5665.750,	2,	1,0,	-0.060
CONN	1	5670.750,	2,	1,0,	-0.060
CONN	1	5675.750,	2,	1,0,	-0.060
CONN	1	5680.750,	2,	1,0,	-0.060
CONN	1	5685.750,	2,	1,0,	-0.060
CONN	1	5690.750,	2,	1,0,	-0.060
CONN	1	5695.750,	2,	1,0,	-0.060
CONN	1	5700.750,	2,	1,0,	-0.060
CONN	1	5705.750,	2,	1,0,	-0.060
CONN	1	5710.750,	2,	1,0,	-0.060
CONN	1	5715.750,	2,	1,0,	-0.060
CONN	1	5720.750,	2,	1,0,	-0.060
CONN	1	5725.750,	2,	1,0,	-0.060
CONN	1	5730.750,	2,	1,0,	-0.060
CONN	1	5733.375,	2,	1,0,	-0.060
CONN	1	5736.000,	2,	1,0,	-0.060

%%% FRA AKSE 4 +50 METER %%

%

CONN	1	5737.000,	2,	1,0,	-0.060
CONN	1	5742.000,	2,	1,0,	-0.060
CONN	1	5747.000,	2,	1,0,	-0.060
CONN	1	5752.000,	2,	1,0,	-0.060
CONN	1	5757.000,	2,	1,0,	-0.060
CONN	1	5762.000,	2,	1,0,	-0.060
CONN	1	5767.000,	2,	1,0,	-0.060
CONN	1	5772.000,	2,	1,0,	-0.060
CONN	1	5777.000,	2,	1,0,	-0.060
CONN	1	5782.000,	2,	1,0,	-0.060
CONN	1	5787.000,	2,	1,0,	-0.060

%%% FRA AKSE 5 +50 METER %%

%

CONN	1	5792.000,	2,	1,0,	-0.060
CONN	1	5797.000,	2,	1,0,	-0.060
CONN	1	5802.000,	2,	1,0,	-0.060
CONN	1	5807.000,	2,	1,0,	-0.060
CONN	1	5812.000,	2,	1,0,	-0.060
CONN	1	5817.000,	2,	1,0,	-0.060
CONN	1	5822.000,	2,	1,0,	-0.060
CONN	1	5827.000,	2,	1,0,	-0.060
CONN	1	5832.000,	2,	1,0,	-0.060
CONN	1	5837.000,	2,	1,0,	-0.060

%%% FRA AKSE 6 +37 METER %%

%

CONN	1	5842.000,	2,	1,0,	-0.060
CONN	1	5847.000,	2,	1,0,	-0.060
CONN	1	5852.000,	2,	1,0,	-0.060
CONN	1	5857.000,	2,	1,0,	-0.060
CONN	1	5862.000,	2,	1,0,	-0.060
CONN	1	5867.000,	2,	1,0,	-0.060
CONN	1	5872.000,	2,	1,0,	-0.060
CONN	1	5875.000,	2,	1,0,	-0.060

%%% SECTION POINT FACE CONNECTION INPUT %%%
% Rfl St.no From To Step Face

% Fra akse 1 + 91 %

SECTFACE ,1 , 5197.000, 1, 4, 1,UPPER
SECTFACE ,1 , 5197.000, 28, 31, 1,UPPER
SECTFACE ,1 , 5197.000, 8, 10, 1,LOWER
SECTFACE ,1 , 5197.000, 22, 24, 1,LOWER

SECTFACE , 1, 5200.125, 1, 4, 1,UPPER
SECTFACE , 1, 5200.125, 28, 31, 1,UPPER
SECTFACE , 1, 5200.125, 8, 10, 1,LOWER
SECTFACE , 1, 5200.125, 22, 24, 1,LOWER

SECTFACE , 1, 5203.250, 1, 4, 1,UPPER
SECTFACE , 1, 5203.250, 28, 31, 1,UPPER
SECTFACE , 1, 5203.250, 8, 10, 1,LOWER
SECTFACE , 1, 5203.250, 22, 24, 1,LOWER

SECTFACE , 1, 5208.250, 1, 4, 1,UPPER
SECTFACE , 1, 5208.250, 28, 31, 1,UPPER
SECTFACE , 1, 5208.250, 8, 10, 1,LOWER
SECTFACE , 1, 5208.250, 22, 24, 1,LOWER

SECTFACE , 1, 5213.250, 1, 4, 1,UPPER
SECTFACE , 1, 5213.250, 28, 31, 1,UPPER
SECTFACE , 1, 5213.250, 8, 10, 1,LOWER
SECTFACE , 1, 5213.250, 22, 24, 1,LOWER

SECTFACE , 1, 5218.250, 1, 4, 1,UPPER
SECTFACE , 1, 5218.250, 28, 31, 1,UPPER
SECTFACE , 1, 5218.250, 8, 10, 1,LOWER
SECTFACE , 1, 5218.250, 22, 24, 1,LOWER

SECTFACE , 1, 5223.250, 1, 4, 1,UPPER
SECTFACE , 1, 5223.250, 28, 31, 1,UPPER
SECTFACE , 1, 5223.250, 8, 10, 1,LOWER
SECTFACE , 1, 5223.250, 22, 24, 1,LOWER

SECTFACE , 1, 5228.250, 1, 4, 1,UPPER
SECTFACE , 1, 5228.250, 28, 31, 1,UPPER
SECTFACE , 1, 5228.250, 8, 10, 1,LOWER
SECTFACE , 1, 5228.250, 22, 24, 1,LOWER

SECTFACE , 1, 5233.250, 1, 4, 1,UPPER
SECTFACE , 1, 5233.250, 28, 31, 1,UPPER
SECTFACE , 1, 5233.250, 8, 10, 1,LOWER
SECTFACE , 1, 5233.250, 22, 24, 1,LOWER

SECTFACE , 1, 5238.250, 1, 4, 1,UPPER
SECTFACE , 1, 5238.250, 28, 31, 1,UPPER
SECTFACE , 1, 5238.250, 8, 10, 1,LOWER
SECTFACE , 1, 5238.250, 22, 24, 1,LOWER

SECTFACE , 1, 5243.250, 1, 4, 1,UPPER
SECTFACE , 1, 5243.250, 28, 31, 1,UPPER
SECTFACE , 1, 5243.250, 8, 10, 1,LOWER
SECTFACE , 1, 5243.250, 22, 24, 1,LOWER

SECTFACE , 1, 5248.250, 1, 4, 1,UPPER
SECTFACE , 1, 5248.250, 28, 31, 1,UPPER
SECTFACE , 1, 5248.250, 8, 10, 1,LOWER
SECTFACE , 1, 5248.250, 22, 24, 1,LOWER

SECTFACE , 1, 5253.250, 1, 4, 1,UPPER
SECTFACE , 1, 5253.250, 28, 31, 1,UPPER
SECTFACE , 1, 5253.250, 8, 10, 1,LOWER
SECTFACE , 1, 5253.250, 22, 24, 1,LOWER

SECTFACE , 1, 5258.250, 1, 4, 1,UPPER
SECTFACE , 1, 5258.250, 28, 31, 1,UPPER
SECTFACE , 1, 5258.250, 8, 10, 1,LOWER
SECTFACE , 1, 5258.250, 22, 24, 1,LOWER

SECTFACE , 1, 5263.250, 1, 4, 1,UPPER
SECTFACE , 1, 5263.250, 28, 31, 1,UPPER
SECTFACE , 1, 5263.250, 8, 10, 1,LOWER
SECTFACE , 1, 5263.250, 22, 24, 1,LOWER

SECTFACE , 1, 5268.250, 1, 4, 1,UPPER
SECTFACE , 1, 5268.250, 28, 31, 1,UPPER
SECTFACE , 1, 5268.250, 8, 10, 1,LOWER
SECTFACE , 1, 5268.250, 22, 24, 1,LOWER

SECTFACE , 1, 5273.250, 1, 4, 1,UPPER
SECTFACE , 1, 5273.250, 28, 31, 1,UPPER
SECTFACE , 1, 5273.250, 8, 10, 1,LOWER
SECTFACE , 1, 5273.250, 22, 24, 1,LOWER

SECTFACE , 1, 5278.250, 1, 4, 1,UPPER
SECTFACE , 1, 5278.250, 28, 31, 1,UPPER
SECTFACE , 1, 5278.250, 8, 10, 1,LOWER
SECTFACE , 1, 5278.250, 22, 24, 1,LOWER

SECTFACE , 1, 5282.000, 1, 4, 1,UPPER
SECTFACE , 1, 5282.000, 28, 31, 1,UPPER
SECTFACE , 1, 5282.000, 8, 10, 1,LOWER
SECTFACE , 1, 5282.000, 22, 24, 1,LOWER

SECTFACE , 1, 5285.000, 1, 4, 1,UPPER
SECTFACE , 1, 5285.000, 28, 31, 1,UPPER
SECTFACE , 1, 5285.000, 8, 10, 1,LOWER
SECTFACE , 1, 5285.000, 22, 24, 1,LOWER

SECTFACE , 1, 5288.000, 1, 4, 1,UPPER
SECTFACE , 1, 5288.000, 28, 31, 1,UPPER
SECTFACE , 1, 5288.000, 8, 10, 1,LOWER
SECTFACE , 1, 5288.000, 22, 24, 1,LOWER

SECTFACE , 1, 5289.000, 1, 4, 1,UPPER
SECTFACE , 1, 5289.000, 28, 31, 1,UPPER
SECTFACE , 1, 5289.000, 8, 10, 1,LOWER
SECTFACE , 1, 5289.000, 22, 24, 1,LOWER

SECTFACE , 1, 5292.000, 1, 4, 1,UPPER
SECTFACE , 1, 5292.000, 28, 31, 1,UPPER
SECTFACE , 1, 5292.000, 8, 10, 1,LOWER
SECTFACE , 1, 5292.000, 22, 24, 1,LOWER

% Fra akse 2 +4 +142,25

SECTFACE ,1 , 5295.000, 1, 4, 1,UPPER
SECTFACE ,1 , 5295.000, 28, 31, 1,UPPER
SECTFACE ,1 , 5295.000, 8, 10, 1,LOWER
SECTFACE ,1 , 5295.000, 22, 24, 1,LOWER

SECTFACE ,1 , 5296.000, 1, 4, 1,UPPER
SECTFACE ,1 , 5296.000, 28, 31, 1,UPPER
SECTFACE ,1 , 5296.000, 8, 10, 1,LOWER
SECTFACE ,1 , 5296.000, 22, 24, 1,LOWER

SECTFACE , 1, 5299.000, 1, 4, 1,UPPER
SECTFACE , 1, 5299.000, 28, 31, 1,UPPER
SECTFACE , 1, 5299.000, 8, 10, 1,LOWER
SECTFACE , 1, 5299.000, 22, 24, 1,LOWER

SECTFACE , 1, 5302.000, 1, 4, 1,UPPER
SECTFACE , 1, 5302.000, 28, 31, 1,UPPER
SECTFACE , 1, 5302.000, 8, 10, 1,LOWER
SECTFACE , 1, 5302.000, 22, 24, 1,LOWER

SECTFACE , 1, 5305.750, 1, 4, 1,UPPER
SECTFACE , 1, 5305.750, 28, 31, 1,UPPER
SECTFACE , 1, 5305.750, 8, 10, 1,LOWER
SECTFACE , 1, 5305.750, 22, 24, 1,LOWER

SECTFACE , 1, 5310.750, 1, 4, 1,UPPER
SECTFACE , 1, 5310.750, 28, 31, 1,UPPER
SECTFACE , 1, 5310.750, 8, 10, 1,LOWER
SECTFACE , 1, 5310.750, 22, 24, 1,LOWER

SECTFACE , 1, 5315.750, 1, 4, 1,UPPER
SECTFACE , 1, 5315.750, 28, 31, 1,UPPER
SECTFACE , 1, 5315.750, 8, 10, 1,LOWER
SECTFACE , 1, 5315.750, 22, 24, 1,LOWER

SECTFACE , 1, 5320.750, 1, 4, 1,UPPER
SECTFACE , 1, 5320.750, 28, 31, 1,UPPER
SECTFACE , 1, 5320.750, 8, 10, 1,LOWER
SECTFACE , 1, 5320.750, 22, 24, 1,LOWER

SECTFACE , 1, 5325.750, 1, 4, 1,UPPER
SECTFACE , 1, 5325.750, 28, 31, 1,UPPER
SECTFACE , 1, 5325.750, 8, 10, 1,LOWER
SECTFACE , 1, 5325.750, 22, 24, 1,LOWER

SECTFACE , 1, 5330.750, 1, 4, 1,UPPER
SECTFACE , 1, 5330.750, 28, 31, 1,UPPER
SECTFACE , 1, 5330.750, 8, 10, 1,LOWER
SECTFACE , 1, 5330.750, 22, 24, 1,LOWER

SECTFACE , 1, 5335.750, 1, 4, 1,UPPER
SECTFACE , 1, 5335.750, 28, 31, 1,UPPER
SECTFACE , 1, 5335.750, 8, 10, 1,LOWER
SECTFACE , 1, 5335.750, 22, 24, 1,LOWER

SECTFACE , 1, 5340.750, 1, 4, 1,UPPER
SECTFACE , 1, 5340.750, 28, 31, 1,UPPER
SECTFACE , 1, 5340.750, 8, 10, 1,LOWER
SECTFACE , 1, 5340.750, 22, 24, 1,LOWER

SECTFACE , 1, 5345.750, 1, 4, 1,UPPER

SECTFACE , 1, 5345.750, 28, 31, 1,UPPER
 SECTFACE , 1, 5345.750, 8, 10, 1,LOWER
 SECTFACE , 1, 5345.750, 22, 24, 1,LOWER

SECTFACE , 1, 5350.750, 1, 4, 1,UPPER
 SECTFACE , 1, 5350.750, 28, 31, 1,UPPER
 SECTFACE , 1, 5350.750, 8, 10, 1,LOWER
 SECTFACE , 1, 5350.750, 22, 24, 1,LOWER

SECTFACE , 1, 5355.750, 1, 4, 1,UPPER
 SECTFACE , 1, 5355.750, 28, 31, 1,UPPER
 SECTFACE , 1, 5355.750, 8, 10, 1,LOWER
 SECTFACE , 1, 5355.750, 22, 24, 1,LOWER

SECTFACE , 1, 5360.750, 1, 4, 1,UPPER
 SECTFACE , 1, 5360.750, 28, 31, 1,UPPER
 SECTFACE , 1, 5360.750, 8, 10, 1,LOWER
 SECTFACE , 1, 5360.750, 22, 24, 1,LOWER

SECTFACE , 1, 5365.750, 1, 4, 1,UPPER
 SECTFACE , 1, 5365.750, 28, 31, 1,UPPER
 SECTFACE , 1, 5365.750, 8, 10, 1,LOWER
 SECTFACE , 1, 5365.750, 22, 24, 1,LOWER

SECTFACE , 1, 5370.750, 1, 4, 1,UPPER
 SECTFACE , 1, 5370.750, 28, 31, 1,UPPER
 SECTFACE , 1, 5370.750, 8, 10, 1,LOWER
 SECTFACE , 1, 5370.750, 22, 24, 1,LOWER

SECTFACE , 1, 5375.750, 1, 4, 1,UPPER
 SECTFACE , 1, 5375.750, 28, 31, 1,UPPER
 SECTFACE , 1, 5375.750, 8, 10, 1,LOWER
 SECTFACE , 1, 5375.750, 22, 24, 1,LOWER

SECTFACE , 1, 5380.750, 1, 4, 1,UPPER
 SECTFACE , 1, 5380.750, 28, 31, 1,UPPER
 SECTFACE , 1, 5380.750, 8, 10, 1,LOWER
 SECTFACE , 1, 5380.750, 22, 24, 1,LOWER

SECTFACE , 1, 5385.750, 1, 4, 1,UPPER
 SECTFACE , 1, 5385.750, 28, 31, 1,UPPER
 SECTFACE , 1, 5385.750, 8, 10, 1,LOWER
 SECTFACE , 1, 5385.750, 22, 24, 1,LOWER

SECTFACE , 1, 5390.750, 1, 4, 1,UPPER
 SECTFACE , 1, 5390.750, 28, 31, 1,UPPER
 SECTFACE , 1, 5390.750, 8, 10, 1,LOWER
 SECTFACE , 1, 5390.750, 22, 24, 1,LOWER

SECTFACE , 1, 5395.750, 1, 4, 1,UPPER
 SECTFACE , 1, 5395.750, 28, 31, 1,UPPER
 SECTFACE , 1, 5395.750, 8, 10, 1,LOWER
 SECTFACE , 1, 5395.750, 22, 24, 1,LOWER

SECTFACE , 1, 5400.750, 1, 4, 1,UPPER
 SECTFACE , 1, 5400.750, 28, 31, 1,UPPER
 SECTFACE , 1, 5400.750, 8, 10, 1,LOWER
 SECTFACE , 1, 5400.750, 22, 24, 1,LOWER

SECTFACE , 1, 5405.750, 1, 4, 1,UPPER
 SECTFACE , 1, 5405.750, 28, 31, 1,UPPER
 SECTFACE , 1, 5405.750, 8, 10, 1,LOWER

SECTFACE , 1, 5405.750, 22, 24, 1,LOWER

SECTFACE , 1, 5410.750, 1, 4, 1,UPPER
SECTFACE , 1, 5410.750, 28, 31, 1,UPPER
SECTFACE , 1, 5410.750, 8, 10, 1,LOWER
SECTFACE , 1, 5410.750, 22, 24, 1,LOWER

SECTFACE , 1, 5415.750, 1, 4, 1,UPPER
SECTFACE , 1, 5415.750, 28, 31, 1,UPPER
SECTFACE , 1, 5415.750, 8, 10, 1,LOWER
SECTFACE , 1, 5415.750, 22, 24, 1,LOWER

SECTFACE , 1, 5420.750, 1, 4, 1,UPPER
SECTFACE , 1, 5420.750, 28, 31, 1,UPPER
SECTFACE , 1, 5420.750, 8, 10, 1,LOWER
SECTFACE , 1, 5420.750, 22, 24, 1,LOWER

SECTFACE , 1, 5425.750, 1, 4, 1,UPPER
SECTFACE , 1, 5425.750, 28, 31, 1,UPPER
SECTFACE , 1, 5425.750, 8, 10, 1,LOWER
SECTFACE , 1, 5425.750, 22, 24, 1,LOWER

SECTFACE , 1, 5430.750, 1, 4, 1,UPPER
SECTFACE , 1, 5430.750, 28, 31, 1,UPPER
SECTFACE , 1, 5430.750, 8, 10, 1,LOWER
SECTFACE , 1, 5430.750, 22, 24, 1,LOWER

SECTFACE , 1, 5435.750, 1, 4, 1,UPPER
SECTFACE , 1, 5435.750, 28, 31, 1,UPPER
SECTFACE , 1, 5435.750, 8, 10, 1,LOWER
SECTFACE , 1, 5435.750, 22, 24, 1,LOWER

SECTFACE , 1, 5438.250, 1, 4, 1,UPPER
SECTFACE , 1, 5438.250, 28, 31, 1,UPPER
SECTFACE , 1, 5438.250, 8, 10, 1,LOWER
SECTFACE , 1, 5438.250, 22, 24, 1,LOWER

% Fra akse 3 -4 -139,75%

SECTFACE , 1, 5443.250, 1, 4, 1,UPPER
SECTFACE , 1, 5443.250, 28, 31, 1,UPPER
SECTFACE , 1, 5443.250, 8, 10, 1,LOWER
SECTFACE , 1, 5443.250, 22, 24, 1,LOWER

SECTFACE , 1, 5448.250, 1, 4, 1,UPPER
SECTFACE , 1, 5448.250, 28, 31, 1,UPPER
SECTFACE , 1, 5448.250, 8, 10, 1,LOWER
SECTFACE , 1, 5448.250, 22, 24, 1,LOWER

SECTFACE , 1, 5453.250, 1, 4, 1,UPPER
SECTFACE , 1, 5453.250, 28, 31, 1,UPPER
SECTFACE , 1, 5453.250, 8, 10, 1,LOWER
SECTFACE , 1, 5453.250, 22, 24, 1,LOWER

SECTFACE , 1, 5458.250, 1, 4, 1,UPPER
SECTFACE , 1, 5458.250, 28, 31, 1,UPPER
SECTFACE , 1, 5458.250, 8, 10, 1,LOWER
SECTFACE , 1, 5458.250, 22, 24, 1,LOWER

SECTFACE , 1, 5463.250, 1, 4, 1,UPPER
SECTFACE , 1, 5463.250, 28, 31, 1,UPPER
SECTFACE , 1, 5463.250, 8, 10, 1,LOWER
SECTFACE , 1, 5463.250, 22, 24, 1,LOWER

SECTFACE , 1, 5468.250, 1, 4, 1,UPPER
SECTFACE , 1, 5458.250, 28, 31, 1,UPPER
SECTFACE , 1, 5458.250, 8, 10, 1,LOWER
SECTFACE , 1, 5458.250, 22, 24, 1,LOWER

SECTFACE , 1, 5473.250, 1, 4, 1,UPPER
SECTFACE , 1, 5473.250, 28, 31, 1,UPPER
SECTFACE , 1, 5473.250, 8, 10, 1,LOWER
SECTFACE , 1, 5473.250, 22, 24, 1,LOWER

SECTFACE , 1, 5478.250, 1, 4, 1,UPPER
SECTFACE , 1, 5478.250, 28, 31, 1,UPPER
SECTFACE , 1, 5478.250, 8, 10, 1,LOWER
SECTFACE , 1, 5478.250, 22, 24, 1,LOWER

SECTFACE , 1, 5483.250, 1, 4, 1,UPPER
SECTFACE , 1, 5483.250, 28, 31, 1,UPPER
SECTFACE , 1, 5483.250, 8, 10, 1,LOWER
SECTFACE , 1, 5483.250, 22, 24, 1,LOWER

SECTFACE , 1, 5488.250, 1, 4, 1,UPPER
SECTFACE , 1, 5488.250, 28, 31, 1,UPPER
SECTFACE , 1, 5488.250, 8, 10, 1,LOWER
SECTFACE , 1, 5488.250, 22, 24, 1,LOWER

SECTFACE , 1, 5493.250, 1, 4, 1,UPPER
SECTFACE , 1, 5493.250, 28, 31, 1,UPPER
SECTFACE , 1, 5493.250, 8, 10, 1,LOWER
SECTFACE , 1, 5493.250, 22, 24, 1,LOWER

SECTFACE , 1, 5498.250, 1, 4, 1,UPPER
SECTFACE , 1, 5498.250, 28, 31, 1,UPPER
SECTFACE , 1, 5498.250, 8, 10, 1,LOWER
SECTFACE , 1, 5498.250, 22, 24, 1,LOWER

SECTFACE , 1, 5503.250, 1, 4, 1,UPPER
SECTFACE , 1, 5503.250, 28, 31, 1,UPPER
SECTFACE , 1, 5503.250, 8, 10, 1,LOWER
SECTFACE , 1, 5503.250, 22, 24, 1,LOWER

SECTFACE , 1, 5508.250, 1, 4, 1,UPPER
SECTFACE , 1, 5508.250, 28, 31, 1,UPPER
SECTFACE , 1, 5508.250, 8, 10, 1,LOWER
SECTFACE , 1, 5508.250, 22, 24, 1,LOWER

SECTFACE , 1, 5513.250, 1, 4, 1,UPPER
SECTFACE , 1, 5513.250, 28, 31, 1,UPPER
SECTFACE , 1, 5513.250, 8, 10, 1,LOWER
SECTFACE , 1, 5513.250, 22, 24, 1,LOWER

SECTFACE , 1, 5518.250, 1, 4, 1,UPPER
SECTFACE , 1, 5518.250, 28, 31, 1,UPPER
SECTFACE , 1, 5518.250, 8, 10, 1,LOWER
SECTFACE , 1, 5518.250, 22, 24, 1,LOWER

SECTFACE , 1, 5523.250, 1, 4, 1,UPPER
SECTFACE , 1, 5523.250, 28, 31, 1,UPPER
SECTFACE , 1, 5523.250, 8, 10, 1,LOWER
SECTFACE , 1, 5523.250, 22, 24, 1,LOWER

SECTFACE , 1, 5528.250, 1, 4, 1,UPPER
SECTFACE , 1, 5528.250, 28, 31, 1,UPPER
SECTFACE , 1, 5528.250, 8, 10, 1,LOWER
SECTFACE , 1, 5528.250, 22, 24, 1,LOWER

SECTFACE , 1, 5533.250, 1, 4, 1,UPPER
SECTFACE , 1, 5533.250, 28, 31, 1,UPPER
SECTFACE , 1, 5533.250, 8, 10, 1,LOWER
SECTFACE , 1, 5533.250, 22, 24, 1,LOWER

SECTFACE , 1, 5538.250, 1, 4, 1,UPPER
SECTFACE , 1, 5538.250, 28, 31, 1,UPPER
SECTFACE , 1, 5538.250, 8, 10, 1,LOWER
SECTFACE , 1, 5538.250, 22, 24, 1,LOWER

SECTFACE , 1, 5543.250, 1, 4, 1,UPPER
SECTFACE , 1, 5543.250, 28, 31, 1,UPPER
SECTFACE , 1, 5543.250, 8, 10, 1,LOWER
SECTFACE , 1, 5543.250, 22, 24, 1,LOWER

SECTFACE , 1, 5548.250, 1, 4, 1,UPPER
SECTFACE , 1, 5548.250, 28, 31, 1,UPPER
SECTFACE , 1, 5548.250, 8, 10, 1,LOWER
SECTFACE , 1, 5548.250, 22, 24, 1,LOWER

SECTFACE , 1, 5553.250, 1, 4, 1,UPPER
SECTFACE , 1, 5553.250, 28, 31, 1,UPPER
SECTFACE , 1, 5553.250, 8, 10, 1,LOWER
SECTFACE , 1, 5553.250, 22, 24, 1,LOWER

SECTFACE , 1, 5558.250, 1, 4, 1,UPPER
SECTFACE , 1, 5558.250, 28, 31, 1,UPPER
SECTFACE , 1, 5558.250, 8, 10, 1,LOWER
SECTFACE , 1, 5558.250, 22, 24, 1,LOWER

SECTFACE , 1, 5563.250, 1, 4, 1,UPPER
SECTFACE , 1, 5563.250, 28, 31, 1,UPPER
SECTFACE , 1, 5563.250, 8, 10, 1,LOWER
SECTFACE , 1, 5563.250, 22, 24, 1,LOWER

SECTFACE , 1, 5568.250, 1, 4, 1,UPPER
SECTFACE , 1, 5568.250, 28, 31, 1,UPPER
SECTFACE , 1, 5568.250, 8, 10, 1,LOWER
SECTFACE , 1, 5568.250, 22, 24, 1,LOWER

SECTFACE , 1, 5572.000, 1, 4, 1,UPPER
SECTFACE , 1, 5572.000, 28, 31, 1,UPPER
SECTFACE , 1, 5572.000, 8, 10, 1,LOWER
SECTFACE , 1, 5572.000, 22, 24, 1,LOWER

SECTFACE , 1, 5575.000, 1, 4, 1,UPPER
SECTFACE , 1, 5575.000, 28, 31, 1,UPPER
SECTFACE , 1, 5575.000, 8, 10, 1,LOWER
SECTFACE , 1, 5575.000, 22, 24, 1,LOWER

SECTFACE , 1, 5578.000, 1, 4, 1,UPPER
SECTFACE , 1, 5578.000, 28, 31, 1,UPPER
SECTFACE , 1, 5578.000, 8, 10, 1,LOWER
SECTFACE , 1, 5578.000, 22, 24, 1,LOWER

SECTFACE , 1, 5579.000, 1, 4, 1,UPPER
SECTFACE , 1, 5579.000, 28, 31, 1,UPPER

SECTFACE , 1, 5579.000, 8, 10, 1,LOWER
SECTFACE , 1, 5579.000, 22, 24, 1,LOWER

SECTFACE , 1, 5582.000, 1, 4, 1,UPPER
SECTFACE , 1, 5582.000, 28, 31, 1,UPPER
SECTFACE , 1, 5582.000, 8, 10, 1,LOWER
SECTFACE , 1, 5582.000, 22, 24, 1,LOWER

% Fra akse 3 +4 +150 %

SECTFACE ,1 , 5585.000, 1, 4, 1,UPPER
SECTFACE ,1 , 5585.000, 28, 31, 1,UPPER
SECTFACE ,1 , 5585.000, 8, 10, 1,LOWER
SECTFACE ,1 , 5585.000, 22, 24, 1,LOWER

SECTFACE ,1 , 5586.000, 1, 4, 1,UPPER
SECTFACE ,1 , 5586.000, 28, 31, 1,UPPER
SECTFACE ,1 , 5586.000, 8, 10, 1,LOWER
SECTFACE ,1 , 5586.000, 22, 24, 1,LOWER

SECTFACE , 1, 5589.000, 1, 4, 1,UPPER
SECTFACE , 1, 5589.000, 28, 31, 1,UPPER
SECTFACE , 1, 5589.000, 8, 10, 1,LOWER
SECTFACE , 1, 5589.000, 22, 24, 1,LOWER

SECTFACE , 1, 5592.000, 1, 4, 1,UPPER
SECTFACE , 1, 5592.000, 28, 31, 1,UPPER
SECTFACE , 1, 5592.000, 8, 10, 1,LOWER
SECTFACE , 1, 5592.000, 22, 24, 1,LOWER

SECTFACE , 1, 5595.750, 1, 4, 1,UPPER
SECTFACE , 1, 5595.750, 28, 31, 1,UPPER
SECTFACE , 1, 5595.750, 8, 10, 1,LOWER
SECTFACE , 1, 5595.750, 22, 24, 1,LOWER

SECTFACE , 1, 5600.750, 1, 4, 1,UPPER
SECTFACE , 1, 5600.750, 28, 31, 1,UPPER
SECTFACE , 1, 5600.750, 8, 10, 1,LOWER
SECTFACE , 1, 5600.750, 22, 24, 1,LOWER

SECTFACE , 1, 5605.750, 1, 4, 1,UPPER
SECTFACE , 1, 5605.750, 28, 31, 1,UPPER
SECTFACE , 1, 5605.750, 8, 10, 1,LOWER
SECTFACE , 1, 5605.750, 22, 24, 1,LOWER

SECTFACE , 1, 5610.750, 1, 4, 1,UPPER
SECTFACE , 1, 5610.750, 28, 31, 1,UPPER
SECTFACE , 1, 5610.750, 8, 10, 1,LOWER
SECTFACE , 1, 5610.750, 22, 24, 1,LOWER

SECTFACE , 1, 5615.750, 1, 4, 1,UPPER
SECTFACE , 1, 5615.750, 28, 31, 1,UPPER
SECTFACE , 1, 5615.750, 8, 10, 1,LOWER
SECTFACE , 1, 5615.750, 22, 24, 1,LOWER

SECTFACE , 1, 5620.750, 1, 4, 1,UPPER
SECTFACE , 1, 5620.750, 28, 31, 1,UPPER
SECTFACE , 1, 5620.750, 8, 10, 1,LOWER
SECTFACE , 1, 5620.750, 22, 24, 1,LOWER

SECTFACE , 1, 5625.750, 1, 4, 1,UPPER
SECTFACE , 1, 5625.750, 28, 31, 1,UPPER

SECTFACE , 1, 5625.750, 8, 10, 1,LOWER
SECTFACE , 1, 5625.750, 22, 24, 1,LOWER

SECTFACE , 1, 5630.750, 1, 4, 1,UPPER
SECTFACE , 1, 5630.750, 28, 31, 1,UPPER
SECTFACE , 1, 5630.750, 8, 10, 1,LOWER
SECTFACE , 1, 5630.750, 22, 24, 1,LOWER

SECTFACE , 1, 5635.750, 1, 4, 1,UPPER
SECTFACE , 1, 5635.750, 28, 31, 1,UPPER
SECTFACE , 1, 5635.750, 8, 10, 1,LOWER
SECTFACE , 1, 5635.750, 22, 24, 1,LOWER

SECTFACE , 1, 5640.750, 1, 4, 1,UPPER
SECTFACE , 1, 5640.750, 28, 31, 1,UPPER
SECTFACE , 1, 5640.750, 8, 10, 1,LOWER
SECTFACE , 1, 5640.750, 22, 24, 1,LOWER

SECTFACE , 1, 5645.750, 1, 4, 1,UPPER
SECTFACE , 1, 5645.750, 28, 31, 1,UPPER
SECTFACE , 1, 5645.750, 8, 10, 1,LOWER
SECTFACE , 1, 5645.750, 22, 24, 1,LOWER

SECTFACE , 1, 5650.750, 1, 4, 1,UPPER
SECTFACE , 1, 5650.750, 28, 31, 1,UPPER
SECTFACE , 1, 5650.750, 8, 10, 1,LOWER
SECTFACE , 1, 5650.750, 22, 24, 1,LOWER

SECTFACE , 1, 5655.750, 1, 4, 1,UPPER
SECTFACE , 1, 5655.750, 28, 31, 1,UPPER
SECTFACE , 1, 5655.750, 8, 10, 1,LOWER
SECTFACE , 1, 5655.750, 22, 24, 1,LOWER

SECTFACE , 1, 5660.750, 1, 4, 1,UPPER
SECTFACE , 1, 5660.750, 28, 31, 1,UPPER
SECTFACE , 1, 5660.750, 8, 10, 1,LOWER
SECTFACE , 1, 5660.750, 22, 24, 1,LOWER

SECTFACE , 1, 5665.750, 1, 4, 1,UPPER
SECTFACE , 1, 5665.750, 28, 31, 1,UPPER
SECTFACE , 1, 5665.750, 8, 10, 1,LOWER
SECTFACE , 1, 5665.750, 22, 24, 1,LOWER

SECTFACE , 1, 5670.750, 1, 4, 1,UPPER
SECTFACE , 1, 5670.750, 28, 31, 1,UPPER
SECTFACE , 1, 5670.750, 8, 10, 1,LOWER
SECTFACE , 1, 5670.750, 22, 24, 1,LOWER

SECTFACE , 1, 5675.750, 1, 4, 1,UPPER
SECTFACE , 1, 5675.750, 28, 31, 1,UPPER
SECTFACE , 1, 5675.750, 8, 10, 1,LOWER
SECTFACE , 1, 5675.750, 22, 24, 1,LOWER

SECTFACE , 1, 5680.750, 1, 4, 1,UPPER
SECTFACE , 1, 5680.750, 28, 31, 1,UPPER
SECTFACE , 1, 5680.750, 8, 10, 1,LOWER
SECTFACE , 1, 5680.750, 22, 24, 1,LOWER

SECTFACE , 1, 5685.750, 1, 4, 1,UPPER
SECTFACE , 1, 5685.750, 28, 31, 1,UPPER
SECTFACE , 1, 5685.750, 8, 10, 1,LOWER
SECTFACE , 1, 5685.750, 22, 24, 1,LOWER

SECTFACE , 1, 5690.750, 1, 4, 1,UPPER
SECTFACE , 1, 5690.750, 28, 31, 1,UPPER
SECTFACE , 1, 5690.750, 8, 10, 1,LOWER
SECTFACE , 1, 5690.750, 22, 24, 1,LOWER

SECTFACE , 1, 5695.750, 1, 4, 1,UPPER
SECTFACE , 1, 5695.750, 28, 31, 1,UPPER
SECTFACE , 1, 5695.750, 8, 10, 1,LOWER
SECTFACE , 1, 5695.750, 22, 24, 1,LOWER

SECTFACE , 1, 5700.750, 1, 4, 1,UPPER
SECTFACE , 1, 5700.750, 28, 31, 1,UPPER
SECTFACE , 1, 5700.750, 8, 10, 1,LOWER
SECTFACE , 1, 5700.750, 22, 24, 1,LOWER

SECTFACE , 1, 5705.750, 1, 4, 1,UPPER
SECTFACE , 1, 5705.750, 28, 31, 1,UPPER
SECTFACE , 1, 5705.750, 8, 10, 1,LOWER
SECTFACE , 1, 5705.750, 22, 24, 1,LOWER

SECTFACE , 1, 5710.750, 1, 4, 1,UPPER
SECTFACE , 1, 5710.750, 28, 31, 1,UPPER
SECTFACE , 1, 5710.750, 8, 10, 1,LOWER
SECTFACE , 1, 5710.750, 22, 24, 1,LOWER

SECTFACE , 1, 5715.750, 1, 4, 1,UPPER
SECTFACE , 1, 5715.750, 28, 31, 1,UPPER
SECTFACE , 1, 5715.750, 8, 10, 1,LOWER
SECTFACE , 1, 5715.750, 22, 24, 1,LOWER

SECTFACE , 1, 5720.750, 1, 4, 1,UPPER
SECTFACE , 1, 5720.750, 28, 31, 1,UPPER
SECTFACE , 1, 5720.750, 8, 10, 1,LOWER
SECTFACE , 1, 5720.750, 22, 24, 1,LOWER

SECTFACE , 1, 5725.750, 1, 4, 1,UPPER
SECTFACE , 1, 5725.750, 28, 31, 1,UPPER
SECTFACE , 1, 5725.750, 8, 10, 1,LOWER
SECTFACE , 1, 5725.750, 22, 24, 1,LOWER

SECTFACE , 1, 5730.750, 1, 4, 1,UPPER
SECTFACE , 1, 5730.750, 28, 31, 1,UPPER
SECTFACE , 1, 5730.750, 8, 10, 1,LOWER
SECTFACE , 1, 5730.750, 22, 24, 1,LOWER

SECTFACE , 1, 5733.375, 1, 4, 1,UPPER
SECTFACE , 1, 5733.375, 28, 31, 1,UPPER
SECTFACE , 1, 5733.375, 8, 10, 1,LOWER
SECTFACE , 1, 5733.375, 22, 24, 1,LOWER

SECTFACE , 1, 5736.000, 1, 4, 1,UPPER
SECTFACE , 1, 5736.000, 28, 31, 1,UPPER
SECTFACE , 1, 5736.000, 8, 10, 1,LOWER
SECTFACE , 1, 5736.000, 22, 24, 1,LOWER

% Fra akse 4 + 50 %

SECTFACE ,1 , 5737.000, 1, 4, 1,UPPER
SECTFACE ,1 , 5737.000, 28, 31, 1,UPPER
SECTFACE ,1 , 5737.000, 8, 10, 1,LOWER
SECTFACE ,1 , 5737.000, 22, 24, 1,LOWER

SECTFACE , 1, 5742.000, 1, 4, 1,UPPER
SECTFACE , 1, 5742.000, 28, 31, 1,UPPER
SECTFACE , 1, 5742.000, 8, 10, 1,LOWER
SECTFACE , 1, 5742.000, 22, 24, 1,LOWER

SECTFACE , 1, 5747.000, 1, 4, 1,UPPER
SECTFACE , 1, 5747.000, 28, 31, 1,UPPER
SECTFACE , 1, 5747.000, 8, 10, 1,LOWER
SECTFACE , 1, 5747.000, 22, 24, 1,LOWER

SECTFACE , 1, 5752.000, 1, 4, 1,UPPER
SECTFACE , 1, 5752.000, 28, 31, 1,UPPER
SECTFACE , 1, 5752.000, 8, 10, 1,LOWER
SECTFACE , 1, 5752.000, 22, 24, 1,LOWER

SECTFACE , 1, 5757.000, 1, 4, 1,UPPER
SECTFACE , 1, 5757.000, 28, 31, 1,UPPER
SECTFACE , 1, 5757.000, 8, 10, 1,LOWER
SECTFACE , 1, 5757.000, 22, 24, 1,LOWER

SECTFACE , 1, 5762.000, 1, 4, 1,UPPER
SECTFACE , 1, 5762.000, 28, 31, 1,UPPER
SECTFACE , 1, 5762.000, 8, 10, 1,LOWER
SECTFACE , 1, 5762.000, 22, 24, 1,LOWER

SECTFACE , 1, 5767.000, 1, 4, 1,UPPER
SECTFACE , 1, 5767.000, 28, 31, 1,UPPER
SECTFACE , 1, 5767.000, 8, 10, 1,LOWER
SECTFACE , 1, 5767.000, 22, 24, 1,LOWER

SECTFACE , 1, 5772.000, 1, 4, 1,UPPER
SECTFACE , 1, 5772.000, 28, 31, 1,UPPER
SECTFACE , 1, 5772.000, 8, 10, 1,LOWER
SECTFACE , 1, 5772.000, 22, 24, 1,LOWER

SECTFACE , 1, 5777.000, 1, 4, 1,UPPER
SECTFACE , 1, 5777.000, 28, 31, 1,UPPER
SECTFACE , 1, 5777.000, 8, 10, 1,LOWER
SECTFACE , 1, 5777.000, 22, 24, 1,LOWER

SECTFACE , 1, 5782.000, 1, 4, 1,UPPER
SECTFACE , 1, 5782.000, 28, 31, 1,UPPER
SECTFACE , 1, 5782.000, 8, 10, 1,LOWER
SECTFACE , 1, 5782.000, 22, 24, 1,LOWER

SECTFACE , 1, 5787.000, 1, 4, 1,UPPER
SECTFACE , 1, 5787.000, 28, 31, 1,UPPER
SECTFACE , 1, 5787.000, 8, 10, 1,LOWER
SECTFACE , 1, 5787.000, 22, 24, 1,LOWER

% Fra akse 5 +50 %

SECTFACE , 1, 5792.000, 1, 4, 1,UPPER
SECTFACE , 1, 5792.000, 28, 31, 1,UPPER
SECTFACE , 1, 5792.000, 8, 10, 1,LOWER
SECTFACE , 1, 5792.000, 22, 24, 1,LOWER

SECTFACE , 1, 5797.000, 1, 4, 1,UPPER
SECTFACE , 1, 5797.000, 28, 31, 1,UPPER
SECTFACE , 1, 5797.000, 8, 10, 1,LOWER
SECTFACE , 1, 5797.000, 22, 24, 1,LOWER

SECTFACE , 1, 5802.000, 1, 4, 1,UPPER
SECTFACE , 1, 5802.000, 28, 31, 1,UPPER
SECTFACE , 1, 5802.000, 8, 10, 1,LOWER
SECTFACE , 1, 5802.000, 22, 24, 1,LOWER

SECTFACE , 1, 5807.000, 1, 4, 1,UPPER
SECTFACE , 1, 5807.000, 28, 31, 1,UPPER
SECTFACE , 1, 5807.000, 8, 10, 1,LOWER
SECTFACE , 1, 5807.000, 22, 24, 1,LOWER

SECTFACE , 1, 5812.000, 1, 4, 1,UPPER
SECTFACE , 1, 5812.000, 28, 31, 1,UPPER
SECTFACE , 1, 5812.000, 8, 10, 1,LOWER
SECTFACE , 1, 5812.000, 22, 24, 1,LOWER

SECTFACE , 1, 5817.000, 1, 4, 1,UPPER
SECTFACE , 1, 5817.000, 28, 31, 1,UPPER
SECTFACE , 1, 5817.000, 8, 10, 1,LOWER
SECTFACE , 1, 5817.000, 22, 24, 1,LOWER

SECTFACE , 1, 5822.000, 1, 4, 1,UPPER
SECTFACE , 1, 5822.000, 28, 31, 1,UPPER
SECTFACE , 1, 5822.000, 8, 10, 1,LOWER
SECTFACE , 1, 5822.000, 22, 24, 1,LOWER

SECTFACE , 1, 5827.000, 1, 4, 1,UPPER
SECTFACE , 1, 5827.000, 28, 31, 1,UPPER
SECTFACE , 1, 5827.000, 8, 10, 1,LOWER
SECTFACE , 1, 5827.000, 22, 24, 1,LOWER

SECTFACE , 1, 5832.000, 1, 4, 1,UPPER
SECTFACE , 1, 5832.000, 28, 31, 1,UPPER
SECTFACE , 1, 5832.000, 8, 10, 1,LOWER
SECTFACE , 1, 5832.000, 22, 24, 1,LOWER

SECTFACE , 1, 5837.000, 1, 4, 1,UPPER
SECTFACE , 1, 5837.000, 28, 31, 1,UPPER
SECTFACE , 1, 5837.000, 8, 10, 1,LOWER
SECTFACE , 1, 5837.000, 22, 24, 1,LOWER

% Fra akse 6 +37 %

SECTFACE ,1 , 5842.000, 1, 4, 1,UPPER
SECTFACE ,1 , 5842.000, 28, 31, 1,UPPER
SECTFACE ,1 , 5842.000, 8, 10, 1,LOWER
SECTFACE ,1 , 5842.000, 22, 24, 1,LOWER

SECTFACE , 1, 5847.000, 1, 4, 1,UPPER
SECTFACE , 1, 5847.000, 28, 31, 1,UPPER
SECTFACE , 1, 5847.000, 8, 10, 1,LOWER
SECTFACE , 1, 5847.000, 22, 24, 1,LOWER

SECTFACE , 1, 5852.000, 1, 4, 1,UPPER
SECTFACE , 1, 5852.000, 28, 31, 1,UPPER
SECTFACE , 1, 5852.000, 8, 10, 1,LOWER
SECTFACE , 1, 5852.000, 22, 24, 1,LOWER

SECTFACE , 1, 5857.000, 1, 4, 1,UPPER
SECTFACE , 1, 5857.000, 28, 31, 1,UPPER
SECTFACE , 1, 5857.000, 8, 10, 1,LOWER
SECTFACE , 1, 5857.000, 22, 24, 1,LOWER

SECTFACE , 1, 5862.000, 1, 4, 1,UPPER
 SECTFACE , 1, 5862.000, 28, 31, 1,UPPER
 SECTFACE , 1, 5862.000, 8, 10, 1,LOWER
 SECTFACE , 1, 5862.000, 22, 24, 1,LOWER

SECTFACE , 1, 5867.000, 1, 4, 1,UPPER
 SECTFACE , 1, 5867.000, 28, 31, 1,UPPER
 SECTFACE , 1, 5867.000, 8, 10, 1,LOWER
 SECTFACE , 1, 5867.000, 22, 24, 1,LOWER

SECTFACE , 1, 5872.000, 1, 4, 1,UPPER
 SECTFACE , 1, 5872.000, 28, 31, 1,UPPER
 SECTFACE , 1, 5872.000, 8, 10, 1,LOWER
 SECTFACE , 1, 5872.000, 22, 24, 1,LOWER

SECTFACE , 1, 5875.000, 1, 4, 1,UPPER
 SECTFACE , 1, 5875.000, 28, 31, 1,UPPER
 SECTFACE , 1, 5875.000, 8, 10, 1,LOWER
 SECTFACE , 1, 5875.000, 22, 24, 1,LOWER

%%% SUB AREA INPUT %%%

% Fra akse 1 +91 %

SUBAR , 1, 5197.000, 1, 3, , , , 2, 3, 6, 7, 8, 9, 13, 14, 2
 SUBAR , 1, 5197.000, 2, 3, , , , 29, 30, 18, 19, 23, 24, 25, 26, 29
 SUBAR , 1, 5197.000, 3, 2, , , , 1, 2, 3, 4, 5, 6, 14, 15, 16, 17, 18, 26, 27, 28, 29, 30, 1
 SUBAR , 1, 5197.000, 4, 2, , , , 7, 8, 9, 10, 23, 24, 25, 19, 20, 21, 12, 13, 7
 SUBAR , 1, 5197.000, 5, 2, , , , 1, 2, 3, 6, 14, 15, 16, 17, 18, 26, 29, 30, 1

SUBAR , 1, 5200.125, 1, 3, , , , 2, 3, 6, 7, 8, 9, 13, 14, 2
 SUBAR , 1, 5200.125, 2, 3, , , , 29, 30, 18, 19, 23, 24, 25, 26, 29
 SUBAR , 1, 5200.125, 3, 2, , , , 1, 2, 3, 4, 5, 6, 14, 15, 16, 17, 18, 26, 27, 28, 29, 30, 1
 SUBAR , 1, 5200.125, 4, 2, , , , 7, 8, 9, 10, 23, 24, 25, 19, 20, 21, 12, 13, 7
 SUBAR , 1, 5200.125, 5, 2, , , , 1, 2, 3, 6, 14, 15, 16, 17, 18, 26, 29, 30, 1

SUBAR , 1, 5203.250, 1, 3, , , , 2, 3, 6, 7, 8, 9, 13, 14, 2
 SUBAR , 1, 5203.250, 2, 3, , , , 29, 30, 18, 19, 23, 24, 25, 26, 29
 SUBAR , 1, 5203.250, 3, 2, , , , 1, 2, 3, 4, 5, 6, 14, 15, 16, 17, 18, 26, 27, 28, 29, 30, 1
 SUBAR , 1, 5203.250, 4, 2, , , , 7, 8, 9, 10, 23, 24, 25, 19, 20, 21, 12, 13, 7
 SUBAR , 1, 5203.250, 5, 2, , , , 1, 2, 3, 6, 14, 15, 16, 17, 18, 26, 29, 30, 1

SUBAR , 1, 5208.250, 1, 3, , , , 2, 3, 6, 7, 8, 9, 13, 14, 2
 SUBAR , 1, 5208.250, 2, 3, , , , 29, 30, 18, 19, 23, 24, 25, 26, 29
 SUBAR , 1, 5208.250, 3, 2, , , , 1, 2, 3, 4, 5, 6, 14, 15, 16, 17, 18, 26, 27, 28, 29, 30, 1
 SUBAR , 1, 5208.250, 4, 2, , , , 7, 8, 9, 10, 23, 24, 25, 19, 20, 21, 12, 13, 7
 SUBAR , 1, 5208.250, 5, 2, , , , 1, 2, 3, 6, 14, 15, 16, 17, 18, 26, 29, 30, 1

SUBAR , 1, 5213.250, 1, 3, , , , 2, 3, 6, 7, 8, 9, 13, 14, 2
 SUBAR , 1, 5213.250, 2, 3, , , , 29, 30, 18, 19, 23, 24, 25, 26, 29
 SUBAR , 1, 5213.250, 3, 2, , , , 1, 2, 3, 4, 5, 6, 14, 15, 16, 17, 18, 26, 27, 28, 29, 30, 1
 SUBAR , 1, 5213.250, 4, 2, , , , 7, 8, 9, 10, 23, 24, 25, 19, 20, 21, 12, 13, 7
 SUBAR , 1, 5213.250, 5, 2, , , , 1, 2, 3, 6, 14, 15, 16, 17, 18, 26, 29, 30, 1

SUBAR , 1, 5218.250, 1, 3, , , , 2, 3, 6, 7, 8, 9, 13, 14, 2
 SUBAR , 1, 5218.250, 2, 3, , , , 29, 30, 18, 19, 23, 24, 25, 26, 29
 SUBAR , 1, 5218.250, 3, 2, , , , 1, 2, 3, 4, 5, 6, 14, 15, 16, 17, 18, 26, 27, 28, 29, 30, 1
 SUBAR , 1, 5218.250, 4, 2, , , , 7, 8, 9, 10, 23, 24, 25, 19, 20, 21, 12, 13, 7
 SUBAR , 1, 5218.250, 5, 2, , , , 1, 2, 3, 6, 14, 15, 16, 17, 18, 26, 29, 30, 1

SUBAR , 1, 5223.250, 1, 3, , , , 2, 3, 6, 7, 8, 9, 13, 14, 2
 SUBAR , 1, 5223.250, 2, 3, , , , 29, 30, 18, 19, 23, 24, 25, 26, 29
 SUBAR , 1, 5223.250, 3, 2, , , , 1, 2, 3, 4, 5, 6, 14, 15, 16, 17, 18, 26, 27, 28, 29, 30, 1
 SUBAR , 1, 5223.250, 4, 2, , , , 7, 8, 9, 10, 23, 24, 25, 19, 20, 21, 12, 13, 7
 SUBAR , 1, 5223.250, 5, 2, , , , 1, 2, 3, 6, 14, 15, 16, 17, 18, 26, 29, 30, 1

SUBAR , 1, 5228.250, 1, 3, , , , 2, 3, 6, 7, 8, 9, 13, 14, 2
 SUBAR , 1, 5228.250, 2, 3, , , , 29, 30, 18, 19, 23, 24, 25, 26, 29

SUBAR , 1, 5837.000, 5, 2, , , , 1, 2, 3, 6, 14, 15, 16, 17, 18, 26, 29, 30, 1

% Fra akse 6 +37 %

SUBAR , 1, 5842.000, 1, 3, , , , 2, 3, 6, 7, 8, 9, 13, 14, 2
SUBAR , 1, 5842.000, 2, 3, , , , 29, 30, 18, 19, 23, 24, 25, 26, 29
SUBAR , 1, 5842.000, 3, 2, , , , 1, 2, 3, 4, 5, 6, 14, 15, 16, 17, 18, 26, 27, 28, 29, 30, 1
SUBAR , 1, 5842.000, 4, 2, , , , 7, 8, 9, 10, 23, 24, 25, 19, 20, 21, 12, 13, 7
SUBAR , 1, 5842.000, 5, 2, , , , 1, 2, 3, 6, 14, 15, 16, 17, 18, 26, 29, 30, 1

SUBAR , 1, 5847.000, 1, 3, , , , 2, 3, 6, 7, 8, 9, 13, 14, 2
SUBAR , 1, 5847.000, 2, 3, , , , 29, 30, 18, 19, 23, 24, 25, 26, 29
SUBAR , 1, 5847.000, 3, 2, , , , 1, 2, 3, 4, 5, 6, 14, 15, 16, 17, 18, 26, 27, 28, 29, 30, 1
SUBAR , 1, 5847.000, 4, 2, , , , 7, 8, 9, 10, 23, 24, 25, 19, 20, 21, 12, 13, 7
SUBAR , 1, 5847.000, 5, 2, , , , 1, 2, 3, 6, 14, 15, 16, 17, 18, 26, 29, 30, 1

SUBAR , 1, 5852.000, 1, 3, , , , 2, 3, 6, 7, 8, 9, 13, 14, 2
SUBAR , 1, 5852.000, 2, 3, , , , 29, 30, 18, 19, 23, 24, 25, 26, 29
SUBAR , 1, 5852.000, 3, 2, , , , 1, 2, 3, 4, 5, 6, 14, 15, 16, 17, 18, 26, 27, 28, 29, 30, 1
SUBAR , 1, 5852.000, 4, 2, , , , 7, 8, 9, 10, 23, 24, 25, 19, 20, 21, 12, 13, 7
SUBAR , 1, 5852.000, 5, 2, , , , 1, 2, 3, 6, 14, 15, 16, 17, 18, 26, 29, 30, 1

SUBAR , 1, 5857.000, 1, 3, , , , 2, 3, 6, 7, 8, 9, 13, 14, 2
SUBAR , 1, 5857.000, 2, 3, , , , 29, 30, 18, 19, 23, 24, 25, 26, 29
SUBAR , 1, 5857.000, 3, 2, , , , 1, 2, 3, 4, 5, 6, 14, 15, 16, 17, 18, 26, 27, 28, 29, 30, 1
SUBAR , 1, 5857.000, 4, 2, , , , 7, 8, 9, 10, 23, 24, 25, 19, 20, 21, 12, 13, 7
SUBAR , 1, 5857.000, 5, 2, , , , 1, 2, 3, 6, 14, 15, 16, 17, 18, 26, 29, 30, 1

SUBAR , 1, 5862.000, 1, 3, , , , 2, 3, 6, 7, 8, 9, 13, 14, 2
SUBAR , 1, 5862.000, 2, 3, , , , 29, 30, 18, 19, 23, 24, 25, 26, 29
SUBAR , 1, 5862.000, 3, 2, , , , 1, 2, 3, 4, 5, 6, 14, 15, 16, 17, 18, 26, 27, 28, 29, 30, 1
SUBAR , 1, 5862.000, 4, 2, , , , 7, 8, 9, 10, 23, 24, 25, 19, 20, 21, 12, 13, 7
SUBAR , 1, 5862.000, 5, 2, , , , 1, 2, 3, 6, 14, 15, 16, 17, 18, 26, 29, 30, 1

SUBAR , 1, 5867.000, 1, 3, , , , 2, 3, 6, 7, 8, 9, 13, 14, 2
SUBAR , 1, 5867.000, 2, 3, , , , 29, 30, 18, 19, 23, 24, 25, 26, 29
SUBAR , 1, 5867.000, 3, 2, , , , 1, 2, 3, 4, 5, 6, 14, 15, 16, 17, 18, 26, 27, 28, 29, 30, 1
SUBAR , 1, 5867.000, 4, 2, , , , 7, 8, 9, 10, 23, 24, 25, 19, 20, 21, 12, 13, 7
SUBAR , 1, 5867.000, 5, 2, , , , 1, 2, 3, 6, 14, 15, 16, 17, 18, 26, 29, 30, 1

SUBAR , 1, 5872.000, 1, 3, , , , 2, 3, 6, 7, 8, 9, 13, 14, 2
SUBAR , 1, 5872.000, 2, 3, , , , 29, 30, 18, 19, 23, 24, 25, 26, 29
SUBAR , 1, 5872.000, 3, 2, , , , 1, 2, 3, 4, 5, 6, 14, 15, 16, 17, 18, 26, 27, 28, 29, 30, 1
SUBAR , 1, 5872.000, 4, 2, , , , 7, 8, 9, 10, 23, 24, 25, 19, 20, 21, 12, 13, 7
SUBAR , 1, 5872.000, 5, 2, , , , 1, 2, 3, 6, 14, 15, 16, 17, 18, 26, 29, 30, 1

SUBAR , 1, 5875.000, 1, 3, , , , 2, 3, 6, 7, 8, 9, 13, 14, 2
SUBAR , 1, 5875.000, 2, 3, , , , 29, 30, 18, 19, 23, 24, 25, 26, 29
SUBAR , 1, 5875.000, 3, 2, , , , 1, 2, 3, 4, 5, 6, 14, 15, 16, 17, 18, 26, 27, 28, 29, 30, 1
SUBAR , 1, 5875.000, 4, 2, , , , 7, 8, 9, 10, 23, 24, 25, 19, 20, 21, 12, 13, 7
SUBAR , 1, 5875.000, 5, 2, , , , 1, 2, 3, 6, 14, 15, 16, 17, 18, 26, 29, 30, 1

%%% TORSION AREA INPUT %%%

% Fra akse 1 +91 %

SHEAR , 1, 5197.000, 1, 2, 1
SHEAR , 1, 5197.000, 2, 2, 2
SHEAR , 1, 5197.000, 3, 1, 3
SHEAR , 1, 5197.000, 4, 1, 4
TORAR , 1, 5197.000, 1, 1, 1, 2, 4, 5

SHEAR , 1, 5200.125, 1, 2, 1
SHEAR , 1, 5200.125, 2, 2, 2
SHEAR , 1, 5200.125, 3, 1, 3
SHEAR , 1, 5200.125, 4, 1, 4
TORAR , 1, 5200.125, 1, 1, 1, 2, 4, 5

SHEAR , 1, 5203.250, 1, 2, 1
SHEAR , 1, 5203.250, 2, 2, 2

SHEAR , 1, 5203.250, 3, 1, 3
 SHEAR , 1, 5203.250, 4, 1, 4
 TORAR , 1, 5203.250, 1, 1, 1 , 2 , 4, 5

SHEAR , 1, 5208.250, 1, 2, 1
 SHEAR , 1, 5208.250, 2, 2, 2
 SHEAR , 1, 5208.250, 3, 1, 3
 SHEAR , 1, 5208.250, 4, 1, 4
 TORAR , 1, 5208.250, 1, 1, 1 , 2 , 4, 5

SHEAR , 1, 5213.250, 1, 2, 1
 SHEAR , 1, 5213.250, 2, 2, 2
 SHEAR , 1, 5213.250, 3, 1, 3
 SHEAR , 1, 5213.250, 4, 1, 4
 TORAR , 1, 5213.250, 1, 1, 1 , 2 , 4, 5

SHEAR , 1, 5218.250, 1, 2, 1
 SHEAR , 1, 5218.250, 2, 2, 2
 SHEAR , 1, 5218.250, 3, 1, 3
 SHEAR , 1, 5218.250, 4, 1, 4
 TORAR , 1, 5218.250, 1, 1, 1 , 2 , 4, 5

SHEAR , 1, 5223.250, 1, 2, 1
 SHEAR , 1, 5223.250, 2, 2, 2
 SHEAR , 1, 5223.250, 3, 1, 3
 SHEAR , 1, 5223.250, 4, 1, 4
 TORAR , 1, 5223.250, 1, 1, 1 , 2 , 4, 5

SHEAR , 1, 5228.250, 1, 2, 1
 SHEAR , 1, 5228.250, 2, 2, 2
 SHEAR , 1, 5228.250, 3, 1, 3
 SHEAR , 1, 5228.250, 4, 1, 4
 TORAR , 1, 5228.250, 1, 1, 1 , 2 , 4, 5

SHEAR , 1, 5233.250, 1, 2, 1
 SHEAR , 1, 5233.250, 2, 2, 2
 SHEAR , 1, 5233.250, 3, 1, 3
 SHEAR , 1, 5233.250, 4, 1, 4
 TORAR , 1, 5233.250, 1, 1, 1 , 2 , 4, 5

SHEAR , 1, 5238.250, 1, 2, 1
 SHEAR , 1, 5238.250, 2, 2, 2
 SHEAR , 1, 5238.250, 3, 1, 3
 SHEAR , 1, 5238.250, 4, 1, 4
 TORAR , 1, 5238.250, 1, 1, 1 , 2 , 4, 5

SHEAR , 1, 5243.250, 1, 2, 1
 SHEAR , 1, 5243.250, 2, 2, 2
 SHEAR , 1, 5243.250, 3, 1, 3
 SHEAR , 1, 5243.250, 4, 1, 4
 TORAR , 1, 5243.250, 1, 1, 1 , 2 , 4, 5

SHEAR , 1, 5248.250, 1, 2, 1
 SHEAR , 1, 5248.250, 2, 2, 2
 SHEAR , 1, 5248.250, 3, 1, 3
 SHEAR , 1, 5248.250, 4, 1, 4
 TORAR , 1, 5248.250, 1, 1, 1 , 2 , 4, 5

SHEAR , 1, 5253.250, 1, 2, 1
 SHEAR , 1, 5253.250, 2, 2, 2
 SHEAR , 1, 5253.250, 3, 1, 3
 SHEAR , 1, 5253.250, 4, 1, 4
 TORAR , 1, 5253.250, 1, 1, 1 , 2 , 4, 5

SHEAR , 1, 5258.250, 1, 2, 1
 SHEAR , 1, 5258.250, 2, 2, 2
 SHEAR , 1, 5258.250, 3, 1, 3
 SHEAR , 1, 5258.250, 4, 1, 4
 TORAR , 1, 5258.250, 1, 1, 1 , 2 , 4, 5

SHEAR , 1, 5263.250, 1, 2, 1
 SHEAR , 1, 5263.250, 2, 2, 2
 SHEAR , 1, 5263.250, 3, 1, 3
 SHEAR , 1, 5263.250, 4, 1, 4

TORAR , 1, 5263.250, 1, 1, 1, 2, 4, 5

SHEAR , 1, 5268.250, 1, 2, 1
SHEAR , 1, 5268.250, 2, 2, 2
SHEAR , 1, 5268.250, 3, 1, 3
SHEAR , 1, 5268.250, 4, 1, 4
TORAR , 1, 5268.250, 1, 1, 1, 2, 4, 5

SHEAR , 1, 5273.250, 1, 2, 1
SHEAR , 1, 5273.250, 2, 2, 2
SHEAR , 1, 5273.250, 3, 1, 3
SHEAR , 1, 5273.250, 4, 1, 4
TORAR , 1, 5273.250, 1, 1, 1, 2, 4, 5

SHEAR , 1, 5278.250, 1, 2, 1
SHEAR , 1, 5278.250, 2, 2, 2
SHEAR , 1, 5278.250, 3, 1, 3
SHEAR , 1, 5278.250, 4, 1, 4
TORAR , 1, 5278.250, 1, 1, 1, 2, 4, 5

SHEAR , 1, 5282.000, 1, 2, 1
SHEAR , 1, 5282.000, 2, 2, 2
SHEAR , 1, 5282.000, 3, 1, 3
SHEAR , 1, 5282.000, 4, 1, 4
TORAR , 1, 5282.000, 1, 1, 1, 2, 4, 5

SHEAR , 1, 5285.000, 1, 2, 1
SHEAR , 1, 5285.000, 2, 2, 2
SHEAR , 1, 5285.000, 3, 1, 3
SHEAR , 1, 5285.000, 4, 1, 4
TORAR , 1, 5285.000, 1, 1, 1, 2, 4, 5

SHEAR , 1, 5288.000, 1, 2, 1
SHEAR , 1, 5288.000, 2, 2, 2
SHEAR , 1, 5288.000, 3, 1, 3
SHEAR , 1, 5288.000, 4, 1, 4
TORAR , 1, 5288.000, 1, 1, 1, 2, 4, 5

SHEAR , 1, 5289.000, 1, 2, 1
SHEAR , 1, 5289.000, 2, 2, 2
SHEAR , 1, 5289.000, 3, 1, 3
SHEAR , 1, 5289.000, 4, 1, 4
TORAR , 1, 5289.000, 1, 1, 1, 2, 4, 5

SHEAR , 1, 5292.000, 1, 2, 1
SHEAR , 1, 5292.000, 2, 2, 2
SHEAR , 1, 5292.000, 3, 1, 3
SHEAR , 1, 5292.000, 4, 1, 4
TORAR , 1, 5292.000, 1, 1, 1, 2, 4, 5

% Fra akse 2 +4 +142,25 %

SHEAR , 1, 5295.000, 1, 2, 1
SHEAR , 1, 5295.000, 2, 2, 2
SHEAR , 1, 5295.000, 3, 1, 3
SHEAR , 1, 5295.000, 4, 1, 4
TORAR , 1, 5295.000, 1, 1, 1, 2, 4, 5

SHEAR , 1, 5296.000, 1, 2, 1
SHEAR , 1, 5296.000, 2, 2, 2
SHEAR , 1, 5296.000, 3, 1, 3
SHEAR , 1, 5296.000, 4, 1, 4
TORAR , 1, 5296.000, 1, 1, 1, 2, 4, 5

SHEAR , 1, 5299.000, 1, 2, 1
SHEAR , 1, 5299.000, 2, 2, 2
SHEAR , 1, 5299.000, 3, 1, 3
SHEAR , 1, 5299.000, 4, 1, 4
TORAR , 1, 5299.000, 1, 1, 1, 2, 4, 5

SHEAR , 1, 5302.000, 1, 2, 1
SHEAR , 1, 5302.000, 2, 2, 2
SHEAR , 1, 5302.000, 3, 1, 3

SHEAR , 1, 5302.000, 4, 1, 4
 TORAR , 1, 5302.000, 1, 1, 1, 2, 4, 5

SHEAR , 1, 5305.750, 1, 2, 1
 SHEAR , 1, 5305.750, 2, 2, 2
 SHEAR , 1, 5305.750, 3, 1, 3
 SHEAR , 1, 5305.750, 4, 1, 4
 TORAR , 1, 5305.750, 1, 1, 1, 2, 4, 5

SHEAR , 1, 5310.750, 1, 2, 1
 SHEAR , 1, 5310.750, 2, 2, 2
 SHEAR , 1, 5310.750, 3, 1, 3
 SHEAR , 1, 5310.750, 4, 1, 4
 TORAR , 1, 5310.750, 1, 1, 1, 2, 4, 5

SHEAR , 1, 5315.750, 1, 2, 1
 SHEAR , 1, 5315.750, 2, 2, 2
 SHEAR , 1, 5315.750, 3, 1, 3
 SHEAR , 1, 5315.750, 4, 1, 4
 TORAR , 1, 5315.750, 1, 1, 1, 2, 4, 5

SHEAR , 1, 5320.750, 1, 2, 1
 SHEAR , 1, 5320.750, 2, 2, 2
 SHEAR , 1, 5320.750, 3, 1, 3
 SHEAR , 1, 5320.750, 4, 1, 4
 TORAR , 1, 5320.750, 1, 1, 1, 2, 4, 5

SHEAR , 1, 5325.750, 1, 2, 1
 SHEAR , 1, 5325.750, 2, 2, 2
 SHEAR , 1, 5325.750, 3, 1, 3
 SHEAR , 1, 5325.750, 4, 1, 4
 TORAR , 1, 5325.750, 1, 1, 1, 2, 4, 5

SHEAR , 1, 5330.750, 1, 2, 1
 SHEAR , 1, 5330.750, 2, 2, 2
 SHEAR , 1, 5330.750, 3, 1, 3
 SHEAR , 1, 5330.750, 4, 1, 4
 TORAR , 1, 5330.750, 1, 1, 1, 2, 4, 5

SHEAR , 1, 5335.750, 1, 2, 1
 SHEAR , 1, 5335.750, 2, 2, 2
 SHEAR , 1, 5335.750, 3, 1, 3
 SHEAR , 1, 5335.750, 4, 1, 4
 TORAR , 1, 5335.750, 1, 1, 1, 2, 4, 5

SHEAR , 1, 5340.750, 1, 2, 1
 SHEAR , 1, 5340.750, 2, 2, 2
 SHEAR , 1, 5340.750, 3, 1, 3
 SHEAR , 1, 5340.750, 4, 1, 4
 TORAR , 1, 5340.750, 1, 1, 1, 2, 4, 5

SHEAR , 1, 5345.750, 1, 2, 1
 SHEAR , 1, 5345.750, 2, 2, 2
 SHEAR , 1, 5345.750, 3, 1, 3
 SHEAR , 1, 5345.750, 4, 1, 4
 TORAR , 1, 5345.750, 1, 1, 1, 2, 4, 5

SHEAR , 1, 5350.750, 1, 2, 1
 SHEAR , 1, 5350.750, 2, 2, 2
 SHEAR , 1, 5350.750, 3, 1, 3
 SHEAR , 1, 5350.750, 4, 1, 4
 TORAR , 1, 5350.750, 1, 1, 1, 2, 4, 5

SHEAR , 1, 5355.750, 1, 2, 1
 SHEAR , 1, 5355.750, 2, 2, 2
 SHEAR , 1, 5355.750, 3, 1, 3
 SHEAR , 1, 5355.750, 4, 1, 4
 TORAR , 1, 5355.750, 1, 1, 1, 2, 4, 5

SHEAR , 1, 5360.750, 1, 2, 1
 SHEAR , 1, 5360.750, 2, 2, 2
 SHEAR , 1, 5360.750, 3, 1, 3
 SHEAR , 1, 5360.750, 4, 1, 4
 TORAR , 1, 5360.750, 1, 1, 1, 2, 4, 5

SHEAR , 1, 5365.750, 1, 2, 1
 SHEAR , 1, 5365.750, 2, 2, 2
 SHEAR , 1, 5365.750, 3, 1, 3
 SHEAR , 1, 5365.750, 4, 1, 4
 TORAR , 1, 5365.750, 1, 1, 1, 2, 4, 5

 SHEAR , 1, 5370.750, 1, 2, 1
 SHEAR , 1, 5370.750, 2, 2, 2
 SHEAR , 1, 5370.750, 3, 1, 3
 SHEAR , 1, 5370.750, 4, 1, 4
 TORAR , 1, 5370.750, 1, 1, 1, 2, 4, 5

 SHEAR , 1, 5375.750, 1, 2, 1
 SHEAR , 1, 5375.750, 2, 2, 2
 SHEAR , 1, 5375.750, 3, 1, 3
 SHEAR , 1, 5375.750, 4, 1, 4
 TORAR , 1, 5375.750, 1, 1, 1, 2, 4, 5

 SHEAR , 1, 5380.750, 1, 2, 1
 SHEAR , 1, 5380.750, 2, 2, 2
 SHEAR , 1, 5380.750, 3, 1, 3
 SHEAR , 1, 5380.750, 4, 1, 4
 TORAR , 1, 5380.750, 1, 1, 1, 2, 4, 5

 SHEAR , 1, 5385.750, 1, 2, 1
 SHEAR , 1, 5385.750, 2, 2, 2
 SHEAR , 1, 5385.750, 3, 1, 3
 SHEAR , 1, 5385.750, 4, 1, 4
 TORAR , 1, 5385.750, 1, 1, 1, 2, 4, 5

 SHEAR , 1, 5390.750, 1, 2, 1
 SHEAR , 1, 5390.750, 2, 2, 2
 SHEAR , 1, 5390.750, 3, 1, 3
 SHEAR , 1, 5390.750, 4, 1, 4
 TORAR , 1, 5390.750, 1, 1, 1, 2, 4, 5

 SHEAR , 1, 5395.750, 1, 2, 1
 SHEAR , 1, 5395.750, 2, 2, 2
 SHEAR , 1, 5395.750, 3, 1, 3
 SHEAR , 1, 5395.750, 4, 1, 4
 TORAR , 1, 5395.750, 1, 1, 1, 2, 4, 5

 SHEAR , 1, 5400.750, 1, 2, 1
 SHEAR , 1, 5400.750, 2, 2, 2
 SHEAR , 1, 5400.750, 3, 1, 3
 SHEAR , 1, 5400.750, 4, 1, 4
 TORAR , 1, 5400.750, 1, 1, 1, 2, 4, 5

 SHEAR , 1, 5405.750, 1, 2, 1
 SHEAR , 1, 5405.750, 2, 2, 2
 SHEAR , 1, 5405.750, 3, 1, 3
 SHEAR , 1, 5405.750, 4, 1, 4
 TORAR , 1, 5405.750, 1, 1, 1, 2, 4, 5

 SHEAR , 1, 5410.750, 1, 2, 1
 SHEAR , 1, 5410.750, 2, 2, 2
 SHEAR , 1, 5410.750, 3, 1, 3
 SHEAR , 1, 5410.750, 4, 1, 4
 TORAR , 1, 5410.750, 1, 1, 1, 2, 4, 5

 SHEAR , 1, 5415.750, 1, 2, 1
 SHEAR , 1, 5415.750, 2, 2, 2
 SHEAR , 1, 5415.750, 3, 1, 3
 SHEAR , 1, 5415.750, 4, 1, 4
 TORAR , 1, 5415.750, 1, 1, 1, 2, 4, 5

 SHEAR , 1, 5420.750, 1, 2, 1
 SHEAR , 1, 5420.750, 2, 2, 2
 SHEAR , 1, 5420.750, 3, 1, 3
 SHEAR , 1, 5420.750, 4, 1, 4
 TORAR , 1, 5420.750, 1, 1, 1, 2, 4, 5

 SHEAR , 1, 5425.750, 1, 2, 1

SHEAR , 1, 5425.750, 2, 2, 2
SHEAR , 1, 5425.750, 3, 1, 3
SHEAR , 1, 5425.750, 4, 1, 4
TORAR , 1, 5425.750, 1, 1, 1 , 2 , 4, 5

SHEAR , 1, 5430.750, 1, 2, 1
SHEAR , 1, 5430.750, 2, 2, 2
SHEAR , 1, 5430.750, 3, 1, 3
SHEAR , 1, 5430.750, 4, 1, 4
TORAR , 1, 5430.750, 1, 1, 1 , 2 , 4, 5

SHEAR , 1, 5435.750, 1, 2, 1
SHEAR , 1, 5435.750, 2, 2, 2
SHEAR , 1, 5435.750, 3, 1, 3
SHEAR , 1, 5435.750, 4, 1, 4
TORAR , 1, 5435.750, 1, 1, 1 , 2 , 4, 5

SHEAR , 1, 5438.250, 1, 2, 1
SHEAR , 1, 5438.250, 2, 2, 2
SHEAR , 1, 5438.250, 3, 1, 3
SHEAR , 1, 5438.250, 4, 1, 4
TORAR , 1, 5438.250, 1, 1, 1 , 2 , 4, 5

% Fra akse 3 -4 -139,75 %

SHEAR , 1, 5443.250, 1, 2, 1
SHEAR , 1, 5443.250, 2, 2, 2
SHEAR , 1, 5443.250, 3, 1, 3
SHEAR , 1, 5443.250, 4, 1, 4
TORAR , 1, 5443.250, 1, 1, 1 , 2 , 4, 5

SHEAR , 1, 5448.250, 1, 2, 1
SHEAR , 1, 5448.250, 2, 2, 2
SHEAR , 1, 5448.250, 3, 1, 3
SHEAR , 1, 5448.250, 4, 1, 4
TORAR , 1, 5448.250, 1, 1, 1 , 2 , 4, 5

SHEAR , 1, 5453.250, 1, 2, 1
SHEAR , 1, 5453.250, 2, 2, 2
SHEAR , 1, 5453.250, 3, 1, 3
SHEAR , 1, 5453.250, 4, 1, 4
TORAR , 1, 5453.250, 1, 1, 1 , 2 , 4, 5

SHEAR , 1, 5458.250, 1, 2, 1
SHEAR , 1, 5458.250, 2, 2, 2
SHEAR , 1, 5458.250, 3, 1, 3
SHEAR , 1, 5458.250, 4, 1, 4
TORAR , 1, 5458.250, 1, 1, 1 , 2 , 4, 5

SHEAR , 1, 5463.250, 1, 2, 1
SHEAR , 1, 5463.250, 2, 2, 2
SHEAR , 1, 5463.250, 3, 1, 3
SHEAR , 1, 5463.250, 4, 1, 4
TORAR , 1, 5463.250, 1, 1, 1 , 2 , 4, 5

SHEAR , 1, 5468.250, 1, 2, 1
SHEAR , 1, 5458.250, 2, 2, 2
SHEAR , 1, 5458.250, 3, 1, 3
SHEAR , 1, 5458.250, 4, 1, 4
TORAR , 1, 5458.250, 1, 1, 1 , 2 , 4, 5

SHEAR , 1, 5473.250, 1, 2, 1
SHEAR , 1, 5473.250, 2, 2, 2
SHEAR , 1, 5473.250, 3, 1, 3
SHEAR , 1, 5473.250, 4, 1, 4
TORAR , 1, 5473.250, 1, 1, 1 , 2 , 4, 5

SHEAR , 1, 5478.250, 1, 2, 1
SHEAR , 1, 5478.250, 2, 2, 2
SHEAR , 1, 5478.250, 3, 1, 3
SHEAR , 1, 5478.250, 4, 1, 4
TORAR , 1, 5478.250, 1, 1, 1 , 2 , 4, 5

SHEAR , 1, 5483.250, 1, 2, 1

SHEAR , 1, 5483.250, 2, 2, 2
 SHEAR , 1, 5483.250, 3, 1, 3
 SHEAR , 1, 5483.250, 4, 1, 4
 TORAR , 1, 5483.250, 1, 1, 1 , 2 , 4, 5

SHEAR , 1, 5488.250, 1, 2, 1
 SHEAR , 1, 5488.250, 2, 2, 2
 SHEAR , 1, 5488.250, 3, 1, 3
 SHEAR , 1, 5488.250, 4, 1, 4
 TORAR , 1, 5488.250, 1, 1, 1 , 2 , 4, 5

SHEAR , 1, 5493.250, 1, 2, 1
 SHEAR , 1, 5493.250, 2, 2, 2
 SHEAR , 1, 5493.250, 3, 1, 3
 SHEAR , 1, 5493.250, 4, 1, 4
 TORAR , 1, 5493.250, 1, 1, 1 , 2 , 4, 5

SHEAR , 1, 5498.250, 1, 2, 1
 SHEAR , 1, 5498.250, 2, 2, 2
 SHEAR , 1, 5498.250, 3, 1, 3
 SHEAR , 1, 5498.250, 4, 1, 4
 TORAR , 1, 5498.250, 1, 1, 1 , 2 , 4, 5

SHEAR , 1, 5503.250, 1, 2, 1
 SHEAR , 1, 5503.250, 2, 2, 2
 SHEAR , 1, 5503.250, 3, 1, 3
 SHEAR , 1, 5503.250, 4, 1, 4
 TORAR , 1, 5503.250, 1, 1, 1 , 2 , 4, 5

SHEAR , 1, 5508.250, 1, 2, 1
 SHEAR , 1, 5508.250, 2, 2, 2
 SHEAR , 1, 5508.250, 3, 1, 3
 SHEAR , 1, 5508.250, 4, 1, 4
 TORAR , 1, 5508.250, 1, 1, 1 , 2 , 4, 5

SHEAR , 1, 5513.250, 1, 2, 1
 SHEAR , 1, 5513.250, 2, 2, 2
 SHEAR , 1, 5513.250, 3, 1, 3
 SHEAR , 1, 5513.250, 4, 1, 4
 TORAR , 1, 5513.250, 1, 1, 1 , 2 , 4, 5

SHEAR , 1, 5518.250, 1, 2, 1
 SHEAR , 1, 5518.250, 2, 2, 2
 SHEAR , 1, 5518.250, 3, 1, 3
 SHEAR , 1, 5518.250, 4, 1, 4
 TORAR , 1, 5518.250, 1, 1, 1 , 2 , 4, 5

SHEAR , 1, 5523.250, 1, 2, 1
 SHEAR , 1, 5523.250, 2, 2, 2
 SHEAR , 1, 5523.250, 3, 1, 3
 SHEAR , 1, 5523.250, 4, 1, 4
 TORAR , 1, 5523.250, 1, 1, 1 , 2 , 4, 5

SHEAR , 1, 5528.250, 1, 2, 1
 SHEAR , 1, 5528.250, 2, 2, 2
 SHEAR , 1, 5528.250, 3, 1, 3
 SHEAR , 1, 5528.250, 4, 1, 4
 TORAR , 1, 5528.250, 1, 1, 1 , 2 , 4, 5

SHEAR , 1, 5533.250, 1, 2, 1
 SHEAR , 1, 5533.250, 2, 2, 2
 SHEAR , 1, 5533.250, 3, 1, 3
 SHEAR , 1, 5533.250, 4, 1, 4
 TORAR , 1, 5533.250, 1, 1, 1 , 2 , 4, 5

SHEAR , 1, 5538.250, 1, 2, 1
 SHEAR , 1, 5538.250, 2, 2, 2
 SHEAR , 1, 5538.250, 3, 1, 3
 SHEAR , 1, 5538.250, 4, 1, 4
 TORAR , 1, 5538.250, 1, 1, 1 , 2 , 4, 5

SHEAR , 1, 5543.250, 1, 2, 1
 SHEAR , 1, 5543.250, 2, 2, 2
 SHEAR , 1, 5543.250, 3, 1, 3

SHEAR , 1, 5543.250, 4, 1, 4
TORAR , 1, 5543.250, 1, 1, 1, 2, 4, 5

SHEAR , 1, 5548.250, 1, 2, 1
SHEAR , 1, 5548.250, 2, 2, 2
SHEAR , 1, 5548.250, 3, 1, 3
SHEAR , 1, 5548.250, 4, 1, 4
TORAR , 1, 5548.250, 1, 1, 1, 2, 4, 5

SHEAR , 1, 5553.250, 1, 2, 1
SHEAR , 1, 5553.250, 2, 2, 2
SHEAR , 1, 5553.250, 3, 1, 3
SHEAR , 1, 5553.250, 4, 1, 4
TORAR , 1, 5553.250, 1, 1, 1, 2, 4, 5

SHEAR , 1, 5558.250, 1, 2, 1
SHEAR , 1, 5558.250, 2, 2, 2
SHEAR , 1, 5558.250, 3, 1, 3
SHEAR , 1, 5558.250, 4, 1, 4
TORAR , 1, 5558.250, 1, 1, 1, 2, 4, 5

SHEAR , 1, 5563.250, 1, 2, 1
SHEAR , 1, 5563.250, 2, 2, 2
SHEAR , 1, 5563.250, 3, 1, 3
SHEAR , 1, 5563.250, 4, 1, 4
TORAR , 1, 5563.250, 1, 1, 1, 2, 4, 5

SHEAR , 1, 5568.250, 1, 2, 1
SHEAR , 1, 5568.250, 2, 2, 2
SHEAR , 1, 5568.250, 3, 1, 3
SHEAR , 1, 5568.250, 4, 1, 4
TORAR , 1, 5568.250, 1, 1, 1, 2, 4, 5

SHEAR , 1, 5572.000, 1, 2, 1
SHEAR , 1, 5572.000, 2, 2, 2
SHEAR , 1, 5572.000, 3, 1, 3
SHEAR , 1, 5572.000, 4, 1, 4
TORAR , 1, 5572.000, 1, 1, 1, 2, 4, 5

SHEAR , 1, 5575.000, 1, 2, 1
SHEAR , 1, 5575.000, 2, 2, 2
SHEAR , 1, 5575.000, 3, 1, 3
SHEAR , 1, 5575.000, 4, 1, 4
TORAR , 1, 5575.000, 1, 1, 1, 2, 4, 5

SHEAR , 1, 5578.000, 1, 2, 1
SHEAR , 1, 5578.000, 2, 2, 2
SHEAR , 1, 5578.000, 3, 1, 3
SHEAR , 1, 5578.000, 4, 1, 4
TORAR , 1, 5578.000, 1, 1, 1, 2, 4, 5

SHEAR , 1, 5579.000, 1, 2, 1
SHEAR , 1, 5579.000, 2, 2, 2
SHEAR , 1, 5579.000, 3, 1, 3
SHEAR , 1, 5579.000, 4, 1, 4
TORAR , 1, 5579.000, 1, 1, 1, 2, 4, 5

SHEAR , 1, 5582.000, 1, 2, 1
SHEAR , 1, 5582.000, 2, 2, 2
SHEAR , 1, 5582.000, 3, 1, 3
SHEAR , 1, 5582.000, 4, 1, 4
TORAR , 1, 5582.000, 1, 1, 1, 2, 4, 5

% Fra akse 3 +150 %

SHEAR , 1, 5585.000, 1, 2, 1
SHEAR , 1, 5585.000, 2, 2, 2
SHEAR , 1, 5585.000, 3, 1, 3
SHEAR , 1, 5585.000, 4, 1, 4
TORAR , 1, 5585.000, 1, 1, 1, 2, 4, 5

SHEAR , 1, 5586.000, 1, 2, 1
SHEAR , 1, 5586.000, 2, 2, 2
SHEAR , 1, 5586.000, 3, 1, 3

SHEAR , 1, 5586.000, 4, 1, 4
 TORAR , 1, 5586.000, 1, 1, 1, 2, 4, 5

SHEAR , 1, 5589.000, 1, 2, 1
 SHEAR , 1, 5589.000, 2, 2, 2
 SHEAR , 1, 5589.000, 3, 1, 3
 SHEAR , 1, 5589.000, 4, 1, 4
 TORAR , 1, 5589.000, 1, 1, 1, 2, 4, 5

SHEAR , 1, 5592.000, 1, 2, 1
 SHEAR , 1, 5592.000, 2, 2, 2
 SHEAR , 1, 5592.000, 3, 1, 3
 SHEAR , 1, 5592.000, 4, 1, 4
 TORAR , 1, 5592.000, 1, 1, 1, 2, 4, 5

SHEAR , 1, 5595.750, 1, 2, 1
 SHEAR , 1, 5595.750, 2, 2, 2
 SHEAR , 1, 5595.750, 3, 1, 3
 SHEAR , 1, 5595.750, 4, 1, 4
 TORAR , 1, 5595.750, 1, 1, 1, 2, 4, 5

SHEAR , 1, 5600.750, 1, 2, 1
 SHEAR , 1, 5600.750, 2, 2, 2
 SHEAR , 1, 5600.750, 3, 1, 3
 SHEAR , 1, 5600.750, 4, 1, 4
 TORAR , 1, 5600.750, 1, 1, 1, 2, 4, 5

SHEAR , 1, 5605.750, 1, 2, 1
 SHEAR , 1, 5605.750, 2, 2, 2
 SHEAR , 1, 5605.750, 3, 1, 3
 SHEAR , 1, 5605.750, 4, 1, 4
 TORAR , 1, 5605.750, 1, 1, 1, 2, 4, 5

SHEAR , 1, 5610.750, 1, 2, 1
 SHEAR , 1, 5610.750, 2, 2, 2
 SHEAR , 1, 5610.750, 3, 1, 3
 SHEAR , 1, 5610.750, 4, 1, 4
 TORAR , 1, 5610.750, 1, 1, 1, 2, 4, 5

SHEAR , 1, 5615.750, 1, 2, 1
 SHEAR , 1, 5615.750, 2, 2, 2
 SHEAR , 1, 5615.750, 3, 1, 3
 SHEAR , 1, 5615.750, 4, 1, 4
 TORAR , 1, 5615.750, 1, 1, 1, 2, 4, 5

SHEAR , 1, 5620.750, 1, 2, 1
 SHEAR , 1, 5620.750, 2, 2, 2
 SHEAR , 1, 5620.750, 3, 1, 3
 SHEAR , 1, 5620.750, 4, 1, 4
 TORAR , 1, 5620.750, 1, 1, 1, 2, 4, 5

SHEAR , 1, 5625.750, 1, 2, 1
 SHEAR , 1, 5625.750, 2, 2, 2
 SHEAR , 1, 5625.750, 3, 1, 3
 SHEAR , 1, 5625.750, 4, 1, 4
 TORAR , 1, 5625.750, 1, 1, 1, 2, 4, 5

SHEAR , 1, 5630.750, 1, 2, 1
 SHEAR , 1, 5630.750, 2, 2, 2
 SHEAR , 1, 5630.750, 3, 1, 3
 SHEAR , 1, 5630.750, 4, 1, 4
 TORAR , 1, 5630.750, 1, 1, 1, 2, 4, 5

SHEAR , 1, 5635.750, 1, 2, 1
 SHEAR , 1, 5635.750, 2, 2, 2
 SHEAR , 1, 5635.750, 3, 1, 3
 SHEAR , 1, 5635.750, 4, 1, 4
 TORAR , 1, 5635.750, 1, 1, 1, 2, 4, 5

SHEAR , 1, 5640.750, 1, 2, 1
 SHEAR , 1, 5640.750, 2, 2, 2
 SHEAR , 1, 5640.750, 3, 1, 3
 SHEAR , 1, 5640.750, 4, 1, 4
 TORAR , 1, 5640.750, 1, 1, 1, 2, 4, 5

SHEAR , 1, 5645.750, 1, 2, 1
 SHEAR , 1, 5645.750, 2, 2, 2
 SHEAR , 1, 5645.750, 3, 1, 3
 SHEAR , 1, 5645.750, 4, 1, 4
 TORAR , 1, 5645.750, 1, 1, 1, 2, 4, 5

SHEAR , 1, 5650.750, 1, 2, 1
 SHEAR , 1, 5650.750, 2, 2, 2
 SHEAR , 1, 5650.750, 3, 1, 3
 SHEAR , 1, 5650.750, 4, 1, 4
 TORAR , 1, 5650.750, 1, 1, 1, 2, 4, 5

SHEAR , 1, 5655.750, 1, 2, 1
 SHEAR , 1, 5655.750, 2, 2, 2
 SHEAR , 1, 5655.750, 3, 1, 3
 SHEAR , 1, 5655.750, 4, 1, 4
 TORAR , 1, 5655.750, 1, 1, 1, 2, 4, 5

SHEAR , 1, 5660.750, 1, 2, 1
 SHEAR , 1, 5660.750, 2, 2, 2
 SHEAR , 1, 5660.750, 3, 1, 3
 SHEAR , 1, 5660.750, 4, 1, 4
 TORAR , 1, 5660.750, 1, 1, 1, 2, 4, 5

SHEAR , 1, 5665.750, 1, 2, 1
 SHEAR , 1, 5665.750, 2, 2, 2
 SHEAR , 1, 5665.750, 3, 1, 3
 SHEAR , 1, 5665.750, 4, 1, 4
 TORAR , 1, 5665.750, 1, 1, 1, 2, 4, 5

SHEAR , 1, 5670.750, 1, 2, 1
 SHEAR , 1, 5670.750, 2, 2, 2
 SHEAR , 1, 5670.750, 3, 1, 3
 SHEAR , 1, 5670.750, 4, 1, 4
 TORAR , 1, 5670.750, 1, 1, 1, 2, 4, 5

SHEAR , 1, 5675.750, 1, 2, 1
 SHEAR , 1, 5675.750, 2, 2, 2
 SHEAR , 1, 5675.750, 3, 1, 3
 SHEAR , 1, 5675.750, 4, 1, 4
 TORAR , 1, 5675.750, 1, 1, 1, 2, 4, 5

SHEAR , 1, 5680.750, 1, 2, 1
 SHEAR , 1, 5680.750, 2, 2, 2
 SHEAR , 1, 5680.750, 3, 1, 3
 SHEAR , 1, 5680.750, 4, 1, 4
 TORAR , 1, 5680.750, 1, 1, 1, 2, 4, 5

SHEAR , 1, 5685.750, 1, 2, 1
 SHEAR , 1, 5685.750, 2, 2, 2
 SHEAR , 1, 5685.750, 3, 1, 3
 SHEAR , 1, 5685.750, 4, 1, 4
 TORAR , 1, 5685.750, 1, 1, 1, 2, 4, 5

SHEAR , 1, 5690.750, 1, 2, 1
 SHEAR , 1, 5690.750, 2, 2, 2
 SHEAR , 1, 5690.750, 3, 1, 3
 SHEAR , 1, 5690.750, 4, 1, 4
 TORAR , 1, 5690.750, 1, 1, 1, 2, 4, 5

SHEAR , 1, 5695.750, 1, 2, 1
 SHEAR , 1, 5695.750, 2, 2, 2
 SHEAR , 1, 5695.750, 3, 1, 3
 SHEAR , 1, 5695.750, 4, 1, 4
 TORAR , 1, 5695.750, 1, 1, 1, 2, 4, 5

SHEAR , 1, 5700.750, 1, 2, 1
 SHEAR , 1, 5700.750, 2, 2, 2
 SHEAR , 1, 5700.750, 3, 1, 3
 SHEAR , 1, 5700.750, 4, 1, 4
 TORAR , 1, 5700.750, 1, 1, 1, 2, 4, 5

SHEAR , 1, 5705.750, 1, 2, 1

SHEAR , 1, 5705.750, 2, 2, 2
SHEAR , 1, 5705.750, 3, 1, 3
SHEAR , 1, 5705.750, 4, 1, 4
TORAR , 1, 5705.750, 1, 1, 1 , 2 , 4, 5

SHEAR , 1, 5710.750, 1, 2, 1
SHEAR , 1, 5710.750, 2, 2, 2
SHEAR , 1, 5710.750, 3, 1, 3
SHEAR , 1, 5710.750, 4, 1, 4
TORAR , 1, 5710.750, 1, 1, 1 , 2 , 4, 5

SHEAR , 1, 5715.750, 1, 2, 1
SHEAR , 1, 5715.750, 2, 2, 2
SHEAR , 1, 5715.750, 3, 1, 3
SHEAR , 1, 5715.750, 4, 1, 4
TORAR , 1, 5715.750, 1, 1, 1 , 2 , 4, 5

SHEAR , 1, 5720.750, 1, 2, 1
SHEAR , 1, 5720.750, 2, 2, 2
SHEAR , 1, 5720.750, 3, 1, 3
SHEAR , 1, 5720.750, 4, 1, 4
TORAR , 1, 5720.750, 1, 1, 1 , 2 , 4, 5

SHEAR , 1, 5725.750, 1, 2, 1
SHEAR , 1, 5725.750, 2, 2, 2
SHEAR , 1, 5725.750, 3, 1, 3
SHEAR , 1, 5725.750, 4, 1, 4
TORAR , 1, 5725.750, 1, 1, 1 , 2 , 4, 5

SHEAR , 1, 5730.750, 1, 2, 1
SHEAR , 1, 5730.750, 2, 2, 2
SHEAR , 1, 5730.750, 3, 1, 3
SHEAR , 1, 5730.750, 4, 1, 4
TORAR , 1, 5730.750, 1, 1, 1 , 2 , 4, 5

SHEAR , 1, 5733.375, 1, 2, 1
SHEAR , 1, 5733.375, 2, 2, 2
SHEAR , 1, 5733.375, 3, 1, 3
SHEAR , 1, 5733.375, 4, 1, 4
TORAR , 1, 5733.375, 1, 1, 1 , 2 , 4, 5

SHEAR , 1, 5736.000, 1, 2, 1
SHEAR , 1, 5736.000, 2, 2, 2
SHEAR , 1, 5736.000, 3, 1, 3
SHEAR , 1, 5736.000, 4, 1, 4
TORAR , 1, 5736.000, 1, 1, 1 , 2 , 4, 5

% Fra akse 4 +50 %

SHEAR , 1, 5737.000, 1, 2, 1
SHEAR , 1, 5737.000, 2, 2, 2
SHEAR , 1, 5737.000, 3, 1, 3
SHEAR , 1, 5737.000, 4, 1, 4
TORAR , 1, 5737.000, 1, 1, 1 , 2 , 4, 5

SHEAR , 1, 5742.000, 1, 2, 1
SHEAR , 1, 5742.000, 2, 2, 2
SHEAR , 1, 5742.000, 3, 1, 3
SHEAR , 1, 5742.000, 4, 1, 4
TORAR , 1, 5742.000, 1, 1, 1 , 2 , 4, 5

SHEAR , 1, 5747.000, 1, 2, 1
SHEAR , 1, 5747.000, 2, 2, 2
SHEAR , 1, 5747.000, 3, 1, 3
SHEAR , 1, 5747.000, 4, 1, 4
TORAR , 1, 5747.000, 1, 1, 1 , 2 , 4, 5

SHEAR , 1, 5752.000, 1, 2, 1
SHEAR , 1, 5752.000, 2, 2, 2
SHEAR , 1, 5752.000, 3, 1, 3
SHEAR , 1, 5752.000, 4, 1, 4
TORAR , 1, 5752.000, 1, 1, 1 , 2 , 4, 5

SHEAR , 1, 5757.000, 1, 2, 1
SHEAR , 1, 5757.000, 2, 2, 2
SHEAR , 1, 5757.000, 3, 1, 3
SHEAR , 1, 5757.000, 4, 1, 4
TORAR , 1, 5757.000, 1, 1, 1 , 2 , 4, 5

SHEAR , 1, 5762.000, 1, 2, 1
SHEAR , 1, 5762.000, 2, 2, 2
SHEAR , 1, 5762.000, 3, 1, 3
SHEAR , 1, 5762.000, 4, 1, 4
TORAR , 1, 5762.000, 1, 1, 1 , 2 , 4, 5

SHEAR , 1, 5767.000, 1, 2, 1
SHEAR , 1, 5767.000, 2, 2, 2
SHEAR , 1, 5767.000, 3, 1, 3
SHEAR , 1, 5767.000, 4, 1, 4
TORAR , 1, 5767.000, 1, 1, 1 , 2 , 4, 5

SHEAR , 1, 5772.000, 1, 2, 1
SHEAR , 1, 5772.000, 2, 2, 2
SHEAR , 1, 5772.000, 3, 1, 3
SHEAR , 1, 5772.000, 4, 1, 4
TORAR , 1, 5772.000, 1, 1, 1 , 2 , 4, 5

SHEAR , 1, 5777.000, 1, 2, 1
SHEAR , 1, 5777.000, 2, 2, 2
SHEAR , 1, 5777.000, 3, 1, 3
SHEAR , 1, 5777.000, 4, 1, 4
TORAR , 1, 5777.000, 1, 1, 1 , 2 , 4, 5

SHEAR , 1, 5782.000, 1, 2, 1
SHEAR , 1, 5782.000, 2, 2, 2
SHEAR , 1, 5782.000, 3, 1, 3
SHEAR , 1, 5782.000, 4, 1, 4
TORAR , 1, 5782.000, 1, 1, 1 , 2 , 4, 5

SHEAR , 1, 5787.000, 1, 2, 1
SHEAR , 1, 5787.000, 2, 2, 2
SHEAR , 1, 5787.000, 3, 1, 3
SHEAR , 1, 5787.000, 4, 1, 4
TORAR , 1, 5787.000, 1, 1, 1 , 2 , 4, 5

% Fra akse 5 +50 %

SHEAR , 1, 5792.000, 1, 2, 1
SHEAR , 1, 5792.000, 2, 2, 2
SHEAR , 1, 5792.000, 3, 1, 3
SHEAR , 1, 5792.000, 4, 1, 4
TORAR , 1, 5792.000, 1, 1, 1 , 2 , 4, 5

SHEAR , 1, 5797.000, 1, 2, 1
SHEAR , 1, 5797.000, 2, 2, 2
SHEAR , 1, 5797.000, 3, 1, 3
SHEAR , 1, 5797.000, 4, 1, 4
TORAR , 1, 5797.000, 1, 1, 1 , 2 , 4, 5

SHEAR , 1, 5802.000, 1, 2, 1
SHEAR , 1, 5802.000, 2, 2, 2
SHEAR , 1, 5802.000, 3, 1, 3
SHEAR , 1, 5802.000, 4, 1, 4
TORAR , 1, 5802.000, 1, 1, 1 , 2 , 4, 5

SHEAR , 1, 5807.000, 1, 2, 1
SHEAR , 1, 5807.000, 2, 2, 2
SHEAR , 1, 5807.000, 3, 1, 3
SHEAR , 1, 5807.000, 4, 1, 4
TORAR , 1, 5807.000, 1, 1, 1 , 2 , 4, 5

SHEAR , 1, 5812.000, 1, 2, 1
SHEAR , 1, 5812.000, 2, 2, 2
SHEAR , 1, 5812.000, 3, 1, 3
SHEAR , 1, 5812.000, 4, 1, 4
TORAR , 1, 5812.000, 1, 1, 1 , 2 , 4, 5

SHEAR , 1, 5817.000, 1, 2, 1
SHEAR , 1, 5817.000, 2, 2, 2
SHEAR , 1, 5817.000, 3, 1, 3
SHEAR , 1, 5817.000, 4, 1, 4
TORAR , 1, 5817.000, 1, 1, 1 , 2 , 4, 5

SHEAR , 1, 5822.000, 1, 2, 1
SHEAR , 1, 5822.000, 2, 2, 2
SHEAR , 1, 5822.000, 3, 1, 3
SHEAR , 1, 5822.000, 4, 1, 4
TORAR , 1, 5822.000, 1, 1, 1 , 2 , 4, 5

SHEAR , 1, 5827.000, 1, 2, 1
SHEAR , 1, 5827.000, 2, 2, 2
SHEAR , 1, 5827.000, 3, 1, 3
SHEAR , 1, 5827.000, 4, 1, 4
TORAR , 1, 5827.000, 1, 1, 1 , 2 , 4, 5

SHEAR , 1, 5832.000, 1, 2, 1
SHEAR , 1, 5832.000, 2, 2, 2
SHEAR , 1, 5832.000, 3, 1, 3
SHEAR , 1, 5832.000, 4, 1, 4
TORAR , 1, 5832.000, 1, 1, 1 , 2 , 4, 5

SHEAR , 1, 5837.000, 1, 2, 1
SHEAR , 1, 5837.000, 2, 2, 2
SHEAR , 1, 5837.000, 3, 1, 3
SHEAR , 1, 5837.000, 4, 1, 4
TORAR , 1, 5837.000, 1, 1, 1 , 2 , 4, 5

% Fra akse 6 +37 %

SHEAR , 1, 5842.000, 1, 2, 1
SHEAR , 1, 5842.000, 2, 2, 2
SHEAR , 1, 5842.000, 3, 1, 3
SHEAR , 1, 5842.000, 4, 1, 4
TORAR , 1, 5842.000, 1, 1, 1 , 2 , 4, 5

SHEAR , 1, 5847.000, 1, 2, 1
SHEAR , 1, 5847.000, 2, 2, 2
SHEAR , 1, 5847.000, 3, 1, 3
SHEAR , 1, 5847.000, 4, 1, 4
TORAR , 1, 5847.000, 1, 1, 1 , 2 , 4, 5

SHEAR , 1, 5852.000, 1, 2, 1
SHEAR , 1, 5852.000, 2, 2, 2
SHEAR , 1, 5852.000, 3, 1, 3
SHEAR , 1, 5852.000, 4, 1, 4
TORAR , 1, 5852.000, 1, 1, 1 , 2 , 4, 5

SHEAR , 1, 5857.000, 1, 2, 1
SHEAR , 1, 5857.000, 2, 2, 2
SHEAR , 1, 5857.000, 3, 1, 3
SHEAR , 1, 5857.000, 4, 1, 4
TORAR , 1, 5857.000, 1, 1, 1 , 2 , 4, 5

SHEAR , 1, 5862.000, 1, 2, 1
SHEAR , 1, 5862.000, 2, 2, 2
SHEAR , 1, 5862.000, 3, 1, 3
SHEAR , 1, 5862.000, 4, 1, 4
TORAR , 1, 5862.000, 1, 1, 1 , 2 , 4, 5

SHEAR , 1, 5867.000, 1, 2, 1
SHEAR , 1, 5867.000, 2, 2, 2
SHEAR , 1, 5867.000, 3, 1, 3
SHEAR , 1, 5867.000, 4, 1, 4
TORAR , 1, 5867.000, 1, 1, 1 , 2 , 4, 5

SHEAR , 1, 5872.000, 1, 2, 1
SHEAR , 1, 5872.000, 2, 2, 2
SHEAR , 1, 5872.000, 3, 1, 3
SHEAR , 1, 5872.000, 4, 1, 4
TORAR , 1, 5872.000, 1, 1, 1 , 2 , 4, 5

```

SHEAR , 1, 5875.000, 1, 2, 1
SHEAR , 1, 5875.000, 2, 2, 2
SHEAR , 1, 5875.000, 3, 1, 3
SHEAR , 1, 5875.000, 4, 1, 4
TORAR , 1, 5875.000, 1, 1, 1 , 2 , 4, 5

```

```

%%% NODE INPUT %%%
%      N1  N2  dN  StartX  StartY  StartZ  DeltaX  DeltaY  DeltaZ

```

```
% Fra akse 2 -4 -91 %
```

```

RFLNODE 2200 2200 1 1 5292.000 5292.000
RFLNODE 2201 2201 1 1 5289.000 5289.000

```

```
%
```

```

RFLNODE 2100 2100 1 1 5288.000 5288.000
RFLNODE 2101 2101 1 1 5285.000 5285.000
RFLNODE 2102 2102 1 1 5282.000 5282.000
RFLNODE 2103 2103 1 1 5278.250 5278.250
RFLNODE 2104 2104 1 1 5273.250 5273.250
RFLNODE 2105 2105 1 1 5268.250 5268.250
RFLNODE 2106 2106 1 1 5263.250 5263.250
RFLNODE 2107 2107 1 1 5258.250 5258.250
RFLNODE 2108 2108 1 1 5253.250 5253.250
RFLNODE 2109 2109 1 1 5248.250 5248.250
RFLNODE 2110 2110 1 1 5243.250 5243.250
RFLNODE 2111 2111 1 1 5238.250 5238.250
RFLNODE 2112 2112 1 1 5233.250 5233.250
RFLNODE 2113 2113 1 1 5228.250 5228.250
RFLNODE 2114 2114 1 1 5223.250 5223.250
RFLNODE 2115 2115 1 1 5218.250 5218.250
RFLNODE 2116 2116 1 1 5213.250 5213.250
RFLNODE 2117 2117 1 1 5208.250 5208.250
RFLNODE 2118 2118 1 1 5203.250 5203.250
RFLNODE 2119 2119 1 1 5200.125 5200.125
RFLNODE 2120 2120 1 1 5197.000 5197.000

```

```
%
```

```
% Fra akse 2 +142,25m %
```

```

RFLNODE 2202 2202 1 1 5295.000 5295.000
%
RFLNODE 2300 2300 1 1 5296.000 5296.000
RFLNODE 2301 2301 1 1 5299.000 5299.000
RFLNODE 2302 2302 1 1 5302.000 5302.000
RFLNODE 2303 2303 1 1 5305.750 5305.750
RFLNODE 2304 2304 1 1 5310.750 5310.750
RFLNODE 2305 2305 1 1 5315.750 5315.750
RFLNODE 2306 2306 1 1 5320.750 5320.750
RFLNODE 2307 2307 1 1 5325.750 5325.750
RFLNODE 2308 2308 1 1 5330.750 5330.750
RFLNODE 2309 2309 1 1 5335.750 5335.750
RFLNODE 2310 2310 1 1 5340.750 5340.750
RFLNODE 2311 2311 1 1 5345.750 5345.750
RFLNODE 2312 2312 1 1 5350.750 5350.750
RFLNODE 2313 2313 1 1 5355.750 5355.750
RFLNODE 2314 2314 1 1 5360.750 5360.750
RFLNODE 2315 2315 1 1 5365.750 5365.750
RFLNODE 2316 2316 1 1 5370.750 5370.750
RFLNODE 2317 2317 1 1 5375.750 5375.750
RFLNODE 2318 2318 1 1 5380.750 5380.750
RFLNODE 2319 2319 1 1 5385.750 5385.750
RFLNODE 2320 2320 1 1 5390.750 5390.750
RFLNODE 2321 2321 1 1 5395.750 5395.750
RFLNODE 2322 2322 1 1 5400.750 5400.750
RFLNODE 2323 2323 1 1 5405.750 5405.750
RFLNODE 2324 2324 1 1 5410.750 5410.750
RFLNODE 2325 2325 1 1 5415.750 5415.750

```

RFLNODE	2326	2326	1	1	5420.750	5420.750
RFLNODE	2327	2327	1	1	5425.750	5425.750
RFLNODE	2328	2328	1	1	5430.750	5430.750
RFLNODE	2329	2329	1	1	5435.750	5435.750
RFLNODE	2330	2330	1	1	5438.250	5438.250

% Fra akse 3 -4 -139,75 %

RFLNODE	3300	3300	1	1	5582.000	5582.000
RFLNODE	3301	3301	1	1	5579.000	5579.000

%

RFLNODE	3200	3200	1	1	5578.000	5578.000
RFLNODE	3201	3201	1	1	5575.000	5575.000
RFLNODE	3202	3202	1	1	5572.000	5572.000
RFLNODE	3203	3203	1	1	5568.250	5568.250
RFLNODE	3204	3204	1	1	5563.250	5563.250
RFLNODE	3205	3205	1	1	5558.250	5558.250
RFLNODE	3206	3206	1	1	5553.250	5553.250
RFLNODE	3207	3207	1	1	5548.250	5548.250
RFLNODE	3208	3208	1	1	5543.250	5543.250
RFLNODE	3209	3209	1	1	5538.250	5538.250
RFLNODE	3210	3210	1	1	5533.250	5533.250
RFLNODE	3211	3211	1	1	5528.250	5528.250
RFLNODE	3212	3212	1	1	5523.250	5523.250
RFLNODE	3213	3213	1	1	5518.250	5518.250
RFLNODE	3214	3214	1	1	5513.250	5513.250
RFLNODE	3215	3215	1	1	5508.250	5508.250
RFLNODE	3216	3216	1	1	5503.250	5503.250
RFLNODE	3217	3217	1	1	5498.250	5498.250
RFLNODE	3218	3218	1	1	5493.250	5493.250
RFLNODE	3219	3219	1	1	5488.250	5488.250
RFLNODE	3220	3220	1	1	5483.250	5483.250
RFLNODE	3221	3221	1	1	5478.250	5478.250
RFLNODE	3222	3222	1	1	5473.250	5473.250
RFLNODE	3223	3223	1	1	5468.250	5468.250
RFLNODE	3224	3224	1	1	5463.250	5463.250
RFLNODE	3225	3225	1	1	5458.250	5458.250
RFLNODE	3226	3226	1	1	5453.250	5453.250
RFLNODE	3227	3227	1	1	5448.250	5448.250
RFLNODE	3228	3228	1	1	5443.250	5443.250

% Fra akse 3 +154 %

RFLNODE	3302	3302	1	1	5585.000	5585.000
---------	------	------	---	---	----------	----------

%

RFLNODE	3400	3400	1	1	5586.000	5586.000
RFLNODE	3401	3401	1	1	5589.000	5589.000
RFLNODE	3402	3402	1	1	5592.000	5592.000
RFLNODE	3403	3403	1	1	5595.750	5595.750
RFLNODE	3404	3404	1	1	5600.750	5600.750
RFLNODE	3405	3405	1	1	5605.750	5605.750
RFLNODE	3406	3406	1	1	5610.750	5610.750
RFLNODE	3407	3407	1	1	5615.750	5615.750
RFLNODE	3408	3408	1	1	5620.750	5620.750
RFLNODE	3409	3409	1	1	5625.750	5625.750
RFLNODE	3410	3410	1	1	5630.750	5630.750
RFLNODE	3411	3411	1	1	5635.750	5635.750
RFLNODE	3412	3412	1	1	5640.750	5640.750
RFLNODE	3413	3413	1	1	5645.750	5645.750
RFLNODE	3414	3414	1	1	5650.750	5650.750
RFLNODE	3415	3415	1	1	5655.750	5655.750
RFLNODE	3416	3416	1	1	5660.750	5660.750
RFLNODE	3417	3417	1	1	5665.750	5665.750
RFLNODE	3418	3418	1	1	5670.750	5670.750
RFLNODE	3419	3419	1	1	5675.750	5675.750
RFLNODE	3420	3420	1	1	5680.750	5680.750
RFLNODE	3421	3421	1	1	5685.750	5685.750
RFLNODE	3422	3422	1	1	5690.750	5690.750
RFLNODE	3423	3423	1	1	5695.750	5695.750
RFLNODE	3424	3424	1	1	5700.750	5700.750
RFLNODE	3425	3425	1	1	5705.750	5705.750
RFLNODE	3426	3426	1	1	5710.750	5710.750

RFLNODE	3427	3427	1	1	5715.750	5715.750
RFLNODE	3428	3428	1	1	5720.750	5720.750
RFLNODE	3429	3429	1	1	5725.750	5725.750
RFLNODE	3430	3430	1	1	5730.750	5730.750
RFLNODE	3431	3431	1	1	5733.375	5733.375
RFLNODE	3432	3432	1	1	5736.000	5736.000

% Fra akse 4 +50 %

RFLNODE	4400	4400	1	1	5737.000	5737.000
RFLNODE	4500	4500	1	1	5742.000	5742.000
RFLNODE	4501	4501	1	1	5747.000	5747.000
RFLNODE	4502	4502	1	1	5752.000	5752.000
RFLNODE	4503	4503	1	1	5757.000	5757.000
RFLNODE	4504	4504	1	1	5762.000	5762.000
RFLNODE	4505	4505	1	1	5767.000	5767.000
RFLNODE	4506	4506	1	1	5772.000	5772.000
RFLNODE	4507	4507	1	1	5777.000	5777.000
RFLNODE	4508	4508	1	1	5782.000	5782.000

%

RFLNODE	5500	5500	1	1	5787.000	5787.000
---------	------	------	---	---	----------	----------

% Fra akse 5 +50 %

RFLNODE	5600	5600	1	1	5792.000	5792.000
RFLNODE	5601	5601	1	1	5797.000	5797.000
RFLNODE	5602	5602	1	1	5802.000	5802.000
RFLNODE	5603	5603	1	1	5807.000	5807.000
RFLNODE	5604	5604	1	1	5812.000	5812.000
RFLNODE	5605	5605	1	1	5817.000	5817.000
RFLNODE	5606	5606	1	1	5822.000	5822.000
RFLNODE	5607	5607	1	1	5827.000	5827.000
RFLNODE	5608	5608	1	1	5832.000	5832.000
RFLNODE	6600	6600	1	1	5837.000	5837.000

% Fra akse 6 + 37 %

RFLNODE	6700	6700	1	1	5842.000	5842.000
RFLNODE	6701	6701	1	1	5847.000	5847.000
RFLNODE	6702	6702	1	1	5852.000	5852.000
RFLNODE	6703	6703	1	1	5857.000	5857.000
RFLNODE	6704	6704	1	1	5862.000	5862.000
RFLNODE	6705	6705	1	1	5867.000	5867.000
RFLNODE	6706	6706	1	1	5872.000	5872.000
RFLNODE	7700	7700	1	1	5875.000	5875.000

%

%%% AXISNODE

%

%

% Akse 1

%

AXISNODE	110	111	1	11	1	2	0	-1.914
AXISNODE	120	121	1	12	1	2	0	-1.914

%

% Hjelpesøyle pr 5228.250

%

AXISNODE	810	810	1	81	1	1	0	-14.00
AXISNODE	811	811	1	82	1	1	0	-14.00

%

% Akse 2

%%%%%%%% Veggskiver

AXISNODE	210	215	1	21	1	2	0	-14.06
AXISNODE	220	225	1	24	1	2	0	-14.06

%

%%%%%%%% Fundament

AXISNODE	230	231	1	20	1	2	0	-69.933
----------	-----	-----	---	----	---	---	---	---------

```

%
% Akse 3
%%%%%%%%%% Veggskiver
AXISNODE    310    315    1    31    1    2    0   -14.06
AXISNODE    320    325    1    34    1    2    0   -14.06
%%%%%%%%%% Fundament
AXISNODE    330    331    1    30    1    2    0  -61.922
%
% Akse 4
%
  AXISNODE    410    415    1    40    1    2    1.4  -3.4
  AXISNODE    420    420    1    40    1    1    0   -23.67
%
% Akse 5
%
AXISNODE    510    515    1    50    1    2    1.4  -3.4
AXISNODE    520    520    1    50    1    1    0  -11.309
%
% Akse 6
%
AXISNODE    610    615    1    60    1    2    1.4  -3.4
AXISNODE    620    620    1    60    1    2    0  -20.956
%
% Akse 7
%
AXISNODE    710    711    1    71    1    2    0   -1.565
AXISNODE    720    721    1    72    1    2    0   -1.565
%

```

```

% ELEMINS FromElToElem dE LeftNodRightNdN
%

```

```

%%% FRA AKSE 2 -4 METER -91.0 METER
%

```

```

ELEMINS      2297    2297    1    2200    2201    1
ELEMINS      2100    2100    1    2201    2100    1
ELEMINS      2101    2101    1    2100    2101    1
ELEMINS      2102    2102    1    2101    2102    1
ELEMINS      2103    2103    1    2102    2103    1
ELEMINS      2104    2104    1    2103    2104    1
ELEMINS      2105    2105    1    2104    2105    1
ELEMINS      2106    2106    1    2105    2106    1
ELEMINS      2107    2107    1    2106    2107    1
ELEMINS      2108    2108    1    2107    2108    1
ELEMINS      2109    2109    1    2108    2109    1
ELEMINS      2110    2110    1    2109    2110    1
ELEMINS      2111    2111    1    2110    2111    1
ELEMINS      2112    2112    1    2111    2112    1
ELEMINS      2113    2113    1    2112    2113    1
ELEMINS      2114    2114    1    2113    2114    1
ELEMINS      2115    2115    1    2114    2115    1
ELEMINS      2116    2116    1    2115    2116    1
ELEMINS      2117    2117    1    2116    2117    1
ELEMINS      2118    2118    1    2117    2118    1
ELEMINS      2119    2119    1    2118    2119    1
ELEMINS      2120    2120    1    2119    2120    1

```

```

%
%%% FRA AKSE 2 + 4 METER + 142,25 METER %%
%

```

```

ELEMINS      2298    2298    1    2200    2202    1
ELEMINS      2299    2299    1    2202    2300    1
ELEMINS      2300    2300    1    2300    2301    1
ELEMINS      2301    2301    1    2301    2302    1
ELEMINS      2302    2302    1    2302    2303    1
ELEMINS      2303    2303    1    2303    2304    1
ELEMINS      2304    2304    1    2304    2305    1
ELEMINS      2305    2305    1    2305    2306    1
ELEMINS      2306    2306    1    2306    2307    1
ELEMINS      2307    2307    1    2307    2308    1
ELEMINS      2308    2308    1    2308    2309    1
ELEMINS      2309    2309    1    2309    2310    1
ELEMINS      2310    2310    1    2310    2311    1

```

ELEMINS	2311	2311	1	2311	2312	1
ELEMINS	2312	2312	1	2312	2313	1
ELEMINS	2313	2313	1	2313	2314	1
ELEMINS	2314	2314	1	2314	2315	1
ELEMINS	2315	2315	1	2315	2316	1
ELEMINS	2316	2316	1	2316	2317	1
ELEMINS	2317	2317	1	2317	2318	1
ELEMINS	2318	2318	1	2318	2319	1
ELEMINS	2319	2319	1	2319	2320	1
ELEMINS	2320	2320	1	2320	2321	1
ELEMINS	2321	2321	1	2321	2322	1
ELEMINS	2322	2322	1	2322	2323	1
ELEMINS	2323	2323	1	2323	2324	1
ELEMINS	2324	2324	1	2324	2325	1
ELEMINS	2325	2325	1	2325	2326	1
ELEMINS	2326	2326	1	2326	2327	1
ELEMINS	2327	2327	1	2327	2328	1
ELEMINS	2328	2328	1	2328	2329	1
ELEMINS	2329	2329	1	2329	2330	1

%
 %%% FRA AKSE 3 -4METER - 75 METER%%
 %

ELEMINS	3198	3198	1	3300	3301	1
ELEMINS	3199	3199	1	3301	3200	1
ELEMINS	3200	3200	1	3200	3201	1
ELEMINS	3201	3201	1	3201	3202	1
ELEMINS	3202	3202	1	3202	3203	1
ELEMINS	3203	3203	1	3203	3204	1
ELEMINS	3204	3204	1	3204	3205	1
ELEMINS	3205	3205	1	3205	3206	1
ELEMINS	3206	3206	1	3206	3207	1
ELEMINS	3207	3207	1	3207	3208	1
ELEMINS	3208	3208	1	3208	3209	1
ELEMINS	3209	3209	1	3209	3210	1
ELEMINS	3210	3210	1	3210	3211	1
ELEMINS	3211	3211	1	3211	3212	1
ELEMINS	3212	3212	1	3212	3213	1
ELEMINS	3213	3213	1	3213	3214	1
ELEMINS	3214	3214	1	3214	3215	1
ELEMINS	3215	3215	1	3215	3216	1
ELEMINS	3216	3216	1	3216	3217	1
ELEMINS	3217	3217	1	3217	3218	1
ELEMINS	3218	3218	1	3218	3219	1
ELEMINS	3219	3219	1	3219	3220	1
ELEMINS	3220	3220	1	3220	3221	1
ELEMINS	3221	3221	1	3221	3222	1
ELEMINS	3222	3222	1	3222	3223	1
ELEMINS	3223	3223	1	3223	3224	1
ELEMINS	3224	3224	1	3224	3225	1
ELEMINS	3225	3225	1	3225	3226	1
ELEMINS	3226	3226	1	3226	3227	1
ELEMINS	3227	3227	1	3227	3228	1
ELEMINS	3228	3228	1	3228	2330	1

%
 %%% FRA AKSE 3 +4METER + 150 METER%%
 %

ELEMINS	3398	3398	1	3300	3302	1
ELEMINS	3399	3399	1	3302	3400	1
ELEMINS	3400	3400	1	3400	3401	1
ELEMINS	3401	3401	1	3401	3402	1
ELEMINS	3402	3402	1	3402	3403	1
ELEMINS	3403	3403	1	3403	3404	1
ELEMINS	3404	3404	1	3404	3405	1
ELEMINS	3405	3405	1	3405	3406	1
ELEMINS	3406	3406	1	3406	3407	1
ELEMINS	3407	3407	1	3407	3408	1
ELEMINS	3408	3408	1	3408	3409	1
ELEMINS	3409	3409	1	3409	3410	1
ELEMINS	3410	3410	1	3410	3411	1
ELEMINS	3411	3411	1	3411	3412	1
ELEMINS	3412	3412	1	3412	3413	1

ELEMINS	3413	3413	1	3413	3414	1
ELEMINS	3414	3414	1	3414	3415	1
ELEMINS	3415	3415	1	3415	3416	1
ELEMINS	3416	3416	1	3416	3417	1
ELEMINS	3417	3417	1	3417	3418	1
ELEMINS	3418	3418	1	3418	3419	1
ELEMINS	3419	3419	1	3419	3420	1
ELEMINS	3420	3420	1	3420	3421	1
ELEMINS	3421	3421	1	3421	3422	1
ELEMINS	3422	3422	1	3422	3423	1
ELEMINS	3423	3423	1	3423	3424	1
ELEMINS	3424	3424	1	3424	3425	1
ELEMINS	3425	3425	1	3425	3426	1
ELEMINS	3426	3426	1	3426	3427	1
ELEMINS	3427	3427	1	3427	3428	1
ELEMINS	3428	3428	1	3428	3429	1
ELEMINS	3429	3429	1	3429	3430	1
ELEMINS	3430	3430	1	3430	3431	1
ELEMINS	3431	3431	1	3431	3432	1
ELEMINS	3432	3432	1	3432	4400	1

%

%%% FRA AKSE 4 + 50METER %%

%

ELEMINS	4499	4499	1	4400	4500	1
ELEMINS	4500	4500	1	4500	4501	1
ELEMINS	4501	4501	1	4501	4502	1
ELEMINS	4502	4502	1	4502	4503	1
ELEMINS	4503	4503	1	4503	4504	1
ELEMINS	4504	4504	1	4504	4505	1
ELEMINS	4505	4505	1	4505	4506	1
ELEMINS	4506	4506	1	4506	4507	1
ELEMINS	4507	4507	1	4507	4508	1
ELEMINS	4508	4508	1	4508	5500	1

%

%%% FRA AKSE 5 + 50.0 METER

%

ELEMINS	5599	5599	1	5500	5600	1
ELEMINS	5600	5600	1	5600	5601	1
ELEMINS	5601	5601	1	5601	5602	1
ELEMINS	5602	5602	1	5602	5603	1
ELEMINS	5603	5603	1	5603	5604	1
ELEMINS	5604	5604	1	5604	5605	1
ELEMINS	5605	5605	1	5605	5606	1
ELEMINS	5606	5606	1	5606	5607	1
ELEMINS	5607	5607	1	5607	5608	1
ELEMINS	5608	5608	1	5608	6600	1

%

%%% FRA AKSE 6 + 37.0 METER

%

ELEMINS	6699	6699	1	6600	6700	1
ELEMINS	6700	6700	1	6700	6701	1
ELEMINS	6701	6701	1	6701	6702	1
ELEMINS	6702	6702	1	6702	6703	1
ELEMINS	6703	6703	1	6703	6704	1
ELEMINS	6704	6704	1	6704	6705	1
ELEMINS	6705	6705	1	6705	6706	1
ELEMINS	6706	6706	1	6706	7700	1

%%% ELEMINS

%

% Akse 1

%

ELEMINS	110	110	1	110	111	1
ELEMINS	120	120	1	120	121	1

%

% Akse 2

%%%%%%%% Veggskiver

ELEMINS	210	214	1	210	211	1
ELEMINS	220	224	1	220	221	1

%%%%%%%% Fundament

ELEMINS	230	230	1	230	231	1		
%								
% Akse 3								
%%%%%%%%%% Veggskiver								
ELEMINS	310	314	1	310	311	1		
ELEMINS	320	324	1	320	321	1		
%%%%%%%%%% Fundament								
ELEMINS	330	330	1	330	331	1		
%								
% Akse 4								
%								
ELEMINS	410	414	1	410	411	1		
ELEMINS	420	420	1	420	410	1		
%								
% Akse 5								
%								
ELEMINS	510	514	1	510	511	1		
ELEMINS	520	520	1	520	510	1		
%								
% Akse 6								
%								
ELEMINS	610	614	1	610	611	1		
ELEMINS	620	620	1	620	610	1		
%								
% Akse 7								
%								
ELEMINS	710	710	1	710	711	1		
ELEMINS	720	720	1	720	721	1		
%								
% Hjelpesøyle pr 5228.250								
%								
ELEMINS	810	810	1	810	2113	1		
ELEMINS	811	811	1	811	2113	1		
%								
%%% ELEMENT SPECIFICATION INPUT %%%								
%	E1	E2	dE	S.No	Incr	Type	A1	A2
%								
% Akse 1								
%								
ELSPINS	110	110	1	10	0	4		
ELSPINS	120	120	1	10	0	4		
%								
% Akse 2								
%%%%%%%%%% Veggskiver								
ELSPINS	210	214	1	2	0	4		
ELSPINS	220	224	1	2	0	4		
%								
%Fundament								
ELSPINS	230	230	1	3	0	4		
%								
%								
% Akse 3								
%%%%%%%%%% Veggskiver								
ELSPINS	310	314	1	2	0	4		
ELSPINS	320	324	1	2	0	4		
%								
%Fundament								
ELSPINS	330	330	1	3	0	4		
%								
% Akse 4								
%								
ELSPINS	410	414	1	4	0	4		
ELSPINS	420	420	1	5	0	4		
%								
% Akse 5								
%								
ELSPINS	510	514	1	4	0	4		
ELSPINS	520	520	1	5	0	4		
%								
% Akse 6								
%								
ELSPINS	610	614	1	4	0	4		

```

ELSPINS      620    620    1    5    0    4
%
% Akse 7
%
ELSPINS      710    710    1    10   0    4
ELSPINS      720    720    1    10   0    4
%
% Hjelpesøyle pr 5228.250
%
ELSPINS      810    810    1    20   0    4
ELSPINS      811    811    1    20   0    4
%
%%% ELEMENT MASS INPUT %%%
%      E1      E2      dE  M-Type  Dir    A1    A2
%
%      Type 1: Mass by density  A1: density ton/m3
%      Type 3: Distributed mass  A1: distributed ton/m
%      Type 4: Point mass A1:point mass A2: distance from node 1
%
%Masse av egenvekt element-tverrsnitt
ELEMMASS    2100   2120    1    1    0    2.6    0
ELEMMASS    2100   2120    1    3    0    0.5    0      %Tilleggsmasse for vouter
ELEMMASS    2297   2308    1    1    0    2.6    0
ELEMMASS    2309   2329    1    1    0    2.15   0      % Lettbetongbetong
ELEMMASS    2297   2329    1    3    0    0.5    0      %Tilleggsmasse for vouter
ELEMMASS    2327   2327    1    3    0    5.68   0      %Tilleggsmasse av armering ved siste støpeskjøt
ELEMMASS    2328   2328    1    4    0    60.00  0      % vekt av forskalingsvogn
ELEMMASS    3198   3208    1    1    0    2.6    0
ELEMMASS    3209   3228    1    1    0    2.15   0      % Lettbetongbetong
ELEMMASS    3198   3228    1    3    0    0.5    0      %Tilleggsmasse for vouter
ELEMMASS    3227   3227    1    3    0    5.68   0      %Tilleggsmasse for armering siste støpeskjøt
ELEMMASS    3228   3228    1    4    0    60.00  0      %Vekt av forskalingsvogn
ELEMMASS    3398   3408    1    1    0    2.6    0
ELEMMASS    3409   3432    1    1    0    2.15   0      % Lettbetongbetong
ELEMMASS    3398   3432    1    3    0    0.5    0      %Tilleggsmasse for vouter
ELEMMASS    3430   3430    1    3    0    2.96   0      %Tilleggsmasse for armering siste støpeskjøt
ELEMMASS    3431   3431    1    4    0    60.00  0      %Vekt av forskalingsvogn
ELEMMASS    4499   4508    1    1    0    2.6    0
ELEMMASS    5599   5608    1    1    0    2.6    0
ELEMMASS    6699   6706    1    1    0    2.6    0
% Akse 1
ELEMMASS    110    110    1    1    0    0.001  0      %Lagerpinner gis symbolsk vekt for beregning av
egensvingninger
ELEMMASS    120    120    1    1    0    0.001  0      %Lagerpinner gis symbolsk vekt for beregning av
egensvingninger

% vekt av masser i veggskiver akse 2
ELEMMASS    210    214    1    1    0    2.5    0
ELEMMASS    220    224    1    1    0    2.5    0
% vekt av masser i fundament akse 2
ELEMMASS    230    230    1    1    0    2.5    0
% vekt av masser i veggskiver akse 3
ELEMMASS    310    314    1    1    0    2.5    0
ELEMMASS    320    324    1    1    0    2.5    0
% vekt av masser i fundament akse 3
ELEMMASS    330    330    1    1    0    2.5    0
% vekt av masser i akse 4
ELEMMASS    410    414    1    1    0    2.5    0
ELEMMASS    420    420    1    1    0    2.5    0
% vekt av masser i akse 5
ELEMMASS    510    514    1    1    0    2.5    0
ELEMMASS    520    520    1    1    0    2.5    0
% vekt av masser i akse 6
ELEMMASS    610    614    1    1    0    2.5    0
ELEMMASS    620    620    1    1    0    2.5    0
% Akse 7
ELEMMASS    710    710    1    1    0    0.001  0      %Lagerpinner gis symbolsk vekt for beregning av
egensvingninger
ELEMMASS    720    720    1    1    0    0.001  0      %Lagerpinner gis symbolsk vekt for beregning av
egensvingninger
% Hjelpesøyle pr 5228.250
ELEMMASS    810    811    1    1    0    2.5    0
%
%
```

%%% WIND DATA INPUT %%%

%%% OVERBYGGNING %%%

%	L direction			N direction								deri	
	E1	E2	dE	Drag	Lift	LiftdeTorsioTor	deDrag	Lift	LiftdeTorsioTor	deTorsioTor			
WINDFACT	2100	2100	1	25.33	8.33	-25.20	0	0	0	0	0	0	0
WINDFACT	2101	2101	1	25.33	8.33	-25.20	0	0	0	0	0	0	0
WINDFACT	2102	2102	1	23.93	7.94	-25.20	0	0	0	0	0	0	0
WINDFACT	2103	2103	1	21.70	7.29	-25.20	0	0	0	0	0	0	0
WINDFACT	2104	2104	1	19.95	6.77	-25.20	0	0	0	0	0	0	0
WINDFACT	2105	2105	1	17.95	6.16	-25.20	0	0	0	0	0	0	0
WINDFACT	2106	2106	1	15.95	5.53	-25.20	0	0	0	0	0	0	0
WINDFACT	2107	2107	1	14.22	4.97	-25.20	0	0	0	0	0	0	0
WINDFACT	2108	2108	1	12.74	4.47	-25.20	0	0	0	0	0	0	0
WINDFACT	2109	2109	1	11.45	4.04	-25.20	0	0	0	0	0	0	0
WINDFACT	2110	2110	1	10.33	3.65	-25.20	0	0	0	0	0	0	0
WINDFACT	2111	2111	1	9.37	3.31	-25.20	0	0	0	0	0	0	0
WINDFACT	2112	2112	1	8.54	3.02	-25.20	0	0	0	0	0	0	0
WINDFACT	2113	2113	1	7.82	2.76	-25.20	0	0	0	0	0	0	0
WINDFACT	2114	2114	1	7.22	2.55	-25.20	0	0	0	0	0	0	0
WINDFACT	2115	2115	1	6.71	2.36	-25.20	0	0	0	0	0	0	0
WINDFACT	2116	2116	1	6.29	2.21	-25.20	0	0	0	0	0	0	0
WINDFACT	2117	2117	1	5.96	2.09	-25.20	0	0	0	0	0	0	0
WINDFACT	2118	2118	1	5.71	2.00	-25.20	0	0	0	0	0	0	0
WINDFACT	2119	2119	1	5.53	1.94	-25.20	0	0	0	0	0	0	0
WINDFACT	2120	2120	1	5.42	1.90	-25.20	0	0	0	0	0	0	0
WINDFACT	2297	2297	1	25.33	8.33	-25.20	0	0	0	0	0	0	0
WINDFACT	2298	2298	1	25.33	8.34	-25.20	0	0	0	0	0	0	0
WINDFACT	2299	2299	1	25.33	8.34	-25.20	0	0	0	0	0	0	0
WINDFACT	2300	2300	1	25.33	8.34	-25.20	0	0	0	0	0	0	0
WINDFACT	2301	2301	1	24.03	7.97	-25.20	0	0	0	0	0	0	0
WINDFACT	2302	2302	1	22.14	7.42	-25.20	0	0	0	0	0	0	0
WINDFACT	2303	2303	1	20.87	7.05	-25.20	0	0	0	0	0	0	0
WINDFACT	2304	2304	1	19.68	6.69	-25.20	0	0	0	0	0	0	0
WINDFACT	2305	2305	1	18.10	6.21	-25.20	0	0	0	0	0	0	0
WINDFACT	2306	2306	1	16.36	5.66	-25.20	0	0	0	0	0	0	0
WINDFACT	2307	2307	1	15.08	5.25	-25.20	0	0	0	0	0	0	0
WINDFACT	2308	2308	1	13.91	4.87	-25.20	0	0	0	0	0	0	0
WINDFACT	2309	2309	1	12.86	4.52	-25.20	0	0	0	0	0	0	0
WINDFACT	2310	2310	1	11.90	4.19	-25.20	0	0	0	0	0	0	0
WINDFACT	2311	2311	1	11.02	3.89	-25.20	0	0	0	0	0	0	0
WINDFACT	2312	2312	1	10.23	3.62	-25.20	0	0	0	0	0	0	0
WINDFACT	2313	2313	1	9.51	3.36	-25.20	0	0	0	0	0	0	0
WINDFACT	2314	2314	1	8.85	3.13	-25.20	0	0	0	0	0	0	0
WINDFACT	2315	2315	1	8.25	2.92	-25.20	0	0	0	0	0	0	0
WINDFACT	2316	2316	1	7.70	2.72	-25.20	0	0	0	0	0	0	0
WINDFACT	2317	2317	1	7.21	2.55	-25.20	0	0	0	0	0	0	0
WINDFACT	2318	2318	1	6.76	2.38	-25.20	0	0	0	0	0	0	0
WINDFACT	2319	2319	1	6.36	2.24	-25.20	0	0	0	0	0	0	0
WINDFACT	2320	2320	1	6.00	2.11	-25.20	0	0	0	0	0	0	0
WINDFACT	2321	2321	1	5.68	1.99	-25.20	0	0	0	0	0	0	0
WINDFACT	2322	2322	1	5.39	1.89	-25.20	0	0	0	0	0	0	0
WINDFACT	2323	2323	1	5.14	1.80	-25.20	0	0	0	0	0	0	0
WINDFACT	2324	2324	1	4.93	1.72	-25.20	0	0	0	0	0	0	0
WINDFACT	2325	2325	1	4.76	1.66	-25.20	0	0	0	0	0	0	0
WINDFACT	2326	2326	1	4.61	1.61	-25.20	0	0	0	0	0	0	0
WINDFACT	2327	2327	1	4.50	1.57	-25.20	0	0	0	0	0	0	0
WINDFACT	2328	2328	1	9.37	1.54	-25.20	0	0	0	0	0	0	0
tilleggsareal for Cd pga vogn													
%WINDFACT	2329	2329	1	4.37	1.52	-25.20	0	0	0	0	0	0	0
WINDFACT	3198	3198	1	25.34	8.34	-25.20	0	0	0	0	0	0	0
WINDFACT	3199	3199	1	25.33	8.34	-25.20	0	0	0	0	0	0	0
WINDFACT	3200	3200	1	24.03	7.97	-25.20	0	0	0	0	0	0	0
WINDFACT	3201	3201	1	22.14	7.42	-25.20	0	0	0	0	0	0	0
WINDFACT	3202	3202	1	20.87	7.05	-25.20	0	0	0	0	0	0	0
WINDFACT	3203	3203	1	19.36	6.60	-25.20	0	0	0	0	0	0	0
WINDFACT	3204	3204	1	17.78	6.11	-25.20	0	0	0	0	0	0	0
WINDFACT	3205	3205	1	16.36	5.66	-25.20	0	0	0	0	0	0	0
WINDFACT	3206	3206	1	15.08	5.25	-25.20	0	0	0	0	0	0	0
WINDFACT	3207	3207	1	13.91	4.87	-25.20	0	0	0	0	0	0	0
WINDFACT	3208	3208	1	12.86	4.52	-25.20	0	0	0	0	0	0	0
WINDFACT	3209	3209	1	11.90	4.19	-25.20	0	0	0	0	0	0	0

WINDFACT	3210	3210	1	11.02	3.89	-25.20	0	0	0	0	0	0	0
WINDFACT	3211	3211	1	10.23	3.62	-25.20	0	0	0	0	0	0	0
WINDFACT	3212	3212	1	9.51	3.36	-25.20	0	0	0	0	0	0	0
WINDFACT	3213	3213	1	8.85	3.13	-25.20	0	0	0	0	0	0	0
WINDFACT	3214	3214	1	8.25	2.92	-25.20	0	0	0	0	0	0	0
WINDFACT	3215	3215	1	7.70	2.72	-25.20	0	0	0	0	0	0	0
WINDFACT	3216	3216	1	7.21	2.55	-25.20	0	0	0	0	0	0	0
WINDFACT	3217	3217	1	6.76	2.38	-25.20	0	0	0	0	0	0	0
WINDFACT	3218	3218	1	6.36	2.24	-25.20	0	0	0	0	0	0	0
WINDFACT	3219	3219	1	6.00	2.11	-25.20	0	0	0	0	0	0	0
WINDFACT	3220	3220	1	5.68	1.99	-25.20	0	0	0	0	0	0	0
WINDFACT	3221	3221	1	5.39	1.89	-25.20	0	0	0	0	0	0	0
WINDFACT	3222	3222	1	5.14	1.80	-25.20	0	0	0	0	0	0	0
WINDFACT	3223	3223	1	4.93	1.72	-25.20	0	0	0	0	0	0	0
WINDFACT	3224	3224	1	4.76	1.66	-25.20	0	0	0	0	0	0	0
WINDFACT	3225	3225	1	4.61	1.61	-25.20	0	0	0	0	0	0	0
WINDFACT	3226	3226	1	4.50	1.57	-25.20	0	0	0	0	0	0	0
WINDFACT	3227	3227	1	4.42	1.54	-25.20	0	0	0	0	0	0	0
WINDFACT	3228	3228	1	9.37	1.52	-25.20	0	0	0	0	0	0	0
tilleggsareal for Cd pga vogn													% Lagt til
WINDFACT	3398	3398	1	25.33	8.34	-25.20	0	0	0	0	0	0	0
WINDFACT	3399	3399	1	25.33	8.34	-25.20	0	0	0	0	0	0	0
WINDFACT	3400	3400	1	24.03	7.97	-25.20	0	0	0	0	0	0	0
WINDFACT	3401	3401	1	22.14	7.42	-25.20	0	0	0	0	0	0	0
WINDFACT	3402	3402	1	20.87	7.05	-25.20	0	0	0	0	0	0	0
WINDFACT	3403	3403	1	19.36	6.60	-25.20	0	0	0	0	0	0	0
WINDFACT	3404	3404	1	17.78	6.11	-25.20	0	0	0	0	0	0	0
WINDFACT	3405	3405	1	16.36	5.66	-25.20	0	0	0	0	0	0	0
WINDFACT	3406	3406	1	15.08	5.25	-25.20	0	0	0	0	0	0	0
WINDFACT	3407	3407	1	13.91	4.87	-25.20	0	0	0	0	0	0	0
WINDFACT	3408	3408	1	12.86	4.52	-25.20	0	0	0	0	0	0	0
WINDFACT	3409	3409	1	11.90	4.19	-25.20	0	0	0	0	0	0	0
WINDFACT	3410	3410	1	11.02	3.89	-25.20	0	0	0	0	0	0	0
WINDFACT	3411	3411	1	10.23	3.62	-25.20	0	0	0	0	0	0	0
WINDFACT	3412	3412	1	9.51	3.36	-25.20	0	0	0	0	0	0	0
WINDFACT	3413	3413	1	8.85	3.13	-25.20	0	0	0	0	0	0	0
WINDFACT	3414	3414	1	8.25	2.92	-25.20	0	0	0	0	0	0	0
WINDFACT	3415	3415	1	7.70	2.72	-25.20	0	0	0	0	0	0	0
WINDFACT	3416	3416	1	7.21	2.55	-25.20	0	0	0	0	0	0	0
WINDFACT	3417	3417	1	6.76	2.38	-25.20	0	0	0	0	0	0	0
WINDFACT	3418	3418	1	6.36	2.24	-25.20	0	0	0	0	0	0	0
WINDFACT	3419	3419	1	6.00	2.11	-25.20	0	0	0	0	0	0	0
WINDFACT	3420	3420	1	5.68	1.99	-25.20	0	0	0	0	0	0	0
WINDFACT	3421	3421	1	5.39	1.89	-25.20	0	0	0	0	0	0	0
WINDFACT	3422	3422	1	5.14	1.80	-25.20	0	0	0	0	0	0	0
WINDFACT	3423	3423	1	4.93	1.72	-25.20	0	0	0	0	0	0	0
WINDFACT	3424	3424	1	4.76	1.66	-25.20	0	0	0	0	0	0	0
WINDFACT	3425	3425	1	4.61	1.61	-25.20	0	0	0	0	0	0	0
WINDFACT	3426	3426	1	4.50	1.57	-25.20	0	0	0	0	0	0	0
WINDFACT	3427	3427	1	4.42	1.54	-25.20	0	0	0	0	0	0	0
WINDFACT	3428	3428	1	4.37	1.52	-25.20	0	0	0	0	0	0	0
WINDFACT	3429	3429	1	4.35	1.52	-25.20	0	0	0	0	0	0	0
WINDFACT	3430	3430	1	4.35	1.52	-25.20	0	0	0	0	0	0	0
WINDFACT	3431	3431	1	23.40	1.52	-25.20	0	0	0	0	0	0	0
tilleggsareal for Cd pga vogn													% Lagt til
WINDFACT	3432	3432	1	4.35	1.52	-25.20	0	0	0	0	0	0	0
%%% VEGGSKIVER %%%													
WINDFACT	210	214	1	1.800	0.00	0.000	0	0	0	0	0	0	0
WINDFACT	220	224	1	1.800	0.00	0.000	0	0	0	0	0	0	0
WINDFACT	310	314	1	1.800	0.00	0.000	0	0	0	0	0	0	0
WINDFACT	320	324	1	1.800	0.00	0.000	0	0	0	0	0	0	0
%													
L direction													
N direction													
%	E1	E2	dE	Drag	Lift	Liftde	Torsio	Torde	Drag	Lift	Liftde	Torsio	Tor deri
%		No		Type	Refhight	Caero		Name					
WINDSPEC		30		2	75	1		"Von karman"					
%													
%		Wind sp	No	xLu	xLv	xLw							
WINDLEN		30		750	187.5	41.7							
%													
%		Wind sp	No	Iu	Iv	Iw							
WINDTURB		30		0.112	0.084	0.056							
%													

```

%
WINDCOH      Wind sp No      COHZ      COHY
              30              8          0

%%% BOUNDARY CONDITION INPUT %%%
%
%          N1      N2      dN      XTr      YTr      ZTr      XRot      YRot      ZRot
%
% Akse 1
BOUNDINS  111      111      1      2120      0      0      0      0      0
BOUNDINS  121      121      1      2120      0      0      0      0      0
BOUNDINS  110      110      1          1      0      1      0      0      0
BOUNDINS  120      120      1          0      0      1      0      0      0
%
% Akse 2
%
BOUNDINS  215      215      1      2201      0      0      0      0      0
BOUNDINS  225      225      1      2202      0      0      0      0      0
BOUNDINS  210      210      1      231       0      0      0      0      0
BOUNDINS  220      220      1      231       0      0      0      0      0
BOUNDINS  230      230      1          1      1      1      1      1      1
%
% Akse 3
%
BOUNDINS  315      315      1      3301      0      0      0      0      0
BOUNDINS  325      325      1      3302      0      0      0      0      0
BOUNDINS  310      310      1      331       0      0      0      0      0
BOUNDINS  320      320      1      331       0      0      0      0      0
BOUNDINS  330      330      1          1      1      1      1      1      1
%
% Akse 4
%
BOUNDINS  415      415      1      4400      0      0      0      0      0
BOUNDINS  420      420      1          1      1      1      0      0      0
%
% Akse 5
%
BOUNDINS  515      515      1      5500      0      0      0      0      0
BOUNDINS  520      520      1          1      1      1      0      0      0
%
% Akse 6
%
BOUNDINS  615      615      1      6600      0      0      0      0      0
BOUNDINS  620      620      1          1      1      1      0      0      0
%
% Akse 7
%
BOUNDINS  711      711      1      7700      0      0      0      0      0
BOUNDINS  721      721      1      7700      0      0      0      0      0
BOUNDINS  710      710      1          1      0      1      0      0      0
BOUNDINS  720      720      1          0      0      1      0      0      0
%
%Hjelpesøyle pr 5229
%
BOUNDINS  810      810      1          1      1      1      1      1      1
BOUNDINS  811      811      1          1      1      1      1      1      1
%
%%% DESIGN SECTION INPUT %%%
%
%          E1      E2      dE      From      To      Step
%
%Brubane
DESGINS      2100      2120      1          0          1      0.5
DESGINS      2297      2329      1          0          1      0.5
DESGINS      3198      3228      1          0          1      0.5
DESGINS      3398      3432      1          0          1      0.5
DESGINS      4499      4508      1          0          1      0.5
DESGINS      5599      5608      1          0          1      0.5
DESGINS      6699      6706      1          0          1      0.5

%Elementer akse 2 og 3%
DESGINS      110      120      10          0          1      0.5
DESGINS      210      214      1          0          1      0.5
DESGINS      220      224      1          0          1      0.5
DESGINS      230      230      1          0          1      0.5
DESGINS      310      314      1          0          1      0.5

```

DESGINS	320	324	1	0	1	0.5
DESGINS	330	330	1	0	1	0.5
DESGINS	510	514	1	0	1	0.5
DESGINS	520	520	1	0	1	0.5
DESGINS	610	614	1	0	1	0.5
DESGINS	620	620	1	0	1	0.5
DESGINS	710	720	10	0	1	0.5
DESGINS	810	811	1	0	1	0.5

```

%
%
%           E1      E2      dE      L-(CA)DL-(CA)L
%
%
%
%
%%% DESIGN SETUP INPUT %%%
%DCSETUP, 1, 1, 1, "Reference line 0"
%DCSETUP, 2, 0, 1, "All frame elements"
%DCSETUP, 10, 0, 2, "All frame elements Sorted u step"
%DCSETUP, 11, 0, 2, "All frame elements Sorted m step"
%
%%% DESIGN SETUP OPTION INPUT %%%
%
%           O1 O2 O3 O4 O5 O6 O7 O8 O9 O10 O11 O12 O13 O14
%DCOPT, 1, CONCR, 1, 1, 0, 1, 1, 0, 0,0,1,0,0,1, 1, 1
%DCOPT, 2, CONCR, 1, 1, 0, 1, 1, 0, 0,0,1,0,0,1, 1, 1
%% Uten armering step
%DCOPT, 10, CONCR, 1, 1, 0, 1, 1, 1, 0,1,1,0,0,1, 1, 1
%% Med armering step
%DCOPT, 11, CONCR, 1, 1, 0, 1, 0, 1, 0,1,1,0,0,1, 1, 1
%
%%% DESIGN SETUP SECTION INPUT %%%
%DCSECT, 1, 0, 0, -1.000, -1
%DCSECT, 2, -1, -1, -1.000, -1
%DCSECT, 10, 2299, 2316, -1.000, -1
%DCSECT, 10, 3199, 3215, -1.000, -1
%DCSECT, 10, 3399, 3415, -1.000, -1
%DCSECT, 10, 4299, 4318, -1.000, -1
%DCSECT, 11, 3200, 3200, -1.000, -1
%
%%% DESIGN SETUP COMBINATION INPUT %%%
%DCCOMB, 1, ULS, -1, -1
%DCCOMB, 1, PLS, -1, -1
%DCCOMB, 1, SLS, -1, -1
%DCCOMB, 2, ULS, -1, -1
%DCCOMB, 2, PLS, -1, -1
%DCCOMB, 2, SLS, -1, -1
%DCCOMB, 10, ULS, -1, -1
%DCCOMB, 10, PLS, -1, -1
%DCCOMB, 10, SLS, -1, -1
%DCCOMB, 11, ULS, -1, -1
%DCCOMB, 11, PLS, -1, -1
%DCCOMB, 11, SLS, -1, -1
%
%%% DESIGN CONVERGENCE SETTINGS INPUT %%%
%DCCONV, 50, 0.1000,0.100050.000, 1
%
%%% END OF INPUT

```

8.2.2 Laster

% LOADINS	No	FromElem	ToElem	dE	Di	A1	A2	A3	A4	Name	
% Eg-elm er forkortelse for Egenlast											
% FRA AKSE 2 -4m -91m %											
LOADINS	2297	2297	2297	1	1	3	-26.0	0.0	0.0	0.0 "	Eg-elm- 2297"
LOADINS	2100	2100	2100	1	1	3	-26.0	0.0	0.0	0.0 "	Eg-elm- 2100"
LOADINS	2101	2101	2101	1	1	3	-26.0	0.0	0.0	0.0 "	Eg-elm- 2101"
LOADINS	2102	2102	2102	1	1	3	-26.0	0.0	0.0	0.0 "	Eg-elm- 2102"
LOADINS	2103	2103	2103	1	1	3	-26.0	0.0	0.0	0.0 "	Eg-elm- 2103"

LOADINS	2104	2104	2104	1	1	3	-26.0	0.0	0.0	0.0	"	Eg-elm-	2104"
LOADINS	2105	2105	2105	1	1	3	-26.0	0.0	0.0	0.0	"	Eg-elm-	2105"
LOADINS	2106	2106	2106	1	1	3	-26.0	0.0	0.0	0.0	"	Eg-elm-	2106"
LOADINS	2107	2107	2107	1	1	3	-26.0	0.0	0.0	0.0	"	Eg-elm-	2107"
LOADINS	2108	2108	2108	1	1	3	-26.0	0.0	0.0	0.0	"	Eg-elm-	2108"
LOADINS	2109	2109	2109	1	1	3	-26.0	0.0	0.0	0.0	"	Eg-elm-	2109"
LOADINS	2110	2110	2110	1	1	3	-26.0	0.0	0.0	0.0	"	Eg-elm-	2110"
LOADINS	2111	2111	2111	1	1	3	-26.0	0.0	0.0	0.0	"	Eg-elm-	2111"
LOADINS	2112	2112	2112	1	1	3	-26.0	0.0	0.0	0.0	"	Eg-elm-	2112"
LOADINS	2113	2113	2113	1	1	3	-26.0	0.0	0.0	0.0	"	Eg-elm-	2113"
LOADINS	2114	2114	2114	1	1	3	-26.0	0.0	0.0	0.0	"	Eg-elm-	2114"
LOADINS	2115	2115	2115	1	1	3	-26.0	0.0	0.0	0.0	"	Eg-elm-	2115"
LOADINS	2116	2116	2116	1	1	3	-26.0	0.0	0.0	0.0	"	Eg-elm-	2116"
LOADINS	2117	2117	2117	1	1	3	-26.0	0.0	0.0	0.0	"	Eg-elm-	2117"
LOADINS	2118	2118	2118	1	1	3	-26.0	0.0	0.0	0.0	"	Eg-elm-	2118"
LOADINS	2119	2119	2119	1	1	3	-26.0	0.0	0.0	0.0	"	Eg-elm-	2119"
LOADINS	2120	2120	2120	1	1	3	-26.0	0.0	0.0	0.0	"	Eg-elm-	2120"
%													
%	kraftpar pga et kort og lang steg siden UK bunnplate er horisontal												
%													
LOADINS	2297	2297	2297	1	3	3	-1.092	3.300	0.0	0.0	"	Eg-elm-	2297"% Kraftpar
LOADINS	2100	2100	2100	1	3	3	-1.092	3.300	0.0	0.0	"	Eg-elm-	2100"% Kraftpar
LOADINS	2101	2101	2101	1	3	3	-1.092	3.300	0.0	0.0	"	Eg-elm-	2101"% Kraftpar
LOADINS	2102	2102	2102	1	3	3	-1.092	3.300	0.0	0.0	"	Eg-elm-	2102"% Kraftpar
LOADINS	2103	2103	2103	1	3	3	-1.092	3.300	0.0	0.0	"	Eg-elm-	2103"% Kraftpar
LOADINS	2104	2104	2104	1	3	3	-1.092	3.300	0.0	0.0	"	Eg-elm-	2104"% Kraftpar
LOADINS	2105	2105	2105	1	3	3	-1.092	3.300	0.0	0.0	"	Eg-elm-	2105"% Kraftpar
LOADINS	2106	2106	2106	1	3	3	-1.092	3.300	0.0	0.0	"	Eg-elm-	2106"% Kraftpar
LOADINS	2107	2107	2107	1	3	3	-1.092	3.300	0.0	0.0	"	Eg-elm-	2107"% Kraftpar
LOADINS	2108	2108	2108	1	3	3	-1.092	3.300	0.0	0.0	"	Eg-elm-	2108"% Kraftpar
LOADINS	2109	2109	2109	1	3	3	-1.092	3.300	0.0	0.0	"	Eg-elm-	2109"% Kraftpar
LOADINS	2110	2110	2110	1	3	3	-1.092	3.300	0.0	0.0	"	Eg-elm-	2110"% Kraftpar
LOADINS	2111	2111	2111	1	3	3	-0.819	3.350	0.0	0.0	"	Eg-elm-	2111"% Kraftpar
LOADINS	2112	2112	2112	1	3	3	-0.819	3.350	0.0	0.0	"	Eg-elm-	2112"% Kraftpar
LOADINS	2113	2113	2113	1	3	3	-0.819	3.350	0.0	0.0	"	Eg-elm-	2113"% Kraftpar
LOADINS	2114	2114	2114	1	3	3	-0.819	3.350	0.0	0.0	"	Eg-elm-	2114"% Kraftpar
LOADINS	2115	2115	2115	1	3	3	-0.819	3.350	0.0	0.0	"	Eg-elm-	2115"% Kraftpar
LOADINS	2116	2116	2116	1	3	3	-0.819	3.350	0.0	0.0	"	Eg-elm-	2116"% Kraftpar
LOADINS	2117	2117	2117	1	3	3	-0.819	3.350	0.0	0.0	"	Eg-elm-	2117"% Kraftpar
LOADINS	2118	2118	2118	1	3	3	-0.819	3.350	0.0	0.0	"	Eg-elm-	2118"% Kraftpar
LOADINS	2119	2119	2119	1	3	3	-0.819	3.350	0.0	0.0	"	Eg-elm-	2119"% Kraftpar
LOADINS	2120	2120	2120	1	3	3	-0.819	3.350	0.0	0.0	"	Eg-elm-	2120"% Kraftpar
%													
LOADINS	2297	2297	2297	1	3	3	1.092	-3.300	0.0	0.0	"	Eg-elm-	2297"% Kraftpar
LOADINS	2100	2100	2100	1	3	3	1.092	-3.300	0.0	0.0	"	Eg-elm-	2100"% Kraftpar
LOADINS	2101	2101	2101	1	3	3	1.092	-3.300	0.0	0.0	"	Eg-elm-	2101"% Kraftpar
LOADINS	2102	2102	2102	1	3	3	1.092	-3.300	0.0	0.0	"	Eg-elm-	2102"% Kraftpar
LOADINS	2103	2103	2103	1	3	3	1.092	-3.300	0.0	0.0	"	Eg-elm-	2103"% Kraftpar
LOADINS	2104	2104	2104	1	3	3	1.092	-3.300	0.0	0.0	"	Eg-elm-	2104"% Kraftpar
LOADINS	2105	2105	2105	1	3	3	1.092	-3.300	0.0	0.0	"	Eg-elm-	2105"% Kraftpar
LOADINS	2106	2106	2106	1	3	3	1.092	-3.300	0.0	0.0	"	Eg-elm-	2106"% Kraftpar
LOADINS	2107	2107	2107	1	3	3	1.092	-3.300	0.0	0.0	"	Eg-elm-	2107"% Kraftpar
LOADINS	2108	2108	2108	1	3	3	1.092	-3.300	0.0	0.0	"	Eg-elm-	2108"% Kraftpar
LOADINS	2109	2109	2109	1	3	3	1.092	-3.300	0.0	0.0	"	Eg-elm-	2109"% Kraftpar
LOADINS	2110	2110	2110	1	3	3	1.092	-3.300	0.0	0.0	"	Eg-elm-	2110"% Kraftpar
LOADINS	2111	2111	2111	1	3	3	0.819	-3.350	0.0	0.0	"	Eg-elm-	2111"% Kraftpar
LOADINS	2112	2112	2112	1	3	3	0.819	-3.350	0.0	0.0	"	Eg-elm-	2112"% Kraftpar
LOADINS	2113	2113	2113	1	3	3	0.819	-3.350	0.0	0.0	"	Eg-elm-	2113"% Kraftpar
LOADINS	2114	2114	2114	1	3	3	0.819	-3.350	0.0	0.0	"	Eg-elm-	2114"% Kraftpar
LOADINS	2115	2115	2115	1	3	3	0.819	-3.350	0.0	0.0	"	Eg-elm-	2115"% Kraftpar
LOADINS	2116	2116	2116	1	3	3	0.819	-3.350	0.0	0.0	"	Eg-elm-	2116"% Kraftpar
LOADINS	2117	2117	2117	1	3	3	0.819	-3.350	0.0	0.0	"	Eg-elm-	2117"% Kraftpar
LOADINS	2118	2118	2118	1	3	3	0.819	-3.350	0.0	0.0	"	Eg-elm-	2118"% Kraftpar
LOADINS	2119	2119	2119	1	3	3	0.819	-3.350	0.0	0.0	"	Eg-elm-	2119"% Kraftpar
LOADINS	2120	2120	2120	1	3	3	0.819	-3.350	0.0	0.0	"	Eg-elm-	2120"% Kraftpar
%													
%													
%%	FRA AKSE 2 + 142.25 METER%%												
%													
LOADINS	2298	2298	2298	1	1	3	-26.0	0.0	0.0	0.0	"	Eg-elm-	2298"
LOADINS	2299	2299	2299	1	1	3	-26.0	0.0	0.0	0.0	"	Eg-elm-	2299"
LOADINS	2300	2300	2300	1	1	3	-26.0	0.0	0.0	0.0	"	Eg-elm-	2300"
LOADINS	2301	2301	2301	1	1	3	-26.0	0.0	0.0	0.0	"	Eg-elm-	2301"
LOADINS	2302	2302	2302	1	1	3	-26.0	0.0	0.0	0.0	"	Eg-elm-	2302"

LOADINS	2309	2309	2309	1	3	3	1.092-3.300	0.0	0.0	"	Eg-elm-	2309"%	Kraftpar
LOADINS	2310	2310	2310	1	3	3	1.092-3.300	0.0	0.0	"	Eg-elm-	2310"%	Kraftpar
LOADINS	2311	2311	2311	1	3	3	1.092-3.300	0.0	0.0	"	Eg-elm-	2311"%	Kraftpar
LOADINS	2312	2312	2312	1	3	3	1.092-3.300	0.0	0.0	"	Eg-elm-	2312"%	Kraftpar
LOADINS	2313	2313	2313	1	3	3	1.092-3.300	0.0	0.0	"	Eg-elm-	2313"%	Kraftpar
LOADINS	2314	2314	2314	1	3	3	1.092-3.300	0.0	0.0	"	Eg-elm-	2314"%	Kraftpar
LOADINS	2315	2315	2315	1	3	3	0.819-3.350	0.0	0.0	"	Eg-elm-	2315"%	Kraftpar
LOADINS	2316	2316	2316	1	3	3	0.819-3.350	0.0	0.0	"	Eg-elm-	2316"%	Kraftpar
LOADINS	2317	2317	2317	1	3	3	0.819-3.350	0.0	0.0	"	Eg-elm-	2317"%	Kraftpar
LOADINS	2318	2318	2318	1	3	3	0.819-3.350	0.0	0.0	"	Eg-elm-	2318"%	Kraftpar
LOADINS	2319	2319	2319	1	3	3	0.819-3.350	0.0	0.0	"	Eg-elm-	2319"%	Kraftpar
LOADINS	2320	2320	2320	1	3	3	0.819-3.350	0.0	0.0	"	Eg-elm-	2320"%	Kraftpar
LOADINS	2321	2321	2321	1	3	3	0.819-3.350	0.0	0.0	"	Eg-elm-	2321"%	Kraftpar
LOADINS	2322	2322	2322	1	3	3	0.819-3.350	0.0	0.0	"	Eg-elm-	2322"%	Kraftpar
LOADINS	2323	2323	2323	1	3	3	0.819-3.350	0.0	0.0	"	Eg-elm-	2323"%	Kraftpar
LOADINS	2324	2324	2324	1	3	3	0.819-3.350	0.0	0.0	"	Eg-elm-	2324"%	Kraftpar
LOADINS	2325	2325	2325	1	3	3	0.819-3.350	0.0	0.0	"	Eg-elm-	2325"%	Kraftpar
LOADINS	2326	2326	2326	1	3	3	0.819-3.350	0.0	0.0	"	Eg-elm-	2326"%	Kraftpar
LOADINS	2327	2327	2327	1	3	3	0.819-3.350	0.0	0.0	"	Eg-elm-	2327"%	Kraftpar
LOADINS	2328	2328	2328	1	3	3	0.819-3.350	0.0	0.0	"	Eg-elm-	2328"%	Kraftpar
LOADINS	2329	2329	2329	1	3	3	0.819-3.350	0.0	0.0	"	Eg-elm-	2329"%	Kraftpar

%

%

%%% FRA AKSE 3 -4m -139.75m %%

%

LOADINS	3198	3198	3198	1	1	3	-26.0	0.0	0.0	0.0	"	Eg-elm-	3198"
LOADINS	3199	3199	3199	1	1	3	-26.0	0.0	0.0	0.0	"	Eg-elm-	3199"
LOADINS	3200	3200	3200	1	1	3	-26.0	0.0	0.0	0.0	"	Eg-elm-	3200"
LOADINS	3201	3201	3201	1	1	3	-26.0	0.0	0.0	0.0	"	Eg-elm-	3201"
LOADINS	3202	3202	3202	1	1	3	-26.0	0.0	0.0	0.0	"	Eg-elm-	3202"
LOADINS	3203	3203	3203	1	1	3	-26.0	0.0	0.0	0.0	"	Eg-elm-	3203"
LOADINS	3204	3204	3204	1	1	3	-26.0	0.0	0.0	0.0	"	Eg-elm-	3204"
LOADINS	3205	3205	3205	1	1	3	-26.0	0.0	0.0	0.0	"	Eg-elm-	3205"
LOADINS	3206	3206	3206	1	1	3	-26.0	0.0	0.0	0.0	"	Eg-elm-	3206"
LOADINS	3207	3207	3207	1	1	3	-26.0	0.0	0.0	0.0	"	Eg-elm-	3207"
LOADINS	3208	3208	3208	1	1	3	-26.0	0.0	0.0	0.0	"	Eg-elm-	3208"
LOADINS	3209	3209	3209	1	1	3	-21.5	0.0	0.0	0.0	"	Eg-elm-	3209"
LOADINS	3210	3210	3210	1	1	3	-21.5	0.0	0.0	0.0	"	Eg-elm-	3210"
LOADINS	3211	3211	3211	1	1	3	-21.5	0.0	0.0	0.0	"	Eg-elm-	3211"
LOADINS	3212	3212	3212	1	1	3	-21.5	0.0	0.0	0.0	"	Eg-elm-	3212"
LOADINS	3213	3213	3213	1	1	3	-21.5	0.0	0.0	0.0	"	Eg-elm-	3213"
LOADINS	3214	3214	3214	1	1	3	-21.5	0.0	0.0	0.0	"	Eg-elm-	3214"
LOADINS	3215	3215	3215	1	1	3	-21.5	0.0	0.0	0.0	"	Eg-elm-	3215"
LOADINS	3216	3216	3216	1	1	3	-21.5	0.0	0.0	0.0	"	Eg-elm-	3216"
LOADINS	3217	3217	3217	1	1	3	-21.5	0.0	0.0	0.0	"	Eg-elm-	3217"
LOADINS	3218	3218	3218	1	1	3	-21.5	0.0	0.0	0.0	"	Eg-elm-	3218"
LOADINS	3219	3219	3219	1	1	3	-21.5	0.0	0.0	0.0	"	Eg-elm-	3219"
LOADINS	3220	3220	3220	1	1	3	-21.5	0.0	0.0	0.0	"	Eg-elm-	3220"
LOADINS	3221	3221	3221	1	1	3	-21.5	0.0	0.0	0.0	"	Eg-elm-	3221"
LOADINS	3222	3222	3222	1	1	3	-21.5	0.0	0.0	0.0	"	Eg-elm-	3222"
LOADINS	3223	3223	3223	1	1	3	-21.5	0.0	0.0	0.0	"	Eg-elm-	3223"
LOADINS	3224	3224	3224	1	1	3	-21.5	0.0	0.0	0.0	"	Eg-elm-	3224"
LOADINS	3225	3225	3225	1	1	3	-21.5	0.0	0.0	0.0	"	Eg-elm-	3225"
LOADINS	3226	3226	3226	1	1	3	-21.5	0.0	0.0	0.0	"	Eg-elm-	3226"
LOADINS	3227	3227	3227	1	1	3	-21.5	0.0	0.0	0.0	"	Eg-elm-	3227"
LOADINS	3228	3228	3228	1	1	3	-21.5	0.0	0.0	0.0	"	Eg-elm-	3228"

%

% kraftpar pga et kort og lang steg siden UK bunnplate er horisontal

%

LOADINS	3198	3198	3198	1	3	3	-1.092 3.300	0.0	0.0	"	Eg-elm-	3198"%	Kraftpar
LOADINS	3199	3199	3199	1	3	3	-1.092 3.300	0.0	0.0	"	Eg-elm-	3199"%	Kraftpar
LOADINS	3200	3200	3200	1	3	3	-1.092 3.300	0.0	0.0	"	Eg-elm-	3200"%	Kraftpar
LOADINS	3201	3201	3201	1	3	3	-1.092 3.300	0.0	0.0	"	Eg-elm-	3201"%	Kraftpar
LOADINS	3202	3202	3202	1	3	3	-1.092 3.300	0.0	0.0	"	Eg-elm-	3202"%	Kraftpar
LOADINS	3203	3203	3203	1	3	3	-1.092 3.300	0.0	0.0	"	Eg-elm-	3203"%	Kraftpar
LOADINS	3204	3204	3204	1	3	3	-1.092 3.300	0.0	0.0	"	Eg-elm-	3204"%	Kraftpar
LOADINS	3205	3205	3205	1	3	3	-1.092 3.300	0.0	0.0	"	Eg-elm-	3205"%	Kraftpar
LOADINS	3206	3206	3206	1	3	3	-1.092 3.300	0.0	0.0	"	Eg-elm-	3206"%	Kraftpar
LOADINS	3207	3207	3207	1	3	3	-1.092 3.300	0.0	0.0	"	Eg-elm-	3207"%	Kraftpar
LOADINS	3208	3208	3208	1	3	3	-1.092 3.300	0.0	0.0	"	Eg-elm-	3208"%	Kraftpar
LOADINS	3209	3209	3209	1	3	3	-1.092 3.300	0.0	0.0	"	Eg-elm-	3209"%	Kraftpar
LOADINS	3210	3210	3210	1	3	3	-1.092 3.300	0.0	0.0	"	Eg-elm-	3210"%	Kraftpar
LOADINS	3211	3211	3211	1	3	3	-1.092 3.300	0.0	0.0	"	Eg-elm-	3211"%	Kraftpar
LOADINS	3212	3212	3212	1	3	3	-1.092 3.300	0.0	0.0	"	Eg-elm-	3212"%	Kraftpar

LOADINS	3420	3420	3420	1	3	3	0.819-3.350	0.0	0.0	"	Eg-elm-	3420"%	Kraftpar
LOADINS	3421	3421	3421	1	3	3	0.819-3.350	0.0	0.0	"	Eg-elm-	3421"%	Kraftpar
LOADINS	3422	3422	3422	1	3	3	0.819-3.350	0.0	0.0	"	Eg-elm-	3422"%	Kraftpar
LOADINS	3423	3423	3423	1	3	3	0.819-3.350	0.0	0.0	"	Eg-elm-	3423"%	Kraftpar
LOADINS	3424	3424	3424	1	3	3	0.819-3.350	0.0	0.0	"	Eg-elm-	3424"%	Kraftpar
LOADINS	3425	3425	3425	1	3	3	0.819-3.350	0.0	0.0	"	Eg-elm-	3425"%	Kraftpar
LOADINS	3426	3426	3426	1	3	3	0.819-3.350	0.0	0.0	"	Eg-elm-	3426"%	Kraftpar
LOADINS	3427	3427	3427	1	3	3	0.819-3.350	0.0	0.0	"	Eg-elm-	3427"%	Kraftpar
LOADINS	3428	3428	3428	1	3	3	0.819-3.350	0.0	0.0	"	Eg-elm-	3428"%	Kraftpar
LOADINS	3429	3429	3429	1	3	3	0.819-3.350	0.0	0.0	"	Eg-elm-	3429"%	Kraftpar
LOADINS	3430	3430	3430	1	3	3	0.819-3.350	0.0	0.0	"	Eg-elm-	3430"%	Kraftpar
LOADINS	3431	3431	3431	1	3	3	0.819-3.350	0.0	0.0	"	Eg-elm-	3431"%	Kraftpar
LOADINS	3432	3432	3432	1	3	3	0.819-3.350	0.0	0.0	"	Eg-elm-	3432"%	Kraftpar

%
 %% FRA AKSE 4 + 50.0 METER
 %

LOADINS	4499	4499	4499	1	1	3	-26.0	0.0	0.0	0.0	"	Eg-elm-	4499"
LOADINS	4500	4500	4500	1	1	3	-26.0	0.0	0.0	0.0	"	Eg-elm-	4500"
LOADINS	4501	4501	4501	1	1	3	-26.0	0.0	0.0	0.0	"	Eg-elm-	4501"
LOADINS	4502	4502	4502	1	1	3	-26.0	0.0	0.0	0.0	"	Eg-elm-	4502"
LOADINS	4503	4503	4503	1	1	3	-26.0	0.0	0.0	0.0	"	Eg-elm-	4503"
LOADINS	4504	4504	4504	1	1	3	-26.0	0.0	0.0	0.0	"	Eg-elm-	4504"
LOADINS	4505	4505	4505	1	1	3	-26.0	0.0	0.0	0.0	"	Eg-elm-	4505"
LOADINS	4506	4506	4506	1	1	3	-26.0	0.0	0.0	0.0	"	Eg-elm-	4506"
LOADINS	4507	4507	4507	1	1	3	-26.0	0.0	0.0	0.0	"	Eg-elm-	4507"
LOADINS	4508	4508	4508	1	1	3	-26.0	0.0	0.0	0.0	"	Eg-elm-	4508"

%
 % kraftpar pga et kort og lang steg siden UK bunnplate er horisontal (Bruker samme verdi som mellom akse 1 og 2)
 %

LOADINS	4499	4499	4499	1	3	3	-0.819	3.350	0.0	0.0	"	Eg-elm-	4499"%	Kraftpar
LOADINS	4500	4500	4500	1	3	3	-0.819	3.350	0.0	0.0	"	Eg-elm-	4500"%	Kraftpar
LOADINS	4501	4501	4501	1	3	3	-0.819	3.350	0.0	0.0	"	Eg-elm-	4501"%	Kraftpar
LOADINS	4502	4502	4502	1	3	3	-0.819	3.350	0.0	0.0	"	Eg-elm-	4502"%	Kraftpar
LOADINS	4503	4503	4503	1	3	3	-0.819	3.350	0.0	0.0	"	Eg-elm-	4503"%	Kraftpar
LOADINS	4504	4504	4504	1	3	3	-0.819	3.350	0.0	0.0	"	Eg-elm-	4504"%	Kraftpar
LOADINS	4505	4505	4505	1	3	3	-0.819	3.350	0.0	0.0	"	Eg-elm-	4505"%	Kraftpar
LOADINS	4506	4506	4506	1	3	3	-0.819	3.350	0.0	0.0	"	Eg-elm-	4506"%	Kraftpar
LOADINS	4507	4507	4507	1	3	3	-0.819	3.350	0.0	0.0	"	Eg-elm-	4507"%	Kraftpar
LOADINS	4508	4508	4508	1	3	3	-0.819	3.350	0.0	0.0	"	Eg-elm-	4508"%	Kraftpar

LOADINS	4499	4499	4499	1	3	3	0.819-3.350	0.0	0.0	"	Eg-elm-	4499"%	Kraftpar
LOADINS	4500	4500	4500	1	3	3	0.819-3.350	0.0	0.0	"	Eg-elm-	4500"%	Kraftpar
LOADINS	4501	4501	4501	1	3	3	0.819-3.350	0.0	0.0	"	Eg-elm-	4501"%	Kraftpar
LOADINS	4502	4502	4502	1	3	3	0.819-3.350	0.0	0.0	"	Eg-elm-	4502"%	Kraftpar
LOADINS	4503	4503	4503	1	3	3	0.819-3.350	0.0	0.0	"	Eg-elm-	4503"%	Kraftpar
LOADINS	4504	4504	4504	1	3	3	0.819-3.350	0.0	0.0	"	Eg-elm-	4504"%	Kraftpar
LOADINS	4505	4505	4505	1	3	3	0.819-3.350	0.0	0.0	"	Eg-elm-	4505"%	Kraftpar
LOADINS	4506	4506	4506	1	3	3	0.819-3.350	0.0	0.0	"	Eg-elm-	4506"%	Kraftpar
LOADINS	4507	4507	4507	1	3	3	0.819-3.350	0.0	0.0	"	Eg-elm-	4507"%	Kraftpar
LOADINS	4508	4508	4508	1	3	3	0.819-3.350	0.0	0.0	"	Eg-elm-	4508"%	Kraftpar

%
 %% FRA AKSE 5 + 50.0 METER
 %

LOADINS	5599	5599	5599	1	1	3	-26.0	0.0	0.0	0.0	"	Eg-elm-	5599"
LOADINS	5600	5600	5600	1	1	3	-26.0	0.0	0.0	0.0	"	Eg-elm-	5600"
LOADINS	5601	5601	5601	1	1	3	-26.0	0.0	0.0	0.0	"	Eg-elm-	5601"
LOADINS	5602	5602	5602	1	1	3	-26.0	0.0	0.0	0.0	"	Eg-elm-	5602"
LOADINS	5603	5603	5603	1	1	3	-26.0	0.0	0.0	0.0	"	Eg-elm-	5603"
LOADINS	5604	5604	5604	1	1	3	-26.0	0.0	0.0	0.0	"	Eg-elm-	5604"
LOADINS	5605	5605	5605	1	1	3	-26.0	0.0	0.0	0.0	"	Eg-elm-	5605"
LOADINS	5606	5606	5606	1	1	3	-26.0	0.0	0.0	0.0	"	Eg-elm-	5606"
LOADINS	5607	5607	5607	1	1	3	-26.0	0.0	0.0	0.0	"	Eg-elm-	5607"
LOADINS	5608	5608	5608	1	1	3	-26.0	0.0	0.0	0.0	"	Eg-elm-	5608"

%
 % kraftpar pga et kort og lang steg siden UK bunnplate er horisontal (Bruker samme verdi som mellom akse 1 og 2)
 %

LOADINS	5599	5599	5599	1	3	3	0.819-3.350	0.0	0.0	"	Eg-elm-	5599"%	Kraftpar
LOADINS	5600	5600	5600	1	3	3	0.819-3.350	0.0	0.0	"	Eg-elm-	5600"%	Kraftpar
LOADINS	5601	5601	5601	1	3	3	0.819-3.350	0.0	0.0	"	Eg-elm-	5601"%	Kraftpar
LOADINS	5602	5602	5602	1	3	3	0.819-3.350	0.0	0.0	"	Eg-elm-	5602"%	Kraftpar
LOADINS	5603	5603	5603	1	3	3	0.819-3.350	0.0	0.0	"	Eg-elm-	5603"%	Kraftpar
LOADINS	5604	5604	5604	1	3	3	0.819-3.350	0.0	0.0	"	Eg-elm-	5604"%	Kraftpar

LOADINS	5605	5605	5605	1	3	3	0.819-3.350	0.0	0.0	"	Eg-elm-	5605"%	Kraftpar
LOADINS	5606	5606	5606	1	3	3	0.819-3.350	0.0	0.0	"	Eg-elm-	5606"%	Kraftpar
LOADINS	5607	5607	5607	1	3	3	0.819-3.350	0.0	0.0	"	Eg-elm-	5607"%	Kraftpar
LOADINS	5608	5608	5608	1	3	3	0.819-3.350	0.0	0.0	"	Eg-elm-	5608"%	Kraftpar
%													
LOADINS	5599	5599	5599	1	3	3	-0.819 3.350	0.0	0.0	"	Eg-elm-	5599"%	Kraftpar
LOADINS	5600	5600	5600	1	3	3	-0.819 3.350	0.0	0.0	"	Eg-elm-	5600"%	Kraftpar
LOADINS	5601	5601	5601	1	3	3	-0.819 3.350	0.0	0.0	"	Eg-elm-	5601"%	Kraftpar
LOADINS	5602	5602	5602	1	3	3	-0.819 3.350	0.0	0.0	"	Eg-elm-	5602"%	Kraftpar
LOADINS	5603	5603	5603	1	3	3	-0.819 3.350	0.0	0.0	"	Eg-elm-	5603"%	Kraftpar
LOADINS	5604	5604	5604	1	3	3	-0.819 3.350	0.0	0.0	"	Eg-elm-	5604"%	Kraftpar
LOADINS	5605	5605	5605	1	3	3	-0.819 3.350	0.0	0.0	"	Eg-elm-	5605"%	Kraftpar
LOADINS	5606	5606	5606	1	3	3	-0.819 3.350	0.0	0.0	"	Eg-elm-	5606"%	Kraftpar
LOADINS	5607	5607	5607	1	3	3	-0.819 3.350	0.0	0.0	"	Eg-elm-	5607"%	Kraftpar
LOADINS	5608	5608	5608	1	3	3	-0.819 3.350	0.0	0.0	"	Eg-elm-	5608"%	Kraftpar

%
 %%% FRA AKSE 6 + 37.0 METER
 %

LOADINS	6699	6699	6699	1	1	3	-26.0	0.0	0.0	0.0	"	Eg-elm-	6699"
LOADINS	6700	6700	6700	1	1	3	-26.0	0.0	0.0	0.0	"	Eg-elm-	6700"
LOADINS	6701	6701	6701	1	1	3	-26.0	0.0	0.0	0.0	"	Eg-elm-	6701"
LOADINS	6702	6702	6702	1	1	3	-26.0	0.0	0.0	0.0	"	Eg-elm-	6702"
LOADINS	6703	6703	6703	1	1	3	-26.0	0.0	0.0	0.0	"	Eg-elm-	6703"
LOADINS	6704	6704	6704	1	1	3	-26.0	0.0	0.0	0.0	"	Eg-elm-	6704"
LOADINS	6705	6705	6705	1	1	3	-26.0	0.0	0.0	0.0	"	Eg-elm-	6705"
LOADINS	6706	6706	6706	1	1	3	-26.0	0.0	0.0	0.0	"	Eg-elm-	6706"

%
 % kraftpar pga et kort og lang steg siden UK bunnplate er horisontal (Bruker samme verdi som mellom akse 1 og 2)
 %

LOADINS	6699	6699	6699	1	3	3	-0.819 3.350	0.0	0.0	"	Eg-elm-	6699"%	Kraftpar
LOADINS	6700	6700	6700	1	3	3	-0.819 3.350	0.0	0.0	"	Eg-elm-	6700"%	Kraftpar
LOADINS	6701	6701	6701	1	3	3	-0.819 3.350	0.0	0.0	"	Eg-elm-	6701"%	Kraftpar
LOADINS	6702	6702	6702	1	3	3	-0.819 3.350	0.0	0.0	"	Eg-elm-	6702"%	Kraftpar
LOADINS	6703	6703	6703	1	3	3	-0.819 3.350	0.0	0.0	"	Eg-elm-	6703"%	Kraftpar
LOADINS	6704	6704	6704	1	3	3	-0.819 3.350	0.0	0.0	"	Eg-elm-	6704"%	Kraftpar
LOADINS	6705	6705	6705	1	3	3	-0.819 3.350	0.0	0.0	"	Eg-elm-	6705"%	Kraftpar
LOADINS	6706	6706	6706	1	3	3	-0.819 3.350	0.0	0.0	"	Eg-elm-	6706"%	Kraftpar

LOADINS	6699	6699	6699	1	3	3	0.819-3.350	0.0	0.0	"	Eg-elm-	6699"%	Kraftpar
LOADINS	6700	6700	6700	1	3	3	0.819-3.350	0.0	0.0	"	Eg-elm-	6700"%	Kraftpar
LOADINS	6701	6701	6701	1	3	3	0.819-3.350	0.0	0.0	"	Eg-elm-	6701"%	Kraftpar
LOADINS	6702	6702	6702	1	3	3	0.819-3.350	0.0	0.0	"	Eg-elm-	6702"%	Kraftpar
LOADINS	6703	6703	6703	1	3	3	0.819-3.350	0.0	0.0	"	Eg-elm-	6703"%	Kraftpar
LOADINS	6704	6704	6704	1	3	3	0.819-3.350	0.0	0.0	"	Eg-elm-	6704"%	Kraftpar
LOADINS	6705	6705	6705	1	3	3	0.819-3.350	0.0	0.0	"	Eg-elm-	6705"%	Kraftpar
LOADINS	6706	6706	6706	1	3	3	0.819-3.350	0.0	0.0	"	Eg-elm-	6706"%	Kraftpar

%
 % UNDERBYGNING

LOADINS	20	210	214	1	1	3	-25.0	0.0	0.0	0.0	"	Veggskiver	"
LOADINS	20	220	224	1	1	3	-25.0	0.0	0.0	0.0	"	Veggskiver	"
LOADINS	21	230	230	1	1	3	-25.0	0.0	0.0	0.0	"	Fundament	"
%													
LOADINS	30	310	314	1	1	3	-25.0	0.0	0.0	0.0	"	Veggskiver	"
LOADINS	30	320	324	1	1	3	-25.0	0.0	0.0	0.0	"	Veggskiver	"
LOADINS	31	330	330	1	1	3	-25.0	0.0	0.0	0.0	"	Fundament	"
%													
LOADINS	40	410	414	1	1	3	-25.0	0.0	0.0	0.0	"	Veggskiver	"
LOADINS	40	420	420	1	1	3	-25.0	0.0	0.0	0.0	"	Fundament	"
%													
LOADINS	50	510	514	1	1	3	-25.0	0.0	0.0	0.0	"	Veggskive	"
LOADINS	50	520	520	1	1	3	-25.0	0.0	0.0	0.0	"	Fundament	"
%													
LOADINS	60	610	614	1	1	3	-25.0	0.0	0.0	0.0	"	Veggskive	"
LOADINS	60	620	620	1	1	3	-25.0	0.0	0.0	0.0	"	Fundament	"
%													
LOADINS	70	710	714	1	1	3	-25.0	0.0	0.0	0.0	"	Veggskive	"
LOADINS	70	720	720	1	1	3	-25.0	0.0	0.0	0.0	"	Fundament	"

%
 %
 %%%%%%%%% Vogn settes på enden av hvert element i hvert byggetrinn som er tatt med i analysen. Antar -600 kN %%%%%%%%%
 %

% LOADINS No	FromElemToElem	dETypeDiA1	A2	A3	A4	Name				
%										
%LOADINS	1 2113	2113 1	4 3	-600	2.50	" Vogn Trinn	1	"		
%LOADINS	1 2312	2312 1	4 3	-600	2.50	" Vogn Trinn	1	"		
%LOADINS	2 2120	2120 1	4 3	-600	1.560	" Vogn Trinn	2	"		
%LOADINS	2 2319	2319 1	4 3	-600	2.50	" Vogn Trinn	2	"		
LOADINS	3 2328	2328 1	4 3	-600	2.50	" Vogn Trinn	3	"		
LOADINS	4 3228	3228 1	4 3	-600	2.50	" Vogn Trinn	4	"		
LOADINS	4 3431	3431 1	4 3	-600	0.50	" Vogn Trinn	4	"		
%										
%										
%	% Betongbil P=350 kN utgår									
%										
%LOADINS	1 2113	2113 1	4 3	0	0.0	" Vogn Trinn	1	"		
%LOADINS	1 2312	2312 1	4 3	0	0.0	" Vogn Trinn	1	"		
%LOADINS	2 2120	2120 1	4 3	0	0.0	" Vogn Trinn	2	"		
%LOADINS	2 2319	2319 1	4 3	0	0.0	" Vogn Trinn	2	"		
%LOADINS	3 2328	2328 1	4 3	0	0.0	" Vogn Trinn	3	"		
%LOADINS	4 3228	3228 1	4 3	0	0.0	" Vogn Trinn	4	"		
%LOADINS	4 3431	3431 1	4 3	0	0.0	" Vogn Trinn	4	"		
%										
%										
%	% VINDLAST PÅ BRUA I BYGGETILSTAND									
%										
%	LOADINS No	FromElemToElem	dE	Type	Dir	A1	A2	A3	A4	Name
%										
%										
%										
LOADINS	902	2120	2120 1	3	4	-6.159	0.000	3.187		" Vindlast drag trinn
3	A1-A2	"								
LOADINS	902	2119	2119 1	3	4	-6.190	0.000	3.253		" Vindlast drag trinn
3	A1-A2	"								
LOADINS	902	2118	2118 1	3	4	-6.285	0.000	3.298		" Vindlast drag trinn
3	A1-A2	"								
LOADINS	902	2117	2117 1	3	4	-6.467	0.000	3.309		" Vindlast drag trinn
3	A1-A2	"								
LOADINS	902	2116	2116 1	3	4	-6.731	0.000	3.291		" Vindlast drag trinn
3	A1-A2	"								
LOADINS	902	2115	2115 1	3	4	-7.083	0.000	3.246		" Vindlast drag trinn
3	A1-A2	"								
LOADINS	902	2114	2114 1	3	4	-7.526	0.000	3.176		" Vindlast drag trinn
3	A1-A2	"								
LOADINS	901	2113	2113 1	3	4	-8.065	0.000	3.081		" Vindlast drag trinn
3	A1-A2	"								
LOADINS	901	2112	2112 1	3	4	-8.706	0.000	2.964		" Vindlast drag trinn
3	A1-A2	"								
LOADINS	901	2111	2111 1	3	4	-9.461	0.000	2.582		" Vindlast drag trinn
3	A1-A2	"								
LOADINS	901	2110	2110 1	3	4	-10.342	0.000	2.160		" Vindlast drag trinn
3	A1-A2	"								
LOADINS	901	2109	2109 1	3	4	-11.363	0.000	1.938		" Vindlast drag trinn
3	A1-A2	"								
LOADINS	901	2108	2108 1	3	4	-12.543	0.000	1.691		" Vindlast drag trinn
3	A1-A2	"								
LOADINS	901	2107	2107 1	3	4	-13.907	0.000	1.417		" Vindlast drag trinn
3	A1-A2	"								
LOADINS	901	2106	2106 1	3	4	-15.484	0.000	1.166		" Vindlast drag trinn
3	A1-A2	"								
LOADINS	901	2105	2105 1	3	4	-17.310	0.000	0.836		" Vindlast drag trinn
3	A1-A2	"								
LOADINS	901	2104	2104 1	3	4	-19.434	0.000	0.749		" Vindlast drag trinn
3	A1-A2	"								
LOADINS	901	2103	2103 1	3	4	-21.556	0.000	0.843		" Vindlast drag trinn
3	A1-A2	"								
LOADINS	901	2102	2102 1	3	4	-23.412	0.000	0.934		" Vindlast drag trinn
3	A1-A2	"								
LOADINS	901	2101	2101 1	3	4	-25.769	0.000	1.004		" Vindlast drag trinn
3	A1-A2	"								
LOADINS	901	2100	2100 1	3	4	-27.253	0.000	1.022		" Vindlast drag trinn
3	A1-A2	"								
LOADINS	901	2297	2297 1	3	4	-27.253	0.000	1.022		" Vindlast drag trinn
3	A1-A2	"								
LOADINS	901	210	214 1	3	4	1.891	0.000	0.000		" Vindlast drag trinn
3	A2	"								

LOADINS	901	220	224	1	3	4	1.891	0.000	0.000	" Vindlast drag trinn
3	A2	"								
LOADINS	901	810	811	1	3	4	0.672	0.000	0.000	" Vindlast drag trinn
3	Hjelpesøyl	"								
LOADINS	901	2298	2298	1	3	4	27.253	0.000	1.255	" Vindlast drag trinn
3	A1-A2	"								
LOADINS	901	2299	2299	1	3	4	27.253	0.000	1.022	" Vindlast drag trinn
3	A1-A2	"								
LOADINS	901	2300	2300	1	3	4	25.874	0.000	1.005	" Vindlast drag trinn
3	A2-A3	"								
LOADINS	901	2301	2301	1	3	4	23.873	0.000	0.940	" Vindlast drag trinn
3	A2-A3	"								
LOADINS	901	2302	2302	1	3	4	22.527	0.000	0.857	" Vindlast drag trinn
3	A2-A3	"								
LOADINS	901	2303	2303	1	3	4	21.259	0.000	0.701	" Vindlast drag trinn
3	A2-A3	"								
LOADINS	901	2304	2304	1	3	4	19.589	0.000	0.617	" Vindlast drag trinn
3	A2-A3	"								
LOADINS	901	2305	2305	1	3	4	17.744	0.000	0.634	" Vindlast drag trinn
3	A2-A3	"								
LOADINS	901	2306	2306	1	3	4	16.381	0.000	0.858	" Vindlast drag trinn
3	A2-A3	"								
LOADINS	901	2307	2307	1	3	4	15.148	0.000	1.070	" Vindlast drag trinn
3	A2-A3	"								
LOADINS	901	2308	2308	1	3	4	14.029	0.000	1.269	" Vindlast drag trinn
3	A2-A3	"								
LOADINS	901	2309	2309	1	3	4	13.012	0.000	1.455	" Vindlast drag trinn
3	A2-A3	"								
LOADINS	901	2310	2310	1	3	4	12.088	0.000	1.630	" Vindlast drag trinn
3	A2-A3	"								
LOADINS	901	2311	2311	1	3	4	11.247	0.000	1.793	" Vindlast drag trinn
3	A2-A3	"								
LOADINS	901	2312	2312	1	3	4	10.481	0.000	1.945	" Vindlast drag trinn
3	A2-A3	"								
LOADINS	902	2313	2313	1	3	4	9.784	0.000	2.086	" Vindlast drag trinn
3	A2-A3	"								
LOADINS	902	2314	2314	1	3	4	9.150	0.000	2.215	" Vindlast drag trinn
3	A2-A3	"								
LOADINS	902	2315	2315	1	3	4	8.573	0.000	2.529	" Vindlast drag trinn
3	A2-A3	"								
LOADINS	902	2316	2316	1	3	4	8.050	0.000	2.817	" Vindlast drag trinn
3	A2-A3	"								
LOADINS	902	2317	2317	1	3	4	7.577	0.000	2.881	" Vindlast drag trinn
3	A2-A3	"								
LOADINS	902	2318	2318	1	3	4	7.151	0.000	2.930	" Vindlast drag trinn
3	A2-A3	"								
LOADINS	902	2319	2319	1	3	4	6.770	0.000	2.975	" Vindlast drag trinn
3	A2-A3	"								
LOADINS	903	2320	2320	1	3	4	6.429	0.000	3.056	" Vindlast drag trinn
3	A2-A3	"								
LOADINS	903	2321	2321	1	3	4	6.129	0.000	3.162	" Vindlast drag trinn
3	A2-A3	"								
LOADINS	903	2322	2322	1	3	4	5.868	0.000	3.256	" Vindlast drag trinn
3	A2-A3	"								
LOADINS	903	2323	2323	1	3	4	5.644	0.000	3.338	" Vindlast drag trinn
3	A2-A3	"								
LOADINS	903	2324	2324	1	3	4	5.457	0.000	3.406	" Vindlast drag trinn
3	A2-A3	"								
LOADINS	903	2325	2325	1	3	4	5.304	0.000	3.463	" Vindlast drag trinn
3	A2-A3	"								
LOADINS	903	2326	2326	1	3	4	5.186	0.000	3.507	" Vindlast drag trinn
3	A2-A3	"								
LOADINS	903	2327	2327	1	3	4	5.102	0.000	3.539	" Vindlast drag trinn
3	A2-A3	"								
LOADINS	903	2328	2328	1	3	4	5.052	0.000	3.557	" Vindlast drag trinn
3	A2-A3	"								
LOADINS	903	2329	2329	1	3	4	5.033	0.000	3.564	" Vindlast drag trinn
3	A2-A3	"								
%										
LOADINS	904	3228	3228	1	3	4	-2.525	0.000	3.167	" Vindlast drag trinn
4	A3-A2	"								
LOADINS	904	3227	3227	1	3	4	-2.551	0.000	3.539	" Vindlast drag trinn
4	A3-A2	"								

LOADINS	904	3226	3226	1	3	4	-2.593	0.000	3.507	" Vindlast drag trinn
4	A3-A2	"								
LOADINS	904	3225	3225	1	3	4	-2.652	0.000	3.463	" Vindlast drag trinn
4	A3-A2	"								
LOADINS	904	3224	3224	1	3	4	-2.728	0.000	3.407	" Vindlast drag trinn
4	A3-A2	"								
LOADINS	904	3223	3223	1	3	4	-2.822	0.000	3.338	" Vindlast drag trinn
4	A3-A2	"								
LOADINS	904	3222	3222	1	3	4	-2.934	0.000	3.256	" Vindlast drag trinn
4	A3-A2	"								
LOADINS	904	3221	3221	1	3	4	-3.065	0.000	3.162	" Vindlast drag trinn
4	A3-A2	"								
LOADINS	904	3220	3220	1	3	4	-3.215	0.000	3.056	" Vindlast drag trinn
4	A3-A2	"								
LOADINS	904	3219	3219	1	3	4	-3.385	0.000	2.976	" Vindlast drag trinn
4	A3-A2	"								
LOADINS	904	3218	3218	1	3	4	-3.576	0.000	2.931	" Vindlast drag trinn
4	A3-A2	"								
LOADINS	904	3217	3217	1	3	4	-3.789	0.000	2.881	" Vindlast drag trinn
4	A3-A2	"								
LOADINS	904	3216	3216	1	3	4	-4.025	0.000	2.817	" Vindlast drag trinn
4	A3-A2	"								
LOADINS	904	3215	3215	1	3	4	-4.287	0.000	2.529	" Vindlast drag trinn
4	A3-A2	"								
LOADINS	904	3214	3214	1	3	4	-4.575	0.000	2.215	" Vindlast drag trinn
4	A3-A2	"								
LOADINS	904	3213	3213	1	3	4	-4.892	0.000	2.086	" Vindlast drag trinn
4	A3-A2	"								
LOADINS	904	3212	3212	1	3	4	-5.241	0.000	1.945	" Vindlast drag trinn
4	A3-A2	"								
LOADINS	904	3211	3211	1	3	4	-5.624	0.000	1.793	" Vindlast drag trinn
4	A3-A2	"								
LOADINS	904	3210	3210	1	3	4	-6.044	0.000	1.630	" Vindlast drag trinn
4	A3-A2	"								
LOADINS	904	3209	3209	1	3	4	-6.506	0.000	1.455	" Vindlast drag trinn
4	A3-A2	"								
LOADINS	904	3208	3208	1	3	4	-7.014	0.000	1.269	" Vindlast drag trinn
4	A3-A2	"								
LOADINS	904	3207	3207	1	3	4	-7.574	0.000	1.070	" Vindlast drag trinn
4	A3-A2	"								
LOADINS	904	3206	3206	1	3	4	-8.191	0.000	0.858	" Vindlast drag trinn
4	A3-A2	"								
LOADINS	904	3205	3205	1	3	4	-8.872	0.000	0.634	" Vindlast drag trinn
4	A3-A2	"								
LOADINS	904	3204	3204	1	3	4	-9.626	0.000	0.682	" Vindlast drag trinn
4	A3-A2	"								
LOADINS	904	3203	3203	1	3	4	-10.462	0.000	0.770	" Vindlast drag trinn
4	A3-A2	"								
LOADINS	904	3202	3202	1	3	4	-11.263	0.000	0.857	" Vindlast drag trinn
4	A3-A2	"								
LOADINS	904	3201	3201	1	3	4	-11.937	0.000	0.940	" Vindlast drag trinn
4	A3-A2	"								
LOADINS	904	3200	3200	1	3	4	-12.937	0.000	1.004	" Vindlast drag trinn
4	A3-A2	"								
LOADINS	904	3199	3199	1	3	4	-13.627	0.000	1.021	" Vindlast drag trinn
4	A3-A2	"								
LOADINS	904	3198	3198	1	3	4	-13.627	0.000	1.021	" Vindlast drag trinn
4	A3-A2	"								
LOADINS	904	3398	3398	1	3	4	27.253	0.000	1.021	" Vindlast drag trinn
4	A3-A2	"								
LOADINS	904	3399	3399	1	3	4	27.253	0.000	1.021	" Vindlast drag trinn
4	A3-A2	"								
LOADINS	904	3400	3400	1	3	4	25.874	0.000	1.004	" Vindlast drag trinn
4	A3-A4	"								
LOADINS	904	3401	3401	1	3	4	23.873	0.000	0.940	" Vindlast drag trinn
4	A3-A4	"								
LOADINS	904	3402	3402	1	3	4	22.527	0.000	0.857	" Vindlast drag trinn
4	A3-A4	"								
LOADINS	904	3403	3403	1	3	4	20.924	0.000	0.770	" Vindlast drag trinn
4	A3-A4	"								
LOADINS	904	3404	3404	1	3	4	19.252	0.000	0.682	" Vindlast drag trinn
4	A3-A4	"								
LOADINS	904	3405	3405	1	3	4	17.744	0.000	0.634	" Vindlast drag trinn
4	A3-A4	"								

LOADINS	904	3406	3406	1	3	4	16.381	0.000	0.858	"	Vindlast drag trinn
4	A3-A4	"									
LOADINS	904	3407	3407	1	3	4	15.148	0.000	1.070	"	Vindlast drag trinn
4	A3-A4	"									
LOADINS	904	3408	3408	1	3	4	14.029	0.000	1.269	"	Vindlast drag trinn
4	A3-A4	"									
LOADINS	904	3409	3409	1	3	4	13.012	0.000	1.455	"	Vindlast drag trinn
4	A3-A4	"									
LOADINS	904	3410	3410	1	3	4	12.088	0.000	1.630	"	Vindlast drag trinn
4	A3-A4	"									
LOADINS	904	3411	3411	1	3	4	11.247	0.000	1.793	"	Vindlast drag trinn
4	A3-A4	"									
LOADINS	904	3412	3412	1	3	4	10.481	0.000	1.945	"	Vindlast drag trinn
4	A3-A4	"									
LOADINS	904	3413	3413	1	3	4	9.784	0.000	2.086	"	Vindlast drag trinn
4	A3-A4	"									
LOADINS	904	3414	3414	1	3	4	9.150	0.000	2.215	"	Vindlast drag trinn
4	A3-A4	"									
LOADINS	904	3415	3415	1	3	4	8.573	0.000	2.332	"	Vindlast drag trinn
4	A3-A4	"									
LOADINS	904	3416	3416	1	3	4	8.050	0.000	2.620	"	Vindlast drag trinn
4	A3-A4	"									
LOADINS	904	3417	3417	1	3	4	7.577	0.000	2.881	"	Vindlast drag trinn
4	A3-A4	"									
LOADINS	904	3418	3418	1	3	4	7.151	0.000	2.931	"	Vindlast drag trinn
4	A3-A4	"									
LOADINS	904	3419	3419	1	3	4	6.770	0.000	2.976	"	Vindlast drag trinn
4	A3-A4	"									
LOADINS	904	3420	3420	1	3	4	6.429	0.000	3.056	"	Vindlast drag trinn
4	A3-A4	"									
LOADINS	904	3421	3421	1	3	4	6.129	0.000	3.162	"	Vindlast drag trinn
4	A3-A4	"									
LOADINS	904	3422	3422	1	3	4	5.868	0.000	3.256	"	Vindlast drag trinn
4	A3-A4	"									
LOADINS	904	3423	3423	1	3	4	5.644	0.000	3.338	"	Vindlast drag trinn
4	A3-A4	"									
LOADINS	904	3424	3424	1	3	4	5.457	0.000	3.407	"	Vindlast drag trinn
4	A3-A4	"									
LOADINS	904	3425	3425	1	3	4	5.304	0.000	3.463	"	Vindlast drag trinn
4	A3-A4	"									
LOADINS	904	3426	3426	1	3	4	5.186	0.000	3.507	"	Vindlast drag trinn
4	A3-A4	"									
LOADINS	904	3427	3427	1	3	4	5.102	0.000	3.538	"	Vindlast drag trinn
4	A3-A4	"									
LOADINS	904	3428	3428	1	3	4	5.052	0.000	3.557	"	Vindlast drag trinn
4	A3-A4	"									
LOADINS	904	3429	3429	1	3	4	5.033	0.000	3.564	"	Vindlast drag trinn
4	A3-A4	"									
LOADINS	904	3430	3430	1	3	4	5.031	0.000	3.565	"	Vindlast drag trinn
4	A3-A4	"									
LOADINS	904	3431	3431	1	3	4	5.031	0.000	3.565	"	Vindlast drag trinn
4	A3-A4	"									
LOADINS	904	3432	3432	1	3	4	5.031	0.000	3.565	"	Vindlast drag trinn
4	A3-A4	"									
%											
LOADINS	912	2120	2120	1	3	6	2.160	-2.250	0.000	"	Vindlast lift trinn
3	A1-A2	"									
LOADINS	912	2119	2119	1	3	6	2.171	-2.250	0.000	"	Vindlast lift trinn
3	A1-A2	"									
LOADINS	912	2118	2118	1	3	6	2.205	-2.250	0.000	"	Vindlast lift trinn
3	A1-A2	"									
LOADINS	912	2117	2117	1	3	6	2.271	-2.250	0.000	"	Vindlast lift trinn
3	A1-A2	"									
LOADINS	912	2116	2116	1	3	6	2.367	-2.250	0.000	"	Vindlast lift trinn
3	A1-A2	"									
LOADINS	912	2115	2115	1	3	6	2.494	-2.250	0.000	"	Vindlast lift trinn
3	A1-A2	"									
LOADINS	912	2114	2114	1	3	6	2.654	-2.250	0.000	"	Vindlast lift trinn
3	A1-A2	"									
LOADINS	911	2113	2113	1	3	6	2.848	-2.250	0.000	"	Vindlast lift trinn
3	A1-A2	"									
LOADINS	911	2112	2112	1	3	6	3.079	-2.250	0.000	"	Vindlast lift trinn
3	A1-A2	"									

LOADINS	911	2111	2111	1	3	6	3.348	-2.250	0.000	"	Vindlast	lift	trinn
3	A1-A2	"											
LOADINS	911	2110	2110	1	3	6	3.659	-2.250	0.000	"	Vindlast	lift	trinn
3	A1-A2	"											
LOADINS	911	2109	2109	1	3	6	4.017	-2.250	0.000	"	Vindlast	lift	trinn
3	A1-A2	"											
LOADINS	911	2108	2108	1	3	6	4.424	-2.250	0.000	"	Vindlast	lift	trinn
3	A1-A2	"											
LOADINS	911	2107	2107	1	3	6	4.887	-2.250	0.000	"	Vindlast	lift	trinn
3	A1-A2	"											
LOADINS	911	2106	2106	1	3	6	5.411	-2.250	0.000	"	Vindlast	lift	trinn
3	A1-A2	"											
LOADINS	911	2105	2105	1	3	6	6.002	-2.250	0.000	"	Vindlast	lift	trinn
3	A1-A2	"											
LOADINS	911	2104	2104	1	3	6	6.671	-2.250	0.000	"	Vindlast	lift	trinn
3	A1-A2	"											
LOADINS	911	2103	2103	1	3	6	7.318	-2.250	0.000	"	Vindlast	lift	trinn
3	A1-A2	"											
LOADINS	911	2102	2102	1	3	6	7.869	-2.250	0.000	"	Vindlast	lift	trinn
3	A1-A2	"											
LOADINS	911	2101	2101	1	3	6	8.549	-2.250	0.000	"	Vindlast	lift	trinn
3	A1-A2	"											
LOADINS	911	2100	2100	1	3	6	8.967	-2.250	0.000	"	Vindlast	lift	trinn
3	A1-A2	"											
LOADINS	911	2297	2297	1	3	6	8.967	-2.250	0.000	"	Vindlast	lift	trinn
3	A1-A2	"											
LOADINS	911	210	214	1	3	4	0.000	0.000	0.000	"	Vindlast	lift	trinn
3	A2	"											
LOADINS	911	220	224	1	3	4	0.000	0.000	0.000	"	Vindlast	lift	trinn
3	A2	"											
LOADINS	911	2298	2298	1	3	6	8.967	2.250	0.000	"	Vindlast	lift	trinn
3	A1-A2	"											
LOADINS	911	2299	2299	1	3	6	8.967	2.250	0.000	"	Vindlast	lift	trinn
3	A1-A2	"											
LOADINS	911	2300	2300	1	3	6	8.579	2.250	0.000	"	Vindlast	lift	trinn
3	A2-A3	"											
LOADINS	911	2301	2301	1	3	6	8.004	2.250	0.000	"	Vindlast	lift	trinn
3	A2-A3	"											
LOADINS	911	2302	2302	1	3	6	7.608	2.250	0.000	"	Vindlast	lift	trinn
3	A2-A3	"											
LOADINS	911	2303	2303	1	3	6	7.229	2.250	0.000	"	Vindlast	lift	trinn
3	A2-A3	"											
LOADINS	911	2304	2304	1	3	6	6.719	2.250	0.000	"	Vindlast	lift	trinn
3	A2-A3	"											
LOADINS	911	2305	2305	1	3	6	6.140	2.250	0.000	"	Vindlast	lift	trinn
3	A2-A3	"											
LOADINS	911	2306	2306	1	3	6	5.703	2.250	0.000	"	Vindlast	lift	trinn
3	A2-A3	"											
LOADINS	911	2307	2307	1	3	6	5.300	2.250	0.000	"	Vindlast	lift	trinn
3	A2-A3	"											
LOADINS	911	2308	2308	1	3	6	4.928	2.250	0.000	"	Vindlast	lift	trinn
3	A2-A3	"											
LOADINS	911	2309	2309	1	3	6	4.584	2.250	0.000	"	Vindlast	lift	trinn
3	A2-A3	"											
LOADINS	911	2310	2310	1	3	6	4.268	2.250	0.000	"	Vindlast	lift	trinn
3	A2-A3	"											
LOADINS	911	2311	2311	1	3	6	3.977	2.250	0.000	"	Vindlast	lift	trinn
3	A2-A3	"											
LOADINS	911	2312	2312	1	3	6	3.709	2.250	0.000	"	Vindlast	lift	trinn
3	A2-A3	"											
LOADINS	912	2313	2313	1	3	6	3.462	2.250	0.000	"	Vindlast	lift	trinn
3	A2-A3	"											
LOADINS	912	2314	2314	1	3	6	3.237	2.250	0.000	"	Vindlast	lift	trinn
3	A2-A3	"											
LOADINS	912	2315	2315	1	3	6	3.031	2.250	0.000	"	Vindlast	lift	trinn
3	A2-A3	"											
LOADINS	912	2316	2316	1	3	6	2.843	2.250	0.000	"	Vindlast	lift	trinn
3	A2-A3	"											
LOADINS	912	2317	2317	1	3	6	2.673	2.250	0.000	"	Vindlast	lift	trinn
3	A2-A3	"											
LOADINS	912	2318	2318	1	3	6	2.519	2.250	0.000	"	Vindlast	lift	trinn
3	A2-A3	"											
LOADINS	912	2319	2319	1	3	6	2.381	2.250	0.000	"	Vindlast	lift	trinn
3	A2-A3	"											

LOADINS	913	2320	2320	1	3	6	2.258	2.250	0.000	"	Vindlast	lift	trinn
3	A2-A3	"											
LOADINS	913	2321	2321	1	3	6	2.149	2.250	0.000	"	Vindlast	lift	trinn
3	A2-A3	"											
LOADINS	913	2322	2322	1	3	6	2.055	2.250	0.000	"	Vindlast	lift	trinn
3	A2-A3	"											
LOADINS	913	2323	2323	1	3	6	1.973	2.250	0.000	"	Vindlast	lift	trinn
3	A2-A3	"											
LOADINS	913	2324	2324	1	3	6	1.905	2.250	0.000	"	Vindlast	lift	trinn
3	A2-A3	"											
LOADINS	913	2325	2325	1	3	6	1.850	2.250	0.000	"	Vindlast	lift	trinn
3	A2-A3	"											
LOADINS	913	2326	2326	1	3	6	1.807	2.250	0.000	"	Vindlast	lift	trinn
3	A2-A3	"											
LOADINS	913	2327	2327	1	3	6	1.777	2.250	0.000	"	Vindlast	lift	trinn
3	A2-A3	"											
LOADINS	913	2328	2328	1	3	6	1.759	2.250	0.000	"	Vindlast	lift	trinn
3	A2-A3	"											
LOADINS	913	2329	2329	1	3	6	1.752	2.250	0.000	"	Vindlast	lift	trinn
3	A2-A3	"											
LOADINS	914	3228	3228	1	3	6	1.758	-2.250	0.000	"	Vindlast	lift	trinn
4	A3-A2	"											
LOADINS	914	3227	3227	1	3	6	1.777	-2.250	0.000	"	Vindlast	lift	trinn
4	A3-A2	"											
LOADINS	914	3226	3226	1	3	6	1.807	-2.250	0.000	"	Vindlast	lift	trinn
4	A3-A2	"											
LOADINS	914	3225	3225	1	3	6	1.850	-2.250	0.000	"	Vindlast	lift	trinn
4	A3-A2	"											
LOADINS	914	3224	3224	1	3	6	1.905	-2.250	0.000	"	Vindlast	lift	trinn
4	A3-A2	"											
LOADINS	914	3223	3223	1	3	6	1.973	-2.250	0.000	"	Vindlast	lift	trinn
4	A3-A2	"											
LOADINS	914	3222	3222	1	3	6	2.055	-2.250	0.000	"	Vindlast	lift	trinn
4	A3-A2	"											
LOADINS	914	3221	3221	1	3	6	2.149	-2.250	0.000	"	Vindlast	lift	trinn
4	A3-A2	"											
LOADINS	914	3220	3220	1	3	6	2.258	-2.250	0.000	"	Vindlast	lift	trinn
4	A3-A2	"											
LOADINS	914	3219	3219	1	3	6	2.381	-2.250	0.000	"	Vindlast	lift	trinn
4	A3-A2	"											
LOADINS	914	3218	3218	1	3	6	2.519	-2.250	0.000	"	Vindlast	lift	trinn
4	A3-A2	"											
LOADINS	914	3217	3217	1	3	6	2.673	-2.250	0.000	"	Vindlast	lift	trinn
4	A3-A2	"											
LOADINS	914	3216	3216	1	3	6	2.843	-2.250	0.000	"	Vindlast	lift	trinn
4	A3-A2	"											
LOADINS	914	3215	3215	1	3	6	3.031	-2.250	0.000	"	Vindlast	lift	trinn
4	A3-A2	"											
LOADINS	914	3214	3214	1	3	6	3.237	-2.250	0.000	"	Vindlast	lift	trinn
4	A3-A2	"											
LOADINS	914	3213	3213	1	3	6	3.462	-2.250	0.000	"	Vindlast	lift	trinn
4	A3-A2	"											
LOADINS	914	3212	3212	1	3	6	3.709	-2.250	0.000	"	Vindlast	lift	trinn
4	A3-A2	"											
LOADINS	914	3211	3211	1	3	6	3.977	-2.250	0.000	"	Vindlast	lift	trinn
4	A3-A2	"											
LOADINS	914	3210	3210	1	3	6	4.268	-2.250	0.000	"	Vindlast	lift	trinn
4	A3-A2	"											
LOADINS	914	3209	3209	1	3	6	4.584	-2.250	0.000	"	Vindlast	lift	trinn
4	A3-A2	"											
LOADINS	914	3208	3208	1	3	6	4.928	-2.250	0.000	"	Vindlast	lift	trinn
4	A3-A2	"											
LOADINS	914	3207	3207	1	3	6	5.300	-2.250	0.000	"	Vindlast	lift	trinn
4	A3-A2	"											
LOADINS	914	3206	3206	1	3	6	5.703	-2.250	0.000	"	Vindlast	lift	trinn
4	A3-A2	"											
LOADINS	914	3205	3205	1	3	6	6.140	-2.250	0.000	"	Vindlast	lift	trinn
4	A3-A2	"											
LOADINS	914	3204	3204	1	3	6	6.614	-2.250	0.000	"	Vindlast	lift	trinn
4	A3-A2	"											
LOADINS	914	3203	3203	1	3	6	7.127	-2.250	0.000	"	Vindlast	lift	trinn
4	A3-A2	"											
LOADINS	914	3202	3202	1	3	6	7.608	-2.250	0.000	"	Vindlast	lift	trinn
4	A3-A2	"											

LOADINS	914	3201	3201	1	3	6	8.004	-2.250	0.000	"	Vindlast	lift	trinn
4	A3-A2	"											
LOADINS	914	3200	3200	1	3	6	8.579	-2.250	0.000	"	Vindlast	lift	trinn
4	A3-A2	"											
LOADINS	914	3199	3199	1	3	6	8.967	-2.250	0.000	"	Vindlast	lift	trinn
4	A3-A2	"											
LOADINS	914	3198	3198	1	3	6	8.967	-2.250	0.000	"	Vindlast	lift	trinn
4	A3-A2	"											
LOADINS	914	3398	3398	1	3	6	8.967	2.250	0.000	"	Vindlast	lift	trinn
4	A3-A4	"											
LOADINS	914	3399	3399	1	3	6	8.967	2.250	0.000	"	Vindlast	lift	trinn
4	A3-A4	"											
LOADINS	914	3400	3400	1	3	6	8.579	2.250	0.000	"	Vindlast	lift	trinn
4	A3-A4	"											
LOADINS	914	3401	3401	1	3	6	8.004	2.250	0.000	"	Vindlast	lift	trinn
4	A3-A4	"											
LOADINS	914	3402	3402	1	3	6	7.608	2.250	0.000	"	Vindlast	lift	trinn
4	A3-A4	"											
LOADINS	914	3403	3403	1	3	6	7.127	2.250	0.000	"	Vindlast	lift	trinn
4	A3-A4	"											
LOADINS	914	3404	3404	1	3	6	6.614	2.250	0.000	"	Vindlast	lift	trinn
4	A3-A4	"											
LOADINS	914	3405	3405	1	3	6	6.140	2.250	0.000	"	Vindlast	lift	trinn
4	A3-A4	"											
LOADINS	914	3406	3406	1	3	6	5.703	2.250	0.000	"	Vindlast	lift	trinn
4	A3-A4	"											
LOADINS	914	3407	3407	1	3	6	5.300	2.250	0.000	"	Vindlast	lift	trinn
4	A3-A4	"											
LOADINS	914	3408	3408	1	3	6	4.928	2.250	0.000	"	Vindlast	lift	trinn
4	A3-A4	"											
LOADINS	914	3409	3409	1	3	6	4.584	2.250	0.000	"	Vindlast	lift	trinn
4	A3-A4	"											
LOADINS	914	3410	3410	1	3	6	4.268	2.250	0.000	"	Vindlast	lift	trinn
4	A3-A4	"											
LOADINS	914	3411	3411	1	3	6	3.977	2.250	0.000	"	Vindlast	lift	trinn
4	A3-A4	"											
LOADINS	914	3412	3412	1	3	6	3.709	2.250	0.000	"	Vindlast	lift	trinn
4	A3-A4	"											
LOADINS	914	3413	3413	1	3	6	3.462	2.250	0.000	"	Vindlast	lift	trinn
4	A3-A4	"											
LOADINS	914	3414	3414	1	3	6	3.237	2.250	0.000	"	Vindlast	lift	trinn
4	A3-A4	"											
LOADINS	914	3415	3415	1	3	6	3.031	2.250	0.000	"	Vindlast	lift	trinn
4	A3-A4	"											
LOADINS	914	3416	3416	1	3	6	2.843	2.250	0.000	"	Vindlast	lift	trinn
4	A3-A4	"											
LOADINS	914	3417	3417	1	3	6	2.673	2.250	0.000	"	Vindlast	lift	trinn
4	A3-A4	"											
LOADINS	914	3418	3418	1	3	6	2.519	2.250	0.000	"	Vindlast	lift	trinn
4	A3-A4	"											
LOADINS	914	3419	3419	1	3	6	2.381	2.250	0.000	"	Vindlast	lift	trinn
4	A3-A4	"											
LOADINS	914	3420	3420	1	3	6	2.258	2.250	0.000	"	Vindlast	lift	trinn
4	A3-A4	"											
LOADINS	914	3421	3421	1	3	6	2.149	2.250	0.000	"	Vindlast	lift	trinn
4	A3-A4	"											
LOADINS	914	3422	3422	1	3	6	2.055	2.250	0.000	"	Vindlast	lift	trinn
4	A3-A4	"											
LOADINS	914	3423	3423	1	3	6	1.973	2.250	0.000	"	Vindlast	lift	trinn
4	A3-A4	"											
LOADINS	914	3424	3424	1	3	6	1.905	2.250	0.000	"	Vindlast	lift	trinn
4	A3-A4	"											
LOADINS	914	3425	3425	1	3	6	1.850	2.250	0.000	"	Vindlast	lift	trinn
4	A3-A4	"											
LOADINS	914	3426	3426	1	3	6	1.807	2.250	0.000	"	Vindlast	lift	trinn
4	A3-A4	"											
LOADINS	914	3427	3427	1	3	6	1.777	2.250	0.000	"	Vindlast	lift	trinn
4	A3-A4	"											
LOADINS	914	3428	3428	1	3	6	1.759	2.250	0.000	"	Vindlast	lift	trinn
4	A3-A4	"											
LOADINS	914	3429	3429	1	3	6	1.752	2.250	0.000	"	Vindlast	lift	trinn
4	A3-A4	"											
LOADINS	914	3430	3430	1	3	6	1.751	2.250	0.000	"	Vindlast	lift	trinn
4	A3-A4	"											

LOADINS	914	3431	3431	1	3	6	1.751	2.250	0.000	"	Vindlast	lift	trinn
4	A3-A4	"											
LOADINS	914	3432	3432	1	3	6	1.751	2.250	0.000	"	Vindlast	lift	trinn
4	A3-A4	"											
LOADINS	922	2120	2120	1	3	5	-1.540	0.000	0.000	"	Vindlast	langs	bru
trinn 3	A1-A2	"											
LOADINS	922	2119	2119	1	3	5	-1.548	0.000	0.000	"	Vindlast	langs	bru
trinn 3	A1-A2	"											
LOADINS	922	2118	2118	1	3	5	-1.571	0.000	0.000	"	Vindlast	langs	bru
trinn 3	A1-A2	"											
LOADINS	922	2117	2117	1	3	5	-1.617	0.000	0.000	"	Vindlast	langs	bru
trinn 3	A1-A2	"											
LOADINS	922	2116	2116	1	3	5	-1.683	0.000	0.000	"	Vindlast	langs	bru
trinn 3	A1-A2	"											
LOADINS	922	2115	2115	1	3	5	-1.771	0.000	0.000	"	Vindlast	langs	bru
trinn 3	A1-A2	"											
LOADINS	922	2114	2114	1	3	5	-1.881	0.000	0.000	"	Vindlast	langs	bru
trinn 3	A1-A2	"											
LOADINS	921	2113	2113	1	3	5	-2.016	0.000	0.000	"	Vindlast	langs	bru
trinn 3	A1-A2	"											
LOADINS	921	2112	2112	1	3	5	-2.177	0.000	0.000	"	Vindlast	langs	bru
trinn 3	A1-A2	"											
LOADINS	921	2111	2111	1	3	5	-2.365	0.000	0.000	"	Vindlast	langs	bru
trinn 3	A1-A2	"											
LOADINS	921	2110	2110	1	3	5	-2.585	0.000	0.000	"	Vindlast	langs	bru
trinn 3	A1-A2	"											
LOADINS	921	2109	2109	1	3	5	-2.841	0.000	0.000	"	Vindlast	langs	bru
trinn 3	A1-A2	"											
LOADINS	921	2108	2108	1	3	5	-3.136	0.000	0.000	"	Vindlast	langs	bru
trinn 3	A1-A2	"											
LOADINS	921	2107	2107	1	3	5	-3.477	0.000	0.000	"	Vindlast	langs	bru
trinn 3	A1-A2	"											
LOADINS	921	2106	2106	1	3	5	-3.871	0.000	0.000	"	Vindlast	langs	bru
trinn 3	A1-A2	"											
LOADINS	921	2105	2105	1	3	5	-4.328	0.000	0.000	"	Vindlast	langs	bru
trinn 3	A1-A2	"											
LOADINS	921	2104	2104	1	3	5	-4.858	0.000	0.000	"	Vindlast	langs	bru
trinn 3	A1-A2	"											
LOADINS	921	2103	2103	1	3	5	-5.389	0.000	0.000	"	Vindlast	langs	bru
trinn 3	A1-A2	"											
LOADINS	921	2102	2102	1	3	5	-5.853	0.000	0.000	"	Vindlast	langs	bru
trinn 3	A1-A2	"											
LOADINS	921	2101	2101	1	3	5	-6.442	0.000	0.000	"	Vindlast	langs	bru
trinn 3	A1-A2	"											
LOADINS	921	2100	2100	1	3	5	-6.813	0.000	0.000	"	Vindlast	langs	bru
trinn 3	A1-A2	"											
LOADINS	921	2297	2297	1	3	5	-6.813	0.000	0.000	"	Vindlast	langs	bru
trinn 3	A1-A2	"											
LOADINS	921	210	214	1	3	4	0.473	0.000	0.000	"	Vindlast	langs	bru
trinn 3	A2	"											
LOADINS	921	220	224	1	3	4	0.473	0.000	0.000	"	Vindlast	langs	bru
trinn 3	A2	"											
LOADINS	921	2298	2298	1	3	5	6.813	0.000	0.000	"	Vindlast	langs	bru
trinn 3	A1-A2	"											
LOADINS	921	2299	2299	1	3	5	6.813	0.000	0.000	"	Vindlast	langs	bru
trinn 3	A1-A2	"											
LOADINS	921	2300	2300	1	3	5	6.468	0.000	0.000	"	Vindlast	langs	bru
trinn 3	A2-A3	"											
LOADINS	921	2301	2301	1	3	5	5.968	0.000	0.000	"	Vindlast	langs	bru
trinn 3	A2-A3	"											
LOADINS	921	2302	2302	1	3	5	5.632	0.000	0.000	"	Vindlast	langs	bru
trinn 3	A2-A3	"											
LOADINS	921	2303	2303	1	3	5	5.315	0.000	0.000	"	Vindlast	langs	bru
trinn 3	A2-A3	"											
LOADINS	921	2304	2304	1	3	5	4.897	0.000	0.000	"	Vindlast	langs	bru
trinn 3	A2-A3	"											
LOADINS	921	2305	2305	1	3	5	4.436	0.000	0.000	"	Vindlast	langs	bru
trinn 3	A2-A3	"											
LOADINS	921	2306	2306	1	3	5	4.095	0.000	0.000	"	Vindlast	langs	bru
trinn 3	A2-A3	"											
LOADINS	921	2307	2307	1	3	5	3.787	0.000	0.000	"	Vindlast	langs	bru
trinn 3	A2-A3	"											
LOADINS	921	2308	2308	1	3	5	3.507	0.000	0.000	"	Vindlast	langs	bru
trinn 3	A2-A3	"											

LOADINS	924	3212	3212	1	3	5	-2.620	0.000	0.000	"	Vindlast	langst	bru
trinn 4A3-A2	"												
LOADINS	924	3211	3211	1	3	5	-2.812	0.000	0.000	"	Vindlast	langst	bru
trinn 4A3-A2	"												
LOADINS	924	3210	3210	1	3	5	-3.022	0.000	0.000	"	Vindlast	langst	bru
trinn 4A3-A2	"												
LOADINS	924	3209	3209	1	3	5	-3.253	0.000	0.000	"	Vindlast	langst	bru
trinn 4A3-A2	"												
LOADINS	924	3208	3208	1	3	5	-3.507	0.000	0.000	"	Vindlast	langst	bru
trinn 4A3-A2	"												
LOADINS	924	3207	3207	1	3	5	-3.787	0.000	0.000	"	Vindlast	langst	bru
trinn 4A3-A2	"												
LOADINS	924	3206	3206	1	3	5	-4.095	0.000	0.000	"	Vindlast	langst	bru
trinn 4A3-A2	"												
LOADINS	924	3205	3205	1	3	5	-4.436	0.000	0.000	"	Vindlast	langst	bru
trinn 4A3-A2	"												
LOADINS	924	3204	3204	1	3	5	-4.813	0.000	0.000	"	Vindlast	langst	bru
trinn 4A3-A2	"												
LOADINS	924	3203	3203	1	3	5	-5.231	0.000	0.000	"	Vindlast	langst	bru
trinn 4A3-A2	"												
LOADINS	924	3202	3202	1	3	5	-5.632	0.000	0.000	"	Vindlast	langst	bru
trinn 4A3-A2	"												
LOADINS	924	3201	3201	1	3	5	-5.968	0.000	0.000	"	Vindlast	langst	bru
trinn 4A3-A2	"												
LOADINS	924	3200	3200	1	3	5	-6.468	0.000	0.000	"	Vindlast	langst	bru
trinn 4A3-A2	"												
LOADINS	924	3199	3199	1	3	5	-6.813	0.000	0.000	"	Vindlast	langst	bru
trinn 4A3-A2	"												
LOADINS	924	3198	3198	1	3	5	-6.813	0.000	0.000	"	Vindlast	langst	bru
trinn 4A3-A2	"												
LOADINS	924	3398	3398	1	3	5	6.813	0.000	0.000	"	Vindlast	langst	bru
trinn 4A3-A2	"												
LOADINS	924	3399	3399	1	3	5	6.813	0.000	0.000	"	Vindlast	langst	bru
trinn 4A3-A2	"												
LOADINS	924	3400	3400	1	3	5	6.468	0.000	0.000	"	Vindlast	langst	bru
trinn 4A3-A2	"												
LOADINS	924	3401	3401	1	3	5	5.968	0.000	0.000	"	Vindlast	langst	bru
trinn 4A3-A4	"												
LOADINS	924	3402	3402	1	3	5	5.632	0.000	0.000	"	Vindlast	langst	bru
trinn 4A3-A4	"												
LOADINS	924	3403	3403	1	3	5	5.231	0.000	0.000	"	Vindlast	langst	bru
trinn 4A3-A4	"												
LOADINS	924	3404	3404	1	3	5	4.813	0.000	0.000	"	Vindlast	langst	bru
trinn 4A3-A4	"												
LOADINS	924	3405	3405	1	3	5	4.436	0.000	0.000	"	Vindlast	langst	bru
trinn 4A3-A4	"												
LOADINS	924	3406	3406	1	3	5	4.095	0.000	0.000	"	Vindlast	langst	bru
trinn 4A3-A4	"												
LOADINS	924	3407	3407	1	3	5	3.787	0.000	0.000	"	Vindlast	langst	bru
trinn 4A3-A4	"												
LOADINS	924	3408	3408	1	3	5	3.507	0.000	0.000	"	Vindlast	langst	bru
trinn 4A3-A4	"												
LOADINS	924	3409	3409	1	3	5	3.253	0.000	0.000	"	Vindlast	langst	bru
trinn 4A3-A4	"												
LOADINS	924	3410	3410	1	3	5	3.022	0.000	0.000	"	Vindlast	langst	bru
trinn 4A3-A4	"												
LOADINS	924	3411	3411	1	3	5	2.812	0.000	0.000	"	Vindlast	langst	bru
trinn 4A3-A4	"												
LOADINS	924	3412	3412	1	3	5	2.620	0.000	0.000	"	Vindlast	langst	bru
trinn 4A3-A4	"												
LOADINS	924	3413	3413	1	3	5	2.446	0.000	0.000	"	Vindlast	langst	bru
trinn 4A3-A4	"												
LOADINS	924	3414	3414	1	3	5	2.287	0.000	0.000	"	Vindlast	langst	bru
trinn 4A3-A4	"												
LOADINS	924	3415	3415	1	3	5	2.143	0.000	0.000	"	Vindlast	langst	bru
trinn 4A3-A4	"												
LOADINS	924	3416	3416	1	3	5	2.013	0.000	0.000	"	Vindlast	langst	bru
trinn 4A3-A4	"												
LOADINS	924	3417	3417	1	3	5	1.894	0.000	0.000	"	Vindlast	langst	bru
trinn 4A3-A4	"												
LOADINS	924	3418	3418	1	3	5	1.788	0.000	0.000	"	Vindlast	langst	bru
trinn 4A3-A4	"												
LOADINS	924	3419	3419	1	3	5	1.692	0.000	0.000	"	Vindlast	langst	bru
trinn 4A3-A4	"												

LOADINS	924	3420	3420	1	3	5	1.607	0.000	0.000	"	Vindlast	langst	bru
trinn 4A3-A4	"												
LOADINS	924	3421	3421	1	3	5	1.532	0.000	0.000	"	Vindlast	langst	bru
trinn 4A3-A4	"												
LOADINS	924	3422	3422	1	3	5	1.467	0.000	0.000	"	Vindlast	langst	bru
trinn 4A3-A4	"												
LOADINS	924	3423	3423	1	3	5	1.411	0.000	0.000	"	Vindlast	langst	bru
trinn 4A3-A4	"												
LOADINS	924	3424	3424	1	3	5	1.364	0.000	0.000	"	Vindlast	langst	bru
trinn 4A3-A4	"												
LOADINS	924	3425	3425	1	3	5	1.326	0.000	0.000	"	Vindlast	langst	bru
trinn 4A3-A4	"												
LOADINS	924	3426	3426	1	3	5	1.296	0.000	0.000	"	Vindlast	langst	bru
trinn 4A3-A4	"												
LOADINS	924	3427	3427	1	3	5	1.275	0.000	0.000	"	Vindlast	langst	bru
trinn 4A3-A4	"												
LOADINS	924	3428	3428	1	3	5	1.263	0.000	0.000	"	Vindlast	langst	bru
trinn 4A3-A4	"												
LOADINS	924	3429	3429	1	3	5	1.258	0.000	0.000	"	Vindlast	langst	bru
trinn 4A3-A4	"												
LOADINS	924	3430	3430	1	3	5	1.258	0.000	0.000	"	Vindlast	langst	bru
trinn 4A3-A4	"												
LOADINS	924	3431	3431	1	3	5	1.258	0.000	0.000	"	Vindlast	langst	bru
trinn 4A3-A4	"												
LOADINS	924	3432	3432	1	3	5	1.258	0.000	0.000	"	Vindlast	langst	bru
trinn 4A3-A4	"												

%
 %%%% DYNAMISK VIND %%%%
 %

%	No	From mode	To mode	Spectra nr	Speed	Dir	Roughness	Dampening	
DYNWIND	100	1	10	30	28	0	1	0.008	
"Vindlast mode 1-10 rms etappe 3"									
DYNWIND	101	1	1	30	28	0	1	0.008	"
Vindlast mode 1 etappe 3"									
DYNWIND	102	2	2	30	28	0	1	0.008	"
Vindlast mode 2 etappe 3"									
DYNWIND	103	3	3	30	28	0	1	0.008	"
Vindlast mode 3 etappe 3"									
DYNWIND	104	4	4	30	28	0	1	0.008	"
Vindlast mode 4 etappe 3"									
DYNWIND	105	5	5	30	28	0	1	0.008	"
Vindlast mode 5 etappe 3"									
DYNWIND	106	6	6	30	28	0	1	0.008	"
Vindlast mode 6 etappe 3"									
DYNWIND	107	7	7	30	28	0	1	0.008	"
Vindlast mode 7 etappe 3"									
DYNWIND	108	8	8	30	28	0	1	0.008	"
Vindlast mode 8 etappe 3"									
DYNWIND	109	9	9	30	28	0	1	0.008	"
Vindlast mode 9 etappe 3"									
DYNWIND	110	10	10	30	28	0	1	0.008	"
Vindlast mode 10 etappe 3"									

%	No	From mode	To mode	Spectra nr	Speed	Dir	Roughness	Dampening	
DYNWIND	200	1	10	30	28	0	1	0.008	
"Vindlast mode 1-10 rms etappe 4"									
DYNWIND	201	1	1	30	28	0	1	0.008	"
Vindlast mode 1 etappe 4"									
DYNWIND	202	2	2	30	28	0	1	0.008	"
Vindlast mode 2 etappe 4"									
DYNWIND	203	3	3	30	28	0	1	0.008	"
Vindlast mode 3 etappe 4"									
DYNWIND	204	4	4	30	28	0	1	0.008	"
Vindlast mode 4 etappe 4"									
DYNWIND	205	5	5	30	28	0	1	0.008	"
Vindlast mode 5 etappe 4"									
DYNWIND	206	6	6	30	28	0	1	0.008	"
Vindlast mode 6 etappe 4"									
DYNWIND	207	7	7	30	28	0	1	0.008	"
Vindlast mode 7 etappe 4"									
DYNWIND	208	8	8	30	28	0	1	0.008	"
Vindlast mode 8 etappe 4"									

DYNWIND	209	9	9	30	28	0	1	0.008	"
Vindlast mode 9 etappe 4"									
DYNWIND	210	10	10	30	28	0	1	0.008	"
Vindlast mode 10 etappe 4"									

8.2.3 Inndeling av modellen i 2 byggetilstander

```

%
% MODEL          No UseMod Code  E1   E2   dE
%               Code: 1 Add models Code: -1 Delete models Code: 3 Add elements Code: -3 Delete elements
%
%
%Byggetrinn etter kobling med landkar frem til maks utkrager fra akse 2 mot 3
MODEL          3    -1    3    210  214  1    " Trinn    3    "    %% veggskive
MODEL          3    -1    3    220  224  1    " Trinn    3    "    %% veggskive
MODEL          3    -1    3    230  230  1    " Trinn    3    "    %% Fundament
MODEL          3    -1    3    810  811  1    " Trinn    3    "    %% Hjelpesøyler
MODEL          3    -1    3    2100 2120  1    " Trinn    3    "    %% Fra akse 2 mot akse 1 til
landkar
MODEL          3    -1    3    2297 2297  1    " Trinn    3    "    %% Fra akse 2 mot akse 1 til
landkar
MODEL          3    -1    3    2298 2299  1    " Trinn    3    "    %% Fra akse 2 mot akse 3
MODEL          3    -1    3    2300 2328  1    " Trinn    3    "    %% Fra akse 2 mot akse 3
%
%Byggetrinn maks utkrager fra akse 3
MODEL          4    -1    3    310  314  1    " Trinn    4    "    %% veggskive
MODEL          4    -1    3    320  324  1    " Trinn    4    "    %% veggskive
MODEL          4    -1    3    330  330  1    " Trinn    4    "    %% Fundament
%
MODEL          4    -1    3    3198 3199  1    " Trinn    4    "    %% Fra akse 3 mot akse 2
MODEL          4    -1    3    3200 3228  1    " Trinn    4    "    %% Fra akse 3 mot akse 2
MODEL          4    -1    3    3398 3399  1    " Trinn    4    "    %% Fra akse 3 mot akse 4
MODEL          4    -1    3    3400 3431  1    " Trinn    4    "    %% Fra akse 3 mot akse 4
%
%
CALCGRP        3    1    20    20    1    " Byggetr  3    "    %% Egenvekt Veggskive
CALCGRP        3    1    20    20    1    " Byggetr  3    "    %% Egenvekt Veggskive
CALCGRP        3    1    21    21    1    " Byggetr  3    "    %% Egenvekt Fundament
%
CALCGRP        3    1    2297 2297  1    " Byggetr  3    "    %% Egenvekt
CALCGRP        3    1    2100 2100  1    " Byggetr  3    "    %% Egenvekt
CALCGRP        3    1    2101 2101  1    " Byggetr  3    "    %% Egenvekt
CALCGRP        3    1    2102 2102  1    " Byggetr  3    "    %% Egenvekt
CALCGRP        3    1    2103 2103  1    " Byggetr  3    "    %% Egenvekt
CALCGRP        3    1    2104 2104  1    " Byggetr  3    "    %% Egenvekt
CALCGRP        3    1    2105 2105  1    " Byggetr  3    "    %% Egenvekt
CALCGRP        3    1    2106 2106  1    " Byggetr  3    "    %% Egenvekt
CALCGRP        3    1    2107 2107  1    " Byggetr  3    "    %% Egenvekt
CALCGRP        3    1    2108 2108  1    " Byggetr  3    "    %% Egenvekt
CALCGRP        3    1    2109 2109  1    " Byggetr  3    "    %% Egenvekt
CALCGRP        3    1    2110 2110  1    " Byggetr  3    "    %% Egenvekt
CALCGRP        3    1    2111 2111  1    " Byggetr  3    "    %% Egenvekt
CALCGRP        3    1    2112 2112  1    " Byggetr  3    "    %% Egenvekt
CALCGRP        3    1    2113 2113  1    " Byggetr  3    "    %% Egenvekt
%
CALCGRP        3    1    2114 2114  1    " Byggetr  3    "    %% Egenvekt
CALCGRP        3    1    2115 2115  1    " Byggetr  3    "    %% Egenvekt
CALCGRP        3    1    2116 2116  1    " Byggetr  3    "    %% Egenvekt
CALCGRP        3    1    2117 2117  1    " Byggetr  3    "    %% Egenvekt
CALCGRP        3    1    2118 2118  1    " Byggetr  3    "    %% Egenvekt

```

CALCGRP	3	1	2119	2119	1	" Byggetr	3	"	%% Egenvekt
CALCGRP	3	1	2120	2120	1	" Byggetr	3	"	%% Egenvekt
CALCGRP	3	1	2298	2298	1	" Byggetr	3	"	%% Egenvekt
CALCGRP	3	1	2299	2299	1	" Byggetr	3	"	%% Egenvekt
CALCGRP	3	1	2300	2300	1	" Byggetr	3	"	%% Egenvekt
CALCGRP	3	1	2301	2301	1	" Byggetr	3	"	%% Egenvekt
CALCGRP	3	1	2302	2302	1	" Byggetr	3	"	%% Egenvekt
CALCGRP	3	1	2303	2303	1	" Byggetr	3	"	%% Egenvekt
CALCGRP	3	1	2304	2304	1	" Byggetr	3	"	%% Egenvekt
CALCGRP	3	1	2305	2305	1	" Byggetr	3	"	%% Egenvekt
CALCGRP	3	1	2306	2306	1	" Byggetr	3	"	%% Egenvekt
CALCGRP	3	1	2307	2307	1	" Byggetr	3	"	%% Egenvekt
CALCGRP	3	1	2308	2308	1	" Byggetr	3	"	%% Egenvekt
CALCGRP	3	1	2309	2309	1	" Byggetr	3	"	%% Egenvekt
CALCGRP	3	1	2310	2310	1	" Byggetr	3	"	%% Egenvekt
CALCGRP	3	1	2311	2311	1	" Byggetr	3	"	%% Egenvekt
CALCGRP	3	1	2312	2312	1	" Byggetr	3	"	%% Egenvekt
CALCGRP	3	1	2313	2313	1	" Byggetr	3	"	%% Egenvekt
CALCGRP	3	1	2314	2314	1	" Byggetr	3	"	%% Egenvekt
CALCGRP	3	1	2315	2315	1	" Byggetr	3	"	%% Egenvekt
CALCGRP	3	1	2316	2316	1	" Byggetr	3	"	%% Egenvekt
CALCGRP	3	1	2317	2317	1	" Byggetr	3	"	%% Egenvekt
CALCGRP	3	1	2318	2318	1	" Byggetr	3	"	%% Egenvekt
CALCGRP	3	1	2319	2319	1	" Byggetr	3	"	%% Egenvekt
%									
CALCGRP	3	1	2320	2320	1	" Byggetr	3	"	%% Egenvekt
CALCGRP	3	1	2321	2321	1	" Byggetr	3	"	%% Egenvekt
CALCGRP	3	1	2322	2322	1	" Byggetr	3	"	%% Egenvekt
CALCGRP	3	1	2323	2323	1	" Byggetr	3	"	%% Egenvekt
CALCGRP	3	1	2324	2324	1	" Byggetr	3	"	%% Egenvekt
CALCGRP	3	1	2325	2325	1	" Byggetr	3	"	%% Egenvekt
CALCGRP	3	1	2326	2326	1	" Byggetr	3	"	%% Egenvekt
CALCGRP	3	1	2327	2327	1	" Byggetr	3	"	%% Egenvekt
CALCGRP	3	1	2328	2328	1	" Byggetr	3	"	%% Egenvekt
%									
%									
CALCGRP	3	1	3	3	1	" Byggetr	3	"	%% Forskalingsvogn i enden
av endelem									
%									
%									
CALCGRP	4	1	30	30	1	" Byggetr	1	"	%% Egenvekt Veggskive
CALCGRP	4	1	30	30	1	" Byggetr	1	"	%% Egenvekt Veggskive
CALCGRP	4	1	31	31	1	" Byggetr	1	"	%% Egenvekt Fundament
%									
CALCGRP	4	1	3198	3198	1	" Byggetr	4	"	%% Egenvekt
CALCGRP	4	1	3199	3199	1	" Byggetr	4	"	%% Egenvekt
CALCGRP	4	1	3200	3200	1	" Byggetr	4	"	%% Egenvekt
CALCGRP	4	1	3201	3201	1	" Byggetr	4	"	%% Egenvekt
CALCGRP	4	1	3202	3202	1	" Byggetr	4	"	%% Egenvekt
CALCGRP	4	1	3203	3203	1	" Byggetr	4	"	%% Egenvekt
CALCGRP	4	1	3204	3204	1	" Byggetr	4	"	%% Egenvekt
CALCGRP	4	1	3205	3205	1	" Byggetr	4	"	%% Egenvekt
CALCGRP	4	1	3206	3206	1	" Byggetr	4	"	%% Egenvekt
CALCGRP	4	1	3207	3207	1	" Byggetr	4	"	%% Egenvekt
CALCGRP	4	1	3208	3208	1	" Byggetr	4	"	%% Egenvekt
CALCGRP	4	1	3209	3209	1	" Byggetr	4	"	%% Egenvekt
CALCGRP	4	1	3210	3210	1	" Byggetr	4	"	%% Egenvekt
CALCGRP	4	1	3211	3211	1	" Byggetr	4	"	%% Egenvekt
CALCGRP	4	1	3212	3212	1	" Byggetr	4	"	%% Egenvekt
CALCGRP	4	1	3213	3213	1	" Byggetr	4	"	%% Egenvekt
CALCGRP	4	1	3214	3214	1	" Byggetr	4	"	%% Egenvekt
CALCGRP	4	1	3215	3215	1	" Byggetr	4	"	%% Egenvekt
CALCGRP	4	1	3216	3216	1	" Byggetr	4	"	%% Egenvekt
CALCGRP	4	1	3217	3217	1	" Byggetr	4	"	%% Egenvekt
CALCGRP	4	1	3218	3218	1	" Byggetr	4	"	%% Egenvekt
CALCGRP	4	1	3219	3219	1	" Byggetr	4	"	%% Egenvekt
CALCGRP	4	1	3220	3220	1	" Byggetr	4	"	%% Egenvekt
CALCGRP	4	1	3221	3221	1	" Byggetr	4	"	%% Egenvekt
CALCGRP	4	1	3222	3222	1	" Byggetr	4	"	%% Egenvekt
CALCGRP	4	1	3223	3223	1	" Byggetr	4	"	%% Egenvekt
CALCGRP	4	1	3224	3224	1	" Byggetr	4	"	%% Egenvekt
CALCGRP	4	1	3225	3225	1	" Byggetr	4	"	%% Egenvekt
CALCGRP	4	1	3226	3226	1	" Byggetr	4	"	%% Egenvekt
CALCGRP	4	1	3227	3227	1	" Byggetr	4	"	%% Egenvekt

CALCGRP	4	1	3228	3228	1	" Byggetr	4	"	%% Egenvekt
%									
CALCGRP	4	1	3398	3398	1	" Byggetr	4	"	%% Egenvekt
CALCGRP	4	1	3399	3399	1	" Byggetr	4	"	%% Egenvekt
CALCGRP	4	1	3400	3400	1	" Byggetr	4	"	%% Egenvekt
CALCGRP	4	1	3401	3401	1	" Byggetr	4	"	%% Egenvekt
CALCGRP	4	1	3402	3402	1	" Byggetr	4	"	%% Egenvekt
CALCGRP	4	1	3403	3403	1	" Byggetr	4	"	%% Egenvekt
CALCGRP	4	1	3404	3404	1	" Byggetr	4	"	%% Egenvekt
CALCGRP	4	1	3405	3405	1	" Byggetr	4	"	%% Egenvekt
CALCGRP	4	1	3406	3406	1	" Byggetr	4	"	%% Egenvekt
CALCGRP	4	1	3407	3407	1	" Byggetr	4	"	%% Egenvekt
CALCGRP	4	1	3408	3408	1	" Byggetr	4	"	%% Egenvekt
CALCGRP	4	1	3409	3409	1	" Byggetr	4	"	%% Egenvekt
CALCGRP	4	1	3410	3410	1	" Byggetr	4	"	%% Egenvekt
CALCGRP	4	1	3411	3411	1	" Byggetr	4	"	%% Egenvekt
CALCGRP	4	1	3412	3412	1	" Byggetr	4	"	%% Egenvekt
CALCGRP	4	1	3413	3413	1	" Byggetr	4	"	%% Egenvekt
CALCGRP	4	1	3414	3414	1	" Byggetr	4	"	%% Egenvekt
CALCGRP	4	1	3415	3415	1	" Byggetr	4	"	%% Egenvekt
CALCGRP	4	1	3416	3416	1	" Byggetr	4	"	%% Egenvekt
CALCGRP	4	1	3417	3417	1	" Byggetr	4	"	%% Egenvekt
CALCGRP	4	1	3418	3418	1	" Byggetr	4	"	%% Egenvekt
CALCGRP	4	1	3419	3419	1	" Byggetr	4	"	%% Egenvekt
CALCGRP	4	1	3420	3420	1	" Byggetr	4	"	%% Egenvekt
CALCGRP	4	1	3421	3421	1	" Byggetr	4	"	%% Egenvekt
CALCGRP	4	1	3422	3422	1	" Byggetr	4	"	%% Egenvekt
CALCGRP	4	1	3423	3423	1	" Byggetr	4	"	%% Egenvekt
CALCGRP	4	1	3424	3424	1	" Byggetr	4	"	%% Egenvekt
CALCGRP	4	1	3425	3425	1	" Byggetr	4	"	%% Egenvekt
CALCGRP	4	1	3426	3426	1	" Byggetr	4	"	%% Egenvekt
CALCGRP	4	1	3427	3427	1	" Byggetr	4	"	%% Egenvekt
CALCGRP	4	1	3428	3428	1	" Byggetr	4	"	%% Egenvekt
CALCGRP	4	1	3429	3429	1	" Byggetr	4	"	%% Egenvekt
CALCGRP	4	1	3430	3430	1	" Byggetr	4	"	%% Egenvekt
CALCGRP	4	1	3431	3431	1	" Byggetr	4	"	%% Egenvekt
CALCGRP	4	1	3432	3432	1	" Byggetr	4	"	%% Egenvekt
%									
CALCGRP	4	1	4	4	1	" Byggetr	4	"	%% Forskalingsvogn i enden
av endelem									
%									
%									
%									
%	903	Vindlast drag trinn 3				A2-A3			
%	904	Vindlast drag trinn 4				A3-A2A3-A4			
%	913	Vindlast lift trinn 3				A2-A3			
%	914	Vindlast lift trinn 4				A3-A2A3-A4			
%	923	Vindlast langs bru trinn 3				A2-A3			
%	924	Vindlast langst bru trinn 4				A3-A2A3-A4			
%									
CALCGRP	3	1	901	901	1	" Byggetr	3	"	
CALCGRP	3	1	911	911	1	" Byggetr	3	"	
CALCGRP	3	1	921	921	1	" Byggetr	3	"	
CALCGRP	3	1	902	902	1	" Byggetr	3	"	
CALCGRP	3	1	912	912	1	" Byggetr	3	"	
CALCGRP	3	1	922	922	1	" Byggetr	3	"	
CALCGRP	3	1	903	903	1	" Byggetr	3	"	
CALCGRP	3	1	913	913	1	" Byggetr	3	"	
CALCGRP	3	1	923	923	1	" Byggetr	3	"	
CALCGRP	4	1	904	904	1	" Byggetr	4	"	
CALCGRP	4	1	914	914	1	" Byggetr	4	"	
CALCGRP	4	1	924	924	1	" Byggetr	4	"	
%									
CALCGRP	5	4	10	0	0	" EGENFREKVENS etappe 3 (10 modes)		"	
CALCGRP	6	4	10	0	0	" EGENFREKVENS etappe 4 (10 modes)		"	
%									
CALCGRP	7	5	100	110	1	" Stochastic wind etappe 3		"	
CALCGRP	8	5	200	210	1	" Stochastic wind etappe 4		"	
%									
%									
% ANALYSIS	No	ModNo	CGNo	SetupNo	Time	Name			
%									
ANALYSIS	3	3	3	0	0	" Etappe stat	3	"	
%									

ANALYSIS	4	4	4	0	0	" Etappe stat	4"
%							
ANALYSIS	7	3	5	0	0	" Etappe egenfr	3"
%							
ANALYSIS	8	4	6	0	0	" Etappe egenfr	4"
%							
ANALYSIS	9	3	7	0	0	" Etappe dyn vind	3"
%							
ANALYSIS	10	4	8	0	0	" Etappe dyn vind	4"

8.2.4 Lastkombinering

```
% ORDINARY COMBINATION INPUT
%
%          No  LState  Type    LC1    Fac1    LC2    Fac2    LC3    Fac3          Name
%
%%%%%%%%%%%%%% BYGGETILSTAND%%%%%%%%%%%%%
%
% EGENLAST TRINNVIS UTBYGGING
%
%
ORDCOMB      3      NA      LC       20     1.0     21     1.0          "Eg Trinn 3"  %Veggskiver
ORDCOMB      3      NA      LC      2297          "Eg Trinn 3"
ORDCOMB      3      NA      LC     2100     1.0     2101     1.0     2102     1.0     "Eg Trinn 3"
ORDCOMB      3      NA      LC     2103     1.0     2104     1.0     2105     1.0     "Eg Trinn 3"
ORDCOMB      3      NA      LC     2106     1.0     2107     1.0     2108     1.0     "Eg Trinn 3"
ORDCOMB      3      NA      LC     2109     1.0     2110     1.0     2111     1.0     "Eg Trinn 3"
ORDCOMB      3      NA      LC     2112     1.0     2113     1.0     2114     1.0     "Eg Trinn 3"
ORDCOMB      3      NA      LC     2115     1.0     2116     1.0     2117     1.0     "Eg Trinn 3"
ORDCOMB      3      NA      LC     2118     1.0     2119     1.0     2120     1.0     "Eg Trinn 3"

ORDCOMB      3      NA      LC     2298     1.0     2299     1.0     2300     1.0     "Eg Trinn 3"
ORDCOMB      3      NA      LC     2301     1.0     2302     1.0     2303     1.0     "Eg Trinn 3"
ORDCOMB      3      NA      LC     2304     1.0     2305     1.0     2306     1.0     "Eg Trinn 3"
ORDCOMB      3      NA      LC     2307     1.0     2308     1.0     2309     1.0     "Eg Trinn 3"
ORDCOMB      3      NA      LC     2310     1.0     2311     1.0     2312     1.0     "Eg Trinn 3"
ORDCOMB      3      NA      LC     2311     1.0     2312     1.0          "Eg Trinn 3"
ORDCOMB      3      NA      LC     2313     1.0     2314     1.0     2315     1.0     "Eg Trinn 3"
ORDCOMB      3      NA      LC     2316     1.0     2317     1.0     2318     1.0     "Eg Trinn 3"
ORDCOMB      3      NA      LC     2319     1.0          "Eg Trinn 3"
ORDCOMB      3      NA      LC     2320     1.0     2321     1.0          "Eg Trinn 3"
ORDCOMB      3      NA      LC     2322     1.0     2323     1.0     2324     1.0     "Eg Trinn 3"
ORDCOMB      3      NA      LC     2325     1.0     2326     1.0     2327     1.0     "Eg Trinn 3"
ORDCOMB      3      NA      LC     2328     1.0          "Eg Trinn 3"
ORDCOMB      3      NA      LC       3      1.0          "Eg Trinn 3"  %FFB vogn
%
%
%
ORDCOMB      4      NA      LC       30     1.0     31     1.0          "Eg Trinn 4"  %Veggskiver
ORDCOMB      4      NA      LC     3198     1.0     3199     1.0     3200     1.0     "Eg Trinn 4"
ORDCOMB      4      NA      LC     3201     1.0     3202     1.0     3203     1.0     "Eg Trinn 4"
ORDCOMB      4      NA      LC     3204     1.0     3205     1.0     3206     1.0     "Eg Trinn 4"
ORDCOMB      4      NA      LC     3207     1.0     3208     1.0     3209     1.0     "Eg Trinn 4"
ORDCOMB      4      NA      LC     3210     1.0     3211     1.0     3212     1.0     "Eg Trinn 4"
ORDCOMB      4      NA      LC     3213     1.0     3214     1.0     3215     1.0     "Eg Trinn 4"
ORDCOMB      4      NA      LC     3216     1.0     3217     1.0     3218     1.0     "Eg Trinn 4"
ORDCOMB      4      NA      LC     3219     1.0     3220     1.0     3221     1.0     "Eg Trinn 4"
ORDCOMB      4      NA      LC     3222     1.0     3223     1.0     3224     1.0     "Eg Trinn 4"
ORDCOMB      4      NA      LC     3225     1.0     3226     1.0     3227     1.0     "Eg Trinn 4"
ORDCOMB      4      NA      LC     3228     1.0          "Eg Trinn 4"
ORDCOMB      4      NA      LC     3398     1.0     3399     1.0     3400     1.0     "Eg Trinn 4"
ORDCOMB      4      NA      LC     3401     1.0     3402     1.0     3403     1.0     "Eg Trinn 4"
ORDCOMB      4      NA      LC     3404     1.0     3405     1.0     3406     1.0     "Eg Trinn 4"
ORDCOMB      4      NA      LC     3407     1.0     3408     1.0     3409     1.0     "Eg Trinn 4"
ORDCOMB      4      NA      LC     3410     1.0     3411     1.0     3412     1.0     "Eg Trinn 4"
ORDCOMB      4      NA      LC     3413     1.0     3414     1.0     3415     1.0     "Eg Trinn 4"
ORDCOMB      4      NA      LC     3416     1.0     3417     1.0     3418     1.0     "Eg Trinn 4"
ORDCOMB      4      NA      LC     3419     1.0     3420     1.0     3421     1.0     "Eg Trinn 4"
ORDCOMB      4      NA      LC     3422     1.0     3423     1.0     3424     1.0     "Eg Trinn 4"
ORDCOMB      4      NA      LC     3425     1.0     3426     1.0     3427     1.0     "Eg Trinn 4"
ORDCOMB      4      NA      LC     3430     1.0     3431     1.0     3432     1.0     "Eg Trinn 4"
```

ORDCOMB	4	NA	LC	4	1.0					"Eg Trinn 4"	%FFB vogn
%											
%											
%%											
%%											
%%											
ORDCOMB	15	NA	LC	901	1.0					"Vindlast drag trinn 3	A1-A2"
ORDCOMB	16	NA	LC	911	1.0					"Vindlast lift trinn 3	A1-A2"
ORDCOMB	17	NA	LC	921	1.0					"Vindlast langs bru trinn 3	A1-A2"
%											
ORDCOMB	15	NA	LC	902	1.0					"Vindlast drag trinn 3	A1-A2"
ORDCOMB	16	NA	LC	912	1.0					"Vindlast lift trinn 3	A1-A2"
ORDCOMB	17	NA	LC	922	1.0					"Vindlast langs bru trinn 3	A1-A2"
%											
ORDCOMB	15	NA	LC	903	1.0					"Vindlast drag trinn 3	A2-A3"
ORDCOMB	16	NA	LC	913	1.0					"Vindlast lift trinn 3	A2-A3"
ORDCOMB	17	NA	LC	923	1.0					"Vindlast langs bru trinn 3	A2-A3"
%											
ORDCOMB	18	NA	LC	904	1.0					"Vindlast drag trinn 4	A3-A2/A4"
ORDCOMB	19	NA	LC	914	1.0					"Vindlast lift trinn 4	A3-A2/A4"
ORDCOMB	20	NA	LC	924	1.0					"Vindlast langst bru trinn 4	A3-A2/A4"
%											
ORDCOMB	100	NA	LC	100	1.0					"Dynamisk vindlast RMS	FFB fra akse 2"
ORDCOMB	200	NA	LC	200	1.0					"Dynamisk vindlast RMS	FFB fra akse 3"
%											
%											
%											
%											
SORTCOMB	24	NA	OC	ADD	100	1.0	15	-1.0			"Vindlast drag trinn 3
"											
SORTCOMB	25	NA	OC	ADD	100	1.0	15	1.0			"Vindlast drag trinn 3
"											
SORTCOMB	26	NA	SC	WORST	25	1.0	24	1.0			"Vindlast drag trinn 3
"											
SORTCOMB	27	NA	OC	ADD	100	1.0	16	-1.0			"Vindlast lift 3
"											
SORTCOMB	28	NA	OC	ADD	100	1.0	16	1.0			"Vindlast lift 3
"											
SORTCOMB	29	NA	SC	WORST	27	1.0	28	1.0			"Vindlast lift 3
"											
SORTCOMB	30	NA	OC	ADD	100	1.0	17	-1.0			"Vindlast langs bru trinn
3											
SORTCOMB	31	NA	OC	ADD	100	1.0	17	1.0			"Vindlast langs bru trinn
3											
SORTCOMB	32	NA	SC	WORST	30	1.0	31	1.0			"Vindlast langs bru trinn
3											
SORTCOMB	33	NA	SC	ADD	26	1.0	29	1.0	32	1.0	"Drag + lift + langs bru
trinn 3"											
%											
SORTCOMB	34	NA	SC	WORST	26	1.0	29	1.0	32	1.0	"Dim vind BYGGETILSTAND
TRINN 3	A2-A3	"									
SORTCOMB	34	NA	SC	WORST	33	1.0					"Dim vind BYGGETILSTAND
TRINN 3	A2-A3	"									
%											
%											
SORTCOMB	35	NA	OC	ADD	100	1.0	18	-1.0			"Vindlast drag trinn 4
"											
SORTCOMB	36	NA	OC	ADD	100	1.0	18	1.0			"Vindlast drag trinn 4
"											
SORTCOMB	37	NA	SC	WORST	35	1.0	34	1.0			"Vindlast drag trinn 4
"											
SORTCOMB	38	NA	OC	ADD	100	1.0	19	-1.0			"Vindlast lift 4
"											
SORTCOMB	39	NA	OC	ADD	100	1.0	19	1.0			"Vindlast lift 4
"											
SORTCOMB	40	NA	SC	WORST	37	1.0	38	1.0			"Vindlast lift 4
"											
SORTCOMB	41	NA	OC	ADD	100	1.0	20	-1.0			"Vindlast langs bru trinn
4	"										
SORTCOMB	42	NA	OC	ADD	100	1.0	20	1.0			"Vindlast langs bru trinn
4	"										

SORTCOMB	43	NA	SC	WORST	40	1.0	41	1.0			"Vindlast langs bru trinn 4
"											
SORTCOMB	44	NA	SC	ADD	36	1.0	39	1.0	42	1.0	"Drag + lift + langs bru
trinn 4	"										
%											
SORTCOMB	45	NA	SC	WORST	37	1.0	40	1.0	43	1.0	"Dim vind BYGGETILSTAND
TRINN 4	A3-A2/A4"										
SORTCOMB	45	NA	SC	WORST	44	1.0					"Dim vind BYGGETILSTAND
TRINN 4	A3-A2/A4"										
%											
SORTCOMB	46	NA	SC	ADD	34	1.0					"EGENLAST + VIND TRINN 3
"											
SORTCOMB	46	NA	OC	ADD	3	1.0					"EGENLAST + VIND TRINN 3
"											
SORTCOMB	47	NA	SC	ADD	45	1.0					"EGENLAST + VIND TRINN 4
"											
SORTCOMB	47	NA	OC	ADD	4	1.0					"EGENLAST + VIND TRINN 4
"											
%											
%											
%											
%											
%											
SORTLINE	1	ULS	210	214	1	46	46	1	111111		"Byggetrinn 3 all
vind+egen "											
SORTLINE	1	ULS	220	224	1	46	46	1	111111		"Byggetrinn 3 all
vind+egen "											
SORTLINE	1	ULS	230	230	1	46	46	1	111111		"Byggetrinn 3 all
vind+egen "											
SORTLINE	1	ULS	2100	2120	1	46	46	1	111111		"Byggetrinn 3 all
vind+egen "											
SORTLINE	1	ULS	2297	2328	1	46	46	1	111111		"Byggetrinn 3 all
vind+egen "											
%											
SORTLINE	2	ULS	310	314	1	47	47	1	111111		"Byggetrinn 4 all
vind+egen "											
SORTLINE	2	ULS	320	324	1	47	47	1	111111		"Byggetrinn 4 all
vind+egen "											
SORTLINE	2	ULS	330	330	1	47	47	1	111111		"Byggetrinn 4 all
vind+egen "											
SORTLINE	2	ULS	3198	3228	1	47	47	1	111111		"Byggetrinn 4 all
vind+egen "											
SORTLINE	2	ULS	3398	3432	1	47	47	1	111111		"Byggetrinn 4 all
vind+egen "											
%											
SORTLINE	3	ULS	210	214	1	45	45	1	111111		"Byggetrinn 3 all vind
"											
SORTLINE	3	ULS	220	224	1	45	45	1	111111		"Byggetrinn 3 all vind
"											
SORTLINE	3	ULS	230	230	1	45	45	1	111111		"Byggetrinn 3 all vind
"											
SORTLINE	3	ULS	2100	2120	1	45	45	1	111111		"Byggetrinn 3 all vind
"											
SORTLINE	3	ULS	2297	2328	1	45	45	1	111111		"Byggetrinn 3 all vind
"											
%											
SORTLINE	4	ULS	310	314	1	45	45	1	111111		"Byggetrinn 4 all vind
"											
SORTLINE	4	ULS	320	324	1	45	45	1	111111		"Byggetrinn 4 all vind
"											
SORTLINE	4	ULS	330	330	1	45	45	1	111111		"Byggetrinn 4 all vind
"											
SORTLINE	4	ULS	3198	3228	1	45	45	1	111111		"Byggetrinn 4 all vind
"											
SORTLINE	4	ULS	3398	3432	1	45	45	1	111111		"Byggetrinn 4 all vind
"											
%											
SORTLINE	5	ULS	210	214	1	33	33	1	111111		"Byggetrinn 3 statistisk vind
"											
SORTLINE	5	ULS	220	224	1	33	33	1	111111		"Byggetrinn 3 statistisk vind
"											

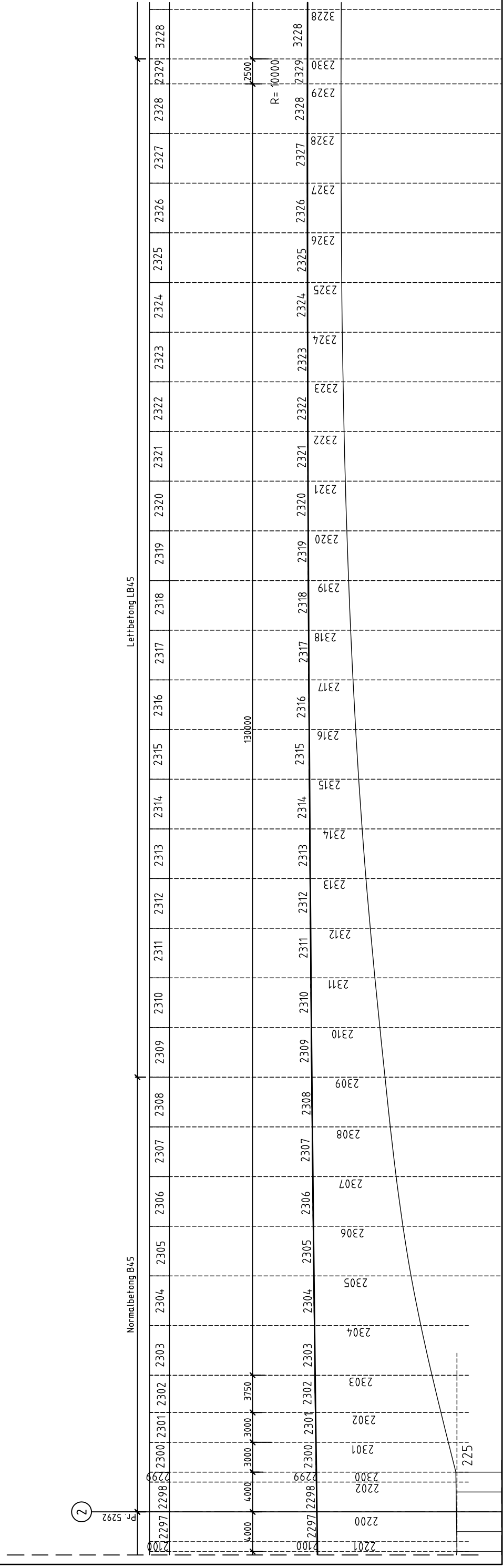
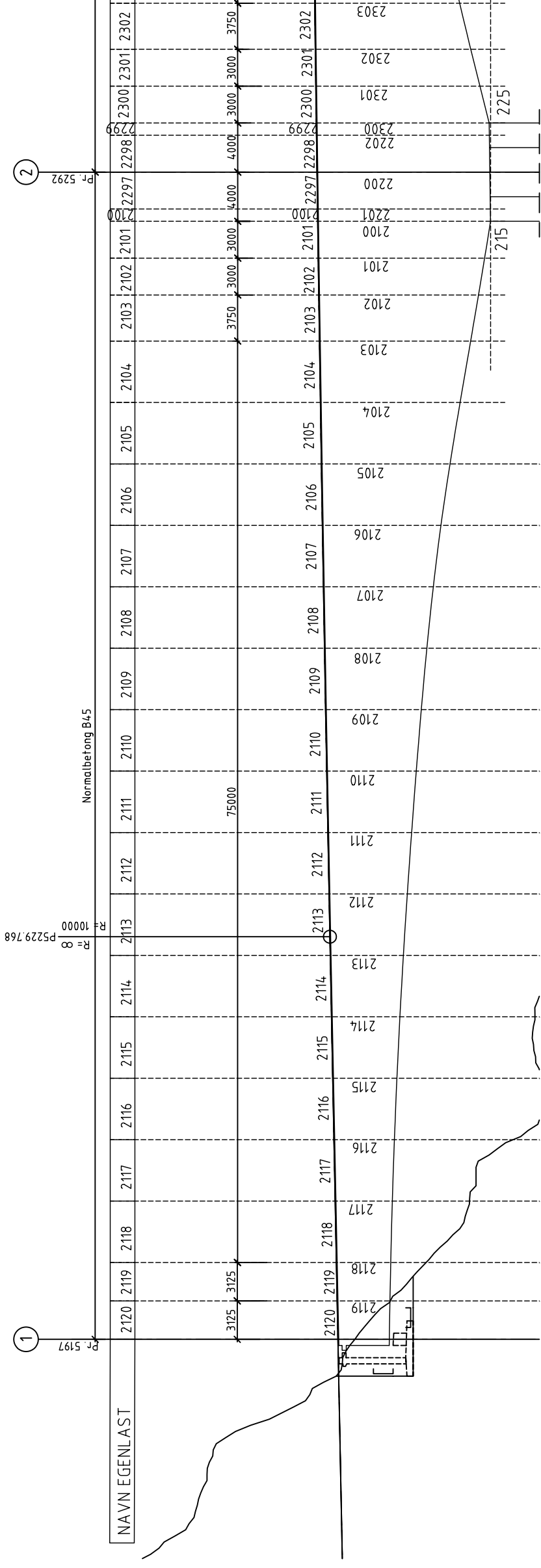
SORTLINE	5	ULS	230	230	1	33	33	1	111111	"Byggetrinn 3 statisk vind
"										
SORTLINE	5	ULS	2100	2120	1	33	33	1	111111	"Byggetrinn 3 statisk vind
"										
SORTLINE	5	ULS	2297	2328	1	33	33	1	111111	"Byggetrinn 3 statisk vind
"										
%										
SORTLINE	6	ULS	310	314	1	44	44	1	111111	"Byggetrinn 4 statisk vind
"										
SORTLINE	6	ULS	320	324	1	44	44	1	111111	"Byggetrinn 4 statisk vind
"										
SORTLINE	6	ULS	330	330	1	44	44	1	111111	"Byggetrinn 4 statisk vind
"										
SORTLINE	6	ULS	3198	3228	1	44	44	1	111111	"Byggetrinn 4 statisk vind
"										
SORTLINE	6	ULS	3398	3432	1	44	44	1	111111	"Byggetrinn 4 statisk vind
"										
%										
%										

8.3 TEGNINGER

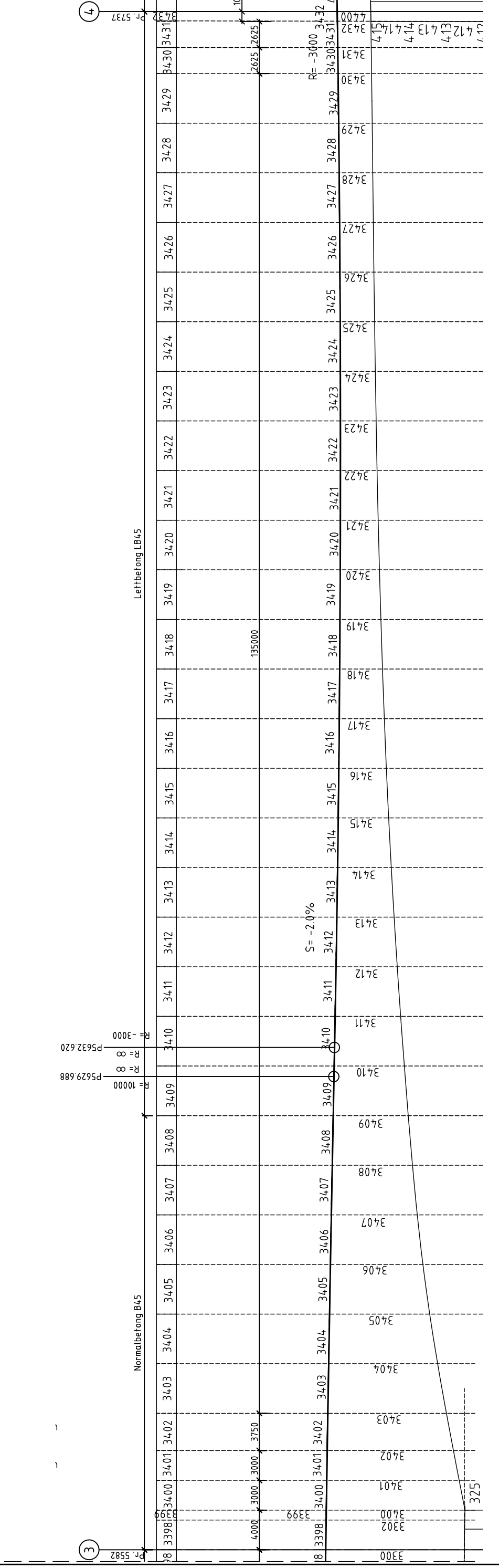
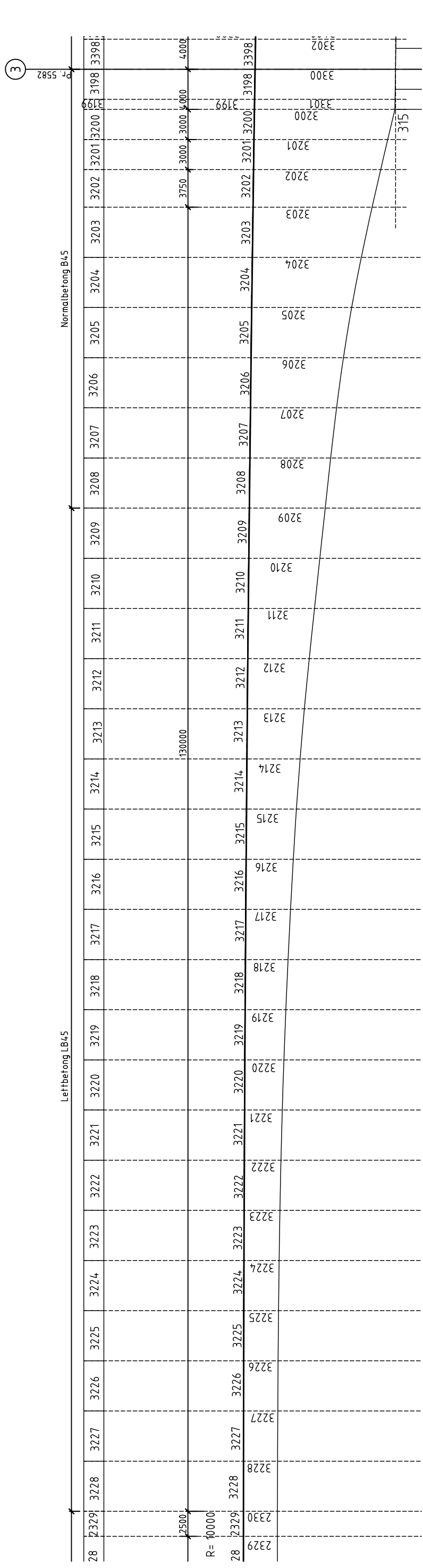
Følgende tegninger er vedlagt:

- Tegninger som viser element , nodeinndeling og egenlastlastinndeling slik det er lagt inn i Nova Frame.
- Oversiktstegning av Sandsfjord bru. Ref/16/

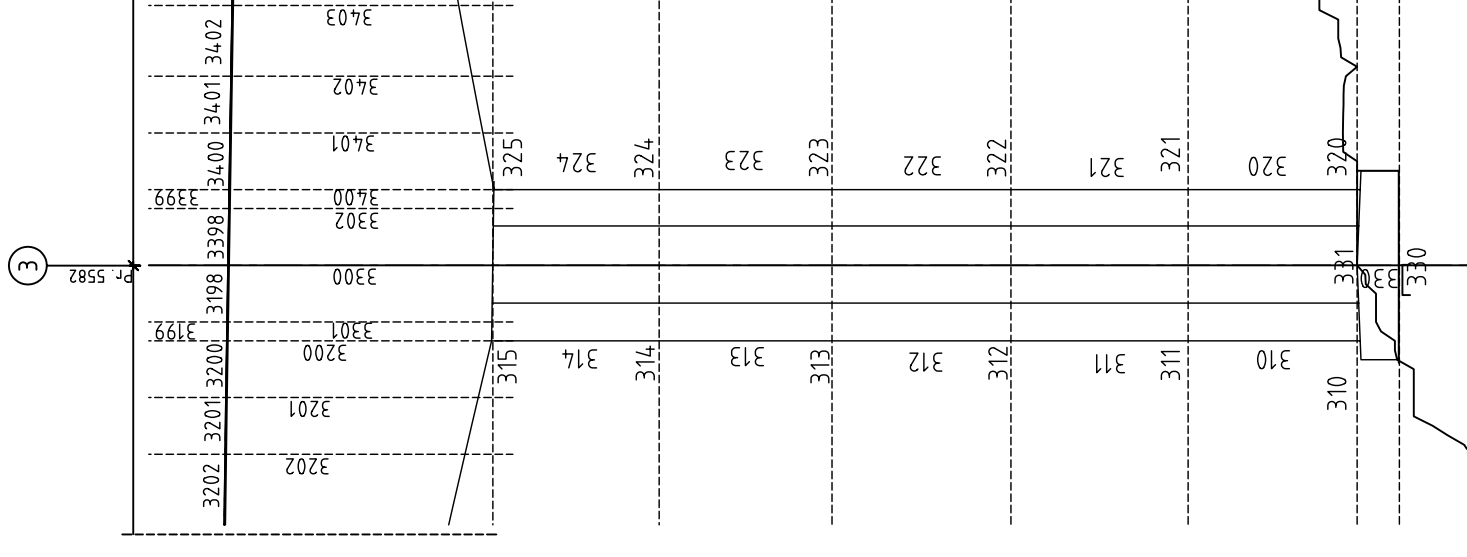
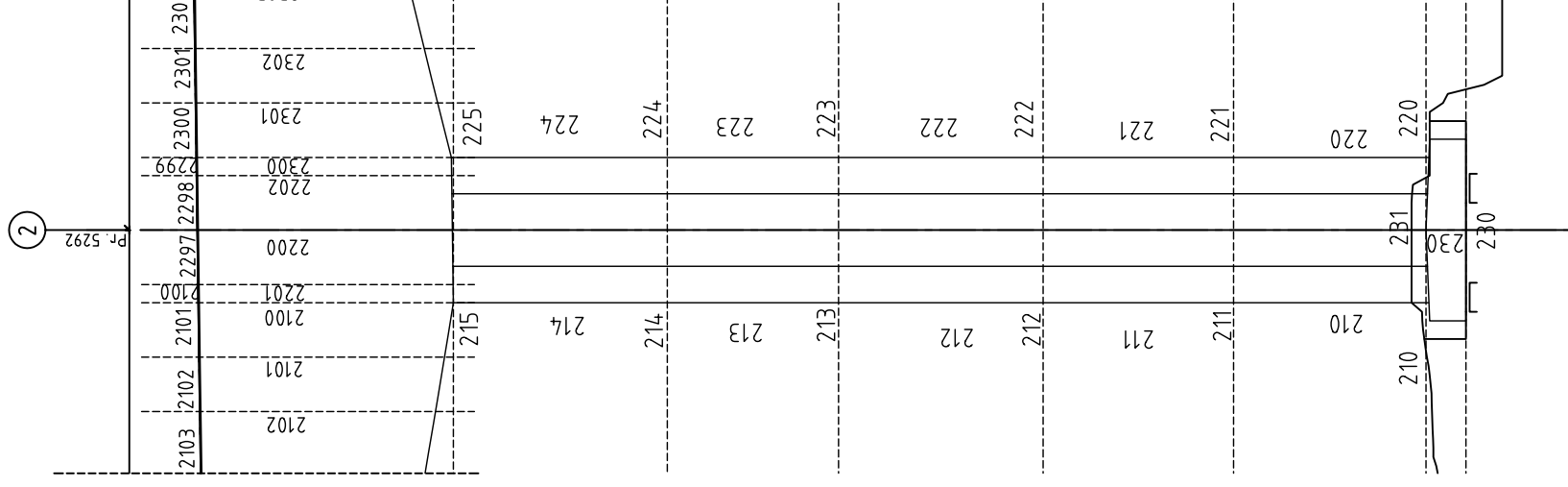
Tegning VA. Element, node og egenlastinndeling (Geometri basert på ref /16/)
 Full utbygging av utkragere fra akse 2. Tilsvarende byggetrinn 3.
 Tegning utarbeidet av A.E Rørtvedt Dato: 11.06.2010

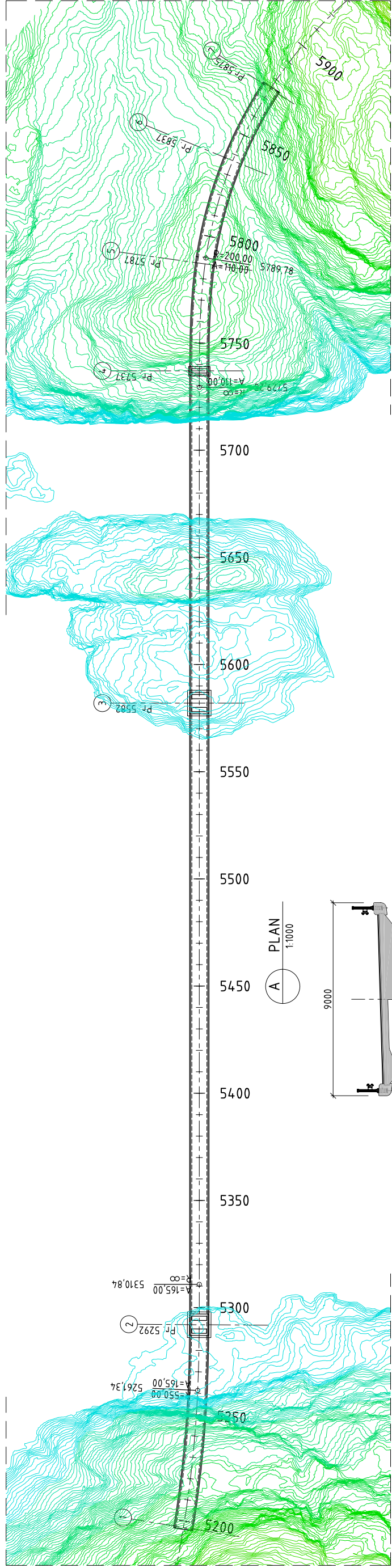
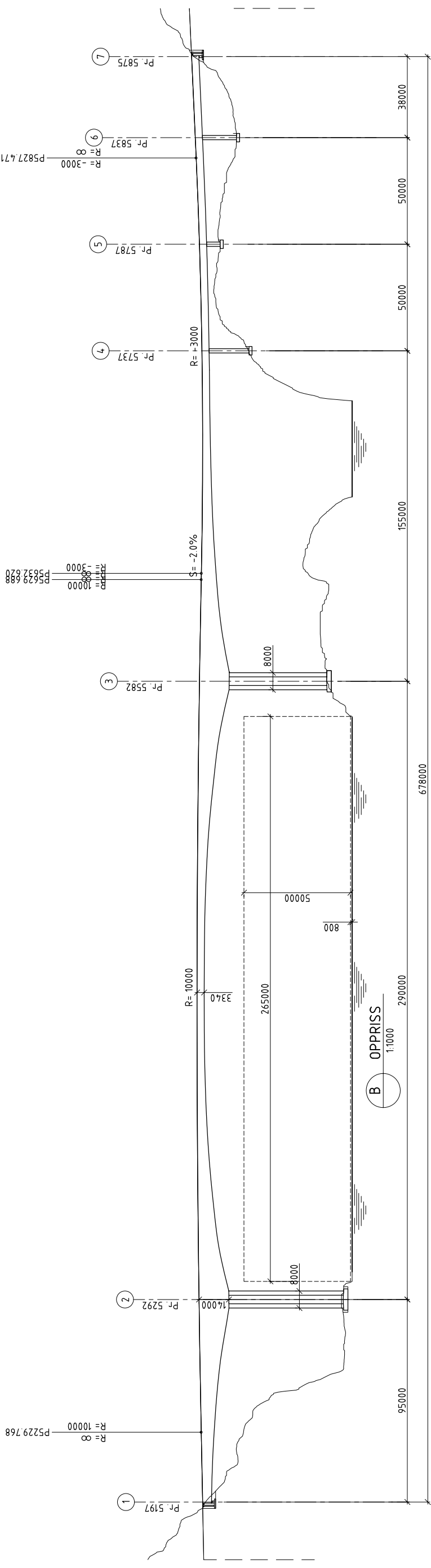


Tegning VB. Element, node og egenlastinndeling (Geometri basert på ref /16/)
 Full utbygging av utkrager fra akse 3. Tilsvarende byggetrinn 4
 Tegning utarbeidet av A.E Rørtvedt Dato: 11.06.2010

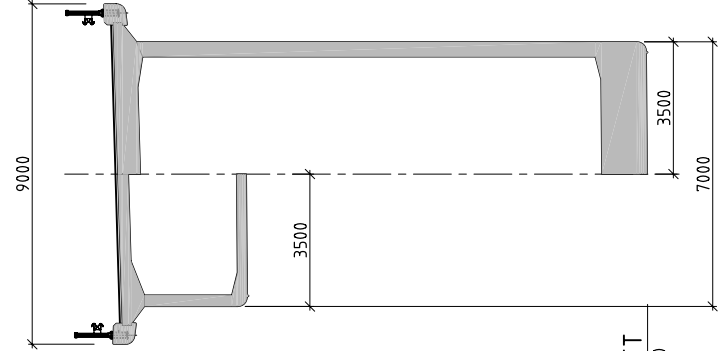


Tegning VC Element, node og egenlastinndeling
 av veggskiver ved akse 2 og 3. (Geometri basert på ref /161)
 Tegning utarbeidet av A.E Rørtvedt Dato: 11.06.2010





A PLAN 1:1000



C SNITT 1:100

BEMERKNINGER

1. BETONG
 Betongkvalitet: C55 SV-40
 Mjøkkklasse: MA
 Kontrollklasse: Utvidet kontroll, NS3420
2. DIMENSJONERINGSGRUNNLAG: Lastforskrifter 1995, ver. 2001-1.
 Prosjekteringsregler 1996, ver. 2001-1.
 Dimensjonerende belegningsvekt=2,6kN/m²
3. ALLE HJØRNER AVFASES 20 mm
4. Tverrsnittsdimensjoner er antatte verdier.

Godkjent som arbeids tegning av Vegdirektoratets
 Seksjon for Bruksteknikk i brev av

Skisse prosjekt 14.11.2007

Rev.	Dato	Erstatning - ending	Tegn av	Godkj. tegn
			Kontr.	
Status vegvesen				
			Godkj. tegn	
			Saksb.	
			Bru nr.	11-xxxx
			PROF. nr.	11-xxxx Sandsford bru
			Arkiv ref.	
			Midstøkk	
			Tegn nr.	
			Rev.	

Rv 46
 Lovraeid - Øvrabø
 Sandsford bru

Produsert av: Bruksseksjonen Region Vest